

Պ. Հ. ԲԵՋԻՐԳԱՆՑԱՆ

ՈԵՆՏԳԵՆՅԱՆ ՀԵՏԱԶՈՏՈՒԹՅՈՒՆԵՐԻ ՖԻԶԻԿԱԿԱՆ ՀԻՄՈՒՆՔՆԵՐԸ

Բայլատրված է ՀՍՍՀ բարձրագույն և միջնակարգ մասնագիտական կրթության մինիստրության կողմից որպես ուսումնական ձեռնարկ ճամարարանի ֆիզիկայի և ռադիոֆիզիկայի ֆակուլտետների ուսանողների ճամար

ԵՐԵՎԱՆԻ ՀԱՄԱԼՍԱՐԱՆԻ ՀՐԱՏԱՐԱԿՉՈՒԹՅՈՒՆ

ԵՐԵՎԱՆ—1977

Р 60602—24
704(02)—77 37—77

© Երևանի համալսարանի
հրատարակչություն, 1977

БЕЗИРГАНЯН
ПЕТРОС АКОПОВИЧ
**ФИЗИЧЕСКИЕ ОСНОВЫ
РЕНТГЕНОВСКИХ ИССЛЕДОВАНИЙ**
Учебное пособие
(На армянском языке)

Издательство Ереванского университета
Ереван—1977

ՆԵՐԱԾՈՒԹՅՈՒՆ

1. ՌԵՆՏԳԵՆՅԱՆ ՃԱՌԱԳԱՅԹՆԵՐԻ ՀԱՅՏԱԳՈՐԾՄԱՆ ՊԱՏՄՈՒԹՅՈՒՆԻՑ

Ռենտգենյան ճառագայթները հայտնագործվել են 1895 թվականի նոյեմբերի 8-ին, գերմանական Վյուրցբուրգ համալսարանական քաղաքում։ Այդ օրը ֆիզիկայի պրոֆեսոր Վիլհելմ Կոնրադ Ռենտգենը ուսումնասիրում էր վակուումով բարձր լարման էլեկտրական հոսանքի անցման ժամանակ առաջացող երևույթները։ Երկար ժամանակ մեն-մենակ աշխատելուց հետո, պրոֆեսորը գիշերվա ժամի 11-ին տուն գնալու ժամանակ հանդցնում է լուսը՝ մոռանելով անշատել էլեկտրական հոսանքը։ Հենց այդ պահին Ռենտգենը մթության մեջ ականատես է լինում մի հրաշալի տեսարանի, որը և հանդիսացավ ռենտգենյան ճառագայթների հայտնագործման սկիզբը։ Պրոֆեսորը տեսնում է, որ հոսանքատար վակուումային խողովակից մեկ ու կես մետրի վրա գտնվող պլատինացիանիտային բարիումի բյուրեղները կանաչավուն լույս են արձակում։ Զարմանալի երևույթ։ Հետո այդ բյուրեղները լույս կարող են արձակել միայն այն ժամանակ, եթե նրանց վրա ընկնում են արեկի ճառագայթները։ Մինչդեռ գիշերվա այդ ժամին լաբորատորիայում լրիվ մթություն էր։ Եթե Ռենտգենը հոսանքն անշատում է, բյուրեղների լուսարձակումն անհետանում է, իսկ միացնելիս՝ վերսկսվում։ Բազմից կրկնելով հոսանքի միացումն ու անշատումը և դիտելով պլատինացիանիտային բարիումի բյուրեղների լուսարձակումն ու նրա անհետացումը, Ռենտգենը հանձնարեղորեն կուհեց, որ ինքը գործ ունի մի նոր երևույթի հետ։ Հոսանքի անցման ժամանակ վակուումային խողովակը դառնում է ինչ-որ նոր՝ X ճառագայթների աղբյուր։ Գիտնականը մոռանում է հոգնածությունը և փորձերը շարունակում ամբողջ գիշեր։ Առավոտյան Ռենտգենը կարգադրում է լաբորատորիա բերել մի մահճակալ և 50 օր անընդհատ քնում ու սնվում էր հենց այդտեղ, չնայած իր բնակարանը գտնվում էր նույն շենքի հաջորդ հարկում։ Գիտնականը հանգստացավ և «կյան-

քի վերադարձակ» միայն այն բանից հետո, երբ ավարտեց այդ ճառագայթների հիմնական հատկությունների նախնական ուսումնասիրությունը և մի քանի էջում շարադրեց «Նախնական հաղորդագրություն նոր տեսակի ճառագայթների մասին» խորագրով թեզիսներ՝ բաղկացած 17 հիմնական դրույթներից:

1895 թվականի դեկտեմբերի 28-ին Ռենտգենը Վյուցքուրգի ֆիզիկա-բժշկական ընկերության նախագահին հանձնեց X ճառագայթների հայտնագործման իր նախնական հաղորդագրությունը, իսկ 1896 թվականի («ռենտգենյան տարվա», ինչպես անվանում են գիտության մեջ) հունվարի սկզբներին լույս տեսավ այդ մասին նրա գրքույթը, որն իսկույն թարգմանվեց ոռուերեն, անգլերեն, ֆրանսերեն և իտալերեն:

Ռենտգենն իր հայտնագործած ճառագայթներն անվանեց «X ճառագայթներ» իսկ Վյուցքուրգի ֆիզիկա-բժշկական ընկերությունը 1896 թվականի հունվարի 23-ի իր նիստում, ի պատիվ խոշորագույն գիտնականի, որոշեց այդ ճառագայթներն անվանել «ռենտգենյան»:

Չնայած ռենտգենյան ճառագայթների հայտնագործությունը հենց սկզբից գիտության մեջ ընդունվեց որպես մեծագույն հեղափոխություն երևույթ, բայց և այնպես այդ հայտնագործության խոշորագույն նշանակությունը միայն այժմ ենք լրիվ ըմբռնում:

2. ՌԵՆՏԳԵՆՅԱՆ ՃԱՌԱԳԱՅԹՆԵՐԻ ԲՆՈՒՅԹԸ

Ռենտգենը մանրամասն ուսումնասիրեց իր հայտնաբերած ճառագայթների հատկությունները, բայց չկարողացավ պարզել ամենագլխավորը՝ դրանց բնույթը: Ենթադրությունն այն մասին, թե ռենտգենյան ճառագայթները եթերի երկայնական տատանումներ են, հետագայում ոչ միայն չհաստատվեց, այլև սխալ դուրս եկավ:

Ռենտգենյան ճառագայթների բնույթը վերջնականապես պարզվեց Լառտեի և Նյու աշխատակիցների՝ 1912 թ. կատարած փորձերից հետո:

Մինչև Լառտեի այդ փորձերը, հայտնի էր, որ ռենտգենյան ճառագայթներն առաջացնում են գաղերի իոնացում, լուսանկարչական թիթեղի սևացում, որոշ աղերի ֆլուորեսցենցիա: Վերջինս էլ հենց, ինչպես վերևում ասվեց, հնարավորություն տվեց առաջին անգամ տեսնելու ռենտգենյան ճառագայթների հետքը: Հայտնի էր նաև, որ ռենտգենյան ճառագայթները համարյա անարգել անցնում են թղթի, փայտի և մկանային հյուսվածքի միջով, մինչդեռ մետաղների նույնիսկ բարակ թիթեղների միջով անցնելիս անցած

գինջի ինտենսիվությունը սկզբնականի նկատմամբ զգալիորեն թուանում է: Վերջապես, հայտնի էր, որ ռենտգենյան ճառագայթները կարող են ցրվել և ցրման հետևանքով բռեռանալ, որտեղից և հետևում էր, որ նրանք էլեկտրամագնիսական իմպուլսներ են: Սակայն մյուս կողմից նրանց իրունքունները ապացուց էին այն բանի, որ այդ ճառագայթները կորպուսկուլյար բնույթ ունեն: Այդ էր պատճառը, որ ռենտգենյան ճառագայթների բնույթի վերաբերյալ այն ժամանակ գիտնականները տարբեր կարծիքներ ունեին:

1912 թվականին Լառւեն դեռ երիտասարդ գիտնական էր. նա Մյունխենում պրոֆեսոր Զոմերֆելդի մոտ դոցենտ էր, իսկ սկսնակ ֆիզիկոս ա. Էվլիդին որպես դոկտորական դիսերտացիայի թեմա Զոմերֆելդը առաջարկել էր բյուրեղների օպտիկայի հետ կապված որոշ տեսական հարցեր: Էվլիդը իր թեման կատարելիս կոնսուլտացիաների նպատակով դիմում էր Լառւեին: Այդ կոնսուլտացիաների ժամանակ Լառւեն ուշադրություն դարձրեց այն եզրակացության վրա, որ բյուրեղը իրենից ներկայացնում է ատոմային մասշտաբի նյութի օրինաչափ դասավորություն: Արդեն հայտնի էին ատոմի գրաված մոտավոր չափերը և Ավոգադրոյի թիվը: Դրանցից ելնելով միջատոմային հեռավորությունը կարելի էր գնահատել հետևյալ կերպ. գրամմոլի (գրամատոմի) V_t ծավալը կլինի $V_t = N \cdot V$, որտեղ N -ը Ավոգադրոյի թիվն է, իսկ $N = \frac{M}{V_t}$ (ատոմի) ծավալը: Նյութի խտության համար կստացվի $\rho = \frac{M}{V_t} = \frac{M}{NV}$, որտեղ M -ը գրամմոլն (գրամատոմն) է: Վերջինից գրամմոլի (գրամատոմի) ծավալի համար կստացվի $V = \frac{M}{N\rho}$: Արովհետև $N = 6,2 \cdot 10^{23}$ և օրինակ՝ ալմաստի համար $M = 12$ գ, $\rho = 3,5$ գ/սմ³, հետևապես կստանանք $V = 5,5 \cdot 10^{-24}$ սմ³, այսինքն՝ ալմաստի համար միջատոմային հեռավորությունը կլինի $1-2$ Ա կարգի: Միջատոմային հեռավորության համար մոտավորապես նույն կարգի մեծություններ կստացվեն նաև մյուս բյուրեղների համար: Մյուս կողմից, այդ ժամանակ Զոմերֆելդն արդեն ցույց էր տվել, որ եթե ռենտգենյան ճառագայթներն էլեկտրամագնիսական ալիքներ են, ապա նրանց ալիքի երկարությունը պետք է լինի 1 Ա կարգի:

Այսպիսով, ստացվում է, եթե ռենտգենյան ճառագայթներն էլեկտրամագնիսական ալիքներ լինեն, ապա նրանց ալիքի երկարությունը բյուրեղների միջատոմային հեռավորության կարգի կլինի, հետևապես նրանց համար որպես եռաչափ դիֆրակցիոն ցանց

կարող են ծառայել բյուրեղային ցանցերը։ Ուենտգենյան ճառագյշների դիֆրակցիան ստանալու հնարավորության հարցը երկար ժամանակ վեճի առարկա էր մյունխենյան դասատուների և ասպիրանտների միջև, մինչև որ վերջիններից երկուաը՝ Ֆրիդրիխը և Կնիպինգը, որոնք Ուենտգենի ղեկավարությամբ նոր էին ստացել դոկտորական դիսերտացիայի թեմա, որոշեցին փորձերով իրականացնել այն (այդ ժամանակ արդեն Ուենտգենը տեղափոխվել էր Մյունխեն և ստացել էր տեղի համալսարանի փիլիսոփայական ֆակուլտետի ֆիզիկայի ինստիտուտի դիրեկտորի պաշտոնը):

Ֆրիդրիխի և Կնիպինգի փորձերը ղեկավարում և ստացված արդյունքները մեկնաբանում էր Լաուեն։ Մի շարք անհաջող փորձերից հետո, վերջապես, նրանց հաջողվեց ստանալ ունտգենյան ճառագյշների դիֆրակցիան պղնձարշասպի (CuSO₄·5 H₂O) բյուրեղների վրա։

Այսպիսով, լաուեն և իր աշխատակիցները հայտնագործեցին ունտգենյան ճառագյշների դիֆրակցիան բյուրեղների մեջ։ Այդ հայտնագործությունը մի նոր հզոր ապացույց էր ունտգենյան ճառագյշների՝ էլեկտրամագնիսական ալիքային բնույթի։

Այդ նույն ժամանակ ունտգենյան ճառագյշների հետազոտություններ էին սկսվել նաև Անգլիայում։ Քեմբրիջում աշխատում էր Վ. Լ. Բրեգը, լիգուում՝ Վ. Գ. Բրեգը, իսկ Մանչեստրում՝ Մողին և Դարվինը։ Վ. Լ. Բրեգը դեռ շարունակում էր ենթադրել, որ ունտգենյան ճառագյշները կարող են լինել մասնիկային (կորպուսկուլային) և փորձում էր լաուեի խմբի ստացած դիֆրակցիոն պատկերը բացատրել մասնիկների շեղմամբ՝ բյուրեղի միջով անցնելիս։ Նրա այդ բացատրությունը անհաջող դուրս եկավ, բայց դրա փոխարեն նա հայտնագործեց «ունտգենյան հայելիները»։ Վ. Լ. Բրեգը ցույց տվեց, որ լաուեի ստացած դիֆրակցիոն պատկերի յուրաքանչյուր բիծ բյուրեղի ատոմային ճառագյշների որևէ համակարգից ունտգենյան ճառագյշների հայելային անդրադարձման արդյունք է։

Լաուեն իրենց փորձերի արդյունքները աշխատում էր բացատրել, ենթադրելով, որ ունտգենյան ճառագյշների սկզբնական փունջը բաղկացած էր միայն մի շարք որոշակի (դիսկրետ) երկարության ալիքներից, բայց Վ. Լ. Բրեգը ճիշտ ճանապարհի վրա կանգնեց, ցույց տալով, որ ստացված դիֆրակցիոն պատկերի բոլոր բծերի ծագումը կարելի է բացատրել միայն այն դեպքում, եթե ընդունվի, որ սկզբնական ունտգենյան ճառագյշների փունջը ըստ ալիքի երկարության բաղկացած է անընդհատ սպեկտրային ճառագյշումից (սպիտակ լույսի նման)։ Այսպիսով, Բրեգի փոր-

ձերը նույնպես հանգեցին ռենտգենյան ճառագայթների էլեկտրա-
մագնիսական ալիքային բնույթին:

Մյուս կողմից, Վ. Գ. Բրեգը կառուցեց ռենտգենյան սպեկտրո-
մետր և ուսումնասիրեց ռենտգենյան անտիկատողից արձակված
ճառագայթման սպեկտրը: Նա փորձով ցույց տվեց, որ այդ ճառա-
գայթումը բաղկացած է անընդհատ և դիսկրետ սպեկտրներից: Նա
ապացուցեց նաև, որ եթե դիսկրետ սպեկտրին համապատասխանող
քվանտների էներգիան հաշվվի Պլանկի $E=hn$ բանաձևով, ապա
ստացված արդյունքը կհամապատասխանի այն կատողային ճառա-
գայթների էներգիային, որը գրգռել է այդ ճառագայթումը:

Վ. Գ. Բրեգի աշխատանքներն ամբողջությամբ առած ցույց են
տալիս, որ թեև ռենտգենյան երկույթներում էներգիան տեղափոխ-
վում է քվանտներով, բայց և այնպես այլ երկույթներում ռենտ-
գենյան ճառագայթներն իրենց պահում են որպես էլեկտրամագնի-
սական ալիքներ: Դրանով իսկ գիտնականները հանգեցին ռենտ-
գենյան ճառագայթների երկակի բնույթին: Այդ մասին 1913 թ.
հունվարի 30-ին Մոզիին և Դարվինը իրենց նամակում գրում են.
«Քանի որ ռենտգենյան ճառագայթներն անդրադառնում են, ապա
նրանք իրենցից ներկայացնում են լայն ալիքային ճակատով որոշ
տեսակի իմպուլսներ, որոնք անդրադառնալուց հետո վերականգ-
նում են իրենց կորպուսկուլային բնույթը»: Այսպիսով, ռենտգեն-
յան ճառագայթների էներգիան, ըստ երկույթին, ունի հակադիր
հատկություններ՝ ձգվածություն ըստ ալիքային ճակատի և կենտ-
րոնացվածություն մի կետում: Վ. Գ. Բրեգը իր ավելի վաղ (1912 թ.
նոյեմբերի 28-ի) նամակում ուղղակի գրում է. «Ըստ իս խնդիրն
այժմ այն չէ, որ ընտրություն կատարվի ռենտգենյան ճառագայթ-
ների երկու տեսությունների միջև, այլ այն, որ գտնվի այդ երկու
տեսությունների հնարավորություններն իր մեջ միացնող մի տե-
սություն»:

3. ՌԵՆՏԳԵՆՅԱՆ ՃԱՐՈՂԱԳԱՅԹՆԵՐԻ ՀԱՅՏԱԳՈՐԾՄԱՆ ՆՇԱՆԱԿՈՒԹՅՈՒՆԸ

Ռոպեսզի կարողանանք ճիշտ գնահատել ռենտգենյան ճառա-
գայթների նշանակությունը ժողովրդական տնտեսության, գիտու-
թյան և տեխնիկայի ասպարեզում, անհրաժեշտ է նշել այդ ճառա-
գայթների կիրառության բնագավառները: Այսպիսի ընդարձակ տա-
րածում են գտել ռենտգենյան ճառագայթները ժողովրդական տըն-
տեսության բազմազան բնագավառներում՝ գիտության, տեխնիկա-

յի և արվեստի մեջ, որ դժվար թե մեկը կարողանա լրիվ թվարկել դրանք:

Ունտգենյան ճառագայթների կիրառելելության սահմաններն ստու Կ. Լոնսդելի հասել են «ատոմային էներգիայի օգտագործումից մինչև մսի պահածոյացումը, ճառագայթման բնույթից մինչև «կանգուն ալիքի բնույթը», յուղելու (смазка) պրոցեսներից մինչև հողի ճահճայնությունը, ձու եփելուց մինչև տեքստիլային նոր նյութերի, նոր թեթև համաձուլվածքների կամ նոր տրանսֆորմատորային պողպատների արտադրությունը»:

Վ. Գ. Բրեգի սպեկտրամետրով կատարված առաջին աշխատանքները դրեցին ունտգենյան հետազոտությունների հետևյալ հիմնական ուղղությունների սկիզբը.

1. Հայտնի ալիքի երկարությամբ ունտգենյան ճառագայթների միջոցով բյուրեղների կառուցվածքի որոշումը (ունտգենյան բյուրեղագիտություն):

2. Հայտնի կառուցվածքով բյուրեղների միջոցով որևէ նյութի կողմից կլանվող կամ արձակվող ունտգենյան ճառագայթների ալիքի երկարության որոշումը (ունտգենյան սպեկտրասկոպիա): Անողղակիորեն այդ աշխատանքները խոր ազդեցություն ունեցան ճառագայթման տեսությունների վրա:

Մովլիի աշխատանքով.

1. Դրվեցին ատոմի կառուցվածքի և ճառագայթման ժամանակակից տեսությունների հիմքերը:

2. Հիմնավորվեց էլեմենտների դասակարգման հնարավոր լավագույն եղանակը:

3. Ստեղծվեց նոր էլեմենտների հայտնագործման նոր հղորեղանակ:

4. Հնարավորություն տրվեց որոշելու էլեմենտները հանքային հանածոների և քիմիական միացությունների մեջ՝ առանց վերջիններս քայլայելու:

Որպեսզի ավելի պարզ պատկերացվի գիտական մտքի մեջ այն հեղափոխությունը, որը տեղի ունեցավ ունտգենյան բյուրեղագիտության հետևանքով, կարելի է վերցնել պինդ մարմինների մեխանիկական հատկություններին, անօրգանական քիմիային կամ ատոմային ֆիզիկային նվիրված հին ձեռնարկները (գրված 1912 թվականից առաջ) և տեսնել, թե որքան թերի ու ոչ կոնկրետ էին գիտելիքներն այն ժամանակ և ինչպես այժմ դարձել են ավելի ճշգրիտ՝ ատոմային պրոցեսների մեխանիզմի ու տարբեր մարմիններում ատոմների դասավորության հայտնագործման հետևանքով:

Վերջերս ունտգենյան հետազոտությունների շրջանակներն էլ

ավելի են լայնացել՝ հետագոտությունների հատուկ եղանակների մշակման կապակցությամբ:

Ունտգենյան ճառագայթների դիֆուզիոն ցրումը, անոմալ ցրումը, ցրումը փոքր անկյունների տակ և անոմալ կլանումը այժմ մեծ կիրառություններ ունեն նյութերի հատկությունների ու վիճակների ուսումնասիրության գործում:

Ունտգենյան ճառագայթները մեծ կիրառություններ ունեն նյութերի ինչպես մակրո,—այնպես էլ միկրո—դեֆեկտների ուսումնասիրության բնագավառում։ Մշակված են միկրոդեֆեկտների ուսումնասիրության մեծ լուծող ուժ ունեցող եղանակներ, որոնց օգնությամբ որոշվում են բյուրեղների պատկերները։

Հազվագյուտ են գիտության, տեխնիկայի և ժողովրդական տնտեսության այնպիսի բնագավառները, որտեղ ունտգենյան ճառագայթները կիրառություն չունենան։

Եթե ունտգենյան ճառագայթների հայտնագործումը այդքան մեծ շափով հարստացրեց մարդու գիտելիքները և գործունեության բազմազան բնագավառները, ապա այդ հայտնագործումից ամենից շատ շահեց բժշկությունը։

Եթե ունտգենյան ճառագայթները արդյունաբերության մեջ կիրառելու համար պետք եղավ 20—30 տարի, ապա բժշկության մեջ շատ մեծ արագությամբ տարածվեցին ունտգենյան ախտորոշումը և բուժումը։ Ո՞վ գիտե, եթե ունտգենյան ճառագայթների հայտնագործման գիշերը Ծենտգենը իր ձեռքը և ապա իր կնոջ ձեռքը շճառագայթահարեր, գուցե ճառագայթների օգտագործումը բժշկության մեջ երկար ժամանակ հետաձգվեր։ Բայց այդ առաջին պատահական ճառագայթահարման պահից փաստորեն սկսվեց ունտգենյան ճառագայթների կիրառությունը բժշկության մեջ։ Այժմ ունտգենյան ճառագայթները կիրառվում են բժշկության համարյա թե բոլոր բնագավառներում, և դժվար է պատկերացնել քիչ թե շատ կանոնավոր մի բուժհիմնարկ՝ առանց ունտգենյան ճառագայթների կիրառումն ապահովող սարքերի։

Գիտության զարգացման պատմությունը շգիտի այնպիսի արագ և փայլուն աճ, քան յոթանասուն տարվա ընթացքում ունեցել է ունտգենոլոգիան։

Ունտգենյան ճառագայթների նշանակությունը շատ մեծ է և իդուր չէ, որ դրանց հայտնագործման համար 1901 թվականին Ունտգենը՝ ֆիզիկոսներից առաջինը, ստացավ նորելյան մրցանակ։

ԲՅՈՒՐԵՂԱԳԻՏՈՒԹՅԱՆ ՏԱՐՐԵՐԸ

§ 1. ԲՅՈՒՐԵՂԱՅԻՆ ԵՎ ԱՄՈՐՖ ՆՅՈՒԹԵՐ

Բնության մեջ գոյություն ունեցող պինդ նյութերը լինում են երկու տեսակի՝ բյուրեղային և ամորֆ։ Բյուրեղային նյութերի մեջ ատոմները դասավորված են կանոնավոր ձևով, իսկ ամորֆ նյութերի մեջ՝ անկանոն ձևով։ Այդ պատճառով բյուրեղային նյութերն ունենում են հարթ նիստեր, ուղիղ կողեր, լինում են համասեռ և անիզոտրոպ։ որոշ ֆիզիկական հատկություններ տվյալ բյուրեղի մեջ տարբեր ուղղություններով տարբեր են լինում։ Ամորֆ նյութերը հարթ նիստեր և ուղիղ կողեր չունեն, իզոտրոպ են և նրանց մեջ համասեռությունը կարող է խախտված լինել։ Սկզբում, երբ դեռ նյութերի կառուցվածքի ուսումնասիրման մեջ ունտգենյան ճառագայթներ շէին կիրառվում, ենթադրվում էր, որ ամորֆ նյութերի քանակը բնության մեջ մեծ է։ Սակայն հետագա հետազոտությունները ցուց տվեցին, որ բնության մեջ գոյություն ունեցող համարյա բոլոր պինդ նյութերը բյուրեղային կառուցվածք ունեն և միայն փոքր թվով նյութեր են ամորֆ (ապակի, պարաֆին և այլն)։ Բանն այն է, որ բազմաթիվ բյուրեղային նյութեր իրենց հատկությունների անիզոտրոպությունը շեն դրսենորում և արտաքին տեսքով էլ բյուրեղների նման չեն՝ հարթ նիստեր և ուղիղ կողեր չունեն, այդ պատճառով էլ, մինչև ունտգենյաստրուկտորային անալիզի կիրառումը, դրանք դասվում էին ամորֆ նյութերի շարքը։ Որոշ բյուրեղային նյութեր հանդես են գալիս որպես միաբյուրեղներ (մոնոբյուրեղներ) և բաղկացած են լինում մեկ ամբողջական բյուրեղից։ Այդպիսի բյուրեղներն ունենում են հարթ նիստեր, ուղիղ կողեր և անիզոտրոպ են։ Որոշ բյուրեղային նյութեր բաղկացած են լինում անթիվ փոքրիկ բյուրեղներից, որոնք իրար նկատմամբ անկանոն ձևով են դասավորված լինում։ Այդպիսի նյութերը, որոնք հարթ նիստեր, ուղիղ կողեր չունեն և բյուրեղիկների անկանոն դասավորվածության հետևանքով նրանց ֆիզիկական հատկություն-

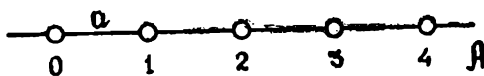
Ներն ուղղությունից կախված չեն (իզոտրոպ են), կոչվում են բազմաբյուրեղներ (պոլիբյուրեղներ):

Կարելի է պնդել, որ պինդ նյութերի հավասարակշռված գոյության միակ ձևը բյուրեղային ձևն է, իսկ ամորֆ պինդ նյութերը իրականում գերազանցված հեղուկներ են, որոնք գտնվում են անկայուն հավասարակշռության վիճակում և բնական կամ արհետական պայմաններում կարող են բյուրեղանալ:

§ 2. ԲՅՈՒՐԵՂԻ ՏԱՐԱՄԱԿԱՆ ՑԱՆՑԸ

Հարթ նիստերի և ուղիղ կողերի գոյությունը բյուրեղների մեջ ցույց է տալիս, որ ատոմները բյուրեղների մեջ դասավորված պետք է լինեն ըստ հարթությունների և ուղղների: Ցանկացած կողի (ուղղի) կառուցվածքը սխեմատիկ ձևով կարելի է պատկերել հետևյալ կերպ: Ենթադրենք ՕԱ կողի Օ կետում (տե՛ս նկ. 1) գտնվում է մի ատոմ (մասնիկ), այդ կողի վրա այդ ատոմից մի ինչ-որ ա հեռավորության վրա, 1 կետում կատարվի այդ ատոմին համանման մի այլ ատոմ (մասնիկ): Նույն ուղղությամբ 1 կետից նույնպիսի ա հեռավորության վրա կատարվի 0 և 1 կետերում գտնվող ատոմներին (մասնիկներին) համանման մի այլ ատոմ և այդպես շարունակ:

Մի ուղղի վրա իրարից հավասար հեռավորությունների վրա գտնվող միատեսակ նյութական կետերի կամ միատեսակ ատոմների հանրությը կոչվում է միաշափ կամ գծային պարզ ցանց: Երկու իրարից ամենափոքրագույն հեռավորության վրա գտնվող հա-

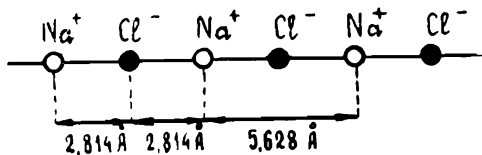


Նկ. 1. Միաշափ կամ գծային պարզ ցանց

մանման ատոմների միջև եղած ա հեռավորությունը կոչվում է իդենտականության (համանմանության) պարբերություն և սովորաբար նշանակվում է յ տառով: Ուրեմն, միաշափ պարզ ցանց կառուցելու համար բավական է գիտենալ ա վեկտորի մեծությունը և ուղղությունը: Ա վեկտորը կոչվում է տրանսլյացիայի վեկտոր կամ ուղղակի տրանսլյացիա, իսկ նրա մեծությունը, ինչպես արդեն նշվեց, իդենտականության պարբերություն: Եթե գծային պարզ ցանցի ատոմներից մեկն ընդունենք որպես սկզբնակետ, ապա այդ ցանցի ցանկացած ատոմի տեղը կարելի կլինի որոշել հետևյալ

վեկտորական հավասարմամբ. $\vec{p} = \vec{m}$, որտեղ $m=0, \pm 1, \pm 2, \pm 3, \dots$ և կոչվում է ցանցի հանգուցային կետի (ցանցի այն կետերը, որտեղ դասավորված են ատոմները, կոչվում են հանգուցակետեր կամ հանգուցային կետեր) ինդեքս (սիմվոլ):

Եթե ցանցը բաղկացած է ոչ միատեսակ ատոմներից (կամ ատոմները գտնվում են ոչ հավասար հեռավորությունների վրա), ապա այդպիսի ցանցը կոչվի բարդ ցանց: Բարդ ցանցը առաջանում է երկու կամ մի քանի պարզ ցանցերի վերադրումից, ընդ որում, վերադրվող տարրերը ցանցերի ատոմները կարող են քիմիապես տարրեր լինել: Գծային բարդ ցանցի օրինակ կարող է ծառայել կերակրի աղի (NaCl) բյուրեղի կողերից մեկը, որը պատկերված է 2-րդ նկարում:



Նկ. 2. Կերակրի աղի գծային ցանցերից մեկը
(գծային բարդ ցանց)

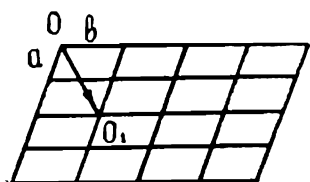
Այդ ցանցի վրա հարեան իոնների ($\text{Na}^{+} + \text{Cl}^{-}$) միջև հեռավորությունը հավասար է $2,814 \text{ \AA}$ -ի, իսկ իդենտականության պարբերությունը, այսինքն՝ համանման ատոմների միջև եղած փոքրագույն հեռավորությունը՝ $J = 5,628 \text{ \AA}$ (տե՛ս նկ. 2): Այդ գծային բարդ ցանցը առաջացել է նատրիումի ատոմներից կազմված գծային պարզ ցանցը քլորի ատոմներից կազմված գծային պարզ ցանցի վրա տեղադրելուց, ընդ որում, տեղադրումը կատարվում է այնպես, որ առաջին ցանցի հանգուցակետերը շեղված լինեն երկրորդ ցանցի հանգուցակետերից $2,814 \text{ \AA}$ -ով:

Եթե այժմ միատեսակ ատոմները դասավորենք երկու տարրեր ուղղություններով՝ և Յ տրանսլյացիաների միջոցով, ապա կստանանք 3-րդ նկարում ցույց տրված երկափանի պարզ ցանցը (կամ հարթ ցանցը), որն իրենից ներկայացնում է միևնույն հարթության վրա իրար զուգահեռ և իրարից Յ հավասար հեռավորությունների վրա դասավորված Յ տրանսլյացիաներով կառուցված գծային պարզ ցանցերի հանդությունը: Երկափանի ցանցի մեջ ցանկացած ատոմի տեղը կարելի է որոշել $\vec{p} = \vec{m} + \vec{n}$ վեկտորական հավասար-

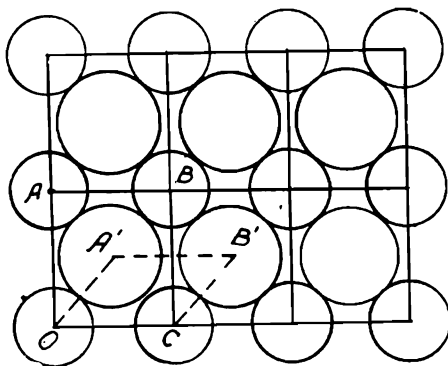
Ժան օգնությամբ, եթե տվյալ ցանցի հանգուցակետերից մեկն ընդունենք որպես սկզբնակետ: Այդտեղ ուր և ուր ընդունում են հետևյալ արժեքները:

$$m=0, \pm 1, \pm 2, \pm \dots, \quad n=0, \pm 1, \pm 2, \pm \dots:$$

Ընդհանուր դեպքում երկշափանի պարզ ցանցի էլեմենտն իրենից ներկայացնում է զուգահեռագիծ, որի գագաթներում տեղավորված են ցանցի հանգուցակետերը: Այդպիսի զուգահեռագիծը կոչվում է ցանցի բջիջ, որը կարող է լինել քառակուսի, ուղղանկյուն, շեղանկյուն: Տվյալ երկշափանի ցանցի կառուցման համար առ և տրանսլյացիաների ընտրությունը միարժեք չէ, նույն ցանցը կարելի է կառուցել ցանկացած ρ_1 և ρ_2 վեկտորներով, որոնք իրար հետ են միացնում ցանցի հանգուցակետերը: Երկշափանի ցանցը կարելի է ստանալ երկու կամ ավելի պարզ ցանցերի տեղադրումից: 4-րդ նկարում պատկերված է մի երկշափանի բարդ ցանց, որը բաղկացած է երկու երկշափանի պարզ ցանցերից, որոնցից մեկը մյուսի նկատմամբ շեղված է քառակուսու անկյունագծի ուղղությամբ, նրա $1/2$ -ի չափով:



Նկ. 3. Երկշափանի պարզ ցանց



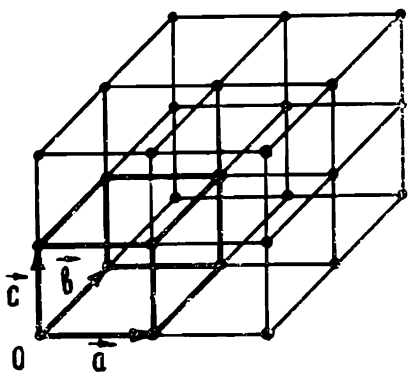
Նկ. 4. Երկշափանի բարդ ցանց

Պարզ ցանցերից յուրաքանչյուրի մեջ ատոմները դասավորված են միայն բջիջների գագաթներում, իսկ բարդ ցանցի մեջ (Նկ. 4) բջիջի ներսում նույնպես ատոմ է տեղավորված: Բարդ երկշափանի ցանցի մեջ մասնավոր դեպքում հնարավոր է ընտրել այնպիսի նոր բջիջ, որի մեջ ատոմները դասավորված լինեն միայն գագաթներում (4-րդ նկարի $OABC$ բջիջը), բայց այդ միշտ չէ, որ հնարավոր է:

Բարդ ցանցի $OABC$ բջիջը կոչվում է տարրական (ξ էլեմեն-

տար) բջիջ, իսկ $OABC$ բջիջը՝ պրիմիտիվ բջիջ (բջիջը կոչվում է պրիմիտիվ, եթե առողմաները դասավորված են միայն նրա գագաթներում, ներսում առողմաներ չկան): Սովորաբար ցանցի կառուցվածքը նկարագրելու համար ընտրում են պրիմիտիվ բջիջ, բայց բարդ ցանցերի դեպքում շատ հաճախ ընտրում են տարրական բջիջ:

Տարածական ցանց կառուցելու համար պետք է վերցնել միենույն հարթության մեջ չգտնվող երեք տրանսլյացիաներ՝ \vec{a} , \vec{b} , \vec{c} և առողմաները դասավորել այդ երեք ուղղություններով իրարից համապատասխանաբար a , b , c հեռավորությունների վրա: Այդ դեպքում կստանանք 5-րդ նկարում պատկերված տարածական ցանցը,



Նկ. 5. Տարածական պարզ ցանց

որն իրենից ներկայացնում է իդեալական բլուրենի կառուցվածքի մոդելը: Տարածական ցանցը կարելի է պատկերացնել կամ որպես երկու ուղղությամբ իրար զուգահեռ և իրարից հավասար հեռավորությունների վրա դասավորված գծալին ցանցերի հանրույթ, կամ որպես մի ուղղությամբ իրար զուգահեռ և իրարից հավասար հեռավորությունների վրա դասավորված երկչափանի ցանցերի հանրույթ:

Տարածական ցանցը կոչվում է բարդ ցանց, եթե նրա բաղադրիչ գծային ցանցերը (կամ երկչափանի ցանցերը) բարդ են: Տարածական ցանցի բարդությունը կարելի է սահմանել ն այսպես. տարածական ցանցը կոչվում է բարդ, եթե նա բաղկացած է երկու կամ ավելի պարզ ցանցերից, որոնք իրար նկատմամբ որոշ շափով շեղված են: Եթե տարածական պարզ ցանցի հանգուցակետերից մեկն ընդունենք որպես սկզբնակետ, ապա այդ ցանցի ցանկացած առողմի տեղը կարելի է որոշել հետևյալ վեկտորական հավասարմամբ՝ $\vec{P} = \vec{ma} + \vec{nb} + \vec{pc}$, որտեղ m -ը, n -ը և p -ն ընդունում են հետևյալ արժեքները.

$$m=0, \pm 1, \pm 2, \pm \dots, \quad n=0, \pm 1, \pm 2, \pm \dots, \\ p=0, \pm 1, \pm 2, \pm \dots$$

(բարդ ցանցերի վրա մի փոքր ավելի մանրամասն կանգ կառնենք. հետագայում):

Այսպիսով, մ, ո, թվերը կարելի է դիտել որպես տարածական ցանցի կետերի կողոդինատներ, որոնք դեկարտյան կոորդինատների հետ կապված են հետևյալ հավասարումներով՝ $x = pa$, $y = pb$, $z = pc$, $b^2 = a - n$, $b - n \leq c - n$ ունեն համապատասխանաբար x , y , z առանցքների ուղղությունները: \vec{a} , \vec{b} և \vec{c} վեկտորները կոչվում են ցանցի տրանսլյացիաներ, իսկ նրանց a , b և c երկարությունները՝ կոգնելիության հիմնական պարեկություններ կամ ցանցի իդենտականություններ: \vec{a} , \vec{b} և \vec{c} վեկտորների վրա ընդհանուր դեպքում կառուցվում է մի շեղանկյուն զուգահեռանիստ, որը կոչվում է ցանցի տարրական բջիջ և լրիվ բնորոշում է տվյալ տարածական ցանցը: Այդ ցանցի տարրական բջիջը կոչվում է պրիմիտիվ, եթե առողմները դասավորված են միայն այդ զուգահեռանիստի գագաթներում: Տարածական ցանցը կարելի է կառուցել, եթե տարրական բջիջները դասավորվեն կողք-կողքի, զուգահեռ ձևով: Տարածական ցանցի տարրական բջիջը ընտրությունը միարժեք չէ, այդպիսի բջիջներ կարելի է կառուցել տրանսլյացիաների անթիվ բազմությամբ տարրեր եռյակներով: Ամեն անգամ պետք է աշխատել ընտրել այնպիսի տարրական բջիջ, որն ամենառացիոնալ կերպով ներկայացնի տվյալ տարածական ցանցը: Սովորաբար տարածական ցանցի նկարագրման ռացիոնալության պահանջին բավարարում է փոքր ժամկանք և համեմատաբար բարձր կարգի համաշափություն ունեցող տարրական բջիջը:

Տարածական ցանցերն իրարից տարբերվում են տարրական բջիջի ձևով, որն ընդհանուր դեպքում միարժեք կերպով բնորոշվում է 6 պարամետրերով՝ տրանսլյացիաների a , b , c մեծություններով:

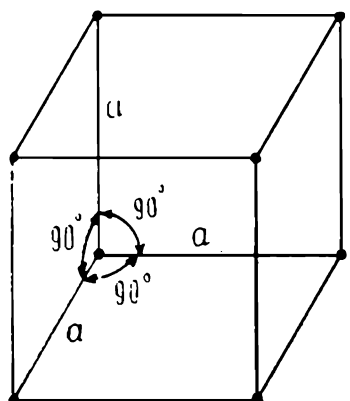
$\hat{a} = \hat{b} = \hat{c}$, $\hat{\beta} = \hat{\alpha}$, $\hat{\gamma} = \hat{a} = \hat{b}$ անկյուններով:
Հստ տարրական բջիջի ձևի տարածական պարզ ցանցերը լինում են 7 տեսակի:

1. Խորանարդային ցանց, որի բջիջը խորանարդածել է, այսինքն՝ $a = b = c$ և $\alpha = \beta = \gamma = 90^\circ$ (նկ. 6).

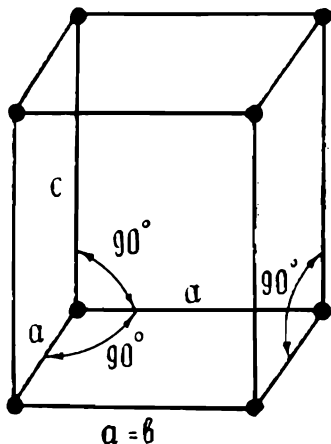
2. տետրագոնալային ցանց, որի բջիջը տետրագոնալային է, այսինքն՝ $a = b \neq c$ և $\alpha = \beta = \gamma = 90^\circ$ (նկ. 7).

3. հեքսագոնալային ցանց, որի բջիջը հեքսագոնալային է, այսինքն՝ $a = b \neq c$, $\alpha = \beta = 90^\circ$ և $\gamma = 120^\circ$ (նկ. 8).

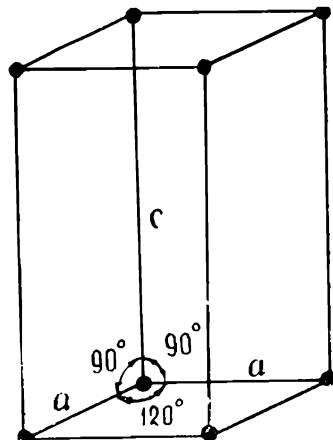
4. ռոմբոէդրիկային ցանց, որի բջիջը ռոմբոէդրիկային է, այսինքն՝ $a = b = c$ և $\alpha = \beta = \gamma \neq 90^\circ$ (նկ. 9).



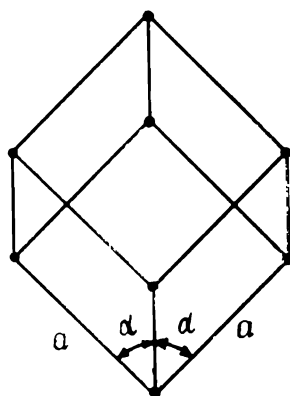
Նկ. 6. Խորանարդային բջել



Նկ. 7. Տետրագոնալային բջել



Նկ. 8. Հեքսագոնալային
բջել

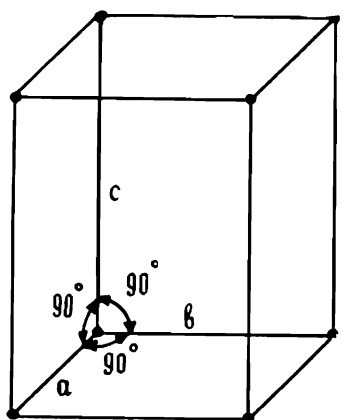


Նկ. 9. Ռոմբոէդրիկային
բջել

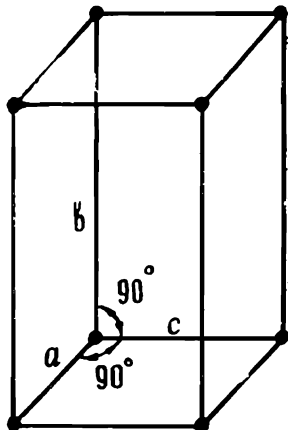
5. ռոմբիկային ցանց, որի բջիջը ռոմբիկային է, այսինքն՝
 $a \neq b \neq c$ և $\alpha = \beta = \gamma = 90^\circ$ (Նկ. 10).

6. մոնոկլինային ցանց, որի բջիջը մոնոկլինային է, այսինքն՝
 $a \neq b \neq c$, $\alpha = \gamma = 90^\circ$ և $\beta \neq 90^\circ$ (Նկ. 11).

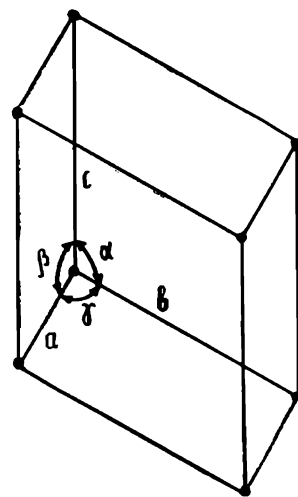
7. տրիկլինային ցանց, որի բջիջը տրիկլինային է, այսինքն՝
 $a \neq b \neq c$ և $\alpha \neq \beta \neq \gamma$ (Նկ. 12).



Նկ. 10. Ռումբիկային քղեղ



Նկ. 11. Մոնոկլինային քղեղ



Նկ. 12. Տրիկլինային քղեղ

§ 3. ԲՅՈՒՐԵՂԱԳԻՏԱԿԱՆ ՀԱՄԱԿԱՐԳԵՐ ԿԱՄ ՍԻՆԳՈՆԻԱՆԵՐ

Բյուրեղային ցանցը նկարագրելու համար անհրաժեշտ է ընտրել կոռորդինատների համակարգ: Որպես կոռորդինատական համակարգի առանցքներ կարելի է ընտրել տարածական ցանցում մի

Հարթության մեջ շգտնվող երեք տարրեր ուղղություններ: Այդպիսի առանցքներով կոորդինատական համակարգերը կոչվում են բյուրեղագիտական կոորդինատական համակարգեր: Ուրեմն, կարելի է ընտրել անթիվ բազմությամբ բյուրեղագիտական կոորդինատական համակարգեր, բայց դրանցից նրանք, որոնք համապատասխանում են տվյալ տարածական ցանցի համաշխատությանը, կոչվում են բյուրեղագիտական համակարգեր կամ սինգոնիաներ: Այսպիսով, բյուրեղային պարզ ցանցից 7 հիմնական տեսակներին համապատասխան գոյություն ունեն բյուրեղագիտական 7 համակարգեր կամ սինգոնիաներ, որոնք իրարից տարբերվում են կամ առանցքային ա, ի, և մասշտաբներով, կամ առանցքների իրար հետ կազմած ա, ի, և անկյուններով: Տարբեր բյուրեղային համակարգերը (սինգոնիաները) որոշող պարամետրերի թիվը կարելի է ներկայացնել հետևյալ աղյուսակով.

Բյուրեղային համակարգը (սինգոնիա)	Առանցքային մասշտաբներ	Առանցքների՝ իրար հետ կազմած անկյունը	Պարամետրերի թիվը	
			առանցքային մասշտաբների կոորդինատական անկյունների	կոորդինատական անկյունների
Տրիկլինային	$a = b \neq c$	$\alpha \neq \beta \neq \gamma$	3	3
Մոնոկլինային	$a \neq b \neq c$	$\alpha = \gamma = 90^\circ, \beta \neq 90^\circ$	3	1
Ֆոմբիկային	$a \neq b \neq c$	$\alpha = \beta = -\gamma = 90^\circ$	3	0
Ֆոմբոէդրիկային	$a = b = c$	$\alpha = \beta = \gamma \neq 90^\circ$	1	1
Հեքսագոնալային	$a = b \neq c$	$\alpha = \beta = \gamma = 90^\circ, \gamma = 120^\circ$	2	0
Տետրագոնալային	$a = b \neq c$	$\alpha = \beta = \gamma = 90^\circ$	2	0
Խորանրդային	$a = b = c$	$\alpha = \beta = \gamma = 90^\circ$	1	0

Պարզ է, որ տարածական ցանցի նկարագրությունը շատ կհեշտանա, եթե ամեն մի տեսակ ցանցի համար ընտրենք իրեն համապատասխան բյուրեղային համակարգ կամ սինգոնիա (տարածական ցանցի համաշխատությանը համապատասխանող կոորդինատական համակարգը): Օրինակ՝ խորանարդային ցանցի նկարագրությունը խորանարդային բյուրեղագիտական համակարգով շատ ավելի դյուրին կլինի, քան տրիկլինային բյուրեղագիտական համակարգով:

§ 4. ԲՅՈՒՐԵՂԱԳԻՏԱԿԱՆ ԿԵՏԵՐ, ՈՒՂԻՂՆԵՐ, ՀԱՐԹՈՒԹՅՈՒՆՆԵՐ ԵՎ ԳՈՏԻՆՆԵՐ

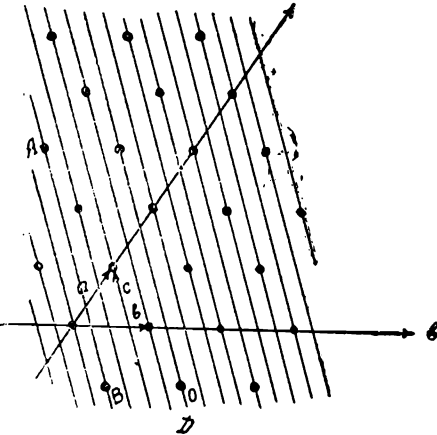
Ինչպես արդեն նշվեց, բյուրեղային տարածական ցանցի յուրաքանչյուր հանգույցի դիրքը կարելի է միարժեք կերպով որոշել ու, ո, թ կոռդինատներով, հետևյալ \vec{P} վեկտորով. $\vec{P} = \vec{a} + \vec{b} + \vec{c}$:

Եթե որպես կոռդինատական սկզբնակետ ընդունված է ցանցի հանգուցակետերից մեկը, այս դեպքում ու-ը, ու-ը և թ-ը կոռդինատներու ունեցող կետի բյուրեղագիտական կոռդինատներ, և նշելու համար, որ այդ թվերը կետի կոռդինատներն են, նրանք վերցվում են կրկնակի քառակուսի փակագծերի մեջ, այսինքն՝ տարածական ցանցի ու, ո, թ կոռդինատներով կետը նշանակվում է այսպես՝ [տոր], որը բյուրեղագիտական կետի սիմվոլն է: Ինչպես արդեն նշվեց, տարածական ցանցը կարելի է ներկայացնել որպես հանգուցային կամ բյուրեղագիտական զուգահեռ ուղղիղների հանրույթ: Ուղղիղների ընտանիքը կարելի է նկարագրել իր ուղղիղներից մեկով, որն անցնում է սկզբնակետով: Քանի որ ուղղի դիրքը միարժեք կերպով որոշվում է նրա որևէ երկու կետերով, ուստի ուղղի դիրքը տարածության մեջ որոշելու համար բավական է գիտենալ նրա որևէ երկու կետերի կոռդինատները: Բյուրեղագիտական ուղղիղների ընտանիքը բնորոշելու համար նպատակահարմար է ընտրել այդ ընտանիքի ուղղիղներից այն, որն անցնում է սկզբնակետով: Սկզբնակետով անցնող ուղղի կետերից մեկը կլինի հենց սկզբնակետը, որի կոռդինատներն են [000], իսկ որպես երկրորդ կետ կարելի է ընտրել այդ ուղղի այն հանգուցային կետը, որը սկզբնակետից փոքրագույն հեռավորության վրա է: Քանի որ սկզբնակետի կոռդինատները միշտ հայտնի են, ուղղի դիրքի որոշելը հանգում է նրա կետերից մեկի (սկզբնակետի հետ չհամընկնող) կոռդինատները որոշելուն: Այսպիսով, սկզբնակետով անցնող բյուրեղագիտական ուղղի դիրքը լրիվ որոշված կլինի, եթե տրվեն սկզբնակետից փոքրագույն հեռավորության վրա գտնվող տվյալ ուղղության հանգուցակետի կոռդինատները: Այդ կետի կոռդինատները համարվում են սկզբնակետով և այդ կետով անցնող ուղղի կոռդինատները և, ի տարբերություն կետի կոռդինատների, ուղղի կոռդինատները վերցվում են քառակուսի միապատճիկ փակագծերի մեջ [տոր], որը կոչվում է բյուրեղագիտական ուղղի սիմվոլ:

Բյուրեղագիտական կամ հանգուցային կոչվում է այն հարթությունը, որն անցնում է բյուրեղի տարածական ցանցի հանգուցներով: Ինչպես արդեն նշվեց, բյուրեղը կարելի է ներկայացնել

Քրար զուգահեռ և իրարից հավասար հեռավորության վրա գտնվող բյուրեղագիտական հարթությունների ընտանիքով: Պարզ է, որ բյուրեղը բյուրեղագիտական հարթությունների ընտանիքով կարելի է ներկայացնել բազմաթիվ եղանակներով: Այդ հարթությունների յուրաքանչյուր ընտանիք լրիվ կընորոշվի, եթե տրվի նրա հարթություններից մեկի դիրքը՝ ընտրված կոորդինատական առանցքների նկատմամբ: Հետևապես, հարթությունների տվյալ ընտանիքը կորոշվի նաև այն դեպքում, եթե տրվի այդ ընտանիքի այն հարթության դիրքը, որը սկզբնակետից գտնվում է ամենափոքր հեռավորության վրա: Այս դեպքում այդ հարթության հեռավորությունը սկզբնակետից հավասար կլինի տվյալ ընտանիքի միջհարթությունային հեռավորությանը: Թող սկզբնակետին ամենամոտ այդ հարթությունը կոորդինատական առանցքներից հատի հետևյալ հատվածները՝ $\frac{a}{h}, \frac{b}{k}, \frac{c}{l}$.

և կոչվում են միլերյան ինդեքսներ: Դժվար չէ համոզվել, որ այդ h, k, l թվերը ամբողջ թվեր են: Այսպես, օրինակ, դիտենք սկզբնակետով անցնող AB հարթությունը (նկ. 13) և մի այլ CD հարթություն, որը AB -ի նկատմամբ տեղաշարժված

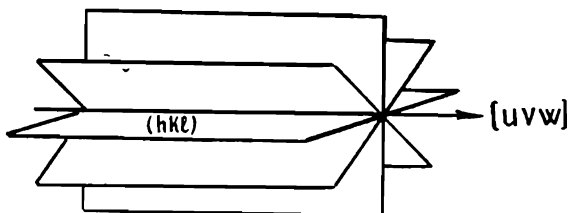


Նկ. 13. Բյուրեղագիտական հարթությունների (230) ընտանիքը

է ձևով: Այդ երկու հարթությունների միջև կլինեն նաև այլ հարթություններ, սակայն դրանք պետք է գտնվեն իրարից հավասար հեռավորության վրա, հետևապես իդենտականության ա պարբերությունը հանգուցային հարթություններով բաժանվում է ի հավասար մասերի: Այդպիսի դատողությունները կարելի է անել նաև իդենտականության մյուս պարբերությունների նկատմամբ: Ընդունված է հարթության միլերյան ինդեքսները վերցնել կլոր փակագծերի մեջ և (hkl) -ը անվանել հարթության սիմվոլ: Եթե, օրինակ, մի հարթություն կոորդինատական x, y, z առանցքներից համապատասխանաբար հատում է $a/2, b/3$ և $c/6$ հատվածներ, ապա նրա սիմվոլը կլինի (236): Այլ կերպ ասած՝ հարթության միլերյան ինդեքսները գտնելու համար

պետք է կոռորդինատական առանցքներից այդ հարթության կտրած հատվածները շափել համապատասխան ա, բ և ս միավորներով և վերցնել ստացված թվերի հակադարձ մեծությունները: Եթե հարթությունը որևէ կոռորդինատական առանցքից հատում է բացասական հատված, ապա համապատասխան ինդեքսը կլինի բացասական, որը նշվում է ինդեքսի վերևից: Օրինակ, եթե հարթությունը հատում է ա, $-b/2$, $c/3$ հատվածներ, ապա նրա ինդեքսները կլինեն (123): Եթե հարթությունը զուգահեռ է կոռորդինատական առանցքներից մեկին (նրանից հատում է անսահման մեծ հատված), ապա նրա համապատասխան ինդեքսը կլինի 0:

13-րդ նկարում ցույց տրված հարթությունները չ, յ և շ առանցքներից հատում են $a/2$, $b/3$ և $c/2$ հատվածները (հարթությունները զուգահեռ են շ առանցքին), ուրեմն այդ ընտանիքի ինդեքսները կլինեն (230): Միևնույն ուղղով անցնող բյուրեղագիտական հարթությունների հանրույթը կոչվում է բյուրեղագիտական գոտի: Գոտին լրիվ որոշվում է, եթե հայտնի են նրա առանցքի [uvw] ինդեքսները (այն ուղիղը, որով անցնում են գոտու բոլոր հարթությունները, կոչվում է գոտու առանցք, տե՛ս նկ. 14):



Նկ. 14. Բյուրեղագիտական գոտի

Գոտնենք (hkl) հարթության $[uvw]$ գոտուն պատկանելության պայմանը, այսինքն՝ պարզենք, թե (hkl) և $[uvw]$ ինդեքսները ի՞նչ պայմանի պետք է բավարարեն, որ $[uvw]$ ուղիղը լինի զուգահեռ (hkl) հարթությանը: Վերլուծական երկրաշափությունից հայտնի է, որ եթե հարթությունը կոռորդինատական առանցքներից հատում է A, B և C հատվածներ, ապա նրա հավասարումը կլինի $\frac{x}{A} + \frac{y}{B} + \frac{z}{C} = 1$, իսկ այդ հարթությանը զուգահեռ հարթությունը, որն անցնում է սկզբնակետով, կունենա հետևյալ հավասարումը.

$$\frac{x}{A} + \frac{y}{B} + \frac{z}{C} = 0: \quad (1.1)$$

Եթե ի նկատի ունենանք, որ $A = \frac{a}{h}$, $B = \frac{b}{k}$, $C = \frac{c}{l}$ և $x = pa$, $y = pb$, $z = pc$, ապա (1)-ը կարելի է ներկայացնել հետևյալ ձևով՝
 $mh + nk + pl = 0$: (1.2)

Եթե գոտու առանցքը տանենք կոորդինատական սկզբնակետով, ապա այդ գոտում պատկանող բոլոր հարթություններն էլ կանցնեն սկզբնակետով և նրանց հավասարումը կգրվի (1.1) տեսքով: Որպեսզի [սՎՎ] ուղղիլը իր բոլոր կետերով գտնվի այդ հարթության վրա, անհրաժեշտ է, որ այդ ուղղի գոնե երկու կետը գտնվի հարթության վրա: Իսկ քանի որ և այդ հարթությունը, և այդ ուղղիլը անցնում են սկզբնակետով, ապա բավական է, որ այդ ուղղի դարձյալ մի կետ գտնվի տվյալ հարթության վրա: Թող այդ կետը կոորդինատական սկզբնակետից հաշված լինի ուղղի առաջին հանգուցային [[սՎՎ]] կետը: Եթե այդպես է, ապա այդ կետի կոորդինատները պետք է բավարարեն հարթության (1.1) հավասարմանը, այսինքն՝

$$hu + kv + lw = 0: \quad (1.3)$$

(1.3)-ը [սՎՎ] ուղղի` (hkl) հարթության վրա գտնվելու պայմանը կամ գոտու հավասարումն է:

Խնդիր 1.—Գտնել այն հարթության (hkl) ինդեքսները, որը պատկանում է միաժամանակ $[u_1v_1w_1]$ և $[u_2v_2w_2]$ գոտիներին:

Պատասխան. —

$$h : k : l = (v_1w_2 - v_2w_1) : (w_1u_2 - w_2u_1) : (u_1v_2 - u_2v_1):$$

Խնդիր 2.—Օգտվելով գոտու հավասարումից՝ գտնել ($h_1k_1l_1$) և ($h_2k_2l_2$) հարթությունների հատման ուղղի [սՎՎ] ինդեքսները:

Պատասխան. —

$$u : v : w = (k_1l_2 - k_2l_1) : (l_1h_2 - l_2h_1) : (h_1k_2 - h_2k_1):$$

§ 5. ԲՅՈՒՐԵԼԱԳԻՏԱԿԱՆ ՄԻ ՔԱՆԻ ԲԱՆԱԳԵՎԵՐ

ա) Իդենտականության պարբերությունը.

Ինչպես արդեն նշել ենք, բյուրեղագիտական ուղղի [տոր] սիմվոլն իրենից ներկայացնում է այդ ուղղի վրա սկզբնակետին ամենամոտ գտնվող հանգույցի կոորդինատները, իսկ քանի որ $\vec{R} = \vec{ma} + \vec{nb} + \vec{pc}$ վեկտորը սկզբնակետն այդ կետի հանգույցի հետ միացնող վեկտորն է, ուստի վերջինիս բացարձակ մեծությունը կհամընկնի իդենտականության J պարբերությանը: Ուրեմն, [տոր]

ինդեքսներ ունեցող ուղղի վրա իդենտականության պարբերությունը ընդհանուր դեպքում (տրիկլինային սինգոնիայի դեպքում) կորոշվի հետևյալ հավասարումից.

$$J^2 = |R|^2 = m^2a^2 + n^2b^2 + p^2c^2 + 2mpab \cos\gamma + \\ + 2mpac \cos\beta + 2pb \cos\alpha: \quad (1.4)$$

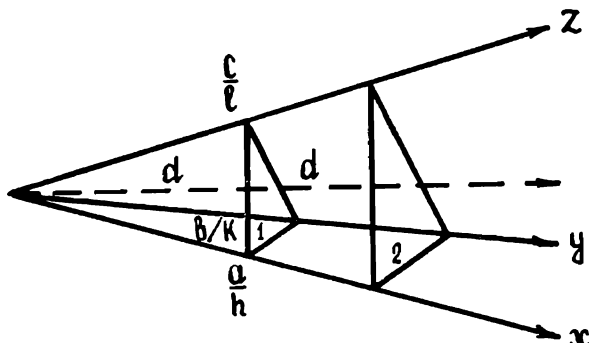
Մոնոկլինային սինգոնիայի դեպքում (1.4) բանաձևը կընդունի հետևյալ տեսքը՝ $J^2 = m^2a^2 + n^2b^2 + p^2c^2 + 2mpac \cos\beta$, իսկ հեքսագոնալային սինգոնիայի դեպքում՝

$$J = \sqrt{m^2 - mn + n^2 + p^2 \left(\frac{c}{a} \right)^2}$$

(1.4) բանաձևն ամենապարզ տեսքն ընդունում է խորանարդային սինգոնիայի դեպքում, այն է՝ $J = a \sqrt{m^2 + n^2 + p^2}$:

բ) Միջնարժությունային հեռավորությունը

Միջնարժությունային գ_{hkl} հեռավորությունը կոչվում է հարթությունների (hkl) համակարգի երկու հարկան հարթությունների միջև եղած հեռավորությունը։ Միջնարժությունային գ_{hkl} հեռավորությունը h, k, l միջերյան ինդեքսների և a, b, c տրանսլյացիա-



նկ. 15

ների միջոցով կարելի է արտահայտել հետևյալ կերպ։ Եթե տանենք սկզբնակետին ամենամոտ գտնվող (hkl) հարթությունը (նկ. 15), որն, ինչպես նշել ենք, x, y, z առանցքներից համապատասխանաբար հատում է $\frac{a}{h}, \frac{b}{k}, \frac{c}{l}$ հատվածներ, ապա այդ հարթության սկզբնակետից ունեցած d հեռավորությունը կհամընկնի հարթու-

թյունների (hkl) համակարգի հարթությունային d_{hkl} հեռավորությանը:

Կոռորդինատական առանցքների հետ ձ-ի կազմած α , β , γ անկյունները որոշվում են հետևյալ կերպ (նկ. 15).

$$\cos\alpha = \frac{d}{a/h}, \quad \cos\beta = \frac{d}{b/k}, \quad \cos\gamma = \frac{d}{c/l},$$

Ճյուս կողմից, քանի որ կոռորդինատների տղղանկյուն համակարգի դեպքում $\cos^2\alpha + \cos^2\beta + \cos^2\gamma = 1$, ուստի սոմբիկային համակարգի համար կստանանք՝

$$\frac{1}{d^2} = \frac{1}{d_{hkl}^2} = \left(\frac{h}{a}\right)^2 + \left(\frac{k}{b}\right)^2 + \left(\frac{l}{c}\right)^2 \quad (1.5)$$

Ստացված համապարփան աջ մասում գտնվող արտահայտությունը կոչվում է սոմբիկային ցանցի քառակուսային ձև:

Ըստ սոմբիկային ցանցի քառակուսային ձևից կստանանք տեսրագոնալային ցանցի քառակուսային ձևը, եթե (1.5)-ի մեջ տեղադրենք $a=b$:

$$\frac{1}{d_{hkl}^2} = \frac{h^2+k^2}{a^2} + \frac{l^2}{c^2} \quad (1.6)$$

և համապատասխանաբար խորանարդային ցանցի քառակուսային ձևը, եթե (1.5)-ի մեջ տեղադրենք $a=b=c$:

$$\frac{1}{d_{hkl}^2} = \frac{h^2+k^2+l^2}{a^2} \quad (1.7)$$

Հնդհանուր դեպքում տրիկլինային ցանցի համար քառակուսային ձևն ունի հետևյալ տեսքը.

$$\frac{1}{d_{hkl}^2} = \frac{1}{v^2} (S_{11}h^2 + S_{22}k^2 + S_{33}l^2 + 2S_{12}hk + 2S_{23}kl + 2S_{13}hl), \quad (1.8)$$

որտեղ v -ն տարրական բջիջի ծավալն է (տե՛ս (1.15) բանաձևը), h և k S_{11} -ը, S_{22} -ը և l այլն որոշվում են հետևյալ կերպ.

$$S_{11}=b^2c^2\sin^2\alpha, \quad S_{12}=abc^2(\cos\alpha\cos\beta-\cos\gamma),$$

$$S_{22}=a^2c^2\sin^2\beta, \quad S_{23}=a^2bc(\cos\beta\cos\gamma-\cos\alpha),$$

$$S_{33}=a^2b^2\sin^2\gamma, \quad S_{13}=ab^2c(\cos\gamma\cos\alpha-\cos\beta):$$

Քառակուսային (1.8) լնդհանուր ձևից կարելի է ստանալ բոլոր մասնավոր ձևերը: Մոնոկլինային ցանցի համար.

$$\frac{1}{d_{hkl}^2} = \frac{h^2}{a^2\sin^2\beta} + \frac{k^2}{b^2} + \frac{l^2}{c^2\sin^2\beta} - \frac{2hlc\cos\beta}{ac\sin^2\beta}: \quad (1.9)$$

Հեքսագոնալային ցանցի համար.

$$\frac{1}{d_{hkl}^2} = \frac{4}{3} \cdot \frac{h^2 + hk + k^2}{a^2} + \frac{l^2}{c^2}: \quad (1.10)$$

Ոռոմբուծորիկային ցանցի համար.

$$\frac{1}{d_{hkl}^2} = \frac{(h^2 + k^2 + l^2) \sin^2 \alpha + 2(hl + kl + hk) (\cos^2 \alpha - \cos \alpha)}{a^2(1 - 3\cos^2 \alpha + 2\cos^3 \alpha)}: \quad (1.11)$$

զ) Երկուլուղիղների կազմած անկյունը գտնելու համար որոշենք սովորական ուղղի ուղղորդ կոսինուսները: Եթե տվյալ [m, n, p] ուղղորդ x, y, z կոորդինատական առանցքների հետ կազմում է համապատասխանաբար α, β և γ անկյուններ, ապա այդ ուղղի ուղղորդ կոսինուսները խորանարդային բյուրեղի դեպքում կլինեն.

$$\begin{aligned} \cos \alpha &= \frac{m}{\sqrt{m^2 + n^2 + p^2}}, \quad \cos \beta = \frac{n}{\sqrt{m^2 + n^2 + p^2}}, \\ \cos \gamma &= \frac{p}{\sqrt{m^2 + n^2 + p^2}}: \end{aligned} \quad (1.12)$$

Մյուս կողմից, կարելի է ցույց տալ, որ խորանարդային համակարգում (hkl) ինդեքսներով հարթության նորմալի ինդեքսները համընկնում են այդ միջերյան ինդեքսներին, այսինքն՝ (hkl) հարթության նորմալը կլինի [hkl] ուղղված: Երոք, համաձայն (1.12)-ի խորանարդային բյուրեղի դեպքում [hkl] ուղղի ուղղորդ կոսինուսները կլինեն

$$\begin{aligned} \cos \alpha &= \frac{h}{\sqrt{h^2 + k^2 + l^2}}, \quad \cos \beta = \frac{k}{\sqrt{h^2 + k^2 + l^2}}, \\ \cos \gamma &= \frac{l}{\sqrt{h^2 + k^2 + l^2}}, \end{aligned} \quad (1.13)$$

Իսկ (hkl) հարթության նորմալի ուղղորդ կոսինուսները կարելի է որոշել հետևյալ կերպ: Սկզբնակետից իշեցնենք ուղղահայաց (hkl) հարթությանը: Այդ ուղղահայացի ուղղորդ կոսինուսները կլինեն

$$\cos \alpha_1 = \frac{D}{a/h}, \quad \cos \beta_1 = \frac{D}{b/k}, \quad \cos \gamma_1 = \frac{D}{c/l}, \quad (1.14)$$

որտեղ D -ն ուղղահայացի երկարությունն է, իսկ $\frac{a}{h}, \frac{b}{k}, \frac{c}{l}$ -ը սկզբնակետին ամենամոտ գտնվող հարթության x, y, z առանցքներից կտրած հատվածներն են: Քանի որ մենք վերցրել ենք սկզբնակետին ամենամոտ գտնվող հարթությունը, ուրեմն D -ն հարթությունների տվյալ միջհարթությունային հեռավորությունն է, որը խորանարդային համակարգի դեպքում, համաձայն (1.7)-ի, կարտահայտվի այսպես:

$$d_{hkl} = D = \frac{a}{\sqrt{h^2 + k^2 + l^2}}:$$

Ի նկատի ունենալով այս վերջինը, (1.14)-ը կարող ենք գրել հետեւյալ կերպ.

$$\cos \alpha_1 = \frac{h}{\sqrt{h^2 + k^2 + l^2}}, \quad \cos \beta_1 = \frac{k}{\sqrt{h^2 + k^2 + l^2}},$$

$$\cos \gamma_1 = \frac{l}{\sqrt{h^2 + k^2 + l^2}}:$$

Ստացվեց, որ $[hkl]$ ուղղի $\angle(hkl)$ հարթության նորմալի ուղղորդ կոսինուսները խորանարդային համակարգի դեպքում նույնն են, այսինքն՝ այն, ինչ որ ցանկանում էինք ապացուցել:

Ընդհանուր դեպքում, եթե ունենք երկու ուղիղներ, որոնց ուղղությունները բնորոշվում են \vec{P}_1 և \vec{P}_2 վեկտորներով, ապա նրանց կազմած նկատմամբ կորոշվի հետեւյալ կերպ.

$$\cos Y = \frac{(\vec{p}_1 \cdot \vec{p}_2)}{\vec{p}_1 \cdot \vec{p}_2}:$$

Եթե այդ ուղիղները x, y և z առանցքների հետ կազմում են համապատասխանաբար $\alpha_1, \beta_1, \gamma_1$ և $\alpha_2, \beta_2, \gamma_2$ անկյուններ, ապա խորանարդային սինգոնիայի դեպքում, համաձայն վերլուծական երկրաչափության հայտնի առնչությունների կունենա սեղման առանձնահատկությունները՝ $\cos Y = \cos \alpha_1 \cos \alpha_2 + \cos \beta_1 \cos \beta_2 + \cos \gamma_1 \cos \gamma_2$, որը, ի նկատի ունենալով (1.13)-ը, կարող ենք գրել նաև հետեւյալ կերպ.

$$\cos Y = \frac{h_1 h_2 + k_1 k_2 + l_1 l_2}{\sqrt{h_1^2 + k_1^2 + l_1^2} \cdot \sqrt{h_2^2 + k_2^2 + l_2^2}}:$$

Ա) Էլեմենտար բջջի ծավալը

\vec{a}, \vec{b} և \vec{c} տրանսլյացիաների վրա կառուցված տարրական բջջի ծավալը՝ $V = (\vec{a}[\vec{b} \vec{c}])$,

$$V^2 = [\vec{a}[\vec{b}\vec{c}]]^2 = \vec{a}^2[\vec{b}\vec{c}]^2 - [\vec{a}[\vec{b}\vec{c}]],$$

որից, սրոշ ձևափոխություններից հետո, կստանանք.

$$V^2 = a^2 b^2 c^2 - a^2 (\vec{b}\vec{c})^2 - b^2 (\vec{c}\vec{a})^2 - c^2 (\vec{a}\vec{b})^2 + 2(\vec{a}\vec{b})(\vec{b}\vec{c})(\vec{c}\vec{a}):$$

ԱԵՐՁԻՆԻՑ ՄՐԻԿԼԻՆԱԼԻՆ ԲԶՁԻ ՀԱՄԱՐ ԿՍՏԱՆԱՆՔ

$$V = abc \sqrt{1 - \cos^2 \alpha - \cos^2 \beta - \cos^2 \gamma + 2 \cos \alpha \cos \beta \cos \gamma}: \quad (1.15)$$

Օգտվելով (1.15) ընդհանուր բանաձևից՝ կարող ենք ստանալ մնացած ցանցերի տարրական բջիջների ծավալները. ուսմբոէդրիկային համակարգի համար կստանանք.

$$V = a^3 \sqrt{1 - 3 \cos^2 \alpha + 2 \cos^3 \alpha}, \quad (1.16)$$

ՃՈՆՈԿԼԻՆԱԼԱՅԻՆ ՀԱՄԱԿԱՐԳԻ ՀԱՄԱՐ՝

$$V = abc \sin \beta, \quad (1.17)$$

ՀԵՔՍԱՔՈՆԱԼԱՅԻՆ ՀԱՄԱԿԱՐԳԻ ՀԱՄԱՐ՝

$$V = \frac{a^2 c \sqrt{3}}{2}, \quad (1.18)$$

ԱՄԲՈՒՋԻԿԱՅԻՆ ՀԱՄԱԿԱՐԳԻ ՀԱՄԱՐ՝

$$V = abc, \quad (1.19)$$

ՄԵՏՐԱԳՈՆԱԼԱՅԻՆ ՀԱՄԱԿԱՐԳԻ ՀԱՄԱՐ՝

$$V = a^2 b, \quad (1.20)$$

ԽՈՐԱՆԱՐԴԱՅԻՆ ՀԱՄԱԿԱՐԳԻ ՀԱՄԱՐ՝

$$V = a^3: \quad (1.21)$$

§ 6. ԲՅՈՒՐԵՂԱԳԻՏԱԿԱՆ ՊՐՈՅԵԿՑԻԱՆԵՐ

Երկրաշափական բյուրեղագիտության մեջ շատ հարմար է բյուրեղագիտական հարթությունները և ուղիղները պատկերել գրաֆիկորեն՝ իրենց պրոյեկցիաների միջոցով: Երկրաշափական բյուրեղագիտության մեջ ընդունված է բյուրեղը փոխարինել մի կետով անցնող հարթությունների և ուղիղների հանրույթով: Հարթությունների և ուղիղների այդպիսի հանրույթը կոչվում է բյուրեղային կոմպլեքս: Պյոյեկտման ժամանակ իրական բյուրեղը փոխարինվում է բյուրեղային կոմպլեքսով: Բյուրեղային կոմպլեքս կառուցելու համար ընտրվում է տարածության որևէ կամավոր կետ,

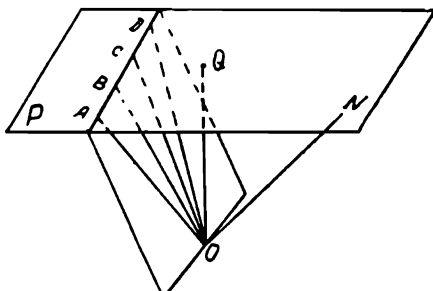
որպես կոմպլեքսի կենտրոն, և նրանով տարգում են հարթություններ և ուղիղներ՝ զուգահեռ բյուրեղի նիստերին ու կողերին: Այսպիսով ստացվում է հարթությունների և ուղիղների փունջ, որը տալիս է բյուրեղի ներքին կառուցվածքի պատկերը:

Բյուրեղային կոմպլեքսները լինում են երկու տեսակի՝ ուղիղ և բևեռային: Բյուրեղային կոմպլեքսը կոչվում է ուղիղ, եթե կոմպլեքսի կենտրոնով տարգած հարթությունները և ուղիղները զուգահեռ են բյուրեղագիտական հարթություններին և ուղիղներին: Բյուրեղային կոմպլեքսը կոչվում է բևեռային, եթե կոմպլեքսի կենտրոնով տարգած ուղիղները ուղղահայաց են բյուրեղի բյուրեղագիտական ուղիղներին: Այսինքն՝ բևեռային կոմպլեքսի դեպքում բյուրեղային հարթությունները փոխարինվում են ուղիղներով, իսկ ուղիղները՝ հարթություններով:

Բյուրեղային կոմպլեքսը պրոյեկտելու համար գործ էն: ածվում գծային և սֆերիկ պրոյեկցիաներ:

ա) Գծային պրոյեկցիաներ

Բյուրեղային կոմպլեքսի գծային պրոյեկցիան ստանալու համար նրա կենտրոնը տեղավորում են մի որևէ O կետում (նկ. 16) և նրանից մի ինչ-որ D հեռավորության վրա ($OQ=D$) տանում են պրոյեկցիաների P հարթությունը: Բյուրեղային կոմպլեքսի որևէ հարթության գծային պրոյեկցիան կարող է լինել հարթության վրա կլինի այդ երկու հարթությունների հատման ուղիղը, իսկ կոմպլեքսի որևէ ուղղի պրոյեկցիաների P հարթության վրա կլինի այդ հարթության և ուղղի հատման կետը: Այսպես, օրինակ՝ կոմպլեքսի OAD հարթության գծային պրոյեկցիանը կարող է լինել վրա կլինի AD ուղիղը, իսկ կոմպլեքսի ON ուղղի պրոյեկցիանը՝ N կետը: Այսպիսով, պրոյեկտելու հետևանքով եռշափանիք բյուրեղային կոմպլեքսի փոխարեն հարթության վրա կռւնենանք ուղիղներ և կետեր, որոնք միարժեք կերպով համապատասխանում են բյուրեղի նիստերին ու կողերին: Այսպիսով, իմանալով պրոյեկ-



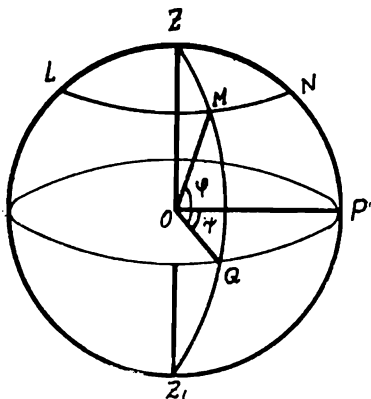
Նկ. 16. Բյուրեղային կոմպլեքսի պրոյեկցիան հարթության վրա

յիան՝ N կետը: Այսպիսով, պրոյեկտելու հետևանքով եռշափանիք բյուրեղային կոմպլեքսի փոխարեն հարթության վրա կռւնենանք ուղիղներ և կետեր, որոնք միարժեք կերպով համապատասխանում են բյուրեղի նիստերին ու կողերին: Այսպիսով, իմանալով պրոյեկ-

ցիաների թարթության վրա կոմպլեքսի պրոյեկցիաները և նրա կենտրոնի դիրքը, միարժեք կերպով կարող ենք որոշել բյուրեղի նիստերի ու կողերի դիրքը: Եթե պրոյեկտելու համար վերցված է բյուրեղի բևեռային կոմպլեքսը, ապա այդպիսի գծային պրոյեկցիան կը վկայի գծային գնոմոնիկ: Այդ գեպքում պրոյեկցիաների հարթության վրա բյուրեղի հարթություններին կհամապատասխանեն կետեր, իսկ ուղղղներին՝ ուղղներ: Ունտգենաստրուկտուրային անալիզի մեջ ամենագործածականը գծային-գնոմոնիկ պրոյեկցիաներն են, որոնց գեպքում միևնույն գոտուն պատկանող հարթությունների պրոյեկցիաները ներկայացնող կետերը կգտնվեն մի ուղղի վրա: Իրոք, միևնույն գոտուն պատկանող բոլոր հարթությունների նորմալները ուղղահայաց են գոտու առանցքին և, հետևաբար, գտնվում են միևնույն հարթության մեջ, իսկ քանի որ հարթությունը հարթության հետ հատվում է ուղղով, ուստի այդ նորմալների և պրոյեկցիաների հարթության հատման կետերը կգտնվեն մի ուղղի վրա: Օգտվելով պրոյեկցիաների այդ հարթություններից, մի կողմից՝ հեշտությամբ կարելի է գտնել միևնույն գոտում պատկանող հարթությունները, իսկ մյուս կողմից՝ կարելի է ստուգել պրոյեկցիաների կառուցման ճշտությունը:

Բ) Սֆերիկ պրոյեկցիաներ

Գծային պրոյեկցիաներից օգտվելն անհարմար է այն տեսակերպություն, որ կոմպլեքսի բոլոր հարթությունների և ուղղների պրոյեկցիաները ստանալու համար հարկավոր է վերցնել պրոյեկցիաների անսահման մեծ թարթություն, այդ պատճառով իրականում գծագրերի վրա պատկերվում է միայն կոմպլեքսի մի մասը: Այդ անհարմարությունը կարելի է շրջանցել, եթե օգտվենք սֆերիկ պրոյեկցիաներից: Սֆերիկ պրոյեկցիաները կառուցում են հետեւյալ կերպ: Բյուրեղային կոմպլեքսի կենտրոնն ընդունելով որպես կենտրոն, գծում են թափական գնումունքը պրոյեկցիաների սֆերան (նկ. 17): Այնուհետև տառում են ուղղաձիգ ZZ_1 տրամագիծը, որը կոչվում է պրոյեկցիաների առանցք:



Նկ. 17. Սֆերիկ պրոյեկցիաների կառուցումը

Հ-ը կոչվում է Հյուսիսային բևեռ (զենիթ), իսկ Հ1-ը՝ հարավային բևեռ (նազիր): Պրոյեկցիաների շրջանը՝ ZPZ₁ միջօրեականը, այսինքն՝ բևեռներով անցնող մեծ կիսաշրջանագիծը, համարվում է սկզբնական միջօրեական: Կոմպլեքսի որևէ ուղղի սֆերիկ պրոյեկցիան այդ ուղղի և պրոյեկցիաների սֆերայի հատման կետն է, իսկ կոմպլեքսի հարթության սֆերիկ պրոյեկցիան այդ հարթության և սֆերայի հատման կորն է, որը, քանի որ պրոյեկտվող հարթությունն անցնում է սֆերայի կենտրոնով, կլինի հենց այդ սֆերայի մեծ շրջանագծերից մեկը: Օրինակ՝ OM ուղղի սֆերիկ պրոյեկցիան կլինի սֆերայի M կետը, որի դիրքը միարժեք կերպով որոշվում է Փ և Վ սֆերիկ կոռորդինատներով: Փ-ն կոչվում է լայնություն, իսկ Վ-ն՝ երկարություն: Երկարությունը գտնելու համար M կետով տանենք ZMQZ₁ միջօրեականը (նկ. 17) և Վ անկյունը հաշվենք ըսկզբնական միջօրեականից մինչև այդ միջօրեականը ժամացույցի ալաքի ուղղությամբ՝ զենիթից դիտելիս, հենց այն էլ կլինի M կետի երկարությունը: M կետի լայնությունը կոչվում է այդ կետի շառավիղ-վեկտորի և հասարակածային հարթության միջև կազմված MOQ անկյունը: Հյուսիսային RZP կիսասֆերայի կետերի համար լայնությունները համարվում են դրական, իսկ հարավային RZ₁P կիսասֆերայի կետերի լայնությունները՝ բացասական: Այսպիսով, սֆերիկ պրոյեկցիաների դեպքում սֆերային սահմանափակ մակերևույթի վրա պրոյեկտվում են բյուրեղային կոմպլեքսի բոլոր կետերը:

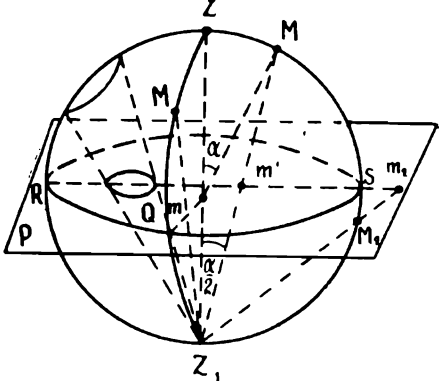
գ) Ստերեոգրաֆիական պրոյեկցիաներ

Սֆերիկ պրոյեկցիաներն ունեն մի թերություն: Դա այն է, որ բյուրեղային կոմպլեքսի էլեմենտները պրոյեկտվում են ոչ թե հարթության վրա, այլ՝ սֆերիկ մակերևույթի վրա, որի պատճառով աշխատելն այնքան էլ հարմար չի լինում: Այդ նկատառումից ելնելով ռենտգենաստրուկտորային անալիզի մեջ ընդունված է բյուրեղային կոմպլեքսի տարրերի սֆերիկ պրոյեկցիաները պրոյեկտել հասարակածային հարթության վրա: Այդպիսի պրոյեկցիաներն ունենալով սֆերիկ պրոյեկցիաների բոլոր առավելությունները, սֆերիկ պրոյեկցիաների նկատմամբ էլ ունեն այն առավելությունը, որ վերջնական պրոյեկցիաներն ստացվում են հարթության վրա: Այդպիսի պրոյեկցիաները կոչվում են ստերեոգրաֆիական: Ստերեոգրաֆիական պրոյեկցիաներն ստացվում են սֆերիկ պրոյեկցիաներից, հետեւալ կերպ (նկ. 18): Սֆերայի M կետի ստերեոգրաֆիական պրոյեկցիան գտնելու համար պետք է մի ձառագայ-

թով **M** կետը միացնել **Z₁** կետին (**Z₁** կետն այդ դեպքում կոչվում է դիտման կետ): Այդ **MZ₁** ճառագայթի և պրոյեկցիաների հարթության (հորիզոնական հարթության) հատման ու կետը կլինի **M** կետի ստերեոգրաֆիական պրոյեկցիան: Հասարակածային շրջանի ըստերեոգրաֆիական պրոյեկցիան կհամընկնի այդ շրջանագծին: Այսպիսով, հյուսիսային կիսասֆերայի բոլոր կետերը հարավային բևեռից (պրոյեկտման կենտրոն կամ դիտման կետ) կպրոյեկտվեն հասարակածային հարթության վրա՝ հասարակածային շրջանի վրա: Հարավային կիսասֆերայի կետերը պրոյեկտվում են հասարակածային շրջանի վրա հյուսիսային բևեռից: Այս եղանակով բյուրեղային կոմպլեքսը պրոյեկցիաներով լրիվ արտահայտելու համար անհրաժեշտ է կառուցել երկու պրոյեկցիա՝ մեկը հյուսիսային կիսասփերայի, մյուսը՝ հարավային կիսասփերայի համար: Սակայն կարելի է երկու կիսասփերաների համար միայն մի պրոյեկցիա կառուցել, այսինքն՝ թե՛ հյուսիսային, թե՛ հարավային կիսասփերաների կետերը պրոյեկտել միևնույն հասարակածային շրջանի վրա: Եթե պայմանավորվենք հյուսիսային կիսասփերայի կետերի պրոյեկցիաները նշանակել փոքրիկ օղակներով, խսկ հարավային կիսասփերայի կետերի պրոյեկցիաները՝ փոքրիկ խաչերով, ապա սփերայի կետերը համապատասխան դիտման կետերից նշված ձևով պրոյեկտելով՝ հասարակածային հարթության վրա կստանանք օղակներ ու խաչեր, որոնք միարժեք կերպով կարտապատկերեն սփերայի բոլոր կետերը: Ստերեոգրաֆիական պրոյեկցիաների կարևոր հատկությունները հետևյալներն են.

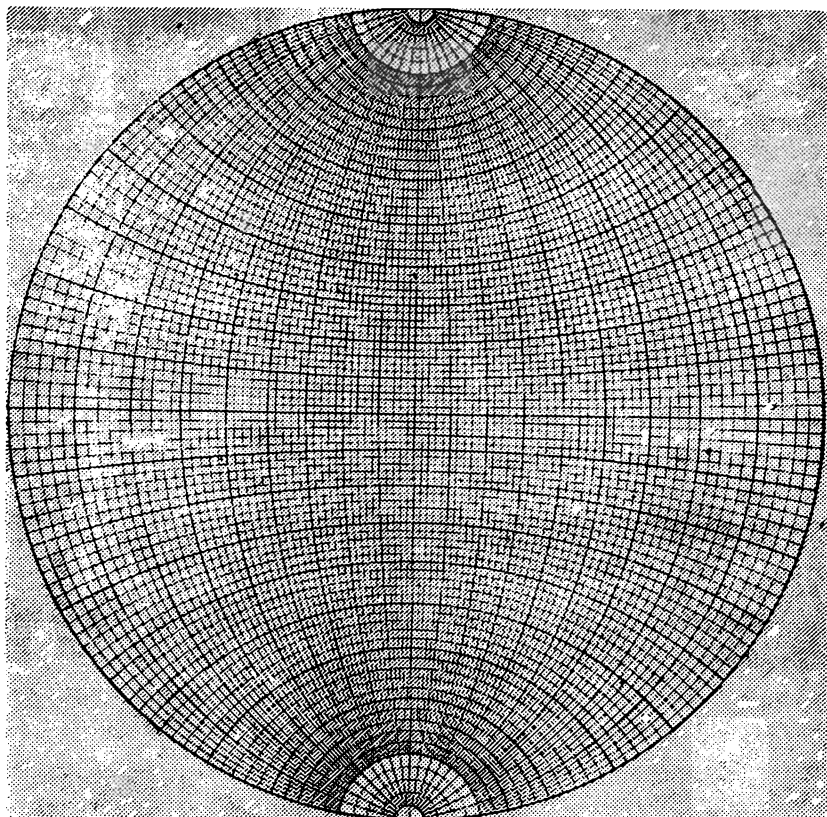
1. ստերեոգրաֆիական պրոյեկցիաները հանդիսանում են կոնֆորմ պրոյեկցիաներ, այսինքն՝ սփերայի վրայի փոքրիկ ձևերը և դրանց պրոյեկցիաները հարթության վրա երկարաչափորեն նման ձևեր են: Այս հատկությունը կարելի է ձևակերպել նաև այլպես, սփերայի վրա երկու գծերի կազմած անկյունը հավասար է նրանց պրոյեկցիաների միջև կազմված անկյանը:

2. Պրոյեկցիաների սփերայի վրայի շրջանագծերը ստերեոգրաֆիական պրոյեկցիաները նույնպես շրջանագծեր են:



Նկ. 18. Ստերեոգրաֆիական պրոյեկցիաների կառուցումը

Ինչպես գծային, այնպես էլ ստերեոգրաֆիական պրոյեկցիան ները լինում են երկու տեսակ՝ ուղիղ ստերեոգրաֆիական և գնոմոստերեոգրաֆիական պրոյեկցիաներ։ Ուղիղ ստերեոգրաֆիական պրոյեկցիաներն ստացվում են բյուրեղային ուղիղ կոմպլեքսի պրոյեկտումից, իսկ գնոմոստերեոգրաֆիական պրոյեկցիաները՝ բեկեռային կոմպլեքսի պրոյեկտումից։ Գնոմոստերեոգրաֆիական պրոյեկցիաների դեպքում հարթության պրոյեկցիան կլինի կետ, իսկ գոտու պրոյեկցիան կլինի կետերի հանրույթ, որոնք դասավորված կլինեն մեծ շրջանագծի աղեղի վրա։



Նկ. 10. Վուլֆի ցանց

Ստերեոգրաֆիական պրոյեկցիաները գործնականորեն օգտագործելու համար, այսինքն՝ բյուրեղային կոմպլեքսի զանազան ուղղությունների միջև կազմած անկյունները շափելու համար պետք է պրոյեկցիաների վրա ունենալ կոորդինատական գծերի ընտանիքներ։ Այդ նպատակով կառուցվում են միջօրեականների և զուգա-

Հեռականների ընտանիքների ստերեոգրաֆիական պրոյեկցիաներ: Եթե դիման կետը տեղավորվի հասարակածային շրջանագծի վրա, օրինակի համար R կամ Q կետում, ապա սփերայի միջօրեականների և զուգահեռականների պրոյեկցիաները ուղղաձիգ հարթության վրա կներկայացնեն 19-րդ նկարում ցույց տրված պատկերը, որը կոչվում է Վուլֆի ցանց:

Ստերեոգրաֆիական պրոյեկցիաների վրա բոլոր տեսակի շափումները և կառուցումները կատարվում են Վուլֆի ցանցի օգնությամբ: Այդ ցանցի օգնությամբ կարելի է լուծել սփերային վերաբերող բյուրեղագիտական ցանկացած խնդիր: Վուլֆի ամենատարածված ցանցը սովորաբար գծվում է հիմնական շրջանի R=200 մմ շառավղով: Փոքր ճշտությամբ շափումների համար կարելի է վերցնել R=100 մմ, իսկ ավելի մեծ ճշտությամբ շափումների համար՝ R=250 մմ:

Վուլֆի ցանցի միջօրեականները և զուգահեռականները սովորաբար (R=100 մմ դեպքում) տարվում են յուրաքանչյուր 2°-ից հետո, հետևաբար այդպիսի ցանցի վրա անկյունների շափումները կարելի է կատարել մինչև 0,5°-ի ճշտությամբ:

§ 7. ՀԱՍԿԱՑՈՒԹՅՈՒՆ ԲՅՈՒՐԵԴԻ ՀԱՄԱՉԱՓՈՒԹՅԱՆ (ՍԻՄԵՏՐԻԱՅԻ) ՄԱՍԻՆ

Միաբյուրեղներն ունենում են որոշակի արտաքին համաշափություն, եթե նրանց նիստերը ստացել են պատշաճ զարգացում: Համաշափությունը մարմնի մասերի կամ ձեր պարբերական կրկնությունն է տարածության մեջ: Համաշափության ուսմունքը հիմնված է հարցի զուտ երկրաշափական քննարկման վրա: Բյուրեղի համաշափությունը հայտնաբերելու և սահմանելու համար օգտվում են մի շարք օժանդակ հասկացություններից, որոնք կոչվում են համաշափության տարրեր: Բյուրեղի համաշափությունը, գնահատելու համար որպես տարրեր օգտագործվում են համաշափության կենտրոնը և առանցքը:

Համաշափության կենտրոն կամ ինվերսիայի կենտրոն կոչվում է այն Z կետը, որը բյուրեղի ներսում (ձեր ներսում) այնպես է ընտրված, որ այդ կետով տարած ցանկացած ուղիղը այդ կետի երկու կողմերում և նրանից հավասար հեռավորությունների վրա կհանդիպի բյուրեղի (ձեր) համանման կետերի: Օրինակ, խորանարդացին բյուրեղի համար ինվերսիայի կենտրոն կլինի նրա անկյունագծերի հատման կետը (նկ. 20գ):

Համաշափության հարթությունը կամ հայելային հարթությունը այն P հարթությունն է, որը բյուրեղը (ձեր) բաժանում է երկու այն-

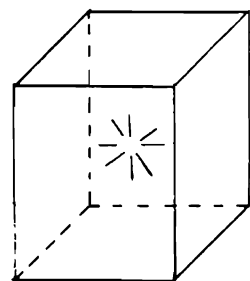
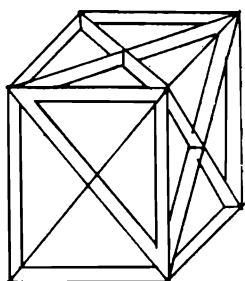
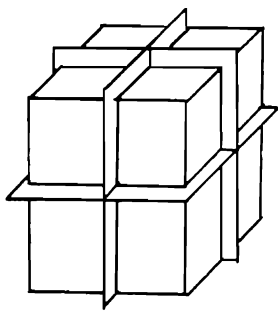
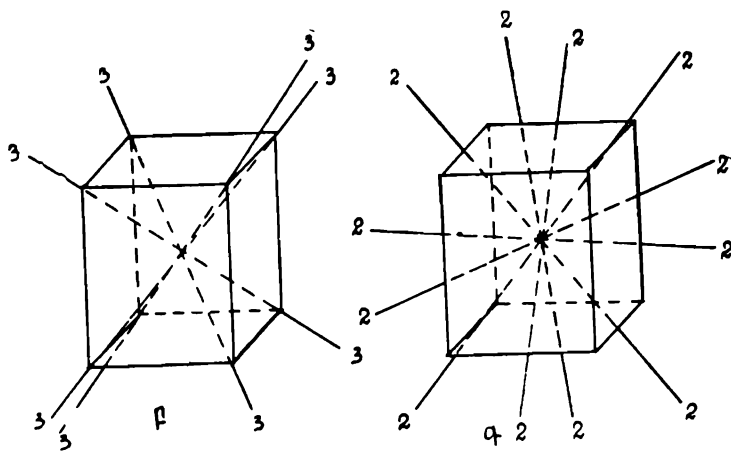
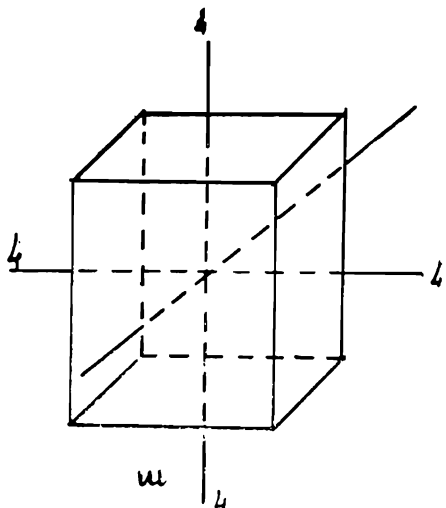


fig. 20

պիսի մասերի, որոնցից մեկը հանդիսանում է մյուսի հայելային՝ արտապատկերումը (նկ. 20 դ և ե): Համաշափության հարթությունները գտնելիս՝ մտքով պետք է բյուրեղը բաժանել երկու այնպիսի մասերի, որոնցից մեկի լուրաքանչյուր հանգույցին մյուս մասում համապատասխանի համանման հանգույց, ըստ որում, այդ երկու հանգույցները պետք է գտնվեն այդ հարթությունից հավասար հեռավորության վրա: Այդ եղանակով, օրինակ, հեշտ է գտնել խորանարդային բյուրեղի համաշափության հարթությունները, որոնք ընդամենը 9 հատ են (նկ. 20), որոնցից չորսը ուղղաձիգ հարթություններ են, մեկը՝ հորիզոնական, չորսը՝ հորիզոնականի նկատմամբ թեք: Ամենամեծ համաշափությունը ունի խորանարդային բյուրեղը, իսկ մյուս բյուրեղներն ունեն ավելի ցածր համաշափություն:

Համաշափության առանցք է կոչվում այն ուղիղը, որի շուրջը բյուրեղը (մարմինը) որոշ անկյունով պտտելիս համընկնում է ինքն իր հետ, այսինքն՝ այզպիսի անկյունով պտտելիս բյուրեղի տարածական ցանցի հանգույցների տեղերը գրավում են նույն ցանցի համանման հանգույցները: Համաշափության այս կամ այն առանցքը բնութագրելու համար պետք է գտնել այն ամենափոքր անկյունը, որով բյուրեղը տվյալ առանցքի շուրջը պտտելիս կհամատեղվի ինքն իրեն հետ: Այդ անկյունը կոչվում է պտտման տարրական անկյուն, որը միշտ ամբողջ թիվ անգամ կպարունակվի 360° -ի մեջ, իսկ այդ ամբողջ թիվը կոչվում է համաշափության առանցքի կարգ:

Եթե առանցքի կարգը նշանակենք n -ով, իսկ տարրական անկյունը՝ α -ով, ապա՝ $\alpha = \frac{360^{\circ}}{n}$, կամ $n = \frac{360^{\circ}}{\alpha}$, որտեղ՝ n -ը ամ-

բողջ թիվ է:

Բյուրեղներում հանդիպում են միայն 5 տարրեր կարգի առանցքներ՝ առաջին, երկրորդ, երրորդ, չորրորդ և վեցերորդ: Համաշափության առանցքը նշանակվում է C տառով, իսկ նրա կարգը՝ C-ի ինդեքսով, օրինակ C₂-ը նշանակում է երկրորդ կարգի համաշափության առանցքը: Համաշափության առանցքների սիմվոլները դրանց տարրական անկյունները բերված են հետեւյալ աղյուսակում.

Համաշափության առանցքի անվանումը	Սիմվոլը	n	
Առաջին կարգի երկրորդ կարգի երրորդ կարգի Չորրորդ կարգի Վեցերորդ կարգի	C ₁ C ₂ C ₃ C ₄ C ₆	1 2 3 4 6	360° 180° 120° 90° 60°

Ամենից շատ համաշափության առանցքներ ունի խորանարդացին բյուրեղը: Խորանարդային բյուրեղն ունի չորրորդ կարգի 3 առանցք (3 C₄), երրորդ կարգի 4 առանցք (4 C₃) և երկրորդ կարգի 6 առանցք (6 C₂): Այդ առանցքների դասավորությունը խորանարդացին բյուրեղի մեջ ցույց է տրված 20 ա, բ, գ նկարներում: Մյուս սինգոնիաներին պատկանող բյուրեղներն ավելի պակաս թվով համաշափության առանցքներ ունեն:

§ 8. ԲԱՐԴ ՑԱՆՑԵՐ

Մինչև հիմա մեր ուսումնասիրած ցանցերը պարզ ցանցեր էին, որոնց ցանկացած ատոմի դիրքը որոշվում էր երեք առանցքների ուղղությամբ վերցրած ամբողջ թվով տրանսլյացիաներով:

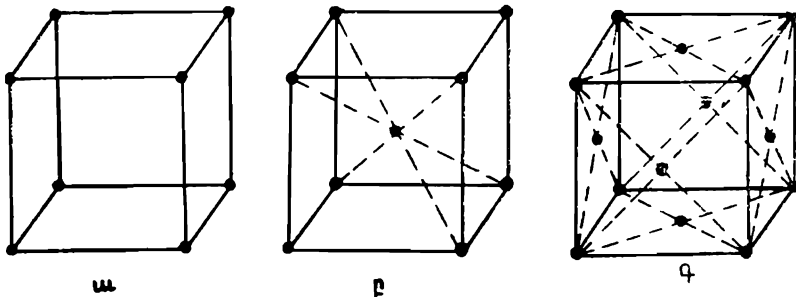
Ինչպես արդեն նշել ենք, տարածական բարդ ցանցն իրենից ներկայացնում է մի քանի միատեսակ պարզ ցանցերի հանրույթ, որոնք դրված են մեկը մյուսի մեջ՝ իրար նկատմամբ դուգահեռ: Այդպիսի բարդ ցանցերի տարրական բջիջների մեջ միանման տեղերում տեղավորված են լինում լրացուցիչ ատոմներ: Պարզ ցանցի մեջ ատոմները տեղավորված են լինում միայն բջիջների գագաթներում և քանի որ ամեն մի ատոմ միաժամանակ պատկանում է 8 բջիջի, ուրեմն պարզ ցանցի ամեն մի բջիջն հասնում է մեկ ատոմ: Բարդ ցանցերի գեպքում ամեն մի բջիջն հասնող ատոմների թիվը մեկից ավելի է լինում: Բարդ բջիջը որոշվում է հանգույցների կոորդինատներով: Տարրական բջիջ մեջ մտնող հանգույցների կոորդինատների հանրույթը կոչվում է բջիջ բաղիս:

Բարդ տարրական ցանցերից կարենոր գեր են խաղում Բրավեի ցանցերը: Բրավեի բարդ ցանցերն այնպիսի ցանցերն են, որոնցից յուրաքանչյուրն ունի տվյալ սինգոնիային պատկանող պարզ ցանցի համաշափությունը: Այսինքն՝ Բրավեի ցանցերն ստացվում են տարածական պարզ ցանցի այնպիսի բարդացումից, որը փոփոխության շի ենթարկում սկզբնական պարզ ցանցի համաշափությունը:

Հայտնի են Բրավեի երեք տեսակի ցանցեր՝ ծավալակենտրոնացված, բազակենտրոնացված և նիստակենտրոնացված:

Ցանցը կոչվում է ծավալակենտրոնացված, երբ տարրական բջիջ կենտրոնում տեղավորված է մեկ լրացուցիչ ատոմ: Ցանցը կոչվում է բազակենտրոնացված, երբ տարրական բջիջ երկու իրար զուգահեռ նիստերի կենտրոններում տեղավորված են լրացուցիչ ատոմներ: Ցանցը կոչվում է նիստակենտրոնացված, երբ տարրական բջիջը բոլոր նիստերի կենտրոններում տեղավորված են լրացուցիչ ատոմներ: Ոչ բոլոր սինգոնիաներին պատկանող բյուրեղ-

ներն են, որ Բրավի այդ եռեք տեսակի ցանցերն էլ կարող են ունենալ: Օրինակ, խորանարդային համակարգը կարող է ունենալ պարզ, ծավալակենտրոնացված և նիստակենտրոնացված ցանցեր



Նկ. 21. Բրավի խորանարդային ցանցեր

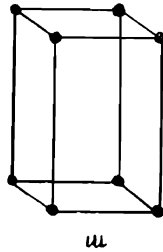
(Նկ. 21): Յուրաքանչյուր համակարգի հնարավոր Բրավի ցանցերի տեսակները և տարրական բջիջի մեջ մտնող ատոմների թիվը բերված են հետևյալ աղյուսակում.

Ցանցի անունը	Տարրական բջիջի ատոմ- ների թիվը	Բաղկացում
Պարզ խորանարդային	1	[000]
Ծավալակենտրոնացված խորանարդային	2	[000], [$\frac{1}{2}, \frac{1}{2}, \frac{1}{2}$]
Նիստակենտրոնացված խորանարդային	4	[000], [$\frac{1}{2}, \frac{1}{2}, 0$] [$\frac{1}{2}, 0, \frac{1}{2}$], [$0, \frac{1}{2}, \frac{1}{2}$]
Պարզ տետրագոնալային	1	[000]
Ծավալակենտրոնացված տետրագոնալային	2	[000], [$\frac{1}{2}, \frac{1}{2}, \frac{1}{2}$]
Հեքսագոնալային	1	[000]
Ռոմբոէդրիկային	1	[000]
Պարզ ռոմբիկային	1	[000]
Բազակենտրոնացված ռոմբիկային	2	[000], [$\frac{1}{2}, \frac{1}{2}, 0$]
Նիստակենտրոնացված ռոմբիկային	4	[000], [$\frac{1}{2}, \frac{1}{2}, 0$] [$\frac{1}{2}, 0, \frac{1}{2}$], [$0, \frac{1}{2}, \frac{1}{2}$]
Ծավալակենտրոնացված ռոմբիկային	2	[000], [$\frac{1}{2}, \frac{1}{2}, \frac{1}{2}$]
Պարզ մոնոկլինային	1	[000]
Բազակենտրոնացված մոնոկլինային	2	[000], [$\frac{1}{2}, \frac{1}{2}, 0$]
Տրիկլինային	1	[000]

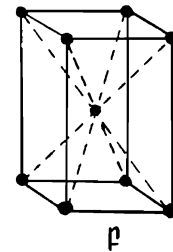
Բջջի մեջ մտնող ատոմների թիվը հաշվելիս նկատի է առնված, որ 8 գագաթներում տեղավորված ատոմներից միայն մեկ ատոմ է հասնում տվյալ բջիջին (յուրաքանչյուր գագաթի ատոմի $1/8$ մասը), իսկ յուրաքանչյուր նիստի կենտրոնում գտնվող ատոմից՝ $1/2$ ատոմը:

Ինչպես երկում է աղյուսակից՝ հեքսագոնալային, ռոմբոէդրիկային և տրիկլինային ցանցերը, բացի պարզ ցանցերից, այլ ցանցեր ունենալ չեն կարող:

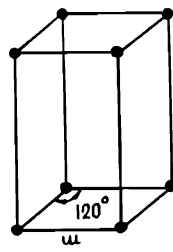
Այսպիսով, 7 տեսակի պարզ ցանցերից ստացվում են 14 տեսակի ցանցեր: Այլ տեսակի ցանցեր, որոնցում պահպանված լինեն այդ 7 տեսակի պարզ ցանցերի համաշափությունները՝ գոյություն չունեն: Բրավեի 14 ցանցերը պատկերված են 21—26 նկարներում:



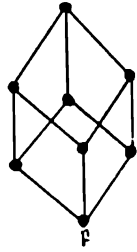
ա



β



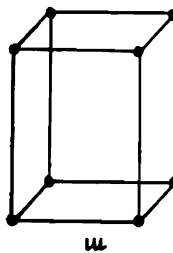
γ



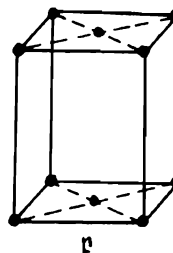
δ

Նկ. 22. Բրավեի տեսրագոնալային ցանցեր

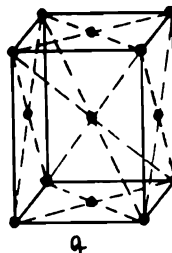
Նկ. 23. Բրավեի հեքսագոնալային և ռոմբոէդրիկային ցանցեր



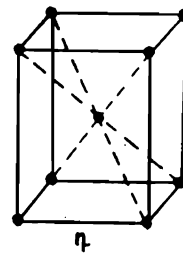
ε



ζ

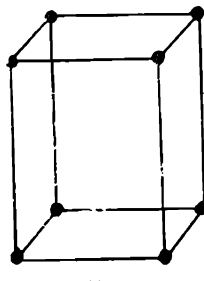


η

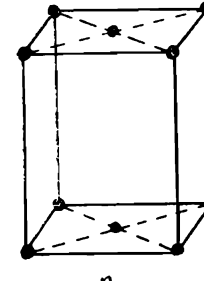


θ

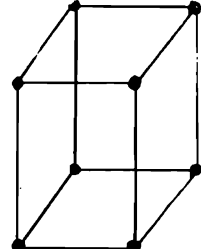
Նկ. 24. Բրավեի ռոմբիկային ցանցեր



ι



κ



Նկ. 25. Բրավեի մոնոկլինային ցանցեր

Նկ. 26. Բրավեի տրիկլինային ցանց

§ 9. ԳԱՂԱՓԱՐ ՀԱԿԱԴԱՐՁ ՖԱՆՑԻ ՄԱՍԻՆ

Ուենտգենաստրուկտորային հետազոտությունների գլխավոր խնդիրը նյութական օբյեկտի կողմից ցրված ռենտգենյան ճառագայթների ինտենսիվության անկյունային բաշխման միջոցով այդ օբյեկտի մեջ ցրող նյութի բաշխումը գտնելն է։ Այդ պատճառով անհրաժեշտ է տեսականորեն հնարավորին շափ ճշգրիտ որոշել, թե ճառագայթվող ծավալում ցրող նյութի տվյալ տարածական բաշխումը ցրված ռենտգենյան ճառագայթների ինտենսիվության ինչպիսի անկյունային բաշխում կառաջացնի։

Էվալդը ցույց է տվել, որ ռենտգենյան դիֆրակցիոն պատկերները մեկնաբանելիս շափազանց օգտակար է հակադարձ ցանցի կիրառությունը։ Այստեղ մենք կսահմանափակվենք հակադարձ ցանցի սխեմատիկ նկարագրությունով, որքան այն անհրաժեշտ է գրքի հետագա շարադրանքի համար և հետագայում (հաջորդ գլուխներում) կհամոզվենք հակադարձ ցանցի կիրառությունների բազմազանության և օգտակարության մեջ։

Նախորդ պարագրաֆներում տեսանք, որ բյուրեղի իրական ցանցը, որը հետագայում կկոչենք ուղիղ ցանց, նկարագրվում է ա, եւ ս և սեալ տրանսլյացիաների վեկտորներով։ Սակայն Վուլֆ-Բրեգի ՀԺՏ=ոլ պայմանից միտք է ծագում մի այլ՝ ուեալ իմաստ չունեցող, բայց ռենտգենյան հետազոտություններում կարենոր նշանակություն ունեցող ցանց կառուցելու մասին։

Իրոք, Վուլֆ-Բրեգի այդ պայմանը ցույց է տալիս, որ ալիքի տվյալ երկարության դեպքում միջհարթությունային ձևեռավորությունը և ցրման Ը անկյունը որոշ իմաստով իրար հակադարձ են՝ մեծ ձերի դեպքում ցրումը տեղի է ունենում փոքր անկյունների տակ, այսինքն՝ ցրում կատարվում է սկզբնական ճառագայթին մոտ ուղղություններով։ Հետևապես, եթե մենք կառուցենք մի ցանց, որի հանգույցների շառավիղ-վեկտորների շափերը ուղիղ ցանցի հարթությունների հնարավոր համակարգերի միջհարթությունային հեռավորությունների հակադարձ միծությունները լինեն, այդ դեպքում նշված հակադարձությունը նոր ցանցի և ցրման անկյունների միջև չի լինի, որը, ինչպես հետագայում կտեսնենք, դիֆրակցիոն պատկերները մեկնաբանելիս կտա մեծ առավելություն։

Բանից պարզվում է, որ այդպիսի ցանց, որը հետագայում կանվանենք հակադարձ ցանց, հնարավոր կլինի կառուցել, եթե այդ ցանցի համար ա, եւ, ս տրանսլյացիաների վեկտորները ընտրվեն հետեւալ կանոնով։

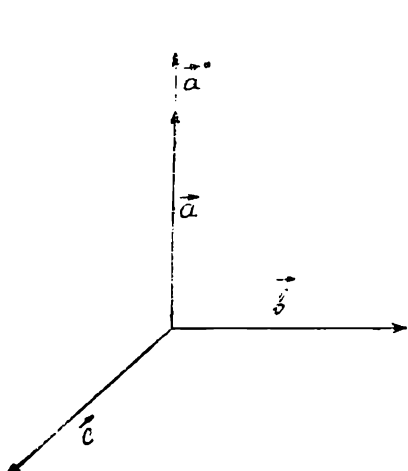
$$(\vec{a} \vec{a}^*) = (\vec{b} \vec{b}^*) = (\vec{c} \vec{c}^*) = 1$$

$$(\vec{a} \vec{b}^*) = (\vec{a} \vec{c}^*) = (\vec{b} \vec{a}^*) = (\vec{b} \vec{c}^*) = (\vec{c} \vec{a}^*) = (\vec{c} \vec{b}^*) = 0;$$

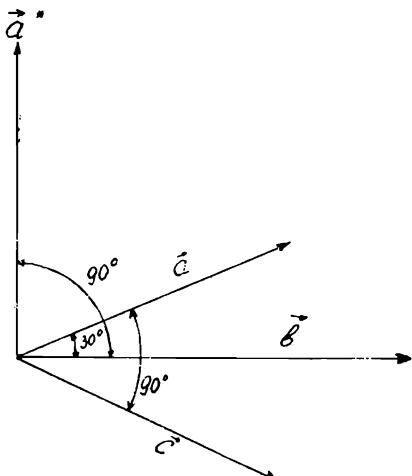
Այս հավասարումներից հեշտությամբ կարելի է որոշել հակադարձ ցանցի տրանսլյացիաների վեկտորների շափերը և ուղղությունները հետևյալ բանաձևերի օգնությամբ.

$$\vec{a}^* = \frac{1}{V} [\vec{b} \vec{c}]; \quad \vec{b}^* = \frac{1}{V} [\vec{c} \vec{a}]; \quad \vec{c}^* = \frac{1}{V} [\vec{a} \vec{b}],$$

որտեղ V -ն ուղիղ ցանցի տարրական քջի ծավալն է: Վերջին բանաձևից երևում է, որ ուղիղ ցանցի տրանսլյացիաների միջոցով լրիվ ու միարժեք կերպով որոշվում են հակադարձ ցանցի տրանսլյացիները, այսինքն՝ որոշակի ուղիղ ցանցին համապատասխանում է որոշակի հակադարձ ցանց: Այդ բանաձևից երևում է նաև, որ \vec{a}^*



Նկ. 27



Նկ. 28

տրանսլյացիայի վեկտորն ուղղահայաց \vec{b} և \vec{c} տրանսլյացիաների վեկտորների հարթությանը, \vec{b}^* -ն՝ \vec{c} և \vec{a} վեկտորների հարթությանը, իսկ \vec{c}^* -ն՝ \vec{a} և \vec{b} վեկտորների հարթությանը: Մասնավոր դեպքում՝ խորանարդային սինգոնիայի համար \vec{a}^* և \vec{a} , \vec{b} և \vec{b}^* , \vec{c} և \vec{c}^* հակադարձ ցանցի և ուղիղ ցանցի տրանսլյացիաների վեկտորների ուղղությունները համապատասխանաբար համընկնում են (Նկ. 28), իսկ շափերը որոշվում են հետևյալ կերպ:

$$a^* = \frac{1}{a}, \quad b^* = \frac{1}{b}, \quad c^* = \frac{1}{c};$$

Հեշտ է համոզվել, որ ուղիղ և հակադարձ ցանցերի տարրական բջիջների ծավալները նույնպես հակադարձ մեծություններ են՝ $\frac{1}{V}$ որտեղ V -ն հակադարձ ցանցի տարրական բջջի ծավալն է: Այս առումով կարելի է ասել, որ հակադարձ տարածությունը ուղիղ տարածության հակադարձն է:

Կառուցելով տվյալ ուղիղ ցանցի հակադարձ ցանցը, կարելի է ցույց տալ, որ տվյալ բյուրեղի ուղիղ և հակադարձ ցանցները պատկանում են միևնույն բյուրեղագիտական սինգոնիային:

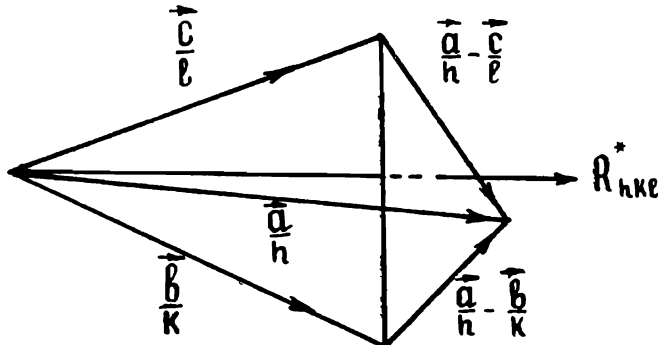
Հետագա շարադրանքի համար շափականց կարևոր են հակադարձ ցանցի վեկտորի հետևյալ երկու հատկությունները:

λ ակադարձ ցանցի h , k , l ինդեքսներով $R_{hkl}^* = \vec{ha}^* + \vec{kb}^* + l\vec{c}^*$ վեկտորը.

1. Ուղղահայաց է (hkl) միլերյան ինդեքսներ ունեցող հարթությունների ընտանիքին,

2. Նրա շափը հավասար է (hkl) միլերյան ինդեքսներով հարթությունների միջնարթությունային հեռավորության հակադարձ մեծությանը:

Որ R_{hkl} -ը ուղղահայաց է (hkl) հարթություններին, դրանում կարելի է համոզվել հետևյալ կերպ: Արդեն 4-րդ պարագրաֆում նշել ենք, որ (hkl) ինդեքսներ ունեցող հարթությունները կոորդինատական առանցքներից կտրում են a/h , b/k և $1/c$ հատվածներ: Հետևապես, $a/h - b/k$ և $a/h - c/l$ վեկտորները կգտնվեն (hkl) ինդեքսներ ունեցող ընտանիքի սկզբնակետից հաշված առաջին հարթության վրա (տե՛ս նկ. 29), և եթե մենք ապացուցենք, որ R_{hkl}^* -ը



Նկ. 29. Առանցքներից (hkl) ընտանիքի կտրած հատվածները

ուղղահայաց է այդ երկու վեկտորներին էլ, ապա ապացուցած կլինենք, որ այն ուղղահայաց է նաև (hkl) հարթություններին:

Կազմենք $\vec{R}_{hkl}^* \cdot \vec{h}$ և այդ վեկտորների d_{hkl} սկալյար արտադրյալները.

$$\vec{R}_{hkl}^* \cdot \left(\frac{\vec{a}}{h} - \frac{\vec{b}}{k} \right) = (\vec{ha}^* + \vec{kb}^* + \vec{lc}^*) \left(\frac{\vec{a}}{h} - \frac{\vec{b}}{k} \right) = 0,$$

$$\vec{R}_{hkl}^* \cdot \left(\frac{\vec{a}}{h} - \frac{\vec{c}}{l} \right) = (\vec{ha}^* + \vec{kb}^* + \vec{lc}^*) \left(\frac{\vec{a}}{h} - \frac{\vec{c}}{l} \right) = 0,$$

այսինքն՝ հակադարձ ցանցի \vec{R}_{hkl}^* վեկտորն ուղղահայաց է (hkl) հարթություններին:

Կապը միջնարթությունային d_{hkl} հեռավորության և հակադարձ ցանցի \vec{R}_{hkl}^* վեկտորի R_{hkl}^* չափի միջև կարելի է գտնել հետևյալ կերպ:

Հարթությունների (hkl) ընտանիքի միջնարթությունային հեռավորությունը՝ d_{hkl} -ը, առաջին հարթության հեռավորությունն է սկզբնակետից (սկզբնակետից անցնող հարթությունից հետո առաջին), որը կարող ենք գտնել, եթե կոորդինատական առանցքներից որևէ մեկից այդ հարթության կտրած հատված-վեկտորը սկալյար կերպով բազմապատկենք նրանց նորմալի միավոր-վեկտորով՝

$$\left(\frac{\vec{R}_{hkl}^*}{R_{hkl}^*} \cdot \frac{\vec{a}}{h} \right) = \left(\frac{\vec{R}_{hkl}^*}{R_{hkl}^*} \cdot \frac{\vec{b}}{k} \right) = \left(\frac{\vec{R}_{hkl}^*}{R_{hkl}^*} \cdot \frac{\vec{c}}{l} \right) = d_{hkl},$$

որտեղից՝ $\frac{1}{R_{hkl}^*} = d_{hkl}$, այսինքն՝ այն, ինչ պետք էր ապացուցել:

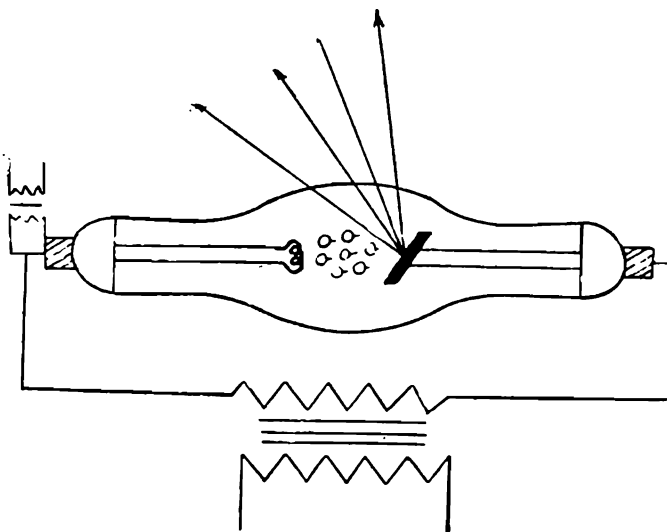
**ՈԵՆՏԳԵՆՅԱՆ ՃԱՌԱԳԱՅԹՆԵՐԸ, ՆՐԱՆՑ
ՀԻՄՆԱԿԱՆ ՖԻԶԻԿԱԿԱՆ ՀԱՏԿՈՒԹՅՈՒՆՆԵՐԸ ԵՎ
ՍՊԵԿՏՐԱՅԻՆ ՕՐԻՆԱՉԱՓՈՒԹՅՈՒՆՆԵՐԸ**

Ոենտգենյան ճառագայթները, ինչպես և լույսը էլեկտրամագնիսական ալիքներ են, որոնց ալիքի երկարությունը 10^{-6} — 10^{-11} սմ կարգի է: Ըստ սպեկտրի ոենտգենյան ճառագայթները լինում են երկու տեսակի՝ անընդհատ սպեկտրով և գծային սեպկտրով: Սովորաբար անընդհատ և գծային սպեկտրներով ոենտգենյան ճառագայթներն առաջանում են միաժամանակ, բայց որոշ դեպքերում, ինչպես այդ կտեսնենք ներքեւում, կարող են առաջանալ միայն անընդհատ սպեկտրով, հատուկ դեպքերում՝ միայն գծային սպեկտրով ոենտգենյան ճառագայթներ:

§ 1. ԱՆՁՆԴԱՏ ՍՊԵԿՏՐՈՎ ՈԵՆՏԳԵՆՅԱՆ ՃԱՌԱԳԱՅԹՆԵՐ

1. ԱՆՁՆԴԱՏ ՍՊԵԿՏՐՈՎ ՈԵՆՏԳԵՆՅԱՆ ՃԱՌԱԳԱՅԹՆԵՐԻ ԱՌԱՋԱՑՈՒՄԸ ԵՎ ԷՆԵՐԳԻԱՅԻ ԲԱՇԽՈՒՄՆ ԸՍՏ ՈՒՂՂՈՒԹՅՈՒՆՆԵՐԻ

Սովորաբար անընդհատ սպեկտրով ոենտգենյան ճառագայթները առաջանում են այն ժամանակ, երբ մեծ արագությամբ շարժվող էլեկտրոնները հանկարծ արգելակվում են: Անընդհատ սպեկտրով ոենտգենյան ճառագայթներն արգելակման ճառագայթներ են: Ոենտգենյան ճառագայթները ստանալու համար օգտագործվում են ոենտգենյան խողովակները, որոնց մեջ ստացվում է արագ շարժվող էլեկտրոնների հոսք (նկ. 30): Այդ արագ շարժվող էլեկտրոնները արգելակվում են անողի (անտիկատողի) կողմից, և նրանց կինետիկ էներգիայի որոշ մասը վեր է ածվում ոենտգենյան ճառագայթման էներգիայի:



Նկ. 30. Ռենտգենյան ճառագայթման ստացման սիմեման

Արգելակման ժամանակ առաջացած ռենտգենյան ճառագայթման ինտենսիվությունը հիմնականում որոշվում է արգելակվող լիցքի արագությամբ: Ինչպես հայտնի է, $\frac{dv}{dt}$ արագացմամբ արգելակվող է լիցքի առաքած էլեկտրամագնիսական ալիքի էլեկտրական և մագնիսական լարվածությունները, առաքող լիցքից բավականաշատ մեծ հեռավորությունների վրա (այսինքն՝ ալիքային գոտում), որոշվում են հետեւյալ բանաձևերով.

$$E = \frac{esin\gamma}{c^2 R} \frac{dv}{dt}, \quad H = \frac{esin\gamma}{c^2 R} \frac{dv}{dt}, \quad (2.1)$$

որտեղ R -ը դիտման կետի հեռավորությունն է ճառագայթող լիցքից,

ս-ն՝ լույսի արագությունը, իսկ

γ-ն՝ արգելակման և դիտման ուղղությամբ կազմված անկյունը:

Էներգիայի հոսքի մեծությունը (տարածման ուղղությամբ), այսինքն՝ Ումովի-Պոյտինգի S_γ վեկտորի բացարձակ արժեքը այս դեպքի համար հավասար կլինի

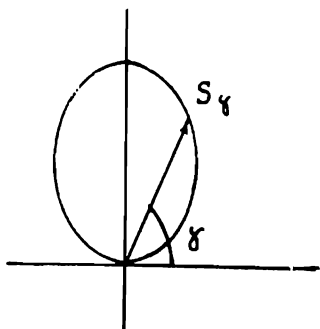
$$\left| \vec{S}_\gamma \right| = \left| \frac{c}{4\pi} [\vec{E} \vec{H}] \right| = \frac{ce^2}{4\pi} \frac{\sin^2 \gamma}{c^4 R^2} \left(\frac{dv}{dt} \right)^2 \quad (2.2)$$

Այս բանաձևն արտահայտում է արգելակվող լիցքի արձակած ռենտգենյան ճառագայթների էներգիայի բաշխումը տարածության մեջ: Բանաձևից երևում է, որ ամենամեծ ինտենսիվությամբ ռենտգենյան ճառագայթները առաքվում են արգելակմանն ուղղահայց ռողղությամբ ($\gamma = 90^\circ$), իսկ արգելակման ռողղությամբ ճառագայթները չեն առաքվում ($\gamma = 0$, $\vec{S} = 0$):

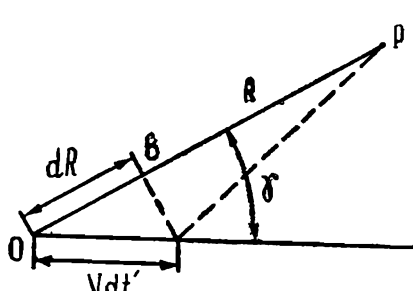
Արգելակման ժամանակ առաքված ռենտգենյան ճառագայթների ինտենսիվությունը կախված ուղղությունից (կախված ց անկյունից) բնուային կորդիֆնատներով պատկերված է նկ. 31-ում:

Նկանած ճառագայթների ինտենսիվության տարրերը ուղղություններով տարրեր լինելը հիմնականում հաստատվում է նաև փորձով, չնայած տեսականորեն և փորձով ստացված բաշխման կորերի լիակատար համընկնում տեղի չունի: Փորձը ցույց է տալիս, որ առավելագույն ինտենսիվությամբ ռենտգենյան ճառագայթներ են առաքվում ոչ թե արգելակման ռողղության հետ 90° անկյուն կազմող ռողղությամբ, այլ՝ արգելակման ռողղության հետ 90° -ից ավելի փոքր անկյուն կազմող ռողղություններով, ըստ որում, առավելագույն ինտենսիվությանը համապատասխանող ռողղությունը արգելակման ռողղության հետ 90° -ից այնքան ավելի փոքր անկյուն է կազմում, որքան մեծ է արգելակող էլեկտրոնների արագությունը, այսինքն՝ որքան մեծ է էլեկտրոնների շարժումն արագացնող լարումը:

Մեծ արագությամբ շարժվող էլեկտրոնների դեպքում (2.1) բանաձևերը արդեն ճիշտ լինել չեն կարող, և պետք է հաշվի առնել հարաբերականության տեսությունից բխող ռողղումները: Այս դեպքում (2.1) բանաձևերի փոխարեն կունենանք հետևյալ բանաձևերը.



Նկ. 31. Ռենտգենյան ճառագայթների ինտենսիվության բաշխումն ըստ ռողղությունների՝ համաձայն (2.2) բանաձևի



Նկ. 32

$$E = \frac{e \sin \gamma}{c^2 R} \frac{dv}{dt} \frac{1}{(1 - \beta \cos \gamma)^3},$$

$$H = \frac{e \sin \gamma}{c^2 R} \frac{dv}{dt} \frac{1}{(1 - \beta \cos \gamma)^3},$$

որտեղ $\beta = \frac{v}{c}$ -ի, իսկ v -ն էլեկտրոնի արագությունն է:

R և γ բնեռային կոռդինատներ ունեցող կետում լրիվ հոսքը գտնելու համար, այսինքն՝ գտնելու համար այն ամբողջ էներգիան, որ կհոսի R , ո կորդինատներով որոշվող կետում մեկ միավոր մագնիսով էլեկտրոնի արգելակման պահից մինչև նրա արագության զրո դառնալը, պետք է $\int S_\gamma dt$ ինտեգրալը հաշվել էլեկտրոնի արգելակման ամբողջ ժամանակամիջոցի համար: Եթե O -ն էլեկտրամագնիսական իմպուլսի առաջացման կետն է, P -ն դիտման կետն է, իսկ էլեկտրոնի շարժման ուղղությունը համընկնում է չառանցքի հետ, ապա O կետում $t = t' + \frac{R}{c}$ պահին առաջացած իմպուլսը դիտման P կետը կհասնի $t = t' + \frac{R}{c}$ պահին (նկ. 32), հետեւաբար

կոնսենսնք. $dt = dt' + \frac{dR}{c}$:

Քանի որ v արագությամբ շարժվող էլեկտրոնը $d\gamma'$ ժամանակամիջոցում կանցնի $v \cdot dt'$ հեռավորություն, ապա $dR = v dt' \cos \gamma$ և $dt = dt' + d\gamma'$ անապարհ անցնելուց հետո. էլեկտրոնը մոտեցած կլինի դիտման P կետին, ապա $dt - \beta$ արտահայտության մեջ $dR - \beta$ պետք է վերցնել մինուս նշանով (նկ. 32):

Այսպիսով, $dt - \beta$ համար կստանանք հետևյալ արտահայտությունը. $dt = dt' (1 - \beta \cos \gamma)$:

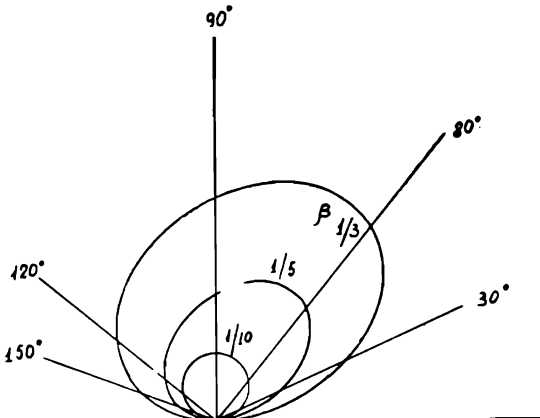
Էլեկտրոնի արգելակման ամբողջ ժամանակամիջոցում ց ուղղությամբ միավոր մակերեսով հոսած էներգիան նշանակելով

$$W_{\gamma-\text{ով}}, \text{ կստանանք. } W_{\gamma} = \int S_{\gamma} dt = \int \frac{e^2 \left(\frac{dv}{dt} \right)^2 \sin^2 \gamma dt'}{4\pi c^3 R^2 (1 - \beta \cos \gamma)^5}:$$

$dt' - \beta$ կարելի է արտահայտել արագության միջոցով, հետևյալ կերպով՝ $dt' = \frac{dv}{v} = \frac{c}{v} d\beta$:

$$W_{\gamma} = \int_0^\beta \frac{e^2 v \sin^2 \gamma d\beta}{4\pi c^2 R^2 (1 - \beta \cos \gamma)^5} = \frac{e^2 v \sin^2 \gamma}{16\pi c^2 R^2 \cos \gamma} \left[\frac{1}{(1 - \beta \cos \gamma)} - \frac{1}{4} \right]: (2.3)$$

Այստեղ ինտեգրումը կատարվում է ըստ թ-ի, թ-ից մինչև 0 ասհմաններում, որը համապատասխանում է էլեկտրոնի ճառագայթման ամբողջ ժամանակամիջոցին՝ արագության Վ-ից մինչև 0 դառնալը: (2.3) բանաձեռ փոքր թ-ի դեպքում համընկնում է (2.2)-ին, իսկ երբ թ-ն մոտենում է 1-ին, այսինքն՝ երբ էլեկտրոնի արագությունը մոտենում է լույսի արագությանը, (2.3) բանաձեռվ արտահայտված էներգիայի բաշխումը տարբերվում է (2.2) բանաձեռվ արտահայտված բաշխումից: Մեծ թ-ի դեպքում մաքսիմալ առաքման ուղղությունը շեղվում է գեպի փոքր անկյունների կողմը և այդ շեղումը այնքան մեծ է, որքան մեծ է թ-ն (տե՛ս նկ. 33):



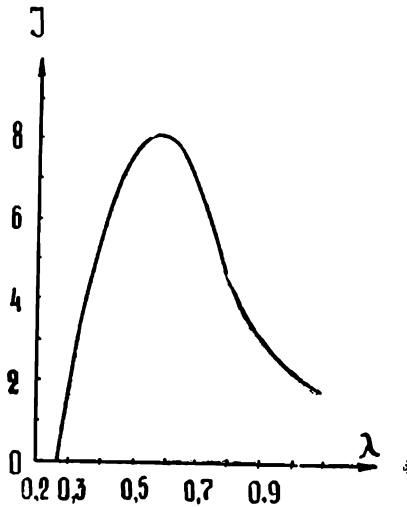
Նկ. 33. Ունտգենյան ճառագայթների ինտենսիվության բաշխումը ըստ ուղղությունների
(համաձայն (2.3) բանաձեռի)

Հաշվումների ժամանակ նկատի չենք ունեցել, որ նախ արգելակվող էլեկտրոնների փոշի մեջ մտնող ոչ բոլոր էլեկտրոնների արագություններն ունեն նույն ուղղությունը, և երկրորդ, որը գլխավորն է, արգելակման ժամանակ էլեկտրոնները ատոմների հետ ունեցած ընդհարումների պատճառով կարող են իրենց շարժման ուղղությունը փոխել, այսինքն՝ արագությունների ուղղությունների ցրում կարող է առաջանալ, որն այնքան ավելի մեծ կլինի, որքան էլեկտրոնն ավելի խոր կթափանցի արգելակող միջավայր: Այդ իսկ պատճառով (2.3) բանաձեռ ճիշտ է միայն շատ բարակ անողների (արգելակող միջավայրերի) համար, որոնց մեջ արագությունների ուղղությունների ցրումը կարելի է արհամարհել: Հաստ անողների դեպքում ունտգենյան ճառագայթների ինտենսիվությունը էլեկտրոնների շարժման և այդ շարժմանը հակառակ ուղղություններում հավասար չէ զրոյի (այստեղ էլեկտրոնների՝ անողից դուրս ունեցած

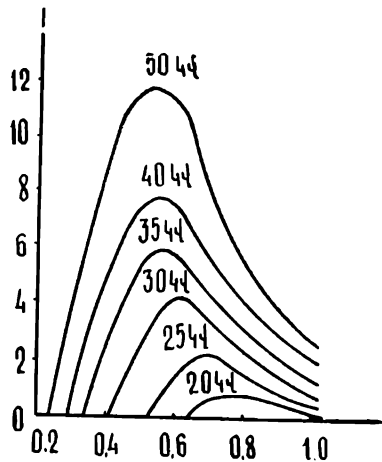
շարժման ուղղության մասին է խոսքը), և ինտենսիվության տարածական բաշխման անհավասարաշափությունն այնքան էլ զգալի չէ: Ինչպես արդեն նշվեց, դա բացատրվում է նրանով, որ էլեկտրոնները անողի մեջ արգելակվելիս ցրվում են՝ շարժման ուղղությունները փոխվում են և այդ պատճառով փոխվում է նաև արձակված ռենտգենյան ճառագայթների ինտենսիվության տարածական բաշխումը:

2. ԱՆԾՆԴԱԾ ՍՊԵԿՏՐՈՎ ՌԵՆՏԳԵՆՅԱՆ ՃԱՌԱԳԱՅԹՆԵՐԻ ԷՆԵՐԳԻԱՅԻ ԲԱՇԽՈՒՄՆ ԸՍՏ ԱԼԻՔԻ ԵՐԿԱՐՈՒԹՅԱՆ

Ինչպես արդեն վերելում նշվեց, համաձայն դասական տեսության անընդհատ սպեկտրով ռենտգենյան ճառագայթներն առաջանում են այն ժամանակ, երբ անողի նյութի կողմից արգելակվում է արագ էլեկտրոնը: Արգելակվող էլեկտրոնը շարժվում է բացասական արագացմամբ և ինչ-որ t_1 պահից մինչև t_2 պահը իր արագությունը փոխվում է $v_1 - t_1$ մինչև v_2 և այդ $t_2 - t_1$ ժամանակամիջոցում առաջանական է ալիքների մի «ծրար»: Այդ «ծրարի» մեջ ալիքի երկարությունը փոփոխվում է անընդհատ: Ալիքների այդ «ծրարը» որևէ



Նկ. 34. Անընդհատ սպեկտրով ռենտգենյան ճառագայթների ինտենսիվության բաշխումն ըստ ալիքի երկարության (սպեկտրը): λ_0 -ն սպեկտրի կարճալիքային սահմանն է, իսկ λ_{max} ՝ մեծադույն ինտենսիվությանը համապատասխանող ալիքի երկարությունը,



Նկ. 35. Անընդհատ սպեկտրով ռենտգենյան ճառագայթների էներգիայի ըստ ալիքի երկարության բաշխումն կախումը ռենտգենյան խողովակին կիրառված լարումից:

սպեկտրալ սարքի միջոցով վերածելով սպեկտրի («ծրարի» էներգիան բաշխելով ըստ ալիքի երկարության), կստանանք նկ. 34-ի կորը:

Այդ կորից երևում է, որ ունտգենյան ճառագայթների անընդհատ սպեկտրը կարճ ալիքների կողմից կտրուկ սահմանափակված է, ունտգենյան ճառագայթների անընդհատ սպեկտրի մեջ չկան ճառագայթներ, որոնց ալիքի երկարությունը փոքր լինի սահմանային λօ ալիքի երկարությունից: Այդ կորից երևում է նաև, որ ինչ-որ մի ալիքի երկարությամբ, որը մենք կնշանակենք՝ $i_{\text{տաշ-ով}}$, առաքվում են ունտգենյան ճառագայթներ մեծագույն ինտենսիվությամբ (նկ. 34): Փորձը ցույց է տալիս, որ արգելակվող էլեկտրոնների ըսկըզբնական արագությունը մեծացնելիս λօ-ն և $i_{\text{տաշ-ը}}$ շեղվում են դեպի կարճ ալիքների կողմը: 35-րդ նկարում բերված է անընդհատ սպեկտրով ունտգենյան ճառագայթների էներգիայի բաշխումն ըստ ալիքի երկարության՝ ունտգենյան խողովակի վրա կիրառված տարբեր լարումների դեպքում (արգելակվող էլեկտրոնների սկզբնական տարբեր արագությունների դեպքում): Այդ կորերը ցույց են տալիս, որ ունտգենյան խողովակի վրա կիրառված լարման մեծացման հետ անընդհատ սպեկտրով ունտգենյան ճառագայթների ինտենսիվությունը մեծանում է, և կարճալիքային սահմանն ու ինտենսիվության մաքսիմումը շեղվում են դեպի կարճ ալիքները:

Դասական տեսությունը շի կարող բացատրել ունտգենյան ճառագայթների անընդհատ սպեկտրի կարճալիքային սահմանի գոյությունը և այդ սահմանի շեղումը դեպի կարճ ալիքների կողմը՝ կախված ունտգենյան խողովակի վրա կիրառված լարման մեծացումից: Հստ դասական էլեկտրադինամիկայի՝ ունտգենյան ճառագայթների անընդհատ սպեկտրը պետք է տարածվի $\lambda = 0$ -ից մինչև $\lambda = \infty$ տիրությունը, մինչեռ փորձը ցույց է տալիս, որ էլեկտրոնների արգելակման ժամանակ առաջացած ունտգենյան ճառագայթների անընդհատ սպեկտրը տարածվում է λ_0 -ից մինչև $\lambda = \infty$ տիրությունը և λ_0 -ն այնքան փոքր է, որքան մեծ է ունտգենյան խողովակում էլեկտրոններին արագացնող լարումը (շնայած ասում ենք, որ ունտգենյան ճառագայթների սպեկտրը տարածվում է մինչև $\lambda = \infty$, բայց բավականաշատ երկար ալիքներն արդեն ունտգենյան ալիքների հատկություն չեն ունենում):

Այդ դժվարություններից կարելի է դուրս գալ՝ դիմելով քվանտային մեխանիկային և ընդունելով, որ ունտգենյան ճառագայթներն իրենցից ներկայացնում են քվանտների հոսք: Ինչպես հայտնի է, քվանտի ε էներգիան = $h\nu$ -ի, որտեղ h -ը Պլանկի հաստատումն է, իսկ ν -ն՝ հաճախականությունը: Կարելի է պատկերացնել,

որ արագ էլեկտրոնը արգելակվելիս իր կինետիկ էներգիան արձակում է որպես ուռությունը և ամբողջ կինետիկ էներգիան արձակում է որպես մեկ քվանտ, այդ դեպքում քվանտի էներգիան ինչպես և հաճախականությունը, կլինի մեծագույնը, իսկ նրան համապատասխանող ալիքի երկարությունը՝ փոքրագույնը, որը և կլինի ուռությունը նաև ազայիթների անընդհատ սպեկտրի կարճալիքային սահմանը: Ունտեսքնյան ճառագայթների կարճալիքային սահմանին համապատասխանող ալիքի λօ երկարությունը կարելի է գտնել հետևյալ կերպ: Ուռությունը ինողովակի վրա կիրառված լարումը, որի շնորհիվ շիկացած կատողից դուրս եկած էլեկտրոնները մինչև անողին հասնելը արագանում են, թող լինի Ա: Շիկացած կատողից էլեկտրոնները դուրս են գալիս ինչ-որ սկզբնական արագությամբ, որը տարբեր էլեկտրոնների համար կարող է տարբեր մեծություն ունենալ, բայց այդ սկզբնական արագությունները ունենալու խողովակի դաշտում էլեկտրոնների ձեռք բերած արագության նկատմամբ չնշն են (սովորաբար Ա-ն հավասար է լինում մի քանի տասնյակ հազարից մինչև հարյուր հազարավոր վոլտի), և առանց զգալի սխալ կատարելու կարելի է առաջինը վերջինի նկատմամբ արհամարհել: Այսպիսով, կարելի է պնդել, որ շիկացած կատողից դուրս եկած, ունենալու խողովակում արագացված և անողին հասած բոլոր էլեկտրոններն ունեն միևնույն Վ արագությունը, որը որոշվում է հետևյալ պայմանից:

$$eU = \frac{mv^2}{2}, \quad (2.4)$$

որտեղ Ը-ն և Թ-ը էլեկտրոնի լիցքն ու մասսան են: Մյուս կողմից, եթե էլեկտրոնն իր ամբողջ կինետիկ էներգիան անողի վրա արգելակման ժամանակ արձակում է որպես մեկ ուռությունը քվանտ, ապա՝

$$\hbar v_{\max} = \frac{mv^2}{2}, \quad (2.5)$$

որտեղ v_{\max} -ը ուռությունը անընդհատ սպեկտրի կարճալիքային սահմանին համապատասխանող հաճախականությունն է, որն այդ սպեկտրում ամենամեծն է: Օգտվելով (2.4)-ից և (2.5)-ից, կստանանք $\hbar v_{\max} = eU$, նկատի ունենալով, որ $\lambda_0 v_{\max} = c$, կստանանք

$$\lambda_0 = \frac{hc}{eU}: \quad (2.6)$$

(2.6) արտահայտությունից պարզ է դառնում անընդհատ սպեկտրի կարճալիքային սահմանի գոյությունը և այդ սահմանի՝ դեպի կարճ ալիքների կողմը շեղվելը, երբ էլեկտրոնների արագությունը մեծացվում է: Խսկապես, (2.6)-ից երևում է, որ տրված U -ի դեպքում, այսինքն՝ էլեկտրոնների տրված արագության դեպքում, ունտգենյան ճառագայթների անընդհատ սպեկտրում լո-ից փոքր երկարության ալիք գոյություն ունենալ չի կարող և որ U -ն մեծացնելիս, այսինքն՝ արգելակող էլեկտրոնների արագությունը մեծացնելիս լո-ն փոքրանում է, այսինքն՝ կարճալիքային սահմանը շեղվում է դեպի փոքր երկարությամբ ալիքները: Լո-ից մեծ երկարության ալիքներ ստացվում են այն դեպքում, երբ արգելակվող էլեկտրոնի կինետիկ էներգիան արձակվում է մեկից ավելի ունտգենյան քվանտներով և որքան էլեկտրոնի արձակած քվանտների թիվը մեծ լինի, այնքան այդ քվանտների էներգիան և հաճախականությունը փոքր կլինեն, իսկ ալիքի երկարությունը՝ մեծ:

Այդ պատճառով, ընդհանրապես ասած, ունտգենյան ճառագայթների անընդհատ սպեկտրը երկար ալիքների կողմից սահմանափակված չպետք է լինի: Լո-ից մեծ երկարությամբ ալիքներ կստացվեն նաև այն պատճառով, որ էլեկտրոնը կարող է իր կինետիկ էներգիայի մի մասն արձակել որպես ունտգենյան քվանտ, իսկ մյուս մասը ծախսել այլ պրոցեսների վրա: Այսպիսով հասկանալի է դառնում նաև արգելակման ունտգենյան ճառագայթման սպեկտրի անընդհատ լինելը:

Եթե (2.6) բանաձեռի մեջ տեղադրենք h -ի, c -ի և e -ի արժեքները և U -ն արտահայտենք կիլովոլտերով, իսկ լո-ն՝ Å -ներով, ապա լո-ի համար կստանանք հետեւյալ արտահայտությունը՝

$$\lambda_0 = \frac{12,34}{U} \text{\AA:}$$

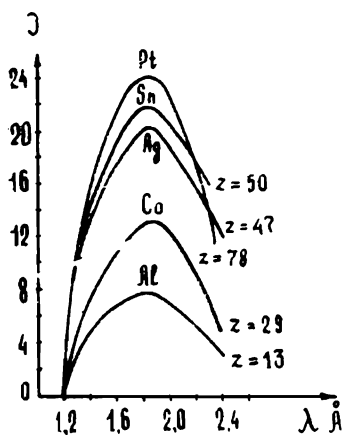
3. ԱՆԲՆԴԱՏ ՍՊԵԿՏՐՈՎ ՌԵՆՏԳԵՆԵԱՆ ՃԱՌԱԳԱՅԹՆԵՐԻ ԷՆԵՐԳԻԱՅԻ ԸՆՏԱԿԱՆ ԱԼԻՔԻ ԵՐԿԱՐՈՒԹՅԱՆ ԲԱՇԽՄԱՆ ԿԱՆՈՒՄԸ ԱՆՌԴԻ ՆՅՈՒԹԻ ՏԵԽԱԿԻՑ

Փորձը ցույց է տալիս, որ անընդհատ սպեկտրով ունտգենյան ճառագայթների ինտենսիվությունը խիստ կերպով կախված է անողի նյութի տեսակից: Եթե անողի նյութի տեսակը նկարագրենք U մենցելեւի աղյուսակում նրա ունեցած Z կարգաթվով, ապա անընդհատ սպեկտրով ունտգենյան ճառագայթների W ինտենսիվությունը մոտավորապես համեմատական կլինի Z -ին. $W = aZ$, որտեղ a -ն Z -ից անկախ հաստատուն է: ՅԵ-րդ նկարում ցույց է տրված տար-

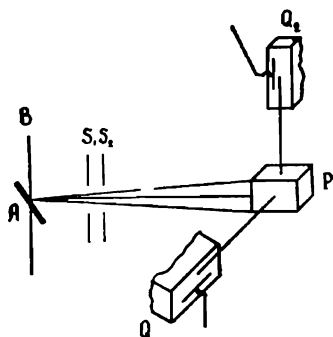
բեր Հ ունեցող անոդներից ստացված արգելակման ռենտգենյան ճառագայթների էներգիայի բաշխումն ըստ ալիքի երկարության: Ինչպես երևում է այդ կորերից, Հ-ի մեծացման հետ միասին մեծանում է նաև ինտենսիվությունը, բայց բաշխման բնույթը չի փոխվում՝ կարճալիքային սահմանը և ինտենսիվության մաքսիմումը իրենց տեղերը չեն փոխում. այսինքն բաշխման բնույթն անկախ է անոդի նյութի տեսակից: Այդ պատճառով ռենտգենյան անընդհատ սպեկտրը անոդի նյութը չի կարող բնորոշել և անընդհատ սպեկտրով ռենտգենյան սպեկտրային անալիզ կատարել հնարավոր չէ:

4. ԱՆԸՆԴՀԱՏ ՍՊԵԿՏՐՈՎ ՌԵՆՏԳԵՆՅԱՆ ՃԱՌԱԳԱՅՑԹՆԵՐԻ ԲԵՎԵՌԱՑՈՒՄԸ

Համաձայն արգելակման ճառագայթման դասական տեսության, էլեկտրոնի արգելակման ժամանակ առաջացած ռենտգենյան ալիքի էլեկտրական վեկտորը և այդ ալիքն առաջացնող էլեկտրոնի արգելակման ուղղությունը գտնվում են միևնույն հարթության մեջ: Այդ պատճառով տվյալ ուղղությամբ տարածվող ռենտգենյան ճառագայթը բևեռացված կլինի այնպես, որ նրա էլեկտրական վեկտորը, լինելով ուղղահայաց տարածման ուղղությանը, էլեկտրոնի արգելակման (կամ շարժման) ուղղության հետ կգտնվի միևնույն հարթության մեջ: Այդ բանում համոզվելու համար կարելի է կատարել հետևյալ փորձը: 37-րդ նկարում



Նկ. 36. Անընդհատ սպեկտրով ռենտգենյան ճառագայթների ինտենսիվության կախումը անոդի նյութի տեսակից



Նկ. 37. Անընդհատ սպեկտրով ռենտգենյան ճառագայթների բևեռացման աստիճանի որոշումը

Ա-ն ունտգենյան խողովակի անողն է, ВА ուղղությամբ դեպի այդ անողն են գալիս արագացված էլեկտրոնները: S_1 S_2 ճեղքերի օգնությամբ անշատվում է ունտգենյան ճառագայթների մի նեղ փունջ, որն ընկնում է Р ցրող մարմնի վրա, Q_1 և Q_2 իոնացման խցիկների օգնությամբ շափում է Р ցրող մարմնի վրա ցրված ունտգենյան ճառագայթների էներգիան էլեկտրոնների շարժման ՎԱ ուղղությանը զուգահեռ (Q_2 խցիկ) և ուղղահայաց (Q_1 խցիկ) ուղղություններով: Համաձայն վերը ասվածի, АР ուղղությամբ տարված ունտգենյան ճառագայթի էլեկտրական վեկտորը պետք է գտնվի ВАР հարթության մեջ (գծագրի հարթության մեջ) և եթե մասնավոր դեպքում $VA \perp AR$, ապա АР ուղղությամբ տարածվող ճառագայթի էլեկտրական վեկտորը պետք է զուգահեռ լինի ВА-ին: Եթե դա այդպես է, ապա, քանի որ ցրված ճառագայթի էլեկտրական վեկտորը պետք է ունենա PQ_2 ուղղությունը (տվյալ փորձի դեպքում $PQ_2 \parallel VA$), սակայն ունտգենյան ճառագայթները լայնակի էլեկտրամագնիսական ալիքներ են և իրենց տատանումների ուղղությամբ տարածվել չեն կարող, այսինքն՝ տվյալ փորձի պայմաններում PQ_2 ուղղությամբ ցրված ճառագայթ գոյություն ունենալ չի կարող, եթե իսկապես սկզբնական՝ PQ_2 ուղղությամբ տարածվող ունտգենյան ճառագայթները լրիվ բևեռացված են: Վերը ասվածից պարզ է, որ տվյալ փորձի պայմաններում PQ_1 ուղղությամբ ցրվող ունտգենյան ճառագայթներ կլինեն: Ուրեմն, եթե իսկապես էլեկտրոնների արգելակման ժամանակ առաջացած անընդհատ սպեկտրով ունտգենյան ճառագայթները լրիվ բևեռացված լինեն, պետք է որ Q_2 իոնացման խցիկը զրո ինտենսիվություն ցույց տար, իսկ Q_1 խցիկը՝ որոշակի, զրոյից տարբեր ինտենսիվություն: Բայց փորձը ցույց է տալիս, որ Q_2 խցիկը նույնական զրոյից տարբեր ինտենսիվություն է ցույց տալիս, թեև ավելի փոքր, քան Q_1 -ի ցույց տվածն է, բայց դա արդեն ապացուց է այն բանի, որ սկզբնական ճառագայթները լրիվ բևեռացված չեն, այսինքն՝ ունտգենյան խողովակը մասնակի բևեռացված ունտգենյան ճառագայթներ է բաց թողնում: Եթե PQ_2 և PQ_1 ուղղություններով ցրված ճառագայթների ինտենսիվությունները համապատասխանաբար նշանակենք J_{\perp} -ով և J_{\parallel} -ով, ապա ունտգենյան խողովակի արձակած անընդհատ սպեկտրով ունտգենյան ճառագայթների բևեռացման աստիճանը կբնորոշվի հետևյալ կերպ՝

$$R = \frac{J_{\perp} - J_{\parallel}}{J_{\perp} + J_{\parallel}} \cdot 100\%:$$

Լրիվ բևեռացման դեպքում $J_1=0$ և $R=100\% -ի$, իսկ բևեռացման բացակայության դեպքում՝ $J_1=J_{||}$ և $R=0$, ինչպես արդեն վերևում նշվեց, պետք է որ ունտգենյան խողովակի արձակած անընդհատ սպեկտրով ունտգենյան ճառագայթները լրիվ բևեռացված լինեին, բայց փորձը ցույց է տալիս, որ մասնակի բևեռացված են՝ $0 < J_{||} < J$. Լրիվ բևեռացման բացակայության պատճառն այն է, որ էլեկտրոններն արգելակման ժամանակ մտնելով անողի մեջ, փոխում են իրենց ուղղությունները (ինչպես և արգելակման ուղղությունները), հետևապես փոխվում են նաև նրանց արձակած ունտգենյան ճառագայթների բևեռացման ուղղությունները։ Հասկանալի է, որ էլեկտրոնները որքան խոր թափանցեն անողի մեջ, այնքան մեծ կիխնեն նրանց շարժման ուղղությունների կրած փոփոխությունները, հետևաբար՝ կփոքրանա բևեռացման աստիճանը։ Իրոք, փորձով հաստատված է, որ երբ ունտգենյան խողովակի վրա կիրառված պոտենցիալը մեծացվում է, այսինքն՝ մեծացվում է էլեկտրոնների արագությունը (արագ էլեկտրոններն ավելի խոր կթափանցեն անողի մեջ), ունտգենյան ճառագայթների բևեռացման աստիճանը փոքրանում է։

5. ԱՆԲՈՒՀԱՏ ՍՊԵԿՏՐՈՎ ՈՒՆՏԳԵՆՅԱՆ ՃԱՌԱԳԱՅԹՆԵՐԻ ԿԻՐԱՌՈՒԹՅՈՒՆՆԵՐԸ

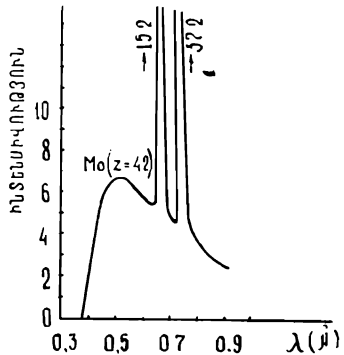
Անընդհատ սպեկտրով ունտգենյան ճառագայթները կարևոր կիրառություններ ունեն տեխնիկայում, բժշկության և ունտգենաստրուկտորային ու ունտգենասպեկտրային հետազոտությունների բնագավառներում։ Անընդհատ սպեկտրով ունտգենյան ճառագայթները տեխնիկայում լայն կիրառություններ ունեն շինվածքների ներքին անտեսանելի թերությունները հայտնաբերելու գործում։ Բժշկության մեջ այդ ճառագայթներով լուսավորում են մարդկանց ներքին օրգանները՝ հիվանդությունները հայտնաբերելու նպատակով (ախտորոշում)։ Ունտգենաստրուկտորային անալիզի մեջ անընդհատ սպեկտրով ունտգենյան ճառագայթները կիրառվում են լառուելի եղանակով բյուրեղների կառուցվածքը հետազոտելիս, իսկ ունտգենասպեկտրային անալիզի մեջ այդ ճառագայթները կիրառվում են կլանման սպեկտրները հետազոտելիս (տե՛ս հետագայում) և այլն։ Զանազան բնագավառներում կիրառվող անընդհատ ըսպեկտրով ունտգենյան ճառագայթների ալիքի երկարությունները գտնվում են $\text{Å}-ից$ մինչև $1\text{X}\text{U}^*$ տիրույթում։

* $1\text{X}\text{U}=10^{-11}$ սմ,

§ 2. ԳԾԱՅԻՆ ՍՊԵԿՏՐՈՎ ՌԵՆՏԳԵՆՅԱՆ ԺԱՌԱԳԱՅԹՆԵՐ (ԲՆՈՐՈՇ ՏԱՌԱԳԱՅԹՆԵՐ)

1. ԳԾԱՅԻՆ ՍՊԵԿՏՐՈՎ ՌԵՆՏԳԵՆՅԱՆ ՃԱՌԱԳԱՅԹՆԵՐԻ ԱՌԱՋԱՑՈՒՄԸ

Երբ ոենտգենյան խողովակի վրա կիրառված պոտենցիալների տարբերությունը աստիճանաբար մեծացնելով այն ավելի մեծ ենք դարձնում, քան տվյալ նյութից պատրաստված անողի համար մի որոշակի V_0 , ապա անընդհատ սպեկտրով ոենտգենյան ճառագայթների հետ միասին առաջանում են նաև գծային սպեկտրով ոենտգենյան ճառագայթներ (նկ. 38): Այդ դեպքում կատողից դեպի անող գնացող արագացված էլեկտրոնների մի մասն իր էներգիան տալիս է անողի ատոմների միջուկներին մոտ գտնվող էլեկտրոններին: Վերջիններս, ստանալով վերոհիշյալ էներգիան, հեռանում են ատոմից կամ էլ գրավում ազատ մակարդակներ: Այսպիսով, անողի ատոմների միջուկներին մոտ առաջանում են էլեկտրոններից ազատ մակարդակներ: Ազատ մակարդակներ առաջանալուց անմիջապես հետո (*մոտավորապես 10^{-8} վայրկյանի ընթացքում*) հեռավոր մակարդակներից այդ ազատ մակարդակներն են տեղափոխվում էլեկտրոնները, որոնք իրենց առաջին և վերջին մակարդակներում ունեցած էներգիաների տարբերությունը արձակում են որպես ոենտգենյան ճառագայթներ: Քանի որ միջուկին մոտ գրանցվող էլեկտրոնին ատոմից դուրս հանելու համար անհրաժեշտ է մի որոշակի E_0 էներգիային հավասար կամ նրանից մեծ էներգիա, ապա գծային սպեկտրով ոենտգենյան ճառագայթներ առաջացնելու համար ոենտգենյան խողովակի վրա կիրառված պոտենցիալների տարբերությունը պետք է բավարարի հետևյալ պայմանին՝ $E \geq E_0$, որտեղ E -ն էլեկտրոնի լիցքն է, իսկ U -ն՝ ոենտգենյան խողովակի վրա կիրառված պոտենցիալների տարբերությունը: Ուրեմն, ոենտգենյան խողովակի անողը ուբաքոծող էլեկտրոնների աղղեցության տակ անողի ատոմները գրգովում են և, երբ անցնում են նորմալ



Նկ. 38. Անընդհատ և գծային սպեկտրներով ոենտգենյան ճառագայթների ինտենսիվությունների կախումն ալիքի երկարությունից (անողը սուլքբենից է)

վիճակի, արձակում են ունտգենյան ճառագայթներ: Սակայն, քանի որ ատոմը կլանում և արձակում է էներգիայի միայն որոշակի բաժիններ, այդ պատճառով էլ նրա արձակած ունտգենյան ճառագայթներն ունենում են գծային սպեկտր, որը բաղկացած է որոշակի դիսկրետ գծերից: Տարբեր տեսակի ատոմների կլանած և արձակած էներգիայի բաժինների մեծությունները տարբեր են լինում, ուստի և տարբեր կլինեն տարբեր տեսակի ատոմների արձակած ունտգենյան ալիքների հաճախականությունները: Այսպիսով, ունտգենյան խողովակում առաջացած գծային սպեկտրով ունտգենյան ճառագայթների սպեկտրալ բնույթը (հաճախականությունները) բնորոշվում է անողի ատոմների տեսակով՝ անողի բաղադրությամբ: Այդ նկատառումով էլ ունտգենյան գծային սպեկտրով ճառագայթներն անվանվում են բնորոշ (խարակտերիստիկ) ճառագայթներ: Նրանք բնորոշվում են անողի նյութի տեսակով և հակառակը՝ բնորոշում են անողի նյութի տեսակը:

Գծային սպեկտրով ունտգենյան ճառագայթների առանձին սպեկտրալ գծերի ծագումը և հաճախականությունները որոշելու համար անհրաժեշտ է գտնել այդ ճառագայթներն արձակող ատոմների տարբեր էներգետիկ մակարդակներին համապատասխանող էներգիաները:

2. ՈՒՆՏԳԵՆՅԱՆ ՄԱԿԱՐԴԱԿԱՆԵՐԻ ԷՆԵՐԳԻԱՆԵՐԸ

Ինչպես հայտնի է քվանտային մեխանիկայից, Դիրակի տեսությամբ զրածնի ատոմի և զրածնանման իոնների էներգիաների համար ստացվում է

$$E = -\frac{Rch}{n^2} Z^2 \left\{ 1 + \frac{\alpha^2 Z^2}{n} \left(\frac{1}{j+1/2} - \frac{3}{4n} \right) \right\} \quad (2.7)$$

արտահայտությունը, որտեղ R -ը Ռիզերվի հաստատունն է, n -ը գլխավոր քվանտային թիվն է, j -ն՝ լրիվ մեխանիկական մոմենտի-

քվանտային թիվը (ուղեծրային և սեփական), $\alpha^2 = \frac{2\pi e^2}{hc}$:

Զրածնանման ատոմների էներգիաների համար նույնպես կարելի է օգտվել (2.7) արտահայտությունից, եթե այդ արտահայտության մեջ կատարենք որոշ փոփոխություն, հաշվի առնելով հետևյալ հանգամանքը: Զրածնանման ատոմները վերջին թաղանթում ունեն մի էլեկտրոն, որը պտտվում է eZ լիցքով միջուկի դաշտում, սակայն մյուս էլեկտրոնների գոյության պատճառով միջուկի ազ-

դեցությունը այդ արտաքին էլեկտրոնի վրա փոքրանում է, մնացած էլեկտրոնները էկրանի դեր են կատարում այդ էլեկտրոնի նը-կատմամբ. արտաքին էլեկտրոնը պաշտպանում են միջուկի ազդեցությունից: Այդ պատճառով արտաքին էլեկտրոնի նկատմամբ մի-չուկի լիցքը պետք է համարել $eZ - \sigma$ փոքր և հավասար $eZ_{\text{չ}} - \sigma$, որտեղ $Z_{\text{չ}} < eZ$ պայմանին:

Եթե էկրանացումը լիներ լրիվ, $Z_{\text{չ}} = eZ$ հավասար էլիներ $1 - \sigma$, քայլ քանի որ, համաձայն քվանտային մեխանիկայի, գոյությունը ունի որոշ հավանականություն այն բանի, որ արտաքին էլեկտրոնը որոշ ժամանակ կարող է գտնվել նաև ներքին թաղանթների ներսում, ապա միջին հաշվով էկրանացումը լրիվ չի լինի և $Z_{\text{չ}} > 1$:

Այսպիսով, ջրածնանման ատոմների էներգիաների համար (2.7) արտահայտությունը պետք է ըստ ժամանակի միջինացնել և $Z - \sigma$ փոխարեն տեղադրել $Z_{\text{չ}} = Z - \sigma$, որտեղ σ -ն կոչվում է էկրանավորման հաստատուն և բավարարում $0 < \sigma < Z - 1$ պայմանին: Ջրածնանման ատոմների էներգիաների համար կստանանք հետեւյալ արտահայտությունը՝

$$E = -\frac{Rch}{n^2} (Z - \sigma)^2 \left\{ 1 + \frac{\alpha^2(Z - \sigma)^2}{n} \left(\frac{1}{j+\frac{1}{2}} - \frac{3}{4n} \right) \right\}: \quad (2.8)$$

(2.8)-ը ջրածնանման ատոմների արտաքին էլեկտրոնի, այսինքն՝ օպտիկական էլեկտրոնի էներգիայի արտահայտությունն է, բայց այստեղ մեզ հետաքրքրում է միջուկին մոտ գտնվող էլեկտրոնի, այսինքն՝ ունտգենյան էլեկտրոնի էներգիան: Այժմ տեսնենք, թե (2.8)-ից ինչպես կարելի է ստանալ այդ ունտգենյան էլեկտրոնի (միջուկին մոտ գտնվող էլեկտրոնի) էներգիայի արտահայտությունը: Նախ պայմանավորվենք, թե ինչ ենք հասկանալու մակարդակի էներգիա ասելով և որտեղ ենք ընարելու էներգիայի զրոն՝ հաշվման սկիզբը: Ընդունված է ի-րդ մակարդակի էներգիա համարել ատոմի այն վիճակի էներգիան, որում ատոմը զրկված է իր ի-րդ մակարդակի մեկ էլեկտրոնից: Ատոմի էներգիան համարվում է զրոյին հավասար, եթե նա զրկված է իր արտաքին (ամենահեռավոր) էլեկտրոնից: Այսպիսի պայմանավորվածության դեպքում ատոմի էներգիան կլինի բացասական, եթե նրա էլեկտրոններից ոչ մեկը հեռացված չէ, կլինի զրո, եթե արտաքին էլեկտրոնն է հեռացված, և վերջապես կլինի դրական, եթե ներքին էլեկտրոններից մեկն է հեռացված: Ատոմի էներգիան այնքան մեծ կլինի, որքան միջուկին մոտ ուղեծրից է կատարվում էլեկտրոնի հեռացումը: Օպտիկական մակարդակների գրգռման դեպքում ատոմի էներգիան կլինի բացա-

սական, որովհետեւ այդ ժամանակ վալենտական էլեկտրոնը, մնալով ատոմի մեջ, բարձրանում է հնարավոր, բայց էլեկտրոնից ազատ մակարդակներից մեկի վրա: Այսպիսով, օպտիկական մակարդակները գրգռելիս ատոմի էներգիան կլինի բացասական, իսկ թերմը՝ դրական*, ներքին մակարդակները գրգռելիս ատոմի էներգիան կլինի դրական, իսկ թերմը՝ բացասական, այսինքն՝ օպտիկական թերմերը դրական են, իսկ ունտգենյանները՝ բացասական*: Ուրեմն, երբ ի-րդ մակարդակից է հեռացված՝ էլեկտրոնը, կասենք որ ատոմը գտնվում է ի-րդ մակարդակում, իսկ երբ մի որեւէ ի-րդ մակարդակից էլեկտրոնն անցավ այդ ազատ ի-րդ մակարդակը, ապա կասենք, որ ատոմը ի-րդ մակարդակից անցավ ի-րդ մակարդակը:

(2.8) բանաձևը կարելի է գրել և հետևյալ տեսքով.

$$E = -Rch \frac{(Z-\sigma)^2}{n^2} + Rch \frac{\alpha^2(Z-\sigma)^4}{n^3} \left(\frac{3}{4n} - \frac{1}{l+1/2} \right) + \\ + Rch \frac{\alpha^2(Z-\sigma)^4}{n^3} \frac{\overset{\leftrightarrow}{1\ s}}{l(l+1)(l+1/2)}: \quad (2.9)$$

(2.9) բանաձևում առաջին հիմնական անդամը էլեկտրոնների լրիվ էներգիան է (կինետիկ և պոտենցիալ), երկրորդ անդամը ուղղամասիվ կատարական ուղղումն է, իսկ երրորդը՝ էլեկտրոնի սպինի և ուղեծրային մոմենտի փոխազդեցության, այսինքն՝ ատոմի ներքին պրեցեսիայի ուղղումն է:

Մակարդակի էներգիայի և էներգիայի հաշվման սկզբի (զրո արժեքի)* վերեւում տրված սահմանման համաձայն մակարդակի էներգիայի հիմնական անդամը որոշվում է այն էներգիայով, որով փոփոխվում է ատոմի էներգիան այդ մակարդակից էլեկտրոնի հեռացման հետևանքով: Դա նշանակում է, որ էներգիայի հիմնական անդամը հավասար է դիտարկվող մակարդակում էլեկտրոնի ունեցած լրիվ էներգիային, քանի որ էլեկտրոնին այդ մակարդակից հեռացնելու համար անհրաժեշտ է ատոմին հաղորդել այդ էլեկտրոնի լրիվ էներգիային հավասար էներգիա: էներգիայի մնացած երկու անդամները, այսինքն ուղղումները, կախված են ուղեծրային և սպինային մոմենտներից: Քվանտային մեխանիկայից հայտնի է,

* Վիճակի թերմը գտնելու համար անհրաժեշտ է այդ վիճակին համապատասխանող E_n էներգիան բաժանել hc -ի վրա և վերցնել հակառակ նշանով:
 $T_n = -\frac{E_n}{hc}$,

որ էլեկտրոնային փակ (էլեկտրոններով լրացված) թաղանթի լրիվ մագնիսական մոմենտը հավասար է զրոյի, այսինքն՝ այդպիսի թաղանթները էներգիայի ուղղում չեն առաջացնում։ Ուստի էներգիայի հիմնական անդամին արվող ուղղումները, որոնցով պայմանավորված է սպեկտրալ գծերի նույր կառուցվածքը, կախված են միայն բաց (լրացված) թաղանթներում գտնվող էլեկտրոններից։ Բաց էլեկտրոնային թաղանթներում մագնիսական մոմենտը որոշվում է առանձին էլեկտրոնների մագնիսական մոմենտների տարբեր դասավորվածությամբ, և հենց այդպիսի հնարավոր տարբեր կոմբինացիաների թվով էլ որոշվում է սպեկտրալ գծի մուկտիպլետականությունը՝ սպեկտրալ գծի նույր կառուցվածքի բաղադրիչների թիվը։

Քվանտային մեխանիկայում գոյություն ունի մի սկզբունք, որը կոչվում է Պաուլիի ազատ (թափուր) տեղերի սկզբունքը՝ ձամաձայն այդ սկզբունքի միանույն ու և լ ունեցող Հ հատ էլեկտրոնների բաշխումը տալիս է այնքան և այնպիսի թերմեր (միայնակ, կրկնակի և եռակի), որքան և որպիսի թերմեր տալիս են այդ նույն ու-ը և լ-ն ունեցող էլեկտրոնները, որոնց թիվը փակ լինելուց պակաս է Հ-ով։ Այդ սկզբունքից բխում է, որ

1. զրածնանման ատոմները (ոչ փակ թաղանթում մեկ էլեկտրոն ունեցող ատոմները) տալիս են այնքան և այնպիսի թերմեր, որքան և որպիսի թերմեր ունեն այն ատոմները, որոնց վերջին թաղանթում գտնվող էլեկտրոնների թիվը մեկով է պակաս փակ լինելուց։

2. Քանի որ ունտգենյան գծային սպեկտրով ճառագայթներն առաջանում են այն ժամանակ, երբ ատոմի ներքին թաղանթներից մեկ էլեկտրոն է պակասում, ապա, համաձայն Պաուլիի ազատ (թափուր) տեղերի սկզբունքի, ունտգենյան թերմերի տեսակներն ու թիվը պետք է հավասար լինեն զրածնանման ատոմների թերմերի տեսակներին ու թվին։ Ուստի համաձայն Պաուլիի ազատ տեղերի սկզբունքի, ունտգենյան սպեկտրները նման են զրածնանման ատոմների օպտիկական սպեկտրներին և ունտգենյան մակարդակների էներգիաները կարելի է որոշել (2.9) բանաձնել միջոցով, միայն այստեղ որոշ ուղղում պետք է մտցնել հետեւալ իմաստով։ (2.9) արտահայտությունը բաղկացած է երկու անդամներից, որոնցից առաջինը էներգիայի հիմնական անդամն է, որը կախված է միայն ո գլխավոր քվանտային թվից, իսկ երկրորդը՝ ՝ լ-ից, Տ-ից և նրանց՝ իրար հետ կազմած անկյունից։

Ինչպես արդեն նշել ենք, ունտգենյան մակարդակներն ատոմի

Ներքին մակարդակներ են, որոնց էլեկտրոնները, ըստ քվանտամեխանիկական պատկերացումների, որոշ ժամանակ լինում են իրենց թաղանթի ներսում և որոշ ժամանակ էլ այդ թաղանթից դուրս, այդ պատճառով էներգիայի հիմնական անդամի մեջ միջուկի էֆեկտիվ լիցքը պայմանավորված կլինի ոչ միայն այդ թաղանթի նկատմամբ ներքին, այլև արտաքին էլեկտրոնների էկրանացմամբ։ Ուստի հիմնական անդամի մեջ մենք Ծ-ն կփոխարինենք Ծ-ով, որը կանվանենք լրիվ էկրանավորման հաստատուն։ Մյուս կողմից, քանի որ երկրորդ անդամը կախված է տվյալ էլեկտրոնի լ-ի և Տ-ի և մյուս էլեկտրոնների մագնիսական մոմենտների փոխազդեցություններից, և քանի որ, ինչպես արդեն նշել ենք, փակ թաղանթների լրիվ մագնիսական մոմենտը հավասար է զրոյի, ապա երկրորդ անդամի մեջ պետք է հաշվի առնել միայն բաց թաղանթի էլեկտրոնների մագնիսական մոմենտների փոխազդեցությունները։ Ուստի, ոենտգենյան մակարդակների դեպքում երկրորդ անդամի մեջ պետք է հաշվի առնել միայն այն թաղանթի մագնիսական մոմենտի փոխազդեցությունը, որից հեռացված է մեկ էլեկտրոն։ Այսպիսով, երկրորդ անդամի մեջ միջուկի էֆեկտիվ լիցքը որոշելիս պետք է հաշվի առնել միայն տվյալ թաղանթի նկատմամբ ներքին էլեկտրոնների էկրանացնող դերը։ Ուրեմն, ոենտգենյան մակարդակների համար (2.8)-ի երկրորդ անդամի մեջ Ծ-ն պետք է փոխարինել Ծ-ով, Ծ-ը կոչվում է ներքին էկրանացման հաստատուն։ Այսպիսով, ոենտգենյան մակարդակների էներգիաների որոշման համար (2.8)-ի փոխարեն պետք է օգտվել հետեւյալ բանաձևից։

$$E = +R \sin \left[\frac{(Z - \sigma_1)^2}{n^2} + \frac{\alpha^2(Z - \sigma_2)^4}{n^4} \left(\frac{n}{j+1/\alpha} - \frac{3}{4} \right) \right] : \quad (2.10)$$

Համաձայն էներգիայի հաշվման սկզբնակետի (զրո արժեքի) մերսահմանման՝ ոենտգենյան մակարդակների էներգիան, հակառակ օպտիկականի, պետք է վերցնել պլյուս նշանով։ Ծ-ը ոչ մեծ սահմաններում կախված է Z-ից և աճում է Z-ի, ո-ի և լ-ի աճմամբ, որովհետև Ծ-ը որոշվում է ատոմի բոլոր էլեկտրոններով։ Ծ-ը պայմանավորված է միայն ներքին էլեկտրոններով, իսկ ներքին էլեկտրոննային թաղանթներում էլեկտրոնների բաշխումը համարյա բոլոր ատոմների մեջ նույնն է (միայն ամենաթեթևների մոտ է, որ նույնը չէ), այդ պատճառով էլ Ծ-ը կախված չէ Z-ից, բայց աճում է ո-ի և լ-ի աճմամբ։ Վերը շարադրածից պարզ է նաև այն, որ $\sigma_1 > \sigma_2$ ։

Ինչպես (2.8), այնպես էլ (2.10) բանաձևերի մեջ հաշվի ըլ-

առնված ատոմի միջուկի շարժումը: Վերջինիս հաշվառմամբ (2.10) բանաձևը կընդունի հետևյալ վերջնական տեսքը՝

$$E = +Rch \frac{M_z}{M_z+m_0} \left[\frac{(Z-\sigma_1)^2}{n^2} + \frac{\alpha^2(Z-\sigma_2)^4}{n^4} - \left(\frac{n}{j+1/2} - \frac{3}{4} \right) \right]: \quad (2.11)$$

3. ԳԾԱՅԻՆ ՍՊԵԿՏՐՈՎ ՌԵՆՏԳԵՆՅԱՆ ՃԱՌԱԳԱՅՑԲՆԵՐԻ ՍՊԵԿՏՐԱՅԻՆ ՍԵՐԻԱՆԵՐԸ

Մենք որոշեցինք ռենտգենյան մակարդակների էներգիաները: Այժմ կարող ենք քննել ռենտգենյան սպեկտրային գծերի ծագումը և նրանց կազմած սերիաները:

Ռենտգենյան սպեկտրային գծերն առաջանում են այն ժամանակ, երբ ատոմը մեծ էներգիա ունեցող մակարդակից անցնում է փոքր էներգիա ունեցող մակարդակը: Ի՞արկե, ինչպես օպտիկական, այնպես էլ ռենտգենյան մակարդակների դեպքում ոչ բոլոր անցումներն են հնարավոր:

Որոշ գեպերում անցման հավանականությունը լինում է այնքան փոքր, որ համապատասխան գծի ինտենսիվությունը չափազանց փոքր է լինում: Այդպիսի անցումներն արգելված անցումներ են համարվում: Երկու մակարդակների միջև անցումը հնարավոր է, եթե այդ մակարդակների համապատասխան քվանտացին թվերի տարբերությունները բավարարում են հետևյալ պայմաններին (շոկ-ման պայմաններ):

$$\begin{aligned} 1) \Delta l &= \pm 1, \\ 2) |\Delta j| &= 0, \pm 1: \end{aligned} \quad (2.12)$$

Այս պայմաններին բավարարող անցումներին համապատասխանող սպեկտրային գծերն ամենահնտենսիվ գծերն են և կոչվում են «էլեկտրական դիպոլային գծեր»:

Բացի այդ գծերից, դիտվում են նաև ավելի թույլ ինտենսիվությամբ սպեկտրային գծեր, որոնք հետևանք են հետևյալ պայմաններին բավարարող անցումների.

$$\begin{aligned} 1) \Delta l &= 0, 2, \\ 2) |\Delta j| &= 2: \end{aligned} \quad (2.13)$$

Այս գծերը կոչվում են «էլեկտրական կվադրուպոլային» գծեր:

Ռենտգենյան սպեկտրասկզբայի մեջ գլխավոր քվանտացին թվի տարբեր արժեքներին համապատասխանող էլեկտրոնային թաղանթները նշանակվում են հետևյալ կերպ.

n=1 2 3 4 5 6

թաղանթը՝ K L M N O P

Այսինքն՝ առաջին թաղանթը ($n=1$) նշանակվում է K տառով, երկրորդը ($n=2$)՝ L տառով, երրորդը ($n=3$)՝ M տառով և այլն, թաղանթի էլեկտրոնները բաժանվում են ենթախմբերի՝ Տ էլեկտրոններ, թ էլեկտրոններ, Ժ էլեկտրոններ, Ֆ էլեկտրոններ և այլն*, ուստի համապատասխան այդ ենթախմբերի՝ ունտգենյան սպեկտրոսկոպիայում ատոմի մակարդակների համար ընդունված են հետևյալ նշանակումները.

Ակնակի տեսակը	1s	2s	2p	3s	3p	3d	4s...
Նշանակումը	K	L _I	L _{II} , L _{III}	M _I	M _{II} , M _{III}	M _{IV} , M _V	N _I

Այսպիսով, առաջին թաղանթը ($n=1$), որն ունի միայն 1 Տ էլեկտրոններ, ենթամակարդակներ չունի, երկրորդ թաղանթը ($n=2$), որն ունի 2 s և 2 p էլեկտրոններ, բաղկացած է երեք ենթամակարդակներից՝ L_I-ը համապատասխանում է 2 s էլեկտրոններին, իսկ L_I-ը և L_{II}-ը՝ 2p էլեկտրոններին, երրորդ թաղանթը ($n=3$), որն ունի 3 s, 3 p և 3 d էլեկտրոններ, բաղկացած է հինգ ենթամակարդակներից՝ M_I-ը համապատասխանում է 3 s էլեկտրոններին, M_{II}-ը և M_{III}-ը՝ 3p էլեկտրոններին, իսկ M_{IV}-ը և M_V-ը՝ 3d էլեկտրոններին, վերջապես N մակարդակը ($n=4$) ունի 7 ենթամակարդակներ և այլն:

Այդ մակարդակների բաժանումը ենթամակարդակների և նըրանց համապատասխանող n, l ու j քվանտային թվերի արժեքները բերված են № 1 աղյուսակում: Աղյուսակից պարզ երեսում է, թե ինչուս էլեկտրոններին (տվյալ n-ի գեպքում) համապատասխանում է միայն մի մակարդակ, իսկ p, d և f էլեկտրոններին համապատասխանում են (տվյալ n-ի գեպքում) երկուական մակարդակներ: Դրա պատճառը հետևյալն է. j-ն բոլոր Տ էլեկտրոնների համար ունի միայն մեկ արժեք ($j=1/2$), իսկ p, d և f էլեկտրոնների համար՝ երկու տարբեք արժեքներ (տե՛ս աղյուսակ № 1):

Ունտգենյան սպեկտրային գծերն առաջանում են հենց այդ մակարդակների միջև զոկման կանոններին համապատասխան ան-

* 1-ի տարրեր արժեքներին համապատասխանող էլեկտրոնային ուղեծրերը և նըրանց համապատասխանող էներգիաները նշանակվում են հետևյալ տառերով.

1=0, 1, 2, 3, 4, .
s, p, d, f, g, . .

ցումների հետևանքով, ընդ որում, մեծ էներգիա ունեցող մակարդակից փոքր էներգիա ունեցող մակարդակին անցնելու հետևանքով տեղի կունենա ճառագայթում, իսկ փոքր էներգիա ունեցող մակարդակից մեծ էներգիա ունեցող մակարդակին անցնելիս տեղի կունենա կլանում:

Կ մակարդակը գրգռելուց հետո (Կ թաղանթի էլեկտրոններից մեկը ատոմից հեռացնելուց հետո) առաջացած սպեկտրային գծերի ամբողջ խումբը կոչվում է Կ սերիա, իսկ Լ մակարդակը գրգռվելուց հետո (Լ թաղանթի էլեկտրոններից մեկը հեռացնելուց հետո) առաջացած սպեկտրային գծերի ամբողջ խումբը կոչվում է Լ սերիա:

Ա Դ Յ Ռ Ա Ս Ա Կ Ւ Ր

Ատոմի ռենտգենյան մակարդակների բվանտային բվերի արժեքները

Մակարդակները		n	l	j	Մակարդակները		n	l	j		
K	1s		1	0		1/2	NVII		4	3	5/2
L _I	2s	2	0	1/2	NVIII		4f	4	3	7/2	
L _{II}		2	1	1/2	O _I	5s	5	0	1/2		
L _{III}	2p	2	1	3/2	O _{II}		5p	5	1	1/2	
M _I	3	3	0	1/2	O _{III}		5d	5	1	3/2	
M _{II}		3	1	1/2	O _{IV}		5d	5	2	3/2	
M _{III}	3p	3	1	3/2	O _V		5f	5	2	5/2	
M _{IV}		3	2	3/2	O _{VI}		5f	5	3	5/2	
M _V	3d	3	2	5/2	O _{VII}		5f	5	3	7/2	
N _I	4s	4	0	1/2	P _I	6s	6	0	1/2		
N _{II}		4	1	1/2	P _{II}		6p	6	1	1/2	
N _{III}	4p	4	1	3/2	P _{III}		6p	6	1	3/2	
N _{IV}		4	2	3/2	P _{IV}		6d	6	2	3/2	
N _V	4d	4	2	5/2	P _V		6d	6	2	5/2	
					Q _I			7	0	1/2	

Եթե նույն բանը կատարենք M, N, O, P և այլն մակարդակների հետ, ապա կստանանք սպեկտրային գծերի M, N, O, P և այլն սերիաներ:

39-րդ նկարում պատկերված են K, L, M, N, O և P մակարդակներն ու նրանց ենթամակարդակները (հորիզոնական գծեր): Այս կողմում ցույց են տրված այդ մակարդակներին համապատասխանող բվանտային թվերի արժեքները, էներգիայի մակարդակները ներկայացնող հորիզոնական գծերին ուղղահայաց տարված սլաքներով ցույց են տրված այդ մակարդակների միջև կատարվող անցումները և այդ անցումների հետևանքով առաջացած սպեկտրային գծերի նշանակումները (սիմվոլները): Օրինակ՝ K մակարդա-

Կից L_{III} մակարդակին անցնելու ($K \rightarrow L_{III}$) հետևանքով առաջացած սպեկտրային գիծը նշանակվում է ձ1-ով, իսկ որպեսզի հասկանալի լինի, որ այդ գիծը պատկանում է K սերիային, կատարում են հետևյալ նշանակումը՝ $K\alpha_1$:

Մի քանի սպեկտրային գծերի նշանակումները և նրանց համապատասխան անցումները ցույց են տրված № 2 աղյուսակում:

Աղյուսակ 2

$\eta\delta\eta$ նշանակումը	$K\alpha_1$	$U_{K\alpha_1}$	նշանակում, որը ցույց է տալիս և գիծը, և սերիան
α_2	$K \rightarrow L_{II}$	K	$K\alpha_2$
α_1	$K \rightarrow L_{III}$	K	$K\alpha_1$
β_3	$K \rightarrow M_{III}$	K	$K\beta_3$
β_1	$K \rightarrow N_{III}$	K	$K\beta_1$
β_2		K	$K\beta_2$
α_2	$L_{III} \rightarrow M_{IV}$	L	$L\alpha_2$
α_1	$L_{III} \rightarrow M_V$	L	$L\alpha_1$
ν_1	$L_{II} \rightarrow M_{IV}$	L	$L\nu_1$

39-րդ նկարում Հոծ գծերով ցույց են տրված ջոկման (2.12) պայմաններին համապատասխանող անցումները: Դրանց համապատասխանող գծերը (էլեկտրական դիպոլային) ինտենսիվ գծեր են: Այդ նույն նկարում կետագծերով ցույց են տրված ջոկման (2.13) պայմաններով պայմանավորված անցումները, որոնց համապատասխանող գծերը (էլեկտրական կվադրուպոլային) թույլ գծեր են: Կլանման գծերը նույնպես ենթարկվում են (2.12) և (2.13) ջոկման պայմաններին:

Կլանման սպեկտր ստանալու համար անհրաժեշտ է անընդհատ սպեկտրով ունտգենյան ճառագայթներն անցկացնել այն նյութի միջով, որի կլանման սպեկտրը ուզում ենք ստանալ:

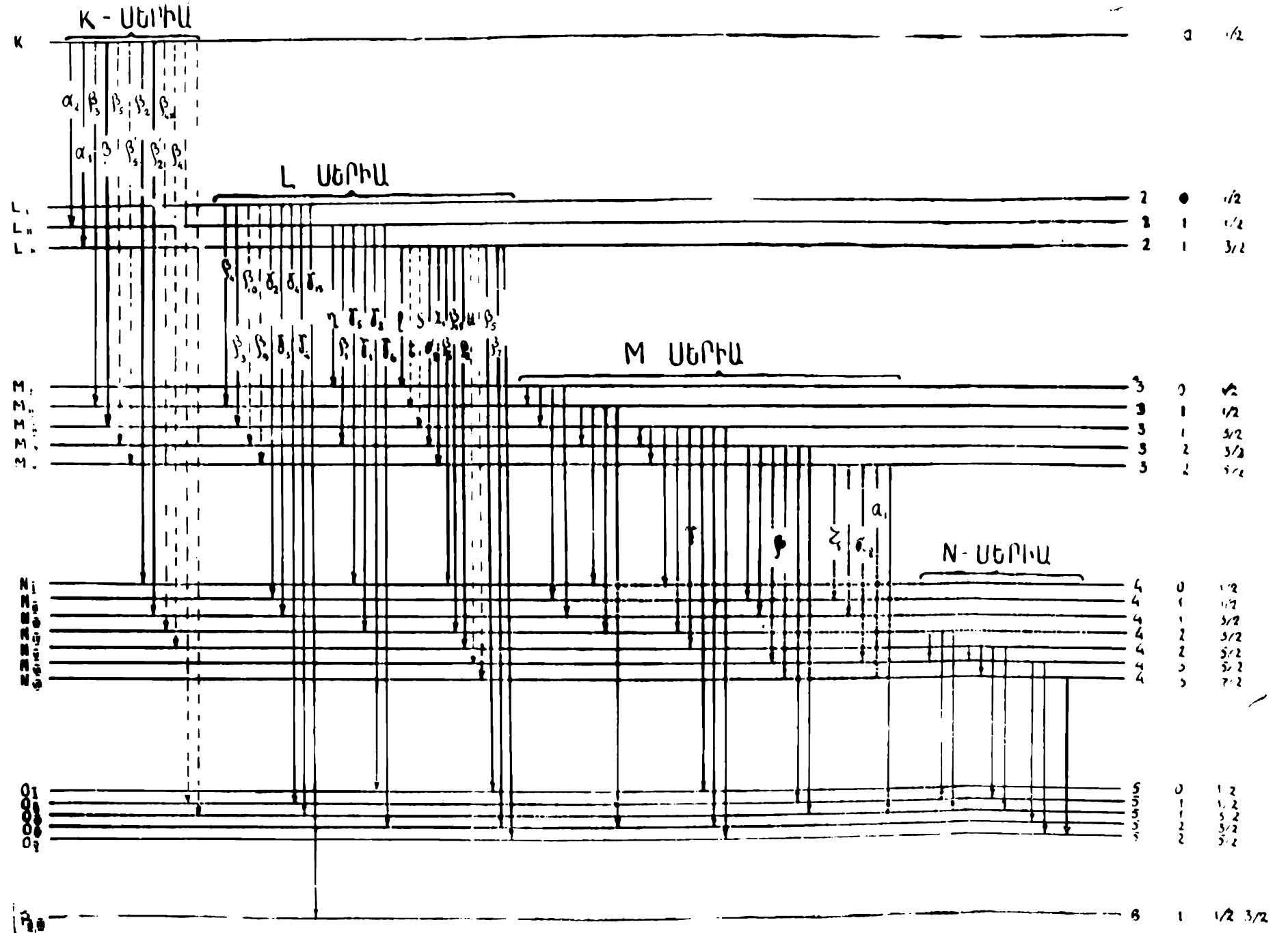
4. ԷՆԵՐԳԵՏԻԿ ՄԱԿԱՐԴԱԿԱՆԵՐԻ ԵՎ ՍՊԵԿՏՐԱՅԻՆ ԳԾԵՐԻ

ԴՐԽԵՑԱԿԱՆՈՒԹՅՈՒՆԸ (ԿՐԿՆԱԿԻՌՈՒԹՅՈՒՆԸ)

Ունտգենյան սպեկտրոսկոպիայի մեջ ընդունված է սպին-դուբլետներ (կրկնակիներ) կոչել այն երկու էներգետիկ մակարդակները, որոնք ունեն միևնույն Ռ-ը և Լ-ը, բայց տարբերվում են սպինների ուղղությամբ. մակարդակներից մեկի մոտ սպինը գումարվում է ուղեծրային մոմենտին, իսկ մյուսի մոտ՝ հանվում, այսինքն՝

$$\downarrow_1 = +1/\hbar, \quad \text{իսկ} \quad \downarrow_2 = -1/\hbar;$$

էներգետիկ մակարդակների սպին-դուբլետների գոյության հետևանքով առաջանում են նաև սպեկտրային գծերի սպին-դուբլետներ: Երկու սպեկտրային գծեր համարվում են սպին-դուբլետ, եթե՝



1. անցման սկզբնական մակարդակն ընդհանուր է, իսկ վերջ-նական մակարդակները սպին-դուբլետներ են.

2. անցման վերջնական մակարդակը ընդհանուր է, իսկ սկզբնական մակարդակները սպին-դուբլետներ են: Օրինակ՝ L_{II} և L_{III} մակարդակները սպին-դուբլետ մակարդակներ են: Եթե K_{II} մակարդակից անցում կատարվի դեպի այդ մակարդակները, ապա ըստացված K_{a} , և K_{a} , գծերը կլինեն սպին-դուբլետներ:

(2.9) բանաձեկից երկում է, որ մակարդակի էներգիան կախված է և յ քվանտային թվերից, բայց կախված չէ լ քվանտային թվից, այսինքն՝ միևնույն և յ, բայց տարբեր 1-եր ունեցող մակարդակների էներգիաները պետք է նույնը լինեն: Այդպիսի մակարդակներ են, օրինակ, $L_{\text{I}}\text{-ը}$ և $L_{\text{II}}\text{-ը}$, $M_{\text{I}}\text{-ը}$ և $M_{\text{II}}\text{-ը}$, $M_{\text{III}}\text{-ը}$ և $M_{\text{IV}}\text{-ը}$ և այլն: Սակայն, եթե, օրինակի համար, հաշվենք L_{I} և L_{II} մակարդակների էներգիաները (2.11) բանաձեկի օգնությամբ, ապա նույն արդյունքը չենք ստանա: Պատճառը հետևյալն է: Այդ մակարդակների համար 1-ը նույնը չէ, և չնայած 1-ը բացահայտ կերպով (2.11) բանաձեկի մեջ չի մտնում, սակայն էկրանացման σ_1 և σ_2 հաստատունները միևնույն ի-ի և յ-ի, բայց տարբեր 1-երի դեպքում տարբեր կլինեն, և, հետևաբար, L_{I} և L_{II} , և $M_{\text{I}}\text{-ի}$ և $M_{\text{II}}\text{-ի}$ և $M_{\text{III}}\text{-ի}$ և $M_{\text{IV}}\text{-ի}$ էներգիաները տարբեր կլինեն: Այդ պատճառով էլ վերոհիշյալ մակարդակները կոչվում են ռէկրանավորման դուբլետներով պայմանավորված են սպեկտրային գծերի էկրանավորման դուբլետները: Սպեկտրային գծերի էկրանավորման դուբլետներ կառաջանան, եթե՝

1. անցման սկզբնական մակարդակն ընդհանուր է, իսկ վերջնական մակարդակներն էկրանավորման դուբլետներ են.

2. անցման վերջնական մակարդակն ընդհանուր է, իսկ ըսկզբնական մակարդակներն էկրանավորման դուբլետներ են:

5. ՄՈԶԼԻՒ ՕՐԵՆՔԸ

Դեռ 1914 թվականին Մոզլին նկատեց, որ գոյություն ունի մի պարզ օրենք, որը կապ է հաստատում սպեկտրային գծի հաճախականության և այդ սպեկտրային գիծն արձակող ատոմի կարգաթվի միջև: Երոք, եթե (2.10) բանաձեկի մեջ պահպանենք միայն էներգիայի հիմնական անդամը, ապա կստանանք.

$$E = Rch \frac{(z - \sigma_1)^2}{n^2}, \quad (2.14)$$

իսկ թերմի համար՝

$$T = -R \frac{(z - \sigma_1)^2}{n^2} : \quad (2.15)$$

(2.14)-ից (2.15)-ին անցնելիս մենք հաշվի առանք, որ մակարդակի Ե էներգիան և T թերմն իրար հետ կապված են հետևյալ առնչությամբ.

$$T = -\frac{E}{hc} : \quad (2.16)$$

(2.15)-ը կարելի է գրել և այսպես.

$$\frac{T}{R} = -\frac{(z - \sigma_1)^2}{n^2} : \quad (2.17)$$

Եթե այս վերջին հավասարման երկու կողմերից էլ քառակուսի արմատ հանենք, կստանանք

$$\sqrt{-\frac{T}{R}} = \frac{z}{n} - \frac{\sigma_1}{n} : \quad (2.18)$$

Այստեղ արմատի տակի թիվը դրական է, որովհետև ունտենանան թերմը, համաձայն (2.16)-ի, բացասական է:

(2.18)-ը հենց Մողլիի օրենքն է, ըստ որի՝ թերմի քառակուսի արմատը գծայնորեն է կախված ատոմի համարից:

Օգտվելով (2.17)-ից՝ Մողլիի օրենքը կարելի է գրել նաև սպեկտրային գծերի հաճախականությունների կամ ալիքային թվերի համար: Եթե ատոմն անցնում է ի մակարդակից և մակարդակը, ապա կճառագայթի $\Delta E = E_f - E_i$ էներգիա: Այդ ճառագայթման ալիքային թիվը կարելի է գտնել հետևյալ կերպ.

$$v = T_i - T_f \quad (2.19)$$

Կամ $v = \frac{E_f}{hc} - \frac{E_i}{hc}$: Օգտվելով (2.17)-ից և (2.19)-ից՝ կարող ենք գրել.

$$\frac{v}{R} = \frac{(z - \sigma_{1i})^2}{n_i^2} - \frac{(z - \sigma_{1f})^2}{n_f^2} : \quad (2.20)$$

σ_{1i} -ն և σ_{1f} -ը՝ σ_1 -ի արժեքներն են համապատասխանաբար ի-րդ և ի-րդ մակարդակների համար, իսկ n_i -ն և n_f -ը զիսավոր քվանտային թվի արժեքներն են նույն մակարդակների համար: σ_{1i} -ի և σ_{1f} -ի փոխարեն մացնելով մի միջին σ հետևյալ կերպ՝

$$\frac{(z-\sigma_{ll})^2}{n_f^2} - \frac{(z-\sigma_{lf})^2}{n_l^2} = \frac{(z-\sigma)^2}{n_f^2} - \frac{(z-\sigma)^2}{n_l^2},$$

(2.20)-ից կստանանք.

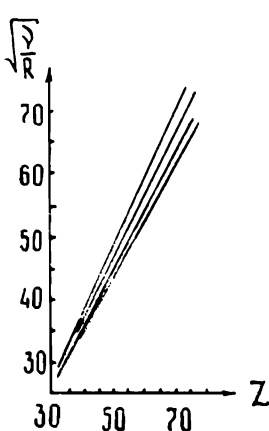
$$\frac{v}{R} = (z - \sigma)^2 \left(\frac{1}{n_f^2} - \frac{1}{n_l^2} \right), \quad (2.21)$$

$$Կամ \sqrt{\frac{v}{R}} = \lambda(z - \sigma), \quad (2.22)$$

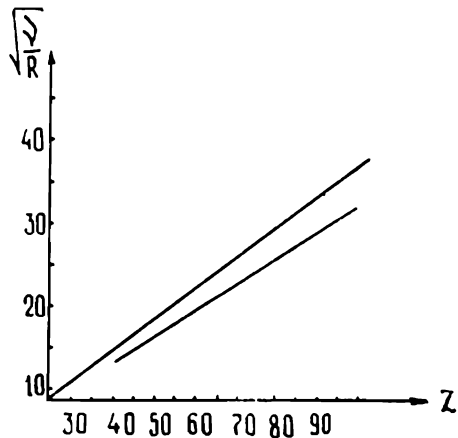
$$որտեղ \lambda = \sqrt{\frac{1}{n_f^2} - \frac{1}{n_l^2}}:$$

(2.22)-ը Մոզիկի օրենքն է սպեկտրային գծերի ալիքային թվերի համար, ըստ որի՝ սպեկտրային գծի ալիքային թվի քառակուսի արմատը գծայնորեն է կախված այդ գիծն արձակող ատոմի համարից:

$\sqrt{\frac{v}{R}}$ մեծության շ-ից ունեցած կախվածության դիագրամները K, L և M սերիաների համար տրված են 40-րդ, 41-րդ և 42-րդ նկարներում (փորձի տվյալներով):



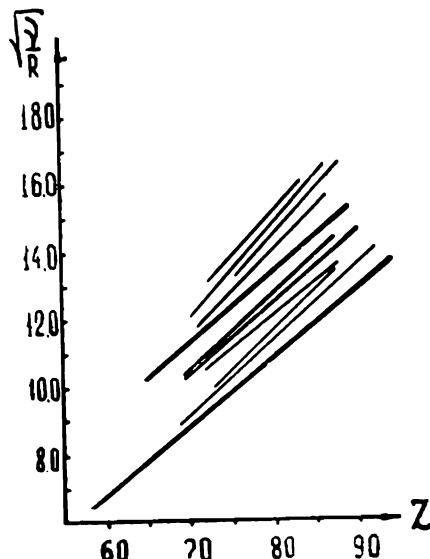
Նկ. 40. Մոզիկի գիտագրամը
K սերիայի համար



Նկ. 41. Մոզիկի գիտագրամը
L սերիայի համար

Զնայած Մոզիկի օրենքը և թերմերի, և ալիքային թվերի համար ճշգրիտ չէ, քանի որ մոտավորություններ կատարեցինք (2.10)-ից (2.14)-ին անցնելիս, բայց և այնպես, ինչպես ցույց են

տալիս 40-րդ, 41-րդ և 42-րդ նկարների դիագրամները, շեղումներն այդ օրենքից այնքան էլ մեծ չեն. փորձնականորեն ստացված կորերն ուղղվերից շատ քիչ են տարբերվում:

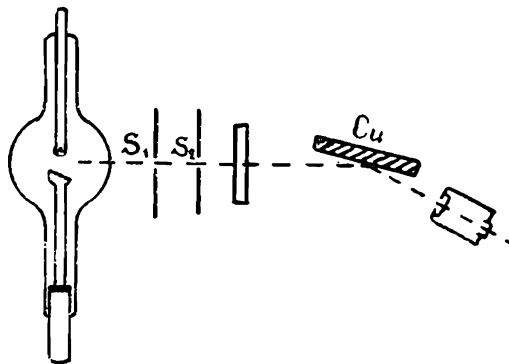


Նկ. 42. Մոպիկի դիագրամը Ա սերիայի համար

6. ԳԾԱՅԻՆ ՍՊԵԿՏՐՈՎՆ ՌԵՆՏԳԵՆՅԱՆ ՃԱՌԱԳԱՅԹՆԵՐԻ ՍՏԱՑՈՒՄԸ ՌԵՆՏԳԵՆՅԱՆ ՃԱՌԱԳԱՅԹՆԵՐԻ ՄԻՋՈՑՈՎ (ՖԼՈՒՌԵՍՑԵՆՅԱՅԻՆ ՃԱՌԱԳԱՅԹՈՒՄ)

Մենք նշեցինք, որ գծային սպեկտրով ռենտգենյան ճառագայթներ կարելի է ստանալ ռենտգենյան խողովակի անողը արագացված էլեկտրոններով ոմբակոծելու միջոցով, եթե միայն էլեկտրոններն արագացնող պոտենցիալը մեծ է տվյալ անողի համար որոշակի V_0 մեծությունից: Սակայն գծային սպեկտրով ռենտգենյան ճառագայթներ կարելի է ստանալ նաև ռենտգենյան ճառագայթների միջոցով: Այդ կարելի է անել հետևյալ կերպ. ենթադրենք ունենք վոլֆրամե անողից ստացված ռենտգենյան ճառագայթներ և ուզում ենք ստանալ պղնձին բնորոշ ճառագայթներ: Այդ նպատակի համար վոլֆրամի ճառագայթների փունջը կուղղենք դեպի պղնձի հղկված մակերևույթը, ինչպես ցույց է տրված 43-րդ նկարում: Վոլֆրամի ճառագայթների մի մասը կցըվի, իսկ մյուս մասը կգրգռի պղնձի բնորոշ ճառագայթներ: Պղնձի բնորոշ ճառագայթների գրգռումը կատարվում է այսպես. երբ վոլֆրամի ճառագայթների գրգռումը կատարվում է այսպես:

գայթների ֆոտոնների հոսքն ընկնում է պղնձի վրա, որոշ ֆոտոններ, որոնց էներգիան հավասար է կամ մեծ միջուկին մոտ գտնվող (Կ, Լ և Ա մակարդակներում գտնվող) էլեկտրոններից որևէ մեկը ատոմից դուրս հանելու համար պահանջվող էներգիայից, կլանվում են այդպիսի էլեկտրոնների կողմից: Այդ էլեկտրոնները, կլանելով ֆոտոններ, հեռանում են ատոմից, ատոմի ներսում առաջացնելով ազատ մակարդակներ, այսինքն՝ ֆոտոնների կլանմամբ գրգռվում են ռենտգենյան մակարդակները ճիշտ այնպես, ինչպես անողը



Նկ. 43. Վոլֆրամի ռենտգենյան ճառագայթներով
պղնձի ռենտգենյան բնորոշ ճառագայթների ստացումը

ոմբակոծող էլեկտրոններն էին գրգռում այդ մակարդակները: Այսպիսով, վոլֆրամի ռենտգենյան ճառագայթների միջոցով կստացվեն պղնձի ռենտգենյան բնորոշ ճառագայթներ: Այս դեպքում վոլֆրամի ճառագայթները կկոչվեն առաջնային ճառագայթներ, իսկ պղնձի բնորոշ ճառագայթները՝ երկրորդային կամ ֆլուորեսցենցային: Բնորոշ ճառագայթների առաջացման այս մեթոդը կոչվում է ֆլուորեսցենցային մեթոդ:

ՈԵՍՏԳԵԼՅԱՆ ՀԱՌԱԳԱՅԹՆԵՐԻ ՕՊՏԻԿԱՆ

Նախքան այս գլխի բուն նյութի շարադրմանն անցնելը, պարզենք այն հարցը, թե ի՞նչ ենք հասկանում ոենտգենյան ճառագայթների օպտիկա ասելով։ Լուսային ալիքների երկարությունը միջավայրի միջատոմային հեռավորությունների համեմատ շատ մեծ է, այդ պատճառով լուսային երևույթների մեծ մասը հնարավոր է բացատրել առանց միջավայրի ատոմական կառուցվածքի առանձնահատկություններին դիմելու։ Ոենտգենյան ճառագայթների ֆիզիկային նվիրված գրքերում այդ ճառագայթների օպտիկա հասկացության հարցում անորոշություն կա։ Այդ հարցում որոշակիություն մտցնելու նպատակով պայմանավորվենք մեր գրքում ոենտգենյան ճառագայթների օպտիկա համարել ոենտգենյան ճառագայթների ֆիզիկայի այն մասը, որն ուսումնասիրում է երևույթների մի խումբ, որի բացատրության համար բավական է միջավայրի դիէլեկտրիկ հաստատունի (բեկման ցուցչի) հայտնի լինելը։ Այլ կերպ ասած, օպտիկայի առարկան ոենտգենյան ալիքների հետ կապված այն երևույթների ուսումնասիրությունն է, որոնք նկարագրվում են Ֆրենելի բանաձեւերով, արտաքին դիֆրակցիայով (դիֆրակցիան մարմինների մակերեւույթների, ճեղքերի, եղբերի և անցքների վրա) և դիսպերսիայով։

Մենք այնտեղ ոենտգենյան օպտիկայի ուսումնասիրության առարկա կհամարենք հետեւյալ երևույթների հանրույթը.

1. Հայելային անդրադառումը երկու տարբեր միջավայրերի բաժանման մակերեւույթից։

2. Լրիվ ներքին (արտաքին) անդրադարձումը։

3. Փուլերի թոփշքը հայելային և լրիվ ներքին անդրադարձումների ժամանակ։

4. Բևեռացումը անդրադարձման և բեկման ժամանակ։

5. Դիֆրակցիան նեղ ճեղքով և դիֆրակցիոն ցանց։

6. Ինտերֆերենցիան բարակ շերտերից անդրադարձման ժամանակ և բարակ շերտերի հաստության որոշումը:

7. Ունտգենյան ճառագայթների բեկման ցուցիչը:

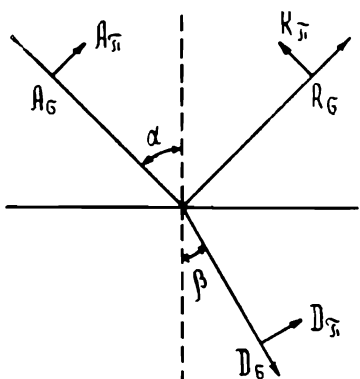
§ 1. ՖՐԵՆԵԼԻ ԲԱՆԱՁԵՎԵՐԻ ԿԻՐԱՌԵԼԻՈՒԹՅՈՒՆԸ ԱԼԻՔՆԵՐԻ ՌԵՆՏԳԵՆՅԱՆ ՏԻՐՈՒՅԹՈՒՄ

Ֆրենելի բանաձևերը՝

$$R_{\pi} = \frac{\operatorname{tg}(\alpha - \beta)}{\operatorname{tg}(\alpha + \beta)} A_{\pi}, \quad R_{\sigma} = - \frac{\sin(\alpha - \beta)}{\sin(\alpha + \beta)} A_{\sigma}, \quad (3.1)$$

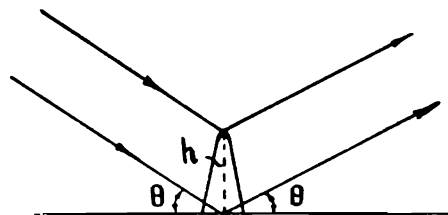
$$D_{\pi} = \frac{2 \sin \beta \cos \alpha}{\sin(\alpha + \beta) \cos(\alpha - \beta)} A_{\pi}, \quad D_{\sigma} = \frac{2 \sin \beta \cos \alpha}{\sin(\alpha + \beta)} A_{\sigma}, \quad (3.2)$$

որտեղ α -ն ու β -ն անկման և բեկման անկյուններն են, A_{π} -ն և D_{π} -ն սկզբնական, անդրադարձած և բեկված ալիքների ամպլիտուդների անկման հարթության մեջ գտնվող բաղադրիչներն են, իսկ A_{σ} -ն, R_{σ} -ն և D_{σ} -ն նույն ամպլիտուդների անկման հարթությանն ուղղահայց բաղադրիչներն են (տե՛ս նկ. 44), արտածված են առանց սահմանափակում դնելու ալիքի երկարության վրա: Այդ պատճառով նրանք, չնայած արտածված են լուսային ալիքների



Նկ. 44. Հնկած, անդրադարձած և բեկված ալիքների էլեկտրական վեկտորների բաղադրիչները

համար, փաստորեն կիրառելի են նաև ալիքների ունտգենյան տիրույթի համար:



Նկ. 45. Հայելային անդրադարձման համար անհրաժեշտ պայմանի արտածումը

Սակայն հայելային անդրադարձում տալիս են միայն այն մակերևույթները, որոնք բավականաշափ լավ հղկված են: Հայելու մակերևույթն այնքան ավելի լավ պետք է հղկված լինի, որքան փոքր

Է անդրադարձման ենթակա ալիքի երկարությունը: Ունենտգենյան ալիքի երկարությունը մոտ հազար անգամ ավելի փոքր է, քան լուսայինը, այդ պատճառով էլ սովորական հայելիները, որոնք լույսը շատ լավ անդրադարձնում են, ոենտգենյան ճառագայթների համար որպես հայելիներ ծառայել չեն կարող՝ նրանք այդ ճառագայթները անկանոն կերպով ցրում են բոլոր կողմերի վրա:

Թվում է, թե ոենտգենյան ճառագայթների համար հայելի պատրաստել և Ֆրենելի բանաձևերով նկարագրվող անդրադարձում ստանալ հնարավոր չէ: Ունենտգենյան հայելու հղկվածության աստիճանը պետք է 2—3 կարգով բարձր լինի լուսային հայելու հղկվածությունից, մի բան, որը տեխնիկապես հնարավոր չէ:

Բարեբախտաբար պարզվում է, որ անկման անկյան մեծացմամբ հայելու հղկվածությանը ներկայացվող պահանջները փոքրանում են, և 90° -ին մոտ անկման անկյունների դեպքում սովորական հայելիները կարող են ծառայել որպես հայելիներ նաև ոենտգենյան ճառագայթների համար:

Իրոք, ենթադրենք հայելու մակերևույթի վրա ի բարձրությամբ մի փոքրիկ խորդուբորդություն կա (տե՛ս նկ. 45): Այդ բարձրունքի գագաթից և ստորոտից թ սահքի անկյան տակ անդրադարձած ալիքների միջև ճանապարհների տարրերությունը կլինի ժհսինթ: Որպեսզի անդրադարձումը կանոնավոր լինի (հայելային լինի), այդ ճանապարհների տարրերությունը պետք է քառորդ ալիքից փոքր լինի $2\pi \sin \theta < \frac{\lambda}{4}$:

Մեծ անկման անկյունների (փոքր սահքի անկյունների) դեպքում այդ վերջինը կարելի է գրել հետեւյալ տեսքով՝

$$\text{հ} < \frac{\lambda}{8 \sin \theta} \approx \frac{\lambda}{8\theta} \text{ կմ} \quad \theta < \frac{\lambda}{8\text{հ}};$$

Լավ հղկված հայելու դեպքում հի-ը 10^{-5} սմ կարգի է, հետևաբար ոենտգենյան ճառագայթների դեպքում հայելային անդրադարձում կտացվի, եթե թ սահքի անկյունը մի քանի տասնյակ անկյունային րոպեների հավասար լինի:

Այսպիսով, Ֆրենելի բանաձևերով նկարագրվող օպտիկական երկույթները ոենտգենյան ճառագայթների դեպքում տեղի ունեն միայն 0° -ից մինչև 1° -ի հասնող սահքի անկյունների տիրույթում (89° -ից մինչև 90° -ի հասնող անկման անկյունների տիրույթ):

§ 2. ՈԵՆՏԳԵՆՅԱՆ ԾԱՌԱԳԱՅԹՆԵՐԻ ՀԱՅԵԼԱՅԻՆ ԱՆԴՐԱՌԱՐՁՈՒՄԸ

Ֆրենելի (3.1) բանաձևերը կարելի է գրել հետևյալ տեսքով.

$$R_{\pi} = \frac{\sin \alpha \cos \alpha - \sin \beta \cos \beta}{\sin \alpha \cos \alpha + \sin \beta \cos \beta} \quad A_{\pi},$$

$$R_{\sigma} = - \frac{\sin \alpha \cos \beta - \sin \beta \cos \alpha}{\sin \alpha \cos \beta + \sin \beta \cos \alpha} \quad A_{\sigma},$$

որոնք արտահայտելով՝ անկման թ և բեկման թ₁ սահքի անկյուններով՝

$$R_{\pi} = \frac{\cos \theta \sin \theta - \cos \theta_1 \sin \theta_1}{\cos \theta \sin \theta + \cos \theta_1 \sin \theta_1} \quad A_{\pi}, \quad (3.3\pi)$$

$$R_{\sigma} = - \frac{\cos \theta \sin \theta_1 - \cos \theta_1 \sin \theta}{\cos \theta \sin \theta_1 + \cos \theta_1 \sin \theta} \quad A_{\sigma}, \quad (3.4\sigma)$$

և նկատի ունենալով ռենտգենյան ճառագայթների դեպքում ընդունելի հետեւյալ մոտավորությունները՝

$$\sin \theta \approx \theta; \quad \cos \theta \approx 1 - \frac{\theta^2}{2}; \quad \cos^2 \theta \approx 1 - \theta^2,$$

$$\cos \theta_1 = \frac{\cos \theta}{n}, \quad \sin \theta_1 = \pm \sqrt{1 - \cos^2 \theta_1} = \pm \frac{1}{n} \sqrt{n^2 - (1 - \theta^2)},$$

որտեղ ուշ ռենտգենյան ճառագայթների բեկման ցուցիչն է, ու արհամարժելով երկրորդ կարգի փոքրերը, կարող ենք բերել հետեւյալ տեսքի՝

$$R_{\pi} = \frac{\theta - \sqrt{n^2 - (1 - \theta^2)}}{\theta + \sqrt{n^2 - (1 - \theta^2)}} \quad A_{\pi}, \quad (3.3)$$

$$R_{\sigma} = \frac{\theta - \sqrt{n^2 - (1 - \theta^2)}}{\theta + \sqrt{n^2 - (1 - \theta^2)}} \quad A_{\sigma}; \quad (3.4)$$

Հնդ որում, սինուսի արտահայտության մեջ՝ $\sin \theta_1 = \pm \sqrt{1 - \cos^2 \theta_1}$, երբ տեղի ունի $n^2 > (1 - \theta^2)$, արմատի առաջ վերցնում ենք պլուս նշան՝ $\sin \theta_1 > 0$, իսկ երբ $n^2 < (1 - \theta^2)$ (արմատը կեղծ է գառնում), վերցնում ենք մինուս նշանով, քանի որ պլյուս նշանը կհամապատասխաներ այն դեպքին, երբ ալիքը, խորանալով միշտավայրի մազ, պետք է ուժեղանալու:

Անդրադարձած ալիքի ամպլիտուդի՝ անկման հարթության մեջ գտնվող և այդ հարթությանն ուղղահայաց բաղադրիչների համար ստացած (3.3) և (3.4) արտահայտություններից երևում է, որ ծ.թ.-ի ճշտությամբ այդ բաղադրիչներն իրար հավասար են (b_1^2 սկզբնական լույսը բևեռացված չէ՝ $A_\pi=A_\sigma$, ապա $R_\pi=R_\sigma$), այսինքն՝ անդրադարձան հետևանքով բևեռացում բոլորովին չի առաջանում:

Իրք, ինչպես հայտնի է, օպտիկայում R_π և R_σ բաղադրիչներն իրար հավասար են շատ մեծ ու շատ փոքր անկման անկյունների դեպքում և միայն Բրյուստերի անկյան դեպքում $R_\pi=0$, այսինքն՝ ստացվում է լրիվ բևեռացում։ Ունտգենյան ճառագայթների դեպքում բեկման ցուցիչը մեկից չնշին շափով է տարբերվում, այդ պատճառով Բրյուստերի անկյան համար $\tan \alpha = \pi$ պայմանից կըստանանք, որ $\alpha \approx 45^\circ$. Ինչպես արդեն նշվեց նախորդ պարագրաֆում, այդպիսի անկյունների տակ ունտգենյան ճառագայթների հայելային անդրադարձում հնարավոր չէ ստանալ և բևեռացման մասին էլ խոսք լինել չի կարող։ Ունտգենյան ճառագայթների անդրադարձում կարելի է ստանալ միայն շատ մեծ անկման (շատ փոքր սահմանագծի) անկյունների տակ, իսկ այդպիսի անկման անկյունների դեպքում, ինչպես ցույց են տալիս (3.3)-ը և (3.4)-ը, համարյա թե բերեռացում չի առաջանում։

Սովորաբար ունտգենյան ճառագայթների բեկման ցուցիչը թափանցիկ միջավայրերի համար արտահայտվում է $\Pi = 1 - \delta$ տեսքով, որտեղ δ -ն 10^{-6} կարգի մեծություն է և կոչվում է բեկման ցուցչի միավոր դեկրեմենտ (բեկման ցուցչին լրացնում է մինչև 1-ը)։ Ծ.թ.-ի փոքրության պատճառով կարող ենք գրել $\Pi^2 \approx 1 - 2\delta$:

Բեկման ցուցչի վերջին արտահայտությունը տեղադրելով (3.3)-ի և (3.4)-ի մեջ, կստանանք՝

$$\frac{R_\sigma}{A_\sigma} = \frac{R_\pi}{A_\pi} = \frac{\theta - \sqrt{\theta^2 - 2\delta}}{\theta + \sqrt{\theta^2 - 2\delta}} : \quad (3.5)$$

Եթե սկզբնական լույսը բևեռացված չէ՝ $A_\pi = A_\sigma$, ապա կստանանք $R_\sigma = R_\pi$ ։ Վերջինից երևում է նաև, որ երբ $\theta^2 = 2\delta$, տեղի է ունենում լրիվ անդրադարձում՝ $R_\pi = A_\pi$, $R_\sigma = A_\sigma$, $\theta = \sqrt{2\delta}$ լրիվ ներքին անդրադարձան սահմանն է։ Այդ անկյունը անվանում են լրիվ ներքին անդրադարձան սահմանային սահմանագիծը՝ $\theta = \sqrt{2\delta} = \theta_{\text{ս}}$, իսկ դրա լրացուցիչը՝ $\alpha = \pi/2 - \theta_{\text{ս}} = \pi/2 - \sqrt{2\delta} = \alpha_{\text{ս}}$ կոչվում է լրիվ ներքին անդրադարձան սահմանային անկյուն (անկման սահմանային անկյուն)։ Եթե $\theta < \theta_{\text{ս}}$ անդրադարձան ինտենսիվությունը արագորեն ընկնում է՝ $\theta > \sqrt{2\delta}$, անդրադարձան ինտենսիվությունը արագորեն ընկնում է։

Այսպիսով, գալիս ենք հետևյալ եզրակացության. ունտգենյան ճառագայթների հայելային անդրադարձման անկյունային տիրույթը միայն լրիվ անդրադարձման անկյունային տիրույթին կից շատ փոքր տիրույթ է, որում R_o և R_π բաղադրիչները համարյա թե իրար հավասար են և, հետևապես, սկզբնական ալիքի բևեռացման բացակայության դեպքում բևեռացված չի լինի նաև անդրադարձման ամենամեծ առաջնային անդրադարձման ամբողջ մասում:

§ 3. ՈՒԵՆՏԳԵՆՅԱՆ ՃԱՌԱԳԱՅԹՆԵՐԻ ԼՐԻՎ ՆԵՐՔԻՆ (ԱՐՏԱՔԻՆ) ԱՆԴՐԱԴԱՐՁՄՈՒՄԸ

Հայելային անդրադարձումը (3.5) բանաձեռվ քննարկելիս տեսանք, որ $0 = \sqrt{2\theta}$ անկյունից սկսած հայելային անդրադարձման տիրույթը վերջանում է և սկսվում է լրիվ անդրադարձման տիրույթը: Իրոք, $0 \leq \theta \leq \sqrt{2\theta}$ ամբողջ տիրույթում (3.5) բանաձեռ կարելի է արտագրել հետևյալ տեսքով՝

$$\frac{R_\pi}{A_\pi} = \frac{R_o}{A_o} = \frac{\theta - 1\sqrt{2\theta - \theta^2}}{\theta + 1\sqrt{2\theta - \theta^2}}, \quad (3.6)$$

որտեղից անմիջապես պարզ է դառնում, որ այդ ամբողջ տիրույթում կատարվում է լրիվ անդրադարձում՝ սկզբնական ամբողջ էներգիան տանում՝ անդրադարձած ալիքը՝ $\left| \frac{R_\pi}{A_\pi} \right|^2 = \left| \frac{R_o}{A_o} \right|^2 = 1$:

Սովորաբար ենթադրվում է, որ երբ սահմանային անկյունը դառնում է մեծ սահմանային անկյունից ($\theta > \theta_s$), շկլանող միջավայրերում անդրադարձման ինտենսիվությունը կտրուկ ընկնում է՝ հասնելով 0 -ի: Սակայն պետք է ասել, որ անդրադարձման ինտենսիվությունը լրիվ ներքին անդրադարձման տիրույթում եթե նկարագրվում է (3.6) բանաձեռվ, ապա այդ տիրույթից անմիջապես դուրս նկարագրվում է (3.5) բանաձեռվ, և ինտենսիվությունը այնպես խիստ կտրուկ չի ընկնում, ինչպես ենթադրվում է:

Վերջերս ունտգենյան ճառագայթների լրիվ ներքին անդրադարձումը անվանում են լրիվ արտաքին անդրադարձում: Դա հիմնավորվում է նրանով, որ ունտգենյան ճառագայթների բեկման ցուցիչը փոքր է մեկից և լրիվ ներքին անդրադարձում է ստացվում այն դեպքում, երբ ունտգենյան ալիքները դատարկությունից սահմանային անկյունից մեծ անկյան տակ ընկնում են միջավայրի՝ նյութական հայելու վրա: Այսինքն՝ լրիվ անդրադարձում տեղի է ունենում միջավայրի դրսից: Սակայն դատարկությունից ունտգենյան ալիքի միջավայրի վրա ընկնելը և լրիվ անդրադարձում առա-

շանալը մասնավոր դեպք է: Լրիվ անդրադարձում կարող է առաջանալ նաև երկու դիէլեկտրիկների սահմանի վրա, եթե մեծ բեկման ցուցիչը ունեցող դիէլեկտրիկից ալիքն ընկնում է փոքր բեկման ցուցիչը ունեցող դիէլեկտրիկի վրա: Իրոք, ենթադրենք $n_1=1-\delta_1$ բեկման ցուցիչը ունեցող դիէլեկտրիկից ունտգենյան ալիքն ընկնում է $n_2=1-\delta_2$ բեկման ցուցիչը ունեցող դիէլեկտրիկի վրա, ընդ որում, տեղի ունի $n_1 > n_2$ և հետևաբար $\delta_2 > \delta_1$: Այդ դեպքում երկրորդ միշավայրի բեկման ցուցիչը առաջինի նկատմամբ կլինի մեկից փոքր՝

$$n_{21} = \frac{n_2}{n_1} = \frac{1-\delta_2}{1-\delta_1} \approx (1-\delta_2)(1+\delta_1) = 1-\delta_2 + \delta_1 - \delta_1\delta_2,$$

$$n_{21} \approx 1 - (\delta_2 - \delta_1) < 1$$

և կառաջանա լրիվ անդրադարձում:

Այսպիսով, լրիվ անդրադարձման բոլոր դեպքերը ընդգրկելու համար նպատակահարմար է ունտգենյան ճառագայթների դեպքում էլ այդ անդրադարձումն անվանել լրիվ ներքին անդրադարձում: այն իմաստով, որ լրիվ անդրադարձում է կատարվում ներսում՝ դեպի այն միշավայրը, որ միշավայրից ընկել է սկզբնական ալիքը: Ուրեմն, հետագա շարադրանքի մեջ այդ երկույթը կանվանենք լրիվ ներքին (և ոչ թե արտաքին) անդրադարձում:

§ 4. ՓՈԽԵՐԻ ԹՌԻՉՔԸ ՀԱՅԵԼԱՅԻՆ ԵՎ ԼՐԻՎ ՆԵՐԳԻՆ ԱՆԴՐԱԴԱՐՁՈՒՄՆԵՐԻ ԺԱՄԱՆԱԿ

Օգտվելով (3.5) և (3.6) բանաձևերից՝ կարող ենք հետազոտել R_π բաղադրիչի փուլի փոփոխությունը A_π բաղադրիչի նկատմամբ և R_σ բաղադրիչինը՝ A_σ -ի նկատմամբ՝ հայելային և լրիվ ներքին անդրադարձումների ժամանակ:

Ա) ՓՈԽԵՐԻ ԹՌԻՉՔԸ ՀԱՅԵԼԱՅԻՆ ԱՆԴՐԱԴԱՐՁՄԱՆ ԺԱՄԱՆԱԿ

(3.5) բանաձևից երևում է, որ R_π/A_π և R_σ/A_σ հարաբերությունները իրական մեծություններ են և դրական նշաններ ունեն: Հետևաբար, ունտգենյան ճառագայթների հայելային անդրադարձման տիրույթում անդրադարձման հետևանքով փուլերի թոփշք չի կատարվում: Փուլերի տարբերությունը R_σ և R_π բաղադրիչների միջև նույնական հավասար կլինի զրոյի, եթե սկզբնական ալիքի A_π և A_σ բաղադրիչները գտնվեն միևնույն փուլում:

Այժմ հետազոտենք այն դեպքը, երբ հայելային անդրադարձումը տեղի ունի երկու դիէլեկտրիկներն իրարից բաժանող սահմանի վրա և բեկման ցուցիչը մեծ է՝ $m_k > 1$: Այս դեպքում (3.5) բանաձեռք կընդունի հետևյալ տեսքը.

$$\frac{R_\sigma}{A_\sigma} = \frac{R_\pi}{A_\pi} = \frac{\theta - \sqrt{\theta^2 + 2\delta}}{\theta + \sqrt{\theta^2 + 2\delta}}: \quad (3.7)$$

Ինչպես երկում է (3.7) բանաձեռքը, երբ ունտգենյան ճառագայթների բեկման ցուցիչը մեծ է՝ $m_k > 1$ (խոսքը հարաբերական ցուցչի մասին է) $R_\sigma/A_\sigma \neq R_\pi/A_\pi$ հարաբերությունները միշտ բացասական են, որովհետև $\theta < \sqrt{\theta^2 + 2\delta}$, և, հետևապես, հայելային անդրադարձման հետևանքով $\theta' > R_\sigma$, $\theta' < R_\pi$ բաղադրիչների փուլը π-ով փոխվում է: Իսկ փուլերի տարբերությունը R_σ և R_π բաղադրիչների միջև դարձյալ մնում է 0-ին հավասար:

Բ) ՓՈՒԼԵՐԻ ԹՌԻՉՔԸ ԼՐԻՎ ՆԵՐՔԻՆ ԱՆԴՐԱԴԱՐՁՄԱՆ ԺԱՄԱՆԱԿ

Ինչպես երկում է (3.6) բանաձեռքը, լրիվ ներքին անդրադարձման ժամանակ $R_\sigma/A_\sigma \neq R_\pi/A_\pi$ հարաբերությունները կոմպլեքս մեծություններ են, ուստի այդ բաղադրիչների միջև գոյություն ունի փուլերի տարբերություն: Եթե փուլերի տարբերությունը R_σ և A_π բաղադրիչների միջև նշանակենք $\varphi_{\sigma-\pi}$, իսկ R_σ -ի և A_π -ի միջև՝ $\varphi_{\sigma-\pi}$, ապա դրանց համար (3.6) բանաձեռք կստանանք

$$\tan \frac{\varphi_\pi}{2} = \tan \frac{\varphi_\sigma}{2} = \frac{\sqrt{2\delta - \theta^2}}{\theta}: \quad (3.8)$$

Եթե անդրադարձումը տեղի ունի սահմանային անկյան տակ $\theta^2 = 2\delta$, ապա այդ փուլերի տարբերության համար կստանանք $\varphi_\pi = \varphi_\sigma = 0$, իսկ երբ սկզբնական ալիքի անկման անկյունը՝ $\alpha = 90^\circ$, այսինքն $\theta = 0$, այդ մեծությունների համար կստանանք $\varphi_\pi = \varphi_\sigma = \pi$:

Այսպիսով, փուլերի թոփքը լրիվ ներքին անդրադարձման տիրությունը R_π ու A_π բաղադրիչների և R_σ ու A_σ բաղադրիչների միջև զորյից (երբ $\theta = \sqrt{2\delta}$) աճում է մինչև π (երբ $\theta = 0$):

Այստեղ կարևոր եղանակացությունն այն է, որ ունտգենյան ճառագայթների լրիվ ներքին անդրադարձման ժամանակ R_π և R_σ բաղադրիչների միջև փուլերի տարբերությունը չի առաջանալ և այդ պատճառով էլ անդրադարձած ալիքի էլիպտիկ բևեռացում չի

առաջանում, մի բան, որ լույսի դեպքում որոշակիորեն տեղի ունի:

Անդրադարձած ալիքի բևեռացման մասին այստեղ ասածը այնքան էլ խստ ճշգրիտ չէ, որովհետև (3.3) և (3.4) բանաձևերն արտածելիս մենք արհամարհել ենք երկրորդ կարգի փոքր մեծությունները և այդ պատճառով R_{π} -ի ու R_{σ} -ի համար ստացել ենք միևնույն արտահայտությունները: Այդ բաղադրիչների համար ավելի ճշգրիտ արտահայտություններ հեշտությամբ կարելի է ստանալ (3.3ա) և (3.4ա) բանաձևերից:

$$\frac{R_{\pi}}{A_{\pi}} = \frac{\theta - 2\delta - \sqrt{\theta^2 - 2\delta}}{\theta - 2\delta + \sqrt{\theta^2 - 2\delta}}, \quad \frac{R_{\sigma}}{A_{\sigma}} = \frac{\theta - \sqrt{\theta^2 - 2\delta}}{\theta + \sqrt{\theta^2 - 2\delta}}.$$

Որտեղից լրիվ ներքին անդրադարձման տիրությում ամպլիտուդների և փուլերի թուլքների համար կստանանք հետևյալ արտահայտությունները՝

$$\frac{R_{\pi}}{A_{\pi}} = \frac{\theta - 2\delta + \sqrt{2\delta - \theta^2}}{\theta - 2\delta - \sqrt{2\delta - \theta^2}}, \quad \frac{R_{\sigma}}{A_{\sigma}} = \frac{\theta + \sqrt{2\delta - \theta^2}}{\theta - \sqrt{2\delta - \theta^2}},$$

$$\operatorname{tg} \frac{\varphi_{\pi}}{2} = \frac{\sqrt{2\delta - \theta^2}}{\theta(1 - 2\delta)}, \quad \operatorname{tg} \frac{\varphi_{\sigma}}{2} = \frac{\sqrt{2\delta - \theta^2}}{\theta}.$$

Ինչպես երևում է այս վերջին արտահայտությունից, R_{π} և R_{σ} բաղադրիչների փուլերի միջև չնշին տարրերություն կա, որի պատճառով անդրադարձած ալիքը փաստորեն չնշին չափով բևեռացված կլինի՝ բևեռացման էլիպսը ձգված կլինի (m է կիսառանցքը փոքրից շատ մեծ կլինի) և ուղղղ գծի հատվածից շատ քիչ կտարբերվի: Այնպես որ, առանց մեծ սխալ գործելու, կարելի է համարել, որ լրիվ ներքին անդրադարձման ժամանակ ունտգենյան ճառագայթների էլիպտիկ բևեռացում չի առաջանում:

Մենք այստեղ փուլերի թուլքի հարցով անհրաժեշտից մի փոքր ավելի մանրամասն զբաղվեցինք այն պատճառով, որ այդ հարցում գրականության մեջ գոյություն ունի խառնաշփոթություն: Մի շարք գրքերում [1-3] նշվում է, որ իբր ինչպես լուսային ճառագայթների, այնպես էլ ունտգենյան ճառագայթների դեպքում լրիվ ներքին անդրադարձման ժամանակ փուլերի թուլքը գոյություն չունի: Դեռ ավելին, [1] գրքում հեղինակը պնդում է, որ ունտգենյան ճառագայթների հետ լույսի հայելիով կատարված փորձով ցույց է տրված, որ լրիվ ներքին անդրադարձման ժամանակ փուլերի թուլք իսկապես գոյություն չունի: Սակայն ինչպես օպտիկայում հայտնի է լուսային ալիքների համար, այնպես

Հլ ունտգենյան ճառագայթների համար մեր ցույց տվածից պարզ է, որ լրիվ ներքին անդրադարձման ամբողջ անկյունային տիրույթում գույքը և օս փուլերի թոփչքները տարբեր են 0-ից և աճում են 0-ից մինչև π, ինչպես այդ ցույց է տրված 46-րդ նկարում:

Նկար 46-ում ցույց է տրված փուլերի
թոփչքը լուսային ալիքների համար:
Մենտգենյան ալիքների փուլերի թոփչքի պատկերը դրանից կտարբերվի հետևյալով.

1. 0-ից մինչև $80-85$ աստիճան անկման անկյունների դեպքում ունտգենյան ճառագայթների կանոնավոր (հայելային) անդրադարձում չի դիտվում, և փուլերի թոփչքի մասին խոսելն էլ իմաստ չունի:

2. $80^{\circ}-85^{\circ}$ -ից մինչև $\theta=\sqrt{2\delta}$, որ համապատասխանում է մոտ 89° -ի, տեղի ունի հայելային անդրադարձում և այդ տիրույթում գույքը $\varphi_{\pi}=\varphi_0=0$:

$$3. \theta = \sqrt{2\delta} \text{ մինչև } \theta=0 \text{ (այսինքն } \alpha = \frac{\pi}{2} - \sqrt{2\delta} \text{ մինչև } \alpha = 90^{\circ}) \text{ տեղի ունի լրիվ ներքին անդրադարձում: Այդ տիրույթում}$$

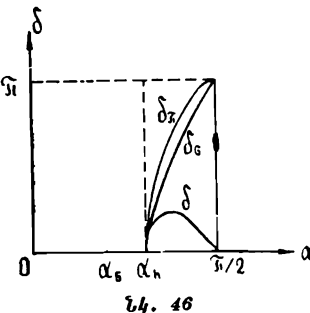
գույքը և գույքը աճում են 0-ից մինչև π: Օպտիկայում $\varphi=\varphi_{\pi}-\varphi_0$ մեծությունը լրիվ անդրադարձման տիրույթում կարող է ընդունել բավականին մեծ արժեքներ և այդ պատճառով այնտեղ առաջանում է անդրադարձ ալիքի շրջանային կամ էլիպտիկ բևեռացում, իսկ ունտգենյան ճառագայթների դեպքում Փ-ն շատ փոքր արժեքներ է ընդունում և այդ պատճառով լրիվ ներքին անդրադարձման ժամանակ դիտելի բևեռացում գոյություն չունի:

Այսպիսով, լրիվ ներքին անդրադարձման ժամանակ փուլերի թոփչքի բացակայության վերաբերյալ պնդումները հիմնված են թյուրիմացության վրա: Այս հարցի մանրամասնություններին կարելի է ծանոթանալ դիմելով [4] աշխատությանը:

§ 5. ՈԵՆՏԳԵՆՅԱՆ ԾԱՌԱԳԱՅԹՆԵՐԻ ԼՐԻՎ ՆԵՐՔԻՆ ԱՆԴՐԱՌԱՐՁՈՒՄԸ ԿԼԱՆՈՂ ՄԻԶԱՎԱՅՐԵՐԻՑ

$$\text{Կլանող միջավայրերում բեկման ցուցիչը լինում է կոմպլեքս } n=1-\delta-i\beta, \quad (3.11)$$

որի իրական մասը՝ $n_r=1-\delta$, կատարում է սովորական բեկման ցուցչի դեր, իսկ կեղծ մասով պայմանավորված է կլանումը: Նկա-



Նկ. 46

տի ունենալով (3.11)-ը, անդրադարձած ալիքի ամպլիտուդի բաղադրիչների (3.9) և (3.10) արտահայտությունները կարող ենք արտագրել հետևյալ տեսքով.

$$\frac{R_\pi}{A_\pi} = \frac{\theta - 2\delta\theta - 2\beta\theta - \sqrt{\theta^2 - 2\delta - 2i\beta}}{\theta - 2\delta\theta - 2\beta\theta + \sqrt{\theta^2 - 2\delta - 2i\beta}}, \quad \frac{R_\sigma}{A_\sigma} = \frac{\theta - \sqrt{\theta^2 - 2\delta - 2i\beta}}{\theta + \sqrt{\theta^2 - 2\delta - 2i\beta}}.$$

Կոմպլեքս արտահայտությունից արմատ հանելու համար կատարենք նշանակում՝

$$\sqrt{\theta^2 - 2\delta - 2i\beta} = a + ib, \quad (3.12)$$

որտեղից $a^2 - b^2 = \theta^2 - 2\delta$, $ab = -\beta$:

Լուծելով այդ համակարգը ա-ի և ի-ի նկատմամբ, կստանանք՝

$$a^2 = \frac{1}{2} \{ \sqrt{(\theta^2 - 2\delta)^2 + 4\beta^2} + \theta^2 - 2\delta \},$$

$$b^2 = \frac{1}{2} \{ \sqrt{(\theta^2 - 2\delta)^2 + 4\beta^2} - \theta^2 + 2\delta \}:$$

Օգտվելով (3.12) նշանակումից, անդրադարձած ալիքի հարաբերական ամպլիտուդների ինտենսիվությունների համար կստանանք հետևյալ արտահայտությունները.

$$\frac{R_\pi}{A_\pi} = \frac{(\theta - 2\delta\theta - a) - i(2\beta\theta + b)}{(\theta - 2\delta\theta + a) + i(2\beta\theta - b)}, \quad (3.13\omega)$$

$$\frac{R_\sigma}{A_\sigma} = \frac{(\theta - a) - ib}{(\theta + a) + ib}, \quad (3.14\omega)$$

$$\left| \frac{R_\pi}{A_\pi} \right|^2 = \frac{(\theta - 2\delta\theta - a)^2 + (2\beta\theta + b)^2}{(\theta - 2\delta\theta + a)^2 + (2\beta\theta - b)^2}, \quad (3.13)$$

$$\left| \frac{R_\sigma}{A_\sigma} \right|^2 = \frac{(\theta - a)^2 + b^2}{(\theta + a) + b^2}. \quad (3.14)$$

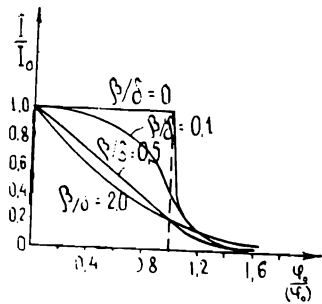
Արհամարհելով $\delta\theta$ և $\beta\theta$ երկրորդ կարգի փոքր մեծությունները,

$$\text{կստանանք՝ } \frac{R_\pi}{A_\pi} = \frac{R_\sigma}{A_\sigma}, \quad \left| \frac{R_\pi}{A_\pi} \right|^2 = \left| \frac{R_\sigma}{A_\sigma} \right|^2$$

Այսպիսով, կլանման առկայության դեպքում էլ անդրադարձած ալիքների անկման հարթության և այդ հարթությանն ուղղահայաց բաղադրիչները մոտավորապես իրար համասար են, իհարկե, ընկնող ալիքի A_π և A_σ բաղադրիչների իրար հավասար լինելու դեպքում:

Այժմ անցնենք լրիվ ներքին անդրադարձման տիրույթում կլանման առկայությամբ անդրադարձած ալիքի ինտենսիվության հետազոտմանը: Ինչպես երևում է (3.13)-ից և (3.14)-ից, այս դեպքում այլևս լրիվ անդրադարձում գոյություն չունի, և որքան մեծ է Յ-ն, այնքան փոքր են R_{π} -ն և R_{σ} -ն:

Կլանման առկայության դեպքում անդրադարձած ալիքի ինտենսիվության կախումը սահքի Յ անկյունից տարբեր Յ-երի դեպքում բերված է 47-րդ նկարում: Կորերը ցույց են տալիս, որ կլանման բացակայության դեպքում դիտվում է լրիվ անդրադարձում սահքի անկյան գրոյից մինչև $\theta = \sqrt{2\delta}$ արժեքների տիրույթում, իսկ այդ տիրույթից դուրս անդրադարձման ինտենսիվությունը արագ ընկնում է. Յ-ի մեծացմամբ, կլանման առկայության դեպքում լրիվ անդրադարձում չի դիտվում և $0 \leq \theta \leq 2\delta$ տիրույթից դուրս էլ ինտենսիվությունը այնպես արագ չի ընկնում, ինչպես կլանման բացակայության դեպքում: Կլանման ուժեղացումով (Յ-ի մեծացմամբ) լրիվ անդրադարձման տիրույթում անդրադարձման ինտենսիվությունը ընկնում է, իսկ այդ տիրույթից դուրս ավելի դանդաղ է ընկնում: Կլանման մեծացմամբ ավելի ու ավելի անորոշ է դառնում լրիվ անդրադարձման տիրույթի սահմանը, ավելի ճիշտ՝ այդ սահմանը վերանում է:



Նկ. 47. Կլանող միջավայրերում անդրադարձած ալիքի ինտենսիվության կախումը սահքի անկյունից

§ 6. ՓՈԽԵՐԻ ԹՌԻՉՔԸ ԱՆԴՐԱԴԱՐՁՄԱՆ ԺԱՄԱՆԱԿ ԿԼԱՆՈՂ ՄԻՋԱՎԱՅՐԵՐԻՑ

Ինչպես տեսանք նախորդ պարագրաֆում, կլանող միջավայրերի դեպքում փաստորեն հայելային և լրիվ ներքին անդրադարձման տիրույթները չեն տարբերվում իրարից: Այդ պատճառով կլանող միջավայրերի դեպքում փուլերի թոփշըը մենք կքննարկենք առանց այդ երկու տիրույթներն իրարից տարբերելու:

(3.13 ա) և (3.14 ա) բանաձևերից, արհամարհելով 2 Յ և 2Յ գումարելիները, փուլերի թոփշքի համար կարող ենք գրել՝

$$\operatorname{tg} \frac{\varphi_{\pi}}{2} = \operatorname{tg} \frac{\varphi_{\sigma}}{2} = - \frac{b}{\theta - a}: \quad (3.15)$$

Ինչպես տեսանք (3.5) և (3.8) բանաձևերից, չկլանող միջավայրում ունտգենյան ճառագայթների հայելային անդրադարձման ժամանակ փուլերի թոփքը տեղի չունի, իսկ լրիվ ներքին անդրադարձման տիրույթում փուլերի թոփքն աճում է 0-ից մինչև π: Այստեղ՝ կլանող միջավայրերում, ինչպես երևում է (3.14)-ից, անդրադարձման ամբողջ տիրույթում փուլերի թոփքը կախված է կլանման մեծությունից և ընդունում է հետևյալ արժեքները.

ա) հայելային անդրադարձմանը համապատասխանող տիրույթում ($2\theta^2 > 2\delta$) փուլերի թոփքը տարբեր է 0-ից.

բ) լրիվ ներքին անդրադարձման սահմաններում տարբեր է 0-ից ($\theta^2 = 2\delta$) և տարբեր է π-ից ($\theta = 0$):

§ 7. ՌԵՆՏԳԵՆԵՍԱՆ ԾԱՌԱԳԱՅԹՆԵՐԻ ԱՆԴՐԱԴԱՐՁՈՒՄԸ ԲԱՐԱԿ ԹԱՂԱՆԹՆԵՐԻՑ: ԲԱՐԱԿ ԹԱՂԱՆԹՆԵՐԻ ՀԱՍՏՈՒԹՅԱՆ ՈՐՈՇՈՒՄԸ

Վերջին տասնամյակում լազերային տեխնիկայի, էլեկտրոնիկայի և կիբեռնետիկայի բուռն զարգացման կապակցությամբ բարակ շերտերի ֆիզիկայի հարցերը շատ կարևոր նշանակություն են ստացել:

Փարզվում է, որ բարակ շերտերի (թաղանթների) ֆիզիկական հատկությունները խստորեն կախված են նրանց հաստությունից (շափային էֆեկտներ) և այդ պատճառով կարևոր նշանակություն են ստացել նաև բարակ թաղանթների հաստությունների որոշման հարցերը:

Բարակ թաղանթների ֆիզիկայի ուսումնասիրման եղանակի շարքում հատուկ տեղ են գրավում ունտգենյան եղանակները, որոնց մեջ ամենից հաջող կիրառություններ ունեն ունտգենյան ճառագայթների հայելային և լրիվ ներքին անդրադարձման եղանակները:

Արդեն նախորդ պարագրաֆներում նշվեց անդրադարձման ժամանակ փուլերի թոփքի հետ կապված հարցերում զոյսություն ունեցող խառնաշփոթության մասին: Այդ խառնաշփոթությունն արտահայտվել է նաև բարակ թաղանթների հաստությունների որոշման հետ կապված հարցերում, որը և առիթ դարձավ այս պարագրաֆի ստեղծմանը:

1. ԱՆԴՐԱԴԱՐՁՈՒՄԸ ԹԱՓԱՆՑԻԿ ԴԻԼԵԿՏՐԻԿ ՇԵՐՏԻՑ

Սկզբում քննարկենք պարզ դեպք, երբ թափանցիկ տակդիրի վրա նստեցված է մի բարակ թափանցիկ շերտ: Ոչ տակդիրը և ոչ էլ շերտը ռենտգենյան ճառագայթները չեն կլանում: Շերտի և տակդիրի բեկման ցուցիչները համապատասխանաբար նշանակենք n_1 -ով և n_2 -ով: Քննարկենք երկու դեպք՝ ա) երբ տակդիրի բեկման ցուցիչը ավելի մեծ է, քան շերտինը ($n_1 < n_2$): Եթե նկատի ունենանք բեկման ցուցիչների արտահայտությունները՝ $n_1 = 1 - \delta_1 < 1 - \delta_2 = n_2$, կստանանք $\delta_1 > \delta_2$:

Շերտի բեկման ցուցիչը տակդիրի նկատմամբ կլինի

$$n_{21} = \frac{n_2}{n_1} \approx (1 - \delta_2)(1 + \delta_1) \approx 1 + (\delta_1 - \delta_2) > 1:$$

բ) երբ տակդիրի բեկման ցուցիչը ավելի փոքր է, քան շերտինը: Այս դեպքում $\delta_1 < \delta_2$ և $n_{21} = 1 + (\delta_1 - \delta_2) < 1$:

Առաջին դեպքում, երբ ռենտգենյան սկզբնական ալիքն ընկնում է շերտի վրա, օդ-շերտ սահմանի լրիվ ներքին անդրադարձման անկյունային տիրույթում, եթե շերտի ձևաստությունը ալիքի երկարությունից գգալիորեն մեծ է, այդ ալիքը չի հասնում մինչև տակդիրը: Լրիվ ներքին անդրադարձման անկյունային տիրույթից դուրս գտնվող անկյան տակ ընկնելիս սկզբնական ալիքի էներգիայի մի մասը կհասնի տակդիրին և եթե շերտի լրիվ ներքին անդրադարձման (օդ-շերտ) սահմանային անկյունը ավելի մեծ է (կամ հավասար), քան շերտ-տակդիր լրիվ ներքին անդրադարձման սահմանային անկյունը, ապա տակդիրին հասնող՝ այդ էներգիայի մի մասը հայելային անդրադարձման կենթարկվի շերտ-տակդիր սահմանի վրա և նմուշից դուրս կվերագրվի շերտի արտաքին մակերեսույթից անդրադարձած ալիքին (նկ. 48): Շերտի արտաքին մակերեսույթից և տակդիր-շերտ սահմանից անդրադարձած ալիքների ճանապարհների տարբերությունը կլինի

$$n_{21} ds \sin \varphi, \quad (3.16)$$

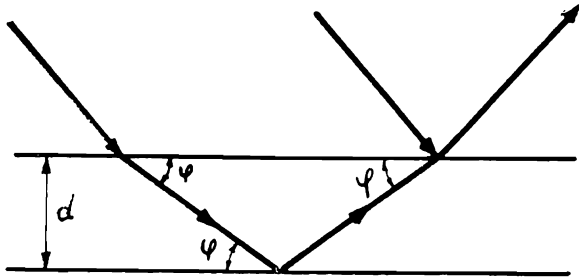
որտեղ φ -ն բեկման սահմանի անկյունն է:

Ինտերֆերենցիոն մաքսիմումների առաջացման պայմանը գրելու համար, բացի ճանապարհների տարբերությունից, մենք պետք է հաշվի առնենք փուլերի այն թոիչքները, որոնք սուսացնում են անդրադարձումների ժամանակ:

Առաջին դեպքում ($n_1 < n_2$) շերտի մակերեսույթից անդրադարձման ժամանակ փուլի թոիչքը չի լինում, իսկ շերտ-տակդիր

սահմանից տեղի ունեցող անդրադարձման ժամանակ փուլը փոխվում է π -ով (տե՛ս § 4): Հետևաբար, նկատի ունենալով (3.16)-ը, մաքսիմումի առաջացման պայմանի համար կարող ենք գրել.

$$2dn_1 \sin\varphi + \frac{\lambda}{2} = m\lambda; \quad (3.17)$$



Նկ. 48. Շերտի արտաքին մակերևույթից և տակդիր շերտ սահմանից անդրադարձ ալիքների միջև ճանապարհների տարբերության որոշումը:

Բեկման ցուցիչն արտահայտելով սահքի անկյուններով՝ $\frac{\cos\varphi_0}{\cos\varphi} = n_1$, կարող ենք $\sin\varphi$ -ն արտահայտել բեկման ցուցչի միջոցով.

$$\sin\varphi = \sqrt{1 - \cos^2\varphi} = \frac{1}{n_1} \sqrt{n_1^2 - \cos^2\varphi_0} \approx \frac{1}{n_1} \sqrt{\varphi_0^2 - 2\delta_1};$$

Եթե նկատի ունենանք նաև, $n_1 = 1 - \delta_1$, իսկ φ -ն փոքր է, ապա (3.17) պայմանը կընդունի հետևյալ տեսքը՝

$$2d \sqrt{\varphi_0^2 - 2\delta_1} + \frac{\lambda}{2} = m\lambda; \quad (3.18)$$

Երկրորդ դեպքում, քանի որ $\delta_2 > \delta_1$, տակդիրի լրիվ ներքին անդրադարձման անկյունային տիրույթն ավելի մեծ է, քան շերտինը. $\varphi' = \sqrt{2\delta_1}$, $\varphi'' = \sqrt{2\delta_2}$, $\varphi'' > \varphi'$, որտեղ $\varphi' \sim \varphi$ և $\varphi'' \sim \varphi$ շերտի ու տակդիրի լրիվ ներքին անդրադարձման սահքի սահմանային անկյուններն են: Այդ պատճառով 0-ից մինչև φ' սահքի անկյունների տիրույթում ընկած էներգիայի մի մասը անդրադարձման է շերտից, մյուս մասը, մտնելով շերտի մեջ, հասնում է տակդիրին և

Նրանից լրիվ անդրադառնալով՝ դուրս է գալիս նմուշից ու ինտեր-
ֆերենցվում շերտի արտաքին մակերևույթից անդրադարձի հետ:
Եթե տակդիրի հայելային անդրադարձման զ՝ սահմանային
անկյունը ավելի փոքր է, քան շերտի հայելային անդրադարձման
փ՝ սահմանային անկյունը, ապա տակդիրի լրիվ ներփին անդրա-
դարձման Փ՝ անկյունից մինչև նրա հայելային անդրադարձման
Փ՝ անկյունների տիրույթում ընկնող էներգիայի մի մասը շերտի
արտաքին մակերեսից, իսկ մյուս մասը տակդիրից հայելայնորեն
կանդրադառնան և վերադրվելով իրար հետ՝ կինտերֆերենցվեն:

Փ՝-ից մինչև Փ՝ անկյունների տիրույթում ինտերֆերենցիոն
մաքսիմումների առաջացման պայմանը կլինի

$$2d \sqrt{\varphi_0^2 - 2\delta_1} + \frac{\lambda}{2\pi} 2\arctg \frac{\sqrt{\cos^2 \varphi - n_1^2}}{\sin \varphi} = m\lambda; \quad (3.19)$$

Նկատի ունենալով, որ

$$n_{21} = 1 + (\delta_1 - \delta_2) < 1; \quad n_1 = 1 - \delta_1,$$

$$\sin \varphi = \frac{1}{n_1} \sqrt{n_1^2 - \cos^2 \varphi_0}, \quad \frac{\cos \varphi_0}{\cos \varphi} = n_1,$$

(3.19)-ը կարող ենք բերել հետևյալ տեսքի՝

$$2d \sqrt{\varphi_0^2 - 2\delta_1} + \frac{\lambda}{2\pi} 2\arctg \sqrt{\frac{\cos^2 \varphi_0 - n_1^2}{n_1^2 - \cos^2 \varphi_0}} = m\lambda, \quad \text{կամ}$$

$$2d \sqrt{\varphi_0^2 - 2\delta_1} + \frac{\lambda}{2\pi} 2\arctg \sqrt{\frac{2\delta_2 - \varphi_0^2}{\varphi_0^2 - 2\delta_1}} = m\lambda; \quad (3.20)$$

Վերջապես տակդիրի լրիվ ներփին անդրադարձման սահմանային
սահքի անկյունից մինչև նրա հայելային անդրադարձման սահ-
մանային սահքի Փ՝ անկյունների տիրույթում ինտերֆերենցիոն
մաքսիմումների առաջացման պայմանը կլինի՝

$$2d \sqrt{\varphi_0^2 - 2\delta_1} = m\lambda; \quad (3.21)$$

(3.21)-ը գրելիս նկատի ունեցանք, որ այս դեպքում ինչպես
շերտի արտաքին մակերևույթից, այնպես էլ տակդիրից տեղի ունե-
ցող անդրադարձումների ժամանակ փուլերի թոփշք տեղի շի ու-
նենում, քանի որ այդ հայելային անդրադարձումները տեղի են ու-
նենում ավելի նոսր միջավայրերից:

2. ԱՆԴՐԱԴԱՐՁՈՒՄԸ ՄԵՏԱՂԱԿԱՆ ՇԵՐՏԻՑ

Այժմ քննարկենք այն դեպքը, երբ թափանցիկ տակդիրի վրա նստեցված է մետաղական շերտ: Լույսի դեպքում մետաղների բեկման ցուցիչը միշտ կոմպլեքս է և անդրադարձման գործակիցն էլ բավականին մեծ է: Ունտգենյան ճառագայթների դեպքում, եթե կլանումը աննշան է, բեկման ցուցիչը համարյա թե իրական կլինի, իսկ անդրադարձման գործակիցը՝ փոքր: Սրբ ունտգենյան ճառագայթների բեկման ցուցիչը իրական է, ինտերֆերենցիոն պատկերի հաշվարկը հանգեցնում է նախորդ դեպքին (թափանցիկ դիէլեկտրիկների դեպքին):

Այժմ կքննարկենք թափանցիկ դիէլեկտրիկ տակդիրի վրա նստեցված կոմպլեքս բեկման ցուցչով մետաղական շերտից անդրադարձած ունտգենյան ճառագայթների ինտերֆերենցիոն պատկերը:

Մետաղի բեկման ցուցիչը ներկայացնենք հետևյալ կերպ՝
 $n_{21} = 1 - \delta_1 - i\delta_2$, տակդիրի բեկման ցուցիչը՝ n_{2-r} , համապատասխանաբար $n_{21} = 1 - \delta_3$, Քննարկվող դեպքում տակդիրի բեկման ցուցիչը մետաղական շերտի նկատմամբ կլինի

$$n_{21} = \frac{1 - \delta_3}{1 - \delta_1 - i\delta_2} \approx 1 - \delta_4 + i\delta_2, \quad \text{որտեղ } \delta_4 = \delta_3 - \delta_1:$$

Անհրաժեշտ է տարբերել երկու դեպք, երբ $\delta_4 > 0$ և $\delta_4 < 0$:

Առաջին դեպքում n_{21} հարաբերական բեկման ցուցիչի իրական մասը փոքր կլինի մեկից ($1 - \delta_4 < 1$), երկրորդ դեպքում այն մեծ կլինի մեկից ($1 - \delta_4 > 1$):

Փուլերի թոփչք տեղի կունենա թե՛ մետաղական շերտի ազատ մակերեսութից և թե՛ մետաղական շերտ—թափանցիկ տակդիր սահմանից անդրադարձման ժամանակ:

Նկատի ունենալով վերոհիշյալը, ինտերֆերենցիոն մաքսիմումների առաջացման համար կարող ենք գրել հետևյալ պայմանը՝

$$2d V \sqrt{\varphi_0^2 - 2\delta_1} + \frac{i}{2\pi} 2\arctg \left(-\frac{b_1}{\theta - a_1} \right) - \frac{i}{2\pi} 2\arctg \left(-\frac{b_2}{\theta - a_2} \right) = \\ = m\lambda: \quad (3.22)$$

Այս վերջինի մեջ b_1 -ի և a_1 -ի արտահայտությունները կստանանք, եթե (3.12)-ի արտահայտության մեջ δ -ն փոխարինենք δ_4 -ով, իսկ β -ն՝ δ_2 -ով: a_2 -ի և b_2 -ի արտահայտություններն ստանալու համար պետք է համապատասխանաբար δ -ն փոխարինել

ծ1-ով, իսկ թ-ն՝ դարձյալ ծ2-ով: Եվ վերջապես թ-ն պետք է փոխա-
րինել Փ01-ով կամ Փ02-ով:

(3.22) արտահայտության մեջ ձախ մասի առաջին անդամը
մետաղական շերտի մակերևույթից և տակդիրից անդրադարձած
ճառագայթների ճանապարհների տարբերությունն է, իսկ երկրորդ
և երրորդ անդամները փուլերի թոփշներն են, որոնք առաջացել
են տակդիրից և մետաղական շերտի ազատ մակերևույթից ճառա-
գայթների անդրադարձումների ժամանակ:

3. ԲԱՐԱԿ ՇԵՐՏԵՐԻ (ԹԱՂԱՆԹԻՆԵՐԻ) ՀԱՍՏՈՒԹՅՈՒՆՆԵՐԻ ՈՐՈՇՈՒՄԸ

Առաջին և երկրորդ կետերում հետազոտեցինք անդրադարձու-
մը թափանցիկ դիէլեկտրիկ և մետաղական շերտերից: Երկու դեպ-
քում էլ ենթադրում էինք, որ տակդիրները թափանցիկ են: Այժմ
օգտվելով այդ շերտերից ունտգենյան ճառագայթների անդրա-
դարձման ժամանակ ստացված ինտերֆերենցիոն պատկերներից,
որոշենք նրանց հաստությունները:

ա) Որոշենք թափանցիկ տակդիրի վրա նստեցված թափանցիկ
բարակ շերտի հաստությունը:

Այս դեպքում, օգտվելով (3.18) բանաձևից, նպատակահար-
մար է շերտի հաստությունը որոշել հետևյալ կերպ. Եթե ճշգրիտ
հայտնի լինի ծ1-ը, կարող ենք պատկերից գտնել ինտերֆերենցիոն
մաքսիմումների համար մ-ը և (3.18) բանաձևից առանց դժվա-
րության որոշել շերտի հաստությունը՝ ծ-ն, իհարկե, եթե ճառա-
գայթումը մոնոխրոմատիկ է (λ -ն հայտնի է): Սակայն քանի որ
շերտի բեկման ցուցիչը՝ ծ1-ը, կախված է նրա խտությունից, իսկ
խտությունն էլ իր հերթին բարակ շերտի դեպքում կախված է իր
հաստությունից, հետևաբար, ծ1-ը ճշգրիտ որոշելը բավական բարդ
ինդիր է: Այդ պատճառով կարելի է (3.18) բանաձևը գրել երկու
(մ1-րդ և մ2-րդ) մաքսիմումների համար և, այդ երկու հավասա-
րումներից արտաքսելով ծ1-ը, ծ-ի համար ստանալ հետևյալ ար-
տահայտությունը՝

$$d = \frac{\lambda}{2} \sqrt{\frac{m_1(m_1-1) - m_2(m_2-1)}{\varphi_{\theta_1}^2 - \varphi_{\theta_2}^2}}, \quad (3.23)$$

որտեղ Փ01-ը և Փ02-ը այն անկման սահքի անկյուններն են, որոնց
դեպքում համապատասխանաբար ստացվում են մ1-րդ և մ2-րդ
մաքսիմումները:

Ի դեպ, δ_1 -ի փոխարեն կարող է ինք արտաքսել ճ-ն և ստանալ արտահայտություն δ_1 -ի համար,

$$\hat{c}_1 = \frac{1}{2} \frac{a\varphi_{02} - b\varphi_{01}}{a-b}, \quad (3.24)$$

$$\text{որտեղ} \quad a=m_1(m_1-1), \quad b=m_2(m_2-1) + \frac{1}{4}:$$

Այսպիսով, ինտերֆերենցիոն պատկերի օգնությամբ կարող ենք որոշել ոչ միայն շերտի հաստությունը, այլև՝ նրա բեկման ցուցիչը:

Այն դեպքում, եթե կիրառելի է (3.20) բանաձևը, շերտի հաստությունը կարելի է որոշել հետևյալ արտահայտությունից՝

$$d = \frac{1}{2} \frac{b_2 - b_1}{a_1 - a_2}, \quad (3.25)$$

որտեղ

$$a_1 = \sqrt{\varphi_{01}^2 - 2\delta_1}, \quad a_2 = \sqrt{\varphi_{02}^2 - 2\delta_1},$$

$$b_1 = \frac{\lambda}{2\pi} 2\arctg \sqrt{\frac{2\delta_2 - \varphi_{01}^2}{\varphi_{01}^2 - 2\delta_1}}, \quad b_2 = \frac{\lambda}{2\pi} 2\arctg \sqrt{\frac{2\delta_2 - \varphi_{02}^2}{\varphi_{02}^2 - 2\delta_1}},$$

որտեղ δ_1 -ը, և δ_2 -ը համապատասխանաբար շերտի և տակդիրի բեկման ցուցիչների միավոր դեկրեմենտներն են:

Հասկանալի է, տվյալ դեպքում δ_1 -ը և δ_2 -ը պետք է հայտնի լինեն կամ էլ պետք է շափել այլ եղանակով (շափումը կատարել լրիվ ներքին անդրադարձման անկյունների տիրույթից դուրս գրանցվող անկյունային տիրույթում):

բ) Որոշենք թափանցիկ տակդիրի վրա նստեցված մետաղական շերտի հաստությունը:

Եթե մետաղական շերտի կլանումը կարելի է արհամարհել, ապա նրա հաստությունը կարելի է որոշել (3.23) բանաձևից, եթե մետաղական շերտի բեկման ցուցիչը ավելի փոքր է, քան տակդիրինը, և (3.25) բանաձևից, եթե տեղի ունի հակառակ՝ տակդիրի բեկման ցուցիչը ավելի փոքր է, քան շերտինը:

Այն դեպքում, եթե մետաղական շերտի կլանումը չի կարելի արհամարհել և կիրառելի է (3.22) բանաձևը, շերտի հաստությունը

$$\text{կորոշվի} \text{ հետևյալ բանաձևով՝ } d = \frac{1}{2} \frac{C_4 - C_1}{C_2 - C_3}, \quad \text{որտեղ}$$

$$C_1 = \sqrt{\varphi_{01}^2 - 2\delta_1}, \quad C_2 = \sqrt{\varphi_{02}^2 - 2\delta_1},$$

$$C_2 = \frac{\lambda}{2\pi} 2\arctg \left(\frac{-b_1}{\varphi_{01}-a_1} \right) - \frac{\lambda}{2\pi} 2\arctg \left(\frac{-b_2}{\varphi_{01}-a_2} \right),$$

$$C_4 = \frac{\lambda}{2\pi} 2\arctg \left(\frac{-b'_1}{\varphi_{01}-a'_1} \right) - \frac{\lambda}{2\pi} 2\arctg \left(\frac{-b'_2}{\varphi_{01}-a'_2} \right);$$

Վերջին արտահայտությունների մեջ մտնող a_1 , b_1 , a_2 և b_2 մեծությունները կստացվեն (3.12)-ից այնպես, ինչպես (3.22)-ի մեջ մտնողները, եթե θ -ն փոխարինվի φ_{01} -ով, իսկ a'_1 , b'_1 , a'_2 և b'_2 կստացվեն (3.12)-ից, եթե θ -ն փոխարինվի φ_{02} -ով:

§ 8. ՈԵՆՏԳԵՆՅԱՆ ԺԱՌԱԳԱՅԹՆԵՐԻ ԲԵԿՄԱՆ ՑՈՒՑՁԻ ՈՐՈՇՄԱՆ ՕՊՏԻԿԱԿԱՆ ԵՂԱՆԱԿԱՆԵՐԸ

Ոենտգենյան ճառագայթների բեկման ցուցչի որոշման եղանակները նույնպես կրածանենք երկու խմբի՝ օպտիկական ու դիֆրակցիոն, և կքննարկենք միայն օպտիկականները, իսկ դիֆրակցիոն եղանակները կշարադրենք գրքի համապատասխան բաժիններում: Օպտիկական եղանակներից կնկարագրենք լրիվ ներքին անդրդարձման և պրիզմայի մեջ բեկման վրա հիմնված եղանակները:

1. ԲԵԿՄԱՆ ՑՈՒՑՁԻ ՈՐՈՇՈՒՄԸ ԼՐԻՎ ՆԵՐՔԻՆ ԱՆԴՐԱԴԱՐՁՄԱՆ ՍԱՀՄԱՆԱՅԻՆ ԱՆԿՅԱՆ ՄԻՋՈՑՈՎ

Լրիվ ներքին անդրադարձման սահմանային անկյան $\sin a_u = n$ պայմանը սահքի սահմանային անկյան համար կընդունի հետևյալ տեսքը՝ $\cos \theta_u = n$, որը թափանցիկ (չկլանող) միջավայրերի դեպքում ունետքենյան ճառագայթների համար կարելի է գրել $\cos \theta_u = 1 - \delta$ տեսքով: Օգտվելով այն հանգամանքից, որ ունետքենյան ճառագայթների դեպքում լրիվ ներքին անդրադարձման սահմանային անկյունը մոտ է 90° -ի, հետևաբար սահքի անկյունը շատ փոքր է, կարող ենք գրել.

$$1 - \frac{\theta_u^2}{2} = 1 - \delta \text{ կամ } \theta_u = \sqrt{2\delta}: \quad (3.26)$$

Այսպիսով, չափելով լրիվ ներքին անդրադարձման սահքի սահմանային անկյունը, կարող ենք որոշել բեկման ցուցիչը: Եվ քանի որ ըստ (3.26) բանաձևի բեկման ցուցչի որոշման ճշտությունը պայմանավորված է սահմանային անկյան չափման ճշտությամբ, ապա պարզ է, որ բեկման ցուցիչը այս մեթոդով ճշգրիտ կարելի է չափել միայն չկլանող միջավայրերի դեպքում:

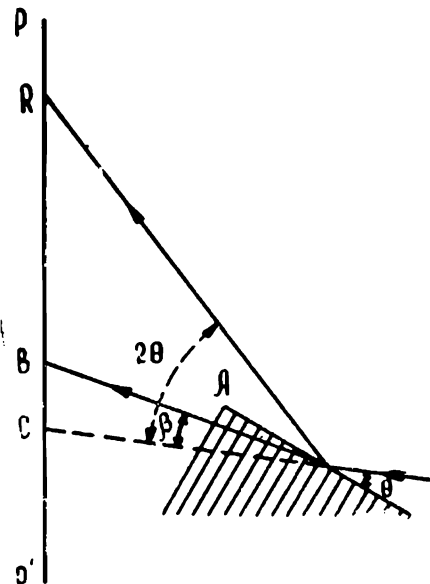
2. ԲԵԿՄԱՆ ՑՈՒՑՁԻ ՈՐՈՇՈՒՄԸ ՊՐԻԶՄԱՅԻ ՄԵՋ ԲԵԿՈՒՄԸ ԴԻՏԵԼՈՒ ՄԻՋՈՑՈՎ

Պրիզմաների մեջ ունտգենյան ճառագալթների բեկումը դիտելու միջոցով բեկման ցուցիչը որոշելը բավականին դժվար է, որպես հետեւ նրանց բեկման ցուցիչը շատ մոտ է մեկի, և բեկումը չնշին է: Այդ է պատճառը, որ երկար ժամանակ ունտգենյան ճառագալթների բեկումը պրիզմայի մեջ չէր հաջողվում դիտել: Միայն 1924 թ. կարսոնին, Զիգբրանին և Ուոլերին [5] հաջողվեց դիտել ունտգենյան ճառագալթների բեկումը պրիզմայի մեջ:

Կարելի է ցույց տալ, որ բեկումն ավելի մեծ է և հետևաբար հեշտ է դիտել, եթե անկման անկյունը մոտ է սահմանային անկյանը, իրոք, բեկման $\sin \alpha = \sin \beta$ օրենքից կարելի է անկման և բեկման անկյունների աճերի միջև ստանալ հետևյալ կապը՝

$$\frac{\Delta \beta}{\Delta \alpha} = \frac{\cos \alpha}{\cos \beta} = \frac{\sin \theta_1}{\sin \theta_2}, \quad (3.27)$$

որտեղ θ_1 -ը և θ_2 -ը անկման ու բեկման սահքի անկյուններն են: Քանի որ $\alpha < \beta$, հետևապես $\theta_1 > \theta_2$, ապա $\Delta \beta > \Delta \alpha$ և այնքան ավելի մեծ է, որքան փոքր է θ_2 -ը (սակայն բեկված ճառագալթ ստանալու համար θ_2 -ը պետք է լինի մեծ թիվ):



Նկ. 49. Բեկման ցուցչի որոշումը պրիզմայի մեջոցով

Նկատի ունենալով նշված հանգամանքը, պրիզմայի միջոցով բեկման ցուցիչը որոշման փորձը արվում է հետևյալ կերպ (տե՛ս նկ. 49):

Ունտգենյան ճառագալթները սահքի փոքր թանկանակ ընկնում են ուղղանկյուն պրիզմայի վրա: Հետազոտվող ալիքի սահքի սահմանային թանկյունը չնշին շափով մեծ է անկման սահքի թանկյունից: Այդ պատճառով ֆոտոթիթեղի վրա ընկնում են հետևյալ երեք տեսակի ճառագալթները՝

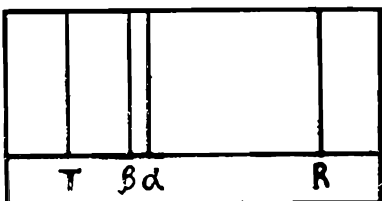
1. R կետն են ընկնում անընդհատ սպեկտրի այն համեմատաբար կարգ ալիքները, որոնց սահքի սահմանային

անկյունը ավելի մեծ է, քան 0 սահքի անկյունը, և որոնք պրիզմայի վրա կրում են լրիվ ներփին անդրադարձում՝ անկման ուղղությունից (սկզբնական ուղղությունից) շեղվելով 2 թ-ով:

2. В կետն են ընկնում հետազոտվող (որոնց բեկման ցուցիչը պետք է որոշվի) բնութագրական (խարակտերիստիկ) ճառագայթները, որոնց սահմանային սահքի անկյունը ավելի փոքր է, քան անկման սահքի 0 անկյունը: Եվ քանի որ անկման սահքի անկյունը փոքր է, համաձայն (3.27)-ի, նրանք ավելի մեծ բեկում (շեղում) են կրում պրիզմայի մեջ մտնելիս, և հակառակ՝ ելքի մակերևույթի վրա համարյա թե ուղղահայաց են ընկնում, այդ իսկ պատճառով պրիզմայից դուրս գալիս համարյա թե չեն բեկվում:

3. С կետն են ընկնում բոլոր այն ճառագայթները, որոնք ոչ բեկվում են և ոչ էլ լրիվ ներփին անդրադարձման են ենթարկվում: Ավելի ճիշտ՝ С կետն են ընկնում սկզբնական ճառագայթների ուղղությամբ տարածվողները, այսինքն՝ С կետը սկզբնական ճառագայթների հետքն է պրիզմայի բացակայության դեպքում:

Այսպիսով, եթե սկզբնական փունջը օժտված է անընդհատ սպեկտրով, ապա նրա կարճ ալիքները լրիվ ներփին անդրադարձման են ենթարկվում, իսկ երկարները բեկվելով մտնում են պրիզմա և վերածվում սպեկտրի (տարբեր երկարություններ ունեցող ալիքները տարբեր շափով են բեկվում): 50-րդ նկարում բերված է СүԿա ճառագայթման սպեկտրը, որն ստացել է Բիրդենը կվարցի պրիզմայով:



Նկ. 50. Պղնձի Կա ճառագայթման սպեկտրը, T-ն սկզբնական ճառագայթն է, R-ը՝ անդրադարձած պրիզմայով:

Բեկման ցուցիչը հաշվելու համար բեկման օրենքն արտահայտող բանաձևը՝ $n = 1 - \delta = \frac{\cos \theta_1}{\cos \theta_2}$, օգտվելով 50-րդ նկարից, կամ, ի նկատի ունենալով $\theta = \beta$ անկյունների փոքրության վրա հիմնված հետևյալ մոտավորաթյունները.

$$\cos \theta \approx 1 - \frac{\theta^2}{2}; \cos(\theta - \beta) \approx 1 - \frac{\theta^2}{2} + \frac{2\theta\beta}{2} + \frac{\beta^2}{2},$$

Կարող ենք ծերել համար վերջնականապես գրել՝ $\delta = \beta \left(\theta - \frac{\beta}{2} \right)$,

Չափելով թ և Յ անկյունները վերջին քանաձեխ օգնությամբ, կարող ենք հաշվել բեկման ցուցչի ծ միավոր դեկրեմենտը:

Կլանումը մեզ թույլ է տալիս օգտվել համարյա թե պրիզմայի միայն կողից, այդ պատճառով կողը պետք է լինի շատ սուր:

Այս եղանակով, իհարկե, ռենտգենյան ճառագայթները կարելի է վերածել սպեկտրի (նկ. 50), սակայն լուծող ուժը կլինի շատ փոքր:

**ՌԵՍՎԵՆՅԱՆ ՃԱՌԱԳԱՅԹՆԵՐԻ ԵՎ ՆՅՈՒԹԻ
ՓՈԽԱԶԴԵՑՈՒԹՅՈՒՆԸ**

Մանելով նյութական միջավայրը, ռենտգենյան ճառագայթները փոխազդում են այդ միջավայրի նյութի հետ։ Ընդհանուր առմամբ այդ փոխազդեցության բնույթն այսպիսին է։ Նյութի միջով անցնելիս ռենտգենյան ճառագայթներն իրենց էներգիայի մի մասը կորցնում են, այդ կորցրած էներգիան ծախսվում է ցրման, ֆոտո և շերմային էֆեկտների վրա։ Ռենտգենյան ճառագայթների ցրումն ունի այսպիսի բնույթ։ Նրանք, ինչպես և ամեն մի էլեկտրամագնիսական ալիք, անցնելով նյութական միջավայրի միջով, ցրվում են այդ միջավայրի էլեկտրոնների ու պրոտոնների (միջուկների) կողմից։ Ռենտգենյան ցրված ճառագայթները լինում են երեք տեսակի։

1. ալիքի անփոփիս երկարությամբ ցրված ճառագայթները (ռելեյան ցրում), որոնք առաջանում են հետևյալ կերպ։ ռենտգենյան ճառագայթները միջավայրով անցնելիս տատանման մեջ են դնում այդ միջավայրի ատոմների էլեկտրոններին*։ Այդ էլեկտրոնները տատանվում են տատանման պատճառ հանդիսացող ռենտգենյան ճառագայթների հաճախականությամբ և դառնում են նույնապիսի հաճախականությամբ տարրական սֆերիկ ալիքների կենուրուններ։ Այսպիսով, սկզբնական ռենտգենյան ճառագայթների էներգիայի մի մասը նույն հաճախականությամբ սֆերիկ ալիքներով տարածվում է բոլոր կողմերի վրա։

2. Կոմպտոնյան ցրում, որը տեղի է ունենում այսպես. հԽՕ էներգիայով քվանտի և էլեկտրոնի միջև տեղի է ունենում բախում, որի հետևանքով էլեկտրոնը որոշ $\frac{mv^2}{2}$ էներգիա է ստանում։

* Ռենտգենյան ճառագայթների ազդեցության տակ միջուկների կատարած տատանումները կարելի է արհամարհել էլեկտրոնների տատանումների համեմատությամբ։

քվանտից, իսկ վերջինս փոխում է իր շարժման ուղղությունը: Այդ բախման պատճառով քվանտի էներգիան դառնում է հν₁, որը որոշվում է հետևյալ հավասարումով. $h\nu_1 = h\nu_0 - \frac{mv^2}{2}$:

Նոր քվանտն ունի փոքր հաճախականություն, հետևաբար նրան համապատասխանում է ավելի մեծ ալիքի երկարություն: Ալիքի երկարության մեծացումը կախված չէ ցրող նյութի քիմիական բաղադրությունից, այլ կախված է միայն ցրման անկյունից.

$\Delta\lambda = \frac{2h}{mc} \sin^2\theta = 0,048 \sin^2\theta$ անգստեմ, որտեղ m -ը էլեկտրոնի

մասսան է, իսկ c -ն՝ լուսի արագությունը:

3. Բնորոշ (իսրակտերիստիկ) ցրում, որի բնույթի մասին արդեն խոռվել է առաջին գլխում, իսկ այստեղ կնշենք միայն այն, որ ցրման հետեանքով առաջացած ճառագայթները բաղկացած են լինում մի շարք դիսկրետ ալիքներություններից, որոնք բոլորն էլ մեծ են լինում սկզբնական ալիքներություններից, այսինքն՝ $\lambda_0 < \lambda_1 < \lambda_2 < \dots < \lambda_n$, որտեղ λ_0 -ն սկզբնական ալիքներությունն է, իսկ $\lambda_1, \dots, \lambda_n$ -ը՝ ցրված ալիքների երկարություններն են:

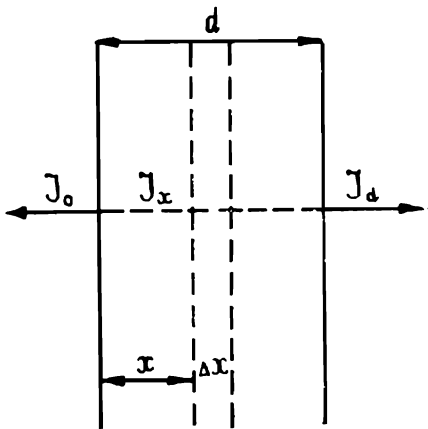
Հասկանալի է, որ ցրման հետեանքով, անկախ նրանից, թե ինչ տեսակի ցրում է, սկզբնական ճառագայթների ինտենսիվությունը փոքրանում է (կլանում է տեղի ունենում), իրոք, քանի որ ցրումը կատարվում է բոլոր ուղղություններով, իսկ սկզբնական ճառագայթները տարածվում են միայն մի որոշ ուղղությամբ, ապա ցըրված ճառագայթների մեծ մասը սկզբնական ուղղությամբ չի տարածվում և սկզբնական փնջից դուրս է գալիս, որի պատճառով սկզբնական փնջի ինտենսիվությունը փոքրանում է:

Սկզբնական փնջի ինտենսիվությունը միայն ցրման պատճառով չէ, որ փոքրանում է: Այն փոքրանում է, ինչպես արդեն նշել ենք, ֆոտո և զերմային էֆեկտների պատճառով: Դրանցով պայմանավորված կլանումը, ի տարբերություն ցրման պատճառով տեղի ունեցող կլանման, կանվանենք իսկական կլանում: Իրոք, ցրման ժամանակ ճառագայթային էներգիան մնում է որպես այդպիսին, այն ուղղակի դուրս է գալիս սկզբնական փնջից, որը փաստորեն կլանում չէ: Այն դեպքում, եթե ֆոտո և զերմային էֆեկտների ժամանակ սկզբնական փնջի էներգիայի մի մասը դադարում է ճառագայթային էներգիա լինելուց՝ դա իսկական կլանում է:

§ 1. ՈԵՆՏԳԵՆՅԱՆ ՇԱՐԱԳԱՅԹՆԵՐԻ ԿԼԱՆՈՒՄԸ

Ենթադրենք լուսկղբնական ինտենսիվությամբ ռենտգենյան ճառագայթների փունջն անցել է մի ինչ-որ միջավայրի և հաստությամբ շերտի միջով և կլանման (ցրման և իսկական կլանման) հետևանքով փնջի ինտենսիվությունը դարձել է I_d , ընդունակությունը՝ $I_0 > I_d$ (նկ. 51):

Տեսնենք ինչպիսի կապ կայլության միջև: Ինտենսիվության փոքրացումը կլանման պատճառով շերտի սկզբից և հեռավորության վրա գտնվող բարակ Δx շերտի մեջ նշանակենք ΔI -ով: ΔI -ն կլինի համեմատական այդ բարակ շերտը մտնող ճառագայթների ինտենսիվությանը.



Նկ. 51. Ռենտգենյան ճառագայթների կլանումը

$$\Delta I = -\mu I_x \Delta x, \quad (4.1)$$

որտեղ μ -ն համեմատականության գործակիցն է: Վերջինս կախված է ռենտգենյան ճառագայթների ալիքի երկարությունից և կլանող միջավայրի տեսակից, սակայն կախված չէ ճառագայթների ինտենսիվությունից: Անվերջ բարակ կլանող Δx շերտի համար (4.1)-ի փոխարեն կարող ենք գրել հետևյալ արտահայտությունը:

$$dI = -\mu I_x dx, \quad (4.2)$$

Կամ՝

$$\frac{dI}{I_x} = -\mu dx:$$

Վերջին արտահայտությունն ինտեգրելով՝

$$\int_{I_0}^{I_d} \frac{dI}{I_x} = -\mu \int_0^d dx.$$

Կստանանք ռենտգենյան ճառագայթների թուլացման օրենքը.

$$I_d = I_0 \exp \{-\mu d\}, \quad (4.3)$$

Այս կոչվում է ռենտգենյան ճառագայթների թուլացման գծային գործակից: (4.3) բանաձևն օգտագործվում է թուլացման մատուցությունը:

Ժակցի որոշման համար: Զափում են I_d/I_0 հարաբերությունն ու շերտի ձևատառունը և ապա (4.3)-ից գտնում մենք, Քանի որ (4.3)-ի մեջ Md -ն ցուցիլ է և չափողականություն չպետք է ունենա, ուստի մենք չափողականությունը կլինի $[\mu] = \text{սմ}^{-1}$, Բայց քանի որ թուլացում տեղի ունի և ցրման, և իսկական կլանման հետևանքով, ուրեմն թուլացման գծային մ գործակիցը պետք է բաղկացած լինի երկու մասից՝ $\mu = \tau + \sigma$, որտեղ τ -ն իսկական կլանման գործակիցն է, իսկ σ -ն՝ ցրման գործակիցը:

Եթե ռենտգենյան ճառագայթների փնջի լայնակի կտրվածքը վերցնենք 1 սմ², ապա այդ փունջը ճշ ճանապարհին կանցնի կլանող միջավայրի ճամ=ρՃ մասսայի միջով, որտեղ ρ-ն խտությունն է, և ինտենսիվության հարաբերական փոքրացումը համեմատական կլինի այդ մասսայի մեծությանը.

$$\frac{dI}{I} = -\rho_m dm, \quad (4.4)$$

որտեղ համեմատականության μ_m գործակիցը կոչվում է թուլացման մասսայի գործակից, (4.4)-ը համեմատելով (4.3)-ի հետ, կստանանք՝

$$\mu = \mu_m \cdot \text{Կամ} \quad \mu_m = \frac{\mu}{\rho}: \quad (4.5)$$

(4.5)-ից μ_m -ի չափողականության համար կստանանք **Հեռակալություն**. $[\mu_m] = \text{սմ}^2 \cdot \text{գ}^{-1}$: Հ. Հ.
Պարզենք μ_m -ի ֆիզիկական իմաստը: (5.3)-ից կարող ենք գրել

$$\rho_m = - \frac{\left(\frac{dI}{dm} \right)}{I_x}, \quad (4.6)$$

այսինքն՝ μ_m -ը միավոր մասսայի առաջացրած հարաբերական թուլացումն է:

Նկատի ունենալով (4.5)-ը և $\mu = \tau + \sigma$ հավասարումը, կարող ենք գրել

$$\mu_m = \frac{\mu}{\rho} = \frac{\tau}{\rho} + \frac{\sigma}{\rho}, \quad \text{Կամ} \quad \mu_m = \tau_m + \sigma_m,$$

որտեղ $\tau_m = \tau / \rho$ և $\sigma_m = \sigma / \rho$ կոչվում են իսկական կլանման ու ցըրման մասսայի գործակիցներ:

Տեսական հաշիվների համար ավելի հարմար է օգտվել գծային կլանման բա, ցրման տա և կլանման տա ատոմական գործակիցներից, որոնք կարելի է որոշել հետևյալ բանաձևերի օգնությամբ (μ_a -ն, σ_a -ն և τ_a -ն վերագրված են մեկ ատոմին).

$$\mu_a = \frac{\mu}{\rho} \frac{A}{N}, \quad \sigma_a = \frac{\sigma}{\rho} \frac{A}{N}, \quad \tau_a = \frac{\tau}{\rho} \frac{A}{N}, \quad (4.7)$$

որտեղ A -ն տվյալ կլանող միջավայրի նյութի գործառությունը, μ կ հսկ N -ը՝ Ավոգադրոյի թիվը:

(4.6)-ի հիման վրա կարելի է ասել, որ μ_a -ն մեկ ատոմով առաջացած հարաբերական թուլացումն է, որը նույնպես բաղկացած է երկու մասից.

$$\mu_a = \tau_a + \sigma_a: \quad (4.8)$$

Օգտվելով (4.3)-ից, դժվար չէ համոզվել, որ μ_a -ն, τ_a -ն և σ_a -ն ունեն հետևյալ շափողականությունը. $[\mu_a] = \text{սմ}^2$, $[\tau_a] = \text{սմ}^2$, $[\sigma_a] = \text{սմ}^2$: Այդ պատճառով μ_a -ն, τ_a -ն և σ_a -ն կարելի է մեկնաբանել որպես ատոմի էֆեկտիվ կտրվածքներ համապատասխանաբար թուլացման, իսկական կլանման և ցրման համար: Իսկական կլանման հաստատուների համար փորձով գտնված են հետևյալ արտահայտությունները.

$$\tau_a = CZ^{4/3} \quad \& \quad \tau_n = C \frac{N}{A} Z^{4/3}, \quad (4.9)$$

որտեղ C -ն մի որոշ հաստատուն է, Z -ը նյութի ատոմի կարգաթիվն է, իսկ λ -ն՝ ռենտգենյան ճառագայթների ալիքի երկարությունը: Ինչպես երևում է (4.9)-ից, ռենտգենյան ճառագայթների կլանումն արագորեն մեծանում է կլանիչի ատոմական համարի մեծացմամբ՝ կլանման գործակիցը համեմատական է $Z^{4/3}$ -ին: Այդ բանաձևից երևում է նաև, որ երկար ալիքներն ավելի ուժեղ կերպով են կլանում, քան կարճ ալիքները՝ կլանման գործակիցը համեմատական է ալիքի երկարության խորանարդին:

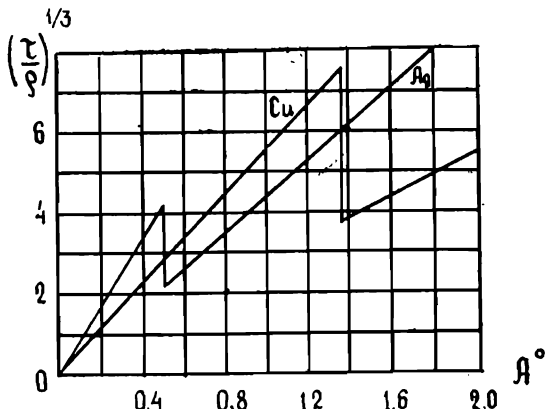
Այժմ կառուցենք կլանման τ_m մասսայի գործակցի ալիքի երկարությունից ունեցած կախվածությունը նկարագրող կորը: Այդ նպատակով (4.9) բանաձևը ձևափոխենք այսպես.

$$\sqrt[3]{\tau_m} = \sqrt[3]{\frac{\tau}{\rho}} = \sqrt[3]{C \frac{N}{A} Z^{4/3}} \quad \lambda: \quad (4.10)$$

Այդ կորը պատկերված է 52-րդ նկարում, որտեղ աբսցիսների առանցքի վրա տեղադրված է ալիքի երկարությունը՝ արտահայտ-

ված անգստրեմներով, իսկ օրդինատների առանցքի վրա՝ $(\tau/\rho)^{1/3}$ արտահայտությունը:

Նկարում ցույց է տրված կլանումն արծաթի և պղնձի մեջ, ինչ-պես երեսում է նկարից, կլանումն աստիճանաբար մեծանում է և հանկարծ կտրուկ ընկնում: Այդ կտրուկ անկումը բացատրվում է հետեւյալ կերպ: Քանի դեռ ալիքի երկարությունը փոքր է, քվանտի էներգիան մեծ է այն էներգիայից, որն անհրաժեշտ է Կ թաղանթից



Նկ. 52. $\tau_{\text{m}}\text{-ի}$ կախումը ալիքի երկարությունից

Էլեկտրոնը հանելու համար, ալիքի երկարության մեծացմամբ մեծանում է Կ թաղանթից էլեկտրոն հանելու հավանականությունը, և այդ պատճառով էլ կլանումը մեծանում է: Սակայն երբ ալիքի երկարությունն այնքան է մեծանում, որ քվանտների էներգիան փոքր է դառնում Կ թաղանթից էլեկտրոն հանելու համար անհրաժեշտ էներգիայից, կլանումը կտրուկ ընկնում է, քանի որ Կ թաղանթի էլեկտրոններն այլևս կլանմանը չեն մասնակցում: Բայց կլանումը, չնայած կտրուկ ընկնում է, զոր չի դառնում, քանի որ կլանմանը մասնակցում են մյուս թաղանթների էլեկտրոնները: Ալիքի երկարության հետագա մեծացմամբ կլանումը մեծանում է, որովհետեւ մեծանում է Լ թաղանթից էլեկտրոն հանելու հավանականությունը: Կլանումն ալիքի երկարության մեծացմամբ շարունակում է մեծանալ, մինչև որ ռենտգենյան քվանտի էներգիան դառնում է փոքր Լ թաղանթից էլեկտրոն հանելու համար պահանջվող էներգիայից: Այս դեպքում նույնպես տեղի է ունենում կլանման կտրուկ անկում: Որպեսզի կորի կտրուկ անկման երկու տարրեր կողմերում գտնվող մասերն էլ հնարավոր լինի արտահայտել (4.9) կամ (4.10) բանաձեռվ, անհրաժեշտ է, որ C-ն այդ տարրեր մասերում տարբեր ար-

Ժեք ունենա, այսինքն՝ մինչև կտրուկ անկումը մի հաստատուն արժեք, իսկ կտրուկ անկումից հետո՝ մի այլ հաստատուն արժեք:

Ունտգենյան ճառագայթների կլանման առանձնահատկություններից կարելի է նշել հետեւյալները.

1. ունտգենյան ճառագայթների կլանումը միջավայրում կախված չէ այդ միջավայրի օպտիկական հատկություններից: Այն միջավայրերում, որտեղ օպտիկական ճառագայթներն ուժեղ կլանվում են, ունտգենյան ճառագայթները կարող են համարյա թե չկլանվել և հակառակ՝ կան միջավայրեր, որտեղ ունտգենյան ճառագայթներն ուժեղ կլանվում են, իսկ օպտիկական ճառագայթները չեն կլանվում:

2. Ունտգենյան ճառագայթների կլանումը զուտ ատոմի հատկությունն է, այդ պատճառով էլ մոլեկուլի կլանման գործակիցը կարելի է հաշվել որպես այդ մոլեկուլի մեջ մտնող ատոմների կլանման գործակիցների աղիտիվ գումար:

§ 2. ՈՒՆՏԳԵՆՅԱՆ ԺԱՌԱԳԱՅԹՆԵՐԻ ՑՐՈՒՄԸ ԵՎ ՑՐՄԱՆ ՖՈՒՆԿՑԻԱՆԵՐ

Հստ դասական տեսության ունտգենյան ճառագայթների կոնքերինտ (ուելեյան) ցրումը կարելի է պատկերացնել հետեւյալ կերպ: Ունտգենյան ճառագայթները մտնելով միջավայր, ստիպում են միջավայրի ատոմների էլեկտրոններին տատանվել այն հաճախականությամբ, ինչ հաճախականություն ունի ունտգենյան ալիքը: Վերջինս ճիշտ է սկսած այն պահից, երբ կայունանում են էլեկտրոնի տատանումները: Այդպիսով ունտգենյան ճառագայթների ազդեցության տակ միջավայրի էլեկտրոնները շարժվելով, դառնում են սփերիկ ալիքների կենտրոններ՝ արձակում են ունտգենյան ճառագայթներ սկզբանական ճառագայթների հաճախականությամբ:

Էլեկտրոնի ցրած ալիքի ինտենսիվությունը գտնելու համար մենք պետք է գտնենք նրա շարժման արագացումը, իսկ այդ արագացումը գտնելու համար անհրաժեշտ է գտնել նրա շարժման հավասարումը: Շարժման հավասարումը գրելու համար մեզ պետք է հայտնի լինեն էլեկտրոնի վրա ազդող ուժեղը:

1. ԷԼԵԿՏՐՈՆԻ ՇԱՐԺՈՒՄԸ ՈՒՆՏԳԵՆՅԱՆ ԱԼԻՔԻ ԴԱՇՏՈՒՄ

Դասական պատկերացմամբ էլեկտրոնի վրա ազդող ուժեղը կարելի է դասակարգել այսպես.

ա) էլեկտրոնը ատոմի մեջ պահող ուժը, որը, ըստ երևույթին,

Համարյա թե առաձգական (քվազի) ուժի բնույթը ունի: Իրոք, հայտնի է, որ առաձգական ուժի ազդեցության տակ մարմինը կատարում է հարմոնիկ տատանումներ, իսկ եթե մարմինը նաև լիցքավորված է, ապա այդ տատանումների հետևանքով այն կառաքի հարմոնիկ տատանումներով էլեկտրամագնիսական ալիքներ: Մյուս կողմից, հայտնի է, որ ատոմներն արձակում են ալիքներ, որոնց տատանումները համարյա թե հարմոնիկ են: Հետևաբար, առանց մեծ սխալ գործելու, կարելի է ենթադրել, որ էլեկտրոնը ատոմի մեջ պահող ուժը առաձգական ուժ է: Ուստի, այդ ուժը, որը կնշանակենք F_1 -ով, կարող ենք ներկայացնել հետևյալ տեսքով՝

$$F_1 = -fr, \quad (4.11)$$

որտեղ r -ը էլեկտրոնի շեղումն է հավասարակշռության դիրքից, իսկ f -ը համեմատականության գործակիցն է:

Համեմատականության այդ գործակիցը կարելի է որոշել F_1 ուժի ազդեցության տակ էլեկտրոնի շարժումը (γ մարող տատանումներ) նկարագրող հետևյալ հավասարումից. $m \frac{d^2r}{dt^2} = -fr$: Հավասարման լուծումը որոնելով $r = r_0 e^{(\omega_0 t)}$ տեսքով, որտեղ $\omega_0 = \sqrt{\frac{f}{m}}$ էլեկտրոնի սեփական հաճախականությունն է, կտանանք՝

$$m\omega_0^2 = f \text{ կամ } \omega_0 = \sqrt{\frac{f}{m}}: \quad (4.12)$$

բ) Շիման ուժը, որը պայմանավորված է էլեկտրոնի կողմից էլեկտրամագնիսական ալիքների առաքմամբ: Երբ էլեկտրոնը, կատարելով արագացումով շարժում, էլեկտրամագնիսական ալիքներ է առաքում, նրա էներգիան պակասում է՝ տատանումները մարում են: Էներգիայի պակասը ճառագայթման հետևանքով կարելի է նմանեցնել մասնիկի կինետիկ էներգիայի պակասեցմանը, երբ նրա շարժման ընթացքում գործում է շիման ուժ: Կինետիկ էներգիայի մի մասը վեր է ածվում շիման ուժի աշխատանքի՝ չերմալին էներգիայի: Այդ շիման ուժը կարելի է որոշել հետևյալ ձևով: Խնդապես արդեն նշել ենք առաջին գիտում, ո արագացումով շարժվող էլեկտրոնի առաքած էլեկտրամագնիսական դաշտի էլեկտրական և մագնիսական վեկտորների մեծությունները, երբ էլեկտրոնի արագությունը փոքր է լույսի արագության համեմատությամբ, արտահայտվում են հետևյալ բանաձևով՝

$$E = H = \frac{ae \sin \gamma}{rc^2}, \quad (4.13)$$

իսկ երբ էլեկտրոնի արագությունը համեմատելի է լույսի արագության հետ, այդ մեծությունները կարտահայտվեն հետևյալ բանաձևով.

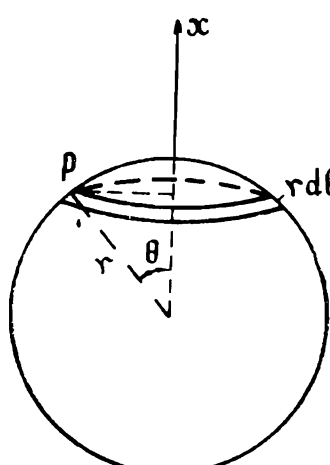
$$E=H=\frac{ae}{rc^2} \cdot \frac{\sin\gamma}{(1-\beta \cos\gamma)^3}; \quad (4.14)$$

Եներգիայի խտությունը կլինի

$$\frac{E^2}{8\pi} + \frac{H^2}{8\pi} = \frac{E^2}{4\pi}; \quad (4.15)$$

Վերջինից էլեկտրոնի առաքած ճառագայթման ինտենսիվության համար կստանանք հետևյալ արտահայտությունը.

$$I = \frac{c}{4\pi} E^2; \quad (4.16)$$



Բոլոր ուղղություններով ժամանակի միավորի ընթացքում էլեկտրոնի ճառագայթած գումարը-էներգիան գտնելու համար անհրաժեշտ է (4.16)-ը ինտե-գրել էլեկտրոնը շրջապատող շառավղութում սփերայի մակերեսով (նկ. 53):

$$P = \int_0^\infty 12\pi r \sin\theta r d\theta = \frac{2e^2 a^2}{3c^3} \quad (4.17)$$

Եթե տատանումները կատարվում են X ուղղությամբ, ապա P -ն կընդունի հետևյալ տեսքը.

$$Nk. 53. Էլեկտրոնը շրջապատող շառավղով սփերա - P = \frac{2e^2 X^2}{3c^3}; \quad (4.18)$$

Մյուս կողմից, եթե մտցնում ենք շփման ուժի, ավելի ճիշտ՝ ճառագայթային շփման ուժի գաղափարը, ապա այդ էներգիայի միջին արժեքը պետք է հավասար լինի շփման ուժի կատարած աշխատանքի միջին արժեքին: Եթե շփման ուժը նշանակենք F_2 -ով, ապա նրա կատարած աշխատանքը կլինի $F_2 dx$: Ուստի, համաձայն ասա-

$$\text{տի, կունենանք } \overline{F_2 dx} = \overline{P}, \text{ աւսինք՝ } \frac{1}{t} \int_0^t F_2 \dot{x} dt = -\frac{2e^2}{3c^3} \frac{1}{t} \int_0^t \dot{x}^2 dt;$$

Վերջին արտահայտության աջ մասում կատարելով մասերով ինտեգրում և բավականաշափ մեծ ժամանակամիջոցի համար արհամարհելով՝ $\frac{(\dot{x} \ddot{x})_t - (\dot{x} \ddot{x})_0}{t}$ անդամները, կարող ենք այն բերել հետևյալ տեսքի.

$$\frac{1}{t} \int_0^t F_2 \dot{x} dt = \frac{2e^2}{3c^3} \frac{1}{t} \int_0^t \ddot{x} \dot{x} dt:$$

Որտեղից վերջնականապես կստանանք

$$F_2 = \frac{2e^2}{3c^3} \ddot{x}: \quad (4.19)$$

Ինչպես երկում է (4.19)-ից, ճառագայթային շփման ուժը համեմատական է կոռոդինատի (շեղման) երրորդ կարգի ածանցյալին, մինչեւ մեխանիկայում շփման ուժը համեմատական է լինում առաջին կարգի ածանցյալի առաջին կամ երկրորդ աստիճանին:

գ) Ստիպողական ուժը՝ F_3 , որն իրենից ներկայացնում է ռենտգենյան ալիքի ազդեցությունը էլեկտրոնի վրա: Եթե սկզբնական ռենտգենյան ալիքն արտահայտվում է $E_1 = E_{01} e^{i(\omega t - kr)}$ բանաձևով, ապա այդ ուժը կարտահայտվի հետևյալ կերպ*:

$$F_3 = eE_1 = eE_{01} e^{i(\omega t - kr)}: \quad (4.20)$$

Այժմ արդեն մեզ հայտնի են էլեկտրոնի վրա ազդող բոլոր ուժեղը, և մենք կարող ենք գրել նրա շարժման հավասարումը՝

$$m \frac{d^2x}{dt^2} = F_1 + F_2 + F_3: \quad (4.21)$$

2. ՌԵՆՏԳԵՆԵՐԱՆ ՃԱՌԱԳԱՅԹՆԵՐԻ ՑՐՈՒՄԸ ԱԶԱՏ ԷԼԵԿՏՐՈՆՆԵՐՈՎ

Ազատ էլեկտրոնների դեպքում F_1 ուժը հավասար կլինի զրոյի, և եթե ճառագայթման պատճառով առաջացած մարումն էլ անտեսնք, (4.21) հավասարումը կընդունի այսպիսի տեսք. $m \frac{d^2x}{dt^2} = F_3 = eE_1$, որտեղից արագացման համար կստանանք

$$\frac{d^2x}{dt^2} = \frac{e}{m} E_1: \quad (4.22)$$

* Մագնիսական դաշտի ազդեցությունը նրա փոքրության պատճառով արհամարհվում է:

Նկատի ունենալով (4.13)-ը, (4.20)-ը և (4.22)-ը՝ ազատ էլեկտրոնի շմարող տատանումներով առաքած (ցրած) ալիքի համար կստանանք հետևյալ արտահայտությունը.

$$E = \frac{e^2 \sin \gamma}{mc^2} \frac{1}{r} E_{01} \exp \{ i(\omega t - kr) \}, \quad (4.23)$$

որտեղից ցրված ալիքի ամպլիտուդի և ինտենսիվության համար համապատասխանաբար կստանանք

$$E_0 = \frac{e^2 \sin \gamma}{mc^2} \frac{1}{r} E_{01}, \quad (4.24)$$

$$I = \frac{c}{4\pi} E_0^2 = \frac{c}{4\pi} E_{01}^2 \left(\frac{e^2}{mc^2} \right) \frac{1}{r^2} \sin^2 \gamma: \quad (4.25)$$

Վերջին բանաձևը հարմար է գրել այսպես.

$$I = I_0 \frac{1}{r^2} \left(\frac{e^2}{mc^2} \right) \sin^2 \gamma, \quad (4.26)$$

որտեղ

$$I_0 = \frac{c}{4\pi} E_{01}^2: \quad (4.27)$$

Այժմ անցնենք սկզբնական ալիքի բևեռացման հաշվառմանը: Հարմարության համար այդ ալիքի ամպլիտուդը նշանակենք A -ով և ընդունենք, որ ցրման (անկման և ցրման ուղղություններ պարունակող) հարթության հետ այն կազմում է ϕ անկյուն: Այդ դեպքում A ամպլիտուդի ցրման հարթության մեջ գտնվող և այդ հարթությանն ուղղահայաց բաղադրիչները կլինեն՝

$$A_\pi = A \cos \phi, \quad A_\sigma = A \sin \phi: \quad (4.28)$$

Մասնավոր դեպքում, եթե A_π և A_σ բաղադրիչներն իրար հավասար են ($\phi = 45^\circ$ դեպքում), կարող ենք գրել

$$A^2 = A_\pi^2 + A_\sigma^2 = 2A_\pi^2 = 2A_\sigma^2 \quad (4.29)$$

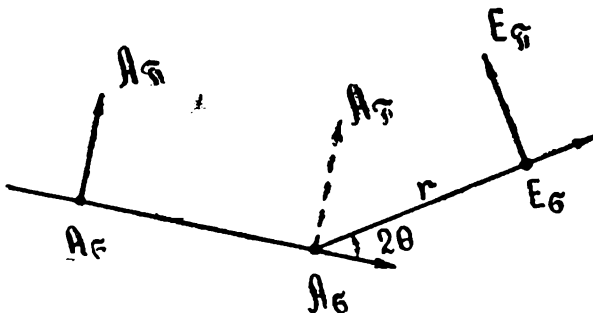
$$\text{կամ} \quad A_\pi = \frac{1}{\sqrt{2}} A, \quad A_\sigma = \frac{1}{\sqrt{2}} A: \quad$$

Միշավայրի էլեկտրոնները տատանվում են A_π և A_σ վեկտորների ուղղությամբ, իսկ (4.13) բանաձևով արտահայտվող նրանց առաքած էլեկտրամագնիսական դաշտի E և H վեկտորների արտահայտության մեջ մտնում են A_π -ի, A_σ -ի և r -ի միջև կազմված ան-

Կլունները. Ընդ որում, A_{π} -ի և π -ի միջև կազմված անկյունը՝ $\gamma_1 = \frac{\pi}{2}$,

իսկ A_{π} -ի և π -ի միջև կազմված անկյունը՝ $\gamma_2 = \frac{\pi}{2} - 2\theta$, որ-

տեղ 2 թ-ն անկյան (սկզբնական ալիքի ուղղության և ցրման վեկտորի) ուղղություններով կազմված անկյունն է (նկ. 54):



Նկ. 54. Սկզբնական և ցրված ալիքների էլեկտրական փեկտորների դասավորությունը

Նոր նշանակումներով ցրված ալիքի ամպլիտուդի ցուման հարթության մեջ գտնվող E_{π} և այդ հարթությանն ուղղահայաց E_{σ} բազագրիչների համար, ի նկատի ունենալով (4.26)-ը, կստանանք.

$$E_{\pi} = \frac{e^2 \sin \gamma_2}{mc^2} \frac{1}{r} \quad A_{\pi} = \frac{1}{\sqrt{2}} \frac{1}{r} \frac{e^2 \cos 2\theta}{mc^2} \quad A,$$

$$E_{\sigma} = \frac{e^2 \sin \gamma_1}{mc^2} \frac{1}{r} \quad A_{\sigma} = \frac{1}{\sqrt{2}} \frac{1}{r} \frac{e^2}{mc^2} \quad A:$$

Վերջիններից այդ բաղադրիչների ինտենսիվությունների համար կունենանք (տե՛ս 4.25):

$$I_{\pi} = \frac{c}{4\pi} E_{\pi}^2 = \frac{1}{2r^2} \left(\frac{e^2}{mc^2} \right)^2 \cos^2 2\theta \cdot A^2 = \frac{c}{4\pi},$$

$$I_{\sigma} = \frac{c}{4\pi} E_{\sigma}^2 = \frac{1}{2r^2} \left(\frac{e^2}{mc^2} \right)^2 \cdot A^2 = \frac{c}{4\pi}:$$

Այստեղից գումար ինտենսիվության համար կստանանք՝

$$I = I_{\pi} + I_{\sigma} = I_0 \frac{1}{r} \left(\frac{e^2}{mc^2} \right)^2 \frac{1 + \cos^2 2\theta}{2}, \quad (4.30)$$

$$\sigma_{\text{րահեղ}} I_0 = \frac{c}{4\pi} A^2 \quad \text{սկզբնական } a_{\text{լիքի}} \text{ ինտենսիվությունն } \xi: \text{ Ընդ-}$$

հանուր դեպքում, եթե $\varphi \neq 45^\circ$, այսինքն $A_\pi \neq A_\sigma$, ցրված ալիքի լրիվ ինտենսիվության համար (4.30)-ի փոխարեն կստանանք հետևյալ արտահայտությունը.

$$I = \frac{I_0}{r^2} \left(\frac{e^2}{mc^2} \right)^2 (\sin^2 \varphi + \cos^2 \varphi \cos^2 \theta), \quad (4.31)$$

որը $\varphi = 45^\circ$ -ի դեպքում համընկնում է (4.30)-ին: Մենք այստեղ փաստորեն քննարկեցինք բևեռացված ալիքի ցրման դեպքը: Ալիքը բևեռացված էր այնպես, որ նրա A ամպլիտուդը ցրման հարթության հետ կազմում էր անկյուն, որը բավարարում էր $0 < \varphi < \frac{\pi}{2}$

պայմանին և $A_\pi = A_\sigma$ բաղադրիչները միաժամանակ զրոյից տարբեր էին:

Չբևեռացված առաջնային փնչի դեպքում միշտ A_π և A_σ բարդությունները կլինեն հավասար և օպտիկապես իրարից անկախ (ոչ կոհերենտ): Այդ պատճառով իրարից օպտիկապես անկախ կլինեն նաև ցրված ալիքի E_π և E_σ բաղադրիչները, որոնց ինտենսիվությունները կգումարվեն և լրիվ ինտենսիվության համար կստացվի դարձյալ (4.30) արտահայտությունը, բայց ոչ (4.31)-ը:

Այսպիսով, բևեռացված ալիքը $\varphi = 45^\circ$ -ի դեպքում ցրման տևակետից համարժեք է շրեթեացվածին:

(4.30)-ի մեջ $\frac{1}{2}(1 + \cos^2 \theta)$ բազմապատկիշը կոչվում է բեկեռացման ֆակտոր:

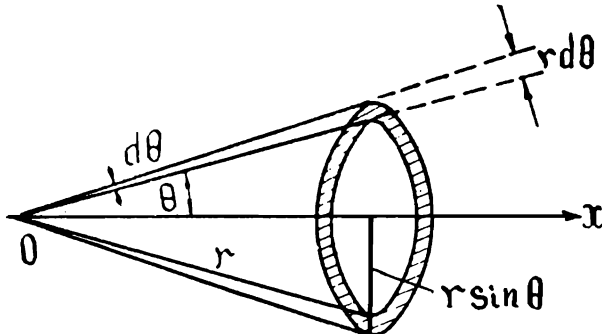
ՑՐՄԱՆ ԳԾԱՅԻՆ ԳՈՐԾԱԿԱՋԻ ԲԱՀՎՈՒՄԸ

Ինչպես արդեն նշեցինք նախորդ գլխում, ռենտգենյան ճառագայթների թուլացումը (միշավայրով անցնելիս) որոշ շափով պայմանավորված է նաև նրանց ցրումով, այսինքն՝ թուլացման գծային գործակիցը բաղկացած է երկու գումարելիներից՝ իսկական կլանման և ցրման գծային գործակիցներից: Նախորդ գլխում, որտեղ խոսում էինք թուլացման գործակցի մասին, ցրման գծային գործակցի որոշումը հետաձգեցինք: Այժմ անցնենք այդ գործակցի որոշմանը:

Ցրման գծային գործակցի որոշման համար կընտրենք հետևյալ ուղին: Կհաշվենք ռենտգենյան ճառագայթների ցրմանը մասնակցող միավոր ճանապարհի վրա միավոր ծավալում գտնվող բո-

Առ էլեկտրոնների ցրած ալիքի ինտենսիվությունը և այնուհետև այդ ինտենսիվության միջոցով կգտնենք սկզբնական ճառագայթի թուղացման օրենքը:

Գտնենք բոլոր ուղղություններով էլեկտրոնի ցրած ալիքների գումար-էներգիան: Դրա համար անհրաժեշտ է (4.30) արտահայտությունն ինտենսիվությունը էլեկտրոնը շրջապատող շառավղով սփերայի մակերեսով (նկ. 55):



Նկ. 55. Լրիկ ցրման հաշվումը

$$P = \int_0^{\pi} I 2\pi r^2 \sin \theta d\theta = \frac{\pi I_0 e^4}{m c^4} \int_0^{\pi} (1 + \cos^2 2\theta) \sin 2\theta d\theta = \\ = \frac{8\pi}{3} I_0 \left(\frac{e^2}{mc^2} \right)^2; \quad (4.32)$$

Իրարից անկախ ու էլեկտրոնների բոլոր ուղղություններով ցրած էներգիայի համար կստանանք՝

$$P_n = n P: \quad (4.33)$$

Այժմ ենթադրենք I_0 ինտենսիվությամբ սկզբնական ալիքը միշավայր է խորասուզվել \propto խորությամբ և այդ պատճառով նրա ինտենսիվությունը ցրման հետևանքով պակասել է և դարձել է I_x :

Եթե այդ ալիքը dx -ով էլ խորանա, նրա ինտենսիվությունը կդառնա $I_x - dI$:

Խ խորության վրա մեկ էլեկտրոնի բոլոր կողմերով ցրված էներգիան՝ $P = P_x = \frac{8\pi}{3} I_x \left(\frac{e^2}{mc^2} \right)^2$, իսկ միավոր ծավալում գտնվող n_0 անկախ էլեկտրոններով ցրված էներգիան՝

$$P_{n_0} = \frac{8\pi}{3} n_0 I_x \left(\frac{e^2}{mc^2} \right)^2$$

Այդ գեպքում միավոր կտրվածքով և ճշ էրկարությամբ ծավառում գտնվող, $n_0 dx$ էլեկտրոնների ցրած էներգիան կլինի $P_{n_0} dx$, Քանի որ իսկական կլանումը հաշվի չի առնված և էներգիայի $dI-n_0$ պակասելը պայմանավորված է միայն ցրումով, պետք է տեղի ունենա հետեւյալը. $-dI = P_{n_0} dx$ կամ $\frac{dl}{l_x} = -\frac{8\pi}{3} n_0 \left(\frac{e^2}{mc^2}\right)^2 dx = -\sigma dx$.

Այդ հավասարման աջ մասն ինտեգրելով 0 -ից մինչև d , որտեղ d -ն շերտի հաստությունն է (նկ. 56), իսկ ձախ մասը՝ I_0 -ից մինչև I_d , կստանանք $I_d = I_0 e^{-\sigma x}$, այսինքն՝ σ -ն ցրման գծային գործակիցն է՝

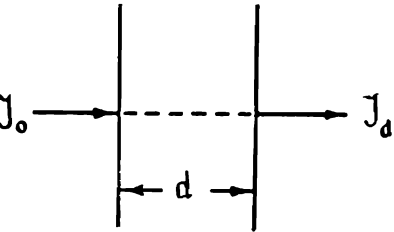
$$\sigma = \frac{8\pi}{3} n_0 \left(\frac{e^2}{mc^2}\right)^2, \quad (4.34)$$

Այստեղից հեշտությամբ կարելի է ստանալ էլեկտրոնի ցըրման գծային գործակիցը.

$$\sigma_e = \frac{\sigma}{n_0} = \frac{8\pi}{3} \left(\frac{e^2}{mc^2}\right)^2, \quad (4.35)$$

և ատոմի ցրման գծային գործակիցը՝

$$\sigma_a = \sigma_e Z = \frac{8\pi}{3} \left(\frac{e^2}{mc^2}\right) Z, \quad (4.36)$$



Նկ. 56. Ինտեգրանյան փնջի ինտենսիվության փոքրացումը ցրման հետևանքով

Ի նկատի ունենալով, որ միավոր մասսային հասնող էլեկտրոնների թիվը խտության միջոցով կարելի է արտահայտել $\frac{n_0}{\rho} = \frac{NZ}{A}$ -ով, ցրման մասսայի գործակիցի համար կստանանք՝

$$\sigma_m = \frac{\sigma}{\rho} = \frac{8\pi}{3} \left(\frac{e^2}{mc^2}\right) N \frac{Z}{A}, \quad (4.37)$$

Ինչպես երևում է (4.31)–(4.34) բանաձևերից, ցրման գործակիցները կախված չեն ալիքի երկարություններից, իսկ σ_m -ը (եթե ընդունենք, որ $\frac{Z}{A} \approx 0,5$) ունիվերսալ հաստատուն է և հավասար է $\sigma_m \approx 0,20$ -ի:

Ստացված բանաձևերը ճշգրիտ չեն կարող լինել՝ դրանք մոտավոր են, քանի որ գուրս են բերված օպտիկապես անկախ էլեկտրոնների համար, մի բան, որը տեղի չի կարող ունենալ ատոմի մեջ գտնվող էլեկտրոնների համար:

3. ՌԵՆՏԳԵՆՅԱՆ ՃԱՌԱԳԱՅԹՆԵՐԻ ՑՐՈՒՄԸ ԿԱՊՎԱԾ ԷԼԵԿՏՐՈՆՆԵՐՎ

Այժմ քննարկենք այն դեպքը, երբ ցրող էլեկտրոնը գտնվում է ատոմի մեջ, և հաշվի առնենք ճառագայթման հետևանքով նրա էներգիայի կորուստը: Այս դեպքում բացի F_3 ուժից էլեկտրոնի վրա կազդեն նաև F_1 և F_2 ուժերը:

Նկատի ունենալով (4.11)-ը և (4.19)-ը՝ կարող ենք (4.21)-ը գրել հետևյալ տեսքով.

$$m \frac{d^2r}{dt^2} = -fr - \frac{2e^2}{3mc^3} \ddot{r} + eE_1 \quad (4.38)$$

$$\text{կամ } \frac{d^2r}{dt^2} - \omega_0^2 r + gr = \frac{e}{m} E_1, \quad (4.39)$$

$$\text{որտեղ } \omega_0^2 = \frac{f}{m}, \quad g = \frac{2e^2}{3mc^3},$$

Արտաքին ուժի ազդեցության տակ կապված էլեկտրոնի տառանումները որոշ ժամանակից հետո կկայունանան և տեղի կունենան այդ ուժի հաճախականությամբ: Հետեւաբար տրամաբանական կլինի (4.38) հավասարման լուծումը որոնել

$$r = r_0 \exp \{ i\omega t \} \quad (4.40)$$

տեսքով, որտեղ ω -ն ունտգենյան ճառագայթների հաճախականությունն է:

(4.40)-ը տեղադրելով (4.38)-ի մեջ և կրճատելով $\exp \{ i\omega t \}$ -ը՝ կստանանք

$$r_0 = \frac{eE_{21}}{m[(\omega_0^2 - \omega^2) - i\omega^2 g]} \quad (4.41)$$

$$\text{կամ } r = \frac{eE_1}{m[(\omega_0^2 - \omega^2) - i\omega^2 g]}, \quad (4.42)$$

Նկատի ունենալով, որ արագացումը՝ α -ն, հավասար է $\frac{d^2r}{dt^2}$, կարող ենք կապված էլեկտրոնի ցրած ալիքի ամպլիտուդի համար (4.13)-ից և (4.42)-ից ստանալ

$$E'_0 = \frac{1}{r} \frac{e^2}{mc^2} \sin \gamma \frac{-\omega^2 E_{01}}{\omega_0^2 - \omega^2 - i\omega^2 g}, \quad (4.43)$$

ֆսկ շմարող տատանումներով ազատ էլեկտրոնի ցրած ալիքի ամպ-լիտուդի համար (4.23)-ից կստացվի

$$E_0'' = \frac{1}{r} \frac{e^2}{mc^2} \sin \gamma E_{01}: \quad (4.44)$$

Ինչպես երևում է (4.43)-ից, սկզբնական ալիքի մեծ հաճախությունների դեպքում, երբ $\omega \gg \omega_0$, շմարող տատանումների համար ($g=0$) կստանանք՝ $E_0' \approx E_0''$, այսինքն, եթե ընկնող ալիքի հաճախականությունը շատ մեծ է էլեկտրոնի սեփական հաճախականությունից, ցրման պրոցեսում կապված էլեկտրոնը կարելի է դիտել որպես ազատ:

4. ԷԼԵԿՏՐՈՆԻ ՑՐՄԱՆ ՖՈՒՆԿՑԻԱՆ

Կապված էլեկտրոնի ցրած ալիքի ամպլիտուդի հարաբերությունը ազատ էլեկտրոնի նույն ուղղությամբ և նույն պայմաններում ցրած ալիքի ամպլիտուդին, կոչվում է էլեկտրոնի ցրման ֆունկցիա՝

$$f_0 = \frac{E_0'}{E_0''} = \frac{\omega^2}{\omega^2 - \omega_0^2 + i\omega^3 g}, \quad (4.45)$$

Ինչպես երևում է (4.43)-ից, կապված էլեկտրոնի ցրած ալիքի ամպլիտուդը կոմպլեքս մեծություն է. դա նշանակում է, որ ցըրման հետևանքով տեղի է ունենում փուլի փոփոխություն:

5. ՌԵՆՏԳԵՆՅԱՆ ՃԱՌԱԳԱՅԹՆԵՐԻ ՑՐՈՒՄԸ ԱՏՈՄՆԵՐՈՎ

Իրարից օպտիկապես անկախ էլեկտրոնների ցրած ալիքի ինտենսիվությունը հավասար է մեկ էլեկտրոնի ցրած ալիքի ինտենսիվությանը՝ բազմապատկած այդ էլեկտրոնների թվով: Սակայն միևնույն ատոմի մեջ մտնող էլեկտրոնները չ�� կարելի իրարից օպտիկապես անկախ համարել: Ատոմի ցրած արդյունարար (գումար) ալիքը գտնելու համար հարգավոր է ատոմի մեջ մտնող էլեկտրոնների ցրած ալիքները գումարել իրար հետ, հաշվի առնելով նրանց միջև գոյություն ունեցող փուլերի տարրերությունը:

Ենթադրենք ատոմն ունի Z էլեկտրոն, և այդ էլեկտրոններից n -րդը սկզբնակետից գտնվում է r_n հեռավորության վրա, որտեղ $n=1, 2, \dots, Z$: Այդ դեպքում, ինչպես ցույց կտրվի հետագայում (տե՛ս գլուխ 5-րդ, բանաձև 1), սկզբնակետում տեղափորված և նրանից r_n հեռավորության վրա գտնվող էլեկտրոնների ցրած ա-

Լիքների միջև դիտման կետում ճանապարհների տարբերությունը՝
 $\vec{q}_n \vec{r}_n (\vec{s}_1 - \vec{s}_0) = (\vec{r}_n \vec{s})$, որտեղ \vec{s}_0 -ն և \vec{s}_1 -ը անկման ու ցրման
 ուղղությունների միավոր վեկտորներն են:

Նկատի ունենալով այդ ճանապարհների տարբերությունը՝ ա-
 տոմի ցրած ալիքի ամպլիտուդի համար կստանանք հետևյալ ար-
 տահայտությունը.

$$E_a = E_0'' \sum_{n=1}^z \exp \{ ik(\vec{r}_n \vec{s}) \}, \quad (4.46)$$

որը էլեկտրոնային միավորներով (մեկ էլեկտրոնի ցրած ալիքի ամ-
 պլիտուդի միավորներով) կընդունի հետևյալ տեսքը.

$$E_a = \sum_{n=1}^z \exp \{ ik(\vec{r}_n \vec{s}) \}, \quad (4.47)$$

Ատոմի ցրած ալիքի ամպլիտուդի (4.46) և (4.47) արտահայ-
 տությունները ստացվել են այն պատկերացմամբ, որ էլեկտրոննե-
 րը միջուկի շուրջը պտտվող կետային լիցքեր են, որը ժամանակա-
 կից պատկերացումներով ճիշտ չէ, իսկ հետո դրանք ամպլիտուդի
 ակնթարթային արժեքներն են: Ժամանակի ընթացքում նրանց շա-
 ռավիղ-վեկտորների արագ փոփոխության պատճառով փոփոխու-
 թյան է ենթարկվում նաև E_a ամպլիտուդը:

Եթե ուրդ էլեկտրոնի լիցքի տարածական խտությունը (x, y, z)
 կետում նշանակենք $\rho_n(x, y, z)$ -ով, ապա տվյալ ատոմին պատ-
 կանող բոլոր շ էլեկտրոնների առաջացրած գումար-խտությունը
 այդ կետում՝ $\rho(xyz) = \sum_{n=1}^z \rho_n(xyz)$:

Այսպիսով, ճն ծավալում գտնվող օճն լիցքի ցրած ալիքի ամպ-
 լիտուդի համար, արտահայտած էլեկտրոնային միավորներով,
 կստանանք օճն $\exp \{ i(\vec{r} \vec{s}) \}$, որտեղ \vec{r} -ը ճն ծավալի միջին հե-
 ռուավորությունն է ակզրնակետից: Ամբողջ ատոմի ցրված ալիքի
 ամպլիտուդը կստանանք, եթե այդ արտահայտությունը ինտեգրենք
 ամբողջ ծավալով՝

$$E_a = \int_v \rho \exp \{ ik(\vec{r} \vec{s}) \} dv: \quad (4.48)$$

Ընդունված է ամբողջ ատոմի ցրած ալիքի ամպլիտուդի հա-
 րաբերությունը մեկ ազատ (թումանյան) էլեկտրոնի ցրած ալիքի
 ամպլիտուդին անվանել ատոմի ցրման ֆունկցիա՝

$$\frac{E_a}{E_0''} = f_a, \quad (4.49)$$

Եթե ցրումը տեղի է ունենում այն դեպքում, երբ $\omega \gg \omega_0$, այսինքն երբ $E'_0 = E''_0$ (տե՛ս (4.43) և (4.44)), ապա համաձայն (4.49)-ի և (4.48)-ի, առողմի ցրման ֆունկցիայի համար կստանանք՝

$$f_a = \int_V \rho \exp \{ ik(\vec{r} \cdot \vec{s}) \} dv, \quad (4.50)$$

Ցրման ֆունկցիայի քառակուսին՝ f_a^2 կոչվում է ատոմային ֆակտոր: Եթե ցրումը տեղի ունի $\omega \approx \omega_0$ դեպքում, ցրման ֆունկցիան կընդունի հետևյալ տեսքը.

$$\begin{aligned} f_a &= \frac{E'_0}{E''_0} \int_V \rho \exp \{ ik(\vec{r} \cdot \vec{s}) \} dv = \\ &= \frac{\omega^2}{\omega^2 - \omega_0^2 + i\omega^3 g} \int_V \rho \exp \{ ik(\vec{r} \cdot \vec{s}) dv \}, \end{aligned} \quad (4.51)$$

Առողմի ցրումը քննարկելիս մենք արհամարհում էինք միջուկի ցրումը, քանի որ միջուկի մասսան մոտ հազար անգամ մեծ է էլեկտրոնի մասսայից և այդ պատճառով ռենտգենյան ալիքի դաշտի ազդեցության տակ ստացած նրա արագացումը մոտ հազար անգամ փոքր է էլեկտրոնի ստացած արագացումից:

Առողմի ցրման (4.50) ֆունկցիայի ճշգրիտ հաշվումը բավականաշափ բարդ խնդիր է: Ճշգրիտ հաշվման համար պետք է հայտնի լինի լիցքի խտության բաշխման արտահայտությունը: Այստեղ մենք կբավարարվենք միայն մի մոտավոր հաշվարկով:

Ենթադրենք առողմը սֆերիկ սիմետրիկ է, այսինքն՝ լիցքի բաշխման օ ֆունկցիան կախված է \vec{r} շառավիղ-վեկտորի միայն բացարձակ արժեքից: Թող որ $\vec{r} \cdot \vec{s} = \vec{r} \cdot \vec{s} - \vec{r} \times \vec{s}$ հետ կազմի ա անկյուն, այդ դեպքում կստանանք (սկզբնակետը տեղավորված է առողմի կենտրոնում):

$$k(\vec{r} \cdot \vec{s}) = r s \cos \alpha. \frac{2\pi}{\lambda} = \mu r \cos \alpha, \quad (4.52)$$

$$\text{որտեղ } \mu = \frac{2\pi}{\lambda} \text{ Տ:}$$

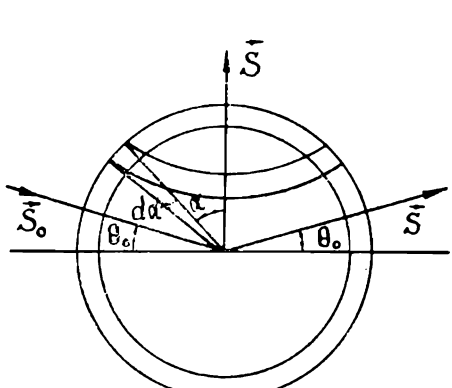
Ինտեղրման համար որպես ծավալի էլեմենտ վերցնենք 57-րդ նկարում ցույց տրված գոտիական օղակի ծավալը՝ $dv = 2\pi r \sin \alpha dr$, նշանակենք $\mu r \cos \alpha = w$, որտեղից $dw =$

միւսուշած: Այդ գեպքում ատոմային ֆակտորի (4.50) արտահայտության փոխարեն կստանանք՝

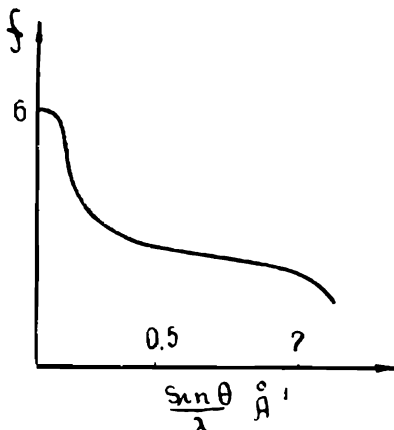
$$f_a = \int_0^{\infty} \frac{2\pi r^2}{\mu r} \rho(r) dr \int_{-\mu r}^{+\mu r} \exp \{ iw \} dw = \int_0^{\infty} 4\pi r^2 \rho(r) \frac{\sin \mu r}{\mu r} dr:$$

Եթե $4\pi r^2 \rho(r) - \rho$ նշանակենք $U(r)$ -ով, կստանանք.

$$f_a = \int_0^{\infty} U(r) \frac{\sin \mu r}{\mu r} dr: \quad (4.53)$$



Նկ. 57. Ատոմի ցրման ֆունկցիայի համար ինտեղրաման ծավալի էլեմենտի ընտրությունը
Նկ. 58. Ատոմի ցրման ֆունկցիայի կախումը ցրման անկյունից



$U(r)$ ֆունկցիան ունի ֆիզիկական իմաստ՝ $U(r)dr - r$ և $r + dr$ շառավիղներով սֆերաների միջև ընկած ծավալում գտնվող էլեկտրոնների թիվն է: Այդ ֆունկցիայի օգնությամբ ատոմի բոլոր էլեկտրոնների թիվը կգտնենք, եթե կատարենք ինտեգրում ըստ r -ի $0 - \infty$ մինչև անսահմանություն տիրույթում՝

$$\int_0^{\infty} U(r) dr = Z: \quad (4.54)$$

Ինչպես երկում է (4.49)-ից, էլեկտրոնային միավորներով ատոմի ցրած ալիքի ամպլիտուդը հավասար է ատոմի ցրման f_a ֆունկցիային:

Ատոմի ցրման ֆունկցիան, ինչպես երկում է 58-րդ նկարից, կախված է ցրման անկյունից: Ցրման ֆունկցիան մաքսիմալ ար-

ԺԵՔ է ընդունում անկման ուղղությամբ (ցրում զրո աստիճանի անկյան տակ): Ցրման անկյան մեծացմամբ ցրման ֆունկցիան արագ նվազում է: 58-րդ նկարում ցույց է տրված ցրման ֆունկցիայի կախումը $\frac{\sin\theta}{\lambda}$ պարամետրից:

Սկզբնական ուղղությամբ ($\theta=0$) ատոմի բոլոր էլեկտրոնները ցրում են նույն փուլով՝ տարբեր էլեկտրոնների ցրած ալիքների միջև փուլերի տարբերությունը հավասար է զրոյի (կլանման բացակայության դեպքում), այդ պատճառով ցրման ֆունկցիան ընդունում է մաքսիմալ արժեք: Զրոյից տարբեր ցրման անկյունների դեպքում ատոմի տարբեր էլեկտրոնների կողմից ցրված ալիքների միջև փուլերի տարբերությունը զրոյից տարբեր է և այդ անկյան մեծացմամբ այն մեծանում է: Այդ պատճառով $\frac{\sin\theta}{\lambda}$ -ի մեծացմամբ ատոմի ցրման ֆունկցիան արագ նվազում է:

6. ՌԵՆՏԳԵՆՅԱՆ ԱԼԻՔՆԵՐԻ ՓՈՒԼԵՐԻ ԹՌԻՉՔԸ ՑՐՄԱՆ ՀԵՏՎԱՆՔՈՎ

Ինչպես հայտնի է, կոմպլեքս ամպլիտուդի ֆիզիկական իմաստն այն է, որ այդ կոմպլեքսությունն իր մեջ պարփակում է փուլային բազմապատկիշում՝ շարտահայտված փուլերի լրացուցիչ տարբերություն:

Իրոք, ենթադրենք ունենք մի ալիք՝

$$A = A_0 \exp \{ \omega t - k r \}, \quad (4.55)$$

որի A_0 ամպլիտուդը կոմպլեքս է՝

$$A_0 = A_{01} + i A_{02}, \quad (4.56)$$

Կոմպլեքս թիվը կարող ենք ներկայացնել այս տեսքով՝

$$A_0 = \sqrt{A_{01}^2 + A_{02}^2} \exp \{ i \varphi \}, \quad (4.57)$$

որտեղ φ փուլը որոշվում է հետևյալ արտահայտությամբ.

$$\tan \varphi = \frac{A_{02}}{A_{01}} \quad (4.58)$$

Նկատի ունենալով (4.57)-ը, կարող ենք (4.55)-ն արտահայտել այսպես. $A = \sqrt{A_{01}^2 + A_{02}^2} \exp \{ \omega t - k r + \varphi \}$, այսինքն՝ ամպլիտուդի (4.56)-ով արտահայտվող կոմպլեքսությունը նշանակում է (4.55)-ի փուլային բազմապատկիշում՝ շարտահայտված լրացու-

ցիշ փուլային տարբերություն, որն արտահայտվում է (4.58) բանաձևով:

Ելնելով շարադրվածից, հեղտությամբ կարող ենք քննարկել ցրման հետևանքով առաջացած փուլերի փոփոխության հարցը:

Տեսանք, որ կապված էլեկտրոններով ցրված ալիքի ամպլիտուդն արտահայտվում է (4.43) բանաձևով.

$$E'_0 = \frac{1}{r} \frac{e^2}{mc^2} \sin \gamma \frac{\omega^2 E_{01}}{\omega^2 - \omega_0^2 + i\omega^3 g},$$

որը կոմպլեքս է, և ուրեմն ցրման հետևանքով առաջանում է փուլերի լրացուցիչ թոփչք:

Ցրման հետևանքով առաջացած փուլերի թոփչքն ուսումնասիրելու նպատակով առանձնացնենք (4.43)-ի իրական և կեղծ մասերը՝

$$E'_0 = E'_{01} + iE'_{02}, \quad (4.59)$$

$$E'_{01} = \frac{1}{r} \frac{e^2}{mc^2} \sin \gamma \frac{\omega^2 (\omega^2 - \omega_0^2) E_{01}}{(\omega^2 - \omega_0^2)^2 + \omega^6 g^2}, \quad (4.60)$$

$$E'_{02} = -\frac{1}{r} \frac{e^2}{mc^2} \sin \gamma \frac{\omega^5 g E_{01}}{(\omega^2 - \omega_0^2)^2 + \omega^6 g^2}, \quad (4.61)$$

Այս վերջին (4.59)–(4.61) արտահայտություններից օգտվելով, ցրման հետևանքով առաջացած փուլերի թոփչքի համար կըստանանք՝

$$\operatorname{tg} \varphi = \frac{E'_{02}}{E'_{01}} = \frac{-\omega^3 g}{\omega^2 - \omega_0^2}, \quad (4.62)$$

Հետազոտենք փուլերի թոփչքը՝ կախված ցրվող ալիքի հաճախությունից, Տարբերենք երեք դեպք.

1. Եթե ընկնող ալիքի հաճախությունը շատ մեծ է ցրող էլեկտրոնների սեփական հաճախությունից՝ $\omega \gg \omega_0$,

2. Եթե այն շատ փոքր է՝ $\omega \ll \omega_0$,

3. Եթե ցրող ալիքի և ցրող էլեկտրոնի հաճախությունները միևնույն կարգի են՝ $\omega \sim \omega_0$:

Այդ երեք դեպքի համար (4.62)-ից կստանանք՝

$$1) \varphi = \pi, \quad 2) \varphi = 0, \quad 3) 0 < \varphi < \pi, \quad \varphi = \arctan \left(\frac{-\omega^3 g}{\omega^2 - \omega_0^2} \right),$$

Այսպիսով, եթե ընկնող ալիքի հաճախությունը շատ մեծ է էլեկտրոնի սեփական հաճախությունից, ցրման հետևանքով փոփոխվում է հակառակի (π-ով). դա ունտգենյան ալիքների ցրման

դեպքն է: Երբ ընկնող ալիքի հաճախությունը շատ փոքր է էլեկտրոնի սեփական հաճախությունից, ցրման հետևանքով փուլի փոփոխություն չի առաջանում, ինչպես լույսի ցրման դեպքում: Միշանկյալ դեպքերում, երբ ալիքի հաճախությունը մոտ է ցրող էլեկտրոնի սեփական հաճախությանը, կախված $\omega^2 - \omega_0^2$ տարրերությունից, փուլի փոփոխությունը կգտնվի 0-ից π տիրույթում՝ կլինի մեծ 0-ից և փոքր $\pi\text{-ից}$: Մասնավոր դեպքում, եթե ցրված ալիքի ամպլիտուդը լրիվ կեղծ է

$$E'_0=0; \quad E'_0 \approx iE; \quad tg\varphi=\infty; \quad \varphi=\frac{\pi}{2},$$

ցրման հետևանքով փուլերի թոփշքը հավասար կլինի $\pi/2\text{-ի}$:

Հետաքրքիր է, որ ազատ էլեկտրոնի վրա ցրվելիս նույնպես փուլը փոփոխվում է $\pi\text{-ով}$: Դրանում կարելի է համոզվել ազատ էլեկտրոնի ցրած ալիքի ամպլիտուդի (4.24) արտահայտությունը դիտելով կամ, որ նույնն է, կապված էլեկտրոնի ցրած ալիքի ամպլիտուդի (4.43) արտահայտության մեջ տեղադրելով $\omega_0=0$ և $g=0$ (ազատ էլեկտրոնի դեպքում առաձգական ուժը դառնում է 0, հատեաբար զրո է դառնում նաև սեփական հաճախությունը. տե՛ս 4.12): Այդ արտահայտությունների մեջ մինուս նշանը ցույց է տալիս, որ ազատ էլեկտրոնի դեպքում ցրման պատճառով փուլը փոխվում է հակառակի:

Ուրեմն, ցրման ժամանակ փուլի փոփոխման տեսակետից էլմեծ հաճախությունների դեպքում կապված էլեկտրոնն իրեն պահում է ազատ էլեկտրոնի նման:

ՌԵՆՏԳԵՆՅԱՆ ՃԱՌԱԳԱՅԹՆԵՐԻ ՑՐՈՒՄԸ ԻԴԵԱԼԱԿԱՆ ԲՅՈՒՐԵԴՂՆԵՐՈՒՄ

Ունտգենաստրուկտորային հետազոտությունների գլխավոր խնդիրն է ռենտգենյան ցրված ճառագայթների ինտենսիվության բաշխման օգնությամբ գտնել ցրող նյութի բաշխումը ճառագայթված ծավալում։ Այդ կարևոր խնդրի լուծման համար առաջին հերթին անհրաժեշտ է տեսականորեն գտնել ճառագայթվող ծավալում ցրող նյութի տվյալ բաշխման դեպքում նրա կողմից ցրված ռենտգենյան ճառագայթների ինտենսիվության բաշխումը։ Այսինքն, պետք է արտածել բանաձեռք, որոնք ճշգրիտ կնկարագրեն ցրող նյութի և նրա կողմից ցրված ալիքների ինտենսիվության բաշխումների միջև գոյություն ունեցող կապը։

Այսպիսով, ռենտգենաստրուկտորային հետազոտությունների պրոբլեմի լուծման ճշգրտության աստիճանը որոշվում է մի կողմից ցրող նյութի և ցրած ալիքների ինտենսիվության բաշխումների միջև գոյություն ունեցող կապը տեսականորեն արտահայտող բանաձեռքի ճշգրտությամբ, իսկ մյուս կողմից՝ ցրված ալիքների ինտենսիվության բաշխման վերաբերյալ փորձնական տվյալների ճշգրտությամբ։

Ուրեմն, խնդրը հանգում է ռենտգենաստրուկտորային հետազոտությունների ճշգրիտ տեսություն ստեղծելուն և փորձնական ճշգրիտ տվյալները մեկնաբանելով այդ տեսության օգնությամբ ցրող նյութի ճշգրիտ տարածական բաշխումը գտնելուն։

Սովորաբար, լինում են մոտավոր և ավելի ճշգրիտ՝ խիստ տեսություններ։ Որպես կանոն մոտավոր տեսությունն ավելի պարզ է լինում և նրանից օգտվելը՝ ավելի հեշտ։ Այդ պատճառով, եթե մոտավոր տեսությունը մեծ սխալների չի հանգեցնում, գերադասում են օգտվել այդ տեսությունից։

Ունտգենաստրուկտորային հետազոտությունների գոյությունը ունեցող տեսությունները կարելի է խմբավորել այսպես՝ դասական

և քվանտային: Դասական տեսությունն իր հերթին կարելի է երկու տեսակի բաժանել՝ կինեմատիկ և դինամիկ տեսությունների:

1. Կինեմատիկ տեսությունը զարգացրել է Լառւեն 1912—13 թվականներին: Այս տեսությունն արհամարհում է կրկնակի ցրումները՝ մի ատոմի ցրած ալիքի ցրումը մյուսների կողմից, արհամարհում է սկզբնական ալիքի և այդ ուղղությամբ ցրվածների փոխազդեցությունը՝ բեկման ցուցիչն ընդունում է հավասար մեկի:

2. Դասական դինամիկ տեսության երկու տարրերակ գոյություն ունի՝ Դարվինի դինամիկ տեսություն (1914 թ.) և Էվալդի դինամիկ տեսություն (1917 թ.):

3. Կոլերը (1935 թ.) զարգացրել է քվանտային մեխանիկայի վրա հիմնված խիստ տեսություն:

4. Լառւեն 1931 թ. զարգացրել է մի տեսություն, որը ձեականորեն նման է Կոլերի քվանտային տեսությանը:

5. Վերջերս Կատոն զարգացրել է դասական դինամիկ տեսությունը սկզբնական սֆերիկ ալիքների դեպքի համար:

Մենք այստեղ (գրքի այս հատորում) շարադրելու ենք միայն ունտգնյան ճառագայթների ինտերֆերենցիայի կինեմատիկ տեսությունը:

Ունտգնյան ճառագայթների ցրման կինեմատիկ տեսության պատկերացմամբ, երբ սկզբնական ունտգնյան ալիքն ընկնում է բյուրեղի վրա (անցնում է բյուրեղով), այդ ալիքի ազդեցության տակ բյուրեղի ճառագայթվող ծավալի ատոմները դառնում են տարրական սֆերիկ ալիքների կենտրոններ: Այդ սֆերիկ ալիքներն իրար հետ ինտերֆերենցվում են՝ որոշ ուղղություններով իրար ուժեղացնում են և որոշ ուղղություններով իրար թուլացնում: Այն ուղղություններում, որտեղ այդ սֆերիկ ալիքներն իրար մեծագույն շափով ուժեղացնում են, ստացվում են գլխավոր մաքսիմումներ, իսկ այն ուղղություններում, որտեղ նրանք մեծագույն շափով թուլացնում են, ստացվում են մինիմումներ: Այդ մաքսիմումները կոչվում են ինտերֆերենցիոն մաքսիմումներ և երբեմն էլ՝ ուղղակի ոեֆլեքսներ:

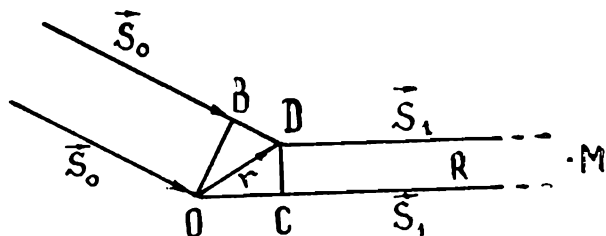
Մեր խնդիրն է հաշվել իդեալական, առանց թերությունների բյուրեղի ցրած գումար-ալիքը դիտման կետում:

Ցրված ալիքների գումար-ամպլիտուդի հաշվման երկու եղանակ գոյություն ունի՝ Լառւեի և Բրեգի: Լառւեն բյուրեղը դիտում է որպես ատոմների հանրույթ և ցրված գումար-ալիքի ամպլիտուդը հաշվելու համար գիտման կետում գումարում է առանձին ատոմների դեպքի այդ կետը ցրած տարրական սֆերիկ ալիքների ամպլիտուդները՝ հաշվի առնելով նրանց միջև ստացվող ճանարկարհների

տարբերությունները: Բրեգը բյուզելը դիտում է որպես ատոմներով լցված բյուրեղագրական հարթությունների հանրույթ և ցրված գումար-ալիքի ամպլիտուդը հաշվելու համար դիտման կետում գումարում է առանձին հարթությունների դեպի այդ կետը ցրած գումար-ալիքների ամպլիտուդները՝ հաշվի առնելով նրանց միջև ստացված ճանապարհների տարբերությունները: Այս դեպքում ըսկըզբում հաշվում են առանձին հարթությունից անդրադարձած ալիքի ամպլիտուդը, իսկ հետո կազմում են նրանց գումարը: Ընդ որում, ընդունվում է, որ ատոմական հարթությունները ունենալուան ճառագայթներն անդրադարձնում են ճիշտ այնպես, ինչպես սովորական հայելին անդրադարձնում է լույսը:

§ 1. ԲՅՈՒՐԵՂԻ ԿՈՂՄԻՑ ՑՐՎԱԾ ԱԼԻՔԻ ԱՄՊԼԻՏՈՒԴԻ ԵՎ ԻՆՏԵՆՍԻՎՈՒԹՅԱՆ ՀԱԾՎՈԽՄԸ ԼԱՌԻԵՒ ԵՂԱՆԱԿՈՎ

Ենթադրենք ունտենյան հարթ մոնոքրոմատիկ ալիքը \vec{S}_0 միավոր-վեկտորի ուղղությամբ ընկնում է a_1 , a_2 և a_3 տրանսլյացիաներ ունեցող բյուրեղի վրա, իսկ սկզբնակետից \vec{S}_1 միավոր-վեկտորի ուղղությամբ երեսացող դիտման M կետում հետազոտում ինք ցրված ալիքների ինտենսիվությունը (տե՛ս նկ. 59):



Նկ. 59. Սկզբնական և ցրված ալիքների ուղղությունները

Կատարենք հետևյալ ենթադրությունները.

1. Համաձայն կինեմատիկ տեսության հիմնական ենթադրության՝ արդամարհում ենք սկզբնական ալիքի և նրա ուղղությամբ ցրված ալիքի փոխազդեցությունը, որը, ինչպես հետագայում կհամոզվենք, համարժեք է նրան, որ միջավայրի բեկման ցուցիչը ընդունվում է հավասար մեկի (ալիքը բյուրեղում տարածվում է դատարկության մեջ ունեցած արագությամբ): Արհամարհվում են նաև կրկնակի ցրումները:

2. Դիտման կետի R հեռավորությունը բյուրեղի ճառագայթվող ծավալի τ շափերից այնքան մեծ է (R-ը շատ մեծ է ծավալի τ շափերից, R>>r), որ այդ ծավալի տարրեր կետերից դեպի դիտման կետը ցրված ալիքները համարվում են իրար զուգահեռ:

3. Ենթադրվում է, որ ճառագայթվող ծավալի բոլոր ատոմները դիտման կետից գտնվում են միենույն R հեռավորության վրա, սակայն այդ չի կարելի ընդունել փուլերի տարրերությունը հաշվելիս:

4. Ենթադրվում է, որ ատոմներն անշարժ են՝ չեն մասնակցում շերմային տատանումներին:

5. Բյուրեղը թափանցիկ է՝ կլանումը հավասար է զրոյի:

Այս ենթադրություններից յուրաքանչյուրի ընդունելի լինելը կքննարկվի հետագայում:

Թող սկզբնական (\vec{r}_1) ալիքը սկզբնակետում ունենա չըր {iωt} տեսքը (ամպլիտուդը հավասար է 1-ի): Այդ դեպքում սկզբնակետում ցրված և դիտման M կետը հասած ալիքը էլեկտրոնային միավորներով (ազատ էլեկտրոնի ցրած ալիքի ամպլիտուդի միավորներով) կլինի՝ $\frac{1}{R} f_a \exp \{ i(\omega t - kR) \}$, որտեղ՝ $k = \frac{2\pi}{\lambda}$:

Այժմ հաշվենք D կետում ցրված և M դիտման կետը հասած ալիքը: Դրա համար հաշվենք O և D կետերում ցրված ու M կետը հասած ալիքների միջև ճանապարհների տարրերությունը: Դա կլինի՝ $\vec{OC} - \vec{BD} = \vec{r} (\vec{S}_1 - \vec{S}_0)$, որտեղ՝ $\vec{r} = m_1 \vec{a}_1 + m_2 \vec{a}_2 + m_3 \vec{a}_3 - \vec{r}_D$ կետի շառավիղ-վեկտորն է: Նկատի ունենալով վերջինները, D կետում ցրված և M կետը հասած ալիքի համար կստանանք՝ $A_D = \frac{1}{R} f_a \exp \{ i(\omega t - kR) \} \exp \{ -ik\vec{r} (\vec{S}_1 - \vec{S}_0) \}$:

Ճառագայթված ամբողջ ծավալի ցրած գումար-ալիքի արտահայտությունը M կետում կստանանք, եթե վերջին արտահայտությունը գումարենք ըստ m_1 -ի, m_2 -ի և m_3 -ի:

$$A_m = \frac{1}{R} f_a \exp \{ i(\omega t - kR) \} \sum_{\sigma=1}^3 \sum_{m_\sigma=0}^{N_\sigma-1} \exp \{ -im_\sigma k (\vec{a}_\sigma \cdot \vec{s}) \}, \quad (5.1)$$

որտեղ N_1 -ը, N_2 -ը և N_3 -ը ատոմների թվերն են \vec{a}_1 , \vec{a}_2 , և \vec{a}_3 տրանսլյացիաների ուղղություններով համապատասխանաբար: Վերջապես՝

$$\vec{S} = \vec{S}_1 - \vec{S}_0: \quad (5.2)$$

(5.1) արտահայտությունում գումարը հեշտությամբ կհաշվենք, եթե այն դիտենք որպես երկրաչափական պրոյեկտիա:

$$A_m = \frac{1}{R} f_a \exp \left\{ i(\omega t - kR) \right\} \sum_{s=1}^3 \exp \left\{ -i \frac{N_s - 1}{2} k(\vec{a}_s \cdot \vec{S}) \right\} \times$$

$$\times \sum_{s=1}^3 \frac{\sin \left[N_s \frac{k(\vec{a}_s \cdot \vec{S})}{2} \right]}{\sin \left[\frac{k(\vec{a}_s \cdot \vec{S})}{2} \right]},$$

Այստեղից հեշտությամբ կարող ենք գտնել ինտենսիվությունը.

$$I_m = \frac{c}{4\pi} |A_m|^2 = \frac{c}{4\pi} A_m A_m^* =$$

$$= \frac{c}{4\pi} \frac{1}{R} f_a \sum_{s=1}^3 \frac{\sin^2 \left[N_s \frac{k(a_s \cdot S)}{2} \right]}{\sin^2 \left[\frac{k(a_s \cdot S)}{2} \right]}, \quad (5.3)$$

(5.3)-ից երևում է, որ ցրված գումար-ալիքի ինտենսիվությունը I_m կետում կընդունի առավելագույն (մաքսիմում) արժեք այն դեպքում, եթե միաժամանակ առավելագույն արժեքներ են ընդունում հետևյալ արտադրիչները.

$$\frac{\sin^2(N_s B_s)}{\sin^2(B_s)}, \quad (5.4)$$

$$B_s = k(\vec{a}_s \cdot \vec{S})/z, \quad z=1, 2, 3; \quad (5.5)$$

Այս արտադրիչները միաժամանակ մաքսիմալ արժեքներ կընդունեն այն դեպքում, եթե միաժամանակ բավարարվեն հետևյալ երեք պայմանները.

$$\begin{array}{ll} B_1 = n_1 \pi & n_1 = 0, \pm 1, \pm 2, \dots \\ B_2 = n_2 \pi & n_2 = 0, \pm 1, \pm 2, \dots \\ B_3 = n_3 \pi & n_3 = 0, \pm 1, \pm 2, \dots \end{array} \quad (5.5a)$$

Եթե \vec{S}_0 և \vec{S}_1 միավոր-վեկտորները $\vec{a}_1, \vec{a}_2, \vec{a}_3$ տրանսլյացիաների վեկտորների հետ կազմում են a_0, β_0, γ_0 և $\alpha_1, \beta_1, \gamma_1$ անկյուններ, ապա (5.5) պայմանները (5.2)-ի հիման վրա կարող ենք գրել հետևյալ տեսքով.

$$\begin{aligned} a_1(\cos \gamma_1 - \cos \gamma_0) &= n_1 \lambda, \\ a_2(\cos \beta_1 - \cos \beta_0) &= n_2 \lambda, \\ a_3(\cos \alpha_1 - \cos \alpha_0) &= n_3 \lambda, \end{aligned} \quad (5.6)$$

Այս հավասարումները, ի պատիվ գերմանացի գիտնական Լառւեի, կոչվում են լառւեի հավասարումներ:

Այժմ տեսնենք, թե ինչպես կարելի է դիտել ունտգենյան ճառագայթների ինտերֆերենցիան: Նախ պարզենք հետևյալ հարցը. սկզբնական ճառագայթների տվյալ ուղղության դեպքում, այսինքն՝ տվյալ a_0 , β_0 և γ_0 -ի դեպքում արդյո՞ք միշտ կբավարարվեն (5.6) պայմանները, թե՞ ոչ: (5.6)-ից երևում է, որ տվյալ բյուրեղի, այսինքն՝ տվյալ a_1 -ի, a_2 -ի, a_3 -ի, տվյալ ալիքի և երկարության և ըսկրգենական ճառագայթների տվյալ ուղղության դեպքում ինտերֆերենցիոն մաքսիմումի ուղղությունը բնութագրող a , β և γ անկյունները որոշելու համար կա երեք հավասարում: Սակայն, մյուս կողմից, ինչպես հայտնի է վերլուծական երկրաշափությունից, այդ անկյունների միջև գոյություն ունի հետևյալ կապը.

$$\cos^2\alpha + \cos^2\beta + \cos^2\gamma = 1:$$

Այսպիսով, a , β , γ երեք անհայտները որոշելու համար ունենք շրջա հավասարում: Հայտնի է, որ երբ հավասարումների թիվը անհայտների թվից մեծ է, ապա այդպիսի սիստեմն ընդհանուր դեպքում լուծում չունի, այսինքն՝ տվյալ a_1 -ի, a_2 -ի, a_3 -ի, β_0 -ի, γ_0 -ի և λ -ի դեպքում կարող է շգտնվեն այնպիսի a , β և γ , որոնք բավարարեն (5.6) պայմաններին: Այլ կերպ ասած, սկզբնական ճառագայթի տվյալ ալիքի երկարության և ուղղության, տվյալ բյուրեղի և նրա տվյալ դիրքի դեպքում կարող է ոչ մի ինտերֆերենցիոն մաքսիմում շառաչանալ: Իսկ եթե ուզում ենք անպայման գտնել այնպիսի a , β և γ անկյուններ, որոնք բավարարեն (5.6) պայմաններին, այսինքն, եթե ուզում ենք, որ ստացվի, ինտերֆերենցիոն մաքսիմում, պետք է (5.6) հավասարումների պարամետրերը փոփոխենք: Պարզ է, որ տվյալ տեսակի բյուրեղի դեպքում մենք կարող ենք փոփոխել կամ a_0 , β_0 , γ_0 անկյունները (սկզբնական ճառագայթի ուղղությունը), կամ λ -ն (սկզբնական ալիքի երկարությունը):

Այսպիսով, ստացվեց մի շատ կարևոր եզրակացություն, այն է՝ եթե ուզում ենք ստանալ ինտերֆերենցիոն մաքսիմումներ, ապա անհրաժեշտ է կամ վերցնել անընդհատ սպեկտրով ունտգենյան ճառագայթներ, որը փաստորեն նշանակում է անընդհատ փոփոխել ալիքի երկարությունը, և կամ, եթե վերցնում ենք մոնոքրոմատիկ ճառագայթներ, ապա պետք է գտնել սկզբնական ճառագայթի որոշակի դողությունը՝ փոփոխելով a_0 -ն, β_0 -ն և γ_0 -ն:

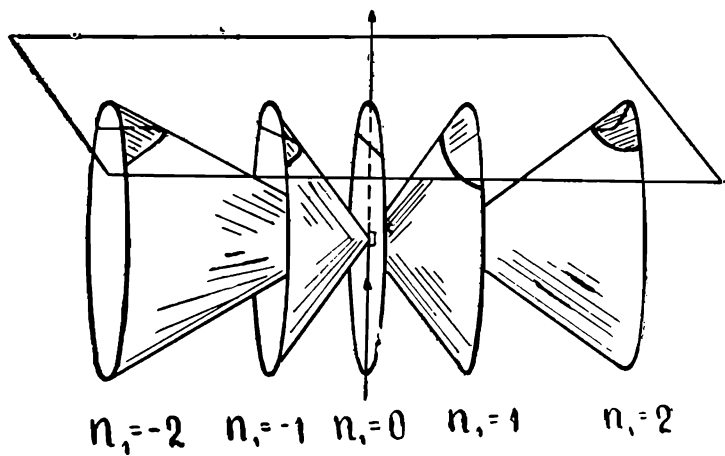
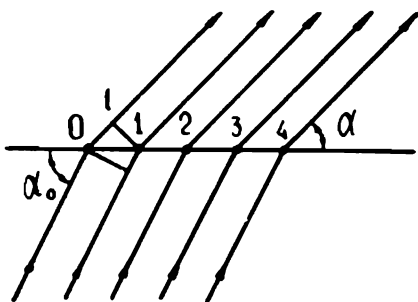
Այժմ վերադառնանք մեր առաջադրած հարցին՝ փորձով ինչպե՞ս դիտել ունտգենյան ճառագայթների ինտերֆերենցիան:

Եթե ունենանք ատոմներից բաղկացած գծային (միաշափ) ցանց, որի հետ սկզբնական ռեստգենյան ճառագայթները կազմում են առաջարկություն, ապա անդրադարձող ճառագայթները կԳնան համառանցք կոների ծնիչներով։ Այդ կոների ընդհանուր առանցքը կլինի վերոհիշյալ ատոմային միաշափ ցանցը (տե՛ս նկ. 60 և նկ. 61), որի հետ տվյալ կոնի ծնիչները կկազմեն միևնույն անկյունը։

Իրոք, միաշափ ցանցի դեպքում էառանքայի (5.6) պայմաններից տեղի կունենա միայն մեկը՝

$$a_1(\cos\alpha_1 - \cos\alpha_0) = n_1 \lambda : \quad (5.6\alpha)$$

Նկ. 60. Ռեստգենյան ճառագայթների անդրադարձումը միաշափ ատոմային ցանցից



Նկ. 61. Միաշափ ատոմային ցանցից անդրադարձ ռեստգենյան ճառագայթների առաջացրած դիֆրակցիոն կոները

Սկզբնական ճառագայթի տվյալ ուղղության դեպքում (տվյալ առաջարկությունը տեղի կունենա ցանցի բոլոր կողմերից միևնույն առաջանակ անկյան տակ, այսինքն՝ ցրված ճառագայթները կհանդիսանան այն կոնի ծնիչները, որի առանցքը տվյալ միաշափ ցանցն է։ Այդպիսի կոնի բոլոր ծնիչների համար կրավարպի (5.6α) պայմանը։ Եվ քանի որ $n_1 > 1$, կարող է ընդունել 0, 1, 2, 3 և այլ արժեքներ, այդ պատճառով ցրված ճառագայթները կառաջացնեն ոչ թե մի կոն, այլ

Կոների ընտանիք (տե՛ս նկ. 61): Կոների այդ ընտանիքի յուրաքանչյուր կոն կհամապատասխանի n_1 -ի մի որոշակի արժեքին: $n_1=0$ դեպքում կոնը կկոչվի զրո կարգի կոն (զրո կարգի մաքսիմում), $n_1=1$ դեպքում՝ առաջին կարգի կոն և այլն ($n_1=0$ դեպքում կլինի հարթություն):

n_1 -ի բացասական արժեքներին համապատասխանող կոների ծնիլները ուղղված կլինեն դեպի ձախ (տե՛ս նկ. 61):

Եթե ոենտգենյան լուսազգայուն ֆոտոթաղանթը դնենք ատոմային ցանցին զուգահեռ, ինչպես ցույց է տրված 61-րդ նկարում, ապա կոները այդ թաղանթի հարթության հետ կհատվեն հիպերբոլներով, իսկ ուղղահայաց զնելու դեպքում՝ կհատվեն շրջանագծերով:

Երկշափ ցանցի դեպքում կստանանք կոների այդպիսի երկու ընտանիք, որոնցից մեկի ընդհանուր առանցքը կհամընկնի \vec{a}_1 -ին, իսկ \vec{a}_2 մյուսինը՝ \vec{a}_2 -ին: Այս դեպքում միաժամանակ պետք է բավարպվեն հետևյալ երկու պայմանները:

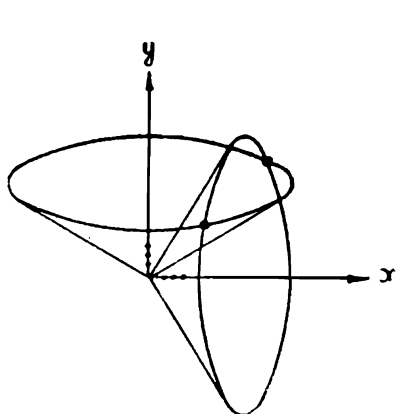
$$\begin{aligned} a_1(\cos\alpha - \cos\alpha_0) &= n_1\lambda, \\ a_2(\cos\beta - \cos\beta_0) &= n_2\lambda, \end{aligned} \quad (5.6\text{բ})$$

Ուրեմն, երկշափ ցանցի դեպքում ցրված ալիքի ամպլիտուդը մաքսիմալ արժեք կունենա միայն այն ուղղություններում, որտեղ միաժամանակ բավարարվում են (5.6 բ) երկու պայմանները: Իսկ այդ երկու պայմանները միաժամանակ տեղի ունեն միայն կոների նըշված երկու ընտանիքների ընդհանուր ծնիլների ուղղությամբ (տե՛ս նկ. 62):

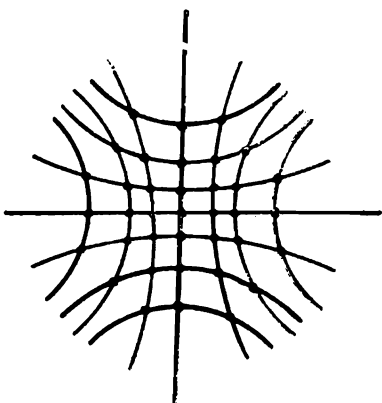
Ատոմական հարթությանը զուգահեռ դրված ոենտգենյան լուսազգայուն ֆոտոթաղանթի հետ (ատոմական հարթությանը զուգահեռ հարթություն) կոների այդ ընտանիքները կհատվեն հիպերբոլների երկու ընտանիքներով: Երկշափ ցանցից ցրված ալիքները մաքսիմումներ կունենան միայն այդ հիպերբոլների հատման կետերում, որոնք հանդիսանում են վերևում նշված ընդհանուր ծնիլների հետքերը (տե՛ս նկ. 63):

Եռաշափ տարածական ցանցի դեպքում ոենտգենյան ցրված ճառագայթների ինտերֆերենցիոն մաքսիմումներ կառաջանան միայն այն դեպքում, եթե բավարարվեն (5.6) երեք պայմանները միաժամանակ: Այս դեպքում կառաջանա համառանցք կոների երեք ընտանիք, որոնց առանցքները զուգահեռ կլինեն \vec{a}_1 , \vec{a}_2 և \vec{a}_3 ուղղություններին: (5.6)-ի երեք պայմանները միաժամանակ կբավա-

ուարվեն միայն այն ծնիշների ուղղությունների համար, որոնք ընդհանուր են կոների երեք ընտանիքների համար էլ. եթե ունտգենյան

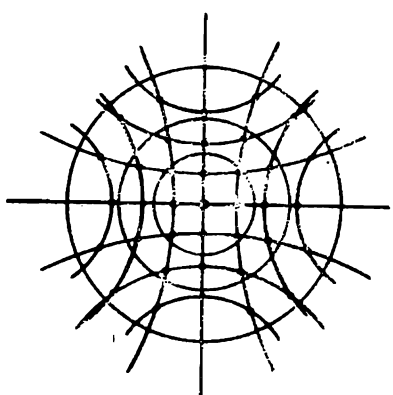


Նկ. 62. Երկչափ ցանցի (ատոմա-նին հարթություն) ցրած ունտգենյան ճառագայթների կոները



Նկ. 63. Երկչափ ցանցի ցրած ունտգենյան ճառագայթների կոների և այդ ցանցին զուգահեռ հարթության հատման հիպերբոլները

ֆոտոթաղանթը դնենք ուղղահայաց ձարձրությանը, ապա ձարձրություններին զուգահեռ առանցքներ ունեցող կոների ընտանիքներով, իսկ ձարձրությանը զուգահեռ առանցք ունեցող կոների ընտանիքը՝ համակենտրոն շրջանագծերով (տե՛ս նկ. 64):

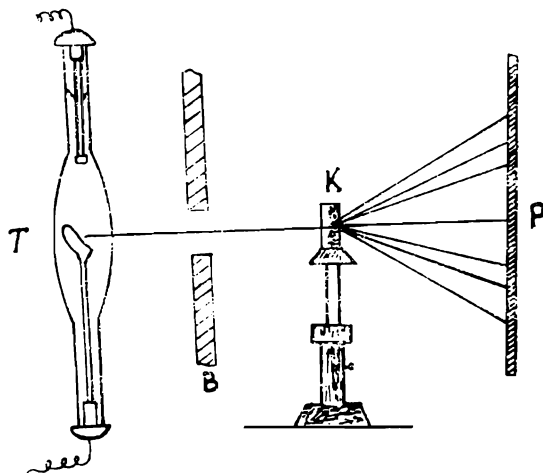


Նկ. 64. Տարածական ցանցի ունտգենյան ճառագայթների կոների և ուղղությանը ուղղահայաց հարթության հատման կորերը

Եռաչափ ցանցի ցրած ալիքները մաքսիմումներ կունենան միայն այդ երեք ընտանիքների (հիպերբոլների երկու ընտանիք և շրջանագծերի մի ընտանիք), հատման կետերում, որոնք կլինեն կոների երեք ընտանիքների ընդհանուր ծնիշների հետքերը:

Այսպիսով, քանի որ իրականում միաշափ և երկչափ բյուրեղային ցանցեր ունենալ չենք կարող, ուստի կառւեի եղանակով ըստացված ինտերֆերենցիոն պատկերի հետքը ունտգենյան ֆոտոթաղանթի վրա կլինի առանձի՞ն կետերից բաղկացած մի պատ-

կեր, որի ամեն մի կետին կհամապատասխանի որոշակի ալիքի երկարություն։ Դա նշանակում է, որ եթե ունտգենյան ճառագայթները տեսանելի լինեին և մենք ինտերֆերենցիոն պատկերը բնական գույներով լուսանկարեինք, ապա այդ կետերը տարբեր գույներ կունենային։ Ունտգենյան ֆոտոթաղանթի վրա ստացված պատկերը կոչվում է լառւեգրամ։ Լառւեգրամի ստացման սխեման բերված է 65-րդ նկարում։ Ունտգենյան խողովակից (T) ճառագայթն ընկնում է բյուրեղի վրա (K)։ Այդ բյուրեղում ցրված ճառագայթները ընկնում են ֆոտոթիթեղի (P) վրա։



Նկ. 65. Լառւեգրամի ստացման սկզբունքային սխեման

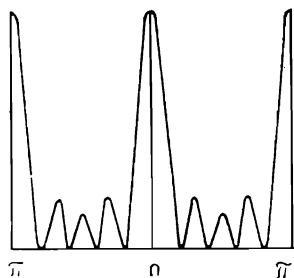
Լառւեգրամների օգնությամբ կարելի է որոշել բյուրեղների կառուցվածքները։ Այդ մասին կիսունք ունտգենաստղուկտուրային անալիզի բաժնում։

Այստեղ հետաքրքիր է ավելի մանրամասն հետազոտել հետևյալ ինտերֆերենցիոն ֆունկցիան։

$$\Phi = \frac{\sin^2 \left[N_s \frac{\vec{k}(\vec{a}_s \vec{S})}{2} \right]}{\sin^2 \left[\frac{\vec{k}(\vec{a}_s \vec{S})}{2} \right]}, \quad (5.7)$$

$$\Phi_s = \frac{\sin^2 \left[N_s \frac{\vec{k}(\vec{a}_s \vec{S})}{2} \right]}{\sin^2 \left[\frac{\vec{k}(\vec{a}_s \vec{S})}{2} \right]}.$$

Այդ Φ ֆունկցիայի յուրաքանչյուր բազմապատկիչը ունի 66-րդ նկարում ցուց տրված տեսքը: Եթե միաժամանակ բավարարվում են (5.5ω) բոլոր պայմանները, ֆունկցիան կընդունի մաքսիմալ արժեք՝ $\Phi = N_1^2 \cdot N_2^2 \cdot N_3^2$



Նկ. 86. Ինտերֆերենցիոն
ֆունկցիան $N_\sigma = 5$ դեպքում

խավոր մաքսիմումները: Ինչպես երևում է նկարից, Φ_σ -ի մաքսիմումի բարձրությունը համեմատական է N_σ^2 -ու (այդ ուղղությամբ եղած մասնիկների թվի քառակուսուն), իսկ անկյունային լայնությունը հակադարձ համեմատական է այդ թվին: Եթե մաքսիմումի մակերեսը նմանեցնենք եռանկյան, ապա այն համեմատական կլինի N_σ -ի առաջին աստիճանին: Մասնիկների թիվը մեծանալիս բարձրությունը կմեծանալու համեմատական այդ թվի քառակուսունը համեմատական, անկյունային լայնությունը կփոքրանալ հակադարձ համեմատական այդ թվին, իսկ մակերեսը կմեծանալ ուղիղ համեմատական նրան:

Φ_σ -ի երկրորդական մաքսիմումները կստանանք, եթե համարին ընդունի մաքսիմալ արժեքը $\sin^2 \left[N_\sigma \frac{\vec{k}(\vec{a}_\sigma \vec{s})}{2} \right] = 1$, իսկ հայտարարը 0-ից տարբեր լինի: Երկրորդական մաքսիմումներ կը ստացվեն, եթե բավարարվի հետեւյալ պայմանը.

$$N_\sigma \frac{\vec{k}(\vec{a}_\sigma \vec{s})}{2} = (2n_\sigma + 1) \frac{\pi}{2} \quad (5.8)$$

$$\text{Կամ} \quad (\vec{a}_\sigma \vec{s}) = \frac{2n_\sigma + 1}{2N_\sigma} \lambda, \quad n_\sigma = 0, 1 \dots (N_\sigma - 1),$$

այսինքն՝ երկու հարկան գլխավոր մաքսիմումների միջև կան N_σ հատ երկրորդական մաքսիմումներ:

Երբեմն թյուրիմացաբար կարծում են [6,7], որ մասնիկների N_σ թվի մեծացմամբ գլխավոր մաքսիմումները մեծանում են, իսկ երկրորդականները՝ փոքրանում, և իբր թե մեծ N_σ -ների դեպքում համարյա ամբողջ ցրված էներգիան կենտրոնանում է գլխավոր մաքսիմումներում: Սակայն դժվար չէ համոզվել այն բանում, որ N_σ -ի մեծացմամբ՝ գլխավոր մաքսիմումների ինտենսիվությունների մեծացման հետ միասին մեծանում են նաև երկրորդական մաքսիմումների ինտենսիվությունները: Երբք, (5.8)-ից և (5.4)-ից երկ-

բորդական մաքսիմումների համար (ցածր համար ունեցողների համար) կստանանք

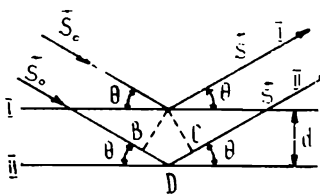
$$\frac{1}{B_s^2} = \frac{4}{k^2(\vec{a}_s \vec{s})^2} = \frac{8N_s^2}{k^2(2n_s+1)^2\lambda^2} = \frac{2N_s^2}{\pi^2(2n_s+1)^2},$$

ինչպես երևում է վերջինից, երկրորդական մաքսիմումների բարձրությունը, ինչպես գլխավոր մաքսիմումներինը, համեմատական է մասնիկների թվի քառակուսում և մասնիկների թվի մեծացմամբ ոչ թե փոքրանում, այլ մեծանում է: Այդ արտահայտությունից երևում է նաև, որ երկրորդական մաքսիմումների համարների մեծացմամբ նրանց ինտենսիվությունները փոքրանում են, բայց նրանք բոլորն էլ համեմատական են մասնիկների թվին: Ինչպես երևում է (5.3) արտահայտությունից, մաքսիմումի անկյունային լայնությունը հակադարձ համեմատական է տվյալ ուղղության վրա գտնվող մասնիկների թվին: Մեծացնելով բյուրեղի շափերը, կարելի է փոքրացնել ինտերֆերենցիոն մաքսիմումների անկյունային տիրությները՝ մեծացնելով նրանց ինտենսիվությունները: Այդ հարցը մանրամասն կբննադրկվի մասնիկների շափերի որոշմանը նվիրված բաժնում:

Տ2. ԲՅՈՒՐԵԴԻ ՑՐԱԾ ԳՈՒՄԱՐ-ԱԼԻՔԻ ԻՆՏԵՐՖԵՐԵՆՑԻՈՆ ՄԱՔՍԻՄՈՒՄՆԵՐԻ ՈՒՂՂՈՒԹՅՈՒՆՆԵՐԻ ԳՏՆԵԼԸ ԲՐԵԳԻ ԵՂԱՆԱԿՈՎ

Նախորդ պարագրաֆում մենք բյուրեղը դիտեցինք որպես տարածական ցանց, որի գագաթներում տեղավորված են ատոմները, և ինտերֆերենցիոն մաքսիմումների ուղղությունները որոշելու համար ստացանք լառեկի հավասարումները: Ինչպես արդեն վերականգնվում ասվեց, ինդրին այդպիսի մոտեցում ունեցել է լառեն: Սակայն վուլֆը և Բիեզը նույն ինդրին մոտեցել են այլ ձեռով: Նրանք բյուրեղը դիտել են որպես ատոմական հարթությունների համակարգ, հարթություններ, որոնցից յուրաքանչյուրը ունտգենյան ճառագայթներն անդրադարձնում է ճիշտ այնպես, ինչպես հայելին լուսի ճառագայթները: Ենթադրենք բյուրեղը բաղկացած է իրարից ձևեռավորության վրա գտնվող ատոմական հարթություններից, և այդ հարթությունների վրա ընկնում է ունտգենյան ճառագայթների լալիքի երկարությամբ մոնոքրոմատիկ և զուգահեռ փունջ, որը հարթությունների հետ կազմում է թանկյուն (տե՛ս նկ. 67): Ատոմական հարթություններից յուրաքանչյուրն այդ ճառագայթները կանդրադարձնի թանկյան տակ, սակայն տարբեր հարթություններից

անդրադարձած ճառագայթների միջև զիտման Ա կետում (տե՛ս նկ. 67) կառաջանա փուլերի տարբերություն: Անդրադարձած գումարալիքի ամպլիտուդը, կախված այդ փուլերի տարբերությունից, դիտման Ա կետում կը դունի մաքսիմալ կամ մինիմալ արժեք:



Նկ. 67. Ունտգենյան ճառագայթների անդրադարձումը ատոմական հարթություննից

Քանի որ հարկան հարթություններն իրարից գտնվում են միևնույն ձևեռավորության վրա, այդ պատճառով, եթե հարկան երկու հարթություններից անդրադարձած ճառագայթներն իրար ուժեղացնեն, ապա իրար կուժեղացնեն նաև այդ համակարգին պատկանող բոլոր հարթություններից անդրադարձած ճառագայթը անդրադարձած ճառագայթները: Ուստի, եթե մենք ցանկանում ենք որոշել, թե հարթությունների տվյալ համակարգից անդրադարձած ճառագայթը ո՞ր դիրքում կնդունի մաքսիմալ արժեք, բավական է որոշել, թե երկու հարկան հարթություններից անդրադարձած ճառագայթները ե՞րբ իրար կուժեղացնեն:

67-րդ նկարում ցույց տրված առաջին և երկրորդ հարթություններից անդրադարձած ճառագայթների միջև ճանապարհների \triangle տարբերությունը կլինի. $\Delta = BD + DC = 2ds \sin \theta$, $S_{\text{լուս}} \sim \frac{1}{\lambda}$ կողմից հայտնի է, որ երկու կոճերենտ ալիքներ իրար կուժեղացնեն, եթե նրանց ճանապարհների տարբերությունը հավասար է զրոյի կամ ամբողջ ֆուլ ալիքի երկարության, ուստի, համաձայն վերը նշվածի, բյուրեղից անդրադարձած ճառագայթների ամպլիտուդը կը նդունի մաքսիմալ արժեք, եթե բավարարվի հետեւյալ պայմանը.

$$2ds \sin \theta = n\lambda, \quad (5.9)$$

որտեղ՝ $n = 0, \pm 1, \pm 2, \pm 3,$

(5.9) բանաձեռ կոչվում է Վուլֆ-Բրեգի բանաձեռ՝ ի պատիվ ռուս ֆիզիկոս Վուլֆի և անգլիացի ֆիզիկոս Բրեգի, որոնք իրարից անկախ արտածել են այդ բանաձեռը:

Այսպիսով, համաձայն (5.9) բանաձեռի, հարթությունների տվյալ համակարգից անդրադարձող ճառագայթ կառաջանա, եթե սահքի անկյունը՝ θ -ն, միշհարթությունային հեռավորությունը՝ d -ն և ռենտգենյան սկզբնական ճառագայթների ալիքի երկարությունը բավարարեն շետքությունը՝ $n\lambda$ պայմաննին:

Այդ պայմաննին բավարարելու համար հարմար է տվյալ d -ի և λ -ի դեպքում ընտրել համապատասխան θ : Այսպիսով, ստացվում

է, որ Վուլֆ-Բրեգի եղանակով ինտերֆերենցիոն մաքսիմումները ըստանալու համար պետք է վերցնել մոնոքրոմատիկ ճառագայթները (մի որոշակի λ), ատոմային հարթությունների որոշակի համակարգ (որոշակի d) և համաձայն (5.9) բանաձևի ընտրել θ-ն: Եթե θ-ն ընտրված է այնպես, որ (3.9)-ի $m\varphi = 1$, ապա անդրադարձումը կկոչվի առաջին կարգի, իսկ եթե $m\varphi = 2$, անդրադարձումը կկոչվի երկրորդ կարգի և այլն: (5.9)-ի $m\varphi = 0$ համապատասխանում է սկզբնական ճառագայթների ուղղությամբ կատարվող «անդրադարձմանը» (ցրում սկզբնական ճառագայթի ուղղությամբ):

§ 8. ԿԱՊԸ ԼԱՌԻԵՒ ՀԱՎԱՍԱՐՈՒՄՆԵՐԻ ԵՎ ՎՈՒԼՖ-ԲՐԵԳԻ ՊԱՅՄԱՆԻ ՄԻՋԵՎ

Դ Կարելի է ցույց տալ, որ Լառեի երեք հավասարումները՝ (5.6), համարժեք են Վուլֆ-Բրեգի (5.9) պայմանին:

Իրոք, ենթադրենք անդրադարձնող հարթությունները համընկնում են a_1 և a_3 տրանսլյացիաների հարթությանը. այդ դեպքում $\alpha = \alpha_0 = 0$, $\beta_0 = \pi/2 - 0$, $\beta_0 = \pi/2 + 0$, $\gamma = \gamma_0 = \pi/2$ և Լառեի հավասարումները կընդունեն հետեւյալ տեսքը.

$$a_1(\cos\alpha - \cos\alpha_0) = 0,$$

$$a_2(\sin\theta + \sin\theta) = \pi\lambda,$$

$$a_3(\cos\gamma - \cos\gamma_0) = 0:$$

Քանի որ անդրադարձնող հարթությունը համընկնում է \vec{a}_1 և \vec{a}_3 տրանսլյացիաների հարթության հետ, իսկ անկման հարթությունը համընկնում է \vec{a}_1 և \vec{a}_2 տրանսլյացիաների հարթության հետ, a_2 -ը կլինի միշհարթությունային հեռավորությունը ($a_2 = d$), և Լառեի հավասարումներից երկրորդը կտա $2a_2 \sin\theta = 2d \sin\theta = \pi\lambda$, այսինքն՝ Վուլֆ-Բրեգի պայմանը:

Սակայն կարելի է ցույց տալ, որ Լառեի (5.6) հավասարումները ավելի շատ ինֆորմացիա են պարունակում, քան Վուլֆ-Բրեգի (5.9) պայմանը: Այդ մասին մանրամասն կխոսվի բյուրեղիկների շափերի որոշմանը նվիրված բաժնում:

§ 4. ՎՈՒՆ-ԲՐԵԳԻ ՊԱՅՄԱՆԻ ՄԵԿՆԱԲԱՆՈՒՄԸ ՀԱԿԱԴԱՐՁ ՑԱՆՑՈՒՄ

Հակադարձ ցանցի մասին խոսելիս (առաջին գլուխ) նշել էինք, որ այդ ցանցը ուեալ ֆիզիկական իմաստ չունի: Չնայած դրան, այն շափաղանց կարեոր կիրառություններ ունի ցրված ալիքների դի-ֆրակցիոն մաքսիմումների առաջացման պայմանների պարզաբանման, նրանց ուղղությունների և անկյունային լայնությունների որոշման գործում: Ամենաբարդ դիֆրակցիոն խնդիրն անգամ հակադարձ ցանցի օգնությամբ կարելի է բավականաշափ պարզեցնել և դիտելի դարձնել:

Ուենտգենյան ճառագայթների նկատմամբ բյուրեղի վարքը՝ նրա անդրադարձման ընդունակության պարբերական բաշխումը, ամենահաջող կերպով նկարագրվում է իր հակադարձ ցանցով:

Հակադարձ ցանցը բյուրեղային ստրուկտորայի նկատմամբ առաջին անգամ կիրառված է էվալդի կողմից և փաստորին հանդիպանում է նյութի ու նրա կողմից ցրված ունտգենյան ճառագայթների ինտենսիվության բաշխումների ընդհանրացումը: Այստեղ մենք սխեմատիկ ձևով կնկարագրենք, թե ինչպես կարելի է հակադարձ ցանցն օգտագործել դիֆրակցիոն խնդիրներ լուծելիս:

Արդեն պայմանավորվել ենք ունտգենյան ճառագայթների անկման և ցրման ուղղությունները նկարագրել \vec{S}_0 ու \vec{S}_1 միավոր վեկտորներով համապատասխանաբար: Այդ երկու վեկտորների տարբերությունը հանդիսացող վեկտորն անվանենք դիֆրակցիոն վեկտոր:

$$\vec{S} = \vec{S}_1 - \vec{S}_0: \quad (5.10)$$

Դժվար չէ համոզվել, որ \vec{S} դիֆրակցիոն վեկտորն ուղղահայց է անդրադարձնող հարթություններին՝ $\vec{S} \parallel \vec{N}$, որտեղ \vec{N} -ը անդրադարձնող հարթությունների նորմալն է (տե՛ս նկ. 68), իսկ նրա մեծությունը հավասար է $2\sin\theta$, այսինքն՝

$$|\vec{S}| = |\vec{S}_1 - \vec{S}_0| = 2\sin\theta, \quad (5.11)$$

որտեղ θ -ն Վուֆ-Բրեգի անկյունն է:

Հետագայի համար մտցնենք նաև \vec{S} դիֆրակցիոն վեկտորի ուղղություն ունեցող հետևյալ վեկտորը՝

$$\vec{H} = \frac{\vec{S}}{\lambda} = \frac{\vec{S}_1}{\lambda} - \frac{\vec{S}_0}{\lambda}, \quad |H| = \frac{2\sin\theta}{\lambda}, \quad (5.12)$$

Վուլֆ-Բրեգի Հdsinθ=λ պայմանից և (5.12)-ից երևում է, որ \vec{H} վեկտորի չափը հավասար է միջարթությունային հեռավորության հակադարձ մեծությանը՝

$$|\vec{H}| = \frac{1}{d}, \quad (5.13)$$

Մեր նշանակումներն ավելի ուղաշակի դարձնելու նպատակով պետք է նշել, թե \vec{H} վեկտորը ո՞ր հարթությունների (hkl) ընտանիքի նորմալին է զուգահեռ և նըրանց միջարթությունային հեռավորության հակադարձին է հավասար նրա չափը։ Այսինքն՝

պետք է \vec{H} -ին, \vec{N} -ին և d -ին վերագրել միջլերյան ինդեքսներ.

$$\vec{H}_{hkl} \parallel \vec{N}_{hkl} \quad |\vec{H}_{hkl}| = \frac{1}{d_{hkl}}, \quad (5.14)$$

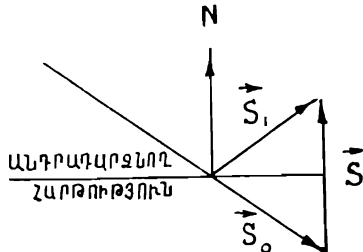
որտեղ N_{hkl} -ը և d_{hkl} -ը այն հարթությունների նորմալն ու միջարթությունային հեռավորությունն են hkl -ին (ինդեքսներն են (hkl) -ը)։

Այստեղ անհրաժեշտ է կատարել մի ընդհանրացում ևս։ Մենք օգտվեցինք Վուլֆ-Բրեգի հավասարման մասնավոր դեպքից՝ առաջին կարգի անդրադառմից։ Եթե օգտվենք Վուլֆ-Բրեգի հավասարման ընդհանուր դեպքից, եթիւ $2\sin\theta=\pi\lambda$, $n=1, 2, 3, \dots$, ապա d -ն հավասար կլինի $n\lambda/2\sin\theta$ և (5.12)-ից (5.13)-ը չի ըստացվի։ Այդ անհամապատասխանությունը վերացնել կարելի է, եթե բարձր կարգի անդրադառմաները դիտվեն որպես առաջին կարգի անդրադառման, հետևյալ կերպ՝

$$\frac{d}{n} 2\sin\theta = \lambda, \quad (5.15)$$

այսինքն՝ n -րդ կարգի անդրադառման դիտվում է որպես առաջին կարգի անդրադառման d/n միջարթությունային հեռավորությունունեցող ընտանիքից։

Մյուս կողմից, (1.8) քառակուսային ընդհանուր ձևից երևում



Նկ. 68. Դիֆրակցիոն վեկտորի ուղղությունը

է, որ բոլոր սինգոնիաների համար միջնարթությունային ձ հեռավորության ո անգամ փոքրացումը նշանակում է միլիերյան ինդեքսների ո անգամ մեծացում:

Այսպիսով, \bar{R}_{hkl} կարգի անդրադարձումը ձ միջնարթությունային հեռավորություն և (hkl) ինդեքսներ ունեցող հարթություններից նույնն է, ինչ որ առաջին կարգի անդրադարձումը $\frac{\text{d}}{\text{n}}$ միջնարթությունային հեռավորություն և $(\text{h}, \text{k}, \text{l})$ ինդեքսներ ունեցող հարթություններից:

Նկատի ունենալով վերոհիշյալը, հետագայում բոլոր կարգի անդրադարձումները կդիտենք որպես առաջին կարգի անդրադարձումներ, իսկ (5.13) -ու (5.14) -ը բոլոր անդրադարձումների համար կդիտենք որպես առաջին կարգի բերված պայմաններ:

Այժմ հիշենք h , k , l ինդեքսներով հակադարձ ցանցի վեկտորների երկու կարեռոր հատկությունները՝ $\vec{R}_{\text{hkl}}^* = \vec{ha}^* + \vec{kb}^* + \vec{lc}^*$.

1. h , k , l ինդեքսներով հակադարձ ցանցի \vec{R}_{hkl}^* վեկտորը զուգահեռ է նույնպիսի միլիերյան ինդեքսներ ունեցող հարթությունների \vec{N}_{hkl} նորմալին՝

$$\vec{R}^* \parallel \vec{N}_{\text{hkl}}, \quad (5.16)$$

2. h , k , l ինդեքսներով հակադարձ ցանցի R_{hkl}^* վեկտորի շափուկավասար է նույնպիսի ինդեքսներ ունեցող (hkl) հարթությունների միջնարթությունային հեռավորության հակադարձին՝

$$|\vec{R}^*| = \frac{1}{d_{\text{hkl}}}, \quad (5.17)$$

Այսպիսով, (5.14) -ից, (5.16) -ից և (5.17) -ից հանգում ենք հետեւյալ կարեռոր եղբակացության՝ hkl ինդեքսներով հարթությունների ընտանիքի \vec{H}_{hkl} վեկտորը համընկնում է h , k , l ինդեքսներով հակադարձ ցանցի \vec{R}_{hkl}^* վեկտորին՝

$$\vec{R}_{\text{hkl}}^* = \vec{H}_{\text{hkl}} = \frac{\vec{S}}{\lambda} = \frac{\vec{S}_1}{\lambda} - \frac{\vec{S}_0}{\lambda}, \quad (5.18)$$

Նկատի ունենալով (5.17) -ը և (5.18) -ը՝ կարող ենք Վուֆ-Բրեգի պայմանը գրել հետեւյալ կերպ*.

* Ագելի ճիշտ՝ (5.18) -ը ($\text{կամ } (5.19)$ -ը) Վուֆ-Բրեգի և կառեի ընդհանրացրած բանաձևն է,

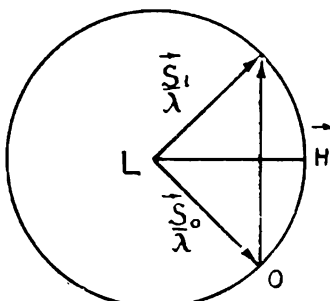
$$\frac{1}{d} = \left| \frac{\vec{S}}{\lambda} \right| = \left| \frac{\vec{S}_1 - \vec{S}_0}{\lambda} \right| = \left| \vec{R}_{hk1}^* \right|; \quad (5.19)$$

Այժմ հնարավորություն ունենք Վուֆ-Բրեգի պայմանը երկրաշափորեն մեկնաբանել հակադարձ ցանցում: Այդ կարելի է կատարել այսպես:

Հակադարձ ցանցի հանգույցներից մեկն (O կետը) ընդունելով սկզբնակետ, Տո թ վեկտորն ինքն իրեն զուգահեռ այնպես տեղափոխենք, որ նրա վերջնակետը համընկնի հակադարձ ցանցի O սկզբնակետին (տե՛ս նկ. 69): $\frac{\vec{S}_0}{\lambda}$ վեկտորի L սկզբնակետն ընդունելով որպես կենտրոն՝ գծենք M ի շրջանագիծ $|\vec{S}_0/\lambda|$ շաղավղով: Եթե Վուֆ-Բրեգի (5.19) պայմանը բավարարվում է, ապա \vec{S}_1/λ վեկտորի վերջնակետը (u սկզբնակետը L կետին համընկնելու դեպքում) պետք է համընկնի այդ շրջանագծի վրա գտնվող հակադարձ ցանցի հանգույցի հետ, հակառակ դեպքում, եթե շրջանագծի վրա հակադարձ ցանցի հանգույց չգտնվի (բացի սկզբնակետից) կամ $\frac{\vec{S}_1}{\lambda}$ վեկտորի վերջնակետը շրջանագծի վրա գտնվող հանգույցին չհամընկնի, H վեկտորը հակադարձ ցանցի վեկտորը չի լինի, Վուֆ-Բրեգի պայմանը չի բավարարվի, և տվյալ ալիքի երկարության (λ) ու տվյալ անկման ուղղության (\vec{S}_0) դեպքում հարթությունների տվյալ համակարգից անդրադարձում չի առաջանա:

Մենք այստեղ քննարկեցինք մասնավոր դեպք, երբ անդրադարձած ճառագայթը գտնվում է անկման հարթության մեջ (տե՛ս նկ. 69), այսինքն՝ երբ ընկնող ճառագայթը, անկման կետում բյուրեղի մակերևութին տարած նորմալը և անդրադարձած ճառագայթը գտնվում են միկնույն հարթության մեջ: Ընդհանուր դեպքում նույն շառավղող և նույն կենտրոնով շրջանագծի նկ. 69. Վուֆ-Բրեգի պայմանի փոխարեն պետք է կառուցել սֆերա* և մեկնաբանումը հակադարձ հնարավոր անդրադարձման ուղղությանը ցանցում

* Վերը նշված շրջանագիծը և սֆերան համապատասխանաբար կոչվում են էվալուի շրջանագիծ և էվալուի սֆերա:



թյունները գտնելու համար հակադարձ ցանցի սֆերայի վրա գըտնը կույցները պետք է շառավիղ-վեկտորներով միացնել նրա կենտրոնին։ Սֆերայի վրա գտնվող հանգույցները սկզբնակետի հետ միացվելուց ստացվող շառավիղ-վեկտորները հակադարձ ցանցի վեկտորներ են և ներկայացնում են այն հարթությունների ընտանիքների միջհարթությունացին հեռավորությունների հակադարձ մեծությունները, որոնցից տվյալ դեպքում կարելի է ստանալ անդրադարձում։

Սույն գլխի առաջին պարագրաֆում անալիտիկ հետազոտություններով եկանք այն եզրակացության, որ սկզբնական ալիքի որոշակի երկարության և անկման որոշակի ուղղության դեպքում տվյալ բյուրեղից կարող է ոչ մի ինտերֆերենցիոն մաքսիմում (անդրադարձում) շառաչանալ։ Հակադարձ ցանցում նույն եղրակացությանն ենք հանգում, ելնելով նրանից, որ տվյալ կենտրոնով և տրվյալ շառավողվ տարած սֆերայի վրա կարող է հակադարձ ցանցի ոչ մի հանգույց չգտնվել։ Ուստի անդրադարձումներ ստանալու համար մոնոքրոմատիկ ալիքի դեպքում կամ տվյալ շառավիղով սֆերան պետք է շարժել (փոխել սֆերայի կենտրոնը՝ թողնելով անշարժ հակադարձ ցանցի սկզբնակետը, այսինքն՝ փոխել անկ-

ման ուղղությունը՝ $\frac{\vec{S}_0}{\lambda}$ վեկտորը պտտել սկզբնակետի շուրջը), կամ սֆերան թողնելով անշարժ՝ պտտել հակադարձ ցանցը, այսինքն՝ փոխել բյուրեղի դիրքը ընկնող ճառագայթի նկատմամբ այնքան, մինչև որ սֆերայի վրա հանդես գան հակադարձ ցանցի հանգույցներից (մինչև որ բյուրեղն ընդունի անդրադարձման դիրք)։

Եթե բյուրեղի վրա ընկնում են անընդհատ սպեկտրով ռենտգենյան ճառագայթներ, անդրադարձումներ ստանալու համար բյուրեղը պտտելու կամ անկման ուղղությունը փոխելու կարիք չկա, եթե ընկնող փնչի մեջ ալիքի երկարությունը փոփոխվում է λ_1 -ից մինչև λ_2 -ը, ապա հակադարձ ցանցում տարվում են անթիվ բազմությամբ սֆերաներ, որոնք բոլորն էլ անցնում են հակադարձ ցանցի 0 սկզբնակետով, և որոնց շառավիղների մեծությունները

անընդհատ փոփոխվում են $\left(\frac{\vec{S}_0}{\lambda_1}\right)$ -ից մինչև $\left(\frac{\vec{S}_0}{\lambda_2}\right)$ -ը, իսկ նրանց բոլորի կենտրոնները դասավորված են \vec{S}_0 միավոր-վեկտորի ուղղության վրա։

Այսպիսով, հակադարձ ցանցի մի ամբողջ տիրուվթ (այնքան ավելի մեծ, որքան մեծ է $\lambda_2 - \lambda_1$ տարբերությունը) ծածկվում է ան-

ընդհատ փոփոխվող շառավիզներ ունեցող սֆերաներով, Անկասկած է, որ այդ սֆերաներով ծածկված տիրույթում կգտնվեն հակադարձ ցանցի հանգույցներ (ոչ թե մեկ, այլ մի շարք): Ուրեմն, երբ բյուրեղի վրա ընկնող ունտգինյան ճառագայթն անընդհատ սպեկտրով է, ունի բայց առաջարկ համար բյուրեղը շարժելու կամ անկման ուղղությունը փոփոխելու կարիք չկա:

§ 5. ՍՏՐՈՒԿՏՈՒՐԱՅԻՆ ՖԱԿՏՈՐ

Մինչև հիմա գործ ունեինք տարածական պարզ ցանցի հետ: Այժմ գտնենք տարածական բարդ ցանցի ինտերֆերենցիոն մաքսիմումներ ստանալու անհրաժեշտ պայմանները: Պարզ ցանցի ամեն մի տարրական բջջի մեջ մեկ ատոմ կա, իսկ բարդ ցանցի տարրական բջջի մեջ մեկից ավելի ատոմներ կան: Մենք արդեն նշել ենք, որ բարդ ցանցը կարելի է պատկերացնել որպես մի քանի միատեսակ պարզ ցանցերի հանրույթ, որոնք դրված են մեկը մյուսի վրա, իրար նկատմամբ զուգահեռ: Եթե այդպես է, ապա բարդ ցանցի ցրած ունտգինյան ճառագայթների ինտենսիվությունը կարող ենք հաշվել հետևյալ կերպ: Նախ, վերևում բացատրված կառուի մեթոդով կհաշվենք այդ բարդ ցանցի մեջ մտնող պարզ ցանցերի ցրած ունտգինյան ճառագայթների ամպլիտուդները, իսկ հետո կգումարենք այդ ամպլիտուդները, հաշվի առնելով նրանց միջև գոյություն ունեցող փուլերի տարրերությունը: Բարդ ցանցի մեջ մտնող տարրեր պարզ ցանցերի ցրած ալիքների միջև դիտման կետում կառաջանա տարրերություն, քանի որ այդ պարզ ցանցերն իրար նկատմամբ շեղված են, չնայած իրար զուգահեռ են: Բարդ ցանցի առաջացրած ինտերֆերենցիոն մաքսիմումների թիվը պարզ ցանցի առաջացրած ինտերֆերենցիոն մաքսիմումների թիվը մեծ լինել չի կարող, հակառակ՝ պարզ ցանցի որոշ ինտերֆերենցիոն մաքսիմումներ բարդ ցանցի դեպքում կարող են անհետանալ: Իրոք, եթե որևէ ուղղությամբ պարզ ցանցն առաջացնում է մինիմում, առաջ բարդ ցանցը նույնպես այդ ուղղությամբ կառաջացնի մինիմում, քանի որ մինիմումների գումարը մաքսիմում լինել չի կարող, իսկ եթե որևէ ուղղությամբ պարզ ցանցն առաջացնում է մաքսիմում, առաջ բարդ ցանցի բաղադրյալ բոլոր պարզ ցանցերի այդ մաքսիմումները գումարելիս կարող է ստացվել կա՛մ մաքսիմում, կա՛մ մինիմում՝ նայած այն բանին, թե փուլերի տարրերությունը նրանց միջև ինչպիսին է: Բարդ ցանցի դեպքում պարզ ցանցերի որոշ մաքսիմումների անհետացումը կարելի է օգտագործել արվել բարդ բարդ ցանցի տեսակը որոշելու համար: Այժմ մենք կը բաղվենք հենց այդ հարցով:

Պարզ ցանցի համար ատոմի ցրող ընդունակությունը բնութագրելու համար մտցրինք ատոմային ֆակտոր հասկացությունը, որը սահմանեցինք որպես ատոմի և էլեկտրոնի ցրած ալիքների ինտենսիվությունները՝ հարաբերության հետ։ Այժմ, եթե ցանկանում ենք բարդ ցանցի տարրական բջջի ցրող ընդունակությունը բնութագրել, չենք կարող սահմանափակվել միայն ատոմային ֆակտորով, քանի որ բարդ ցանցի տարրական բջջի ցրող ընդունակությունը չի համընկնում միայնակ ատոմի ցրող ընդունակության հետ։ Բարդ ցանցի դեպքում մտցվում է ստրոկտուրային ֆակտոր հասկացությունը, որը սահմանվում է որպես բարդ ցանցի տարրական բջջի և էլեկտրոնի ցրած ալիքների ինտենսիվությունների հարաբերություն։ Համապատասխանաբար դրանց ցրած ալիքների ամպլիտուդների հարաբերությունը կոչվում է ստրոկտուրային ամպլիտուդ։

Ինչպես արդեն նշել ենք, տարածական պարզ ցանցի ցանկացած ատոմի տեղը կարելի է որոշել հետևյալ հավասարման միջոցով. $\vec{r} = \vec{m}_1 \vec{a}_1 + \vec{m}_2 \vec{a}_2 + \vec{m}_3 \vec{a}_3$, Բարդ ցանցի դեպքում ալդ հավասարման միջոցով կարելի է որոշել միայն տարրական բջջի մի ատոմի՝ $[0, 0, 0]$ ինդեքսներ ունեցողի տեղը։ Բջջի մնացած ատոմների տեղերը որոշվում են հետևյալ կերպ։ Եթե բարդ ցանցի օ-րդ տարրական բջջի $[0, 0, 0]$ ինդեքսներով ատոմի տեղը որոշվում է \vec{r}_o վեկտորով, ապա այդ տարրական բջջի օ-րդ ատոմի տեղը կորոշվի $\vec{r}_{o,q}$ վեկտորով, որը հավասար է $\sqrt{\vec{r}_o^2} = \sqrt{\vec{V}_{r_o}^2} + \sqrt{\vec{V}_{r_q}^2}$, որտեղ \vec{V}_{r_q} -ն օ-րդ տարրական բջջի մեջ $[0, 0, 0]$ ինդեքսներով ատոմը գ-րդ ատոմին միացնող վեկտորն է և հետևաբար հավասար՝ $\vec{V}_{r_q} = \vec{a}_1 + \gamma_q \vec{a}_2 + \omega_q \vec{a}_3$, որտեղ α_q -ն, γ_q -ն և ω_q -ն կանոնավոր կոտորակներ են (բազիսի ինդեքսներ. տե՛ս զլուխ 1, § 8-ի աղյուսակը)։ Դժվար չէ ցույց տալ, որ F ստրոկտուրային ամպլիտուդը ատոմային ամպլիտուդի միջոցով կարտահայտվի հետևյալ կերպ։

$$F = \int \sum_{q=1}^N \exp \{ 2\pi i (u_q h + \gamma_q k + \omega_q l) \}, \quad (5.20)$$

որտեղ h -ը, k -ն և l -ը անդրադարձնող հարթությունների միջերյան ինդեքսները անդրադարձման կարգով բաղմապատկելուց ստացված թվերն են։ Վերջիններս առաջին կարգի անդրադարձման դեպ-

քում ուղղակի համընկնում են միլերյան ինդեքսներին (տե՛ս Վոլֆ-Բրեգի բանաձևը): Եթե տարրական բջիջի ատոմները միատեսակ ատոմներ չեն, ապա միևնույնը չեն լինի նաև նրանց և ատոմական ֆունկցիաները, ուստի այդ դեպքում (5.20)-ի փոխարեն պետք է օգտվել հետեւյալ բանաձևից:

$$F = \sum_{q=1}^N f_q \exp \{ 2\pi i (u_q h + v_q k + \omega_q l) \}, \quad (5.21)$$

(5.20)-ի և (5.21)-ի մեջ N -ը ատոմների թիվն է տվյալ բարդ ցանցի տարրական բջիջի մեջ: (5.21) բանաձևը կարելի է գրել և այսպես. $F = \sum_{q=1}^N f_q \cos[2\pi(u_q h + v_q k + \omega_q l)] + i \sum_{q=1}^N f_q \sin[2\pi(u_q h + v_q k + \omega_q l)]$, Ատրուկտուրային ֆակտորը որոշվում է ամպլիտուդային F ֆակտորի մոդուլի քառակուսով.

$$|F|^2 = F F^* = \left\{ \sum_{q=1}^N f_q \cos[2\pi(u_q h + v_q k + \omega_q l)] \right\}^2 + \left\{ \sum_{q=1}^N f_q \sin[2\pi(u_q h + v_q k + \omega_q l)] \right\}^2,$$

Եթե բյուրեղը բաղկացած լինի միայն մի էլեմենտի ատոմներից, ապա գումարի տակից f_q -ն կարելի է որպես բերել և ուղղակի փոխարինել f -ով: Ատրուկտուրային ֆակտորը սովորաբար ընդունված է արտահայտել ատոմային միավորներով, այսինքն՝ $|F|^2 / |f|^2$ միավորներով: Այդ դեպքում ստրուկտուրային ֆակտորը կգրվի հետեւյալ կերպ.

$$|F|^2 = \left\{ \sum_{q=1}^N \cos[2\pi(u_q h + v_q k + \omega_q l)] \right\}^2 + \left\{ \sum_{q=1}^N \sin[2\pi(u_q h + v_q k + \omega_q l)] \right\}^2, \quad (5.21\alpha)$$

Օգտվելով (5.20) կամ (5.21) բանաձևից, կարելի է որոշել ստրուկտուրային ամպլիտուդը: Կարող ենք ցույց տալ, թե ինչպիսի դեպքում, եթե տվյալ ուղղությամբ պարզ ցանցերի ցրած ալիքի ամպլիտուդն ունի մաքսիմալ արժեք, բարդ ցանցի ցրած ալիքի ամպլիտուդը կընդունի մինիմալ արժեք:

Բարդ ցանցից անդրադարձած ալիքի ինտենսիվությունը կարտահայտվի (5.3) բանաձևով, եթե այդ բանաձևի մեջ ատոմի ֆակտորը փոխարինենք ստրուկտուրային ֆակտորով: Ուստի, եթե որ-

Աէ ուղղությամբ (*հարթությունների որևէ համակարգից*) անդրադարձած ալիքի համար ստրոկտուրային ֆակտորն ստացվի զրո, ապա այդ ուղղությամբ բարդ ցանցի ցրած ալիքի ինտենսիվությունը նույնպես հավասար կլինի զրոյի:

Հաշվենք մի քանի բարդ ցանցերի ստրոկտուրային ֆակտորները:

1. Սավալակենտրոնացված ցանց: Այս ցանցի բազիսն է՝ $[0, 0, 0]$ և $[1/2, 1/2, 1/2]$, այսինքն՝ տարրական բջջի մեջ կաերկու ատոմ: Ստրոկտուրային ամպլիտուդի համար (*5.20*)-ից կըստանանք. $F = f \{ \exp [2\pi i(h.0 + k.0 + l.0)] + \exp [2\pi i(h.1/2 + k.1/2 + l.1/2)] \} = f(1 + \exp[\pi i(h+k+l)])$, կամ $F = f \{ 1 + \cos[\pi(h+k+l)] \}$: Վերջինից ստրոկտուրային ֆակտորի համար կստանանք.

$$|F|^2 = |f|^2 \{ 1 + \cos[\pi(h+k+l)] \}^2 = 4 |f|^2 \cos^2 \left[\frac{\pi(h+k+l)}{2} \right].$$

Այսպիսով, ստացվում է, որ եթե միլերյան ինդեքսների գումարը զույգ է, ապա $|F|^2 = 4 |f|^2$, $F = 2 |f|$, իսկ եթե միլերյան ինդեքսների գումարը կենտ է, ապա՝ $F = 0$:

Ուրեմն, ծավալակենտրոնացված ցանցը ռենտգենյան ճառագայթների ցրման ժամանակ առաջացնում է միայն այնպիսի ինտերֆերենցիոն մաքսիմումներ, որոնք համապատասխանում են $h+k+1$ գումարի զույգ արժեքներին: Մենք արդեն նշել ենք, որ $h-g$, $k-n$ և $l-r$ միայն առաջին կարգի անդրադարձման դեպքում է, որ համընկնում են անդրադարձնող հարթությունների միլերյան ինդեքսներին, իսկ առաջինից բարձր կարգի անդրադարձումների դեպքում այդ թվերն իրենցից կներկայացնեն միլերյան ինդեքսների և անդրադարձման կարգը ցույց տվող թվի արտադրյալներ: Ասվածից պարզ է, որ օրինակ՝ (111) և (100) հարթությունները միայն զույգ կարգի անդրադարձումներ կտան, քանի որ այդ հարթությունների համար $h+k+1$ գումարը զույգ կարգի անդրադարձումների համար է միայն զույգ, իսկ կենտերի համար՝ կենտ է: Աղյուսակում բերված են $h+k+1$ գումարի արժեքները (111) և (100) հարթությունների համար տարբեր կարգի անդրադարձումների դեպքում.

Անդրադարձման կարգը	Հարթությունների ինդեքսները	Ինդեքսների գումարը	Հարթությունների ինդեքսները	Ինդեքսների գումարը	F^2
	111	3	100	1	0
	222	6	200	2	$4 f ^2$
	333	9	300	3	0
	444	12	400	4	$4 f ^2$
	555	15	500	5	0

2. Նիստակենտրոնացված ցանց: Այս ցանցի բազիսն է՝ $[0, 0, 0]$, $[1/2, 1/2, 0]$, $[1/2, 0, 1/2]$, $[0, 1/2, 1/2]$, այսինքն՝ տարրական բջիջը պարունակում է չորս ատոմ: Այս դեպքում ստրոկտուրային ամպլիտուդը կլինի.

$$\begin{aligned} F = & f\{\exp[2\pi i(h \cdot 0 + k \cdot 0 + l \cdot 0)] + \exp[2\pi i(h \cdot \frac{1}{2} + k \cdot \frac{1}{2} + l \cdot 0)] + \\ & + \exp[2\pi i(h \cdot \frac{1}{2} + k \cdot 0 + l \cdot \frac{1}{2})] + \exp[2\pi i(h \cdot 0 + k \cdot \frac{1}{2} + l \cdot \frac{1}{2})]\} = \\ & = f\{1 + \exp[\pi i(h+k)] + \exp[\pi i(h+l)] + \exp[\pi i(k+l)]\}, \end{aligned}$$

Այսինքն՝ F -ը, կախված ի-ի, k -ի և l -ի արժեքներից, կընդունի երկու արժեք: Եթե բոլոր կոսինուսները հավասար են $+1$ -ի, ապա $F=4$ է, Վերջինս հնարավոր է միայն այն դեպքում, եթե h -ը, k -ն և l -ը բոլորը միաժամանակ կամ կենտ են, կամ զույգ: Հակառակ դեպքում կոսինուսներից երկուսը -1 արժեքը կունենան և $F=0$: Այսպիսով, նիստակենտրոնացված ցանցից ինտերֆերենցիոն մաքսիմում կստացվի միայն այն դեպքում, եթե անդրադարձնող հարթությունների միլլերյան բոլոր ինդեքսները կամ կենտ են, կամ զույգ: Խառը ինդեքսներ ունեցող հարթություններից առաջին կարգի անդրադարձում չի ստացվի:

Ուրեմն, եթե h -ը, k -ը, l -ը զույգ են՝ $F=4$ է, $(F)^2=16$ (f)², եթե h -ը, k -ը, l -ը ոչ կենտ են՝ $F=4$ է, $(F)^2=16$ (f)², իսկ եթե h -ը, k -ը, l -ը ոչ բոլորն են կենտ կամ ոչ բոլորն են զույգ, ապա $F=0$:

→ 3. Բազակենտրոնացված ցանց: Բազիսն է՝ $[0, 0, 0]$, $[1/2, 1/2, 0]$, այսինքն՝ տարրական բջիջում կա երկու ատոմ: Այս ցանցի ստրոկտուրային ֆակտորը կլինի. $F=f\{1+\cos[\pi(h+k)]\}$. Եթե $h+k-n$ կենտ է, ապա՝ $F=0$, եթե $h+k-n$ զույգ է, ապա՝ $F=2f$ և $|F|^2=4|f|^2$.

Այսպես, ուրեմն, եթե բազիսի վերջին ինդեքսը զրո է, ապա միլլերյան ինդեքսներից առաջին երկուսի զումարը պետք է զույգ լինի, որպեսզի այդ հարթություններից ինտերֆերենցիոն մաքսիմում ստացվի:

Մենք տեսանք, որ բարդ ցանցի դեպքում պարզ ցանցի որոշ ինտերֆերենցիոն մաքսիմումներ անհետանում են: Այդ հանգամանքը հնարավորություն է տալիս, օգտվելով տվյալ ցանցի ինտերֆերենցիոն մաքսիմումների անհետացման օրենքից, որոշել այդ ցանցի տեսակը՝ բազիսը:

§ 6. ՖՐԻԴԵԼԻ ՕՐԵՆՔԸ

Ցրման ֆունկցիաները ցույց են տալիս (տես գլուխ III, § 2), որ երբ ընկնող ալիքի հաճախությունը շատ մեծ է ցրող էլեկտրոն-ների սեփական հաճախությունից, ցրման հետևանքով փուլի փոփոխություն չի առաջանում։ Իսկ երբ ընկնող ալիքի հաճախությունը մոտ է ցրող էլեկտրոնի սեփական հաճախությանը, ցրման ֆունկցիան դառնում է կոմպլեքս, այսինքն՝ ցրման հետևանքով առաջանում է փուլի փոփոխություն։ Այս դեպքում, երբ բյուրեղը պարունակում է տարրեր ատոմներ, որոնց էլեկտրոններն ունեն տարրեր հաճախություններ, ապա տարրեր ատոմների ցրած ալիք-ների փուլերի կրած փոփոխությունները կլինեն տարրեր։ Եթե ցըրման հետևանքով փուլերի փոփոխություն չի առաջանում, ապա ստրուկտորային ամպլիտուդը կլինի իրական և դրական (տե՛ս § 5)։

Եթե ստրուկտորային ամպլիտուդը իրական է, ապա միլեր-յան բոլոր ինդեքսների նշանները միաժամանակ փոփոխելը ցրված ալիքների ինտենսիվությունների փոփոխություն չի առաջացնի, այսինքն՝ ($\hbar\bar{k}_1$) և ($\bar{\hbar}\bar{k}_1$) հարթությունների առաջացրած դիֆրակցիոն պատկերները իրարից ոչնչով չեն տարրերվի, եթե անգամ այդ հարթությունների տարրերը կողմերը բյուրեղագիտական տարրերություն ունեն (\S 5)։ Դա նշանակում է, որ եթե նման դեպքում ընկնող ճառագայթի ուղղությունը հակառակ դարձնենք, դիֆրակցիոն պատկերի փոփոխություն չենք ստանա։ Այսպիսով, ունտգենագրաֆիկ եղանակով բյուրեղի ինվերսիայի կենտրոն չունենալը հնարավոր չէ Հայտնաբերել։ Այլ կերպ ասած՝ ունտգենագրամման միշտ ունի ինվերսիայի կենտրոն, անկախ նրանից՝ բյուրեղն ունի^o, թե՝ ոչ։ Այս երևույթն առաջին անգամ բացատրել է Ֆրիդելը և նրա անունով էլ այն կոչվում է։

Վերևում նշեցինք, որ Ֆրիդելի կանոնը տեղի ունի այն դեպքում, երբ ցրման հետևանքով փուլի փոփոխություն չի առաջանում, այսինքն, երբ ընկնող ալիքի հաճախությունը խիստ տարրերվում է ցրող էլեկտրոնների սեփական հաճախություններից և, հետևաբար, կլանումը բացակայում է։ Սակայն այստեղ անհրաժեշտ է ավելացնել հետևյալը։ Ֆրիդելի օրենքը (կանոնը) բավարարվում է նաև այն դեպքում, երբ բյուրեղի բոլոր ատոմների ցրած ալիքները փուլերի փոփոխությունը միևնույնն է (բոլորի կլանումը նույնն է), իրոք, տարրական ալիքների գումարից բազկացած ալիքային դաշտի ինտենսիվությունը փոփոխություն չի կրի, եթե բոլոր բաղադրիչների փուլերը փոփոխենք միևնույն շափով, քանի որ ինտենսիվությունը

շափկում է ամպլիտուդի մոդուլի քառակուսով: Ֆրիդնի օրենքը խախտվում է այն դեպքերում, երբ բյուրեղը պարունակում է տարբեր շափկվ կլանող, հետևաբար և ցրման հետևանքով փուլերի տարբեր փոփոխություններ առաջացնող ատոմներ:

Ճիշտ կինի համարել, որ Ֆրիդնի օրենքը բաղկացած է երկու մասից, առաջինը՝ ինտերֆերենցիոն պատկերի երկրաշափությունը փոփոխություն չի կրում, երբ ընկնող ալիքը գցում ենք հակառակ ուղղությամբ, երկրորդը՝ այդ դեպքում ինտերֆերենցիոն մաքսիմումի ինտենսիվությունը նույնպես փոփոխություն չի կրում:

Ֆրիդնի օրենքի առաջին մասը միշտ բավարարվում է՝ երկրաշափությունը երբեք չի փոխվում, իսկ երկրորդ մասը տեղի կարող է չունենալ բևեռային բյուրեղների դեպքում:

Քննարկենք մի օրինակ, որի դեպքում Ֆրիդնի օրենքը խախտվում է:

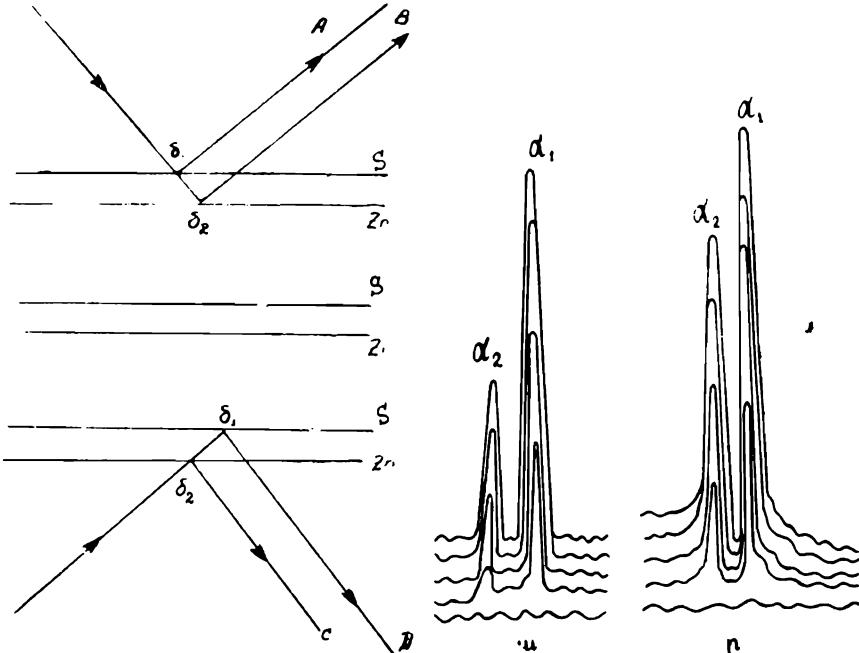
Եթե ցրման հետևանքով փուլի փոփոխություն չի առաջանում կամ առաջացած փոփոխությունը տարրական բջի բոլոր ատոմների համար նույնն է, ստրոկտուրային ֆակտորը կարտահայտվի .§ 5-ում բերված հետևյալ բանաձևով՝

$$|F|^2 = \left\{ \sum_{q=1}^N f_q \cos[2\pi(u_q h + v_q k + w_q l)] \right\}^2 + \\ + \left\{ \sum_{q=1}^N f_q \sin[2\pi(u_q h + v_q k + w_q l)] \right\}^2,$$

Այս ֆակտորը փաստորեն միայն երկրաշափական է, քանի որ այն կախված է միայն ատոմների դիրքից և հենց այս դեպքում է, որ $|F(hkl)| = |F(\bar{h}\bar{k}\bar{l})|$, այսինքն, բավարարվում է Ֆրիդնի օրենքը՝ հարթությունների միևնույն ընտանիքի հակառակ կողմերից տեղի ունեցող անդրադարձումների ինտենսիվություններն իրար հավասար են:

Սակայն Կոստերի, Կոնլի և Պրինսի կատարած փորձերը ցինկային փայլի ($Z_nS - \text{ծծմբացինկ}$) հետ ցուց են տվել, որ Ֆրիդնի օրենքը այդ բյուրեղի նկատմամբ չի պահպանվում, որովհետև ցրման ժամանակ փուլերի փոփոխությունները ցինկի և ծծմբի ատոմների համար նույնը չեն: Ցինկային փայլի ստրոկտուրան բեվեռային է, ցինկի և ծծմբի (111) հարթություններին զուգահեռ հարթությունները հաջորդում են մեկը մյուսին այնպես, որ Z_nS -ի և S -ի հարևան հարթությունների միջև եղած հեռավորությունը հավասար է հարևան՝ (111) հարթությունների միջև եղած հեռավորության քառորդին (տե՛ս նկ. 70):

Ենթադրենք անդրադարձումը կատարվում է վերևից: Այդ դեպքում ծծմբի և ցինկի հարթություններից անդրադարձած ալիքների միջև փուլերի տարբերությունը կլինի այսպիսին: $k^2 d \sin \theta + \delta_1 - \delta_2 = \varphi_1$, որտեղ d -ն ցինկի և ծծմբի հարևան հարթությունների



Նկ. 70. Անդրադարձումը հարթությունների տարբեր կողմերից

Նկ. 71. Ուկու L_{α_1} և L_{α_2} ճառագայթումների անդրադարձումը բյուրեղի տարբեր կողմերից

միջև եղած հեռավորությունն է, δ_1 -ը և δ_2 -ը ցինկի ու ծծմբի առոմների վրա տեղի ունեցող ցրումների պատճառով առաջացած փուլերի տարբերություններն են:

Ներքեւից կատարված անդրադարձման ժամանակ փուլերի տարբերությունը այդ ալիքների միջև $k^2 d \sin \theta + \delta_2 - \delta_1 = \varphi_2$:

Ինչպես երևում է $\varphi_1 \neq \varphi_2$ և այս դեպքում Ֆրիդելի օրենքը տեղ չունի: Ֆրիդելի օրենքը իրավացի կլինի, եթե կամ ցրման ժամանակ փուլերի փոփոխություն շառաջանա ($\delta_1 = \delta_2 = 0$), կամ այդ փոփոխություններն իրար հավասար լինեն՝ $\delta_1 = \delta_2$:

Ֆրիդելի օրենքը փորձով ստուգելու համար կոստերը, Կնոլը և Պրինսը օգտվել են ոսկու L_{α_1} և L_{α_2} ճառագայթներից: Ցինկի կլանման եզրը գտնվում է L_{α_1} -ի և L_{α_2} -ի միջև, այդ պատճառով ցինկի վրա ցրման ժամանակ առաջացած փուլերի փոփոխություն-

Ները այդ երկու ճառագայթների դեպքում զգալիորեն իրարից տարբեր կլինեն, իսկ ծծմբի դեպքում այդ երկու ճառագայթների ցրման ժամանակ փուլերի փոփոխություն չի առաջանա (կամ նույնը կլինի), քանի որ ծծմբի կլանման եղրը ուսկու Լ ճառագայթումներից հեռու է:

Այդ պատճառով պետք էր սպասել, որ L_a և L_{a_2} ճառագայթումների անդրադարձման հարաբերական ինտենսիվը լինունները հարթությունների տարբեր կողմերից տարբեր կլինեն: № 71 նկարում բերված ֆոտոմետրիական կորերից երևում է, որ, իրոք, այդ հարաբերական ինտենսիվությունները հարթությունների տարբեր կողմերից տարբեր են ստացվում: Ճ-ն անդրադարձումն է առջևի նիստից, իսկ Ե-ն՝ ետքի նիստից:

Այսպիսով, քննարկված դեպքում $F(hkl) \neq F(\bar{h}\bar{k}\bar{l})$ և Z_nS -ի սիմետրիայի կենտրոնի բացակայությունը (բյուրեղի բնեռայնությունը) ունտգենագրաֆիկ եղանակով ինտենսիվությունների տարբերության միջոցով կարելի է հայտնաբերել:

§ 7. ՌԵՆՏԳԵՆՅԱՆ ԺԱՌԱԳԱՅԹՆԵՐԻ ԻՆՏԵՐՖԵՐԵՆՑԻՈՆ ՄԱՔՍԻՄՈՒՄՆԵՐԻ ՈՒՍՏՈՒՄՆԵՐԻ ԻՆՏԵԳՐԱԼ ԻՆՏԵՆՍԻՎՈՒԹՅՈՒՆԸ

Նախորդ պարագրաֆներում մենք գտանք ինտերֆերենցիոն մաքսիմումների ուղղությունները, ամպլիտուդները և ինտենսիվությունները ընկնող հարթ մոնոքրոպատիկ ալիքի դեպքում: Սակայն մաքսիմումների առաջացման համար մեր ստացած պայմանները ցույց են տալիս միայն մաքսիմալ անդրադարձման ուղղությունները (մաքսիմումի գագաթի ուղղությունը, տե՛ս նկ. 66): Այդպիսի բանաձևերին համապատասխանող փորձնական շափումներ կատարել և ստացված արդյունքները համեմատել տեսական հաշվումների արդյունքների հետ հնարավոր չեն: Հնարավոր չեն նախայն պատճառով, որ սկզբնական ալիքը խիստ հարթ գուգահեռ լինել երբեք չի կարող և նրա անկյունային տարամիտումը (բացվածքը), սովորաբար, շատ ավելի մեծ է լինում, քան դիֆրակցիոն մաքսիմումի ամբողջ անկյունային տիրույթը: Մյուս կողմից՝ ինտենսիվությունները գրանցող սարքի (իոնացման խցիկ, հաշվիչ) ընդունող ճեղքը (պատուհանը) այնքան մեծ է լինում, որ նա գրանցում է տվյալ ռեֆլեքսին պատկանող, բայց տարբեր ուղղություններով գնացող բոլոր ալիքները:

Այսպիսով, փորձով գրանցվող ինտենսիվությունը անկման ցրման բոլոր հնարավոր ուղղությունների ինտեղրալ ինտենսիվությունն է: Ուստի տեսականորեն պետք է գտնենք մի բանաձև, որը

Համապատասխանի փորձով գրանցվող այդ ինտեգրալ ինտենսիվությանը:

Ինտեգրալ ինտենսիվության տեսական հաշվման համար նույնական գոյություն ունեն լառեի և Բրեգի եղանակներ, որոնց մասին կխոսենք:

1. ԻՆՏԵԳՐԱԼ ԻՆՏԵՆՍԻՎՈՒԹՅԱՆ ՀԱՇՎՈՒՄԸ ԼԱՌԻԵՒ ԵՂԱՆԱԿՈՎ

Ինտերֆերենցիոն մաքսիմումների համար լառեի (5.6) հավասարումներն ստանալիս ընդունեցինք, որ անկման \vec{S}_0 և ցրման (անդրադարձման) \vec{S}_1 ուղղությունները $\delta\varphi_r$ թափարարում են (5.5ա) պայմաններին: Ինտեգրալ ինտենսիվության արտահայտությունն արտածելու համար ընդունենք, որ $\Delta\omega_{\text{պատճ}} \rightarrow \vec{S}_0$ ուղղությունից տարբեր, բայց նրան շատ մոտ \vec{S}'_0 ուղղությամբ, իսկ ցրումը դիտենք \vec{S}_1 ուղղությունից տարբեր, բայց նրան շատ մոտ \vec{S}'_1 ուղղությամբ (տե՛ս նկ. 72):

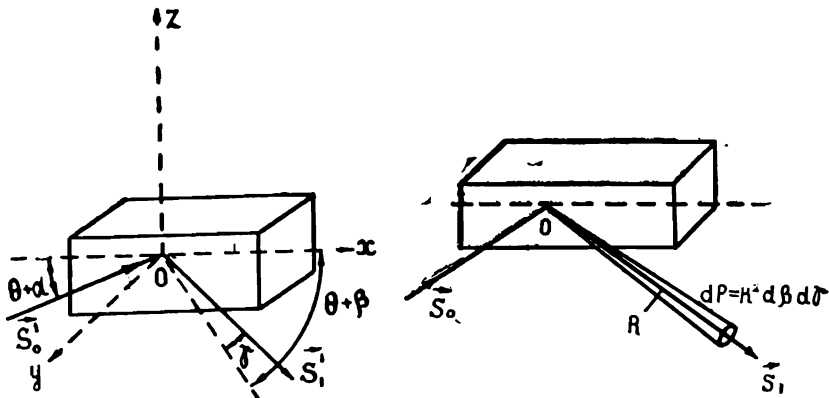
\vec{S}_0 -ի և \vec{S}_1 -ի մոտ լինելը \vec{S}_0 -ին և \vec{S}_1 -ին պայմանավորված է նրանով, որ, ինչպես այդ ցուց է տրված նախորդ պարագրաֆում, ինտերֆերենցիոն մաքսիմումի անկյունային տիրուկիթը շատ փոքր է, և \vec{S}_0 -ից հեռու ուղղություններով ընկած սկզբնական ալիքները տվյալ մաքսիմումին էներգիա չեն տալիս (տվյալ անդրադարձմանը չեն մասնակցում):

Ընդունենք, որ անդրադարձնող հարթությունները զուգահեռ են XOZ հարթությանը, իսկ անկման հարթությունը համընկնում է XOY հարթությանը: Թող ընկնող \vec{S}'_0 ճառագայթը գտնվի XOY հարթության մեջ և անդրադարձնող հարթությունների հետ կազմի $\theta+\alpha$ անկյուն, որտեղ θ -ն կուզֆ-Բրեգի անկյունն է: Ցըրպած S_1 ճառագայթը անկման հարթության հետ կազմում է γ անկյուն, իսկ նրա պրոյեկցիան անկման հարթության վրա անդրադարձնող հարթության հետ կկազմի $\theta+\beta$ անկյուն: Այդ գեպքում \vec{S}'_0 և \vec{S}'_1 միավոր-վեկտորները X, Y և Z առանցքների վրա կունհնան հետևյալ պրոյեկցիաները.

$$\vec{S}'_0[\cos(\theta+\alpha), -\sin(\theta+\alpha), 0],$$

$$\vec{S}'_1[\cos(\theta+\beta), \sin(\theta+\beta), \sin\gamma],$$

Այստեղ \vec{S}_1 -ի պրոյեկցիան Y առանցքի վրա իրականում կլինի $\cos \gamma \sin(\theta + \beta)$, սակայն օգտվելով γ -ի փոքրությունից, $\cos \gamma$ բազմապատկիչն առանց նշանակած սխալ կատարելու կարող ենք փոխարինել մեկով: Մենք պետք է հաշվենք էներգիայի հոսքը \vec{S}_1 միավոր-վեկտորին ուղղահայաց մակերևույթով: Այդ մակերևույթի ձր



Նկ. 72. Ինտեգրալ ինտենսիվության հաշվումը կառուել եղանակով

Նկ. 73. Էներգիայի հոսքի հաշվումը \vec{S}_1 միավոր-վեկտորին ուղղահայաց ձր մակերեսով

էլեմենտը կարտահայտվի հետևյալ կերպ՝ $dP = R^2 d\beta d\gamma$ (տե՛ս նկ. 73), որտեղ R -ը բյուրեղի (սկզբնակետի) հեռավորությունն է դիտման կետից (ρ հարթակից): Ըեֆլեքսի ուղղությամբ հոսքի հզորությունը կատանանք, եթե ինտենսիվության (5.3) արտահայտությունը ինտեգրենք ըստ β և γ -ի $\iint I_m R^2 d\beta d\gamma$:

Լրիվ հզորությունը ստանալու համար պետք է ինտեգրել նաև ըստ սկզբնական փնջի տարամիտումն արտահայտող α անկյան: Այսպիսով, տվյալ ռեֆլեքսի ինտեգրալ ինտենսիվության համար կարող ենք գրել՝ $\rho = \frac{1}{I_0} \iiint I_m R^2 d\beta d\gamma d\alpha$: Կամ բաց թողնելով $\frac{c}{4\pi}$ արտադրիչը, ի նկատի ունենալով (5.5)-ը, կունենանք՝

$$\rho = f_a^2 \iiint_{\sigma=1}^3 \left[\frac{\sin^2 \left[N_o \frac{\vec{k}(a_o \vec{S})}{2} \right]}{\sin^2 \left[\frac{\vec{k}(a_o \vec{S})}{2} \right]} \right] dx d\beta d\gamma, \quad (5.22)$$

Ստացված ինտեգրալները հաշվելու համար անհրաժեշտ է գտնել կապը B_{γ} -ների և α , β , γ փոփոխականների միջև, այնուհետև կատարել համապատասխան փոփոխականների փոխարինում։ Եթե ընդունենք, որ X , Y և Z առանցքները համապատասխանաբար համընկնում են \vec{a}_1 , \vec{a}_2 և \vec{a}_3 տրանսլյացիաներին, ապա հեշտությամբ $B_{1-\gamma}$, $B_{2-\gamma}$ և $B_{3-\gamma}$ կարտահայտենք $\alpha-\gamma$, $\beta-\gamma$ և $\gamma-\gamma$ միջոցով՝

$$B_1 = \frac{1}{2} k a_1 (\vec{S}'_1 - \vec{S}'_0) = \frac{1}{2} k a_1 [\cos(\theta + \gamma) - \cos(\theta + \alpha)] = \\ = \frac{1}{2} k a_1 (\alpha - \beta) \sin \theta,$$

$$B_2 = \frac{1}{2} k a_2 (\vec{S}'_1 - \vec{S}'_0) = \frac{1}{2} k a_2 [\sin(\theta + \beta) - \sin(\theta + \alpha)] = \\ = \frac{1}{2} k a_2 (\alpha + \beta) \cos \theta + k a_2 \sin \theta,$$

$$B_3 = \frac{1}{2} k a_3 (\vec{S}'_1 - \vec{S}'_0) = \frac{1}{2} k a_3 \sin \gamma = \frac{1}{2} k a_3 \gamma,$$

Ինտեգրման α , β և γ փոփոխականները B_1 , B_2 , B_3 փոփոխականներով փոխարինելու համար նախ հաշվենք համապատասխան ֆունկցիոնալ դետերմինանտը՝

$$\Delta = \frac{\partial(B_1 B_2 B_3)}{\partial(\alpha, \beta, \gamma)} = \begin{vmatrix} \frac{\partial B_1}{\partial \alpha}, \frac{\partial B_1}{\partial \beta}, \frac{\partial B_1}{\partial \gamma} \\ \frac{\partial B_2}{\partial \alpha}, \frac{\partial B_2}{\partial \beta}, \frac{\partial B_2}{\partial \gamma} \\ \frac{\partial B_3}{\partial \alpha}, \frac{\partial B_3}{\partial \beta}, \frac{\partial B_3}{\partial \gamma} \end{vmatrix}$$

Օգտվելով $B_{1-\gamma}$, $B_{2-\gamma}$ և $B_{3-\gamma}$ վերը բերված արտահայտություններից, դետերմինանտի համար կստանանք՝

$$\Delta = \frac{1}{8} k^3 \begin{vmatrix} a_1 \sin \theta, -a_1 \sin \theta & 0 \\ a_2 \cos \theta, a_2 \cos \theta & 0 \\ 0 & 0 & a_3 \end{vmatrix} = \frac{\pi^3}{\lambda^3} a_1 a_2 a_3 2 \sin \theta \cos \theta = \frac{\pi^3}{\lambda^3} v \sin 2\theta,$$

որտեղ v -ն տարրական բջջի ժավալն է։

Այսպիսով, ինտեգրալ ինտենսիվության (5.22) արտահայտությունը կարող ենք բերել հետևյալ տեսքի՝

$$\rho = f_a^2 \int \int \int \frac{1}{\Delta} \left[\sum_{\sigma=1}^3 \frac{\sin^2[N_\sigma \cdot B_\sigma]}{\sin^2[B_\sigma]} \right] dB_\sigma =$$

$$= \frac{\lambda^3 f_a^2}{\pi^3 v \sin 2\theta} \int \int \int \left[\sum_{\sigma=1}^3 \frac{\sin^2[N_\sigma B_\sigma]}{\sin^2[B_\sigma]} \right] dB_\sigma,$$

$$\text{Օգտվելով ինտեգրման տիրութիվ } \pi/N_\sigma \text{-ի, փոքրությունից, կարող ենք } \sin^2[B_\sigma] \text{-ն փոխարինել } B_\sigma^2 \text{-ով, բերելով ինտեգրալը այսպիսի տեսքի՝ } \int \frac{\sin^2[N_\sigma B_\sigma]}{\sin^2[B_\sigma]} dB_\sigma = \int_{-\infty}^{+\infty} \frac{\sin^2[N_\sigma B_\sigma]}{B_\sigma^2} dB_\sigma = \pi N_\sigma.$$

Ինտեգրման սահմանները փոխարինեցինք անսահմանություններով, քանի որ ընդինտեգրալ արտահայտությունը գրուից զգալիորեն տարբեր է միայն B_σ -ի շատ փոքր արժեքների դեպքում:

Նկատի ունենալով ինտեգրալների արժեքները, ինտեգրալ ինտենսիվության համար վերջնականապես կստանանք՝

$$\rho = f_a^2 \frac{\lambda^3 N_1 N_2 N_3}{v \sin 2\theta},$$

Բարդ ցանցի դեպքում ստացված արտահայտության մեջ f_a^2 ատոմային ֆակտորը պետք է փոխարինել F^2 ստրոկուլային ֆակտորով:

Եթե նկատի ունենանք, որ $N_1, N_2, N_3 = V$ -ն բյուրեղի ճառագայթվող ծավալն ξ , իսկ $\frac{1}{V} = N - \rho$ ՝ միավոր ծավալում տարրական բջիջների թիվը (պարզ ցանցում ատոմների թիվը), ապա ինտեգրալ ինտենսիվության համար կստանանք՝ $\rho = I_0 F^2 \frac{N^2 \lambda^3}{\sin 2\theta} V$:

Հիշենք, որ մինչև հիմա մենք ցրված ալիքների ամպլիտուդը և ինտենսիվությունն արտահայտել ենք ազատ էլեկտրոնի ցրած ալիքի միավորներով:

Անցնելով էներգիայի սովորական միավորների, ինտեգրալ ինտենսիվության համար վերջնականապես կստանանք՝

$$\rho = F^2 \left(\frac{e^2}{mc^2} \right)^2 \frac{1 + \cos 2\theta}{2} \frac{N^2 \lambda^3}{\sin 2\theta} V = QV, \quad (5.23)$$

$$որտեղ՝ Q=F^2 \left(\frac{e^2}{mc^2} \right)^2 \frac{1+\cos^2 2\theta}{2} \frac{N^2 \lambda^3}{\sin 2\theta},$$

$$\left(\frac{e^2}{mc^2} \right)^2 \frac{1+\cos^2 2\theta}{2} - կոչվում է թումսոնի ֆակտոր,$$

$$\frac{1+\cos^2 2\theta}{2} - կոչվում է բևեռացման ֆակտոր,$$

$$\frac{N^2 \lambda^3}{\sin 2\theta} - կոչվում է լորենցի ֆակտոր:$$

Q-ն միավոր ծավալի ցրած ալիքի ինտեգրալ ինտենսիվությունն է:

Ինչպես եղելում է (5.23)-ից, ըստ այս տեսության ինտեգրալ ինտենսիվությունը համեմատական է բյուրեղի ճառագայթվող ծավալին: Այս հարցին դեռ մենք կվերադառնանք, եթե խոսենք բյուրեղի շափերը որոշելու մասին:

Այժմ տեսնենք, թե ինչպես կարող ենք փորձով շափել ինտեգրալ ինտենսիվությունը: Սովորաբար միաբյուրեղները բաղկացած են լինում փոքրիկ բյուրեղիկներից (բլոկներից), որոնք թեթեվակի շեղված են լինում իրար նկատմամբ: Ուստի, եթե բյուրեղը ճառագայթենք, նրանից ոչ բոլորը կգտնվեն միաժամանակ մաքսիմալ անդրադարձման վիճակում: Այդ պատճառով բյուրեղի անդրադարձման ընդունակության մասին անդրադարձման ինտեգրալ ինտենսիվությունը շափելու միջոցով գաղափար կազմելու համար հարկավոր է բյուրեղը անդրադարձնող հարթություններին զուգահեռ և անկման հարթությանն ուղղահայաց առանցքի շուրջը ձոնել այնպես, որ բոլոր բլոկներն անցնեն մաքսիմալ անդրադարձման դիրքով և անդրադարձման ինտենսիվությունը 0-ից հասնի մաքսիմումի, հետո դարձյալ իշնի 0-ի (տե՛ս նկ. 74):

Եթե բյուրեղի վրա ընկնում է I_0 ինտենսիվությամբ փունջ, իսկ նրանից անդրադարձում է I ինտենսիվությամբ, ապա դրանց հա-

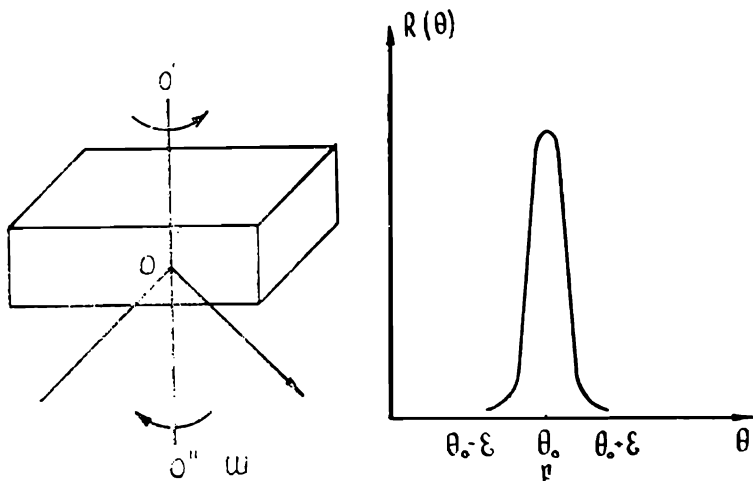
րաբերությունը՝ $R = \frac{I}{I_0}$ կոչվում է անդրադարձման գործակից:

Պարզ է, որ այդ հարաբերությունը կախված է անկման սահքի անկյունից՝ $R(\theta) = \frac{I(\theta)}{I_0}$, Ունտգենաստրուկտորային հետազոտու-

թյուններում ընդունված է քննարկել $\int R(\theta) d\theta$ ինտեգրալը, որը կոչվում է անդրադարձման ինտեգրալ գործակից կամ, ինչպես երբեմն անվանում են, ինտեգրալ ինտենսիվություն (ընկնող ալիքի

միավոր ամպլիտուդի գեպքում $\int R(\theta) d\theta = \rho$, այսինքն՝ այդ ինտեգրալը կհամընկնի ինտեգրալ ինտենսիվությանը):

Ենթադրենք բյուրեղը ճոճվելիս, եթե մեկ անգամ անցնում է ամբողջ անդրադարձան տիրույթով, ընդունիլը արձանագրում է Ե էներգիա: Պարզ է, որ այդ Ե էներգիան կախված կլինի ճոճման անկյունային և արագությունից՝ որքան այդ անկյունային արագությունը փոքր լինի, այնքան Ե-ն մեծ կլինի և հակառակը: Իսկ Եօ արտադրյալը արդեն պտտման (ճոճման) անկյունային արագությունից կախված չի լինի:



Նկ. 74. ω —ճոճման առանցքը ($O-O''$), ρ —անդրադարձան գործակցի կախումը անդրադարձան θ անկյունից (այսեղ θ_0 -ն Վուլֆ-Բրեգի անկյունն է):

Կարելի է ցույց տալ, որ Եօ-ն հավասար է ինտեգրալ ինտենսիվությանը՝ ρ -ին, եթե ընկնող ալիքի ամպլիտուդը (ինտենսիվությունը) հավասար է մեկի, իսկ եթե տարրեր է մեկից, տեղի կունենա հետևյալ հավասարումը՝

$$\frac{E\omega}{I_0} = \rho, \quad (5.24)$$

որտեղ I_0 -ն սկզբնական ալիքի ինտենսիվությունն է, իրոք, եթե I_0 ինտենսիվությամբ ռենտգենյան ալիքն ընկնում է բյուրեղի վրա, ապա միավոր ժամանակում կանդրադառնա նրա $R(\theta)$ մասը (անդրադարձ ալիքի ինտենսիվությունը կլինի $I_0R(\theta)$), իսկ ժամանակամիջոցում անդրադարձ էներգիան կլինի $I_0R(\theta)dt$):

Ե էներգիան գտնելու համար այդ արտահայտությունը պետք է ինտեգրենք անդրադարձման ամբողջ տիրությով՝ մեկ անգութեան ժամանակամիջոցի համար.

$$E = \int I_0 R(\theta) dt = I_0 \int R(\theta) dt: \quad (5.25)$$

Եթե dt ժամանակամիջոցում բյուրեղը պտտվել է $d\theta$ անկյունով, ապա $dt = \frac{d\theta}{\omega}$, ժամանակի dt հատվածի այս արժեքը տեղադրելով
(5.25)-ի մեջ՝ կստանանք. $\frac{E\omega}{I_0} = \int R(\theta) d\theta = \varphi$

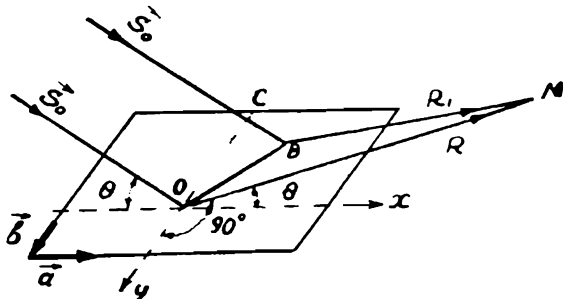
Այսպիսով, փորձով ինտեգրալ ինտենսիվությունը գտնելու համար հարկավոր է մոնությունափակ ունտգենյան ալիքը Վուֆ-Բրեգի անկյան տակ գցել բյուրեղի համապատասխան հարթությունների ընտանիքի վրա և այդ բյուրեղը ճոճել հարթությունների վրա գրանցվող ու անկման հարթությանն ուղղահայաց առանցքի շուրջը, ապա ճոճման ժամանակ շափել Ե էներգիան, բազմապատկել առողջ և բաժանել սկզբնական ինտենսիվության վրա: Սակայն քանի որ փորձի ժամանակ ոչ թե շափվում է էներգիայի հոսքը միավոր մակերևությով (ոչ թե ինտենսիվությունը), այլ դիաֆրագմանների պատուհանի բացվածքով անցած էներգիան, (5.24) բանաձևի փոխարեն պետք է օգտվել $\frac{E\omega}{I} = \varphi$ բանաձևից, որտեղ $I = I_{0\sigma-n}$ ընկնող փնջի հզորությունն է, իսկ $\sigma-n$ ՝ էկրանի անցքի մակերեսը:

2. ԽՏԵԳՐԱԼ ԽՏԵՆՍԻՎՈՒԹՅԱՆ ՀԱՇՎՈՒՄԸ ԲՐԵԳԻ ԵՊԱՆԱԿՈՎ

Ինչպես արդեն ասվեց կերպում, Բրեգի եղանակով ինտեգրալ ինտենսիվությունը հաշվելու համար պետք է նախ հաշվել առանձին ատոմական հարթություններից անդրադարձած ալիքի տարածությունը: Սովորաբար այդ հաշիվը կատարում են կամ ինտեգրման եղանակով, կամ Ֆրենելի գոտիների եղանակով: Երկու դեպքում էլ փուլերի տարբերությունը հաշվելիս ընդունվում է, որ ցրող լիցքը հարթության վրա բաշխված է անընդհատ: Զնայած նրկու դեպքում էլ հարթությունից անդրադարձած ալիքի ամպլիտուդի համար ստացվում է նույն արտահայտությունը, մենք երկու եղանակն էլ կշարադրենք՝ գոտիների եղանակի կիրառելիության սահմանները ցույց տալու նպատակով:

1. ՀԱՐԹՈՒԹՅՈՒՆԻՑ ԱՆԳՐԱԴԱՐՁԱՌ ԱԼԻՔԻ ԱՄՊԼԻՏՈՒԴԻ ՀԱՆԱՀՈՒՄԸ
ԻՆՏԵԳՐԱՆ ԵՂԱՆԱԿՈՎ

Ենթադրենք ունտգենյան հարթ զուգահեռ ալիքը \vec{S}_0 միավոր-վեկտորի ուղղությամբ ընկնում է և ե տրանսլյացիաներ ունեցող ատոմային հարթության վրա, իսկ դիտման M կետը այդ հարթության վրա տեղափողված Օ սկզբնակետից երկում է \vec{S}_1 միավոր-վեկտորի ուղղությամբ (տե՛ս նկ. 75): Թող X և Y առանցքները համընկնեն և ե տրանսլյացիաների ուղղություններին, իսկ անկման հարթությունը համընկնի XZ հարթությանը: \vec{S}_0 և \vec{S}_1 միավոր-վեկտորները X առանցքի հետ կազմում են միւնույն թանկյունը, իսկ Y առանցքին ուղղահայաց են:



Նկ. 75. Ինտեգրալ ինտենսիվության հաշվումը Բրեգի եղանակով

Օ կետում ցրված և M կետը հասած ալիքը կունենա հետևյալ անեսքը՝ $\frac{1}{R} f_a \exp \{ i(\omega t - kR) \}$:

Ե կետում ցրված և M կետը հասած ալիքի արտահայտությունը գտնելու համար որպեսնք Օ և B կետերում ցրված M կետը հասած ալիքների ճանապարհների տարբերությունը. $\Delta = CB + R_1 - R$:

75-րդ նկարից երեսում է, որ $CB = (\vec{r} \vec{S}_0)$, իսկ $R_1 - r$ կորոշենք ՕԲM եռանկյունուց՝ $R^2 = R^2 + r^2 - 2(rR \cos \angle CRB)$

Իսկ $R_1 = R \sqrt{1 + \frac{r^2 - 2(rR \cos \angle CRB)}{R^2}}$, արտեղ \vec{r} -ը հարթության ատոմակերի շառավիղ-վեկտորն է:

Օգտվելով այն հանգամանքից, որ $r \ll R$ և արհամարհելով r -ի

Երկրորդից բարձր աստիճաններ պարունակող անդամները, կը ստանանք $R_1 \approx R + \frac{\vec{r}}{2R} - \frac{(\vec{r} \cdot \vec{R})}{R} - \frac{(\vec{r} \cdot \vec{R})^2}{2R^3}$,

Նկատի ունենալով, որ $\vec{R} = R \cdot \vec{S}_1$, վերջինից կստանանք՝

$$R_1 \approx R + \frac{\vec{r}^2}{2R} - (\vec{r} \cdot \vec{S}_1) - \frac{(\vec{r} \cdot \vec{S}_1)^2}{2R}. \quad (5.26)$$

Մյուս կողմից, քանի որ r -ը գտնվում է xy հարթության մեջ և հավասար $\vec{r} = m_1 \vec{a} + m_2 \vec{b}$, ապա $(\vec{r} \cdot \vec{S}_1) = m_1 a \cos \theta = x \cos \theta$ կամ $(\vec{r} \cdot \vec{S}_1)^2 = x^2 \cos^2 \theta$ և $r^2 = x^2 + y^2$,

Այսպիսով, R_1 -ի համար կստանանք՝

$$R_1 \approx R + \frac{x^2}{2R} + \frac{y^2}{2R} - (\vec{r} \cdot \vec{S}_1) - \frac{x^2 \cos^2 \theta}{2R},$$

Տեղադրելով R_1 -ի արժեքը Δ -ի մեջ, կստանանք՝

$$\Delta = \frac{x^2 \sin^2 \theta}{2R} + \frac{y^2}{2R}, \quad (5.27)$$

Այս վերջինն ստանալիս նկատի ունեցանք, որ $(\vec{r} \cdot \vec{S}_0) = (\vec{r} \cdot \vec{S}_1)$ ՝ (5.27)-ի օգնությամբ Յ կետում ցրված և M կետը հասած ակերեն համար կստանանք՝

$$\frac{1}{R} f_a \exp \{ i(\omega t - kR) \} \exp \left\{ ik \left(\frac{x^2 \sin^2 \theta}{2R} + \frac{y^2}{2R} \right) \right\},$$

Ամբողջ հարթությունից դեպի M կետը ցրված ալիքի ճշգրիտ արտահայտությունը կստանանք, եթե կատարենք գումարում ըստ m_1 -ի և m_2 -ի ($x = m_1 a$, $y = m_2 b$).

$$A = \frac{1}{R} f_a \exp \{ i(\omega t - kR) \} \sum_{m_1} \exp \left\{ ik \frac{m_1^2 a^2 \sin^2 \theta}{2R} \right\} \times \\ \times \sum_{m_2} \exp \left\{ ik \frac{m_2^2 b^2}{2R} \right\},$$

Սակայն, քանի որ ստացված արտահայտության մեջ գումարման բազմապատկելիքը՝ m_1 -ը և m_2 -ը, մտնում են երկրորդ աստիճաններով, այդ գումարները վերջավոր ձևով հաշվել հնարավոր չեն, և ստիպված ենք դիմելու մոտավորությունների:

Եթե դիտարկվող հարթության միավոր մակերեսի վրա կա ու ատոմ, ապա $\int dx dy$ հարթության էլեմենտի վրա կգտնվի $\int dx dy$ ատոմ։ Յ կետի շրջակայքում վերցնենք մի $\int dx dy$ տիրությ և ընդունենք, որ այդ տիրությի բոլոր $\int dx dy$ ատոմների ցրած և M կետը հասած բոլոր ալիքները նույնն են՝ ունեն միևնույն ամպլիտուդը և փուլը։ Այդ դեպքում դրանց գումարը կգրվի այսպես՝

$$\frac{\pi}{R} f_a \exp\{i(\omega t - kR)\} \exp\left\{ik\left(\frac{x^2 \sin^2 \theta}{2R} + \frac{y^2}{2R}\right)\right\} dx dy,$$

Ամբողջ հարթությունից դեպի M կետը ցրված գումար-ալիքի համար կստանանք՝

$$\frac{\pi}{R} f_a \exp\{i(\omega t - kR)\} \int \int \exp\left\{ik\left(\frac{x^2 \sin^2 \theta}{2R} + \frac{y^2}{2R}\right)\right\} dx dy,$$

Այստեղ առաջանում է մի դժվարություն ևս. Ստացվել են ֆրե-նելի ինտեգրալների տիպի ինտեգրալներ՝ փոփոխականը եռանկյունաչափական ֆունկցիայի արգումենտում մտնում է երկրորդ աստիճանով։ Հայտնի է, որ այդ տիպի ինտեգրալները վերջավոր ձևով չեն ինտեգրվում, եթե ինտեգրման սահմանները վերջավոր են։ Սովորաբար պարզ արդյունքներ են ստացվում, եթե ինտեգրումները կատարվում են $-\infty - \infty$ -ից մինչև $+\infty$ ։ Այդ դեպքում

$$\begin{aligned} \int_{-\infty}^{\infty} \exp\left\{ik\frac{x^2 \sin^2 \theta}{2R}\right\} dx &= \sqrt{\frac{R \lambda}{2 \sin^2 \theta}} (1-i), \\ \int_{-\infty}^{\infty} \exp\left\{ik\frac{y^2}{2R}\right\} dy &= \sqrt{\frac{R \cdot \lambda}{2}} (1-i), \end{aligned} \quad (5.28)$$

Այսպիսով, մեկ հարթության կողմից դեպի դիտման կետը ցրված ալիքի ամպլիտուդի համար կստանանք՝

$$-iq = -i \frac{\pi \lambda}{\sin \theta} f_a,$$

Ուրեմն, (5.28)-ի ստացման ժամանակ կատարեցինք հետևյալ մոտավորությունները.

ա) ինտեգրման սահմանները դարձրինք անսահմանություններ, վերջինս սովորաբար արդարացվում է նրանով, որ անդրադարձմանը մասնակցում է միայն սկզբնակետի մի փոքրիկ շրջակայքը, և ինտեգրման տիրությը այդպես մեծացնելիս արդյունքը փոփոխություն չի կրում։

բ) Հարթության բոլոր ատոմների համար ամպլիտուդային անդամում վերցվում է միևնույն $1/R$ բազմապատկիշը: Դա նույնպես արդարացվում է նրանով, որ անդրադարձանը (դիտման կետում) մասնակցում են հարթության միայն մի փոքրիկ տիրույթի ատոմները, որոնց հեռավորությունները M կետից իրարից շատ չեն տարբերվում:

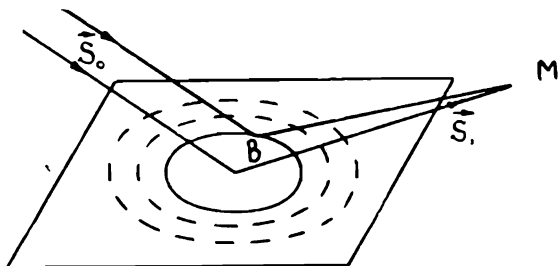
գ) ճշգրիտ տիրույթի ատոմների ցրած ալիքների փուլերը M կետում համարեցինք նույնը: Այդ բանը նույնպես հնարավոր է, քանի որ ճշգրիտ էլեմենտը շատ փոքր է, և նրա տարբեր ատոմների ցրած ու M կետը հասած ալիքների ճանապարհների տարբերությունը լրին է:

Սակայն առաջին և երկրորդ կետերում նշված մոտավորությունների կիրառելիության սահմանների մասին դեռ կիսունք այս գլուխ վերջում՝ կինեմատիկ տեսության կիրառելիության սահմանների հարցը քննարկելիս:

Այժմ շարունակենք մեզ հետաքրքրող հարցի բննարկումը: Ինչպես երևում է (5.28)-ից, հարթությունից անդրադարձած ալիքը հարթ է՝ ամպլիտուդը կախված չէ դիտման կետի R հեռավորությունից, բացի դրանից, այն կեղծ է՝ բազմապատկված է $i\pi/2$: Դա նշանակում է, որ հարթությունից անդրադարձած գումար-ալիքը փուլը սկզբնական ալիքի փուլից տարբերվում է $\pi/2\pi$ ($\exp \{-i\pi/2\} = -1$), ավելի ճիշտ՝ ետ է մնում $\pi/2\pi$:

II. ՀԱՐԹՈՒԹՅՈՒՆԻՑ ԱԽՏՐԱԴԱՐՁԱԾ ԱԼԻՔԻ ՍՄՊԼԻՏՈՒԴԻ ՀԱՇՎՈՒՄԸ

Նախ ցույց տանք, որ եթե հարթությունից անդրադարձած ալիքի ամպլիտուդը դիտման կետում հաշվում ենք N նկարում ցույց տրված սխեմայով և եթե հաշվումը կատարում ենք այդ հար-



Նկ. 76. Հարթությունից անդրադարձած ալիքի ամպլիտուդի հաշվումը Ֆրենելի դուիների եղանակով (առաջին գոտին ցույց է տրված հոծ գծով):

թությունը բաժանելով գոտիների, ապա առաջին գոտին կունենա էլիպսի ձև, իսկ հաջորդ գոտիները՝ էլիպսական գոտիների ձև:

Իրոք, ենթադրենք Ե կետը (նկ. 76) գտնվում է առաջին գոտու եզրին: Իսկ նշանակում է, որ սկզբնակետում և Ե կետում ցրված ու դիտման Մ կետը հասած ալիքների ճանապարհների տարրերությունը պետք է հավասար լինի $\lambda/2$ -ի, այսինքն՝

$$\frac{x^2 \sin^2 \theta}{2R} + \frac{y^2}{2R} = \frac{\lambda}{2},$$

որը կարելի է բերել հետևյալ տեսքի.

$$\frac{x^2}{a^2} + \frac{y^2}{b^2} = 1. \quad (5.29)$$

$$a = \frac{\sqrt{R\lambda}}{\sin \theta}, \quad b = \sqrt{R\lambda}; \quad (5.30)$$

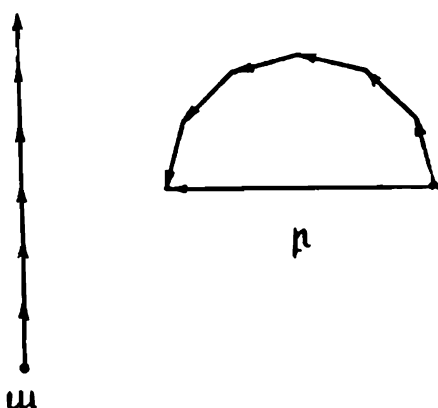
Ինչպես եղելում է (5.29)-ից և (5.30)-ից, առաջին գոտին իրենից ներկայացնում է էլիպս, որի՝ անկման հարթության մեջ գըտնվող կիսառանցքը (մեծ կիսառանցք) $1/\sin \theta$ անգամ մեծ է նրան ուղղահայաց հարթության մեջ գտնվող կիսառանցքից (փոքր կիսառանցք):

Ամբողջ հարթությունից անդրադարձած ալիքի ամպլիտուդը հաշվելու համար ենթադրենք, որ նրա վրա տեղավորվում են մեծ թվով գոտիներ, նկատի ունենալով հետևյալները՝

1. Հարթության ցրած գումար-ալիք ամպլիտուդը դիտման կետում հավասար է առաջին գոտու ցրած գումար-ալիքի ամպլիտուդի կեսին այդ կետում:

2. Հարթության ցրած գումար-ալիքի փուլը $\pi/2$ -ով ետ է մնում սկզբնական ալիքի փուլից:

3. Առաջին գոտու (էլիպսի) մակերեսը հավասար է ուստի՝ հետևաբար նրանում կգտնվեն $N_1 = \pi ab$ ատոմներ, որում π -ը ատոմների թիվն է հարթության միավոր մակերեսի վրա:



Նկ. 77. ա) Գումար-ամպլիտուդը փուլերի տարրերության բացակայության դեպքում բ) գումար-ամպլիտուդը, եթե փուլերի տարրերությունը առաջին գոտին ների միջն հավասար է π -ի

4. Եթե առաջին գոտում գտնվող բոլոր ատոմների ցրած ալիքները դիտման կետում ունենալին միևնույն փուլը, նրանց գումար-ամպլիտուդը կլիներ N_1A_a (տե՛ս նկ. 77ա), որտեղ A_a -ն ատոմի ցրած ալիքի ամպլիտուդն է: Բայց, քանի որ նրանց միջև փուլերի տարբերությունը փոփոխվում է 0-ից մինչև π, N_1A_a -ն կլինի կիսաշրջանի երկարությունը, իսկ առաջին գոտու կողմից ցրված և դիտման կետը հասած ալիքների A_1 գումարը՝ այդ շրջանի տրամագիծը (տես նկ. 77 բ): Ուստի, $\pi \cdot \frac{A_1}{2} = N_1A_a$, որտեղից՝

$$\frac{A_1}{N_1A_a} = \frac{2}{\pi}:$$

Ուրեմն, առաջին գոտու՝ դիտման կետն ուղարկած (ցրած) ալիքների ամպլիտուդների գումարը թվաբանական գումարից ստանալու համար վերջինը պետք է բազմապատկել $2/\pi$ -ով: Այսպիսով, առաջին գոտու ցրած ալիքի ամպլիտուդի կեսի համար կստանանք՝

$$-i \frac{1}{2} \cdot \frac{2}{\pi} \cdot \pi ab \cdot \frac{1}{R} f_a = -i \frac{n\lambda}{\sin\theta} f_a,$$

այսինքն՝ այն, ինչ ստացել էինք ինտեգրման միջոցով:

III. ՀԱՐԹՈՒԹՅՈՒՆՆԵՐԻ ՀԱՄԱԿԱՐԳԻՑ ԱՆԴՐԱԴԱՐՁԱՆ ԱՎԻՔԻ ԱՄՊԼԻՏՈՒԴԵՐ

Ամբողջ բյուրեղի՝ դեպի M կետը ցրած ալիքի ամպլիտուդը գտնելու համար պետք է բոլոր հարթություններից անդրադարձած ալիքների ամպլիտուդները գումարենք իրար՝ հաշվի առնելով նրանց միջև առաջացած ճանապարհների տարբերությունը: Եթե ճառագայթն ընկնում է ճիշտ Վոլֆ-Բրեգի պայմանին՝ բավարարող անկյան տակ, ապա հարեւան հարթություններից անդրադարձած ալիքների ճանապարհների տարբերությունը կլինի 2dsinθ, իսկ եթե այդ անկյունից ε-ով (փոքր անկյունով) շեղված է, ճանապարհների տարբերությունը կլինի՝

$$2d \sin(\theta + \varepsilon) = 2d \sin\theta \cos\varepsilon + 2d \sin\varepsilon \cos\theta \approx 2d \sin\theta + 2d\varepsilon \cos\theta,$$

Քանի որ θ-ն բավարարում է Վոլֆ-Բրեգի պայմանին, ուրեմն $2dsin\theta = \lambda$, որը կառաջացնի $n/2\pi$ փուլերի տարբերություն, ուստի այն եռանկյունաշափական ֆունկցիայի արգումենտում կարող ենք բաց թողնել:

Այսպիսով, եթե ճառագայթը հարթությունների վրա ընկնում է $\theta + \varepsilon$ անկյան տակ, հարեւան հարթություններից անդրադարձած ալիքների միջև փուլերի տարբերությունը կարող ենք համարել

Հավասար՝ $\varphi = K2de \times \cos\theta = \eta\varepsilon$, որտեղ $\eta = 2kd \sin\theta^{\circ}$ և գումար-ալիքի ամպլիտուդի համար կստանանք հետեւյալ արտահայտությունը.

$$A = -iq \sum_{n=0}^{N_1-1} \exp\{i\eta n\varepsilon\} = -iq \exp\left\{i\frac{N_1-1}{2}\eta\right\} \frac{\sin N_1 \frac{\eta\varepsilon}{2}}{\sin \frac{\eta\varepsilon}{2}},$$

Այստեղ N_1 -ը անդրադարձնող հարթությունների թիվն է: Համապատասխանաբար ինտենսիվության համար (ամպլիտուդի մոդուլի քառակուսու համար) կստանանք՝

$$|A|^2 = A \cdot A^* = |q|^2 \frac{\sin^2\left(N_1 \frac{\eta\varepsilon}{2}\right)}{\sin^2\left(\frac{\eta\varepsilon}{2}\right)}, \quad (5.31)$$

Ինտեգրալ ինտենսիվությունը գտնելու համար պետք է վերջին արտահայտությունն ինտեգրենք ըստ ε -ի՝ անդրադարձման ամբողջ անկյունային տիրուցի սահմաններում (տե՛ս նկ. 74):

Ինչպես երեսում է (5.31)-ից, հարթությունների համակարգից անդրադարձած ալիքի ամպլիտուդի արտահայտությունը նման է գծային ցանցից անդրադարձած ալիքի ամպլիտուդի արտահայտությանը՝ հանգույցներում նստած մոտիվների անդրադարձմանը ընդունակությունը փոխարինված է հարթությունների անդրադարձման ընդունակությամբ:

Քննարկվող այս դեպքում ընդունվում է, որ անդրադարձնող հարթությունները, ընկնող ալիքի ճակատը, հետևապես՝ անդրադարձող ալիքի ճակատը անսահման մեծ են, իսկ ինտենսիվությունները նրանց վրա ամենուրեք նույնն են: Այդ պատճառվ ինտեգրալ ինտենսիվությունը պետք է հաշվել որոշ վերջավոր մակերևությունը համար:

Նկատի ունենալով ասվածը և հիշելով, որ անդրադարձման գործակիցը այս դեպքում կլինի

$$R(\varepsilon) = |q|^2 \frac{\sin^2\left(N_1 \frac{\eta\varepsilon}{2}\right)}{\sin^2\left(\frac{\eta\varepsilon}{2}\right)}, \quad (5.32)$$

բյուրեղի ճոճման ժամանակ, երբ այն անցնում է անդրադարձման ամբողջ տիրույթով, ընդունիչով արձանագրված E էներգիան կլինի՝

$$E = I_0 S \int R(\varepsilon) dt = I_0 S \int R(\varepsilon) \frac{d\varepsilon}{\omega}, \quad (5.33)$$

որտեղ S -ը այն մակերևույթն է, որով հաշվում ենք անցած էներգիան:

ինտեգրալ ինտենսիվության համար (5.32) -ից և (5.33) -ից կստանանք՝

$$\rho = \frac{E\omega}{I_0} = |q|^2 S \int_{-\infty}^{\infty} \frac{\sin^2 \left(N_1 \frac{\eta\varepsilon}{2} \right)}{\sin^2 \left(\frac{\eta\varepsilon}{2} \right)} d\varepsilon = |q|^2 S \frac{N_1 2\pi}{\eta}$$

կամ, նկատի ունենալով նաև, որ $\eta = \frac{4\pi}{\lambda} q \cos\theta$, $v = \frac{N_1 S d}{\sin\theta}$ նույնական դիմուման է, որը էներգիա է ուղարկում դիմանական M կետը և վերջապես $n=Nd$, որտեղ N -ը ատոմների (բջիջների) թիվն է միավոր ծավալում, կստանանք՝

$$\rho = \frac{E\omega}{I_0} = \frac{N^2 \lambda^3}{\sin 2\theta} f_a^2 v, \quad (5.34)$$

վերջապես, եթե էլեկտրոնային միավորներից անցնենք էներգիայի սովորական միավորների և հաշվի առնենք բևեռացումը, կստանանք՝

$$\rho = \frac{E\omega}{I_0} = \frac{N^2 \lambda^3}{\sin 2\theta} f_a^2 \left(\frac{e^2}{mc^2} \right)^{1 + \frac{\cos^2 2\theta}{2}} v,$$

որը համընկնում է (5.23) -ին:

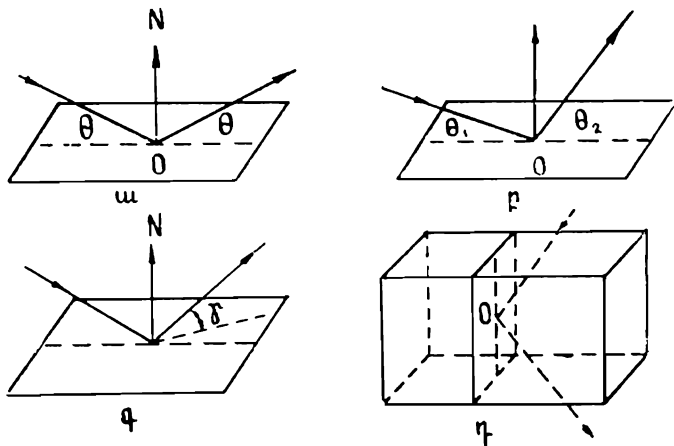
Այս եղանակի կիրառելիության սահմանների մասին նույնպես կխոսենք վերջում:

3. ԹԵՍՏԳԵՆՅԱՆ ՃԱՐԱԳԱՅԹՆԵՐԻ ԱՆԴՐԱՌԱՐՁՄԱՆ ԼԱՌԻԵՒ ԵՎ ԲՐԵԳԻ ԴԵՊՔԵՐԸ

Օպտիկայում լույսի անդրադարձում ասելով, սովորաբար, հասկանում ենք այն երեսույթը, երբ լույսն ընկնելով հղկված (հայելային) մակերևույթի վրա, անդրադարձում է անկման հարթության մեջ այն անկյան տակ, ինչ անկյան տակ ընկել էր:

Ունտգենյան ճառագայթների դեպքում անդրադարձումն ավելի ընդհանուր բնույթ ունի: Անդրադարձում կարող է կատարվել ինչպես անդրադարձման հարթության մեջ (նկ. 78 ա), այնպես էլ նըրանից դուրս (նկ. 78 գ). անդրադարձում կարող է կատարվել նաև

այն ժամանակ, երբ ունտգենյան ալիքն անցնում է անդրադարձիչ մյուս կողմը (նկ. 78 դ), Բացի դրանից, անդրադարձման ժամանակ անկման անկյունը կարող է հավասար լինել անդրադարձման անկյանը (նկ. 78 բ),



Նկ. 78. Անդրադարձման տարրեր դեպքեր

Այդ պատճառով մենք անդրադարձումները կբաժանենք երկու խմբի՝ հայելային և դիֆրակցիոն անդրադարձումների:

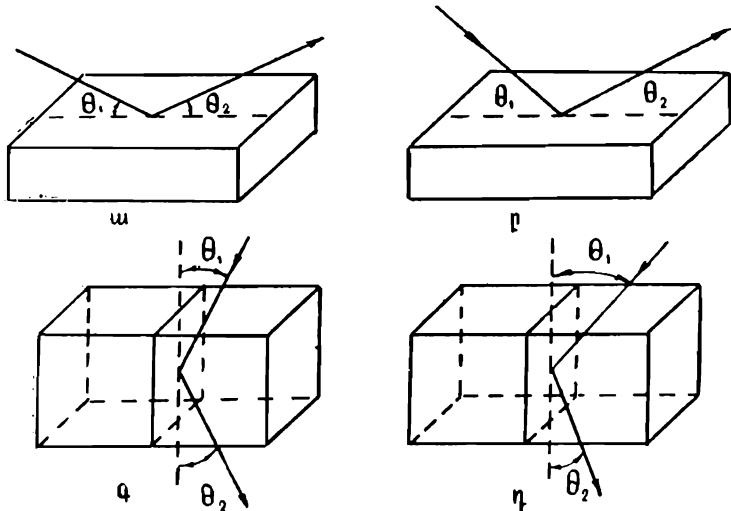
Հայելային անդրադարձումը կապ չունի բյուրեղի ներքին ըստ-րուկտուրայի հետ, բնորոշվում է բեկման ցուցչով և նկարագրվում ֆրենելի բանաձևերով (տե՛ս ունտգենյան ճառագայթների օպտիկա),

Դիֆրակցիոն անդրադարձումը անդրադարձում է ատոմական հարթություններից և, անկախ այդ հարթությունների բյուրեղի մակերեսով նկատմամբ ունեցած թեքությունից, նկարագրվում է վոլֆ-Բրեգի պայմանով:

Դիֆրակցիոն անդրադարձումներն իրենց հերթին կարելի է բաժանել երկու խմբի՝ Բրեգի անդրադարձման և Լառեի անդրադարձման:

Եթե ընկնող և անդրադարձող ճառագայթները գտնվում են բյուրեղի միևնույն կողմում, այդպիսի անդրադարձումը կկոչվի բրեգյան անդրադարձում (նկ. 79 ա և բ), իսկ եթե ընկնող և անդրադարձող ճառագայթները գտնվում են բյուրեղի տարբեր կողմերում, այդպիսի անդրադարձումը կկոչվի լառեի անդրադարձում (նկ. 79 գ, դ): Ինչպես լառեի, այնպես էլ Բրեգի անդրադարձումներն ունեն սիմետրիկ և ասիմետրիկ անդրադարձման դեպքեր:

№ 79 գ և դ նկարներում ցույց են տրված լառեի սիմետրիկ և ասիմետրիկ անդրադարձման դեպքերը, իսկ ա և բ նկարներում՝ Բրեգի սիմետրիկ և ասիմետրիկ անդրադարձման դեպքերը:



Նկ. 79. Բրեգի և լառեի սիմետրիկ և ասիմետրիկ անդրադարձման դեպքերը

Անդրադարձումը կոչվում է սիմետրիկ, եթե ընկնող և անդրադարձող ճառագայթները բյուրեղի մակերևույթի հետ կազմում են միևնույն անկյունը, իսկ եթե կազմում են տարբեր անկյուններ, անդրադարձումը կոչվի ասիմետրիկ: Բրեգի դեպքում անդրադարձումը կլինի սիմետրիկ, եթե անդրադարձնող հարթությունները գուգահեռ են բյուրեղի մակերևույթին, լառեի դեպքում՝ սիմետրիկ անդրադարձում կստացվի, եթե անդրադարձնող հարթությունները ուղղահայաց են բյուրեղի մակերևույթին:

Դժվար չէ համոզվել այն բանում, որ եթե անդրադարձնող հարթությունների և բյուրեղի մակերևույթի նորմալի միջև կազմված անկյունը և Վուֆ-Բրեգի թանգարակում են $\alpha + \theta > \frac{\pi}{2}$ պայմանին, կստացվի Բրեգի անդրադարձում, իսկ եթե դրանք բավարարում են $\alpha + \theta < \frac{\pi}{2}$ պայմանին, կստացվի լառեի անդրադարձում:

§ 8. ՌԵՆՏԳԵՆՅԱՆ ԺԱՌԱԳԱՅԹՆԵՐԻ ԿԼԱՆՄԱՆ ՀԱՇՎԱՌՈՒՄԸ ԻՆՏԵԳՐԱԼ ԻՆՏԵՆՍԻՎՈՒԹՅԱՆ ՄԵԶ

Տարբեր եղանակներով (կառւեի և թրեգի) ստացանք ինտեգրալ ինտենսիվության արտահայտությունը: Սակայն այդ արտածումների ժամանակ հաշվի չառանք կլանումը և ընդունեցինք, որ բյուրեղը ունտգենյան ճառագայթների համար միանգամայն թափանցիկ է, իսկ ուսալ բյուրեղները միջտ էլ կլանում են, և մենք պետք է ինտեգրալ ինտենսիվության համար ստանանք համապատասխան արտահայտություն՝ կլանման հաշվառմաբ:

Կինեմատիկ տեսության մեջ սովորաբար կլանման հաշվառումը կատարվում է մոզաիկ բյուրեղի համար: Բյուրեղը համարվում է մոզաիկ, եթե բաղկացած է փոքրիկ բյուրեղիկներից (բլոկներից), որոնք իրար նկատմամբ անկանոն ձևով շեղված են այնպես, որ ունտգենյան ճառագայթների համար համարվում են օպտիկապես անկախ՝ նրանց ցրած ճառագայթներն իրար նկատմամբ կոհերենտ չեն:

Տարբեր բյուրեղիկների ցրած ալիքներն իրար նկատմամբ կոհերենտ չեն համարվում միայն այն պատճառով, որ նրանք ցրում են տարբեր ուղղություններով՝ անկման տարբեր անկյունների տակ: Մինչեռ ինտերֆերենցիոն պատկեր՝ լուսավոր և մութ շերտեր, կարող են առաջացնել միայն նույն ուղղությամբ կատարվող տատանումները:

Այսպիսով, մոզաիկ բյուրեղների դեպքում ցրված ալիքների գումար ինտենսիվությունը հաշվելիս կարող ենք՝

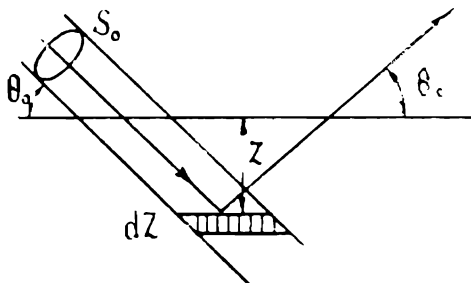
ա) գումարել առանձին բյուրեղիկների (բլոկների) անդրադարձ ալիքների ինտենսիվությունները,

բ) Ենթադրել, որ միևնույն բյուրեղիկի բոլոր կետերի համար սկզբնական և ցրված ալիքների թուլացումը նույնն է, իսկ բյուրեղիկից բյուրեղիկ այն փոխվում է: Կլանման հաշվառում կատարելիս նույնպես պետք է տարբերել կառւեի և թրեգի դեպքերը: Կառւեի դեպքում Վուֆ-թրեգի թ անկյունը ավելի փոքր է լինում, քան հարթությունների կազմած անկյունը մուտքի մակերեսութիւնը, իսկ թրեգի դեպքում տեղի ունի հակառակը:

1. ԿԼԱՆՄԱՆ ՀԱՇՎԱՌՈՒՄԸ ԲՐԵԳԻ ԴԵՊՔՈՒՄ

Քննարկենք ընդհանուր դեպք՝ թրեգի ասիմետրիկ անդրադարձումը, երբ անդրադարձնող հարթությունները մոզաիկ բյուրեղի մակերեսութիւնը հետ կազմում են ու միջին անկյուն (տե՛ս նկ. 80):

Ենթադրեք այդպիսի բյուրեղի վրա S_0 լայնական կտրվածքով և I_0 ինտենսիվությամբ ռենտգենյան ճառագայթների մի մոնոքրոմատիկ փունջ է ընկնում:



Նկ. 80. Կլանման հաշվառումը Բրեդի դեպքում

Բյուրեղի ներսում Z խորության վրա (Z -ը հաշված է մակերեսովին ուղղահայաց ուղղությամբ) dZ հաստության շերտում այդ փունջը կլուսավորի $dv = S_0 dz \cos \theta (\theta - \alpha)$ ծավալ, որի ցրումը դիտում ենք անկախ ծավալի մյուս տարրերից: Սկզբնական ալիքը մինչև այդ ծավալին հասնելը բյուրեղի մեջ կանցնի $I_1 = -Z \cos \theta (\theta - \alpha)$ ճանապարհ և կթուղանա ցըր { $-\mu l_1$ } անգամ, որտեղ μ -ն ռենտգենյան ճառագայթների թուղացման գծային գործակիցն է: Այդ ծավալի կողմից ցրված ճառագայթները բյուրեղում կանցնեն $I_2 = Z \cos \theta (\theta + \alpha)$ ճանապարհ և կթուղանա ցըր { $-\mu l_2$ } անգամ (տե՛ս նկ. 80):

Նկատի ունենալով ասվածը, ցն ծավալի՝ դեպի դիտման կետը ցրած ինտեգրալ ինտենսիվության համար կարող ենք գրել.

$$\frac{\omega dE}{I_0} = Q \exp \{-\mu(l_1 + l_2)\} dv, \quad (5.35)$$

Ամբողջ բյուրեղից անդրադարձած փնջի ինտեգրալ ինտենսիվությունը գտնելու համար պետք է (5.35)-ը ինտեգրել թիթեղի ամբողջ հաստությամբ՝

$$\frac{\omega E}{I_0} = Q \int_0^1 \exp \{-\mu(l_1 + l_2)\} dv, \quad (5.36)$$

որտեղ l_1 -ը բյուրեղային թիթեղի հաստությունն է:

Մասնավոր դեպքում, եթե անդրադարձող հարթությունները գուգահեռ են բյուրեղի անկման մակերեսութին ($\alpha = 0$), կունենանք

$I_1 = I_2 = Z \operatorname{cosec} \theta$ և նկատի մենալով v -ի արժեքը, (5.36) ինտեգրալի համար կստանանք՝

$$\frac{\omega E}{I_0} = \frac{s_0 \theta}{2\mu} \left\{ 1 - \exp \left\{ -2\mu \operatorname{cosec} \theta \right\} \right\}: \quad (5.37)$$

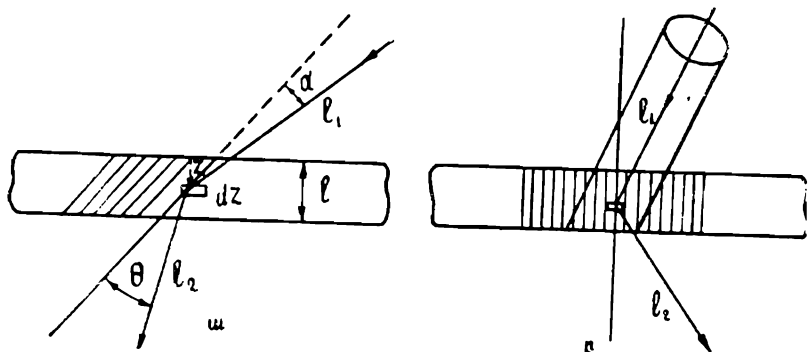
Եթե բյուրեղն այնքան հաստ է, որ սկզբնական ճառագայթը բյուրեղի մյուս կողմն անցնել չի կարողանում և կլանվում է, ապա գործնականորեն (5.36) ինտեգրումը կարող ենք կատարել 0-ից մինչև ∞ սահմաններում, ստանալով հաստ բյուրեղի համար՝

$$\frac{\omega E}{I_0} = \frac{S_0 Q}{2\mu} \text{կամ } \frac{\omega E}{I} = \frac{Q}{2\mu}, \quad (5.38)$$

որտեղ $I = I_0 S_0 - \rho$ ընկնող փնշի հզորությունն է:

2. ԿԼԱՆՄԱՆ ՀԱՇՎԱՌՈՒՄԸ ԼԱՌԻԵՒ ԴԵՊՔՈՒՄ

Լառեկ դեպքում ինչպես սկզբնական (ընկնող), այնպես էլ անդրադաժ ճառագայթներն անցնում են բյուրեղի մյուս կողմը։ Այս դեպքում նույնպես քննարկումը սկսենք ընդհանուր դեպքից՝ լառեկ ասիմետրիկ դեպքից։ Ենթադրենք անդրադարձնող հարթությունները բյուրեղի անկման մակերեսութիւնը հետ կազմում են $\alpha < 90^\circ$ անկյուն (տե՛ս նկ. 81 ա)։ Այդ դեպքում չխորության վրա մը հաստությամբ շերտից S_0 լայնական կտրվածքով սկզբնական փունջը կհատի (կլուսավորի) $dv = S_0 \operatorname{cosec}(\alpha - \theta) dz$ ծավալ (տե՛ս նկ. 81):



Նկ. 81 ա, բ. Կլանման հաշվառումը լառեկ դեպքում

Սկզբնական ճառագայթները մինչեւ այդ ծավալին հասնելը բյուրեղում կանցնեն $I_1 = Z \operatorname{cosec}(\alpha + \theta)$ ճառապարհ և կթուկանան $\exp\{-\mu|I_1|\}$ անգամ, իսկ ցրված (անդրադարձած) ճառագայթները մինչեւ բյուրեղից դուրս գալը կանցնեն $I_2 = (1-Z) \operatorname{cosec}(\alpha - \theta)$ ճառապարհ և կթուկանան $\exp\{-\mu|I_2|\}$ անգամ, որտեղ $1-\rho$ բյուրեղի հաստությունն է։

Այսպիսով, այդ ճն ծավալով ցրված ճառագայթների ինտեգրալ
ինտենսիվության համար կարող ենք գրել

$$\frac{\omega E}{l_0} = Q \exp \{ -\mu(l_1 + l_2) \} dv = Q \exp \{ -\mu [z \operatorname{cosec}(\alpha - \theta) + \\ + (1-z) \operatorname{cosec}(\alpha + \theta)] \cdot s_0 \operatorname{cosec}(\alpha - \theta) dz; \quad (5.39)$$

Մասնավոր դեպքում, երբ անդրադարձնող հարթություններն ուղղահայաց են մուտքի մակերևույթին (անկան մակերևույթին), այսինքն $l_1 = \frac{\pi}{2}$ (տես նկ. 81 բ), ճանապարհների գումարը կախված չի լինի z -ից և ճառագայթվող ծավալի բոլոր կետերից ցրված ճառագայթները նույն շափով կթուլանան և (5.39); արտահայտությունից լրիվ ինտեգրալ ինտենսիվության համար կստանանք.

$$\frac{\omega E}{l_0} = Q \operatorname{sec} \theta \exp \{ -\mu l \operatorname{sec} \theta \}; \quad (5.40)$$

Ինչպես երեսում է այս վերջին արտահայտությունից, բյուրեղի հաստությունը երկակի է մտնում ինտեգրալ ինտենսիվության մեջ: Մի կողմից ինտեգրալ ինտենսիվությունը համեմատական է հաստությանը ($1/\sqrt{2}$), իսկ մյուս կողմից այն մտնում է կլանումն արտահայտող բացասական ցուցչով էքսպոնենտի մեջ, որը հաստության մեծացմամբ արագորեն փոքրանում է: Մի կողմից հաստության մեծացմամբ ինտեգրալ ինտենսիվությունը մեծանում է ցրող ատոմների թվի մեծացման պատճառով, իսկ մյուս կողմից՝ հաստության մեծացմամբ ինտեգրալ ինտենսիվությունը փոքրանում է կլանող ատոմների թվի մեծացման պատճառով: Այսպիսով, ինտեգրալ ինտենսիվությունը փոքր կլինի շատ բարակ և շատ հաստ բյուրեղների դեպքում: Հետևաբար, տվյալ բյուրեղի, անդրագարձնող հարթությունների տվյալ ընտանիքի և տվյալ ալիքի երկարության դեպքում կարելի է գտնել բյուրեղի այնպիսի օպտիմալ հաստություն, որի դեպքում ինտեգրալ ինտենսիվությունը ընդունում է իր մաքսիմալ արժեքը:

Հաստության օպտիմալ արժեքը կարող ենք գտնել (5.40)-ի աջ մասի $l_1 = \frac{\pi}{2}$ կախված բազմապատկիշի մաքսիմալ արժեքը գտնելու միջոցով՝ $\frac{d}{dl} (\ln \exp \{ -\mu l \operatorname{sec} \theta \}) = 0$, որտեղից՝

$$l_1 = \frac{1}{\mu \operatorname{sec} \theta}, \quad (5.41)$$

Փորձնական հետազոտություններ կատարելիս, բյուրեղի շափերի ընտրության տեսակետից ամենաբարենպաստ պայմանը կլինի այն, որ նրա հաստությունը բավարարի (5.41) պայմանին:

Սովորաբար լառուելի ասիմետրիկ դեպքը քննարկման վե ենթարկվում, բայց գործնականում ասիմետրիկ դեպքն ավելի հաճախ է հանդիպում, քան` սիմետրիկը և, ինչպես այդ կտեսնենք կինեմատիկ տեսության կիրառելիության սահմաններին նվիրված գործում, բավական հետաքրքիր են այդ դեպքի քննարկումից ստացված արդյունքները:

§ 9. ԲՅՈՒՐԵԼԻ ԱՏՈՄՆԵՐԻ ԶԵՐՄԱՅԻՆ ՏԱՏԱՆՈՒՄՆԵՐԻ ԱԳՐԵՑՈՒԹՅՈՒՆԸ ՌԵՆՏԳԵՆԵԱՆ ԾԱՌԱԳԱՅԹՆԵՐԻ ՅՐՄԱՆ ԻՆՏԵՆՍԻՎՈՒԹՅԱՆ ՎՐԱ

Ունտգենյան ճառագայթների ցրման ինտենսիվությունն ուսումնասիրելիս մենք ենթադրել էինք, որ բյուրեղի ատոմներն անշարժ են: Սակայն, ինչպես հայտնի է, բյուրեղի տարածական ցանցի հանգույցներում գտնվող մոտիվները (ատոմները, մոլեկուլները) երբեք անշարժ չեն լինում և կատարում են ջերմային տատանումներ: Ատոմների ջերմային տատանումների հաճախությունը շատ փոքր է ունտգենյան ճառագայթների տատանումների հաճախությունների նկատմամբ, և այդ պատճառով ցրման ակնթարթային ինտենսիվությունը հաշվելիս մենք համարյա թե սխալ թույլ չենք տալիս, եթե ընդունում ենք, որ ցրող ատոմներն անշարժ են: Սակայն փորձով մենք շափում ենք ու թե ակնթարթային ինտենսիվությունը, այլ՝ տատանումների պարբերության նկատմամբ շատ մեծ ժամանակամիջոցի ընթացքում գումար ինտենսիվությունը, այսինքն՝ փաստորեն մենք գործ ենք ունենում միջին ինտենսիվության հետ: Իրոք, ցրված ալիքների ինտենսիվության լուսանկարչական եղանակով գրանցում կատարելիս մենք լուսակայում (էքսպոզիցիա) ենք կատարում տասնյակ ռոպեների ու նույնիսկ ժամերի ընթացքում և փաստորեն գրանցում այդքան ժամանակամիջոցում միջինացված ինտենսիվությունը: Իոնացման եղանակով գրանցում կատարելիս, չնայած շատ կարճ ժամանակամիջոցում ենք ինտենսիվությունը միջինացնում, բայց և այնպես այդ ժամանակամիջոցը նույնպես ջերմային տատանումների պարբերության համեմատությամբ շատ մեծ է: Այսպիսով, ինտենսիվության համար մեր ստացած բանաձևերը չեն արտահայտում իրական վիճակը: Դրանք վերաբերում են ակնթարթային ինտենսիվությանը այն դեպքում, երբ փորձով շափում ենք միջինացված ինտենսիվությունը:

Եթե սկզբնական ճառագայթը խիստ հարթ գուգահեռ է, ապա ցանցի ամեն մի խախտում կփոքրացնի ինտերֆերենցիոն մաք-սիմումների ինտենսիվությունները: Իրոք, եթե բյուրեղը գտնվում է մաքսիմալ անդրադարձման վիճակում, այսինքն՝ բավարարվում են լառւեի (5.6) պայմանները, ապա ցանցի բոլոր գագաթներում գրտ-նրվող ատոմների (մոլեկուլների) ցրած ալիքների փուլերը դիտման կետում համընկնում են (իրարից տարբերվում են ոչπ-ով, որտեղ $n=0, \pm 1, \pm 2, \pm \dots$) և, հետևաբար, իրար ուժեղացնում են: Խսկ եթե որևէ ատոմ շեղվել է իր դիրքից, նրա ցրած ալիքի փուլը այլևս մյուս ատոմների ցրած ալիքների փուլերի հետ չի համընկնի և նը-րանց ոչ թե կուժեղացնի, այլ՝ կթուլացնի: Զերմային տատանումները նույնպես ատոմների հավասարակշռության դիրքից պատահական շեղումներ կառաջացնեն և պետք է սպասել, որ այդ տա-տանումների հետևանքով կփոքրանան ինտերֆերենցիոն մաքսի-մումների ինտենսիվությունները:

Ունտգենյան ճառագայթների ցրման ինտենսիվության վրա շերմային տատանումների ազդեցության հարցը քննարկելիս, մենք պետք է տարբերենք երկու դեպք:

1. Ընդունենք, որ առանձին ատոմի շերմային տատանումներն անկախ են մյուս ատոմների շերմային տատանումներից (մեկի տատանումները շեն ազդում մյուսների տատանումների վրա): Հարցին այդպիսի մոտեցում է ունեցել Դեբայը իր առաջին աշխա-տության մեջ:

2. Ընդունենք, որ ցանցի ատոմների տատանումներն իրարից անկախ չեն՝ մի ատոմի տատանումները ազդում են մյուս ատոմ-ների տատանումների վրա: Այլ կերպ էլ լինել չի կարող, որովհե-տև նրանք իրար հետ կապված են փոխազդեցության այնպիսի ու-ժերով, որոնք կախված են ատոմների միջև եղած հեռավորություն-ներից: Հարցի այդպիսի դրվագքի հեղինակը նույնպես Դեբայն էր: Նա իր առաջին աշխատությունից հետո զերմային տատանումների ազդեցության հաշվառման հարցին ավելի ճշգրիտ մոտեցում ունեցավ, խնդիրը լուծեց՝ հաշվի առնելով ցանցի միասնական տատա-նումները:

Մենք այստեղ մանրամասն կբննարկենք առաջին դեպքը, իսկ երկրորդ դեպքի համար կբերենք արդյունքները, քանի որ գրքի նպատակը և ծավալը թույլ չեն տալիս այդ հարցը ևս մանրամասն քննարկելու:

Զերմային տատանումների ազդեցությունը հաշվի առնելու հա-մար իդեալական տարածական ցանցի գագաթները նկարագրենք

իրենց շառավիղ-վեկտորներով: Ենթադրենք ատոմների (մոլեկուլների) ընդհանուր թիվը N է, որոնց շառավիղ-վեկտորներն են՝ $\vec{r}_1, \vec{r}_2, \vec{r}_m, \vec{r}_n, \dots, \vec{r}_N$: Այս դեպքում ցրված ալիքի ամպլիտուդը էլեկտրոնի ցրած ալիքի ամպլիտուդներով կլինի:

$$A = \frac{1}{R} f_a \sum_{m=1}^N \exp \{-ik(\vec{r}_m \vec{S})\},$$

որտեղից իդեալական ցանցի ցրած ալիքի ինտենսիվության համար կստանանք՝

$$I_0 = |A|^2 = AA^* = \frac{|f_a|^2}{R^2} \sum_{m=1}^N \sum_{n=1}^N \exp \{-ik(\vec{r}_m - \vec{r}_n) \vec{S}\}, \quad (5.42)$$

Այժմ ենթադրենք, որ ցանցի հանգույցներում նստած ատոմները ենթարկվել են պատահական շեղումների՝ չերմային տատանումների պատճառով իդեալական կատարյալ ցանցի գագաթներին համապատասխանող իրենց տեղերից շեղվել են:

Դիցուք իդեալական ցանցի \vec{r}_m շառավիղ-վեկտորը ունեցող գագաթում գտնվող ատոմը իր դիրքից շեղվել է \vec{U}_m -ով, իսկ \vec{r}_n շառավիղ-վեկտորը ունեցող գագաթում նստածը՝ \vec{U}_n -ով: Այժմ ուրդ և ուրդ ատոմների շառավիղ-վեկտորները կլինեն՝ $\vec{r}_m + \vec{U}_m$ և $\vec{r}_n + \vec{U}_n$ և ինտենսիվության (5.42) արտահայտությունը կընդունի հետեւյալ տեսքը.

$$I = \frac{|f_a|^2}{R^2} \sum_{m=1}^N \sum_{n=1}^N \exp \{-ik(\vec{r}_m - \vec{r}_n) \vec{S}\} \exp \{-ik(\vec{U}_m - \vec{U}_n) \vec{S}\}: \quad (5.43)$$

(5.43) բանաձևը ճիշտ է ոչ միայն չերմային տատանումների, այլև այն բոլոր դեպքերում, երբ տեղի է ունեցել դեֆորմացիա, այսինքն՝ երբ ատոմները որևէ պատճառով շեղվել են իրենց իդեալական դիրքից: Իդեալական ցանցի համար \vec{r}_m -երի արտահայտությունը մեզ հայտնի է՝ $\vec{r}_m = a_1 m_1 + a_2 m_2 + a_3 m_3$, և եթե հայտնի լինեն նաև շեղումները՝ \vec{U}_m -երը, հեշտությամբ կհաշվենք ցրված ալիքների (5.43) ինտենսիվությունը: Սովորաբար, այդ շեղումները զանազան տեսակի դեֆորմացիաների դեպքում ճշգրիտ հայտնի չեն լինում, և (5.43)-ի հաշվումը բավականաշատ դժվար գործ է դառնում:

Ճերմային տատանումների դեպքում (5.43)-ը իրենից ներկայացնում է ակնթարթային ինտենսիվությունը և, հետևաբար, ժամանակի ընթացքում արագ փոփոխվում է: Փորձի տվյալների հետ համեմատելու համար պետք է (5.43)-ը միջինացնենք առանձին ատոմների տատանումների պարբերության համեմատությամբ բավականաշափ մեծ ժամանակամիջոցի համար: Ակնթարթային ինտենսիվության (5.43) արտահայտության մեջ $\exp \{-ik(\vec{r}_m - \vec{r}_n)\vec{S}\}$ բազմապատկիշը ժամանակից կախված չէ և միջինացման կարիք չունի, իսկ երկրորդ բազմապատկիշը՝ $\exp \{-ik(\vec{U}_m - \vec{U}_n)S\}$, ժամանակի ընթացքում արագ ու անկանոն փոփոխվում է և ինտենսիվության միջինացումը հանգում է այդ բազմապատկիշի միջինացմանը:

Կատարենք նշանակում՝

$$k(\vec{U}_m - \vec{U}_n)\vec{S} = P_{mn}: \quad (5.44)$$

Միջինացման ենթակա բազմապատկիշը կը նդունի հետեւյալ տեսքը.

$$\exp \{-ik(\vec{U}_m - \vec{U}_n)S\} = \exp \{-iP_{mn}\},$$

Այս բազմապատկիշի միջինացումը կարելի է փոխարինել P_{mn} մեծությունների միջինացմամբ՝ այսպես.

$$\exp \{-i\overline{P}_{mn}\} = 1 - i\overline{P}_{mn} - \frac{\overline{P}_{mn}^2}{2!} - \frac{i\overline{P}_{mn}^3}{3!} + .. \quad (5.45)$$

Քանի որ շեղումները պատահական բնույթ են կրում և միջինացման ժամանակի ընթացքում $\vec{U}_m - \vec{U}_n$ շեղումների սարբերությունը հավասար հավանականությամբ ընդունում է դրական ու բացասական արժեքներ, ապա P_{mn} մեծության կենտ աստիճանների միջին արժեքները հավասար կլինեն 0-ի և (5.45)-ու կը նդունի հետեւյալ տեսքը.

$$\exp \{-iP_{mn}\} = 1 - \frac{\overline{P}_{mn}^2}{2} - \frac{\overline{P}_{mn}^4}{24} - ... = \exp \left\{ -\frac{1}{2} \overline{P}_{mn}^2 \right\}. \quad (5.46)$$

Նկատի ունենալով վերջինը, միջին ինտենսիվության համար կը տանանք այս արտահայտությունը.

$$\bar{I} = \frac{|f_a|^2}{R} \sum_{m=1}^N \sum_{n=1}^N \exp \{-ik(\vec{r}_m - \vec{r}_n)\vec{S}\} \exp \left\{ -\frac{1}{2} \overline{P}_{mn}^2 \right\}: \quad (5.47)$$

Համաձայն նկ. 68-ի \vec{S} դիֆրակցիոն վեկտորն ունի անդրադարձնող հարթությունների նորմալի ուղղություն, և նրա չափը հավասար է 2sinθ: Ուստի (5.44)-ը մենք կարող ենք գրել հետևյալ ձևով. $P_{mn} = \frac{4\pi \sin \theta}{\lambda} (U_{ms} - U_{ns})$, որտեղ $U_{ms} \cdot \vec{e}$ և $U_{ns} \cdot \vec{e}$ շեղումներն են դիֆրակցիոն վեկտորի (հարթությունների նորմալի) ուղղությամբ:

Այժմ P_{mn} մեծության միջինացումը հանգում է $(U_{ms} - U_{ns})^2$ տարրերության քառակուսու միջինացմանը.

$$\overline{(U_{ms} - U_{ns})^2} = U_{ms}^2 + U_{ns}^2 - 2\overline{U_{ms} \cdot U_{ns}},$$

Մինչև այստեղ արված դատողություններն ընդհանուր են թե՝ իրարից անկախ և թե իրար հետ կապված տատանումների համար:

Այժմ, եթե առաջնորդվենք Դեբայի սկզբնական ևնթադրությամբ և ընդունենք, որ ցանցի հանգուցների մոտիվների տատանումներն իրարից անկախ են և նրանք բոլորն էլ ունեն միևնույն տատանման միջին էներգիան, կստանանք՝

$$\overline{U_{ms} U_{ns}} = 0; \quad \overline{U_{ms}^2} + \overline{U_{ns}^2} + 2\overline{U_{ms} \cdot U_{ns}} = 2\overline{U_s^2}, \quad (5.48)$$

այսինքն՝ միջին քառակուսային շեղումներն իրար հավասար են: Իսկ եթե հաշվի առնվի նրանց միջև զոյություն ունեցող գոխադարձ կապը, ապա այդ զույգի մոտիվների շեղումների արտադրյալի միջին արժեքը զրոյից տարբեր կլինի.

$$\overline{U_{ms} \cdot U_{ns}} \neq 0; \quad (5.49)$$

Հետագայի համար օգտակար է (5.47)-ը ձևափոխել այնպես, որ $m=n$ անդամներն այդ գումարից առանձնացվեն: Այդ գումարը պարունակում է ընդամենը N^2 գումարելի, որոնցից $m=n$ անդամների թիվը հավասար է $N/2$: Բոլոր $m=n$ անդամների համար

$$\exp \{-ik(\vec{r}_m - \vec{r}_n)\vec{S}\} \exp \left\{ -\frac{1}{2} \overline{P_{mn}^2} \right\} = 1.$$

Մենք (5.47)-ի փոխարեն կարող ենք գրել

$$\bar{I} = \frac{|\mathbf{f}_a|^2}{R^2} \left[N + \exp \{-2M\} \sum_{m=1}^N \sum_{n=1}^N \exp \{-ik(\vec{r}_m - \vec{r}_n)\vec{S}\} \right], \quad (5.50)$$

$$M = \frac{8\pi^2 \bar{u}_s^2 \sin^2 \theta}{\lambda^2}, \quad (5.51)$$

որը և կոչվում է Դեբայի, երբեմն էլ Դեբայ-Վալերի բազմապատկից:

(5.50)-ի մեջ գումարման նշանների վրա դրված գծիկները նշանակում են, որ այդ գումարից հանված են բոլոր $m=1$ անդամները: Նկատի ունենալով (5.42)-ը, (5.50)-ի երկրորդ գումարելին կարող ենք ձևափոխել հետևյալ կերպ:

$$\begin{aligned} \frac{|f_a|^2}{R^2} \exp \{-2M\} \sum_m \sum_n \exp \{ -ik(\vec{r}_m - \vec{r}_n)S \} = \\ = \exp \{-2M\} \left(I_0 - \frac{|f_a|^2 N}{R^2} \right), \end{aligned}$$

Վօրջապես, նկատի ունենալով այս վերջինը, (5.50)-ը կարող ենք գրել այսպես՝

$$I = \frac{|f_a|^2}{R^2} N [1 - \exp \{-2M\} + I_0 \exp \{-2M\}]: \quad (5.52)$$

Այսպիսով, զերմային անկախ տատանումների ազդեցությունը ցրման ինտենսիվության վրա հանգում է հետևյալին.

1. Ինչպես ցույց է տալիս $I_0 \exp \{-2M\}$ գումարելին, որտեղ I_0 -ն իդեալական ցանցի ինտերֆերենցիոն մաքսիմումների ինտենսիվությունն է, զերմային տատանումների հետևանքով, պարզագույն դատողություններով իդեալական ցանցի ինտերֆերենցիոն մաքսիմումների կարուկությունը չի փոքրանում, միայն նրանց ինտենսիվությունը փոքրանում է $\exp \{-2M\}$ անգամ: Քանի որ M -ի արտահայտության մեջ մտնում է $|f_a|^2$ -ի գումարը՝ անկյունը, այդ պատճառով բարձր կարգի մաքսիմումների (ցրման մեծ անկյունների) դեպքում ինտերֆերենցիոն մաքսիմումներն ավելի շատ են թուլանում:

2. Երկրորդ գումարելին, $\frac{|f_a|^2}{R^2} [1 - \exp \{-2M\}]$, բաղկացած է երկու բազմապատկիշներից՝ $|f_a|^2$ -ուց և $[1 - \exp \{-2M\}]$ -ից: Առողմային ֆակտորը՝ f_a -ն ցրման անկյան մեծացմամբ նվազում է (տե՛ս նկ. 58), իսկ $1 - \exp \{-2M\}$ բազմապատկիշը՝ հակառակը, ցրման անկյան մեծացմամբ մեծանում: Իրոք, θ -ի մեծացմամբ M -ը մեծանում է և $\exp \{-2M\}$ անդամը փոքրանում է, իսկ $[1 - \exp \{-2M\}]$ արտադրիչը մեծանում է: Հետևապես $\frac{|f_a|^2}{R^2} [1 - \exp \{-2M\}]$ գումարելին մաքսիմալ արժեքը կունենա միշտ անկյունների տիրույթում: Սակայն ինտերֆերենցիոն մաքսիմումների նման սուր մաքսիմում չի ստացվի, քանի որ f_a -ի և M -ի կախումը

անկյունից բավականաշափ թույլ է՝ այդ մեծությունները, կախված թ անկյունից, դանդաղ են փոփոխվում և $|f_a|^2[1 - \exp\{-2M\}]$ արտադրյալն ունի բավականաշափ բութ մաքսիմում:

Ուենտգենյան ճառագայթների ցրման ինտենսիվության վրա չերմային տատանումների ազդեցության ավելի ճշգրիտ հաշվառքը, որի դեպքում հաշվի է առնվում առանձին մոտիվների տատանումների միջև գոյություն ունեցող փոխադարձ կապը, հանգեցնում է հետեւյալին.

1. պարզագույն դատողություններով ստացված հիմնական արդյունքը, այն, որ ինտերֆերենցիոն գլխավոր մաքսիմումների ինտենսիվությունները չերմային տատանումների հետևանքով փոքրանում են $\exp\{-2M\}$ անգամ, պահպանվում է և այս դեպքում:

2. Առաջանում են նոր, ավելի թույլ և ավելի լղողված ինտերֆերենցիոն մաքսիմումներ, որոնք իրենց դիրքով համընկնում են գլխավոր մաքսիմումներին, սակայն իրենց անկյունային լայնություններով շատ ավելի մեծ են, շան գլխավոր մաքսիմումները: Այդ մաքսիմումները կոչվում են չերմային մաքսիմումներ:

Չերմաստիճանի բարձրացմաք գլխավոր մաքսիմումների ինտենսիվությունները ընկնում են, իսկ չերմային մաքսիմումներինը՝ բարձրանում: Իրոք, M բազմապատկիշի (5.51) արտահայտության մեջ մտնում է $\overline{\cup_s^2}$ չերմային տատանումների միջին բառակուային շեղումը, որը ֆունկցիա է բյուրեղի չերմաստիճանից: Չերմաստիճանի մեծացմաքը մեծանում է նաև U_s -ը և փոքրանում $\exp\{-2M\}$ բազմապատկիշը:

ՌԵՍՎԵՏԱՆ ՃԱՌԱԳԱՅԹՆԵՐԻ ԴԻՍՊԵՐՍԻԱՅԻ ՏԵՍՈՒԹՅՈՒՆԸ

Ժամանակակից հասկացողությամբ դիսպերսիայի տեսությունը ասելով նեղ իմաստով հասկացվում է բեկման ցուցի ալիքի երկարությունից ունեցած կախումը բացատրող տեսությունը։ 'Դիսպերսիայի տեսությանը երբեմն ավելի լայն բնույթ է վերագրվում՝ ավելի ընդհանուր տեսություն, որը բացատրում է ոչ միայն բեկման ցուցի, այլև օպտիկական այլ մեծությունների կախումը ալիքի երկարությունից։'

Այսուղ մենք շարադրելու ենք դիսպերսիայի տեսությունը նեղ իմաստով՝ բեկման ցուցի կախումը ալիքի երկարությունից։

§ 1. ԲԵԿՄԱՆ ՑՈՒՑՁԻ ՀԱՇՎՈՒՄԸ

1. ԲԵԿՄԱՆ ՑՈՒՑՁԻ ՀԱՇՎՈՒՄԸ ԴԻԷԼԵԿՏՐԻԿ ՀԱՍՏԱՏՈՒՆԻ ՄԻՋՈՑՈՎ

Միջավայրի բեկման ցուցիչը որոշվում է դատարկության մեջ և այդ միջավայրում ալիքի ունեցած փուլային արագությունների հարաբերությամբ։

$$n = \frac{c_0}{c} = \sqrt{\epsilon\mu}, \quad (6.1)$$

որտեղ c_0 և c -ն էլեկտրամագնիսական ալիքի փուլային արագություններն են դատարկության մեջ և միջավայրում, ϵ -ը և μ -ն միջավայրի դիէլեկտրիկ հաստատումն ու մագնիսական թափանցելությունն են։

Ալիքի մեջ հաճախությունների դեպքում մագնիսական թա-

փանցելիությունը համարյա միշտ կարելի է ընդունել հավասար մեկի ($\mu \approx 1$) և (6.1) բանաձևը գրել հետևյալ տեսքով՝

$$\frac{n}{c} = \frac{c_0}{c} = \sqrt{-\epsilon}; \quad (6.2)$$

Բեկման ցուցչի կախումը ալիքի երկարությունից (հաճախությունից) գտնելու համար պետք է գտնել դիէկտրիկ հաստատունի կախումը հաճախությունից:

Միջավայրով անցնող (միջավայրի մեջ մտնող) էլեկտրամագնիսական ալիքի ազդեցության տակ միջավայրը բեռուանում է և ինդուկցիայի վեկտորն ընդունում է հետևյալ արժեքը՝

$$\vec{D} = \vec{\epsilon} \vec{E} = \vec{E} + 4\pi \vec{P}, \text{ որտեղից՝}$$

$$\epsilon = 1 + \frac{4\pi P}{E} = 1 + \frac{4\pi NP}{E} = 1 + \frac{4\pi N \epsilon r}{E}, \quad (6.3)$$

որտեղ $P = Np$ միավոր ծավալի բեռուացումն է, p -ն՝ ընկնող ալիքի էլեկտրական դաշտի ազդեցության տակ առաջացած դիպոլի մոմենտը (էլեկտրոնի լիցքի և դաշտի ազդեցության տակ հավասարակության դիրքից նրա կրած շեղման արտադրյալն է՝ $p = \epsilon r$), N -ը միավոր ծավալում էլեկտրոնների թիվն է:

Այսպիսով, դիէլեկտրիկ հաստատունի (բեկման ցուցչի) որոշումը հանգում է ալիքի դաշտի ազդեցության տակ էլեկտրոնի կրած շեղման որոշմանը:

Էլեկտրոնի շարժումը արտաքին էլեկտրական դաշտի (ալիքի դաշտի) ազդեցության տակ մենք արդեն քննարկել ենք (գլուխ III, § 2), շեղման համար ստանալով հետևյալ արտահայտությունը.

$$r = \frac{eE}{m[(\omega_0^2 - \omega^2) - i\omega^2 g]},$$

Այս վերջինից և (6.3)-ից դիէլեկտրիկ հաստատունի համար կստանանք՝

$$\epsilon = 1 + \frac{4\pi e^2 N}{m[(\omega_0^2 - \omega^2) - i\omega^2 g]}, \quad (6.4)$$

Որպեսզի նկատի ունենանք, որ ատոմի մեջ տարբեր հաճախություններով էլեկտրոններ կան (K, L, M և այլ մակարդակներին համապատասխանող), (6.4) հավասարումը ներկայացնենք հետևյալ կերպ՝

$$\epsilon_q = 1 + \frac{4\pi e^2 N_q}{m[(\omega_q^2 - \omega^2) - i\omega^2 g]}, \quad (6.5)$$

որտեղ ε_q -ն դիէլեկտրիկ հաստատումի այն մասն է, որը պայմանավորված է զ տիպի էլեկտրոններով, N_q -ն՝ զ տիպի էլեկտրոնների թիվն է միավոր ծավալում, ω_q -ն՝ զ տիպի էլեկտրոնների սեփական հաճախությունը:

Լրիվ դիէլեկտրիկ հաստատում ստանալու համար պետք է (6.5)-ի ազ մասի երկրորդ անդամից գումար վերցնել ըստ բոլոր տիպի էլեկտրոնների՝

$$\varepsilon = 1 + \frac{4\pi e^2}{m} \sum_q \frac{N_q}{(\omega_q^2 - \omega^2) - i\omega^3 g}, \quad (6.6),$$

Ունտգենյան ճառագայթների հաճախությունը սովորաբար շատ մեծ է էլեկտրոնների սեփական հաճախությունից, այդ պատճառով դիէլեկտրիկ հաստատումը, ինչպես և բեկման ցուցիչը շատ քիչ էն տարբերվում մեկից՝ (6.5)-ի և (6.6)-ի ազ մասերի երկրորդ գումարելիները մեկի նկատմամբ շատ փոքր են: Նկատի ունենալով այդ հանգամանքով, (6.2)-ից, (6.5)-ից և (6.6)-ից կստանանք՝

$$n_q = 1 + \frac{2\pi e^2 N_q}{m[(\omega_q^2 - \omega^2) - i\omega^3 g]}, \quad (6.7)$$

$$n = 1 + \frac{2\pi e^2}{m} \sum_q \frac{N_q}{(\omega_q^2 - \omega^2) - i\omega^3 g}, \quad (6.8)$$

Ստացված արտահայտությունների մեջ առանձնացնելով իրական և կեղծ մասերը, կստանանք՝

$$n_q = 1 - \delta_q - i\beta_q, \quad (6.9)$$

$$n = 1 - \delta - i\beta, \quad (6.10)$$

$$\text{որտեղ } \delta = \sum_q \delta_q, \quad \beta = \sum_q \beta_q, \quad (6.11)$$

$$\delta_q = - \frac{2\pi e^2 N_q (\omega_q^2 - \omega^2)}{m[(\omega_q^2 - \omega^2)^2 + \omega^6 g^2]}, \quad (6.12)$$

$$\beta_q = \frac{2\pi e^2 N_q \omega^3 g}{m[(\omega_q^2 - \omega^2)^2 + \omega^6 g^2]}: \quad (6.13)$$

n_q -ն կոչվում է մասնակի բեկման ցուցիչ, δ_q -ն կոչվում է մասնակի բեկման ցուցիչ միավոր դեկրեմենտ, իսկ δ -ն՝ բեկման ցուցչի միավոր դեկրեմենտ:

Ինչպես երևում է (6.8) և (6.10) բանաձեւերից, ընդհանուր դեպքում բեկման ցուցիչը կոմպլեքս մեծություն է: Կարելի է ցուցյալ, որ նրա իրական մասը՝ $(1 - \delta)$ -ն, կատարում է սովորական

բեկման ցուցչի դեր՝ հավասար է իրական փուլային արագությունների հարաբերությանը, իսկ նրա կեղծ մասով՝ $\beta - \nu$, պայմանափորված է կլանումը:

Եթե բեկման ցուցիչը կոմպլեքս է, կոմպլեքս կլինի նաև փուլային արագությունը՝ $C = \frac{C_0}{\sqrt{\epsilon}} = \frac{C_0}{n}$, որտեղից փուլային արագության հակադարձ մեծության համար կստանանք՝

$$\frac{1}{C} = \frac{n}{C_0} = \frac{1}{C_0} (1 - \delta - i\beta), \quad (6.14)$$

օգտվելով ալիքի $A = A_0 \exp \left\{ i\omega \left(t - \frac{r}{c} \right) \right\}$ հավասարումից, և նկատի ունենալով (6.14-ը), վերջինս կարող ենք գրել հետևյալ տեսքով.

$$A = A_0 \exp \left\{ i\omega \left[t - \frac{(1-\delta)r}{C_0} \right] \right\} \exp \left\{ -\frac{\omega\beta}{C_0} r \right\}, \quad (6.15)$$

Որտեղից ալիքի ամպլիտուդի և ինտենսիվության համար կստանանք՝ $A_0 \exp \left\{ -\frac{\omega\beta}{C_0} r \right\}$, $I_0 \exp \left\{ -\frac{2\omega\beta}{C_0} r \right\}$,

ինչպես երևում է ինտենսիվության արտահայտությունից, ունտգենյան ճառագայթների կլանման գործակիցը բեկման ցուցչի կեղծ մասով արտահայտվում է այսպես.

$$\mu = \frac{2\omega\beta}{C_0} = \frac{4\pi}{\lambda} \beta \text{ կամ } \beta = \frac{\lambda}{4\pi} \mu, \quad (6.16)$$

Վերջին արտահայտությունները մասնակի բեկման ցուցչի և կլանման գործակիցի համար կգրվեն հետևյալ կերպ.

$$\mu_q = \frac{4\pi}{\lambda_q} \beta_q, \quad \beta_q = \frac{\lambda_q}{4\pi} \mu_q, \quad (6.17)$$

որտեղ μ_q -ն զ տիպի էլեկտրոններով պայմանավորված կլանումն է: (6.15)-ից երևում է նաև, որ կոմպլեքս բեկման ցուցչի իրական մասը՝ $(1-\delta)$ -ն, կատարում է սովորական բեկման ցուցչի դեր:

Եթե ունտգենյան ալիքի շրջանային ա հաճախությունը այնքան էլ մոտ չէ էլեկտրոնի ω_q շրջանային հաճախությանը, ապա (6.12)-ի մեջ $\omega^6 g^2$ անդամը կարելի է $(\omega_q^2 - \omega^2)^2$ -ի նկատմամբ արհամարհել:

Իրոք, օրինակ՝ ապակե պրիզմայի մեջ էլեկտրոնների ամենամեծ սեփական հաճախությունը կլինի կլանման և եզրի հաճա-

խությունը, որին համապատասխանող ալիքի երկարությունը $\pi \cdot 10^{-8}$ սմ կարգի է, և եթե ընկնող ռենտգենյան ալիքի երկարությունը լինի $2\pi \cdot 10^{-9}$ սմ կարգի, ապա վերոհիշյալ մեծությունները կլինեն հետևյալ կարգի.

$$\begin{aligned} m\omega^6 g^2 &\sim 2,3 \cdot 10^6, \\ m(\omega_q^2 - \omega^2) &\sim 6,1 \cdot 10^{23}, \end{aligned} \quad (6.18)$$

Այդ մեծությունները գնահատելիս մենք օգտվեցինք նաև IV գլխի § 2-ի (4.39) բանաձեկից:

Այսպիսով, նկատի ունենալով (6.18)-ը, մենք կարող ենք արհամարժել կլանումը և (6.11) ու (6.12) բանաձեկը բերել հետևյալ տեսքի.

$$\delta_q = \frac{2\pi e^2 N_q}{m[\omega^2 - \omega_q^2]}, \quad (6.19)$$

$$\delta = \sum_q \delta_q = \frac{2\pi e^2}{m} \sum_q \frac{N_q}{\omega^2 - \omega_q^2}, \quad (6.20)$$

Մասնավոր դեպքում, եթե ռենտգենյան ալիքի ու հաճախությունը շատ մեծ է բոլոր սեփական ω_q հաճախություններից ($\omega \gg \omega_q$), կունենանք՝

$$\delta = \frac{2\pi e^2 N}{m\omega^2} = \frac{\lambda^2 e^2 N}{2\pi mc^2}, \quad (6.21)$$

որտեղ N -ը էլեկտրոնների թիվն է միավոր ծավալում: Գնահատելով (6.21) արտահայտությունը, կարող ենք համոզվել, որ այն $10^{-6} - 10^{-5}$ կարգի մեծություն է, այսինքն՝ ռենտգենյան ճառագայթների բեկման ցուցիչը փոքր է մեկից, բայց շատ մոտ է մեկն:

2. ԲԵԿՄԱՆ ՑՈՒՑՁԻ ՈՐՈՇՈՒՄԸ ՍԿՃԲՆԱԿԱՆ ԵՎ ՆՐԱ ՈՒՂՂՈՒԹՅԱՄՔ ՑՐՎԱԾ ԱԼԻՋՆԵՐԻ ՓՈԽԱԶԴԴԵՑՈՒԹՅԱՆ ՄԻՋՈՑՈՎ

Նախորդ պարագրաֆում բեկման ցուցիչը որոշեցինք դիէլեկտրիկ հաստատությունի միջոցով՝ որոշելով միջավայրում տատանվող ռենտգենյան ալիքի ազդեցության տակ առաջացած բևեռացումը:

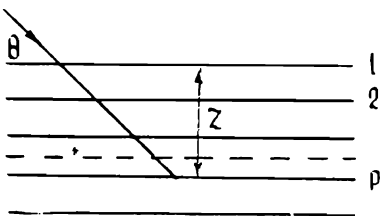
Սակայն այդ հարցին կարելի է ունենալ և այլ մոտեցում: Կարելի է ընդունել, որ բեկումն արդյունք է սկզբնական ալիքի և նրա ուղղությամբ ցրված ալիքի փոխազդեցության: Սկզբնական և նրա ուղղությամբ ցրված ալիքների դումարման հետևանքով առաջա-

նում է փուլերի լրացուցիչ փոփոխություն, և սկզբնական ալիքի ռւդղությամբ տարածված գումար-ալիքը փոխում է իր ուղղությունն ու արագությունը:

Իրոք, ենթադրենք հարթ զուգահեռ ռենտգենյան ալիքը թ սահքի անկյան տակ ընկել է բյուրեղի վրա և մտել է նրա մեջ և խորությամբ, կտրելով թ թվով ատոմական հարթություն (տե՛ս նկ. 82):

Մեկ հարթությունից անդրադարձած ալիքի ամպլիտուդի համար ստացել ենք հետևյալ արտահայտությունները (տե՛ս զլուխ IV, § 6).

$$\begin{aligned} -iq &= i \frac{n\lambda}{\sin \theta} f_a(2\theta) \frac{e^2}{mc^2}, \\ -iq_0 &= i \frac{n\lambda}{\sin \theta} f_a(0) \frac{e^2}{mc^2}, \end{aligned} \quad (6.22)$$



Նկ. 82. Ատոմական հարթություններից անցնելու հետևանքով առաջա-

ցած փուլերի թռիչքը

Այսինքն, եթե սկզբնական ալիքի ամպլիտուդը հավասար է մեկի, ապա $-iq = n \frac{\lambda}{\sin \theta}$ ալիքի 2θ ուղղությամբ ցրված ալիքի ամպլիտուդը, իսկ $-iq_0 = n \frac{\lambda}{\sin \theta}$ սկզբնական ալիքի ուղղությամբ ցրված ալիքի ամպլիտուդը: $f_a(2\theta) = f_a(0)$ ատոմի ցրման ֆունկցիաներն են համապատասխանաբար 2θ ուղղությամբ և սկզբնական ալիքի ուղղությամբ: Այսպիսով, սկզբնական ալիքի միավոր ամպլիտուդի հետ գումարվելով նույն ուղղությամբ ցրված ալիքի ամպլիտուդը, բյուրեղի մեջ գումար-ալիքի ամպլիտուդի համար կստացվի՝ $1 - iq_0 \approx \approx \exp(-iq_0)$. Այսինքն, մեկ ատոմական հարթությունից անցնելով՝ սկզբնական ալիքի ամպլիտուդն իր փուլը փոխում է q_0 -ով:

Իսկ եթե ալիքը մտել է բյուրեղի մեջ և անցել թ հատ հարթությունների միջով, նրա փուլը կփոխվի թօ-ով: Մյուս կողմից՝ այդ թ թվով հարթությունների միջով անցնելով, ալիքը անցած կլինի թօ/sinθ տարածություն, որտեղ $d = \frac{2\pi}{\lambda} \sin \theta$ միջնարթությունային հեռավորությունն է: Ուրեմն, փուլը փոփոխություն է կրում ճանապարհ անցնելու և ատոմական հարթությունների միջով անցնելու պատճառով: Փուլի գումար-փոփոխությունը կլինի:

$$\frac{2\pi}{\lambda} \cdot \frac{pd}{\sin \theta} + pd_0: \quad (6.23)$$

Նկատի ունենալով (6.22)-ը և այն, որ այդքանաձևերի մեջ $n=Nd$, կարող ենք (6.23)-ին տալ հետևյալ տեսքը.

$$\text{որտեղ } k = \frac{2\pi}{\lambda}, \quad x = \frac{pd}{\sin\theta}, \quad \delta_1 = \frac{\lambda^2 e^2 N}{2\pi m c^2} f_a(0), \quad (6.24)$$

(N -ը ատոմների թիվն է միավոր ծավալում): Ինչպես երևում է ըստացվածից, $kx(1-\delta_1)$ փուլային անդամի $(1-\delta_1)$ բազմապատկիշը ունտգենյան ճառագայթների բեկման ցուցիչն է՝

$$n=1-\delta_1: \quad (6.25)$$

Բեկման ցուցչի (6.24) և (6.25) արտահայտություններից երեք վում է, որ եթե $f_a(0)$ ատոմային ցրման ֆունկցիան իրական է, ապա իրական կլինի նաև բեկման ցուցիչը, և եթե նկատի ունենանք, որ $f_a(0)$ -ն հավասար է ատոմի չելեկտրոնների թիվն, իսկ $Nf_a(0)$ -ն էլեկտրոնների թիվն է միավոր ծավալում, ապա δ_1 -ի (6.24) արտահայտությունը կամընկնի δ_1 -ի (6.21) արտահայտությանը: Իսկ եթե $f_a(0)$ -ն կոմպլեքս է, այսինքն՝ գոյություն ունի կլանում, ապա օգտվելով III գլխի § 2-ի (6.25) բանաձևից, կարող ենք գրել՝

$$f_a(0) = \sum_q \frac{n_q \omega^2}{\omega^2 - \omega_q^2 + i\omega^2 g} = f'_a(0) + i f''_a(0), \quad \text{որտեղ } f'_a(0) = \\ = \sum_q \frac{n_q \omega^2 (\omega^2 - \omega_q^2)}{(\omega^2 - \omega_q^2)^2 + \omega^2 g^2}, \quad f''_a(0) = \sum_q \frac{n_q \omega^2 \omega_q}{(\omega^2 - \omega_q^2)^2 + \omega^2 g^2},$$

η_{1T} գեպօռմ արդեն բեկման ցուցիչը կդառնա կոմպլեքս, $n=1-\delta-\beta$, որտեղ՝

$$\delta = \frac{\lambda^2 e^2}{2\pi m c^2} \sum_q \frac{N_q \omega^2 (\omega^2 - \omega_q^2)}{(\omega^2 - \omega_q^2)^2 + \omega^2 g^2}, \quad (6.26)$$

$$\beta = \frac{\lambda^2 e^2}{2\pi c^2 m} \sum_q \frac{N_q \omega^2 \omega_q^3}{(\omega^2 - \omega_q^2)^2 + \omega^2 g^2}, \quad (6.27)$$

$N_q=N \cdot n_q$ -ն միավոր ծավալում զ տիպի էլեկտրոնների թիվն է: Դժվար չէ համոզվել, որ (6.26)-ը և (6.27)-ը համընկնում են (6.12)-ի և (6.13)-ի հետ համապատասխանաբար: Դրանում համոզվելու համար բավական է համարիչների ω^2 արտադրիչները փոխարինել $4\pi^2/\Gamma^2$ -ով, որտեղ Γ -ն պարբերությունն է:

§ 2. ՎՈՒԼՖ-ԲՐԵԳԻ ԲԱՆԱՁԵՎԻ ՃՇԳՐՏՈՒՄԸ ԲԵԿՄԱՆ ՑՈՒՑՑԻ ՄԵԿԻՑ ՏԱՐԲԵՐ ԼԻՆԵԼՈՒ ՀԱՇՎԱՌՄԱՄՐ

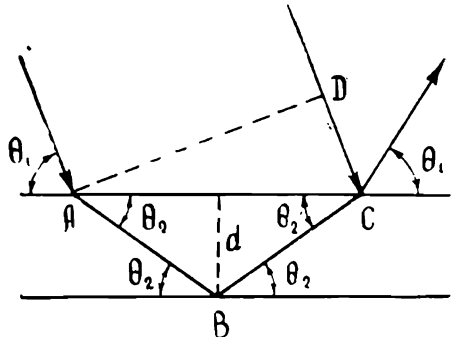
Վուլֆ-Բրեգի շժմանութեանը = ոլ բանաձևը արտածելիս էնթադրվում էր, որ ոենտգենյան ճառագայթների բեկման ցուցիչը հավասար է մեկի, այսինքն՝ ոենտգենյան ճառագայթները միջավայր մտնելիս չեն բեկվում: Քանի որ ոենտգենյան ճառագայթների բեկման ցուցիչը մեկից շատ քիչ է տարբերվում, սովորաբար, առանց մեծ սխալ գործելու կարելի է ընդունել, որ այն հավասար է մեկի: Սակայն, եթե կարիք է զգացվում անդրադարձման ուղղությունը որոշել մեծ ճշտությամբ, անհրաժեշտ է հաշվի առնել բեկման ցուցչի՝ մեկից տարբեր լինելը:

Վուլֆ-Բրեգի բանաձևի ճշգրտումը կարելի է կատարել երկու տարբեր մուտեցմամբ՝ բեկման հաշվառմամբ և առաջնային ու նրա ուղղությամբ ցրված ալիքների փոխազդեցության հետևանքով՝ առաջացած փուլերի տարբերության հաշվառմամբ: Մենք այդ երկու դեպքն էլ կքննարկենք այստեղ:

1. ՎՈՒԼՖ-ԲՐԵԳԻ ԲԱՆԱՁԵՎԻ ՃՇԳՐՏՈՒՄԸ ԲԵԿՄԱՆ ՀԱՇՎԱՌՄԱՄՐ

Ենթադրենք հարթ զուգահեռ ոենտգենյան ալիքը θ_1 սահքի անկյան տակ ընկնում է բյուրեղի վրա և մտնելով բյուրեղի մեջ բեկվում է: Քանի որ ոենտգենյան ճառագայթների բեկման ցուցիչը մեկից փոքր է, ուստի բեկվելիս նրանք հեռանում են նորմալից, և անկման սահքի անկյունը մեծ է լինում բեկման սահքի անկյունից ($\theta_1 > \theta_2$):

Առաջին և երկրորդ հարթություններից անդրադարձած ճառագայթների (I և II ճառագայթներ) միջև ճանապարհների տարբերությունը՝ \triangle -ն, կլինի



Նկ. 83. Վուլֆ-Բրեգի բանաձևի ճշգրտումը բեկման հաշվառմամբ

$$\Delta = n(AB + BC) - DC = n2AB - DC,$$

որտեղ n -ը միջավայրի բեկման ցուցիչն է. (տե՛ս նկ. 83):

Գծագրից երևում է, որ $DC=AC \cdot \cos\theta_1 = 2d\cos\theta_1 \operatorname{ctg}\theta_2$, իսկ
 $AB=\frac{d}{\sin\theta_2}$, ուստի, Δ -ի համար կստանանք՝ $\Delta = \frac{2d}{\sin\theta_2} (1 - \cos^2\theta_2) = 2dn\sin\theta_2$,

Նկատի ունենալով, որ բեկման ցուցիչը հավասար է $\cos\theta_1$ -ի և $\cos\theta_2$ -ի հարաբերությանը՝ $n = \cos\theta_1/\cos\theta_2$, կստանանք

$$\Delta = \frac{2d}{\sin\theta_2} (n - \cos\theta_1 \cdot \cos\theta_2):$$

Առավելագույն անդրադարձում ստանալու համար պետք է հարկան հարթություններից անդրադարձած ալիքների օպտիկական ճանապարհների տարրերությունը հավասար լինի ամբողջ թվով ալիքի երկարության.

$$\Delta = 2dn \sin\theta_2 = m\lambda, \quad (6.28)$$

$$Բեկման ցուցչի որ = \frac{\cos\theta_1}{\cos\theta_2} \text{ արտահայտությունից կստանանք}$$

$\sin\theta_2 = \frac{1}{n} \sqrt{n^2 - \cos^2\theta_1}$, նկատի ունենալով նաև այն, որ բեկման ցուցչի քառակուսին մեծ ճշտությամբ կարելի է արտահայտել $n^2 = (1 - \delta)^2 \approx 1 - 2\delta$ տեսքով:

(6.28)-ը կարող ենք գրել այսպես.

$$2d\sqrt{\sin^2\theta_1 - 2\delta} = m\lambda, \text{ կամ } 2d \sin\theta_1 \sqrt{1 - \frac{2\delta}{\sin^2\theta_1}} = m\lambda,$$

Օգտվելով ծ-ի փոքրությունից՝ կարող ենք հետևյալ ձևափոխությունները կատարել՝

$$2d\sin\theta_1 = \frac{m\lambda}{\sqrt{1 - \frac{2\delta}{\sin^2\theta_1}}} \approx m\lambda \left(1 + \frac{\delta}{\sin^2\theta_1}\right),$$

Այսպիսով, հաշվի առնելով ռենտգենյան ճառագայթների բեկումը, Վոլֆ-Բրեգի բանաձևի փոխարեն կստանանք հետևյալ ճշշգրտությունները.

$$2d\sin\theta_1 = m\lambda \left(1 + \frac{\delta}{\sin^2\theta_1}\right), \quad (6.29)$$

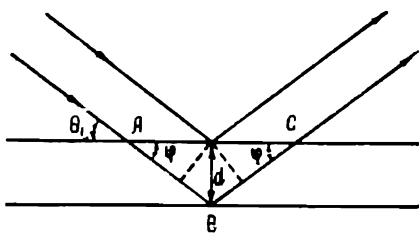
**2. ՎՈՒԼՏ-ԲՐԵԳԻ ԹԱՆԱԶԵՎԻ ՃՇԳՐՏՈՒՄԸ ՍԿՁԲՆԱԿԱՆ
ԵՎ ՆՐԱ ՈՒՂՂՈՒԹՅԱՄԲ ՑՐՎԱՇ ԱԼԻՔՆԵՐԻ ՓՈԽԱԶԴԴԵՑՈՒԹՅԱՆ
ՀԵՏԵՎԱՆՔՈՎ ԱՐԱ.ԶԱ.ՑԱՇ ՓՈԽԼԵՐԻ ՏԱՐԲԵՐՈՒԹՅԱՆ
ՀԱՇՎԱՌՄԱՄԲ**

Հետաքրքիր է, որ Վուլֆ-Բրեգի ճշգրտված (6.29) բանաձևը կարելի է ստանալ նաև սկզբնական և նրա ուղղությամբ ցրված ալիքների փոխազդեցության հետևանքով առաջացած փուլերի տարբերության հաշվառման միջոցով:

Հարցին նման մոտեցման դեպքում ենթադրենք, որ բեկում գույթյուն չունի, բայց երբ ալիքը կտրում և անցնում է ատոմական հարթությունով, նրա փուլը կրում է չո փոփոխություն:

Ենթադրենք թ1 սահմի անկյան տակ ալիքը ընկել և անդրադարձել է Ժ. միջնարթությունային հեռավորությամբ ատոմական հարթությունների ընտանիքից: Այդ դեպքում առաջին և երկրորդ հարթություններից անդրադարձած ալիքների ճանապարհների

ընտանիքից: Այդ դեպքում առաջին և երկրորդ հարթությունների փոխազդեցության հետևանքով առաջացած բեկումը: Ալիքների ճանապարհների տարբերությունը կլինի $2d \sin \theta_1$, սակայն երկրորդ ճառագայթը երկու անգամ (Ա և C կետերում) կտրում է առաջին հարթությունը, հետեւաբար նրա փուլը կփոխվի լրացուցիչ 2 զօ-ով. (նկ. 84): Այսպիսով, առաջին և երկրորդ ճառագայթների միջև ճանապարհների տարբերությունը կլինի.



Նկ. 84. Սկզբնական և նրա ուղղությամբ ցրված ալիքների փոխազդեցության հետևանքով առաջացած բեկումը:

$$2d \sin \theta_1 + \frac{\lambda}{2\pi} 2q_0 = m\lambda, \quad (6.30)$$

(6.30)-ի մեջ տեղադրելով q_0 -ի արժեքը, (6.22)-ից կստանանք.

$$2d \sin \theta_1 = m\lambda + \frac{\lambda}{2\pi} 2 \frac{n\lambda}{\sin \theta_1} f_a(0) \frac{e^2}{mc^2}, \quad (6.31)$$

Նկատի ունենալով δ_1 -ի արժեքը ըստ (6.24)-ի և որ $n = Nd$, (6.31) արտահայտությունը կարող ենք գրել այսպես.

$$2d \sin \theta_1 = m\lambda + \frac{2d}{\sin \theta_1} \delta_1: \quad (6.32)$$

Բավականաշափի մեծ ճշտությամբ ընդունելով, որ $\frac{z\alpha}{\sin\theta_1}$ ծ արտադրյալի մեջ 2 և բազմապատկիշը կարող ենք փոխարինել $\tan/\sin\theta_1$ -ով, (6.32)-ից կստանանք (6.29)-ը:

Ինչպես երեսում է (6.29)-ից, անդրադարձման մեծ անկյունների (մեծ θ_1 -երի, հետևաբար և մեծ $\sin^2\theta_1$ -երի) դեպքում ուղղումը չնշին է: Ուստի ուղղված բանաձևեցից իմաստ ունի օգտվել միայն սահմանափակությունը:

Այժմ տեսնենք, թե բեկման ցուցչի՝ մեկից տարբեր լինելը հաշվի առնելու պատճառով ինչքանով է փոփոխվում Վուֆ-Բրեգի պայմանին բավարարող անկյունը: Այդ նպատակով կազմենք Վուֆ-Բրեգի ճշգրտված և չճշգրտված բանաձևերի տարբերությունը.

$$\begin{aligned} \frac{2d\sin\theta_1 = m\lambda \left(1 + \frac{\delta}{\sin^2\theta_1}\right)}{2d\sin\theta_0 = m\lambda}, \\ \frac{2d(\sin\theta_1 - \sin\theta_0) = \frac{m\lambda\delta}{\sin^2\theta_1}}{2d(\sin\theta_1 - \sin\theta_0) = m\lambda}, \end{aligned} \quad (6.33)$$

Առանց մեծ սխալ գործելու վերջին արտահայտության մեջ կարող ենք շնորհած փոփոխինել $\tan/\sin\theta_0$ -ով, $\sin^2\theta_1 - \sin^2\theta_0$ -ով, $\sin\theta_1 - \sin\theta_0$ տարբերությունը՝ $\Delta\theta_0 \cos\theta_0$ -ով, որտեղ $\Delta\theta_0 = \theta_1 - \theta_0$ -ն Վուֆ-Բրեգի ճշգրտված և չճշգրտված բանաձևերին համապատասխանող անկյունների տարբերությունն է: Այդ դեպքում (6.33) արտահայտությունը կընդունի հետևյալ տեսքը.

$$\Delta\theta_0 = \frac{2\delta}{\sin 2\theta_0}, \quad (6.34)$$

Քանի որ δ -ն փոքր է՝ $10^{-6} - 10^{-5}$ կարգի է, ուստի $\Delta\theta_0$ -ն անկյունային վայրկյանի կարգի մեծություն է և կարիք է լինում հաշվի առնել անդրադարձման ուղղությունը մեծ ճշտությամբ որոշելիս:

§ 8. ԲԵԿՄԱՆ ՅՈՒՅՏԻ ԿԱԽՈՒՄՆ ԱՆԿՄԱՆ ՈՒՂՂՈՒԹՅՈՒՆԻՑ ԿԼԱՆՈՂ ՄԻԶԱՎԱՅՐԵՐՈՒՄ

Ինչպես տեսանք այս գլխի առաջին պարագրաֆում, կլանող միջավայրերում անկման բոլոր անկյունների դեպքում բեկման ցուցիչը կոմպլեքս է, և նրա իրական մասը կատարում է սովորականացնելու պահանջմանը:

կան բեկման ցուցչի գեր՝ հավասար է փուլային իրական արագությունների հարաբերությանը, իսկ կեղծ մասով պայմանավորված է կլանումը:

Սակայն, խիստ ասած, կլանող միջավայրերում բեկման ցուցիչը կախված է ուղղությունից և Սնելիուս-Դեկարտի օրենքը ճշգրիտ կերպով չի բավարարվում՝ անկման և բեկման անկյունների սինուսների հարաբերությունը կախված է անկման անկյունից։ Հայտնի է [8], որ կլանող միջավայրերում անկման անկյան փոփոխմամբ փոփոխվում է նաև լուսային ալիքների բեկման ցուցիչը։ Սակայն ռենտգենյան ճառագայթների տիրութում, նկատի ունենալով $\eta = 1 - \delta - i\beta$ բեկման ցուցչի արտահայտության մեջ մըտնող ծ և β մեծությունների փոքրությունը, բեկման ցուցչի անկման անկյունից ունեցած կախումը սովորաբար արհամարհում են [9]։ Դեռ ավելին, անկախ կլանման մեծությունից, ենթադրում են, որ տարբեր անկյունային շեղումների համար կատարած փորձնական շափումները տալիս են բեկման ցուցչի իրական մասը և որոշում են ատոմային ցրման ֆունկցիայի հաճախությունից կախված իրական մասը։

Մենք այստեղ կքննարկենք ռենտգենյան ճառագայթների բեկման ցուցչի իրական ու կեղծ մասերը՝ կախված անկման անկյունից և ցույց կտանք, որ հատուկ դեպքերում (*ռենտգենյան երկար ալիքներ*, մեծ կլանում) բեկման ցուցչի անկման անկյունից ունեցած կախման արհամարհումը կարող է հանգեցնել կոպիտ սխալների։

Բեկված էլեկտրամագնիսական ալիքը կարելի է ներկայացնել հետեւյալ տեսքով.

$$A_1 = A_0 \exp \left\{ -i\omega \left(t - \frac{x \sin \alpha_2 - z \cos \alpha_2}{v} \right) \right\}, \quad (6.35)$$

որտեղ α_2 -ը բեկման անկյունն է, իսկ v -ն՝ փուլային արագությունը։

Կլանող միջավայրերում, որտեղ բեկման ցուցչի համար ձևականորեն տեղի ունի

$$\frac{\sin \alpha_1}{\sin \alpha_2} = 1 - \delta - i\beta \approx \frac{c}{v} \quad (6.36)$$

հարաբերությունը, կոմպլեքս են ինչպես բեկման α_2 անկյունը, այնպես էլ փուլային v արագությունը։ (6.36)-ի մեջ α_1 -ը անկման անկյունն է։

(6.36)-ից որոշելով $\sin \alpha_2$ -ը, $\cos \alpha_2$ -ը և v -ն՝

$$\sin \alpha_2 = \frac{\sin \alpha_1}{(1-\delta)^2 + \beta^2} (1 - \delta + i\beta),$$

$$\cos \alpha_2 = \frac{\sqrt{[(1-\delta)^2 + \beta^2]^2 - [(1-\delta)^2 - \beta^2 + 2i\beta(1-\delta)]\sin^2 \alpha_1}}{(1-\delta)^2 + \beta^2},$$

$$v = \frac{c[(1-\delta) + i\beta]}{(1-\delta)^2 + \beta^2}$$

և կատարելով հետևյալ նշանակումները՝

$$\sin \alpha_2 = \rho_1 \exp \{ +i\varphi_1 \}, \quad \cos \alpha_2 = \rho_2 \exp \{ -i\varphi_2 \}, \quad v = \rho_3 \exp \{ i\varphi_3 \} \quad (6.37),$$

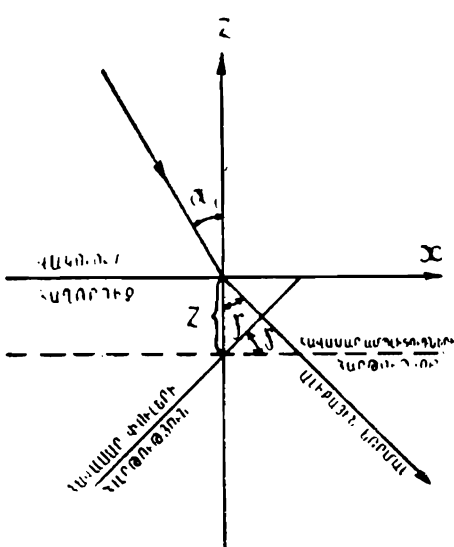
(6.35) արտահայտությունը կարող ենք բերել հետևյալ տեսքի՝

$$A_1 = A_0 \exp \{ -i\omega [t - x\rho_4 + z\rho_5 \exp(-i\varphi_5)] \}, \quad (6.38)$$

$$\text{որոշեղ, } \rho_4 = \frac{\rho_1}{\rho_3} = \frac{\sin \alpha_1}{c}, \quad \rho_5 = \frac{\rho_2}{\rho_3} = \frac{\sqrt{A^2 + B^2}}{c},$$

$$\varphi_5 = \varphi_3 - \varphi_2, \quad A = (1-\delta)^2 - \beta^2 - \sin \alpha_1, \quad (6.39)$$

$$B = 2(1-\delta)\beta, \quad D = (1-\delta)^2 + \beta^2,$$



Հավասար փուլերի հարթության (նկ. 85) և բեկման ցուցչի կեղծ մասի համար (6.38)-ից համապատասխանաբար կստանանք հետևյալ արտահայտությունները.

$$x \sin \alpha_1 = z \rho_2 [(1 - \delta_{\alpha_1}) \cos \varphi_2 - \beta_{\alpha_1} \sin \varphi_2] = \text{const} \quad (6.40)$$

$$\rho_2 [(1 - \delta_{\alpha_1}) \sin \varphi_2 + \beta_{\alpha_1} \cos \varphi_2], \quad (6.41)$$

որոշեղ՝

$$\rho_2 = \sqrt{\frac{A^2 + B^2}{D^2}},$$

նկ. 85. Հավասար փուլերի և հավասար ամպլիտուդների հարթությունները

$$\sin \varphi_1 = \sqrt{\frac{D\sqrt{A^2+B^2}-A^2-A\sin^2\alpha_1-B^2}{2D}},$$

$$\cos \varphi_2 = \sqrt{\frac{D\sqrt{A^2+B^2}+A^2+A\sin^2\alpha_1+B^2}{2D\sqrt{A^2+B^2}}},$$

Մյուս կողմից, բեկման իրական անկյունը նշանակելով շուրջ (նկ. 85), հավասար փուլերի հարթության և իրական ձևով գրված բեկման օրենքի համար կստանանք՝

$$x \sin \gamma - z \cos \gamma = \text{const}, \quad (6.42)$$

$$\frac{\sin \alpha_1}{\sin \gamma} = 1 - \delta_{\alpha_1}, \quad (6.43)$$

Նկատի ունենալով (6.38)-ը և (6.39)-ը, (6.40)–(6.43) արտահայտություններից δ_{α_1} -ի ու β_{α_1} -ի համար կստանանք՝

$$(1 - \delta_{\alpha_1})^2 = \frac{1}{2} \{ A + 2 \sin^2 \alpha_1 + \sqrt{A^2 + B^2} \}, \quad (6.44)$$

$$\beta_{\alpha_1}^2 = \frac{1}{2} \{ -A + \sqrt{A^2 + B^2} \}; \quad (6.45)$$

Սկսած (6.40)-ից δ_{α_1} և β_{α_1} մեծություններն ունեն α_1 ինդեքս, որը նշում է այդ մեծությունների անկման α_1 անկյունից կախված լինելը:

Տեսական և փորձարարական ռենտգենյան հետազոտություններում սովորաբար արհամարհվում է δ_{α_1} և β_{α_1} մեծությունների գլխավոր արժեքների (այսինքն նրանց զրո անկման անկյան տակ ունեցած δ_0 և β_0 արժեքների) և նրանց զրոյից տարրեր անկման անկյան դեպքում ունեցած արժեքների միջև եղած տարրերությունը: Այդ բանը, ինչպես ցույց կտան մեր հետագա հետազոտությունները, ոչ միշտ կարելի է անել:

Այժմ անցնենք (6.44) և (6.45) արտահայտությունների հետազոտմանը:

ա) Անկման զրո անկյան դեպքում ($\alpha_1=0$) δ_{α_1} և β_{α_1} մեծությունները համընկնում են իրենց գլխավոր արժեքներին՝ $\delta_{\alpha_1}=\delta_0=\delta$, $\beta_{\alpha_1}=\beta_0=\beta$:

Այս դեպքում միևնույն ամպլիտուդների և միևնույն փուլերի հարթությունները համընկնում են իրար հետ:

բ) Կլանման բացակայության դեպքում ($\beta_{\alpha_1} = 0$) δ_{α_1} մեծությունը դարձյալ համընկնում է իր գլխավոր արժեքին՝ $\delta_{\alpha_1} = \delta$:

Այսպիսով, թափանցիկ միջավայրերում անկման բոլոր անկյունների դեպքում, իսկ կլանող միջավայրերում՝ անկման զրուանկյան դեպքում δ_{α_1} և β_{α_1} մեծությունները համապատասխանաբար համընկնում են իրենց գլխավոր արժեքներին:

Անկման անկյունից δ_{α_1} և β_{α_1} մեծությունների ունեցած կախման մեջ համոզվելու նպատակով քննարկենք կոնկրետ օրինակ: Զգալի էֆեկտ ստանալու նպատակով վերցնենք երկար ալիքները: Վերցնենք ածխածնի k_{α_1} գծի ($\lambda = 44,5$ Å) բեկումը կվարցի մեջ: Այս դեպքում ըստ տեսական հաշվիվների (առանց անկման անկյունից կախումը հաշվի առնելու) δ_{α_1} և β_{α_1} համար կստացվեն $\delta = 4,8 \cdot 10^3$ և $\beta = 2,5 \cdot 10^{-3}$ արժեքները (տե՛ս [3]):

Եթե բերված օրինակի դեպքում $\alpha_1 = 30^\circ, 60^\circ, 80^\circ$ անկման անկյունների համար (6.44) և (6.45) բանաձևերով հաշվենք $\delta_{\alpha_1}, \beta_{\alpha_1}$ և $1 - \delta_{\alpha_1}$ մեծությունները, ապա արդյունքը կլինի երրորդ աղյուսակում բերվածը:

Աղյուսակ 3

α_1	0°	30°	60°	80°
$1 - \delta_{\alpha_1}$	0,99520	0,995201	0,99521	0,995345
	$4,80 \cdot 10^{-3}$	$4,799 \cdot 10^{-3}$	$4,79 \cdot 10^{-3}$	$4,655 \cdot 10^{-3}$
	$2,50 \cdot 10^{-3}$	$2,8914 \cdot 10^{-3}$	$5,074 \cdot 10^{-3}$	$17,22 \cdot 10^{-3}$

Ինչպես նույնում է աղյուսակից, կլանող միջավայրերում անկման անկյան մեծացմամբ՝

ա) մեծանում է բեկման ցուցչի իրական մասը և, հետևաբար, փոքրանում բեկման ցուցչի միավոր գեկրեմենտը,

բ) մեծանում է բեկման ցուցչի կեղծ մասը, այսինքն՝ անկման անկյան մեծացմամբ մեծանում է կլանումը:

Առաջին հայացքից բեկման ցուցչի փոփոխությունը անկման անկյան մեծացմամբ չնշին է և այն կարելի է անտեսել: Սակայն նույնիսկ բեկման ցուցչի այդպիսի աննշան փոփոխությունը հանգեցնում է փուլի այնպիսի փոփոխության, որ արհամարհելն անթույլատրելի է: Իրոք, անկման α_1 անկյան 0° -ից մինչև 60° փոխվելու հետևանքով առաջացած փուլերի լրացուցիչ Փ տարբերությունը որոշվում է հետևյալ կերպ՝ $\Phi = kx[(1 - \delta_{00^\circ}) - (1 - \delta_{60^\circ})] = kx(\delta_{00^\circ} - \delta_{60^\circ})$:

Նշված ճառագայթման դեպքում վերջին արտահայտությունը կունենա այսպիսի արժեք՝

$$\varphi = -\frac{2\pi}{44,5} \cdot 10^8 \cdot 10^{-5} x = -\frac{2\pi}{4,45} \cdot 10^3 x,$$

որտեղ x -ը ընկնող ալիքի անցած ճանապարհն է կլանող միջավայրում: Այդ արտահայտությունից երևում է, որ նույնիսկ $x=10^{-2}$ սմ հեռավորության վրա բեկման ցուցչի բերած փոփոխությունը առաջացնում է փուլի $\frac{\pi}{2,225}$ ռադիան փոփոխություն, որը եղբեք չի կարելի արհամարհել եռանկյունաշափական ֆունկցիայի արգումենտում:

Նշենք այլ հետաքրքիր արդյունք ևս. անկման անկյան մեծացմամբ մեծանում է բեկման ցուցչի կեղծ մասը, այսինքն՝ մեծանում է կլանման գործակիցը: Ինչո՞վ է պայմանավորված այդ մեծացումը, ինչու՞ պետք է կլանման գործակիցը մեծանա անկման անկյան մեծացմամբ: Վերջինս պայմանավորված է նրանով, որ թեք անկման դեպքում և խորություն թափանցելու համար միջավայրում ալիքն ավելի մեծ ճանապարհ է անցնում, քան ուղղահայաց անկման դեպքում (նկ. 85ա և 85բ): Երոք, 85ա և 85բ նկարներում և խորության վրա ցույց են տրված հավասար ամպլիտուդների հարթությունները: Առաջին դեպքում, այսինքն՝ թեք անկման դեպքում մինչև այդ հարթությանը հասնելը ալիքն անցել է $z/\cos\gamma$ ճանապարհ, իսկ երկրորդ՝ նորմալ անկման դեպքում, այն անցել է Համապատասխան դեպքում:

Եթե (6.41)-ը ներկայացնենք $\frac{z}{\cos\gamma}$ թիվում $[(1-\lambda)\sin\varphi_2 + \beta\cos\varphi_2]\cos\gamma$ տեսքով, ապա բեկման ցուցչի կեղծ մասի համար կստանանք հետևյալ արտահայտությունը.

$$\beta'_2 = \frac{1}{2} \left\{ -A + \sqrt{A^2 + B^2} \right\} \cos^2\gamma: \quad (6.46)$$

Բեկման մ ցուցչով միջավայրում, երբ ալիքը տարածվում է Կ անկյան տակ, ինտենսիվությունը փոքրանում է

$$I = I_0 \exp \left\{ - \frac{|z|}{\cos\gamma} \right\}$$

օրենքով, որից ամպլիտուդի համար կստանանք՝

$$A_1 = A_0 \exp \left\{ - \frac{|z|}{2\cos\gamma} \right\}: \quad (6.47)$$

Մյուս կողմից, քննարկվող դեպքում մարումը կլանման հետևանքով կարելի է գրել այսպես՝

$$A_1 = A_0 \exp \{ -z p_2 [(1-\delta) \sin \varphi_2 + \beta_2 \cos \varphi_2] \}, \quad (6.48)$$

Համեմատելով (6.47) և (6.48) արտահայտությունները, բեկման ցուցչի համար կստանանք (6.46)-ը: Հետաքրքիր է հետազոտել β'_{a_1} -ի կախումը անկման a_1 անկյունից ըստ (6.46)-ի, իսկ β_{a_1} -ի կախումը այդ նույն փոփոխականից ըստ (6.45)-ի:

(6.44)-ից և (6.45)-ից ունենք

$$(1-\delta) \beta = (1-\delta_{a_1}) \beta_{a_1} \cos \gamma, \quad (6.49)$$

իսկ (6.44)-ից և (6.46)-ից՝

$$(1-\delta) \beta = (1-\delta_{a_1}) \beta'_{a_1}: \quad (6.50)$$

(6.49)-ի և (6.50)-ի ձախ մասերը հաստատուն են և հավասար, ուստի՝ $\beta'_{a_1} = \beta_{a_1} \cos \gamma$: Նկատի ունենալով $\delta, \delta_{a_1}, \beta, \beta_{a_1}$ և β'_{a_1} , մեծությունների փոքր լինելը, (6.49)-ը և (6.50)-ը բավականաշատ ճշգրտությամբ կարելի է արտագրել հետևյալ տեսքով՝

$$\beta = \beta_{a_1} \cos \gamma, \quad (6.51)$$

$$\beta = \beta'_{a_1}: \quad (6.52)$$

Ինչպես երկում է (6.51)-ից և (6.52)-ից, β_{a_1} -ը աճում է այնպիսի օրենքով, ինչպես ճանապարհը, այն է՝ $\beta_{a_1} = \frac{\beta}{\cos \gamma}$, $z' = \frac{z}{\cos \gamma}$,

իսկ β'_{a_1} -ը գործնականորեն կախված չէ անկման անկյունից:

Վերջապես կարելի է ցույց տալ, որ բեկման ցուցչի փոփոխությունը՝ կախված անկման անկյան մեծությունից, գլխավորապես պայմանավորված է կլանման պոմպով: Կլանման բացակայության կամ թույլ կլանման դեպքերում բեկման ցուցչի փոփոխությունը, կախված անկման անկյան փոփոխությունից, կարելի է արհամարհել:

§ 4. ՈԵՆՏԳԵՆՅԱՆ ԺԱՌԱԳԱՅԹՆԵՐԻ ԲԵԿՄԱՆ ՑՈՒՑՆԻ ՈՐՈՇՄԱՆ ԴԻՖՐԱԿՑԻՈՆ ԵՂԱՍԱԿՆԵՐԸ

Զորրորդ գլխում նկարագրեցինք ռենտգենյան ճառագայթների բեկման ցուցչի որոշման օպտիկական եղանակներ: Այժմ կանգ առնենք բեկման ցուցչի որոշման դիֆրակցիոն եղանակների վրա:

**1. ԲԵԿՄԱՆ ՑՈՒՑԳԻ ՈՐՈՇՈՒՄԸ ՎՈՒԼՖ-ԲՐԵԳԻ ՊԱՅՄԱՆԻՑ
ԴԻՏՎՈՂ ՇԵՂՈՒՄՆԵՐԻ ՕԳՆՈՒԹՅԱՄՔ**

Վուլֆ-Բրեգի սովորական $2dsin\theta = n_1 \sin\theta_1$ օգնությամբ ալիքի երկարությունը շափելիս արդյունքն ստացվում է կախված անդրադարձման ու կարգից: Պատճառն այն է, որ այդ պայմանն ստանալիս արհամարհված է բեկումը: Մյուս կողմից, $2dsin\theta_1 = n_1 \times \left(1 + \frac{\delta}{\sin^2\theta_1}\right)$ ուղղված բանաձևով λ_1 -ն որոշելիս, տարբեր կարգի անդրադարձումների ժամանակ ալիքի երկարության համար ստացվում է նույն արժեքը: Ուստի, եթե նույն λ ալիքի երկարությունը շափենք n_1 և n_2 կարգի անդրադարձումների համար, ապա կարող ենք գրել ուղղված բանաձևով՝

$$n_1\lambda_1 \left(1 + \frac{\delta}{\sin^2\theta_1}\right) = 2dsin\theta_1, \quad (6.53)$$

$$n_2\lambda_2 \left(1 + \frac{\delta}{\sin^2\theta_2}\right) = 2dsin\theta_2, \quad (6.54)$$

և շուրջիւր բանաձևով՝

$$n_1\lambda_1 = 2d \sin\theta_1, \quad (6.55)$$

$$n_2\lambda_2 = 2d \sin\theta_2 \quad (6.56)$$

Այսինքն, շուրջիւր բանաձևով նույն ալիքի երկարության համար կստանանք երկու տարբեր արժեքներ, որոնք, իհարկե, իրարից և ալիքի իրական λ երկարությունից քիչ կտարբերվնեն, քանի որ բեկման ցուցիչը մեկից շատ քիչ է տարբերվում: Այդ տարբերությունն այնքան ավելի փոքր կլինի, որքան մեծ է անդրադարձման կարգը (որքան մեծ է Վուլֆ-Բրեգի θ անկյունը, տե՛ս (6.53) և (6.54)).

Մենք կարող ենք (6.53)–(6.56) հավասարումների համակարգը լուծել δ-ի նկատմամբ, եթանի որ λ_1 -ի ու λ_2 -ի տարբերությունը այդ մեծությունների նկատմամբ փոքր է, մենք կարող ենք լուծման մեջ ամենուրեք, բացի ($\lambda_1 - \lambda_2$) տարբերությունից, λ_1 -ը և λ_2 -ը փոխարինել $\bar{\lambda}$ -ով, որտեղ $\bar{\lambda}$ -ը իրենից ներկայացնում է λ_1 -ի և λ_2 -ի միջինը:

Այդ համակարգի լուծման արդյունքը կլինի՝

$$\delta = \frac{\lambda_1 - \lambda_2}{\bar{\lambda}} \cdot \frac{n_2^2}{n_2^2 - n^2} \sin^2\theta_1, \quad (6.57)$$

Վուլֆ-Բրեգի ուղղված բանաձեռ առաջին անգամ 1913 թ. արտածել է Դարվինը, նրանից անմիջապես հետո և նրանից անկախ՝ էվալդը: Սակայն այդ տեսական նախագուշակությունները մոռացության տրվեցին. միայն 1919 թ. փորձնականորեն այդ նորից հայտնագործեց Ստենստրեմը [10] և ստացավ (6.57) բանաձեռ, որը կոչվեց նրա անունով: Այս եղանակը մեծ ճշտություն ունենալ չի կարող, քանի որ ալիքի երկարության թվացող փոփոխությունը՝ կախված անդրադարձման անկյունից, այնքան էլ մեծ չէ:

2. ԲԵԿՄԱՆ ՑՈՒՑԶԻ ՈՐՈՇՈՒՄԸ ԱՍԻՄԵՏՐԻԿ ԱՆԴՐԱԴԱՐՁՈՒՄՆԵՐԻ ՕԳՆՈՒԹՅԱՄԲ

Կարելի է ցույց տալ, որ ասիմետրիկ անդրադարձումների ժամանակ Վուլֆ-Բրեգի պայմանից շեղումներն ավելի մեծ են, քան սիմետրիկ անդրադարձման ժամանակ: Մի անգամ ևս հիշենք, որ անդրադարձումը կոչվում է սիմետրիկ, եթե ընկնող ու անդրադարձող ճառագայթները անկման կետում բյուրեղի մակերևույթին կանգնեցրած նորմալի հետ կազմում են միևնույն անկյունը: Վերջինս լինում է այն ժամանակ, երբ անդրադարձնող հարթությունները զուգահեռ են բյուրեղի անկման մակերևույթին: Իսկ եթե ընկնող ու անդրադարձող ճառագայթները այդ նորմալի հետ կազմում են տարբեր անկյուններ, ուրեմն անդրադարձնող հարթությունները զուգահեռ չեն բյուրեղի անկման մակերևույթին, և անդրադարձումը կոչվի ասիմետրիկ:

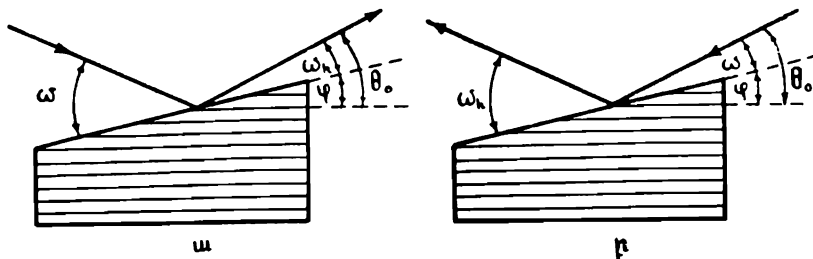
Կարելի է ցույց տալ, որ ասիմետրիկ անդրադարձման ժամանակ Վուլֆ-Բրեգի անկյան փոփոխությունն արտահայտվում է հետեւյալ բանաձեռվ:

$$\Delta(2\theta) = \Delta\theta_h + \Delta\theta = \frac{\cos\varphi}{\cos\theta} \{ \operatorname{cosec}\omega + \operatorname{cosec}\omega_h \}, \quad (6.58)$$

որտեղ (նկ. 86) $\Delta\theta_h$ -ը և $\Delta\theta$ -ն անդրադարձած ու ընկնող ճառագայթների՝ Բրեգի ուղղություններից ունեցած շեղումներն են, $\Delta(2\theta)$ -ն՝ ընկնող և անդրադարձ ճառագայթների միջև կազմված 2θ անկյունից շեղումն է (գումար շեղումն է), Փ-ն անդրադարձնող հարթությունների կազմած անկյունն է անկման մակերևույթի հետ, ω_h -ը և օ-ն անդրադարձած ու ընկնող ճառագայթների՝ անկման մակերևույթի հետ կազմած անկյուններն են:

Ինչպես երեսում է (6.58) բանաձեռից, Վուլֆ-Բրեգի ուղղությունից մեծ շեղում ստանալու համար կամ օ անկյունը պետք է փոքր լինի, այսինքն՝ ճառագայթը սահելով պետք է ընկնի, կամ պետք

է անկյունը փոքր լինի, այսինքն՝ ճառագայթը պետք է սահելով դուրս գա: Առաջին դեպքում՝ $\omega = \theta - \varphi$, $\omega_h = \theta + \varphi$, իսկ երկրորդ դեպքում՝ $\omega = \theta + \varphi$, $\omega_h = \theta - \varphi$ (նկ. 86 ա և 86 բ):



Նկ. 86. Ասիմետրիկ անդրադարձան հետևանքով Վուլֆ-Բրեգի անկյան փոփոխությունը

Ասիմետրիկ անդրադարձումներով բեկման ցուցչի որոշման եղանակն առաջարկված է Դեվիսի ու Տերիլի կողմից 1922 թվականին: Փարձը կատարվել է հետևյալ կերպ: Բյուրեղի անկման մակերևույթը հզկվել է այնքան, որ անդրադարձնող հարթությունները եղել են թեք այդ մակերեսույթին: Զգալի էֆեկտ ստանալու համար անդրադարձնող հարթությունների և անկման մակերեսույթի միջև կազմված անկյունը պետք է մոտ լինի Վուլֆ-Բրեգի անկյանը, բայց, իհարքե, նրանից փոքր: Այդ դեպքում, նայած անկման ուղղությանը (նկ. 86 ա և 86 բ), կամ ընկնող ճառագայթը, կամ անդրադարձած շատ փոքր անկյուն կկազմեն անկման մակերեսույթի հետ և, համաձայն (6.58)-ի, Վուլֆ-Բրեգի ուղղություններից մեջ շեղում կստացվի:

(6.58) բանաձեռվ արտահայտվող շեղման բացակայության դեպքում ընկնող և անդրադարձած ճառագայթները պետք է սիմետրիկ լինեն անդրադարձնող հարթությունների (և ոչ թե մակերեսույթի) նորմալի նկատմամբ: Սակայն, քանի որ այդ շեղումը կա, ընկնող ու անդրադարձած ճառագայթները տարբեր շափով են շեղում, առաջանում է այդ ճառագայթների ասիմետրիա անդրադարձնող հարթությունների նորմալի նկատմամբ: Զափելով այդ ասիմետրիան (6.58)-ի օգնությամբ, կարող ենք հաշվել ծ-ն՝ բեկման ցուցչի միավոր դեկրեմենտը, հետևապես և՝ բեկման ցուցիչը:

Նշված ասիմետրիան գտնելու համար անհրաժեշտ է հարթությունների նորմալի շուրջը բյուրեղը պտտել 180° -ով, այսինքն՝ ճառագայթը գցել հարթությունների վրա հակառակ ուղղությամբ: Փորձը ցույց է տալիս, որ (6.58)-ով արտահայտվող շեղման պատ-

Հառով անդրադարձում ստանալու համար պետք է պատել 180° -ից տարրեր անկյան տակ: Հենց այդ տարբերությունն օգտագործելով՝ կարելի է որոշել բեկման ցուցիչը:

3. ԲԿՄԱՆ ՑՈՒՑՁԻ ՈՐՈՇՄԱՆ ԻՆՏԵՐՖԵՐՈՄԵՏՐԻԿ ԵՂԱՆԱԿՆԵՐԸ

Ելեկտրամագնիսական ալիքների բեկման ցուցիչը ամենաճշշգրիտ է կերպով կարելի է շափել ինտերֆերոմետրերի միջոցով: Օպտիկական ինտերֆերոմետրեր շատ վաղուց արդեն գոյություն ունեն և լուսի բեկման ցուցիչը մեծ ճշտությամբ շափում են ինտերֆերոմետրերով: Սակայն ունտագենյան ինտերֆերոմետրեր մինչև վերջերս դեռ գոյություն չունեն և այդ էր պատճառը, որ մշակվել էին միայն վերը շարադրված եղանակները (օպտիկական եղանակներ, զլուխ III, § 8-ում և նախորդ կետերում շարադրված դիֆրակցիոն երկու եղանակները):

Երկար ժամանակ ունտագենյան ինտերֆերոմետրերի գոյություն չունենալը բացատրվում էր նրանով, որ

1. ունտագենյան ճառագայթների բեկման ցուցիչը շատ մոտ է մեկի, որի պատճառով բեկումն աննշան է և այն օգտագործել ինտերֆերոմետր պատրաստելու համար հնարավոր չէ:

2. Ունտագենյան ալիքների երկարությունները երեք կարգով ավելի փոքր են, քան լուսայիններինը, որի պատճառով ունտագենյան ինտերֆերոմետրերին ներկայացվում են շատ ավելի խիստ պահանջներ: Քանի որ ունտագենյան ինտերֆերոմետրեր պատրաստելու համար մնում է օգտագործել վոլֆ-բրեգյան անդրադարձումները, ապա բյուրեղները պետք է լինեն բարձր կատարելության (իդեալականին մոտ), նրանց մակերեսությները պետք է բարձր կարգի հղկվածություն ունենան և առհասարակ ինտերֆերոմետրերի կառուցվածքը մեծ ճշգրտություն է ունենալու:

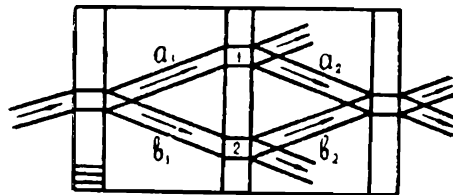
Բարձր կատարելության բյուրեղների աճեցման տեխնիկայի և ունտագենյան դիֆրակտոմետրիայի զարգացումը հնարավորություն տվեցին վաթսունական թվականներին ստեղծելու ունտագենյան ինտերֆերոմետրեր [11—14]:

Ունտագենյան ինտերֆերոմետրերի տեսությունը հիմնված է ունտագենյան ճառագայթների դինամիկ տեսության վրա և շարադրվելու է երկրորդ գրգում, որը նվիրված է լինելու ունտագենյան ճառագայթների ցրման դինամիկ տեսությանը:

Այստեղ կարճ կնկարագրենք ինտերֆերոմետրերի աշխատանքի երկրաշափությունը, որքան այն անհրաժեշտ է բեկման ցուցիչը:

շափելու համար: Այժմ արդեն իրականացված են մի շարք տիպի ինտերֆերոմետրեր, որոնք նկարագրված են նաև [15—16] հեղինակների կողմից, սակայն այստեղ կնկարագրենք միայն, այսպես կոչված, կառուելու տիպի ինտերֆերոմետրերը, որոնք, մեր կարծիքով, ամենահարմարն են բեկման ցուցիչ շափելու համար:

Լառուելու տիպի ամենագործածական ինտերֆերոմետրից մեկն ունի հետևյալ կառուցվածքը: Սիլիցիումի բարձր կատարելություն ունեցող բյուրեղից կտրվում է միանույն հիմքի վրա գտնվող երեք թիթեղ «ա» տառի ձևով (տե՛ս նկ. 87): Այդ ամբողջ սարքը փաստութեն մի միաբարեղ է, որում բոլոր բյուրեղագիտական հարթություններն իրար գուգահեռ են: Եզրերի թիթեղները միջին թիթեղից գտնվում են հանարավորին շափ ճշգրիտ միանույն հեռավորության վրա: Երեք թիթեղներն էլ ունեն միանույն հաստությունը: Անդրադարձնող հարթություններն ուղղահայաց են թիթեղների մեջ մակերևույթին: Ունենա-



Նկ. 87. Լառուելու տիպի ինտերֆերոմետր

դենյան ձառագայթների փունջը թիթեղներին գուգահեռ և հիմքին տղղահայաց ճեղքից ընկնում է առաջին թիթեղի վրա ու բաժանվում երկու մասի՝ անկման և անդրադարձման ուղղությամբ: Համաձայն դինամիկ տեսության, ընկնող ալիքի էներգիան թիթեղի մեջ, եթե այն բավականաշափ հաստ է, հոսում է հարթություններով և թիթեղից դուրս գալիս ճեղքվում է երկու հավասար փուլեր և ինտերնսիվություններ ունեցող մասի, որոնք միշտիթեղային տարածություններում տարածվում են անկման և անդրադարձման ուղղություններով (նկարի վրա a_1 և b_1): Առաջին թիթեղը կոչվում է պառակտիչ (ճեղքող): Առաջին թիթեղից դուրս եկող a_1 ու b_1 փընչերն ընկնում են երկրորդ թիթեղի վրա և, ենթարկվելով լառուելի անդրադարձմանը, սկիզբ են տալիս a_2 և b_2 միանույն փուլերով ու միանույն ինտենսիվությամբ փնչերին: Երկրորդ թիթեղը կոչվում է հայելային (անդրադարձիչ): Այդ a_2 և b_2 փնչերն ընկնում են ճիշտ իրար վրա երկրորդ թիթեղի ներսի (առաջին) մակերևույթին, նրանց էներգիաները երրորդ թիթեղի մեջ հոսում են իրար գուգա-

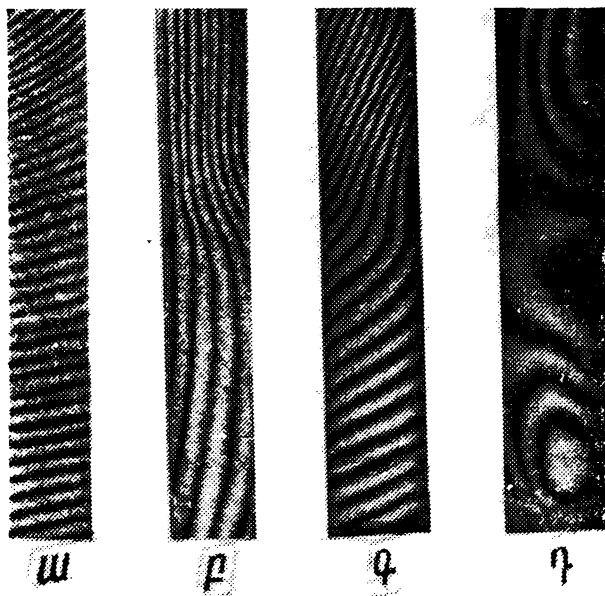
Հեռ ու անդրադարձնող հարթություններով, և տեղի է ունենում ինտերֆերենցիա: Երրորդ թիթեղից դուրս գալիս, այդ վերադրված փունջը ճեղքվում է երկու՝ իրար հավասար փուլերով և ինտենսիվություններով փուլերով փուլերի, որոնք դարձյալ տարածվում են սկզբնական անկման ու անդրադարձման ուղղություններով և որոնց հետքերը կարելի է ստանալ ինտերֆերումետրի թիթեղներին զուգահեռ դրված ունտգենյան թաղանթի վրա: Երրորդ թիթեղը կոչվում է տարրալուծիչ (վերադրման և ինտերֆերենցման թիթեղ): Եթե թիթեղների բյուրեղային ցանցերը թերություններ չունեն, իրար խիստ զուգահեռ են և ունեն միենալուն միջնարթությունային հեռավորությունը, ինտերֆերումետրից դուրս եկած փուլերի հետքերը կլինեն ճեղքի սկ պատկերները՝ համասեռ ինտենսիվությամբ: Իսկ եթե տարրեր թիթեղների կամ միենալուն թիթեղի տարրեր մասերի միջհարթությունային հեռավորությունների տարրերություն գոյություն ունի կամ էլ հարթությունների պառայտ իրար նկատմամբ, պատկերի մեջ առաջ կդան մթին և լուսավոր շերտեր, որոնք կոչվում են մուարի պատկերներ: Մուարի շերտերը կլինեն ուղղահայաց անդրադարձնող հարթություններին, եթե առաջացել են հարթությունների՝ իրար նկատմամբ ունեցած պառայտի հետեանքով, իսկ եթե առաջացել են միջնարթությունային հեռավորությունների տարրերության պատճառով՝ կլինեն զուգահեռ հարթություններին: Եթե ինտերֆերումետրի թիթեղները ցանցերը միաժամանակ սպառունակում են և հարթությունների պառայտ, և միջնարթությունային հեռավորությունների տարրերություն, մուարի շերտերը կստացվեն թեք՝ նշված երկու մասնավոր գեպքերի զուգորդումից տարրեր կետերում (կախված հարթությունների պառայտների և հեռավորությունների տարրերությունների մեծությունից) կունենան տարրեր ուղղություններ: Դիսլոկացիաների առկայության դեպքում համապատասխան տեղերում մուարի պատկերները կաղավաղվեն:

88ա—88գ նկարներում համապատասխանաբար ցուց են տըրված միայն պառայտի, միայն միջնարթությունային հեռավորությունների և պառայտի ու միջնարթությունային հեռավորությունների միաժամանակյա տարրերության առկայության դեպքերը:

Նկար 88դ-ում ցուց է տրված մուարի պատկերների աղավաղումը դիսլոկացիայի պատճառով:

Այստեղ կշարադրենք ինտերֆերումետրով բեկման ցուցչի որոշման այն դեպքերը, եթե ինտերֆերումետրի թիթեղները թերություններ չունեն՝ գոյություն չունեն պառայտներ, միջնարթությունային հեռավորությունների տարրերություններ և դիսլոկացիաներ՝ հետքերը համասեռ սկացած են:

Այդպիսի ինտերֆերոմետրով բեկման ցուցիչ շափելու համար անհրաժեշտ է սեպ պատրաստել այն նյութից, որի բեկման ցուցիչը պետք է շափել: Սեպը պետք է լինի բեկող փոքր անկյունով և բարակ՝ փուլերի մեծ տարբերություն չառաջացնելու համար (նկ.



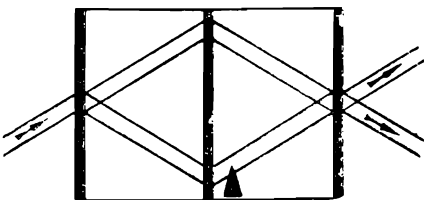
Նկ. 88. Ինտերֆերոմետրից ստացված
մուարի պատկերները

89): Սեպը պետք է տեղավորել երկրորդ և երրորդ թիթեղների միջև այնպես, որ բեկող կողը զուգահեռ լինի թիթեղներին և ուղղահայաց ինտերֆերոմետրի հիմքին: Այդ դեպքում a_2 և b_2 ճառագայթներից մեկը կանցնի սեպի բարակ մասով, իսկ մյուսը՝ հաստ մասով, և նրանց միջև առաջ կգա փուլերի տարբերություն, որը կարտահայտվի այսպես՝

$$\vartheta = n(l_2 - l_1)k, \quad (6.59)$$

որտեղ l_1 -ը և l_2 -ը a_2 և b_2 ճառագայթների ճանապարհներն են սեպի մեջ: Առաջացած փուլերի տարբերության պատճառով ինտերֆերոմետրից գուրս եկող ճառագայթների հետքերի վրա առաջ կգան միենալու հաստության շերտեր: Այն մասերում, որոնք համապատասխանում են փուլերի $\varphi = (2m+1)\pi$ կենտ թվով ու տարբերությանը, երրորդ թիթեղի մեջ a_2 և b_2 փնջերն իրար կմարսն, կստաց-

վի ինտենսիվությունների պակաս (լուսավոր գծեր), իսկ այն մասերում, որոնց համապատասխանում է փուլերի զույգ թվով և տարբերություն, երրորդ թիթեղի մեջ աշ և Ե₂ փնջերն իրար կուժեղացնեն, կստացվի ինտենսիվությունների մեծացում (մթին գծեր, տե՛ս նկ. 90):



Նկ. 89. Ինտերֆերոմետրի թիթեղների միջև տեղափողած է սեպ



Նկ. 90. Սեպի առաջացրած ինտերֆերոնցիոն շերտերը

Ունտգենագրամմայի վրա շափելով մթին և լուսավոր շերտերի հեռավորությունները, Վոլֆ-Բրեգի Յ անկյան, սեպի բեկողանկյան և (6.59) արտահայտության միջոցով կարող ենք հաշվել
 $\pi = \frac{\varphi}{k(l_2 - l_1)}$ բեկման ցուցիչը:

Բեկման ցուցչի շափման այս եղանակը ամենազգայունն է՝ նրանով կարելի է բեկման ցուցիչը շափել 10^{-7} ճշտությամբ: Ինտերֆերոմետրը շափազանց զգայուն է բյուրեղային ցանցի փոփոխությունների նկատմամբ: 10^{-7} Ա-ի կարգի հարաբերական շեղումները և 10^{-7} ռադիանի կարգի պտույտները ինտերֆերոմետրը զգում է ու հեշտությամբ արձանագրում:

Այս և ունտգենյան ճառագայթների օպտիկային նվիրված գըլիում շարադրեցինք բեկման ցուցչի որոշման եղանակները՝ առանց հաշվի առնելու բեկման ցուցչի ալիքի երկարությունից ունեցած կախումը կլանող միջավայրերում: Քանի որ այդ կախումը զգալի մեծ է կլանման և անկման մեծ անկյունների դեպքերում, այդ պատճառով բեկման ցուցչի կախումն ուղղությունից հայտնաբերելը բավականաշափ դժվար է: Սակայն ինտերֆերոմետրիկ եղանակների

օգնությամբ այդպիսի չափումներ կատարելը մեծ դժվարություն չի ներկայացնում: Բեկման ցուցչի՝ ուղղությունից ունեցած կախման չափման հարցերը կքննարկենք երկրորդ գործում:

Դինամիկ տեսությունը ցույց է տալիս, որ երբ ալիքն անդրադարձման վիճակում մտնում է բյուրեղ, այնտեղ (բյուրեղում) առաջացած ալիքային դաշտը բաղկացած է լինում երկու ալիքներից, որոնց երկարությունները փոքր-ինչ տարբերվում են, և, հետեապես, չնչին չափով տարբերվում են նաև քեկման ցուցիչները: Այդ տարբերությունը նույնապես կարելի է գտնել ինտերֆերոմետրիկ եղանակներով: Այդ էլ կնկարագրվի հաջորդ գործում:

90-րդ նկարում ցույց է տրված մուարի պատկերի փոփոխությունը, երբ ճառագայթի մի մասն անցնում է սեպի միջով, ինչպես այդ ցույց է տրված 89-րդ նկարում, իսկ (6.59) բանաձևը համապատասխանում է այն դեպքին, երբ դրված է մեծ սեպ: և երկու ճառագայթներն էլ (a_2 -ը և b_2 -ը) անցնում են սեպի միջով:

ՌԵՍՎԵՆՅԱՆ ՃԱՌԱԳԱՅԹՆԵՐԸ ՍՊԵԿՏՐԻ ՎԵՐԱՇԵԼՈՒ ԵՂԱՆԱԿՆԵՐԸ

ինչպես արդեն նշել ենք, ոենտգենյան խողովակներում ստացվող ճառագայթումը սովորաբար անընդհատ և գծային սպեկտրներով ճառագայթումների խառնուրդ է։ Ոենտգենյան ճառագայթման սպեկտրալ օրինաշափություններն ուսումնասիրելու, առանձին սպեկտրալ գծերի ստրուկտուրան հետազոտելու, մոնոքրոմատիկ ճառագայթներով ստրուկտուրային հետազոտություններ կատարելու համար խիստ անհրաժեշտ է այդ անհամասեռ ճառագայթման սպեկտրի վերածումը և մոնոքրոմատացումը։

Ոենտգենյան ճառագայթների բեկման ցուցչի՝ մեկին մոտ լինելը (աննշան բեկում) հարրավորություն չի տալիս սպեկտրը վերածելու համար օգտվել սովորական պրիզմաներից, ինչպես այդ արվում է լույսի դեպքում։

Ոենտգենյան ճառագայթները սպեկտրի վերածելու համար շափազանց հարմար է օգտվել ատոմային հարթություններից տեղի ունեցող դրանց անդրադարձումներից։ Իրոք, համաձայն Վոլֆ-Բրեգի 2ds10θ=πλ պայմանի, տարբեր ալիքի երկարություններով ճառագայթներ տարբեր սահքի անկյունների տակ (տարբեր ուղղություններով) են անդրադառնում։ Հետեւաբար, անընդհատ փոփոխելով անկման ուղղությունը, կարող ենք աստիճանաբար բոլոր երկարություններով ալիքները բերել անդրադարձման վիճակի (տարբեր ուղղություններով անդրադարձնել) և ստանալ սպեկտրը։ Ասվածը կարելի է իրականացնել հետևյալ կերպ։ Ոենտգենյան խողովակից դուրս եկող ճառագայթումից ճեղքավոր էկրանների օգնությամբ անջատենք մի նեղ փունջ և գցենք բարձր կատարելության ու անդրադարձման մեծ ընդունակություն ունեցող հարթությունների ընտանիք ունեցող բյուրեղի վրա, ինչպես ցուց է տրված 91-րդ նկարում։ Եթե բյուրեղը տատանենք նրա անդրադարձնող մակերեվույթի վրա գտնվող և անկման հարթությանն ուղղահայաց առանց-

քի շուրջը, ապա աստիճանաբար կփոփոխվի սահքի անկյունը, ուստի և՝ անդրադարձման վիճակում գտնվող ալիքի երկարությունը, այսինքն՝ ճառագայթումը կվերածվի սպեկտրի: Պտտման առանցքին և էկրանների ճեղքերին զուգահեռ դրված ունտգենյան թաղանթի վրա կստանանք անընդհատ սպեկտր և նրա վրա մեծ ինտենսիվությամբ առանձին գծեր, որոնք իրենցից ներկայացնում են բնորոշ ճառագայթների գծային սպեկտր: Սպեկտրի վերածման և մոնոքրոմատացման բազմաթիվ եղանակների բազմազանությունը պայմանավորված է սպեկտրին և մոնոքրոմատացմանը ներկայացվող տարբեր պահանջներով, ինչպես նաև ալիքի երկարությունների տարբեր տիրույթների սպեկտրի վերածման եղանակների տարբերությամբ: Սպեկտրային և ստրոկուրային հետազոտությունների համար ունտգենյան սպեկտրագրաֆ, սպեկտրամետր* և մոնոքրոմատոր ընտրելիս պետք է նկատի ունենալ հետևյալ հանգամանքները.

1. Սպեկտրալ գծերի նուրբ կառուցվածքն ուսումնասիրելիս սարքի լուծող ուժը պետք է մեծ լինի,

2. Գործն արագ կատարելու համար պետք է սարքի լուսառուժը մեծ լինի,

3. Հետազոտման եղանակը, բյուրեղը և նրա հաստությունը ալիքների տվյալ տիրույթի համար պետք է այնպես ընտրել, որ կլանումը փոքր լինի: Կլանումը ոչ միայն փոքրացնում է սպեկտրալ սարքի լուսառուժը, այլ նաև աղավաղում է սպեկտրը:

4. Մեծ լուծող ուժ ստանալու համար անհրաժեշտ է ունենալ բարձր կատարելության բյուրեղ, ընտրելով համապատասխան հարթությունների ընտանիք, բայց մյուս կողմից, որքան բարձր է լինում բյուրեղի կատարելությունը, այնքան ցածր է լինում լուսառուժը:

5. Եթե մոնոքրոմատացումը հատուկ նպատակների համար չէ, այլ միայն սովորական ստրոկուրային հետազոտությունների համար է, սարքը պետք է ունենա մեծ լուսառուժ: Այդ դեպքում լուծող ուժը կարող է և փոքր լինել:

Մենք այստեղ կնկարագրենք սպեկտրի վերածման և մոնոքրոմատացման բոլոր հիմնական եղանակները՝ առանց նրանց լուծող ուժը մանրակրկիտ կերպով քննարկելու:

* Ունտգենյան ճառագայթումը սպեկտրի վերածող սարքերը կոչվում են սպեկտրագրաֆներ, եթե սպեկտրը գրանցվում է ֆոտոգրաֆիկ եղանակով, իսկ եթե գրանցումը կատարվում է իռուցման եղանակով, սարքերը կոչվեն սպեկտրամետրեր: Մոնոքրոմատիկացնող սարքերը կոչվում են մոնոքրոմատորներ:

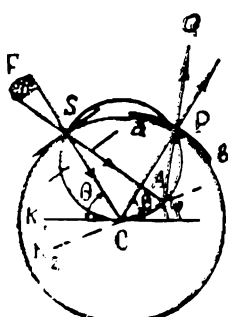
§ 1. ՍՊԵԿՏՐԻ ՎԵՐԱԾՄԱՆ ՀԱՐԹ ԲՅՈՒՐԵԼԻ ԵՂԱՆԱԿՆԵՐԸ

Ունտգենյան ճառագայթները հարթ բյուրեղներով սպեկտրի վերածելու եղանակները կարելի է բաժանել երկու խմբի՝ Բրեգի և Լաուեի:

1. ԲՐԵԳԻ ՄԵԹՈԴՈՎ ՈՒՆՏԳԵՆՅԱՆ ՃԱՌԱԳԱՅԹՆԵՐԸ ՀԱՐԹ ԲՅՈՒՐԵԼԻ ՍՊԵԿՏՐԻ ՎԵՐԱԾԵԼՈՎ ՍՊԵԿՏՐԻ ՎԵՐԱԾԵԼՈՒ ԵՂԱՆԱԿՆԻՐԸ

Բրեգի մեթոդով աշխատելիս անդրադարձնող հարթությունները կամ պետք է անկման մակերևույթին զուգահեռ լինեն, կամ այնքան թեք, որ անդրադարձած ճառագայթը դուրս գա բյուրեղից անկման մակերևույթով (տե՛ս նկ. 77 ա, բ): Առաջին դեպքում անդրադարձումը կլինի սիմետրիկ, երկրորդ դեպքում՝ ասիմետրիկ: Հարթ բյուրեղի այդ երկու դեպքում էլ սպեկտր ստանալու համար բյուրեղը պետք է տատանել, ինչպես նշված է վերևում:

Հարթ բյուրեղով Բրեգի եղանակով աշխատող սպեկտրագրաֆներում (սպեկտրամետրերում) ճառագայթների ընթացքների սիմետրիան կլինի հետեւյալը: Ենթադրենք ունենք մի շրջան (նկ. 91), որի



կենտրոնում տեղավորված է K բյուրեղ-տարրալուծիչը (անալիզատոր)*, իսկ շրջանագծի վրա տեղավորված է S ճեղքը, որով անցնելով ունտգենյան ճառագայթները ընկնում են տարրալուծիչի վրա:

Կարելի է ցույց տալ, որ եթե այդ շրջանագծի վրա տեղավորվի աՅ ունտգենյան թաղանթը, ինչպես այդ ցույց է տրված 91-րդ նկարում, ապա բյուրեղը տատանելուց նրա տարբեր մասերից միևնույն անկյան ստացման Բրեգի սիմետրիան տակ անդրադարձած միևնույն երկարությամբ (մոնոքրոմատիկ) ալիքները հհավաքվեն թաղանթի (շրջանագծի) միևնույն կետում, իսկ տարբեր երկարությամբ ալիքները՝ տարբեր կետերում, այսինքն՝ ունտգենյան ճառագայթները կվերածվեն սպեկտրի^{**}: Իրոք, ենթադրենք բյուրեղ-տարրալուծիչի K_1 դիրքում, նրա մակերևույթի O կետում (շրջանի կենտրոնի հետ համ-

* Սպեկտրի վերածող բյուրեղն անվանում են բյուրեղ-տարրալուծիչ (բյուրեղ-անալիզատոր):

** Այն շրջանագիծը, որի վրա դասավորվում են ճեղքը և ֆոտոթաղանթը, իսկ կենտրոնում գտնվում է տարրալուծիչը, կոչվում է ֆոկալ շրջանագիծ:

ընկնող կետում) F աղբյուրից դուրս եկող և ճեղքով անցնող ռենտգենյան ճառագայթն ընկնում է այդ տարրալուծիչի վրա թ անկյան տակ և նույն անկյան տակ էլ անդրադառնալով հատում է շրջանագիծը (ռենտգենյան թաղանթը) P կետում: Ենթադրենք բյուրեղը որոշ անկյունով պտտել ենք O կետով անկման հարթությանն ուղղահայաց տարրած առանցքի շուրջը և այն այժմ գրավել է K₂ դիրքը: Այժմ, իհարկե, O կետում ընկնող ճառագայթը բյուրեղի մակերեսվութիւնը հետ այլևս թ անկյուն չի կազմի: Ենթադրենք, հիմա այդ որոշ անկյունային բացվածքը ունեցող փնջից մեկ այլ՝ SA ուղղաթյամբ տարրածվող ճառագայթ: A կետում բյուրեղի մակերեսվութիւնը կազմում է թ անկյուն: Այս նույն անկյան տակ անդրադառնալով կտարածվի AQ ուղղությամբ: Եթե ապացուցենք, որ AQ ճառագայթը շրջանագիծը կհատի դարձյալ P կետում, դրանով իսկ ապացուցած կլինենք, որ բյուրեղի տարրեր կետերից միևնույն անկյան տակ անդրադարձած, հետևաբես և միևնույն երկարություն ունեցող (մոնոքրոմատիկ) ալիքները հավաքվում են շրջանագծի միևնույն կետում:

Այդ բանում համոզվելու համար S, O և P կետերով տանենք մի օժանդակ շրջանագիծ: Այդ շրջանագծի վրա կգտնվի նաև A կետը (շրջանագծի և բյուրեղի մակերեսվութիւն հատման կետը): Իրոք, ինչպես ՀSAK₂-ը, այնպես էլ ՀSOK₁-ը շափվում են SO աղեղի կետով և իրար հավասար են: Ուստի, քանի որ O կետում անդրադարձած OP և A կետում անդրադարձած AQ ճառագայթները ըսկըզբնական OS ճառագայթի հետ կազմում են միևնույն ($\pi - 2\theta$) անկյունը, և նրանց երկուսի աղեղներն էլ սկսվում են S կետից, ապա երկուսի աղեղներն էլ պետք է վերջանան միևնույն P կետում, այսինքն, քանի որ՝ ՀSOP = ՀSAQ, պետք է, որ OP և AQ ճառագայթների հատման կետը գտնվի օժանդակ շրջանագծի և ռենտգենյան ան թաղանթի հատման P կետում: Այն, ինչ պետք էր ապացուցել:

Սպեկտրի որոշ տիրույթ կարելի է ստանալ առանց K տարրալուծիչը տատանելու իրոք, ռենտգենյան խողովակի ֆոկուսի և էկրանի ճեղքի վերջավոր շափերի պատճառով տարրալուծիչի վրա ընկնում է ոչ միայն SO ճառագայթը, այլև ճառագայթների Ձθ₁ անկյունային լայնությամբ մի ամբողջ փունչ, և անդրադարձման վիճակում կարող են գտնվել λ, λ + Δλ տիրույթում գտնվող բոլոր ալիքները, այսինքն՝ առանց բյուրեղը տատանելու մենք կստանանք ալիքի երկարությունների այդ տիրույթում գտնվողների սպեկտրը: Իհարկե, եթե ռենտգենյան խողովակի ֆոկուսը կետային լինի և էկրանի ճեղքի լայնությունն էլ անսահման փոքր, բյուրեղի վրա կընկ-

նի միայն մեկ ճառագայթ և միայն մեկ որոշակի երկարությամբ առիթ կդատնվի անդրադարձման վիճակում՝ սպեկտր չենք ստանա:

Տարրալուծիցը տատանելով մենք կմեծացնենք ընկնող ճառագայթների և տարրալուծիչի անդրադարձնող մակերևույթի միջև կազմված անկյունների տիրույթը և, հետևաբար, անդրադարձման վիճակ բերվող ալիքների ձև տիրույթը՝ սպեկտրի ալիքային տրույթը:

Դժվար չէ համոզվել, որ եթե աղբյուրի և էկրանի ճեղքի շափերը են, սպեկտրագրաֆի լուծող ուժը փոքր է լինում, և սպեկտրի պատկերի ցայտունությունը (հստակությունը) ընկնում է: Վերջավոր շափերով աղբյուրի դեպքում ճեղքի լայնացման պատճառով կլայնանա նաև սպեկտրային գիծը ունտգենյան թաղանթի վրա, որն անմիջապես հանգեցնում է սպեկտրագրաֆի լուծող ուժի փոքրացմանը: Քանի որ ճեղքի լայնությունը շատ փոքր անել չել կարելի, այդ պատճառով էլ աղբյուրի ֆոկուսի շափերի մեծացումը միշտ հանգեցնում է սպեկտրագրաֆի (սպեկտրամետրի) լուծող ուժի փոքրացմանը: Ինացաւ անթի դրսի կողմում՝ թաղանթի շատ փոքր անել չել կրկնորդ էկրանը:

Այժմ հաշվենք սպեկտրագրաֆի դիսպերսիան: Վուֆ-Բրեգի ոլ=2dsinθ պայմանից անկյունային դիսպերսիայի համար կըստանանք՝

$$D_0 = \frac{|\Delta\theta|}{|\Delta\lambda|} = \frac{n}{2d \cos\theta}, \quad (7.1)$$

որտեղից հակադարձ անկյունային դիսպերսիան կլինի՝

$$D'_0 = \left| \frac{\Delta\lambda}{\Delta\theta} \right| = \frac{2d}{n} \cos\theta, \quad (7.2)$$

ինչպես երևում է (7.1)-ից, անկյունային դիսպերսիան մեծանում է անդրադարձման կարգի մեծացումից և անդրադարձնող հարթությունների միջևարթությունային հեռավորության փոքրացումից:

$$\text{Հետաքրքիր է հաշվել նաև գծային դիսպերսիան՝ } D_L = \frac{|\Delta L|}{|\Delta\lambda|}$$

և հակադարձ գծային դիսպերսիան՝ $D'_L = \frac{|\Delta\lambda|}{|\Delta L|}$, Ալստեղ ΔL -ը

$\Delta\lambda$ -ով տարբերվող սպեկտրային գծերի Տճեղքից շրջանագծի աղեղով հաշված հեռավորությունների տարբերությունն է (Տան ա-

զեղով, նկար 91): Sap աղեղին համապատասխանում է $\pi - 2\theta$ կենտրոնական անկյուն, որը գծագրի վրա $<\text{SOP}-\pi$ է: Աւստի, մենք կարող ենք գրել՝ $\pi - 2\theta = \frac{L}{R}$, $\pi - 2\theta = 2R|\Delta\theta|$:

Այստեղ L-ը P կետի հեռավորությունն է S ճեղքից: Նկատի ունենալով վերջինը, գծային դիսպերսիաների համար կստանանք.

$$D_L = \frac{|\Delta L|}{|\Delta \lambda|} = 2R \frac{|\Delta \theta|}{|\Delta \lambda|} = 2RD_\varphi, \quad (7.3)$$

$$D'_L = \frac{|\Delta \lambda|}{|\Delta L|} = \frac{1}{2R} \frac{|\Delta \lambda|}{|\Delta \theta|} = \frac{1}{2R} D'_\varphi, \quad (7.4)$$

Վերջինի մեջ տեղադրելով D'_φ -ի արժեքը (7.2)-ից, կստանանք.

$$D_L = \frac{2R}{\lambda} \operatorname{tg} \theta, \quad (7.5)$$

$$D'_L = \frac{1}{2R} \operatorname{ctg} \theta, \quad (7.6)$$

Ինչպես երևում է (7.5)-ից, գծային դիսպերսիան (սպեկտրային գծերի միջև հեռավորությունը) մեծանում է սպեկտրագրաֆի շառավղի* և θ անկյան մեծացմամբ: Այստեղ անհրաժեշտ է նշել, որ R-ի մեծացմամբ այնքան էլ չենք շահում սպեկտրագրաֆի լուծող ուժի մեջ, քանի որ R-ի մեծացմամբ մեծանում են նաև սպեկտրային գծերի լայնությունները: Վերջինս բացատրվում է ֆոկուսացման պայմանների վատացմամբ, ինչպես նաև՝ գծերի սեփական լայնություններին համապատասխանող գծային շափերի մեծացմամբ:

Նկարագրված եղանակի առավելությունների և թերությունների մասին կարելի է ասել հետեւյալը:

Պարզ է, որ Բրեգի այս եղանակը ֆոկուսացման եղանակ է, ըստ որում, ֆոկուսացումը իդեալական է: Երկրաշափությունը ճշշգրիտ պահպաննելիս կետային աղբյուրի դեպքում կստացվի կետային ֆոկուս՝ սպեկտրային գծերի լայնությունը հավասար կլինի նրանց սեփական լայնությանը: Սակայն այս եղանակն ունի խոշոր թերություն՝ սպեկտրագրաֆի լուսառությունը շատ փոքր է: Իրոք, նախ ֆոկուսացումը տարածամանակ է՝ տարրալուծիչի տարրեր կետե-

* Ֆոկալ շրջանագծի շառավիղը կոչվում է սպեկտրագրաֆի շառավիղ:

րից միևնույն անկյան տակ (միևնույն երկարությամբ ալիքների) անդրադարձում տեղի է ունենում ժամանակի տարբեր պահերին, չկա միաժամանակյա անդրադարձում (միաժամանակյա ֆոկուսացում), չետևաբար և չկա ուժեղացում։ Մյուս կողմից՝ լուսառությ փոքրանում է նաև այն պատճառով, որ անդրադարձման վիճակում տվյալ պահին գտնվում է միայն մի նեղ փունջ, եթե անգամ բյուրեղի վրա ընկնում է լայն փունջ, բյուրեղն այդ լայն փնչից անդրադարձում է միայն այն ճառագայթը, որը գտնվում է վուլֆ-բրեգյան անդրադարձման վիճակում։

Մինչև հիմա մենք քննարկում էինք Բրեգի սիմետրիկ անդրադարձման օգտագործմամբ ռենտգենյան ճառագայթումը սպեկտրի վերածելու հարցը։ Սակայն պարագրաֆի սկզբում արդեն նշել էինք, որ տարրալուծիչի անդրադարձնող հարթությունները կարող են և անդրադարձնող մակերևույթին զուգահեռ չկինել։ Այդ դեպքում թեքությունն այնքան պետք է լինի, որ անդրադարձած ճառագայթը կարողանա դուրս գալ անկման մակերևույթից (ասիմետրիկ անդրադարձում)։

Այս դեպքում ընկնող և անդրադարձող ճառագայթները անկման մակերևույթի հետ նույն անկյունները չեն կազմի։ Եթե ընկնող ճառագայթը անկման հարթության հետ կազմում է $\theta_1 = \theta - \varphi$, ապա անդրադարձը այդ հարթության հետ կկազմի $\theta_2 = \theta + \varphi$ անկյուն, որտեղ $\theta - \varphi$ Վուլֆ-Բրեգի անկյունն է, իսկ $\varphi - \pi$ անդրադարձնող հարթությունների կազմած անկյունն է անկման մակերևույթի հետ։

Հակառակ դեպքում, եթե ընկնող ճառագայթը անկման մակերևույթի հետ կազմում է $\theta_1 = \theta + \varphi$ անկյուն, ապա $\theta_2 - \varphi$ կլինի՝ $\theta_2 = \theta - \varphi$ ։

Ասիմետրիկ անդրադարձման դեպքում սպեկտրագրաֆի բոլոր տեսակի դիսպերսիաները կմնան նույնը, քանի որ P կետի L հեռավորությունը S ճեղքից մնում է նույնը, իսկ աղեղ SaP -ն և նրան համապատասխան SOP կենտրոնական անկյունը փոփոխություն չեն կրի։

Բրեգի եղանակով սպեկտրի ստացման նկարագրության վերջում ուշադրություն դարձնենք մի հանգամանքի վրա ևս։ Լայն ճեղքի դեպքում կգործի բյուրեղ-տարրալուծիչի մակերևույթի բավականաշափ մեծ մասը։ Ինչպես երևում է գծագրից, O կենտրոնից անդրադարձած ճառագայթը միշտ՝ թե՛ սիմետրիկ և թե ասիմետրիկ անդրադարձումների ժամանակ, կմնա շառավղի ուղղությամբ և աՅ թաղանթի վրա կընկնի ուղղահայաց կերպով, իսկ O կետից հեռու գտնվող կետերից անդրադարձումները ուղղահայաց չեն ընկնի և ուղղահայացից այնքան ավելի շատ կհեռանան, որքան անդ-

ռադարձնող կետն ավելի շատ է հեռու Օ կետից: Պարզ է, որ ճեղքի անխուսափելի վերջավոր լայնության պատճառով լայնություն կունենա նաև սպեկտրային գիծը, և ռենտգենյան թաղանթի վրա թեք ընկնելու պատճառով գծի հետքը լայն կստացվի:

Այսպիսով, բոլոր գեպքերում մեծ լուծող ուժ ունենալու համար պետք է նեղ ճեղք վերցնել, որը և լուսառութի փոքրացման գրիսավոր պատճառն է:

2. ՌԵՆՏԳԵՆԵԱՆ ՃԱՌԱԳԱՅԹՆԵՐԻ ՍՊԵԿՏՐԻ ՎԵՐԱԾՈՒՄԸ ՀԱՐԹ ԲՅՈՒՐԵԼՈՎ ԼԱՌԻԵԽ ԵՂԱՆԱԿՈՎ

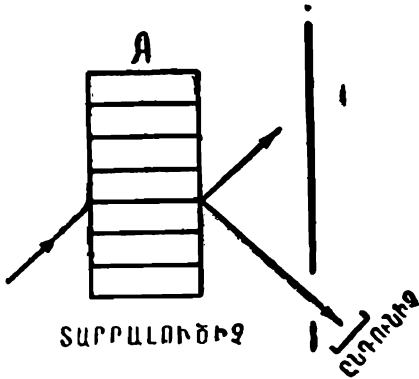
Ռենտգենյան ճառագայթները սպեկտրի կարելի է վնասածել նաև այնպիսի բյուրեղով, որի անդրադարձնող հարթություններն ուղղահայաց են անկման մակերեսութին (սիմետրիկ անցում), կամ էլ այնպիսի անկյուն են կազմում այդ մակերեսութի հետ, որ դիֆրակցված ճառագայթը բյուրեղից դուրս է գալիս ոչ թե անկման մակերեսութիվ, այլ հակառակ կողմից (ասիմետրիկ անցում):

Անդրադարձման կամ անցման եղանակի ընտրությունը գլխավորապես պայմանավորված է սպեկտրի վերածվող ճառագայթման ալիքի երկարությունների տիրութից: Երկար ալիքների դեպքում մեծ կլանման պատճառով անցման եղանակով սպեկտրի վերածել չի կարելի, պետք է աշխատել Բրեգի եղանակով, իսկ կարճ ալիքների դեպքում հակառակը՝ պետք է աշխատել անցման եղանակով: Կարճ ալիքների դեպքում, Բրեգի եղանակով աշխատելիս, բարակ բյուրեղ-անալիքատորից ցրումը թույլ կլինի՝ անդրադարձման ինտենսիվությունը փոքր կլինի: Հաստ անալիքատորով՝ աշխատելիս, կարճալիքային ճառագայթումը խոր կթափանցի անալիքատորի բյուրեղի մեջ, և կլանումը խիստ կմեծանա:

Մենք այստեղ կքննարկենք սիմետրիկ անցումով սպեկտրի վերածման հարցը:

Սիմետրիկ անցումով սպեկտրի վերածման սիմեման տրված է 92-րդ նկարում: Ա-ն բյուրեղ-տարրալուծիչն է, որի (իմ) անդրադարձնող հարթություններն ուղղահայաց են անկման մակերեսութին և գծագրի հարթությանը: Այս դեպքում, եթե չափազանց հաստ բյուրեղ ենք վերցնում, կետային աղբյուրի դեպքում կարելի է էկրանից չօգտվել՝ բյուրեղն ինքն է կատարում և՛ էկրանի, և՛ մոնորումատորի դեր: Ինչպես ցույց է տալիս դինամիկ տեսությունը, բյուրեղի մյօւս կողմից դուրս եկող փունջը լինում է նեղ, խիստ զուգահեռ և նույնիսկ բեռնացված: Հաստ բյուրեղի դեպքում դրանից անդրադառնում (դիֆրակցվում) են միայն վուֆ-Բրեգի պայմանին ճշգրիտ

բավարարող ալիքները, քանի որ անդրադարձման վիճակում գտնվողների կլանման գործակիցը անոմալ կերպով փոքր է լինում, իսկ ուղղությամբ նրանցից անգամ շնչին շափով տարբերվողներին շատ մեծ է լինում, և վերջիններս կլանվում են: Բյուրեղի ներսում անդրադարձման վիճակում գտնվող ալիքների էներգիան հոսում է հարթություններով, և միայն ելքի մակերեսույթի մոտ դաշ-



Նկ. 92. Հարթ բյուրեղով լառեի եղանակով
սպեկտրի վերածելը

տը ճեղքվում է անկման և դիֆրակցման ուղղություններով տարածվող դաշտերի: Բավականաշափ հաստ բյուրեղների դեպքում սպեկտրագրաֆի (սպեկտրամետրի) լուծող ուժը շատ մեծ է լինում, բայց լուսառուժը՝ շատ փոքր: Այդ պատճառով հաստ բյուրեղներից պետք է օգտվել հատուկ դեպքերում՝ սպեկտրային գծերի ստրուկտուրաների նուրբ հետազոտությունների ժամանակ: Այդ դեպքում գրանցումը պետք է կատարել իրոնացման եղանակներով (սպեկտրամետր):

Համեմատաբար բարակ բյուրեղ-տարրալուծիչների դեպքում սպեկտրամետրի լուսառուժը մեծանում է, իսկ լուծող ուժը փոքրանում է: Բոլոր դեպքերում էլ անցման եղանակով աշխատելիս հարթ բյուրեղ-տարրալուծիչներով սպեկտրագրաֆների լուսառուժը փոքր է լինում, ինչպես նախորդ պարագրաֆում նկարագրված Բրեգի եղանակի դեպքում էր:

Հարթ բյուրեղով և անցման եղանակով աշխատող սպեկտրագրաֆները (սպեկտրամետրերը) պայմանավորվենք անվանել լառեի սպեկտրագրաֆներ (սպեկտրամետրեր):

Լառեի սպեկտրագրաֆներում (սպեկտրամետրերում) նույնպես

սպեկտր ստանալու համար անհրաժեշտ է բյուրեղը տատանել: Շատ հաստ բյուրեղ-անալիզատորների դեպքում անկման և անդրադարձման ուղղություններով բյուրեղից դուրս եկող փնջերը լիովին նույնն են ինչպես ինտենսիվությամբ ու ստրուկտուրայով, այնպես էլ փուլերով: Այդ պատճառով սպեկտր ստանալու համար կարելի է օգտվել նրանցից ցանկացածից, սակայն անկման ուղղությամբ տարածվող փնջին մոտ և նրան զուգահեռ տարածվում է անկման ուղղության շարունակությունը (սկզբնական փնջի շարունակությունը) կազմող կարճալիքային փունջը, որը կարող է ուժեղ սեացում առաջացնել թաղանթի վրա: Ուստի նպատակահարմար է անկման ուղղությամբ տարածվող փնջերը հատուկ էկրանի միջոցով կասեցնել, ինչպես այդ ցուց է տրված 92-րդ նկարում:

Բարակ բյուրեղների դեպքում անցման և անդրադարձման ուղղությամբ դուրս եկող փնջերը համանման չեն: Անցման ուղղությամբ տարածվում է նաև կարճալիքային՝ շդիֆրակցված ճառագայթը, այնպես որ բարակ բյուրեղների դեպքում անցման ուղղությամբ տարածվող փունջն անպայման պետք է կասեցնել:

Իոնացման եղանակով գրանցման ժամանակ, ինչպես ասացինք վերևում, շատ հաստ բյուրեղների դեպքում դիֆրակցված ճառագայթը գրանցելիս կարելի է էկրանից չօգտվել, բայց բարակ բյուրեղներից օգտվելիս էկրանն անհրաժեշտ է թե՛ ընկնող, թե՛ դիֆրակցված փնջերի համար: Լառուեկ սպեկտրագրաֆներում (սպեկտրամետրերում) նույնպես կարելի է օգտվել ասիմետրիկ անցումից, սակայն վերջինս չունի ոչ մի առավելություն սիմետրիկ անցման նկատմամբ, հակառակ՝ ասիմետրիկ անցման ժամանակ բյուրեղի ներսում առաջանում են էներգիայի հոսքի ճանապարհի կորացում և ավելորդ բարդություններ:

§ 2. ՍՊԵԿՏՐԻ ՎԵՐԱՆՄԱՆ ԾԿՎԱՆ ԲՅՈՒՐԵՂԻ ԵՂԱՆԱԿՆԵՐԸ

Լույսի փնջերն ուժեղացնելու համար օգտվում են ոսպնյակներից և գոգավոր հայելիներից: Սակայն ունտգենյան ճառագայթների համար, բեկման ցուցի մեկին մոտ լինելու պատճառով, այդ եղանակներից օգտվել հնարավոր չէ: Ունտգենյան ճառագայթների ուղղությունները կարելի է չապես փոխել միայն ատոմային հարթություններից տեղի ունեցող անդրադարձումների միջոցով: Այդ պատճառով ունտգենյան ճառագայթների ֆոկուսացման համար մշակված են ճկված բյուրեղների եղանակները, որոնք հնարավորություն են տալիս ատոմային հալթությունների տարբեր կետերից անդրադարձած ճառագայթները հավաքել մի կետում կամ փոքրիկ տիրույթում, այսինքն՝ ֆոկուսացնել և ստանալ ուժեղացում:

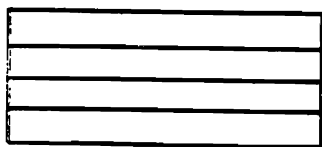
Ճկված բյուրեղների եղանակները նույնպես կարելի է բաժանել երկու հիմնական խմբի՝ ճկված բյուրեղից անդրադարձումով և անցումով ֆոկուսացման եղանակներ:

1. ՈԵԽՏԳԵՆՅԱՆ ՃԱՌԱԳԱՅԹՆԵՐԻ ՅՈԿՈՒՍԱՅՈՒՄԸ ՃԿՎԱԾ ԲՅՈՒԹԵՂԻ
ԱՏՈՄԱՅԻՆ ՀԱՐԹՈՒԹՅՈՒՆՆԵՐԻՑ ԲԲԵԳԱՆ ԱՆԴՐԱԴԱՐՁՈՒՄՆԵՐԻ ՄԻՋՈՑՈՎ

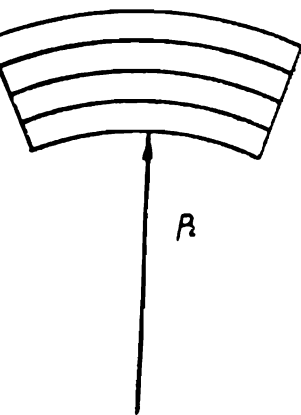
Ինչպես հարթ, այնպես էլ ճկված բյուրեղի դեպքում անդրադարձումն օգտագործվում է երկար ալիքների ֆոկուսացման ժամանակ: Ճկված բյուրեղի ատոմային հարթություններից կատարվող բրեգյան անդրադարձման միջոցով ֆոկուսացման եղանակներից հիշատակման արժանի են երեքը՝ իոհանի, իոհանսոնի և իոհան-Պրոտոպոպովի, որոնց նկարագրմանն էլ նվիրված է չշաբաթի այս մասը:

ա. Իոհանի եղանակը

Ենթադրենք ունենք մի հարթ բյուրեղ, որի անդրադարձնող հարթությունները զուգահեռ են նրա անկման մակերևույթին (նկ. 93ա), և այդ բյուրեղը ճկում էնք՝ տալով R շառավղով շրջանային գլանի ձև, որի ծնիջներին ուղղահայաց կտրվածքը ցույց է տրված 93 բ նկարում: R -ը նրա ներքին մակերևույթի շառավղին է: Ճկման բազմաթիվ եղանակների կան, բայց մենք այդ հարցի քըն-նարկմամբ այստեղ չենք դբաղվելու:



Ա



Բ

Նկ. 93. Իոհանի եղանակի համար բյուրեղի պատրաստումը ա) հարթ բյուրեղ, որի անդրադարձնող հարթությունները զուգահեռ են մակերևույթին:
բ) R շառավղով ճկված բյուրեղ:

Կարելի է ցույց տալ, որ եթե ունտգենյան ճառագայթների կետային F աղբյուրը տեղափորենք մի ըստ $\frac{R}{2}$ շառավղով շրջանագծի վրա և այդ շրջանագծի վրա տեղափորենք նաև R շառավղով ճրկված մեր բյուրեղը այնպես, որ նրա ներքին գլանային մակերևույթը ըստ շրջագիծի շրջանագիծը (նկ. 94), ապա բյուրեղի ճկված մակերեւումը կատարվում է այսպիսի աղբյուրում:

Վույթի տարբեր կետերից անդրադարձած ճառագայթները կհավաքվեն շրջանագծի մյուս կողմում (F-ի դիմաց) մի F₁ կետում՝ ավելի ճիշտ՝ F₁-ի շրջակայքում՝ մի փոքրիկ տիրույթում:

Իրոք, եթե F աղբյուրը շրջանագծով այնպես տեղափոխենք, որ FA ճառագայթը գտնվի անդրադարձման վիճակում, ապա անդրադարձած F₁A ճառագայթը շրջանագծի կատի F₁ կետում և համարյա այդ կետում էլ կհատվեն BC աղեղի մնացած կետերից անդրադարձած ճառագայթները (94-րդ նկարում ցույց է տրված ճառագայթների ընթացքը հորիզոնական հարթության մեջ): A կետը գտնվում է աղեղի կենտրոնում, բյուրեղի վրա (նկ. 95):

Այդ ֆոկուսացման պատճառով տեղի կունենա անդրադարձած փնջի ինտենսիվության ուժեղացում: Փորձով ապացուցված է, որ ճկված բյուրեղով սպեկտրագրաֆի լուսաուժը մոտ 50—70 անգամ ավելի մեծ է, քան հարթ բյուրեղով սպեկտրագրաֆինը:

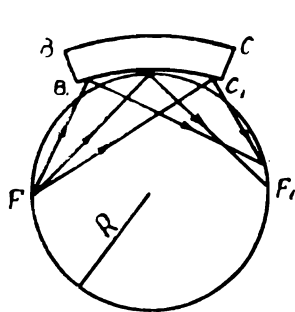
Եթե Բրեգի սպեկտրագրաֆի ֆոկուսացումը տարածամանակյա է՝ անդրադարձած ճառագայթները բյուրեղի տարբեր կետերում նրա տարբեր դիրքերի ժամանակ են առաջանում (տարբեր պահերին), ապա ճկված բյուրեղի՝ այստեղ նկարագրված եղանակի դեպքում ֆոկուսացումը միաժամանակյա է: Բյուրեղի բոլոր կետերը միաժամանակ գտնվում են անդրադարձման վիճակում, և անդրադարձած ճառագայթները բոլորը միաժամանակ հասնում են F₁ կետը: Այդ է պատճառը, որ անդրադարձած փնջի ինտենսիվության մեծ ուժեղացում է առաջանում: Ճկված բյուրեղի այս եղանակը առաջին անգամ մշակել է իռհանը և կոչվում է նրա անունով:

Շրջանագիծը, որի վրա տեղավորվում են ունտեղենյան ճառագայթների կետային աղբյուրն ու բյուրեղ-տարրալուծիշը, և որի վրա ֆոկուսանում են (հավաքվում են) անդրադարձած ճառագայթները, կոչվում է ֆոկալ (ֆոկուսացման) շրջանագիծ, իսկ շրջանը կոչվում է Ռոլանդի շրջան:

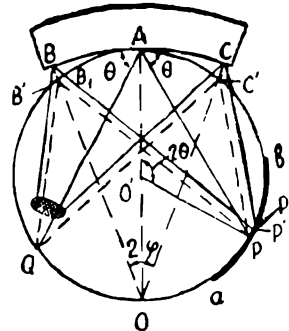
Մենք խոսեցինք կետային աղբյուրը ֆոկուսացման շրջանի վրա տեղավորելու մասին, բայց կարելի է նաև վերջավոր շափերով աղբյուրը տեղավորել Ռոլանդի շրջանի ներսում, ինչպես այդ ցույց է տրված 95-րդ նկարում: Քանի որ կետային աղբյուր գործնականում ստեղծել համարյա թե հնարավոր չէ, այդ պատճառով էլ փաստուեն, գրեթե միշտ, աղբյուրը տեղավորում են շրջանի ներսում:

Ֆոկուսացման իռհանի եղանակը կետային ֆոկուս չի տալիս, սպեկտրային գիծը F₁ կետի շրջակայքում ունենում է վերջավոր լայնություն, ըստ որում, այն այնքան ավելի մեծ է լինում, որքան մեծ է լինում բյուրեղի BC երկարությունը: Իրոք, ինչպես այդեն ասացինք, բյուրեղի և միաժամանակ ֆոկալ շրջանագծի վրա գտնվող A

Կետից անդրադարձած ճառագայթը այդ շրջանագիծը հատում է Բ կետում: Այդ ճառագայթը անկման A կետի AO նորմալի հետ կազմում է PAO անկյուն, որը հենվում է OaP աղեղի վրա և հավասար է $(\pi/2 - \theta)$ -ի, որտեղ θ -ն Վուլֆ-Բրեգի անկյունն է: Եթե ճառագայթն անդրադառնար ֆոկուսացման շրջանագծի վրա գտնվող B' կետից, դարձյալ θ անկյան տակ, ապա այս ֆոկուսացման շրջանագիծը հատում է նույն Բ կետում, և մենք կունենայինք կետային ֆոկու-



Նկ. 94. Ճառագայթների ընթացքը իրանանի սպեկտրագրաֆում



Նկ. 95. Իուանի սպեկտրագրաֆ՝ դիսպերսիայի հաշվման համար

սացում: Իրոք, $\angle OBP = \angle OAP$, որովհետև երկուսի գագաթներն էլ գտնվում են ֆոկուսացման շրջանագծի վրա, երկուսն էլ հենվում են միևնույն OaP աղեղի վրա ու չափվում են այդ աղեղի կեսով: Սակայն իրականում անդրադարձումը կատարվում է բյուրեղի վրա գտնվող B կետից և $\angle OBP = \theta$, քանի որ $\angle OBP = \angle OBP' = \theta$ և դրանցից երկրորդը չափվում է OaP' - B'B աղեղների տարբերության կեսով, իսկ մյուսը՝ OaP աղեղի կեսով, ապա պարզ է, որ $\angle OaP' > \angle OaP$ և դրանց տարբերությունը հավասար է $\angle B_1B'$ -ին: Նույն բանը կարելի է ասել նաև C կետից անդրադարձող ճառագայթի մասին: C կետից անդրադարձ ճառագայթը ֆոկուսային շրջանագիծը կհատի P'' կետում և դժվար չէ համոզվել այն բանում, որ $\angle PP'' > \angle PP'$: Իրոք, դա հասկանալի կլինի, եթե նկատի ունենանք այն հանգամանքը, որ շրջանագիծը հատող երկու իրար զուգահեռ և իրարից որոշակի հեռավորության վրա գտնվող ուղիղների միջև գտնվող այդ շրջանագծից հատված աղեղները այնքան ավելի երկար կլինեն, որքան այդ ուղիղները շրջանագծի կենտրոնից ավելի մեծ հեռավորության վրա անցնեն (իհարկե, շառավղից ոչ մեծ):

95-րդ նկարից երևում է, որ $BP' \parallel B'P$ և $CP'' \parallel C'P$, բացի դրանից, $BP' \perp B'P$ -ից և $CP'' \perp C'P$ -ից գտնվում են միևնույն հեռա-

Վորության վրա, սակայն ՅՌ՝ և ՅՌ զույգը կենտրոնից ավելի փոքր հեռավորության վրա է անցնում, քան ԾՌ և ԾՌ՝ զույգը, այսինքն՝ ՊՌ՝ աղեղը մեծ է ՊՌ՝ աղեղից: Հետևապես թ կետը սահմանափակում է սպեկտրային գիծը մեծ անկյունների կողմից, Ա կետից անդրադաժ ճառագայթից դեպի մեծ անկյունների կողմը աՅ աշտող ճառագայթները չկան: ՊՌ և ՊՌ՝ կետերն այնքան ավելի շատ կհեռանան թ կետից (սպեկտրային գծի լայնությունը այնքան ավելի շատ կմեծանա), որքան Յ և Ծ կետերը շատ հեռանան Ա կետից (որքան մեծ լինի բյուրեղի գործող մասի երկարությունը): Սակայն եթե գլանային անալիզատորի շառավիղը մեծ լինի, իսկ բյուրեղի գործող մասի երկարությունը՝ փոքր, սպեկտրային գծի ՊՌ՝ լայնությունը կլինի շնչին, և ճկուն բյուրեղի ներքին մակերեւութից անդրադաժած ամբողջ էներգիան կկուտակվի թ կետին շատ մոտ շրջակայքում:

Սպեկտրային գծի (սպեկտրային սարքի պարամետրերի պատճառով առաջացած լայնությունը կոչվում է գործիքային լայնություն) գործիքային լայնության մեծացման նաև այլ պատճառներ կան, թվարկենք այդ պատճառներն առանց քննարկելու:

Առաջին պատճառը, որի մասին արդեն խոսել ենք, ոչ ճշգրիտ (ոչ կետային) ֆոկուսացումն է: Բյուրեղից անդրադաժ ճառագայթների և ֆոկուսացման շրջանագծի համար կետերը դասավորվում են այդ շրջանագծի մի լ₁=ՊՌ՝ տեղամասում, որի երկարությունը (սպեկտրային գծի լայնությունը) որոշվում է հետևյալ բանաձևով՝

$$l_1 = \frac{R\varphi^2}{8} \operatorname{ctg}\theta, \quad (7.7)$$

որտեղ Փ-ն բյուրեղ-անալիզատորի անկյունային երկարությունն է (տե՛ս նկար 95):

Երկրորդ պատճառը, որն առաջանում է լուսանկարչական գրանցման ժամանակ, ֆոտոթաղանթի հաստությունն է: Լուսանկարչական գրանցման ժամանակ թաղանթին նույնպես տալիս են գլանի ձև (R/2 շաղավղով) և դնում են ֆոկուսացման շրջանագծի վրա, ինչպես ցույց է տրված 95-րդ նկարում: Եթե ճառագայթները թեք են ընկնում, թաղանթի վրա առաջանում է սպեկտրային գծի հավելյալ l₂ լայնացում, որն արտահայտվում է

$$l_2 = t \cdot \operatorname{ctg}\theta \quad (7.8)$$

բանաձևով, որտեղ t-ն ֆոտոթաղանթի էմուլսիայի հաստությունն է:

Երրորդ պատճառը էկրանի ճեղքի բարձրությունն է: Իոհանի եղանակով ֆոկուսացումը կատարվում է հորիզոնական հարթության (գլանի ծնիշներին ուղղահայաց կտրվածքի) մեջ, իսկ դեպի վերև ու ներքև ընկնող փնջի մեջ գոյսություն ունի տարամիտում: Այդ պատճառով առաջացած լրացուցիչը լայնացումն արտահայտվում է հետևյալ բանաձևով՝

$$l_3 = \frac{h^2}{8R} \operatorname{ctg}\theta, \quad (7.9)$$

որտեղ h -ը էկրանի ճեղքի բարձրությունն է:

Ամենից առաջ այստեղ պետք է նշել, որ (7.7)–(7.9) լայնությունները աղդիտիվ կերպով չեն, որ գումարվում են իրար, իսկ հետո, ինչպես երկում է այդ արտահայտություններից, բոլորն էլ համեմատական են Շեթ-ին: Այդ նշանակում է, որ Վոլֆ-Բրեքի անկյան մեծացմամբ, ավելի ճիշտ՝ անդրադարձնող ճառագայթների և բյուրեղի մակերեսույթի կազմած անկյան մեծացմամբ այդ բոլոր լայնությունները փոքրանում են:

Բացի դրանից, l_1 լայնությունը կարելի է փոքրացնել բյուրեղանալիքատորի երկարության, այսինքն՝ Φ -ի փոքրացմամբ: l_2 լայնությունը կարելի է փոքրացնել նաև ունտգենյան թաղանթի և հաստությունը փոքրացնելով, որը կարելի է անել այսպես: Սովորաբար մեծ զգոնություն ստանալու համար ունտգենյան թաղանթի էմուլսիան երկշերտանի են անում: Կարելի է ունտգենագրամմայի մշակումից հետո (*լուսակայումից*, հայտածումից և ամրապնդումից հետո), էմուլսիայի արտաքին շերտը հանել: Վերջապես լ3 լայնացումը փոքրացնելու համար, ինչպես այդ երկում է (7.9)-ից, անհրաժեշտ է հնարավորին շափ փոքրացնել ճեղքի և բարձրությունը:

Հասկանալի է, որ լրացուցիչը լայնացումներ և ոչ ցանկալի երեվույթներ առաջանում են նաև այն դեպքում, երբ սպեկտրագրաֆի երկրաշափությունը ճիշտ չի պահպանվում, երբ բյուրեղի մակերեվույթը ճիշտ գլանային չէ, իր տեղում (*ֆոկուսացնող շրջանի վրա*) ճիշտ չի դրված և այլն: Այդ բոլորից խուսափելուն շատ օգնում է բյուրեղ-տարրալուծիչի գործող մակերեսույթի փոքրացումը, որն արգում է հատուկ էկրանի օգնությամբ, ինչպես ցույց է տրված 95-րդ նկարում:

Ճկված բյուրեղով սպեկտրագրաֆի գծային դիսպերսիան հաշվելու համար անհրաժեշտ է օգտվել բյուրեղի կենտրոնից սպեկտրային գծի ունեցած (աղեղով հաշված) Աար հեռավորության և դրան համապատասխանող կենտրոնական անկյան միջև գոյսություն ունեցող $L = 2r\theta = R\theta$ կապից, որտեղից կտանանք՝

$$D_L = \frac{|\Delta L|}{|\Delta \lambda|} = R \frac{|\Delta \theta|}{|\Delta \lambda|} = \frac{R}{2d \cos \theta} = \frac{R}{\lambda} \operatorname{tg} \theta, \quad (7.10)$$

$$D_L' = \frac{|\Delta \lambda|}{|\Delta L|} = \frac{\lambda}{R} \operatorname{ctg} \theta, \quad (7.11)$$

Ինչպես երկում է (7.10)-ից և (7.11)-ից, գծային դիսպերսիան մեծանում, իսկ գծային հակադարձ դիսպերսիան փոքրանում է նույնապես Թ անկյան մեծացմամբ:

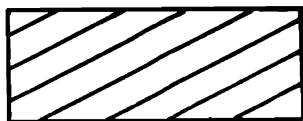
Հետաքրքիր է այստեղ նշել, որ Բրեգի սպեկտրագոաֆի գծային դիսպերսիան հավասար է Իոհանի սպեկտրագրաֆի դիսպերսիային: Այդ բանում համոզվելու համար (7.5)-ը և (7.10)-ը իրար հետ համեմատելիս պետք է հիշել, որ (7.10)-ի մեջ R -ը բյուրեղի գլանային մակերեսույթի շառավիղն է, որը երկու անգամ մեծ է ֆոկուսացման շրջանագծի շառավղից ($R=2r$), իսկ (7.5)-ի մեջ մտնող R -ը ֆոկուսացման շրջանագծի շառավիղն է: Չնայած դրան, (7.7) լայնացման պատճառով, Իոհանի սպեկտրագրաֆի լուծող ուժը ստացվում է ավելի փոքր, քան Բրեգինը (Բրեգի սպեկտրագրաֆի մեջ ֆոկուսացումը կետային է), իսկ լուսառությունը առաջինինը շատ ավելի մեծ է, քան երկրորդինը:

Բ. Իոհան-Պրոտոպովի եղանակը

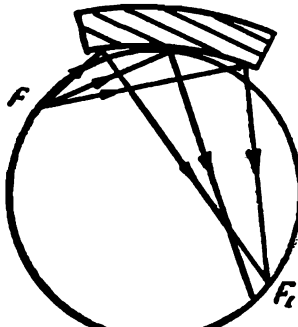
Իոհանի եղանակը նկարագրելիս ցույց տվեցինք, որ սպեկտրագին գծի բոլոր երեք տեսակի լայնացումներն էլ համեմատական են ցոցթին, այսինքն՝ բյուրեղի կենտրոնական A կետից անդրադարձած ճառագայթի և այդ կետով բյուրեղի ներքին մակերեսույթին տարած շոշափողի միջև կազմված թ անկյունը մեծացնելիս հիշյալ լայնացումները փոքրանում են:

Ուրեմն, ճկված բյուրեղով սպեկտրագրաֆի լուծող ուժը մեծացնելու համար անհրաժեշտ է մեծացնել անդրադարձած ճառագայթների կազմած անկյունը բյուրեղի մակերեսույթի հետ: Այդ անկյունը Իոհանի եղանակի դեպքում (սիմետրիկ անդրադարձման դեպքում) համընկնում է Վուլֆ-Բրեգի անկյան հետ, հետևապես ճառագայթումը այդ եղանակով սպեկտրի վերածելիս, լուծող ուժը մեծացնելու նպատակով պետք է մեծացնել Վուլֆ-Բրեգի անկյունը: Վուլֆ-Բրեգի անկյունը մեծացնել կարելի է կամ անդրադարձման կարգը մեծացնելով, կամ փոքր միջարթությունային հեռավորություն ունեցող հարթությունների ընտանիքից օգտվելով: Սակայն անդրադարձման կարգի մեծացումը փոքրանում է անդրադարձման ինտենսիվությունը ատոմային ֆակտորի փոքրացման պատ-

Ճառով, իսկ ցանկացած միջնարթությունային հեռավորությամբ հարթությունների ընտանիքի ընտրության մեջ մենք ազատ չենք: Ուժեղ անդրադարձնող հարթությունների ընտանիքների թիվը և որպես բյուրեղ-անալիզատոր օգտագործվող բյուրեղների թիվը խիստ սահմանափակ են:



Նկ. 96. Թեք հարթություններով բյուրեղ Խոհան-Պրոտոպով պովի սպեկտրագրաֆի համար



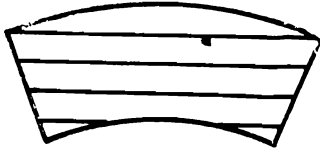
Նկ. 97. Ճառագայթների ընթացքը Խոհան-Պրոտոպովի սպեկտրագրաֆի մեջ

Բանից պարզվում է, որ այդ դժվարությունը կարելի է շրջանցել, եթե օգտվենք ասիմետրիկ անդրադարձումից: Պրոտոպովովն առաջարկել է բյուրեղը կտրել այնպես, որ անդրադարձնող հարթությունները ոչ թե անկման մակերեսույթին լինեն զուգահեռ, այլ նրա հետ կազմեն որոշ ա անկյուն, ինչպես այդ ցուցք է տրված 96-րդ նկարում: Ճկելուց հետո այդ բյուրեղը կընդունի 97-րդ նկարում ցուց տրված տեսքը: Ինչպես երևում է վերջին նկարում ցուց տրված ճառագայթների ընթացքից, ընկնող ճառագայթը բյուրեղի մակերեսույթի հետ կազմում է թ—ա անկյուն, իսկ անդրադարձը՝ թ+ա անկյուն, և ամբողջ սպեկտրը $R/2$ շառավղով շրջանի ($\pi/2$ անգամ) կենտրոնի շուրջը պատվում է 2 α անկյունով: Դժվար չէ համոզվել, որ եթե $(\theta + \alpha)$ -ն մոտ լինի $\pi/2$ -ին, լայնացումը կլինի շնչին, և լուծող ուժն էլ կլինի շատ մեծ:

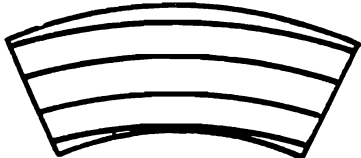
գ. Խոհանսոնի եղանակը

Խոհանի եղանակի առավելությունը՝ նրա մեծ լուսառուժը սպեկտրային գծերի ստրուկտուրային նուրբ հետազոտությունների ժամանակ կորցնում է իր նշանակությունը, որովհետև այդպիսի հետազոտությունների ժամանակ պահանջվում է մեծ լուծող ուժ, սակայն Խոհանի սպեկտրագրաֆի ֆոկուսացումը կետային չէ, և լուծող ուժը փոքր է:

Իոհանսոնը սրամտորեն կարողացավ, պահպանելով Իոհանի եղանակի մեծ լուսառութը, մեծացնել նաև լուծող ուժը. նա ճկված բյուրեղով ստացավ կետային ֆոկուսացում: Սկզբում չճկված բյուրեղին հղկման միջոցով տալիս է R շառավղով գլանային մակերեվութի ձև, ինչպես այդ ցույց է տրված 98-րդ նկարում: Այդ գլանային բյուրեղի ատոմական հարթությունները չեն ճկված՝ հարթ են, իսկ մակերեսույթներն ունեն շրջանային գլանի ձև, արտաքինը՝



Նկ. 98. Իոհանսոնի սպեկտրագրաֆի համար հղկման բյուրեղ

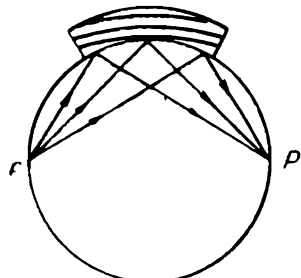


Նկ. 99. Իոհանսոնի սպեկտրագրաֆի համար ճկված բյուրեղ

R+t, իսկ ներքինը՝ R շառավիղներով, որտեղ t-ն բյուրեղի հաստությունն է: Դրանից հետո այդ գլանային բյուրեղը ճկվում են, տալով նրան R/2 ներքին շառավղով գլանի ձև: Այդ գեպքում արդեն անդրադարձնող հարթությունները նույնպես ճկվում են և ընդունում R շառավղով գլանի տեսք, իսկ մյուսների շառավիղներն աճում են R-tց մինչև R+t: Այսպիսով, մակերեսույթների շառավիղները երկու անգամ փոքր են հարթությունների շառավիղներից (նկ. 99):

Եթե այժմ կառուցենք Իոհանսոնի բյուրեղ-տարրալուծիչի ֆոկուսացման շրջանագիծը, ապա այդ բյուրեղը իր ներքին մակերեսույթով ճշգրիտ կերպով կհամընկնի նրա հետ (նկ. 100): Դժվար չէ համոզվել որ բյուրեղ-տարրալուծիչի ներքին մակերեսույթի բոլոր կետերից անդրադարձած ճառագայթները կհավաքվեն ֆոկուսային շրջանագծի մի թիվ կետում, այսինքն՝ կունենանք կետային ֆոկուսացում, անկախ բյուրեղի երկարությունից: Թվում

է, թե այդ բանը հնարավորություն կտա ցանկացած շափով երկարացնել բյուրեղ-տարրալուծիչը և ցանկացած շափով մեծացնել սպեկտրագրաֆի լուսառութը: Սակայն կարելի է ցույց տալ, որ ինչպես Իոհանի, այնպես էլ Իոհանսոնի սպեկտրագրաֆում սպեկտրային գծերի գործիքային լայնությունը կախված է բյուրեղ-տարրալուծիչի գործող մասի երկարությունից և ճառագայթների՝ բյուրեղի



Նկ. 100. Ճառագայթների ընթացքը Իոհանսոնի սպեկտրագրաֆում

մեջ թափանցելու խորությունից: Իրոք, կետային ֆոկուսացում ստացվում է միայն տարրալուծիչի անմիջապես մակերևույթի վրա գտնվող կետերից անդրադարձած ճառագայթների համար, այն շրջանագծի մի քառում, որի վրա գտնվում են կետային աղբյուրը և բյուրեղի ներփին մակերևույթը, հաջորդ շերտերի համար այդ պայմանը շի բավարարվում՝ անդրադարձնող շերտը կգտնվի $R_{/2} + \Delta R$ շառավղով գլանի վրա, իսկ աղբյուրն ու ֆոտոթաղանթը՝ $R_{/2}$ շառավղով գլանի վրա, և այդ պատճառով կետային ֆոկուսացում չի ստացվում: Այսպիսով, տարրեր շերտերից անդրադարձումները կֆոկուսանան տարրեր լայնության տիրույթներում, որոնք մեծանում են առաջին շերտից այդ անդրադարձող շերտի ունեցած հեռավորության և իր երկարության մեծացմամբ:

Ուրեմն, Իոհանսոնի եղանակի դեպքում նույնպես ֆոկուսացմամբ պայմանավորված լայնությունը կախված է բյուռեղ-տարրալուծիչի երկարությունից՝ երկարության մեծացմամբ այն մեծանում է: Սակայն այս դեպքում ֆոկուսացման տիրույթի լայնությունը ըզդալիորեն փոքր է Իոհանի եղանակով ֆոկուսացման տիրույթի լայնությունից:

Իոհանսոնի եղանակի դեպքում ճեղքի լայնությամբ և ֆոտոթաղանթի հաստությամբ պայմանավորված լայնությունները (սպեկտրային գծի) նույնն են:

Որպես Իոհանսոնի եղանակի թերություն պետք է նշել բյուրեղ-տարրալուծիչի պատրաստման բարդությունը (նախնական հղկումը և հետագա ճկումը):

Իոհանսոնի եղանակի դեպքում նույնպես կարելի է օգտվել ասիմետրիկ անդրադարձումից և փոքրացնելով լայնացումները՝ մեծացնել լուսառությը:

Այսպիսով, մեծ լուսառությով և մեծ լուծող ուժով սպեկտրադրաֆ կունենանք, եթե օգտագործենք Իոհանսոնի եղանակը և ասիմետրիկ անդրադարձումները:

II. ՌԵՆԴՐԵՆՅԱՆ ՃԱՌԱԳԱՅԹՆԵՐԻ ՅՈԿՈՒՍԱՅՈՒՄԸ ԲՅՈՒՐԵՂԻ ՀԱՐԹՈՒԹՅՈՒՆՆԵՐԻՑ ՏԵՂԻ ՈՒՆԵՑՈՂ ԼԱՌԻ ԱՆԴՐԱԴԱՐՁՈՒՄՆԵՐԻ ՄԻՋՈՑՈՎ

Արդեն նշել ենք, որ կարճ ալիքների դեպքում սպեկտրի վերածման համար պետք է օգտվել ատոմական հարթություններից տեղի ունեցող լառեւ անդրադարձումներից:

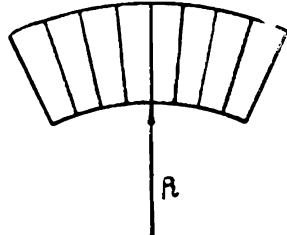
Ճկված բյուրեղների դեպքում լառեւ անցումներով սպեկտրի վերածման եղանակներից հարկ ենք համարում կանգ առնել Կոշուայի, Կոշուա-Պրոտոպովովի, Կոշուա-Իոհանսոնի և Դյու-Մոնդի եղանակների վրա:

1. Կոշուայի եղանակը

Անդրադարձած ռենտգենյան կարճալիքային ճառագայթները ֆոկուսացնելու համար կոշուան առաջարկել է մի եղանակ, որի էությունը հետեւյալն է. բյուրեղը կտրում են այնպես, որ անդրադարձնող հարթությունները լինեն ուղղահայաց անկման մակերե-



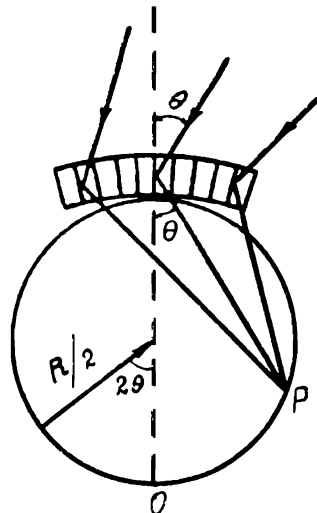
Նկ. 101. Կոշուայի սպեկտրագրաֆի համար հղկված բյուրեղ



Նկ. 102. Կոշուայի սպեկտրագրաֆի համար ճկված բյուրեղ

վուլթին, ինչպես այդ ցույց է տրված 101-րդ նկարում: Այդ հարթ բյուրեղը ճկում են՝ տալով նրան R ներքին շառավղով գլանի ձև: Անդրադարձնող հարթությունները բյուրեղի արտաքին մասում իրարից հեռանում են, իսկ ներքին մասում մոտենում են իրար ($\text{Հովհարի թերթիկների } \delta\text{-ով}$), և նրանց շարունակությունները հատվում են R շառավղով շրջանի կենտրոնում (նկ. 102): Եթե այդ ճկված բյուրեղը տեղավորենք այնպես, որ նա իր ներքին մակերեսույթի կենտրոնական A կետով շոշափի ֆոկուսացման շրջանագիծը, ապա դրսից ընկնող ճառագայթները բյուրեղի ատոմական հարթություններից լառե անդրադարձման ենթարկվելով կհավաքվեն (կֆոկուսանան) ֆոկուսացման շրջանի P կետում (շոշափակում), ինչպես ցույց է տրված 103-րդ նկարում: Սակայն այս դեպքում ևս ֆոկուսացումը կետային չէ, որովհետև բյուրեղի մակերեսույթը չի համընկել ֆոկուսացման շրջանագիծին:

Կոշուայի եղանակով ֆոկուսացնելիս, որովհետև անդրադարձնող հարթություններն իրար զուգահեռ չեն, աղբյուրը պետք է մեծ



Նկ. 103. Ճառագայթների ընթացքը կոշուայի սպեկտրագրաֆում

շափեր ունենա՞ պետք է ձգված լինի բյուրեղի երկայնքով և թեքված Վուլֆ-Բրեգի անկյունով։ Աղբյուրի յուրաքանչյուր կետից դուրս եկած ճառագայթներից միայն մեկը կարող է գտնվել անդրադարձման վիճակում, ուստի, որպեսզի բյուրեղ-տարրալուծիչը ամբողջ երկայնքով գտնվի անդրադարձման վիճակում, անհրաժեշտ է, որ ունտգենյան ճառագայթների աղբյուրը համապատասխանաբար մեծ շափեր ունենա։

Այս դեպքում սպեկտրային գծերի հեռավորությունը հարմար է հաշվել բյուրեղի գլանային մակերեւոյթի շրջանային կտրվածքի Օկենտրոնից, որի համար, օգտվելով 103-րդ նկարից, կստանանք՝ $OP=L=20$. $R/2=R\theta$, որտեղ գծային և հակադարձ գծային դիսպերսիաների համար համապատասխանաբար կստանանք

$$D_L = \frac{|\Delta L|}{|\Delta \lambda|} = \frac{R |\Delta \theta|}{|\Delta \lambda|} = \frac{R}{\lambda} \operatorname{tg} \theta, \quad (7.12)$$

$$D_L' = \frac{|\Delta \lambda|}{|\Delta L|} = \frac{\lambda}{R} \operatorname{ctg} \theta \quad (7.13)$$

արտահայտությունները, որոնք ճշգրիտ կերպով համընկնում են (7.10) և (7.11) արտահայտություններին, միայն այն տարբերությամբ, որ (7.12) և (7.13) բանաձևերի մեջ թ-ն անդրադարձնող հարթության ու անդրադարձած ճառագայթի միջև կազմված անկյունն է, իսկ (7.10)-ի և (7.11)-ի մեջ թ-ն բյուրեղի մակերեւոյթի ու անդրադարձած ճառագայթի միջև կազմված անկյունն է, որը միայն մասնավոր դեպքում (սիմետրիկ անդրադարձում) կլինի անդրադարձնող հարթության և անդրադարձած ճառագայթների միջև կազմված անկյուն։

Լայնացումները Կոշուայի եղանակի դեպքում արտահայտվում են այսպես.

1. ոչ ճշգրիտ ֆոկուսացման հետևանքով՝

$$\omega_1 = \frac{1}{2} \left(\frac{R \tilde{\tau}^2}{4} + t_1 \right) \operatorname{tg} \theta, \quad (7.14)$$

2. ֆոտոթաղանթի հաստությամբ պայմանավորված՝

$$\omega_2 = t_2 \operatorname{tg} \theta, \quad (7.15)$$

3. ճեղքի բարձրությամբ պայմանավորված՝

$$\omega_3 = \frac{h^2}{8R} \operatorname{tg} \theta, \quad (7.16)$$

որտեղ t_1 -ը բյուրեղի հաստությունն է:

Հետաքրքիր է, որ Կոշուայի եղանակի գծային դիսպերսիան համեմատական է Եցթ-ին, և Վոլֆ-Բրեգի անկյան մեծացմամբ մեծանում է նաև (7.12) դիսպերսիան, մյուս Կողմից՝ (7.14)—(7.16) լայնացումները նույնպես համեմատական են Եցթ-ին, և Փոկուացումը վատանում է թանկյան մեծացմամբ:

Այսպիսով, հանգում ենք մի կարեոր եզրակացության:

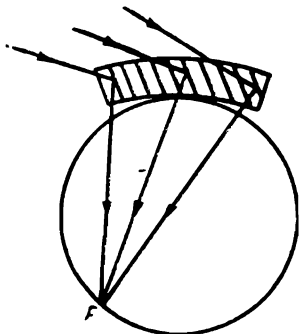
Կոշուայի եղանակով ռենտգենյան ճառագայթումը չի կարելի վերածել սպեկտրի շատ փոքր անկյունների տակ, քանի որ այդ գեպքում շատ կփոքրանա սպեկտրագրաֆի գծային դիսպերսիան, իսկ մյուս Կողմից՝ չի կարելի սպեկտրի վերածել մեծ անկյունների տակ, որովհետև այդ գեպքում շատ կմեծանան (7.14)—(7.16) լայնությունները:

Ինչպես երեսում է (7.14) բանաձևից, ոչ ճշգրիտ Փոկուացմամբ պայմանավորված լայնության մեջ մտնում է նաև բյուրեղի հաստությունը, և դա հասկանալի է, որովհետև ճառագայթներն անցնում են բյուրեղի ամբողջ հաստությամբ: Եթե Կոշուայի եղանակով գլանաձև բյուրեղը բաժանենք համակենտրոն գլանային շերտերի, ապա պարզ է, որ առաջին շերտից (Փոկուացման շրջանագծին շոշափող) անդրադարձած ճառագայթների Փոկուայի լայնությունը ավելի փոքր կլինի, քան մյուս շերտերից անդրադարձներին՝ քանի շերտը հեռանում է Փոկուացման շրջանից, այնքան նրանից անդրադարձած ճառագայթների Փոկուայի լայնությունը մեծանում է: Այլ կերպ ասած՝ բյուրեղի հաստության մեծացմամբ մեծանում է սպեկտրային գծի լայնությունը:

Իիստ ասած, բյուրեղի հաստությամբ պայմանավորված է ֆեկտը տեղի ունի ինչպես Բրեգի, այնպես էլ Իոհանսոնի սպեկտրագրաֆներում, բայց այդ ապաֆոկուսացումը գնահատելիս այն հաշվի չի առնված, որը չէր կարելի անտեսել: Իրոք, ճառագայթները ոչ միայն բյուրեղի մակերեսույթից են անդրադարձնում, այլ որոշ շափով խորաստովում են բյուրեղ-տառարարութիւն մեջ, որը համարժեք է այն բանին, որ անդրադարձումը կատարվում է որոշ հաստությամբ բյուրեղի Կողմից: Այդ հաստության տարերը շերտերը տարբեր լայնացում կտան, և ընդհանուր լայնացումն ավելի: Մեծ կլինի, քան միայն մակերեսույթից անդրադարձ ճառագայթների Փոկուայի լայնությունը: Իհարկե, հաստության նշված է ֆեկտը Կոշուայի սպեկտրագրաֆի մեջ ավելի մեծ է, քան միայն մակերեսույթից անդրադարձ ճառագայթների Փոկուայի լայնությունը: Հաստության նշված է ֆեկտը Կոշուայի սպեկտրագրաֆի մեջ ավելի մեծ է, քան Բրեգի, Իոհանսոնի և Իոհանի սպեկտրագրաֆներում:

2. Կոշուա-պրոտոպոպովի եղանակը

Ասիմետրիկ լառւե անդրադարձումներից կարելի է օգտվել նաև կոշուայի եղանակով ունտգենյան ճառագայթումը սպեկտրի վերածելիս: Եթե անդրադարձնող հարթությունները բյուրեղի մակերևույթի հետ կազմում են $\pi/2$ -ից փոքր անկյուն, սակայն ոչ այնքան փոքր, որ անդրադարձած ճառագայթը անկման մակերևույթից դուրս գա, կարելի է աշխատել դարձյալ կոշուայի եղանակով: Այս-



Նկ. 104. Ճառագայթների ընթացքը կոշուա-Պրոտոպոպովի տիպի սպեկտրա-գրաֆներում

տեղ կարող է լինել երկու դեպք, եթե ընկնող ճառագայթը բյուրեղի անկման մակերևույթի նորմալի հետ կազմում է $\theta + \alpha$ անկյուն, իսկ անդրադարձած ճառագայթը, որը դուրս է գալիս բյուրեղի մյուս երեսից՝ $\alpha - \theta$ անկյուն և հակառակը (նկ. 104): Առաջին դեպքում ամբողջ սպեկտրը պտտվում է անկյունով դեպի ձախ, երկրորդ դեպքում՝ դեպի աջ: Ա-ն անդրադարձնող հարթությունների և մակերևույթի նորմալի միջև կազմված անկյունն է:

Հատ երևույթին ասիմետրիկ անդրադաման եղանակը կոշուայի ֆո-

կուսացման դեպքում այնքան էլ էֆեկտիվ չէ, որովհետև կոշուայի սպեկտրագրաֆում շատ մեծ և շատ փոքր անկյունների տակ չի կարելի աշխատել, իսկ ասիմետրիկ անցումներից օգտվում են հենց անդրադաման մակերևույթի հետ (այն մակերևույթի, որից դուրս են գալիս անդրադարձած ճառագայթները) ճառագայթների կազմած անկյունը շատ մեծացնելու կամ շատ փոքրացնելու նպատակով:

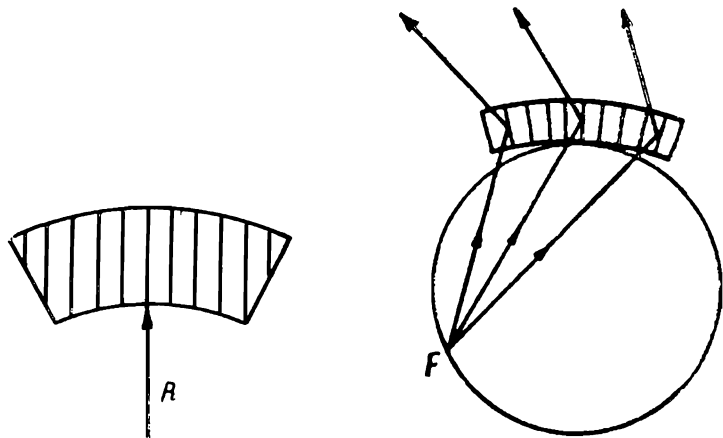
Հավանական է, որ կոշուա-Պրոտոպոպովի եղանակից կարելի է օգտվել միայն Վուլֆ-Բրեգի շատ մեծ և շատ փոքր անկյունների հատուկ դեպքերում:

Իրոք, եթե Վուլֆ-Բրեգի անկյունը շատ փոքր է, համաձայն (7.14)-(7.16)-ի, ֆոկուսացման պայմանները կլավանան, բայց համաձայն (7.12)-ի՝ գծային դիսպերսիան կփոքրանա, այդ պատճառով պետք է օգտվել ասիմետրիկ լառւե անդրադարձումներից և մեծացնել անդրադարձած ճառագայթների ու մակերևույթի նորմալի միջև կազմված անկյունը: Իսկ եթե Վուլֆ-Բրեգի անկյունը շատ մեծ է, ապա այդ պայմանները ցուց են տալիս նաև, որ ֆոկուսացման պայմանները վատանում են՝ գծերը լայնանում են,

Հնայած գծային դիսպերսիան մեծանում է: Հետևապես, այս դեպքում էլ պետք է օգտվել ասիմետրիկ կառա անդրադարձումից՝ անդրադարձած ճառագայթների և բյուֆեղի մակերևույթի նորմալների միջև կազմված անկյունը փոքրացնելու նպատակով:

3. Կոշուա-Խոհանոսնի եղանակը

Ինչպես Խոհանի, այնպես էլ Կոշուայի եղանակները անդրադարձած ճառագայթների ճշգրիտ (կետային) ֆոկուսացում չեն տալիս: Ճշգրիտ ֆոկուսացումներ չեն տալիս նաև նրանց պրոտոպոպուվյան տարբերակները՝ չնայած վերջնները որոշ շափով լավացնում են ֆոկուսացման պայմանները: Այդ բոլոր սպեկտրագրաֆրաֆների մեջ սպեկտրային գծի ամենամեծ լայնացում ստացվում է ճշկված բյուֆեղի ներքին մակերևույթը ֆոկուսացման շրջանագծի հետ չհամընկնելու պատճառով: Մակերևույթի շառավիղը երկու անգամ մեծ է ֆոկուսացման շրջանագծի շառավիղից: Խոհանոսնի եղանակը բարեկարգ ներքին մակերևույթի շեղումը ֆոկուսացման շրջանագծից վերացնում է, սակայն բյուֆեղի հաստությամբ պայմանավորված ապաֆոկուսացումը մնում է: Խարկե, այդ շեղման վերաց-



Նկ. 105. Կոշուա-Խոհանոսնի
եղանակի համար հղկված
բյուֆեղ

Նկ. 106. Ճառագայթների
ընթացքը Դյու-Մոնդի սպեկտ-
րագրաֆում

ման պատճառով ֆոկուսացման պայմանները զգալիորեն լավանում են:

Կոշուայի սպեկտրագրաֆում նույնպես կարելի է օգտվել Խոհանոսնի տարբերակից: Սկզբում կտրվում է բյուֆեղն այնպես, որ

անդրադարձնող հարթությունները լինեն անկման և ելքի մակերես-վույթներին ուղղահայաց, իսկ հետո հղկման միջոցով՝ մակերես-վույթին կարելի է տալ R ներքին շառավղով՝ շրջանային գլանի տեսք, ինչպես ցույց է տրված 105-րդ նկարում։ Այդ գլանային մակերևույթով բյուրեղը ճկելով՝ կարելի է դարձնել R/2 շառավղով շրջանային գլան։ Այդ գլանային բյուրեղը որպես տարրալուծիչ օգտագործելիս նրա ներքին մակերևույթը կհամընկնի ֆոկուսացման շրջանագծին, և ֆոկուսացման պայմանները կլավանան։ Սակայն Կոշուայի եղանակի հոհանոսոնի տարրերակը, ըստ երևույթին, այնքան էլ էֆեկտիվ չի կարող լինել, քանի որ այստեղ, ինչպես և Կոշուայի ձևով, բյուրեղի հաստությամբ պայմանավորված ապաֆոկուսացումը զգալի է և վերացնել հնարավոր չէ։

4. Դյու-Մոնդի եղանակը

Դյու-Մոնդն առաջարկել է օգտվել կառւեի անդրադարձումներից, բայց ունտգենյան ճառագայթների կետային աղբյուրը տեղափորել բյուրեղի գոգավոր կողմում՝ ֆոկուսացման շրջանագծի վրա։ Դյու-Մոնդի սպեկտրագրաֆի մեջ անդրադարձած ճառագայթների ֆոկուսացման մասին խոսք լինել չի կարող (նկ. 106), քանի որ վերջիններս, ենթարկվելով կառւե անդրադարձման, իրարից հեռանում են։ Իմաստ չունեն Դյու-Մոնդի սպեկտրագրաֆի Պրոտոպոպովի և Իոհաննոսի տարրերակները։ Դյու-Մոնդի սպեկտրագրաֆի ամենամեծ առավելությունը՝ նրա լուսառութիւնը մեծությունն է։ Իրոք, Կոշուայի սպեկտրագրաֆում աղբյուրի յուրաքանչյուր կետից բոլոր կողմերի վրա ճառագայթված ալիքներից միայն մեկ ուղղությամբ ճառագայթվածը (միայն մեկ ճառագայթը) կարող է գտնվել անդրադարձման վիճակում, իսկ մնացած բոլոր ուղղություններով՝ տարածվող ճառագայթները անդրադարձմանը չեն մասնակցում և սպեկտրագրաֆի լուսառութը չեն մեծացնում՝ սպեկտրագրաֆի օգտակար գործողության գործակիցը շատ փոքր է։ Մինչդեռ Դյու-Մոնդի սպեկտրագրաֆում բավականին մեծ անկյունային տիրույթում կետային աղբյուրի արձակած ճառագայթները միաժամանակ կգտնվեն անդրադարձման վիճակում։

Պարզ է, որ Դյու-Մոնդի սպեկտրագրաֆի լուծող ուժը շատ փոքր է (գծի լայնությունը շատ մեծ է), իսկ լուսառութը շատ մեծ է*, այդ պատճառով՝ Դյու-Մոնդի սպեկտրագրաֆով սպեկտրային գծի

* Հաշիվները ցույց են տալիս, որ Դյու-Մոնդի սպեկտրագրաֆի լուսառութը մի քանի հարյուր անգամ կարող է մեծ լինել Կոշուայի սպեկտրագրաֆի լուսառութից։

կառուցվածքի նուրբ ուսումնասիրություններ կատարելը նպատակահարմար չէ: Դյու-Մոնդի սպեկտրագրաֆի լուծող ուժը կարող է հավասար լինել Կոշուայի սպեկտրագրաֆի լուծող ուժին միայն այն դեպքում, եթե առաջինի աղբյուրը կետային լինի: Բայց քանի որ ունեալ աղբյուրները միշտ էլ վերջավոր շափեր ունեն, այդ պատճառով Դյու-Մոնդի սպեկտրագրաֆում մեծ լուծող ուժ չի կարող ստացվել: Դրա փոխարեն Դյու-Մոնդի սպեկտրագրաֆը մեծ լուսառուժ ունի և շատ օգտակար կարող է լինել ունտգենյան և գամմա ճառագայթներով սպեկտրային հետազոտություններ կատարելիս (ոչ նուրբ):

Ինչպես հարթ, այնպես էլ ճկված բյուրեղներով բոլոր սպեկտրագրաֆներում սպեկտրի բավականաշափ մեծ տիրույթ ստանալու համար անհրաժեշտ է բյուրեղը ճոճել:

Գոյություն ունեն նաև այլ եղանակներ, որոնց օգնությամբ կարելի է ունտգենյան ճառագայթները վերածել սպեկտրի: Հարթ բյուրեղների եղանակներից կարելի է նշել Սոլերի եղանակը [17], ճկված բյուրեղների եղանակներից Հոմոշի [18] և Կունցլի [19] եղանակները և այլն: Մեր կարծիքով, այդ եղանակները ավելի պակաս կիրառական նշանակություն ունեն, և նկատի ունենալով նաև գրքի ոչ մեծ ծավալը, դրանք չենք նկարագրի: Չենք նկարագրի նաև զանազան տեսակի սպեկտրագրաֆների կառուցվածքները, քանի որ գրքի հիմնական նպատակը ունտգենյան հետազոտությունների ֆիզիկական հիմունքների շարադրումն է:

ԲՅՈՒՐԵՂՆԵՐԻ ԶԱՓԵՐԻ ՈՐՈՇՈՒՄԸ ՌԵՆՏԳԵՆԵԱՆ
ԴԻՖՐԱԿՑԻՈՆ ՊԱՏԿԵՐՆԵՐԻ ՄԻԶՈՑՈՎ

Ինչպես տեսանք հինգերորդ գլխում, բյուրեղից անդրադարձած ալիքի ինտենսիվությունն արտահայտվում է ինտերֆերենցիոն

$$\Phi = \prod_{\sigma=1}^3 \frac{\sin^2 \left[N_\sigma \frac{\vec{k}(\vec{a}_\sigma \vec{S})}{2} \right]}{\sin^2 \left[\frac{\vec{k}(\vec{a}_\sigma \vec{S})}{2} \right]} \quad (8.1)$$

ֆունկցիայով, և այդ ֆունկցիայի յուրաքանչյուր բազմապատկելի

$$\Phi_\sigma = \frac{\sin^2 \left[N_\sigma \frac{\vec{k}(\vec{a}_\sigma \vec{S})}{2} \right]}{\sin^2 \left[\frac{\vec{k}(\vec{a}_\sigma \vec{S})}{2} \right]} = \frac{\sin^2(N_\sigma \cdot x_\sigma)}{\sin^2(x_\sigma)} \quad (8.2)$$

կախումը $x = \frac{\vec{k}(\vec{a}_\sigma \vec{S})}{2}$ մեծությունից արտահայտվում է 66-րդ նկարում պատկերված կորով:

Այդ կորից երևում է, որ դիֆրակցիոն մաքսիմումների ինտենսիվությունները և անկյունային լայնությունները կախված են տվյալ ուղղությամբ բյուրեղում եղած մասնիկների թվից: Ինտենսիվությունը ընդունում է՝ մաքսիմալ արժեք $x_\sigma = m\pi$ դեպքերում,

որտեղ $m = 0, \pm 1, \pm 2, \dots$, և ընդունում է զրո արժեք $x_\sigma = m\pi \pm \frac{\pi}{N_\sigma}$ դեպքերում: Ինչպես երևում է վերջինից, տվյալ ուղղությամբ անդրադարձան անկյունային տիրուվթի լայնությունը փոքրանում է այդ ուղղությամբ բյուրեղի շափերի մեծացմամբ: Այդ հանգամանքը կա-

րելի է օգտագործել և մաքսիմումների անկյունային լայնություն-ների միջոցով որոշել բյուրեղների շափերը:

Անհրաժեշտ է պարզաբանել դիֆրակցիոն մաքսիմումների գործիքային և դիֆրակցիոն լայնությունների հարցը:

Դիֆրակցիոն մաքսիմումը կարող է լայնանալ ինչպես բյուրեղի շափերի փոքրության պատճառով, այնպես էլ դիֆրակցիոն պատճեր ստանալու համար օգտագործվող սարքերի՝ աղբյուրի, ձեղքերի, ֆոկուսացման մեթոդիկայի, գրանցման եղանակների և այլնի պատճառով:

Դիֆրակցիոն մաքսիմումի լայնության այն մասը, որը պայմանավորված է այդ մաքսիմումի ստացման համար օգտագործվող գործիքներով (սարքերով և մեթոդիկայով), կոչվում է գործիքային լայնություն, իսկ այն մասը, որը պայմանավորված է դիֆրակցիոն երեսությունը (բյուրեղի շափերի փոքրության հետևանքով ռեֆլեքսի անկյունային տիրույթի մեծացմամբ), կոչվում է դիֆրակցիոն լայնություն:

Բյուրեղի շափերով պայմանավորված է դիֆրակցիոն լայնացումը, այդ պատճառով բյուրեղի շափերը կարելի է որոշել դիֆրակցիոն լայնության միջոցով: Ասվածից հասկանալի է դառնում, որ

1. բյուրեղների շափերը որոշելու համար ոչ պիտանի են այն սարքերը, որոնք տալիս են սպեկտրային գծերի շատ ավելի մեծ գործիքային լայնացում, քան նրանց լայնացումն է բյուրեղի շափերի փոքրության պատճառով:

2. Եթե բյուրեղի շափերն այնպիսին են, որ նրանց առաջացրած դիֆրակցիոն լայնացումները չնշն են, ապա այդպիսի բյուրեղների շափերը դիֆրակցիոն եղանակով հնարավոր չէ որոշել: (8.1)* բանաձեւերի օգնությամբ հեշտ է համոզվել, որ եթե բյուրեղի շափերը մեծ են 10^{-4} սանտիմետրից, ապա նրա առաջացրած դիֆրակցիոն լայնացումը շատ փոքր է, և այդպիսի բյուրեղի շափերը դիֆրակցիոն մաքսիմումի լայնացման միջոցով շափել հնարավոր չէ: Ուրեմն, ոենտգենա-դիֆրակցիոն եղանակներով կարելի է որոշել միայն փոքրիկ (10^{-3} սմ-ից փոքր) բյուրեղների շափերը: Իրոք, Հենց այդ պատճառով, ինչպես հետագայում կտեսնենք, դինամիկ տեսության օգնությամբ բյուրեղի շափերը չի կարելի որոշել, որովհետև դինամիկ տեսությունը կիրառելի է միայն մեծ

* (8.1) բանաձեւը որոշվող մաքսիմումները տարբեր հեղինակներ տարբեր կերպ են կոչում: Նրանք երբեմն կոչվում են ինտերֆերենցիոն մաքսիմումներ, երբեմն՝ դիֆրակցիոն մաքսիմումներ և երբեմն էլ՝ ռեֆլեքսներ: Մենք, ըստ հարաբերության, երեք տերմիններն էլ կօգտագործենք:

(10^{-3} սմ և ավելի) բյուրեղների համար, իսկ այդպիսի բյուրեղների համար դիֆրակցիոն մաքսիմումների լայնացումը շնչին է:

Այսպիսով, ռենտգենյան դիֆրակցիոն պատկերով բյուրեղի շափերի որոշումը հանգում է (8.2) ֆունկցիայով՝ արտահայտվող դիֆրակցիոն մաքսիմումների անկյունային լայնությունների շափմանը:

§ 1. ԱՆԴՐԱՊԱՐՈՄԱՆ ԻՆՏԵՆՍԻՎՈՒԹՅԱՆ ԱՆԿՅՈՒՆԱՅԻՆ ԲԱՇԽՈՄԱՆ ՊԱՏԿԵՐԸ ՀԱԿԱԴԱՐՁ ՑԱՆՑՈՒՄ

Պարզվում է, որ այս հարցում նույնպես շափազանց օգտակար է հակադարձ ցանցից օգտվելը:

Մենք արդեն գիտենք, որ երբ բյուրեղը գտնվում է մաքսիմալ անդրադարձման վիճակում, S/λ վեկտորը ճշգրիտ կերպով համընկում է հակադարձ ցանցի վեկտորին: Սակայն, ինչպես ցույց է տալիս 66-րդ նկարը, անդրադարձումը չի սահմանափակվում մի-

$$m\pi - \frac{\pi}{N_\sigma} \leq x \leq m\pi + \frac{\pi}{N_\sigma} \quad (8.3)$$

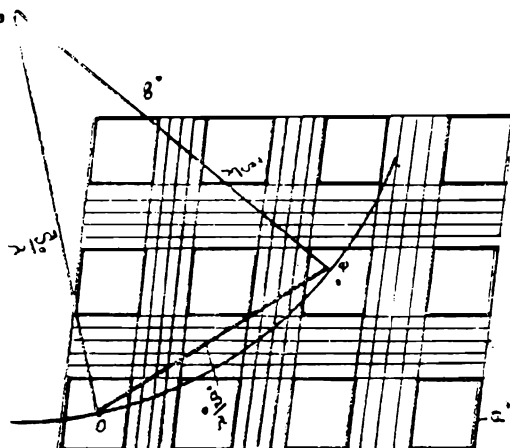
այն առավելագույն անդրադարձմամբ, այն տեղի ունի նաև տիրույթներում: Վուլֆ-Բրեգի պայմանը հակադարձ ցանցում մեկնաբանելիս անդրադարձման համար որպես անհրաժեշտ պայման

նշեցինք, որ (տե՛ս § 4.9) $\vec{H}_{hk\bar{l}} = \frac{\vec{S}}{\lambda} = \vec{R}_{hk\bar{l}}^*$, որն արտահայտում է միայն առավելագույն անդրադարձման ուղղությունը: Հակադարձ ցանցի վեկտոր ասելով հասկանում ենք այնպիսի վեկտոր, որն սկսվում է հակադարձ ցանցի որևէ հանգույցում և վերջանում է մի այլ հանգույցում: Այդպիսի վեկտորը ցույց է տալիս անդրադարձնող հարթությունների նորմալի ուղղությունը և նրանց միջհարթությունային հեռավորությունը: Սակայն, եթե անդրադարձումը մաքսիմալ անդրադարձման ուղղությամբ չի լինում, այդ դեպքում \vec{S}/λ վեկտորը հակադարձ ցանցի վեկտորին չի համընկնում և եթե նրանից քիչ է տարրերվում, ապա անդրադարձում լինում է, բայց ոչ առավելագույն:

Հակադարձ ցանցում անդրադարձման անկյունային ամբողջ տիրույթը (ոչ միայն առավելագույն անդրադարձման ուղղությունը) նկարագրելու նպատակով մտցնենք հակադարձ վեկտորի հասկացությունը հետևյալ կերպ.

$$\vec{S} = \eta_1 \vec{a}^* + \eta_2 \vec{b}^* + \eta_3 \vec{c}^*, \quad (8.4)$$

Հստ որում, եթե η_1 , η_2 և η_3 թվերն ամբողջ թվեր են, \vec{S}/λ վեկտորը համընկնում է հակադարձ ցանցի վեկտորին, սկսվում ու վերջանում է հակադարձ հանգույցներում և ցույց է տալիս անդրադարձման առավելագույն ուղղությունը, իսկ եթե η_1 , η_2 և η_3 թվերն ամբողջ թվեր չեն, \vec{S}/λ վեկտորը չի համընկնում հակադարձ ցանցի



Նկ. 107. Գլխավոր և կողմնային (երկրորդական) մաքսիմալների սահման սխեման հակադարձ ցանցում

վեկտորին (նկ. 107), սկսվում է հակադարձ ցանցի սկզբնակետում, սակայն վերջնակետը հակադարձ ցանցի հանգույցին չի համընկնում: Այս գեպքում այն կկոչվի ուղղակի հակադարձ վեկտոր (և ոչ թե հակադարձ ցանցի վեկտոր), որն իրենից կներկայացնի հակադարձ տարածության որևէ կետի (ոչ թե հանգույցի) շառավիղ-վեկտորը: Եթե \vec{R}_{hk1} շառավիղ-վեկտորով նկարագրվող հանգույցից \vec{S}/λ հակադարձ վեկտորի վերջնակետը շատ հեռու լինի, բայց ոչ այնքան հեռու, որ հարկան հանգույցին մոտենա, անդրադարձման ինտենսիվությունը խիստ կփոքրանա:

Նկատի ունենալով (8.4)-ը, մենք կարող ենք (8.1)-ը բերել ալիսպիսի տեսքի:

$$\Phi(r_1, r_2, r_3) = \prod_{\sigma=1}^3 \frac{\sin^2(\pi N_\sigma r_\sigma)}{\sin^2(\pi r_\sigma)}, \quad (8.5)$$

Ստացված բանաձեղ մեզ հնարավորություն է տալիս հակադարձ ցանցի միջոցով նկարագրել բյուգեղի անդրադարձման ընդունակության պարբերական բաշխումը:

Եթե նկատի ունենանք, որ անդրադարձում տեղի ունի ոչ միայն առավելագույն անդրադարձման ուղղությամբ, որը համապատասխանում է η_1 -ի, η_2 -ի և η_3 -ի ամբողջ թիվ արժեքներին (հակադարձ ցանցի հանգույցներ), այլև (8.3)-ով նկարագրվող անկյունային տիրույթում, ապա անդրադարձման ընդունակության տեսակետից հակադարձ ցանցի կետային հանգույցները պետք է փոխարինել վերջավոր տիրույթներով, որոնց շափերը որոշվում են η_1 , η_2 և η_3 թվերի հետևյալ արժեքներով (տե՛ս 8.5).

$$\begin{aligned} h - \frac{1}{N_1} &\leq \eta_1 \leq h + \frac{1}{N_1}, \\ k - \frac{1}{N_2} &\leq \eta_2 \leq k + \frac{1}{N_2}, \\ l - \frac{1}{N_3} &\leq \eta_3 \leq l + \frac{1}{N_3}, \end{aligned} \quad (8.6)$$

Որտեղ h -ը, k -ն և l -ը ամբողջ թվեր են: Եթե $\eta_1 = h$, $\eta_2 = k$, $\eta_3 = l$, հակադարձ ցանցի հանգույց, ապա ինտերֆերենցիոն (8.5) ֆունկցիան (անդրադարձման ինտեսիվությունը) ընդունում է իր առավելագույն արժեքը, իսկ եթե ընդունում են $\eta_1 = h \pm \frac{1}{N_1}$, $\eta_2 = k \pm \frac{1}{N_2}$ և $\eta_3 = l \pm \frac{1}{N_3}$ արժեքները, ինտերֆերենցիոն ֆունկցիան (անդրադարձման ինտենսիվությունը) ընդունում է զրո արժեք:

Այսպիսով, հակադարձ ցանցի հանգույցների շուրջը գոյություն ունեն տիրույթներ, որոնց համապատասխանող ուղղություններով անդրադարձման (ցրման) ինտենսիվությունները տարբեր են 0 -ից, իսկ այդ տիրույթներից դուրս գտնվող ուղղություններով անդրադարձման (ցրման) ինտենսիվությունը հավասար է 0 -ի (ավելի ճիշտ շատ փոքր է):

Հակադարձ ցանցում այդ տիրույթների շափերը, համաձայն (8.4)-ի և (8.6)-ի, կլինեն՝

$$a^* \text{ուղղությամբ} \frac{2a^*}{N_1},$$

$$\vec{b}^* \text{ ուղղությամբ } \frac{2b^*}{N_2}, \quad (8.7)$$

$$\vec{c}^* \text{ ուղղությամբ } \frac{2c^*}{N_3},$$

Երբեմն հանգույցների շուրջը գոյություն ունեցող այդ տիպությների շափերը անվանում են ուղղակի հակադարձ ցանցի հանգույցների շափեր։ Այդ տերմինալոգիայից հետագայում մենք նույնպես կօգտվենք։

$$\text{Ընդհանրացնելով } \text{կարող } \text{ենք } \text{ասել, } \text{որ } \text{եթե } \vec{H} = \frac{\vec{S}}{\lambda} \text{ հակադարձ } \text{վեկտորի } \text{վերջնակետը } \text{գտնվի } \text{հակադարձ } \text{ցանցի } \text{հանգույցները } \text{շրջապատող } \text{այդ } \text{տիրությների } \text{(գուգահեռանիստերի) } \text{ներսում, } \text{ապա } \eta \text{ի } \text{ֆրակցված } \text{ճառագայթման } \text{ինտենսիվությունը } \text{կլինի } 0\text{-ից } \text{տարբեր } \text{և, } \text{հետևապես, } \xi \text{վալդի } \text{կառուցման } \text{համապատասխան, } \text{հակադարձ } \text{ցանցի } \text{հանգույցները } \text{պետք } \text{է } \text{փոխարինենք } \text{ոչ } \text{մեծ } \text{վերջավոր } \text{տիրությներով։ } \text{Մասնավոր } \eta \text{եպքում, } \text{եթե } \text{բյուրեղն } \text{ունի } \text{գուգահեռանիստի } \text{տեսք, } \text{այդպիսի } \text{տեսք } \text{կունենան } \text{նաև } \text{հակադարձ } \text{ցանցի } \text{հանգույցները } \text{շրջապատող } \text{տիրությները։}$$

Ինչպես երեսում է (8.7)-ից, հակադարձ ցանցի հանգույցների շափերը հակադարձ համեմատական են համապատասխան ուղղություններում գտնվող ատոմների թվին՝ բյուրեղի շափերին, այսինքն՝ եթե որևէ ուղղությամբ բյուրեղի շափը մեծ է, այդ ուղղությամբ հակադարձ ցանցի հանգույցի շափը կլինի փոքր և հակապեկ (տե՛ս նկ. 107)։

Այժմ անցնենք երկրորդական (կողմնային) մաքսիմումների նկարագրմանը։ Ուժիքսի լրիվ ինտենսիվությունը, ինչպես երեսում է (8.5)-ից, արտահայտվում է (8.2) տիպի երեք արտադրիչների արտադրյալով։ Եթե այդ երեք արտադրիչներն էլ միաժամանակ ընդունույն են առավելագույն արժեք (η₁-ը, η₂-ը և η₃-ը միաժամանակ ամբողջ թվեր են), կստացվի գլխավոր մաքսիմում։

Երկրորդական մաքսիմումները ուսումնասիրելու համար անհրաժեշտ է քննարկել

$$A_{\sigma} = \frac{\sin^2(N_{\sigma}\pi\eta_{\sigma})}{\sin^2(\pi\eta_{\sigma})} \quad (8.8)$$

Տիպի բազմապատկիշները։ Այդ A_{σ} ինտերֆերենցիոն ֆունկցիան երկու հարեան գլխավոր մաքսիմումների միջև ունի N_{σ} հատ երկրորդական մաքսիմումներ և $N_{\sigma}-1$ հատ էլ զոր ինտենսիվությամբ

Մինիմումներ, որոնք համապատասխանում են η_{σ} -ի հետևյալ արժեքներին.

Երկրորդական (ζ ողմնային) մաքսիմումներ՝

$$\eta_{\sigma} = \frac{1}{2N_{\sigma}}, \quad \frac{3}{2N_{\sigma}}, \quad \frac{5}{2N_{\sigma}}, \dots, \quad \frac{2N_{\sigma}-1}{2N_{\sigma}}, \quad (8.9)$$

Մինիմումներ՝

$$\eta_{\sigma} = \frac{1}{N_{\sigma}}, \quad \frac{2}{N_{\sigma}}, \dots, \quad \frac{2N_{\sigma}-1}{2N_{\sigma}}: \quad (8.10)$$

η_{σ} -ի (8.10) արժեքներին համապատասխանում են a_{σ}^* -ին ուղղահայց հարթություններ, որոնց վրա ինտենսիվությունները հավասար են 0-ի: Այդ հարթությունների միջև եղած հեռավորությունները հավասար են a^*/N_{σ} -ի, իսկ η_{σ} -ի (8.9) արժեքներին համապատասխանում են a_{σ} -ին ուղղահայց հարթություններ, որոնց վրա ինտենսիվությունը համապատասխանում է (8.8) բազմապատկիշի հետևյալ արժեքներին.

$$A_{\sigma} = \frac{1}{\sin^2(\pi\eta_{\sigma})}, \quad (8.11)$$

որտեղ պետք է տեղադրել η_{σ} -ի (8.9) արժեքներից նրանք, որոնց համապատասխանող երկրորդական մաքսիմումների ինտենսիվությունը ցանկանում ենք հաշվել: Այս հարթությունները նույնպես իրարից գտնվում են a_{σ}^*/N_{σ} հեռավորության վրա: Հետաքրքիր է, որ գլխավոր մաքսիմումներին շրջապատող զույցական ինտենսիվությամբ հարթություններն իրարից գտնվում են $\frac{2a_{\sigma}^*}{N_{\sigma}}$ հեռավորությամբ:

Թա հասկանալի է դառնում, եթե հիշենք, որ հակադարձ ցանցի հանգույցից (գլխավոր մաքսիմումից) մինչև առաջին զրո ինտենսիվությանը համապատասխանող կետը գտնվում է a^*/N_{σ} հեռավորության վրա, հետևաբար, զրո ինտենսիվությամբ երկու հարթությունները, որոնց միջև գտնվում է գլխավոր մաքսիմումը, իրարից կգտնվեն $2a^*/N_{\sigma}$ հեռավորության վրա:

Նկատի ունենալով (8.8) բազմապատկիշների (երկրորդական մաքսիմումների) մասին վերը ասվածը, (8.1) ինտերֆերենցիոն ֆունկցիայի մաքսիմումները կարող ենք դասակարգել հետևյալ կերպ:

1. գլխավոր մաքսիմումներ, որոնք ստացվում են, եթե (8.8)

տիպի երեք բազմապատկիշները միաժամանակ ընդունում են առավելագույն արժեքներ:

2. Առաջին տեսակի կողմնային մաքսիմումներ, որոնք ամենաինտենսիվ կողմնային մաքսիմումներն են և ստացվում են, երբ բազմապատկիշներից երկուան ընդունում են առավելագույն (գըլխափոր) արժեքներ, իսկ մեկն ընդունում է կողմնային առավելագույն արժեք:

3. Երկրորդ տեսակի կողմնային մաքսիմումներ, որոնց ինտենսիվություններն ավելի փոքր են, քան առաջին տեսակի կողմնային մաքսիմումների ինտենսիվությունները և ստացվում են այն ժամանակ, երբ բազմապատկիշներից մեկն է ընդունում գլխավոր առավելագույն արժեք, իսկ մյուս երկուան ընդունում են կողմնային առավելագույն արժեքներ:

4. Երրորդ տեսակի կողմնային մաքսիմումներ, որոնք ինտենսիվությամբ ամենափոքրն են և ստացվում են այն ժամանակ, երբ Առ երեք բազմապատկիշներն էլ ընդունում են կողմնային առավելագույն արժեքներ:

Այդ մաքսիմումներին համապատասխան գրոյական ինտենսիվությամբ հարթություններով հակադարձ տարածությունը բաժանվում է չորս տեսակի բջիջների: Առաջին տեսակի բջիջների կենտրոններում գտնվում են հակադարձ ցանցի հանգույցները և հետևաբար՝ գլխավոր մաքսիմումները: Այդ տեսակի բջջի ծավալը հավասար է 8 a* b* c*/N₁ N₂ N₃: Երրորդ տեսակի բջիջների կենտրոնները համապատասխանում են առաջին տեսակի կողմնային մաքսիմումների ուղղություններին: Այդ բջջի ծավալը հավասար է 4 a* b* c*/N₁ N₂ N₃: Երրորդ տեսակի բջիջների կենտրոնները համապատասխանում են երրորդ տեսակի կողմնային մաքսիմումներին, և նրանց ծավալը հավասար է 2 a* b* c*/N₁ N₂ N₃: Վերջապես, չորրորդ տեսակի բջիջների կենտրոնները համապատասխանում են երրորդ տեսակի կողմնային մաքսիմումի ուղղությանը, այդպիսի բջջի ծավալը հավասար է a* b* c*/N₁ N₂ N₃, որն ութանգամ ավելի փոքր է, քան առաջին տեսակի բջջի ծավալը:

Քանի որ տվյալ մաքսիմումի անկյունային լայնությունը որոշվում է համապատասխան բջջի շափերով, ուստի ամենամեծ անկյունային լայնություն ունեն գլխավոր մաքսիմումները, իսկ ամենափոքր՝ երրորդ տեսակի կողմնային մաքսիմումները:

107-րդ նկարում ցույց է տրված, թե ինչպես է հակադարձ տարածությունը բաժանվում վերոհիշյալ բջիջների այն դեպքում, երբ բյուրեղը՝ ուղղությամբ ունի 6 ատոմ (մոտիվ), իսկ 6՝ ուղղու-

թյամբ՝ 8 ատոմ։ Նկարում ներկայացված է միայն (a^*b^*) հատույթի պատկերը։ Այդ հատույթի վրա գլխավոր մաքսիմումների բջի (առաջին տեսակի բջի) կարվածքը շորս անգամ ավելի մեծ է, քան շորորորդ տեսակի բջի (երրորդ տեսակի կողմնային մաքսիմում պարունակող) հատույթը։

Բյուրեղի շափերի մեծացմամբ (8.11) բանաձևով արտահայտվող կողմնային մաքսիմումների (բացի գլխավոր մաքսիմումներին մոտ գտնվող կողմնային մաքսիմումների) ինտենսիվությունները փոքրանում են, և ցրված (անդրագարձած) ամբողջ էներգիան կուտակվում է գլխավոր մաքսիմումներում և նրանց մոտ գտնվող երկրորդական մաքսիմումներում։ Իրոք, գլխավոր մաքսիմումների ինտենսիվությունները համեմատական են N_1^* N_2^* N_3^* արտադրյալին, երկրորդական մաքսիմումների ինտենսիվություններն արտահայտվում են (8.11)-ով։ Ուստի, Բյուրեղի շափերի մեծացմամբ (N_1 , N_2 , N_3 թվերի մեծացմամբ) գլխավոր մաքսիմումների ինտենսիվությունը արագորեն մեծանում է։ Երկրորդական (կողմնային) մաքսիմումների ինտենսիվությունները փոքր դժոների և մեկին մոտ դժոների դեպքում նույնպես համեմատական կլինեն ատոմների թվի քառակուսուն։ Իսկապես, նախ փոքր դժոների դեպքում $A_{\alpha} \approx \frac{1}{\pi^2 r_{\alpha}^2} - \frac{4N_{\alpha}^2}{\pi^2 m^2}$, որտեղ m -ն ամբողջ, բայց փոքր թիվ է և հավասար է ընդամենը 1-ի կամ 2-ի։ Մեկին մոտ դժոների դեպքում (8.11)-ի մեջ սինուսի արգումենտը քիչ կտարբերվի π-ից և կարող ենք գրել՝

$$\frac{1}{\sin^2(\pi-\alpha)} \approx \frac{1}{\alpha^2} = \frac{4N_{\alpha}^2}{\pi^2 m^2},$$

Պարզ է, որ 0-ից բավականաշափ մեծ և 1-ից բավականաշափ փոքր դժոների դեպքում (սինուսի արգումենտի 0-ից բավականաշափ մեծ և π-ից բավականաշափ փոքր արժեքների դեպքում) A_{α} -ի (8.11) արտահայտության մեջ սինուսը իր արգումենտով փոխարինել չենք կարող, և այդ տիրույթում գտնվող երկրորդական մաքսիմումների ինտենսիվությունները գլխավոր մաքսիմումի ինտենսիվության նկատմամբ շատ փոքր կլինեն։

Այստեղ անհրաժեշտ է հիշատակել հետեւյալը։ Սովորաբար պնդում են, որ բյուրեղի շափերի մեծացմամբ՝ երկրորդական մաքսիմումների ինտենսիվություններն աննշան փոքր են դառնում գըլխավոր մաքսիմումների ինտենսիվությունների նկատմամբ, և այդ պատճառով ամբողջ ցրված էներգիան կուտակվում է գլխավոր մաքսիմումների մեջ։

Սակայն ասվածը պետք է ընդունել որոշ վերապահումներով։

նախ, ինչպես տեսանք, գլխավոր մաքսիմումներին մոտ գըտ-նըվող երկրորդական մաքսիմումների էներգիաները մասնիկների թվի մեծացմամբ աճում են գլխավոր մաքսիմումների ինտենսիվության աճման կանոնով (համեմատական են մասնիկների թվի քառակուսուն), իսկ հետո, չայած միջին համարներով էրկրորդական մաքսիմումների ինտենսիվությունները չեն աճում, բայց և այնպես նրանց թիվը N₁, N₂ և N₃ թվերի աճման հետ միասին նույնպես աճում է:

Հակադարձ տարածությունը զրոյական հարթություններով հատելուց ստացված բջիջների շափերով են պայմանավորված համապատասխան դիֆրակցիոն մաքսիմումի անկյունային լայնությունները: Այդ բջիջների շափերը հակադարձ համեմատական են մասնիկների (ատոմների) թվին, հետևապես և՝ բյուրեղի շափերին: Եթե բյուրեղը շափազանց փոքր չէ, ապա այդ անկյունային լայնությունը այնքան փոքր է, որ կարելի է արհամարհել և ընդունել, որ այդ բջիջները կետեր են՝ հակադարձ ցանցի հանգույցները երկրաշափական կետեր են:

Այսպիսով, ըստ կինեմատիկ տեսության, ոչ շատ փոքր բյուրեղների դեպքում կարելի է ընդունել, որ ռեֆլեքսների անկյունային լայնությունները հավասար են զրոյի այն դեպքում, երբ դինամիկ տեսությունում ցույց է տրվում, որ անգամ մեծ բյուրեղներում անդրադարձում տեղի ունի զրոյից տարբեր, վերջավոր անկյունային տիրույթում:

Մենք գտանք բյուրեղի անդրադարձման ընդունակության պարբերական բաշխումը տարրածության մեջ, հակադարձ ցանցի օգնությամբ: Այդպիսի բաշխման և էվալդի կառուցման օգնությամբ հեշտությամբ կարող ենք գտնել նաև, թե տվյալ ալիքի ու տվյալ անկման ուղղության դեպքում ինչպես կրաշխվեն անդրադարձ ալիքների ինտենսիվությունները՝ ո՞ր գլխավոր մաքսիմումները և ո՞ր երկրորդական մաքսիմումները կգրգռվեն, և ինչպես կրաշխվի ինտենսիվությունը նրանց մեջ: Այդ բանը մենք հեշտությամբ կարող ենք անել, եթե կառուցենք էվալդի շրջանը: Տվյալ անկման ուղղության և ալիքի երկարության դեպքում էվալդի շրջանագիծը ո՞ր բջիջներով որ անցնի, այն մաքսիմումներն էլ կառաջանան (տե՛ս նկ. 107):

Սովորաբար կողմնային մաքսիմումները դիտելը դժվար է, դրանք ունտգենագրամմաների վրա առաջացնում են ընդհանուր ֆոն (սեացում):

§2. ԲՅՈՒՐԵՂՆԵՐԻ ԶԱՓԵՐԻ ՈՐՈՇՈՒՄԸ

Առաջին պարագրաֆում շարադրածից հետևում է, որ ռենտգենյան ռեֆլեքսի անկյունային լայնությունը (անդրադարձման անկյունային տիրուցիթը) կախված է բյուրեղի չափերից և, հետեւաբար, չափելով այդ անկյունային լայնությունները, կարող ենք որոշել բյուրեղների չափերը:

Սակայն գործնական հաշվիներ կատարելու համար նախ պետք է սպեկտրային գծի (ռեֆլեքսի) անկյունային լայնության և բյուրեղի չափերի միջև կապն արտահայտող այնպիսի բանաձև գրանցնենք, որը հնարավորություն տա փորձի տվյալների հիման վրա հաշվելու բյուրեղի չափերը: Իսկ մինչ այդ պետք է կարողանանք իրարից բաժանել գործիքային և դիֆրակցիոն լայնությունները:

1. Բյուրեղի չափերի ուժումը թրեգի անդրադարձմամբ

Եթե բյուրեղն իրենից ներկայացնում է բարակ թիթեղ, այնքան բարակ, որ նրանից թրեգի եղանակով ռենտգենյան ճառագայթների անդրադարձումը ուղեկցվում է անդրադարձման անկյունային տիրուցիթի դիֆրակցիոն լայնացմամբ, ապա այդպիսի թիթեղի հաստությունը կարող ենք որոշել հետևյալ կերպ^{*}:

Ենթադրենք (հել) անդրադարձնող հարթությունները զուգահեռ են թիթեղի մակերեսուցին: Թող անդրադարձնող հարթությունների թիվը լինի $p+1$, իսկ միջարթությունային հեռավորությունը՝ $L_{\text{հել}}$, այդ դեպքում թիթեղի չափը (հաստությունը) անդրադարձնող (հել) հարթություններին ուղղահայաց ուղղությամբ $L_{\text{հել}} = p d_{\text{հել}}$:

Մենք արդեն գիտենք, որ եթե ճառագայթն անդրադարձնող հարթությունների վրա ընկնում է ճշշտ Վուլֆ-Բրեգի անկյան տակ, ապա հարկեան հարթություններից անդրադարձած ճառագայթների ճանապարհների տարբերությունը դիտման կետում հավասար է $2dsin\theta_0 = p\lambda \cdot h$, եթե, իհարկե, ընդունենք, որ բեկման ցուցիչը հավասար է $m \cdot k$: Սակայն, եթե անկման սահքի անկյունը փոքր-ինչ տարբերվի Վուլֆ-Բրեգի անկյունից՝ $\theta = \theta_0 + \Delta\theta$, անդրադարձում դարձյալ կառաջանա, բայց ավելի փոքր ինտենսիվությամբ, քանի որ հարկան հարթություններից անդրադարձած ալիքների միջև լրացուցիչ ճանապարհների տարբերություն կառաջանա: Այդ դեպքում արդեն հարկեան հարթություններից անդրադարձած ալիքների միջև ճանապարհների տարբերությունը ամբողջ թիվ ալիքի երկարություն

* Այսուղեղ մենք շարադրելու ենք գործող տեսությունը և ընդունված եղանակը, իսկ լի գլխում կիսունք այդ եղանակի թիրությունների և կիրառելիության սահմանների մասին:

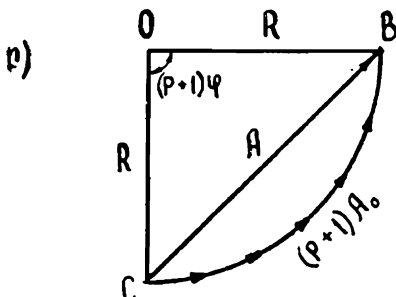
չի լինի, և նրանք իրար կուժեղացնեն ոչ առավելագույն շափով՝ զումար-ինտենսիվությունը կփոքրանա:

Երբ ալիքն ընկնում է $\theta_0 + \Delta\theta$ սահքի անկյան տակ, հարեան հարթություններից անդրադարձած ալիքների միջև ճանապարհների տարբերությունը կլինի՝ $2d\sin(\theta_0 + \Delta\theta) = 2d\sin\theta_0 \cos(\Delta\theta) + 2d\sin\Delta\theta \cos\theta_0 \approx \pi\lambda + \Delta\theta 2d \cos\theta_0$, այսինքն՝ կառաջանա ճանապարհների լրացուցիչ տարբերություն:

Մենք կարող ենք ուզուածարել տարբերությունը նկատի շունենալ, այն առաջացնում է ամբողջ թիվ անգամ $\varphi = \pi/2\pi$ փուլերի տարբերություն, որը համարժեք է փուլերի տարբերության զոր լինելուն:

Անդրադարձած ալիքների գումար-ամպլիտուդը, երբ անդրադարձամբ տեղի ունի ճիշտ Վոլֆ-Բրեգի անկյան տակ, կլինի $A = (p+1)A_0$, որտեղ A_0 -ն մեկ հարթությունից անդրադարձած ալիքի ամպլիտուդն է (նկ. 108 ա):

$$\text{ա)} \quad \begin{array}{c} A_0 \\ \rightarrow \\ A = (p+1)A_0 \end{array}$$



Նկ. 108. Գումար-ամպլիտուդը ա) հարեան հարթություններից անդրադարձած ալիքների միջև փուլերի տարբերությունը հավասար է զրոյի, բ) հարեան հարթություններից անդրադարձած ալիքների միջև փուլերի տարբերությունը՝ $\varphi = 2k\Delta\theta \cos\theta_0$ -ի:

Սակայն, եթե անդրադարձման թանկունը $\Delta\theta$ -ով տարբերվում է Վոլֆ-Բրեգի θ_0 անկյունից, անդրադարձած գումար-ալիքի ամպլիտուդը պետք է հաշվել հետեւալ կերպ՝

$$A = A_0 + A_0 \exp \{-i\varphi\} + A_0 \exp \{-2i\varphi\} + \dots + A_0 \exp \{-ip\varphi\}, \quad (8.12)$$

որտեղ $\varphi = k\Delta\theta 2d \cos\theta_0$ -ն փուլերի լրացուցիչ տարբերությունն է: (8.12)-ից A -ի համար հեշտությամբ կստանանք՝

$$A = A_0 \exp \left\{ i \frac{p}{2} \varphi \right\} \frac{\sin \left[(p+1) \frac{\varphi}{2} \right]}{\sin \frac{\varphi}{2}}, \quad (8.13)$$

Եվ քանի որ շեղումը Վուլֆ-Բրեգի անկյունից շատ փոքր է, այսինքն՝ Փ-ն շատ փոքր է, ապա (8.13)-ը կարող ենք գրել հետևյալ տեսքով.

$$A = A_0 \exp \left\{ i \frac{p}{2} \varphi \right\} \frac{\sin \left[(p+1) \frac{\varphi}{2} \right]}{\frac{\varphi}{2}}, \quad (8.14)$$

Ինտենսիվությունների համար (8.13)-ից և (8.14)-ից կստանանք՝

$$|A|^2 = A_0^2 \frac{\sin^2 \left[(p+1) \frac{\varphi}{2} \right]}{\sin^2 \frac{\varphi}{2}}, \quad (8.15)$$

$$|A|^2 = A_0^2 \frac{\sin^2 \left[(p+1) \frac{\varphi}{2} \right]}{\left(\frac{\varphi}{2} \right)^2}, \quad (8.16)$$

Ամպլիտուդների համար ստացված $A = (p+1)A_0$, (8.13) և (8.14) արտահայտությունները հեշտությամբ կարելի է ստանալ նաև գրաֆիկական եղանակով:

Նկար 108 առաջ ցույց է տրված այն դեպքը, երբ բավարպում է Վուլֆ-Բրեգի պայմանը՝ հարկան (և բոլոր) հարթություններից անդրադարձած ալիքների միջև փուլերի տարբերություն չկա (ավելի ճիշտ՝ ամբողջ թիվ անգամ 2π է), բոլոր \hat{A}_0 վեկտորներն իրար զուգահեռ են, գումար-ալիքի ամպլիտուդը հավասար է \hat{A}_0 -ն բազմապատկած հարթությունների թվով՝ $A = (p+1)\hat{A}_0$, գումար-ամպլիտուդի և առանձին հարթություններից անդրադարձած ալիքների ամպլիտուդների փուլերի միջև տարբերություն չկա (ամբողջ թվով 2π է):

Նկար 108 բառական ցույց է տրված այն դեպքը, երբ Λ_0 -ն վերջավոր մեծություն է, հարկան հարթություններից անդրադարձած ա-

Ալիքների միջև փուլերի տարբերությունը՝ ϕ -ն, 0 -ից տարբեր վերջավոր մեծություն է: Այստեղ գումար-ամպլիտուդն արտահայտվում է առաջին և վերջին հարթություններից անդրադարձած ալիքների ամպլիտուդները ներկայացնող հատվածների ազատ ծայրերը միացնող հատվածով, որը R շառավղով շրջանի $(p+1)\varphi$ կենտրոնական անկյանը համապատասխանող լարն է:

Այդ շրջանի R շառավղի միջոցով գումար-ամպլիտուդը՝ A_0 , կարտահայտվի այսպես.

$$A = 2R \sin \left[(p+1) \frac{\varphi}{2} \right], \quad (8.17)$$

մյուս կողմից, մեկ հարթությունից անդրադարձած ալիքի A_0 ամպլիտուդն այդ R շառավղի միջոցով կարտահայտվի այսպես.

$$A_0 = 2R \sin \frac{\varphi}{2}, \quad (8.18)$$

(8.18)-ից R -ը տեղադրելով (8.17)-ի մեջ՝ կստանանք

$$A = A_0 \frac{\sin \left[(p+1) \frac{\varphi}{2} \right]}{\sin \frac{\varphi}{2}}, \quad (8.19)$$

ինչպես երևում է (8.13) և (8.19) արտահայտություններից, գրաֆիկական և անալիտիկ եղանակներով հաշված ամպլիտուդի արտահայտություններն իրարից տարբերվում են փուլային $\exp \left\{ i \frac{p}{2} \varphi \right\}$

բազմապատկիշով, որը բացատրվում է նրանով, որ գրաֆիկական եղանակով հաշվելիս, մենք գտնում ենք ամպլիտուդի շափը, իսկ նրա փուլը A -ի կազմած անկյունն է սկզբնական ուղղության հետ ($\text{գծագրում } \not\rightarrow \text{BCD}$), որը շափվում է BC աղեղի կեսով: Եթե երկրաշափորեն ստացված արտահայտությանը կցենք այդ անկյունով արտահայտվող փուլային բազմապատկիշը, ապա (8.19) և (8.13) արտահայտությունները լրիվ կհամընկնեն:

109 ա նկարում ցույց է տրված այն դեպքը, երբ A_0 -ի և ϕ -ի շատ փոքր լինելու պատճառով 108-րդ նկարում ցույց տրված A_0 -ներով կազմված բեկյալը փոխարինվել է R շրջանագծի աղեղով:

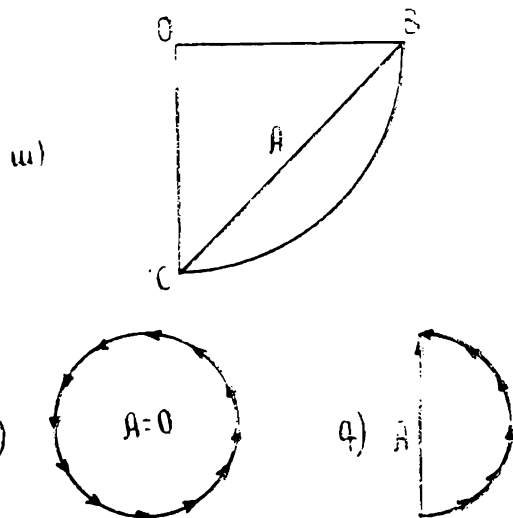
Այս դեպքում դարձյալ $A = 2R \sin \left[(p+1) \frac{\varphi}{2} \right]$, բայց միայնակ

Հարթությունից անդրադարձած ալիքի ամպլիտուդն այժմ արտահայտվում է հետևյալ կերպ՝

$$A_0 = R \varphi: \quad (8.20)$$

(8.20)-ից R -ը տեղադրելով նախորդի մեջ, կստանանք

$$A = A_0 \frac{\sin \left[(p+1) \frac{\varphi}{2} \right]}{\varphi/2}; \quad (8.21)$$



Նկ. 109. Բեկյալը փոխարինված է աղեղով

(8.21)-ը և (8.14)-ը նույնպես տարբերվում են փուլային բազմապատկիշով, որը դարձյալ կարելի է բացատրել այնպես, ինչպես նախորդ դեպքում:

Այժմ մեր ստացած (8.19) և (8.21) բանաձևերի միջցով գրտենք բյուրեղի շափերը որոշելու համար հարմար կիրառական (գործնական) արտահայտություններ. Տրամաբանական կլիներ, փորձով գտնեինք այն կորը, որն արտահայտեր A -ի կախումը Փ-ից, և որոշեինք Φ -ի այն արժեքները, որոնք կհամապատասխանեին (8.21) արտահայտության առավելագույն և զրո արժեքներին, այսինքն՝ փորձով գտնեինք $\Phi = 0$ և $\Phi = -\frac{2\pi}{p+1}$ արժեքներին համապատասխանող սահմանը $0 = \theta_0$ (որը համապատասխանում է A -ի առավելագույն արժեքներին) և $\theta = \theta_0 + \Delta\theta$ (որը համապատասխանում

է A-ի զրո արժեքներին) անկյունները կ, կազմելով նրանց տարբերությունը, գտնենք $\Delta\theta$ -ն, իսկ $\Delta\theta$ -ի միջոցով գտնենք բյուրեղի L_{hk1} = d շափշ հետևյալ արտահայտության միջոցով.

$$L_{hk1}=pd \approx d(p+1) = \frac{\lambda}{2\cos\theta_0\Delta\theta_0} = \frac{0,5\lambda}{\Delta\theta\cos\theta_0}, \quad (8.22)$$

Բայց փորձով սահքի $\theta=\theta_0+\Delta\theta$ անկյան ճշգրիտ արժեքը գրանելը, արժեք, որին համապատասխանում է անդրադարձման ինտենսիվության զրոն ($A=0$), հնարավոր չէ: Իրոք, բոլոր անկյունների տակ այս կամ այն շափով ցրում գոյություն ունի ($b_r k_r r \rho \eta \omega_k$ մաքսիմումները և ցրումը անհամասեռությունների ու դեֆեկտների վրա առաջացնում են ընդհանուր ֆոն) և որոշել, թե ոեֆլեքսի շրջակայքում որտեղ է (8.21) արտահայտությունը զրո արժեք ընդունում՝ հնարավոր չէ, հետևաբար և հնարավոր չէ փորձով շափել (8.22)-ի մեջ մտնող $\Delta\theta$ -ն: Եթե կարողանայինք այդ $\Delta\theta$ -ն գտնել, ապա 2 $\Delta\theta$ -ն կլիներ ոեֆլեքսի իսկական անկյունային լայնությունը:

Այդ դժվարությունից խուսափելու համար կարելի է շափել այն $\Delta\theta_1$ -ը, որի դեպքում առաջին և վերջին հարթություններից անդրադարձած ալիքների փուլերի տարբերությունը ոչ թե 2 π է, այլ հավասար է π-ի:

Եթե առաջին և վերջին հարթություններից անդրադարձած ալիքների փուլերի տարբերությունը հավասար է 2 π-ի, ամպլիտուդների գրաֆիկական գումարը ցույց տվող բեկյալը կփակվի, այսինքն՝ գումարը հավասար կլինի զրոյի (նկ. 109 բ): Վերջինս երևում է նաև (8.21)-ից: Այդ դեպքում, եթե առաջին և վերջին հարթություններից անդրադարձած ալիքների փուլերի տարբերությունը հավասար է π-ի, հիշյալ բեկյալը կկազմի կիսաշրջան և գումարամպլիտուդը հավասար կլինի այդ շրջանագծի տրամագծին (նկ. 109 գ): Այս դեպքում գումար-ամպլիտուդը՝ Aπ-ն, հավասար կլինի

$$A_\pi = \frac{2}{\pi} A, \quad (8.23)$$

որտեղ A-ն առավելագույն ամպլիտուդն է, որը ստացվում է $\theta=0$ և $\varphi=0$ դեպքում, այսինքն՝ այն գումար-ամպլիտուդն է, որը ըստացվում է, եթե անդրադարձումը տեղի ունի ճիշտ Վուֆ-Բրեգի անկյան տակ:

(8.23)-ից այդ երկու անկյունների տակ տեղի ունեցող անդրադարձումների ինտենսիվությունների հարաբերության համար կըստանանք՝

$$\frac{I_{\pi}}{I} = \frac{A_{\pi}^2}{A^2} = \frac{4}{\pi} \approx 0,4, \quad (8.24)$$

Համապատասխանաբար սահքի անկյունը, որի տակ տեղի ունեցող անդրադարձման ինտենսիվությունը Ψ_{01} -ի գույքի անկյան տակ տեղի ունեցող անդրադարձման ինտենսիվության 0,4 մասն է կազմում, Ψ_{01} -ի գույքի անկյունից կտարբերվի $\Delta\theta_1$ -ով, որը կորոշվի հետևյալ հավասարումից՝

$$k \Delta\theta_1 \cdot 2d \cos\theta_0 \cdot p = \pi; \quad \Delta\theta_1 = \frac{\lambda}{4L_{hkl} \cos\theta_0}, \quad \text{որտեղից} \\ L_{hkl} = \frac{\lambda}{4\Delta\theta_1 \cos\theta_0} = \frac{0,25\lambda}{\Delta\theta_1 \cdot \cos\theta_0}, \quad (8.25)$$

Վերջին բանաձևի օգնությամբ բյուրեղային թիթեղի L_{hkl} հաստությունը որոշելու համար անհրաժեշտ է նախ փորձով գտնել ինտենսիվության առավելագույն արժեքը (Ψ_{01} -ի գույքի անկյունը Ψ_{01} -ի թիթեղի θ_0 անկյան տակ, որի դեպքում $\varphi=0$ և $\Delta\theta=0$), այնուհետև աստիճանաբար հեռանալով Ψ_{01} -ի գույքի անկյունից, անդրադարձման ինտենսիվությունը փոքրացնել, հասցնելով այն առավելագույն ինտենսիվության 0,4 մասին: Եթե ինտենսիվության 0,4 մասն ստացվում է θ_1 անկյան տակ, ապա $\Delta\theta_1$ -ի համար կըստանանք՝

$$\Delta\theta_1 = \theta_1 - \theta_0: \quad (8.26)$$

$\Delta\theta_1$ -ի (8.26) արժեքը տեղադրելով (8.25)-ի մեջ, կստանանք L_{hkl} -ի արժեքը:

Այստեղ անհրաժեշտ ենք համարում նշել հետևյալը: L_{hkl} մեծության ի, կ, լ ինդեքսները ցույց են տալիս, որ դա բյուրեղի չափն է (hkl) հարթություններին ուղղահայց ուղղությամբ: Այդ ճիշտ է միայն այն դեպքում, եթե անդրադարձնող հարթությունների շափերը հաստության հետ համեմատած շատ մեծ են, հակառակ դեպքում փորձով չափվածը կարող է չհամապատասխանել իրականությանը: Փոքր չափեր ունեցող անդրադարձնող հարթություններով բյուրեղների չափերի որոշման հարցը և այստեղ շարադրված եղանակի կիրառելիության սահմանները կքննարկվեն IX գլխում:

Այստեղ անհրաժեշտ է նշել (8.25) բանաձևի գործնական կիրառության մասին: Այդ բանաձևը դուրս է բերված միայնակ բարակ բյուրեղի համար, եթե ընկնող փունջը իմաստ գուգահեռ է, և ուժիկ գործիքային լայնությունը հավասար է 0-ի: Այդտեղ հաշ-

վի շի առնված նաև նմուշի հաստությամբ պայմանավորված լայնությունը (ռեֆլեքսի): (8.25) բանաձեռվ աշխատելիս, անհրաժեշտ է գործիքային լայնությունը ստանալու նպատակով ռենտգենագրամմա ստանալ նախ հաստ բյուրեղից, որի դեպքում կարելի է արհամարհել ֆիզիկական (դիֆրակցիոն) լայնացումը: Այդ գեպքում ստացված լայնությունը կլինի միայն գործիքայինը (նույն թվում և նմուշի հաստությամբ պայմանավորվածը): Այնուհետև պետք է ռենտգենագրամմա ստանալ բարակ նմուշից: Վերջին ռենտգենագրամմայում ստացված լայնությունից հանելով առաջին ռենտգենագրամմայում ստացված լայնությունը (նկատի ունենալով նաև հաստությունների տարբերությունները), կստանանք սպեկտրային գծի դիֆրակցիոն լայնությունը:

Լուսանկարչական եղանակով ստացված ռենտգենագրամմաների վրա ռեֆլեքսի լայնությունը կախված է լինում նաև նրա ինտենսիվությունից՝ լուսակայման (էքսպոզիցիայի) տևողությունից, թաղանթի մշակման պրոցեսից (մանրահատիկության աստիճանից): Որպեսզի տարբեր գծերի լայնությունները կարողանանք համեմատել իրար հետ, անհրաժեշտ է նշված բոլոր պայմանները համեմատվող ռենտգենագրամմաների համար պահպանել նույնը (նույն ինտենսիվություններ, նույն որակի թաղանթ և հայտածման նույն պայմաններ): Այդ բոլորը խստորեն կարելի է պահպանել, եթե համեմատման ենթակա ռեֆլեքսները նույն ինտենսիվությամբ նկարվեն թաղանթի նույն կտորի վրա՝ իրար կողք-կողքի:

ԿԻՆԵՄԱՏԻԿ ՏԵՍՈՒԹՅԱՆ ԹԵՐՈՒԹՅՈՒՆՆԵՐԸ ԵՎ ՆՐԱ
ԿԻՐԱՌԵԼԻՈՒԹՅԱՆ ՍԱՀՄԱՆՆԵՐԸ

Մենք արդեն հինգերորդ գլխի սկզբում խոսել ենք ռենտգեն-յան ճառագայթների ինտերֆերենցիայի կինեմատիկ ու դինամիկ տեսությունների հիմնական տարրերությունների և նրանց հիմքում ընկած ենթադրությունների մասին։ Այնտեղ մենք նշել ենք, որ կինեմատիկ տեսությունը հաշվի չի առնում կրկնակի ցրումները՝ սկզբնական ալիքի և այդ ալիքի ուղղությամբ ցրված ալիքի փոխազդեցությունը։ Այդ գլխում նշված է նաև, որ ռենտգենյան ճառագայթների ինտերֆերենցիայի դինամիկ տեսությունը վերացնում է կինեմատիկ տեսության նշված սահմանափակությունը։

Մենք այստեղ քննարկելու ենք ոչ թե կինեմատիկ տեսության դինամիկ տեսության նկատմամբ ունեցած սահմանափակության հարցերը, այլ այնպիսի հարցեր, որոնք կինեմատիկ տեսության թերություններն են և որոնք հաճախ ընդհանրապես ռենտգենյան ճառագայթների ինտերֆերենցիայի թե՛ կինեմատիկ, թե՛ դինամիկ տեսության թերություններն են։

Ի դեպ, մենք նպատակահարմար ենք գտնում ընթերցողին ծանոթացնել ինչպես ռենտգենյան ճառագայթների ֆիզիկայի, ցրման և ինտերֆերենցիայի կինեմատիկ տեսության հիմնական դրույթներին, այնպես էլ այդ տեսության թերություններին և նրա կիրառելիության սահմաններին։

Այս գլխում քննարկելու ենք հետևյալ հարցերը։

1. ցրված ռենտգենյան ալիքների միջև դիտման կետում առաջացած փուլերի տարրերության ճշգրիտ հաշվումը։

2. Ռենտգենյան ճառագայթների ինտերֆերալ ինտենսիվության կախումը բյուրեղի ճառագայթվող ծավալի շափերից։

3. Ռենտգենյան դիֆրակցիոն պատկերի օգնությամբ բյուրեղի շափերի որոշումը։

4. Անդրադարձած ճառագայթների ինտենսիվության կախումը անկման հարթության ուղղությունից:
5. Կոհերենտ ճառագայթման տևողության հաշվառումը:
6. Ցրված ճառագայթների ինտենսիվության պահպանման օրենքը ռենտգենյան տիրույթում:
7. Ռենտգենյան ճառագայթների ինտերֆերենցիոն պատկերի կախումը ցրող նյութի բաշխման բնույթից:

§ 1. ՌԵՆՏԳԵՆՅԱՆ ՃԱՐԱԳԱՅԹՆԵՐԻ ԻՆՏԵՐՖԵՐԵՆՑԻԱՅԻ ՏԵՍՈՒԹՅՈՒՆԸ ՑՐՎԱԾ ԱԼԻՔՆԵՐԻ ՄԻՋԵՎ ՓՈԽՆԵՐԻ ՏԱՐԲԵՐՈՒԹՅԱՆ ԾՇԳՐԻՏ ՀԱՇՎԱՌՄԱՄԲ

Ինչպես արդեն նշել ենք հինգերորդ գլխում, ռենտգենյան ճառագայթների ինտերֆերենցիայի կիսմատիկ տեսության համաձայն առավելագույն անդրադարձման ուղղությամբ բյուրեղից անդրադարձած ալիքի ամպլիտուդը համեմատական է բյուրեղի ծավալի ճառագայթվող մասում գտնվող ատոմների (տարրական բջիջների) թվին:

Լառեն այդպիսի եզրակացության է հանգել ենթադրելով, որ դիտման կետը ցրող ծավալից գտնվում է մեծ հեռավորության վրա, և ճառագայթվող ծավալի տարրեր կետերից դեպի դիտման կետը ցրված ճառագայթներն իրար գուգահեռ են:

Համաձայն լառուելի տեսության, սկզբնական հարթ գուգահեռ և մոնոքրոմատիկ ալիքի դեպքում ցրված գումար-ալիքի համար ըստացել էինք հետեւյալ արտահայտությունը (ութերորդ գլուխ):

$$G = A \frac{\sin(N_1\pi\eta_1)}{\sin(\pi\eta_1)} \cdot \frac{\sin(N_2\pi\eta_2)}{\sin(\pi\eta_2)} \cdot \frac{\sin(N_3\pi\eta_3)}{\sin(\pi\eta_3)},$$

Վերջին արտահայտությունից երևում է, որ

1. բյուրեղի շափերի մեծացմամբ (N_1 -ի, N_2 -ի և N_3 -ի մեծացմամբ) անդրադարձած ալիքի ամպլիտուդն անընդհատ մեծանում է:

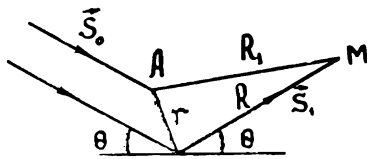
2. Անդրադարձած ալիքի ամպլիտուդը կախված է անդրադարձման կարգից (ավելի ճիշտ՝ կախված է միայն ցրման ատոմային $f(2\theta)$ ֆունկցիայի միջոցով, որը մտնում է A -ի մեջ):

3. Փուլերի տարրերություն գոյություն շունի ցրված գումար-ալիքի և սկզբնական ալիքի միջև, այսինքն՝ անդրադարձած ալիքի ամպլիտուդը միշտ իրական է, եթե, իհարկե, ատոմային ցրման ֆունկցիան՝ $f(2\theta)$ -ն, իրական է,

Սակայն ճշգրիտ հաշիվներով կարելի է ցույց տալ, որ այդ երեք եղրակացություններն էլ ընդհանուր դեպքում ճիշտ չեն, և որ կառեն տեսության մեջ բավարար չափով հաշվի չի առնվում բյուրեղի շափերի ազդեցությունը անդրադարձած ալիքի ինտենսիվության վրա։ Այժմ անցնենք այդ հարցի քննարկմանը։

Թող հարթ մոնոքրոմատիկ ալիքը \vec{S}_0 միավոր-վեկտորի ուղղությամբ ընկնի բյուրեղի վրա, և դիտման Մ կետը կոորդինատների սկզբնակետից երևա \vec{S}_1 միավոր-վեկտորի ուղղությամբ (նկ. 110)։ Այդ դեպքում, հինգերորդ գլխում միայնակ հարթությունից անդրադարձած ալիքի ամպլիտուդի հաշվման անալոգով, այստեղ էլ կըստանանք՝

$$G = \frac{f}{R} \frac{e^2}{mc^2} P \sum \exp \left\{ -ik \left[(\vec{S}_1 - \vec{S}_0) \vec{r} + \frac{r^2}{2R} - \frac{(\vec{r} \cdot \vec{S}_1)^2}{2R} \right] \right\}, \quad (9.1)$$



Նկ. 110. Փռւերի տարրերության ճշգրիտ հաշվումը

որտեղ r -ը A կետում նստած ատոմի շառավիղ-վեկտորն է, P -ն՝ բևեռացման ֆակտորը (տե՛ս գըլլում IV, § 2), m ինչդեռ կառեն տեսությունն այդ նույն ամպլիտուդի համար տալիս է հետևյալ արտահայտությունը.

$$G = \frac{f}{R} \frac{e^2}{mc^2} P \sum \exp \{ -ik[(\vec{S}_1 - \vec{S}_0) \vec{r}] \}, \quad (9.2)$$

Ուստի, կառեն ելակետային ենթադրությունը (ցրող ծավալի տարբեր կետերից դեպի դիտման կետը ցրված ալիքներն իրար զուգահեռ են) համարժեք է

$$\varphi = \frac{kr^2}{2R} - \frac{k(\vec{r} \cdot \vec{S}_1)^2}{2R} \quad (9.3)$$

փուլային անդամի անտեսմանը։ Սակայն եռանկյունաչափական ֆունկցիայի արգումենտում որևէ մեծություն կարելի է արհամարհել, եթե միայն այն շատ փոքր է մեկի նկատմամբ։ Ուրեմն, կառեն հաշիվները ճիշտ կլինեն, եթե բավարարվի հետևյալ պայմանը.

$$\varphi = \frac{kr^2}{2R} - \frac{k(\vec{r} \cdot \vec{S}_1)^2}{2R} \ll 1, \quad (9.4)$$

(9.4) պայմանը ունտգենյան կարճ ալիքների $\left(k = \frac{2\pi}{\lambda} \sim 10^{-8} - 10^{-9} \text{ м}^{-1}\right)$, ոչ շատ փոքր ($r_{\max} \geq 10^{-4}$ սմ) բլուրեղների և դիտման կետի ճառագայթվող ծավալից ունեցած ոչ շատ մեծ ($R \sim 10$ սմ) հեռավորությունների դեպքում չի բավարարվում, և կառւել հաշվները դառնում են սխալ:

Հետաքրքիր է, որ ճառագայթվող ծավալի զանազան կետերից դեպի դիտման կետը ցրված ճառագայթների զուգահեռության ենթադրությունից, առանց սահմանափակման, օգտվում են ունտգենյան ճառագայթների դիֆրակցիայի բոլոր դեպքերում (դիֆրակցիան հեղուկներում, գազերում և ամորֆ նյութերում), նույնիսկ էլեկտրոնների դիֆրակցիայի դեպքում:

Եթե բյուրեղներում ունտգենյան ճառագայթների դիֆրակցիայի դեպքում մանրացնելով բյուրեղները կարելի է նրանց շափերը հասցնել $r_{\max} \sim 10^{-9}$ սմ-ի և բավարարելով (9.4) պայմանը, կիրառելի դարձնել կառւելի տեսությունը, ապա այդ բանը ոչ մի կերպ չի կարելի անել հեղուկների, գազերի և ամորֆ նյութերի նըկատմամբ: Իրոք, գազերում, հեղուկներում և ամորֆ նյութերում ճառագայթվող ծավալի շափերը որոշվում են ունտգենյան սկզբոնական փնջի շափերով (լայնական կորվածքով), իսկ փնջի լայնական կորվածքը միիմետրի տասներորդ մասերից փոփոք լինել չի կարող և, հետեւաբար, այդ դեպքում (9.4) պայմանը երբեք բավարարվել չի կարող, կառւել ենթադրությունն էլ կիրառել չի կարելի:

Դեպի դիտման կետը ցրված ճառագայթների զուգահեռության վերաբերյալ ենթադրությունը կիրառելի չէ նաև էլեկտրոնների նըկատմամբ: Իրոք, էլեկտրոնային ալիքի երկարությունը էլեկտրոնագոաֆներում և էլեկտրոնային մանրադիտակներում հասնում է 10^{-11} սմ-ի ($k \sim 10^{11}$ մ $^{-1}$), այդ իսկ պատճառով էլ այս դեպքում նույնպես (9.4) պայմանը հեռու է բավարարվելուց, և կառւել տեսությունը կիրառելի չէ, մինչդեռ էլեկտրոնների դիֆրակցիոն պատկերը հաշվելիս միշտ օգտվում են կառւելի տեսությունից:

Այժմ շարունակենք (9.1) բանաձևի հետազոտությունը և ցույց տանք, որ կառւելի տեսությունը ճիշտ է միայն 10^{-6} , 10^{-5} սմ շափեր ունեցող բյուրեղների համար:

Նկատի ունենալով, որ $\vec{r} = \vec{m_1 a_1} + \vec{m_2 a_2} + \vec{m_3 a_3}$ և ենթադրելով, որ \vec{S}_0 և \vec{S}_1 միավոր-վեկտորները x , y և z ուղղությունների (a_1 , a_2 և a_3 տրանսլյացիաների վեկտորների) հետ կազմում են հետեւալ անկյունները.

$S_{\text{բանսլյացիանսերի միավոր - զեկառությունը}$	\vec{a}_1	\vec{a}_2	\vec{a}_3
\vec{S}_0	θ	90°	$90^\circ - \theta$
\vec{S}_j	α_1	α_2	α_3

(9.1)-ը կարող էնք բերել հետևյալ տեսքի.

$$G = A \sum_{m_1} \sum_{m_2} \sum_{m_3} \exp \{ -ik(A_1 m_1 + B_1 m_1^2 + A_2 m_2 + B_2 m_2^2 + A_3 m_3 + B_3 m_3^2) \} \sum_{m_1, m_2, m_3} \exp \{ -ik(A_4 m_1 m_2 + B_4 m_1 m_3 + C_4 m_2 m_3) \}, \quad (9.5)$$

որտեղ՝

$$A_1 = \vec{a}_1(\vec{s}_1 - \vec{s}_0), \quad B_1 = \frac{a_1^2 \sin^2 \alpha_1}{2R}, \quad B_3 = \frac{a_3^2 \sin^2 \alpha_3}{2R},$$

$$A_2 = \vec{a}_2(\vec{s}_1 - \vec{s}_0), \quad B_2 = \frac{a_2^2 \sin^2 \alpha_2}{2R}, \quad B_4 = \frac{2a_1 a_2 \cos \alpha_1 \cos \alpha_3}{2R},$$

$$A_3 = \vec{a}_3(\vec{s}_1 - \vec{s}_0),$$

$$A_4 = \frac{2a_1 a_2 \cos \alpha_1 \cos \alpha_2}{2R}, \quad C_4 = \frac{2a_2 a_3 \cos \alpha_2 \cos \alpha_3}{2R}, \quad A = \frac{fe^2}{Rmc^2} P,$$

(9.5)-ից պարզ երևում է, թե ինչո՞ւ են դիմում մոտավորությունների և առանց բացառության վերը նշված բոլոր գիպքերում (գաղ, հեղուկ, ամորֆ պինդ մարմին, 10^{-4} սմ և մեծ շափիր ունեցող բյուրեղներ) արհամարհում են (9.3)-ով արտահայտվող Փփուլային անդամը:

Ինչպես երևում է (9.5)-ից, գումարման նշանի տուկ գումարման ինդեքսները բացի առաջին աստիճանից մտնում են նաև երկրորդ աստիճաններով և արտադրյալներով. Պարզ է, որ այդպիսի գումարը ճշգրիտ կերպով հաշվել ու (9.5)-ի համար անալիտիկ արտահայտություն ստանալ հնարավոր չէ և այդ դժվարությունից խուսափելու նպատակով արհամարհում են գումարման ինդեքսների երկրորդ աստիճան ու արտադրյալ պարունակող անդամները՝ մոռանալով, որ դա ոչ միշտ կարելի է անել, և որ այդ մոտավորությունը առանձին դեպքերում շատ կոպիտ սխալների կառող է հանգեցնել:

Մի օրինակով կարելի է համոզվել, թե այդ արհամարհվող

Գուշային անդամի հաշվարկը անդրադարձած գումար-ալիքի ամպ-ի տուղի ինչպիսի տարբերության կարող է հանգեցնել:

Թարբերախտաբար, հայտնի է մի մասնավոր դեպք, երբ կարելի է (9.5) գումարը ճշգրիտ հաշվել:

Եթե օգտվենք հետևյալ հայտնի [21] բանաձևերից՝

$$\sum_{m_1=0}^{N_1-1} \sin \frac{2\pi m_1^2}{N_1} = \frac{\sqrt{N_1}}{2} \left(1 + \cos \frac{\pi N_1}{2} - \sin \frac{\pi N_1}{2} \right), \quad (9.6)$$

$$\sum_{m_2=0}^{N_2-1} \cos \frac{2\pi m_2^2}{N_2} = \frac{\sqrt{N_2}}{2} \left(1 + \cos \frac{\pi N_2}{2} + \sin \frac{\pi N_2}{2} \right) \quad (9.7)$$

և հաշվենք մեկ հարթությունից անդրադարձած ալիքի ամպլիտուդը, ապա հեշտությամբ կհամոզվենք, որ Փ-ն ոչ միշտ կարելի է արհամարհել:

Իրոք, (9.5) արտահայտությունը \tilde{a}_1 և \tilde{a}_2 տրանսլյացիաներ պարունակող հարթության համար կընդունի հետևյալ տեսքը.

$$G_h = A \sum_{m_1=0}^{N_1-1} \exp \left\{ -ik \frac{a_1^2 \sin^2 \theta}{2R} m_1^2 \right\} \sum_{m_2=0}^{N_2-1} \exp \left\{ -ik \frac{a_2^2}{2R} m_2^2 \right\}, \quad (9.8)$$

Վերջին արտահայտությունը ստանալիս մենք նկատի ենք ունեցել, որ այդ հարթությունից տեղի ունի անդրադարձում, այսինքն՝ ընկնող և անդրադարձող ճառագայթները հարթության հետ կազմում են միևնույն թանկումը (գլուխ V, § 1):

(9.8) արտահայտությանը կարող ենք տալ (9.6) ու (9.7) արտահայտությունների տեսք և գումարը վերջավոր տեսքով՝ հաշվել, եթե (9.8)-ի մեջ մտնող պարամետրերին տանք այնպիսի մասնավոր արժեքներ, որ բավարարվեն հետևյալ պայմանները.

$$\frac{ka_1^2 \sin \theta}{2R} = \frac{2\pi}{N_1}, \quad \frac{ka_2^2}{2R} = \frac{2\pi}{N_2}, \quad (9.9)$$

Նկատի ունենալով (9.9) և (9.6)-ն ու (9.7)-ը, հարթությունից անդրադարձած ալիքի ամպլիտուդի համար (9.8)-ից կստանանք՝

$$G = A \sqrt{N_1 N_2} \left\{ \sin \frac{(N_1 + N_2)}{2} \pi \cos \frac{(N_1 - N_2)}{2} \pi + \right. \\ \left. + \frac{1}{2} \sin \frac{(N_1 + N_2)}{2} \pi - 1 \left[\cos \frac{(N_1 + N_2)}{2} \pi + \right. \right. \\ \left. \left. + \frac{1}{2} \left(1 + \cos \frac{(N_1 - N_2)}{2} \pi \right) \right] \right\}, \quad (9.10)$$

Ինչպես երկում է վերջին արտահայտությունից, մեր քննարկած մասնավոր դեպքում հարթությունից անդրադարձած ալիքի ամպլիտուդը համեմատական է մասնիկների թվի քառակուսի արժմատին և ընդհանուր դեպքում կոմպլեքս մեծություն է: Մինչդեռ լառեկ տեսության համաձայն այն համեմատական է ուղղակի մասնիկների թվին՝ $G \sim A N_1 N_2$:

Այս շափազանց մեծ տարբերությունը չպետք է առիթ տա մտածելու այն մասին, որ լառեկ տեսությունը բոլորովին պիտանի չէ: Բանն այն է, որ (9.9) պայմաններին բավարարող բյուրեղի շափերը միլիմետրերի կարգի են, և իրոք, այդպիսի բյուրեղների համար լառեկ տեսությունը կիրառելի չէ ու, սովորաբար, չի էլ կիրառվում:

Սակայն, նախ բյուրեղների դեպքում, ինչպես կտեսնենք ներքում, լառեկի տեսությունից գգալի շեղումները սկսվում են արդեն, երբ նրանց շափերը մոտենում են 10^{-4} սմ-ի, մինչդեռ հետազոտություններ կատարելիս այդ բանը բոլորովին նկատի շեն ունենում, երկրորդ հեղուկների, գագերի և ամորֆ պինդ մարմինների դեպքում ճառագայթվող ծավալների շափերը միշտ (9.9) պայմաններով արտահայտվող շափերի կարգի են լինում:

Վերևում ասվածը ավելի դիտելի կարելի է դարձնել՝ կարելի է բյուրեղների շափերը աստիճանաբար մեծացնելով հետեւ շեղումների ընթացքին, եթե որոշ շափով փոքրացնելով մեր հաշիվների ճշտությունը, հարթությունից անդրադարձած ալիքի ամպլիտուդի (9.8) արտահայտության մեջ մտնող գումարները փոխարինենք ինտեգրալներով, ինչպես այդ արել ենք հինգերորդ գլխում:

$$G_h = A \pi \int_0^u \int_0^v \exp \left\{ -\frac{i k (x^2 \sin^2 \theta + y^2)}{2R} \right\} dx dy, \quad (9.11)$$

որտեղ u -ը ատոմների թիվն է հարթության միավոր մակերեսի վրա, $x = m_1 a_1$, $y = m_2 a_2$ (x -ը և y -ը ուղղությամբ համընկնում են a_1 -ի և a_2 -ի հետ), u -ն և v -ն հարթության գծային շափերն են x և y ուղղություններով:

Այժմ անցնենք անդրադարձած ալիքների ինտենսիվության հետազոտությանը՝ կախված բյուրեղի շափերից, բավարարվենք մեկ հարթությունից անդրադարձած ալիքների ինտենսիվության հետազոտությամբ:

Այդ նպատակով հետազոտենք հետևյալ ինտեգրալները.

$$I_1 = \int_0^u \exp \left\{ -ik \frac{\sin^2 \theta}{2R} x^2 \right\} dx, \quad I_2 = \int_0^v \exp \left\{ ik \frac{y^2}{2R} \right\} dy,$$

$$I_1^* = \int_0^u \exp \left\{ +ik \frac{\sin^2 \theta}{2R} x^2 \right\} dx, \quad I_2^* = \int_0^v \exp \left\{ -ik \frac{y^2}{2R} \right\} dy,$$

Հարթությունից անդրադարձած ալիքի I ինտենսիվությունը համեմատական է ամպլիտուդի մոդուլի քառակուսուն և համաձայն (9.11)-ի $|I| \sim |I_1 I_2|^2 = (I_1 I_1^*)(I_2 I_2^*)$, որին կարելի է տալ նաև հետեւյալ տեսքը՝

$$(I_1 \cdot I_1^*)(I_2 \cdot I_2^*) = \left\{ \left[\int_0^u \cos \frac{kx^2 \sin^2 \theta}{2R} dx \right]^2 + \left[\int_0^u \sin \frac{kx^2 \sin^2 \theta}{2R} dx \right]^2 \right\} \times \\ \times \left\{ \left[\int_0^v \cos \frac{ky^2}{2R} dy \right]^2 + \left[\int_0^v \sin \frac{ky^2}{2R} dy \right]^2 \right\}, \quad (9.12)$$

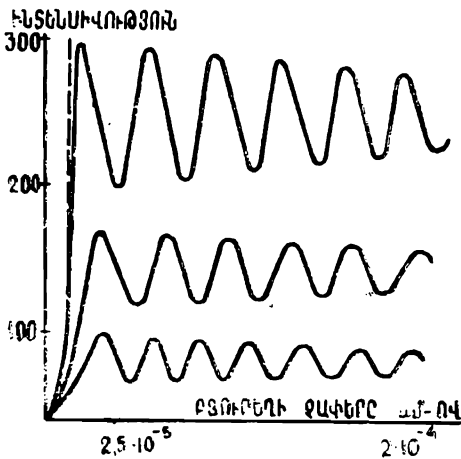
Ինտենսիվության կախումը հարթության սկզբանեւում և վերաբերյալ (9.12) արտահայտության կախումը այդ մեծություններից: (9.12)-ի կախումը սից և վերաբերյալ այդ արտահայտության մեջ մըտնելու համար կարելի է կատարել այդ արտահայտության մեջ մըտնելու համար կարելի է կատարվել են ՄօԿ_α ճառագայթման և կվարցի (1340) հարթություններից տեղի ունեցող առաջին, երկրորդ և երրորդ կարգի անդրադառների համար:

Ինտենսիվության կախումը բյուրեղի սկզբանեւում և վերաբերյալ արտահայտող կորը բերված է 111-րդ նկարում: Այդ նկարում կետագրծերով բերված է նաև ինտենսիվության կախումը բյուրեղի շափերից արտահայտող կորը ըստ կառւեի:

Այդ նկարից երևում է, որ

1. ինտենսիվությունը բյուրեղի շափերի մեծացմամբ սկզբում մեծանում է, ընդունում առավելագույն արժեք (I կոր), իսկ հետո սկսում է տատանվել, և զերչիվերջո տատանումները մարում են՝ ինտենսիվությունն ընդունում է հաստատուն արժեք: Քանի զեռ բյուրեղի շափերը փոքր են ֆրենելի առաջին գոտու շափերից, բյու-

բեղի շափերի մեծացմամբ անդրադարձած ալիքների ինտենսիվությունը մեծանում է, իսկ շափերի հետագա մեծացմամբ (երբ բացվում են հաջորդ գոտիները) ինտենսիվությունը տատանվում է: Բյուրեղի շափերի մեծացմամբ տատանման հաճախությունը արագ մեծանում է, մաքսիմումները փոքրանում են, մինիմումները՝ մեծանում, և կորը հարթվում է: Վերջապես, երբ բյուրեղի գծային շա-



Նկ. 111. Ինտենսիվության կախումը բյուրեղի շափերից և անդրադարձման կարգից

փերը գերազանցում են 10^{-2} սմ-ը, անդրադարձած ինտենսիվությունը գործնականորեն դառնում է հավասար առաջին գոտուց անդրադարձած ալիքի ինտենսիվության քառորդին և այն այլևս բյուրեղի շափերից կախված չի լինում:

2. Լառեի կորի հետ համեմատությունը ցույց է տալիս, որ նույնիսկ Ֆրենելի առաջին գոտու սահմաններում լառեի հաշվարկների արդյունքները էապես տարրերվում են ավելի ճշգրիտ հաշվարկների արդյունքներից: Լառեի հաշիվների արդյունքները կհամընկնեին ավելի ճշգրիտ հաշիվների արդյունքներին, եթե առաջին գոտու շափերը լինեին անսահման մեծ, իսկ այդ վերջինը հնարավոր է միայն այն դեպքում, եթե հարթության տարրեր կետերից դեպի դիտման կետը տարածվող ցրված ալիքները լինեին իրար զուգահեռ: Լառեի հաշիվները իրականում ճիշտ կարող են լինել միայն այն դեպքում, եթե բյուրեղի շափերը լինեն շատ փոքր առաջին գոտու շափերից:

3. Ինչպես երևում է նկարից, անդրադարձման ինտենսիվությունը և նրա տատանման բնույթը կախված են անդրադարձման

կարգից, մի բան, որը նույնպես կառւեի տեսությունից չի հետևում: Ինչպես կառւեի տեսությունում, այնպես էլ այստեղ, կախումը անդրադարձման կարգից արտահայտվում է (2 թ) ատոմային ֆակտորի միջոցով, բայց այստեղ բացի այդ ֆակտորի միջոցով արտահայտվող կախումից, կարգից ունեցած կախումն արտահայտվում է նաև I₁ և I₂ ինտեգրալների մեջ եռանկյունաշափական ֆունկցիաների արգումենտների մեջ մտնող ՏԻՊ-Ների միջոցով (կարգի մեծացմամբ թ-ն մեծանում է): 111-րդ նկարում տարբեր կարգի անդրադարձումների համար ստացված կորերի տարբերությունը այդ ՏԻՊ-Ների տարբերության արդյունքն է: Ինչպես երևում է այդ նկարից, որքան ցածր է անդրադարձման կարգը, այսինքն, որքան մեծ են ֆրենելի գոտիների մակերեսները, այնքան մեծ են ամպլիտուդն ու իր փոփոխությունը, և փոքր է տատանման հաճախությունը: Այդ պատճառով ուժեղ ուժի բարեկարգ գածր կարգի ինտենսիվության փոփոխությունը, կախված բյուրեղի շափերից, հեշտ է հայտնաբերել, իսկ թույլ ուժի բարեկարգ բարձր կարգի անդրադարձում) կորը բյուրեղի շափերի մեծացմամբ արագ հարթված է, և ինտենսիվության փոփոխությունը դժվար է հայտնաբերել:

Նշված 1—3 հետևությունները համընկնում են փորձարարական տվյալներին: Իրոք, սովետական և արտասահմանյան գիտնականների բազմաթիվ աշխատանքներով ապացուցված է, որ անդրադարձ ունտգենյան ալիքների ինտենսիվությունը փոքրանում է ցրող միաբյուրեղների շափերի մեծացմամբ: Հայտնի է նաև, որ վերաբյուրեղացման միջոցով կերակրի աղի բյուրեղիկների շափերի մեծացման՝ հետեւանքով առաջին հերթին ցածր կարգի անդրադարձումների ինտենսիվությունն է փոքրանում: Վերջապես [22] և այլ աշխատանքներում ցույց է տրված, որ անդրադանող միաբյուրեղների մակերեսութիւնը հզկման միջոցով (բյուրեղիկների մասնացման հետեւանքով) կարելի է զգալիորեն մեծացնել ունտգենյան ալիքների անդրադարձման ինտենսիվությունը:

Ունտգենյան ճառագայթների ինտերֆերենցիայի կինեմատիկ տեսությունը (կառւեի տեսությունը) ի վիճակի չէ բացատրելու անդրադարձնող բյուրեղի շափերի մեծացմամբ անդրադարձման ինտենսիվության այդ թուլացումը*: Այդ է պատճառը, որ վերոհիշ-

* Կինեմատիկ տեսության (կառւեի) հիմնական թերությունն այն է, որ հանգում է էներգիայի պահպանման օրենքի խախտմանը: Իրոք, ինչպես արդեն նշել ենք հինգերորդ գլուխում, համաձայն այդ տեսության, անդրադարձ ճառագայթների ինտեգրալ ինտենսիվությունը համեմատական է ճառագայթվող ծավալին, հետևաբար, անդամ ընկնող ալիքի վերջավոր էներգիայի գեպում,

յալ թուլացումը բացատրելու նպատակով դիմում են ռենտգենյան ճառագայթների դինամիկ տեսությանը [23] և այդ բացատրում են առաջնային ու երկրորդային էքստինկցիայով կամ նրանցից մեկով:

Ինչպես ցույց տրվեց վերեկում, ճշգրիտ հաշվումները հանգեցնում են այն բանին, որ անգամ կինեմատիկ տեսության շրջանակներում բյուրեղի շափերի մեծացմամբ կարող է ստացվել անդրադարձման ինտենսիվության փոքրացում (տե՛ս նկ. 111, առաջին

անսահմանորեն մեծացնելով ճառագայթվող ծավալի շափերը, կարելի է անդրադարձած ճառագայթների ինտենսիվությունը անսահմանափակ կերպով մեծացնել՝ ցանկացած շափով մեծ դարձնել սկզբնական ալիքի ինտենսիվությունից:

Կինեմատիկ տեսությունն այդ անհեթեթությանը հանդում է այն պատճառով, որ արհամարհվում է ցրված ալիքների ու սկզբնական ալիքի փոխադրեցությունը և, հետևապես, հաշվի չի առնվազ սկզբնական ալիքի ինտենսիվության փոքրացումը՝ նրա էներգիայի մի մասը անդրադարձած ալիքին անցնելու հետևանքով:

Բայտ կինեմատիկ տեսության՝ թափանցիկ (չկանող) բյուրեղների մեջ, բոլոր խորությունների վրա սկզբնական ալիքն ունի նույն էներգիան, շնայած նրա էներգիան աստիճանաբար, բյուրեղի մեջ խորանալու հետ միասին, անցնում է անդրադարձած ալիքին: Իհարկե, այդ աղաղակող թերության հետ մի կերպ կարելի է հաշտվել միայն շատ փոքրիկ բյուրեղների դեպքում, որոնց անդրադարձած ալիքի ինտենսիվությունը շատ փոքր է և շատ փոքր խորությունների վրա սկզբնական ալիքի ինտենսիվության թուլացումը կարելի է անտեսել՝ առանց մեծ սխալ գումարելու: Ահա թե ինչու կինեմատիկ տեսությունը (լառսկի) կիրառելի է միայն շատ փոքր բյուրեղիկների համար:

Դինամիկ տեսությունը հաշվի է առնում սկզբնական և ցրված ալիքների փոխադրեցությունը, և, հետևապես, սկզբնական ալիքի աստիճանական թուլացումը տեղի է ունենում բյուրեղի մեջ թափանցելուն զուգընթաց:

Առաջին անգամ Դարվինն է [23] մտցրել առաջնային և երկրորդային էքստինկցիաների հասկացությունները, որոնց օգնությամբ փաստորեն հաշվի է առնդրացում հիշատակված թուլացումը միաբարեղների (իդեալական) և մողակի բյուրեղների ու բազմաբյուրեղների մեջ:

Առաջնային էքստինկցիա է կոչվում այն երկույթը, երբ իդեալական բյուրեղի մեջ վերին անդրադարձող հարթությունները էկրանացման են ենթարկում իրենցից հետո (ցած) գտնվող հարթություններին: Ցուրաքանչյուր հարթություն իր վրա ընկնող էներգիայի մի մասն անդրադարձում է, և հաշորդ հարթության վրա ընկնող էներգիան փոքրացած է լինում:

Բազմաբյուրեղների մեջ (մողակի բյուրեղների) վերեկում անդրադարձման վիճակում գտնվող բյուրեղիկները էկրանացնում են ներքենում անդրադրձման վիճակում գտնվող բյուրեղիկներին: Ամեն մի բյուրեղիկ իր վրա ընկած էներգիայի մի մասն անդրադարձնում է, և անդրադարձման վիճակում գտնվող հաշորդ բյուրեղիկի վրա ավելի քիչ էներգիա է ընկնում: Այդ երկույթը կոչվում է երկրորդական էքստինկցիա:

Պարզ է, որ շատ փոքր բյուրեղների դեպքում կարելի է արհամարհել էքստինկցիաները և կիրառել կինեմատիկ տեսությունը: Էքստինկցիաների հարցը մանրամասն թնության կառնվի դինամիկ տեսությանը նվիրված գրքում:

կարգի անդրադարձում), հետևապես, կինեմատիկ տեսությամբ նույնպես, որոշ դեպքերում և երբեմն էլ, որոշ շափով, կարելի է բացատրել այդ փոքրացումը:

§ 2. ՌԵՆՏԳԵՆՅԱՆ ԾԱՌԱԳԱՅԹՆԵՐԻ ԻՆՏԵԳՐԱԼ ԻՆՏԵՆՍԻՎՈՒԹՅԱՆ ԿԱԼՈՒՄԸ ԲՅՈՒՐԵՂԻ ԾԱՌԱԳԱՅԹՎՈՂ ԾԱՎԱԼԻ ՀԱՓԵՐԻՑ

Հինգերորդ գլխում քննարկեցինք ինտեգրալ ինտենսիվության հարցը և ստացանք հետևյալ բանաձևը.

$$\frac{E\sigma}{I_0} = QV, \quad (9.13)$$

Այդ բանաձևն արտածեցինք և՝ կառւեի, և Բրեգի եղանակներով: Ինչպես ցույց է տալիս (9.13)-ը, ինտեգրալ ինտենսիվությունը համեմատական է ճառագայթվող ծավալին (Q -ն միավոր ծավալի կողմից անդրադարձած ճառագայթների ինտեգրալ ինտենսիվությունը է և ծավալից կախված չէ):

Արդեն խոսել ենք այն մասին, որ (9.13) բանաձևը էներգիայի պահպանման օրենքի տեսակետից ճիշտ չէ, սակայն այժմ այդ կողմից վրա չէ, որ ուշադրություն ենք դարձնելու: Էներգիայի պահպանման օրենքն այնքան էլ մեծ վնաս շի կրի, եթե բյուրեղիկը շատ փոքր լինի: Տվյալ դեպքում ավելի շատ անհանգստացնում է այդ բանաձևի կիրառելիությունը հենց փոքր բյուրեղների նկատմամբ և Q մեծության ծավալից կախված չլինելը:

Դժվար չէ համոզվել, որ (9.13) բանաձևը կոռեկտ չէ և նրանից պետք է օգտվել շատ զգույշ: Այդ բանաձևը սովորաբար կիրառում են ցանկացած շափով փոքր բյուրեղների համար էլ և միշտ ընդունում են, որ Q -ն V -ից կախված չէ: Հետաքրքիր է, որ այդ բանաձեն արտածելիս ենթադրվել է, որ բյուրեղը շատ փոքր չէ: Բայց կիրառությունների ժամանակ մոռանում են այդ և կիրառում այն ցանկացած շափի բյուրեղների համար: Իրոք, կառւեի եղանակով արտածելիս կատարվեց հետևյալ մոտավորությունը՝

$$\int \frac{\sin^2[N_o B_o]}{\sin^2[B_o]} dB_o = \int_{-\infty}^{+\infty} \frac{\sin^2[N_o B_o]}{B_o^2} dB_o = \pi N_o, \text{ որը հետև-$$

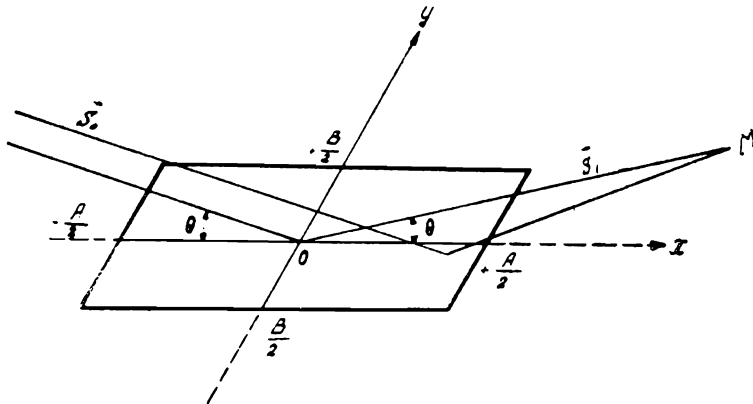
րավոր է միայն այն դեպքում, եթե $N\sigma$ -ն (μ բյուրեղի շափը) բավականաշափ մեծ է: Եթե այդպես է, որեմն (9.13)-ը շատ փոքր բյուրեղների համար ճիշտ չէ:

Բրեգի եղանակով ինտեգրալ ինտենսիվությունը հաշվելիս և հարթությունից անդրադարձած ալիքի ինտենսիվությունը որոշելիս նույնպես ընդունվել է, որ

$$\int_{-\infty}^{+\infty} \exp \left\{ ik \frac{x^2 \sin^2 \theta}{2R} \right\} dx = \sqrt{\frac{R\lambda}{2 \sin \theta}} (1-i),$$

$$\int_{-\infty}^{+\infty} \exp \left\{ ik \frac{y^2}{2R} \right\} dy = \sqrt{\frac{R\lambda}{2}} (1-i),$$

այսինքն՝ անդրադարձնող հարթության շափերն անսահման մեծ են, նմանապես ֆրենելի գոտիների եղանակով հաշվելիս ընդունվել է, որ հարթության վրա տեղավորվում են մեծ թվով ֆրենելի գոտիներ, այսինքն՝ հարթության շափերը գարձյալ շատ մեծ են: Բացի դրանից, ինտեգրալ ինտենսիվությունը հաշվելու համար միավոր մակերեսի ինտեգրալ ինտենսիվությունը բազմապատկվել է ընկնող ալիքի (անդրադարձածի) S կտրվածքով,



Նկ. 112. Սահմանափակ հարթությունից անդրադարձած ալիք-ամպլիտուդի հաշվումը

այսինքն՝ ընդունվել է, որ անդրադարձած ալիքի ամբողջ կտրվածքով ինտենսիվությունն ունի համասեռ բաշխում՝ ամենուրեք նույնն է: Իրոք, [24] և [25] աշխատանքներում ինտեգրալ ինտենսիվության արտածման ժամանակ ենթադրվում էր, որ բյուրեղի անդրադարձնող հարթությունները և ընկնող ու անդրադարձող ալիքների ճակատները անսահման մեծ են և ինտենսիվությունը նրանց վրա ամենուրեք նույնն է, այսինքն՝ \tilde{S}_1 վեկտորին ուղղահայց

Հարթության վրա ինտենսիվությունն ունի հաստատուն արժեք և այդ պատճառով էլ ինտենսիվությունը գտնելու համար ինտենսիվությունը բազմապատկում են անդրադարձած ճառագայթի լայնական կտրվածքով (նկ. 113):

Սակայն դժվար չէ համոզվել, որ ոեալ բյուրեղների դեպքում անդրադարձած ալիքի ճակատը չի կարելի համարել անսահման մեծ, իսկ անդրադարձած փնջի ներսում, անդրադարձման ուղղությանն ուղղահայց հարթության տարրեր կետերում ինտենսիվությունն ունի տարրեր արժեքներ:

Այդ բանում համոզվելու համար նախ հետազոտենք մեկ սահմանափակ հարթությունից (ոեալ բյուրեղ) անդրադարձած ալիքի ինտենսիվությունը:

1. ՍԱՀՄԱՆԱՓԱԿ ԶԱՓԵՐՈՎ ՀԱՐԹՈՒԹՅՈՒՆԻՑ ԱՆԴՐԱԴԱՐՁԱԾ ԱԼԻՔԻ ԻՆՏԵՆՍԻՎՈՒԹՅՈՒՆԸ

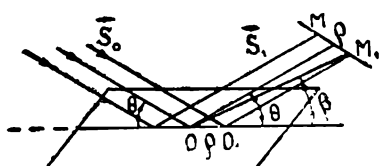
Ենթադրենք հարթ մոնորոպատիկ ալիքը \vec{S}_0 միավոր-վեկտորի ուղղությամբ ընկնում է ատոմային հարթության վրա, և մենք անդրադարձած ալիքի ինտենսիվությունը հետազոտում ենք դիտման M կետում, որը կոռոդինատների սկզբնակետից երեսում է \vec{S}_1 միավոր-վեկտորի ուղղությամբ: Անդրադարձնող հարթության շափերը x և y ուղղություններով համապատասխանաբար հավասար են A_1 -ի և B_1 -ի: Սկզբնակետը տեղավորված է հարթության կենտրոնում (նկ. 112):

Այս դեպքում հարթությունից անդրադարձած ալիքի ինտենսիվությունը M կետում կլինի՝

$$I_m = A^2(G_m'^2 + G_m''^2),$$

$$\text{որտեղ՝ } G_m' = \int_{-\frac{A_1}{2}}^{\frac{A_1}{2}} \cos\left(k \frac{\sin^2 \theta}{2R} x^2\right) dx \int_{-\frac{B_1}{2}}^{\frac{B_1}{2}} \cos\left(k \frac{y^2}{2R}\right) dy -$$

$$- \int_{-\frac{A_1}{2}}^{\frac{A_1}{2}} \sin\left(k \frac{\sin^2 \theta}{2R} x^2\right) dx \int_{-\frac{B_1}{2}}^{\frac{B_1}{2}} \sin\left(k \frac{y^2}{2R}\right) dy,$$



Նկ. 113. Փոշի լայնական կտրվածքի վրա ինտենսիվության բաշխման հավաքմը

$$G''_m = \int_{-\frac{A_1}{2}}^{\frac{A_1}{2}} \sin \left(k \frac{\sin^2 \theta}{2R} x^2 \right) dx \cdot \int_{-\frac{B_1}{2}}^{\frac{B_1}{2}} \sin \left(k \frac{y^2}{2R} \right) dy - \\ - \int_{-\frac{A_1}{2}}^{\frac{A_1}{2}} \sin \left(k \frac{\sin^2 \theta}{2R} x^2 \right) dx \int_{-\frac{B_1}{2}}^{\frac{B_1}{2}} \cos \left(k \frac{y^2}{2R} \right) dy, \quad A = \frac{n e^2}{R m c^2} f,$$

Անդրադարձած ալիքի լայնական կտրվածքի վրա գտնվող M_1 կետում (M_1 կետը կոռոդինատների սկզբնակետից երևում է Յ Յ անկյան տակ (նկ. 113)) ալիքի ինտենսիվությունը կլինի

$$I_{M_1} = A^2 (G'^2_{M_1} + G''^2_{M_1}),$$

որտեղ՝

$$G'_{M_1} = \int_{-(\frac{A_1}{2} + \rho_1)}^{\frac{A_1 - \rho_1}{2}} \cos \left(k \frac{\sin^2 \theta}{2R} x^2 \right) dx \int_{-\frac{B_1}{2}}^{\frac{B_1}{2}} \cos \left(k \frac{y^2}{2R} \right) dy -$$

$$\int_{-(\frac{A_1}{2} + \rho_1)}^{\frac{A_1 - \rho_1}{2}} \sin \left(k \frac{\sin^2 \theta}{2R} x^2 \right) dx \int_{-\frac{B_1}{2}}^{\frac{B_1}{2}} \sin \left(k \frac{y^2}{2R} \right) dy,$$

$$G''_{M_1} = \int_{-(\frac{A_1}{2} + \rho_1)}^{\frac{A_1 - \rho_1}{2}} \cos \left(k \frac{\sin^2 \theta}{2R} x^2 \right) dx \int_{-\frac{B_1}{2}}^{\frac{B_1}{2}} \sin \left(k \frac{y^2}{2R} \right) dy -$$

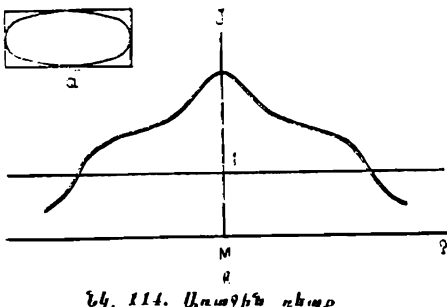
$$- \int_{-(\frac{A_1}{2} + \rho_1)}^{\frac{A_1 - \rho_1}{2}} \sin \left(k \frac{\sin^2 \theta}{2R} x^2 \right) dx \int_{-\frac{B_1}{2}}^{\frac{B_1}{2}} \cos \left(k \frac{y^2}{2R} \right) dy,$$

որտեղ $\rho_1 = \frac{\rho}{\sin \theta}$, իսկ ρ -ն՝ M և M_1 կետերի միջև եղած հեռավորությունն է (M և M_1 կետերը տեղափոխած են \vec{S}_1 վեկտորի և 00_1 հատվածի հարթության վրա, անդրադարձած փնջի լայնական կտրվածքում, տե՛ս նկ. 113):

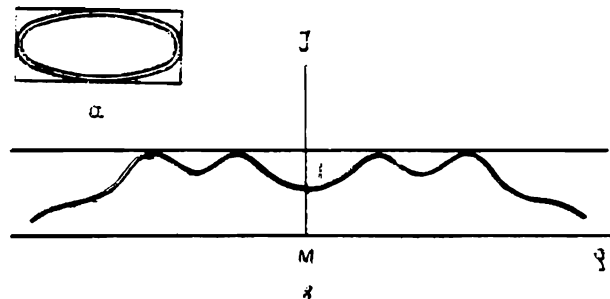
Հետազոտենք ինտենսիվության բաշխումը անդրադարձած միջի լայնական կտրվածքում ԱՄ₁ հատվածի վրա՝ կախված ը մեծությունից, անդրադարձնող հարթության երեք տարբեր մեծությունների (չափերի) դեպքում: Թող $\lambda = 1,542 \text{ \AA}$ և $\theta = 12^\circ 31' 44''$:

Առաջին դեպք—անդրադարձնող հարթության չափերն այնպիսին են, որ նրա վրա տեղավորվում է միայն ֆրենելի առաջին գոտին (նկ. 114):

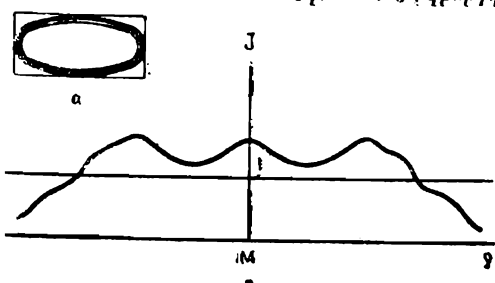
Երրորդ դեպք—անդրադարձնող հարթության չափերն այնպիսին են, որ նրա վրա տեղավորվում են միայն ֆրենելի առաջին երկու գոտիները (նկ. 115):



Նկ. 114. Առաջին դեպք



Նկ. 115. Երրորդ դեպք



Նկ. 116. Երրորդ դեպք

Ինտենսիվությունների բաշխումը նրանց լայնական ստրվածքների վրա առաջին, երկրորդ և երրորդ դեպքերում: Ինչպես երեվում է այդ նկարներում բերված կորերից, առաջին դեպքում

երրորդ դեպք—անդրադարձնող հարթության չափերն այնպիսին են, որ նրա վրա տեղավորվում են միայն ֆրենելի առաջին երեք գոտիները (նկ. 116):

114, 115 և 116 նկարներում ներկայացված են անդրադարձակ փնջերի վիճակը լայնական ստրվածքների վրա առաջին, երկրորդ և երրորդ դեպքերում: Ինչպես երեվում է այդ նկարներում բերված կորերից, առաջին դեպքում

մաքսիմալ անդրադարձում ստացվում է մի կետում, որը անդրադարձնող հարթության կենտրոնից երևում է անդրադարձման անկյան տակ (այսինքն թ անկյան տակ, նկ. 114), և այդ կետից հեռանալիս ինտենսիվությունն արագ ընկնում է: Եթերորդ դեպքում անդրադարձման ինտենսիվության բաշխումն ունի ավելի բարդ տեսք (նկ. 115), կենտրոնական մասում ստացվում է մինիմում, իսկ այդ մինիմումի աջից և ձախից ստացվում են մաքսիմումներ: Եթերորդ դեպքում (նկ. 116) կենտրոնական մասում ստացվում է երկրորդական մաքսիմում, իսկ այդ մաքսիմումի երկու կողմերում ստացվում են գլխավոր մաքսիմումները:

Այսպիսով, այդ եքեք դեպքերի քննարկումից գալիս ենք հետեւյալ եզրակացությունների.

1. անդրադարձած ճառագայթի լայնական կտրվածքի վրա ինտենսիվության բաշխումը համասեռ չէ և կետից կետ փոփոխվում է:

2. Անդրադարձած ճառագայթի ստրուկտուրան (ինտենսիվության բաշխումը նրանում) կախված է անդրադարձնող հարթության շափերից:

3. Մեկ սահմանափակ հարթությունից անդրադարձած ալիքի փուլը կախված է այդ հարթության շափերից: Իրոք, քանի որ այդ ալիքի Փ փուլը որոշվում է $G'' = \frac{G''}{G'}$, իսկ $G'-ը$ և $G''-ը$ կախված են անդրադարձնող հարթության շափերից, ուրեմն Փ-ն ուղղակի կախված է այդ շափերից: Դեռ ավելին, անդրադարձած փնչի լայնական կտրվածքի տարրեր կետերում $G'-ը$ և $G''-ն$ ունեն տարրեր արժեքներ, ուստի և Փ-ն այդ կտրվածքի տարրեր կետերում ունի տարրեր արժեքներ:

2. ՍԱՀՄԱՆԱՓԱԿ ԶԱՓԵՐՈՎ ՀԱՐԹՈՒԹՅՈՒՆՆԵՐԻ ՀԱՄԱԿԱՐԳԻՑ ԱՆԴՐԱԴԱՐՁԱՆ ԱԼԻՔԻ ԻՆՏԵՆՍԻՎՈՒԹՅՈՒՆԸ

Այժմ անցնենք սահմանափակ հարթությունների համակարգից (ոեալ բյուրեղ) անդրադարձած ալիքի ինտենսիվության հետազոտությանը: Այս դեպքում հաշիվները բարդանում են, քանի որ տրվյալ համակարգի տարրեր հարթություններից անդրադարձած փնչի լայնական կտրվածքի տվյալ կետը եկած ալիքներն ունեն տարրեր փուլեր և ամպլիտուդներ, ընդ որում, փուլերը տարրերվում են ոչ միայն Վուֆ-Բրեգի արտահայտությամբ, այլև լրացուցիչ անդամով պայմանավորված հետեւյալ առնչությամբ՝

$$\Delta\Phi_{n,n-1} = \arctg \left(\frac{G_n''}{G_n'} \right) - \arcc \left(\frac{G_{n-1}''}{G_{n-1}'} \right),$$

որտեղ $\Delta\varphi_{n,n-1}$ -ը ո-րդ և ո- -1 -րդ հարթություններից անդրադարձած ալիքների միջև գոյություն ունեցող փուլերի լրացուցիչ տարբերությունն է G'_n -ը և G''_n -ը ո-րդ հարթությունից անդրադարձած ալիքի ամպլիտուդի իրական և կեղծ մասերն են, G'_{n-1} -ը և G''_{n-1} -ը նույն մեծություններն են ո- -1 համար ունեցող հարթության համար:

Այսպիսով, քանի որ G'_n , G''_n , G'_{n-1} և G''_{n-1} մեծությունները կախված են ինչպես հարթության համարից, այնպես էլ նրա չափերից, ապա $\Delta\varphi_{n,n-1}$ -ը նույնպես կախված է այդ մեծություններից: Մյուս կողմից, ինչպես արդեն ասվեց նախորդ կետում, G'_n -ը, G''_n -ը, հետևապես և $\Delta\varphi_{n,n-1}$ մեծությունները կախված են թից, այսինքն՝ այդ մեծությունները անդրադարձած ճառագայթի տվյալ լայնական կտրվածքի վրա կետից կետ փոփոխվում են:

Նկատի ունենալով վերը ասվածը, M կետից օհեռավորության վրա գտնվող M_1 կետում գումար-ալիքի ամպլիտուդի համար կստանանք՝

$$G'_n = A \sum_{n=0}^{N-1} \exp \{ i 2\pi k ds \sin \theta \} (G'_n + i G''_n), \quad (9.14)$$

որտեղ d -ն անդրադարձնող հարթությունների միջևարթությունային հեռավորությունն է,

$$G'_n = a_2 a_3 - b_2 b_3, \quad G''_n = a_3 b_2 - a_2 b_3, \quad (9.15)$$

$$\text{որտեղ՝ } a_2 = \int_{-\frac{B_1}{2}}^{\frac{B_1}{2}} \cos \left(k \frac{y^2}{2R} \right) dy, \quad b_2 = \int_{-\frac{B_1}{2}}^{\frac{B_1}{2}} \sin \left(k \frac{y^2}{2R} \right) dy,$$

$$a_3 = \int_{-D_1}^{D_1} \cos \left(k \frac{\sin^2 \theta}{2R} x^2 \right) dx, \quad b_3 = \int_{-D_1}^{D_1} \sin \left(k \frac{\sin^2 \theta}{2R} x^2 \right) dx,$$

$$D_1 = ndctg\theta - \left(\frac{A_2}{2} + \rho_1 \right), \quad D_2 = ndctg\theta + \left(\frac{A_1}{2} - \rho_1 \right),$$

(9.14)-ից հեշտությամբ կարելի է ստանալ անդրադարձման ինտենսիվությունը M_1 կետում.

$$I_{n_1} = A^2 \left\{ \left[\sum_{n=0}^{N-1} G'_n \cos(2kd \sin \theta \cdot n) - \sum_{n=0}^{N-1} G''_n \sin(2kd \sin \theta \cdot n) \right]^2 + \left[\sum_{n=0}^{N-1} G'_n \sin(2kd \sin \theta \cdot n) + \sum_{n=0}^{N-1} G''_n \cos(2kd \sin \theta \cdot n) \right]^2 \right\}, \quad (9.16)$$

որտեղից $\rho=0$ գեպքում կստանանք ինտենսիվությունը M կետում $I_n = I_{n_1}(\rho=0)$,

ինտեգրալ ինտենսիվությունը ստանալու համար մենք պետք է նախ գումարենք ըստ n -ի (ըստ անդրադարձնող հարթությունների համակարգի), այնուհետև ինտեգրենք $\theta - \epsilon$ միջև $\theta + \epsilon$ անկյունային սահմաններում, դրանից հետո պետք է ինտեգրել անդրադարձած փնջի ամբողջ լայնական կտրվածքով։ Գումարումը ըստ n -ի բավականաշափ դժվար է, քանի որ n -ից կախված են G'_n և G''_n մեծությունները, ինչպես նաև գումարի մեջ մտնող եռանկյունաշափական ֆունկցիաները (տե՛ս (9.15) և (9.16))։

Սակայն, եթե նկատի ունենանք, որ n -ի փոփոխմամբ G'_n և G''_n մեծությունները շատ դանդաղ են փոխվում, ապա այդ մեծությունների կախումը n -ից կարելի է արհամարհել, եթե, իհարկե, N -ը շատ մեծ չէ։ Իրոք, եթե անդրադարձնող հարթությունների թիվը՝ $N=1000$, ապա այդ մեծությունների արժեքները M կետում, վերջին և առաջին հարթությունների համար համապատասխանաբար կլինեն՝

$$G'_{1000} = 0,548, \quad G'_0 = 0,529,$$

$$G''_{1000} = 0,697, \quad G''_0 = 0,714,$$

ինչպես երկում է վերջին արտահայտություններից, այդ մեծությունների արժեքները առաջին և վերջին հարթությունների համար իրարից քիչ են տարբերվում, հետևապես, առանց մեծ սխալ գործելու մենք կարող ենք (9.14) արտահայտությունը բերել հետևյալ տեսքի՝

$$G_{n_1} = A(\bar{G}'_n + i\bar{G}''_n) \sum_{n=0}^{N-1} \exp\{ikdsin\theta \cdot n\}, \quad (9.17)$$

$$\text{որտեղ՝ } \bar{G}'_n = \frac{1}{2} (G'_0 + G'_{1000}), \quad \bar{G}''_n = \frac{1}{2} (G''_0 + G''_{1000})$$

Այսպիսով, կատարելով գումարում ըստ n -ի, (9.17)-ից կըստանանք՝

$$G_{n_1}^2 = A^2 (\overline{G}_n'^2 + \overline{G}_n''^2) \frac{\sin^2 \left(N \frac{k ds \sin \theta}{2} \right)}{\sin^2 \left(\frac{k ds \sin \theta}{2} \right)},$$

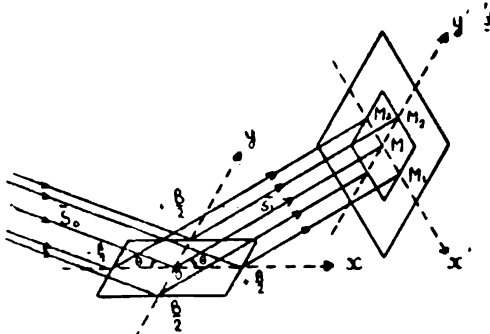
Այժմ կարող ենք ինտեգրել ըստ անկյունային տիրույթի՝ $\int_{\theta-\epsilon}^{\theta+\epsilon} G_{n_1}^2 d\theta,$

հաշվի շառնելով $A - h$, $G_n' - h$ և $G_n'' - h$ կախումը անկյունից, որը միանգամայն հնարավոր է, որովհետև ϵ -ը շատ փոքր մեծություն է, ինտեգրալ ինտենսիվության համար կստանանք՝

$$I_1 = A^2 (\overline{G}_n'^2 + \overline{G}_n''^2) \frac{\lambda n}{2 ds \sin \theta}, \quad (9.18)$$

Լրիվ ինտեգրալ ինտենսիվությունը ստանալու համար մենք պետք է վերջին արտահայտությունն ինտեգրենք անդրադարձած փնջի լայնական կտրվածքով:

Իհարկե, ինչպես արդեն ասված է, այդ ինտեգրման կարիքը չէր զգացվի և մենք լրիվ ինտեգրալ ինտենսիվությունը ստանալու համար I_1 մեծությունը կարող է ինք բազմապատկել անդրադարձած փնջի S լայնական կտրվածքով, եթե G_n' և G_n'' մեծությունները $S - h$ բոլոր կետերում ունենային միևնույն արժեքը: Սակայն, ինչպես ցույց տրվեց վերևում, այդ մեծությունները փնջի լայնական կտրվածքի կետից կետ արագ փոփոխվում են:



Նկ. 117. Ինտեգրալ ինտենսիվության հաշվումը

Մենք հետազոտեցինք ինտենսիվության բաշխումը անդրադած ճառագայթի լայնական կտրվածքի վրա միայն մեկ ուղղությամբ (MM_1 ուղղությամբ), սակայն ինտեգրման համար պետք է հետազոտենք ինտենսիվության բաշխումը կամայական ուղղությամբ:

Հետազոտենք ինտենսիվության բաշխումը անդրադարձած փնջի լայնական կտրվածքի կամավոր M_3 կետում։ Այժմ կոորդինատների սկզբնակետը տեղավորենք անդրադարձած փնջի լայնական կտրվածքի կենտրոնում, այսինքն՝ M կետում (նկ. 117)։ Խ' առանցքն ուղղենք MM_1 -ով (MM_1 հատվածը տեղավորված է անկման հարթության մեջ և անդրադարձած փնջի լայնական կտրվածքի վրա): Յ' առանցքն ուղղենք MM_2 -ով։

Այդ դեպքում, եթե M_3 կետի կոորդինատները նշանակենք x'_3 -ով և y'_3 -ով, ինտենսիվության I_1 արտահայտության (տե՛ս (9.18)) G'_n և G''_n մեծությունները կընդունեն հետևյալ արժեքները.

$$G'_n = a_4 a'_4 - b_4 b'_4,$$

$$G''_n = a'_4 b_4 - a_4 b'_4,$$

$$\text{որտեղ՝ } b_4 = \int_{-\left(\frac{B_1}{2} + y_3'\right)}^{\left(\frac{B_1}{2} - y_3'\right)} \cos\left(k \frac{y^2}{2R}\right) dy, \quad b'_4 = \int_{-\left(\frac{B_1}{2} + y_3'\right)}^{\left(\frac{B_1}{2} - y_3'\right)} \sin\left(k \frac{y^2}{2R}\right) dy,$$

$$a_4 = \int_{-\left(\frac{A_1}{2} + x_3' \sin \theta\right)}^{\left(\frac{A_1}{2} - x_3' \sin \theta\right)} \cos\left(k \frac{\sin^2 \theta}{2R} x^2\right) dx,$$

$$a'_4 = \int_{-\left(\frac{A_1}{2} + x_3' \sin \theta\right)}^{\left(\frac{A_1}{2} - x_3' \sin \theta\right)} \sin\left(k \frac{\sin^2 \theta}{2R} x^2\right) dx,$$

Երիշ ինտեգրալ ինտենսիվությունն ստանալու համար պետք է I_1 արտահայտությունն ինտեգրենք ըստ x'_3 -ի և y'_3 -ի հետևյալ սահմաններում՝ $-\frac{A_1}{2} \sin \theta \leq y'_3 \leq \frac{A_1}{2} \sin \theta$ և $-\frac{B_1}{2} \leq x'_3 \leq \frac{B_1}{2}$

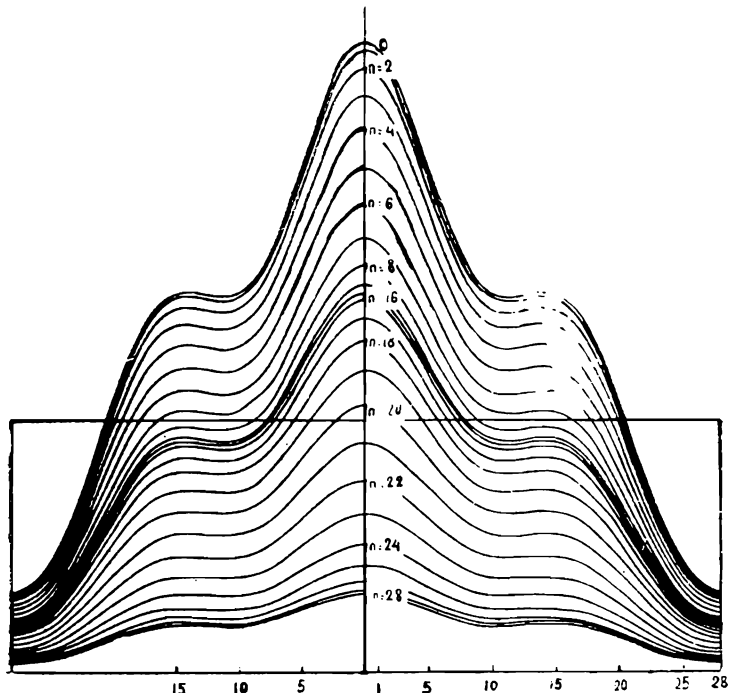
$\frac{B_1}{2}$ համապատասխանաբար։ Այսպիսով, լինի ինտեգրալ ինտենսիվության համար կստանանք

$$I = \int_{-\frac{A_1 \sin \theta}{2}}^{\frac{A_1 \sin \theta}{2}} \int_{-\frac{B_1}{2}}^{\frac{B_1}{2}} I_1 dx'_3 dy' \tag{9.19}$$

$$\text{կամ } I = A^2 \frac{\lambda N}{2d \sin \theta} \int_{-\frac{A_1 \sin \theta}{2}}^{\frac{B_1}{2}} \int_{-\frac{B_1}{2}}^{\frac{A_1 \sin \theta}{2}} (\bar{G}_n'^2 + \bar{G}_n''^2) dx'_3 dy'_3,$$

Մանրակրկիտ ուսումնասիրված է միայն առաջին դեպքը: Ինտեգրումը կատարված է գրաֆիկորեն: a_4 , a'_4 , b_4 և b'_4 ինտեգրալները ֆրենելի ինտեգրալների տեսքի բերելուց հետո, I_3 -ի մեկ տվյալ արժեքի համար կազմվել է I_1 -ի արժեքների գրաֆիկը տարբեր x'_3 -ների համար $\frac{A_1}{2} \sin \theta \leqslant x'_3 \leqslant \frac{A_1}{2} \sin \theta$ սահմաններում,

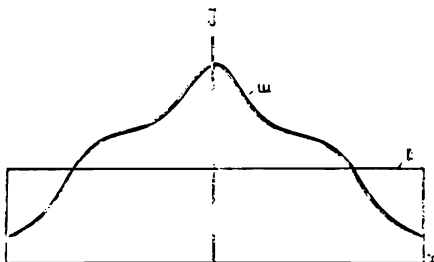
դրանից հետո $\frac{B_1}{2} \leqslant y'_3 \leqslant \frac{B_1}{2}$ սահմաններում գտնվող y'_3 -ի տարբեր արժեքների համար կազմվել է այդպիսի գրաֆիկների համա-



Նկ. 118. Անզրագործած փոշի լայնական կտրվածքի վրա
ինտենսիվության բաշխումը

կարգ, որ ցույց է տրված նկար 118-ում: Նրանցից $n=0$ գրաֆիկը համապատասխանում է $y'_3=0$ արժեքին, իսկ մնացածները

Համապատասխանում են $0 \leqslant y'_3 \leqslant \frac{B}{2}$ արժեքներին: Հաշված են այդ կորերով և առանցքով պարփակված բոլոր մակերեսները, և կազմված է գրաֆիկ, որը ցույց է տալիս այդ մակերեսների կախումը y'_3 -ից $\frac{B}{2} \leqslant y'_3 \leqslant \frac{B}{2}$ սահմաններում: Այդ գրաֆիկը ցույց է տրված 118-րդ նկարում:



Նկ. 119. Ինտեգրալ ինտենսիվությունը. ա) անդրագարձնող հարթությունների չափերը վերջավոր են,

բ) անդրադարձնող հարթությունների չափերը անսահման մեծ են

Որոշելով այդ կորերով և յ' 3 առանցքով պարփակված մակերեսը, կգտնենք հենց լրիվ ինտեգրալ ինտենսիվությունը՝ հարաբերական միավորներով:

Մեր ստացած արդյունքները կուֆ-Բրեգի եղանակով ստացված արդյունքների հետ համեմատելու համար 119-րդ նկարում նույնպես հարաբերական միավորներով ցույց է տրված անդրադարձնող հարթությունների անսահմանափակ լինելու ռնթադրության հիման վրա ստացված ինտենսիվության համասեռ բաշխումը անդրադարձած փնջի լայնական կտրվածքի վրա:

Պարզվում է, որ սահմանափակ չափերով անդրագարձնող հարթությունների դեպքում ինտեգրալ ինտենսիվությունը մոտ 25 %-ով ավելի մեծ է, քան անսահմանափակ չափերով հարթությունների դեպքում (առաջին դեպք):

Բերված հետազոտությունների արդյունքների հիման վրա ուսաւ (սահմանափակ) բյուրեղների դեպքում կարելի է նշել հետեւյալ կարելոր հետևող հարթությունները.

1. անդրադարձած ինտենսիվության բաշխումը անդրադարձած ճառագալթի լայնական կտրվածքով անհամասեռ է:

2. Անդրադարձած ճառագալթի ինտենսիվության բաշխումը (միկրոստրուկտորան) կախված է անդրադարձնող հարթությունների չափերից:

3. Ինտեգրալ ինտենսիվության համեմատականությունը ճա-

ռագայթվող ծավալին սահմանափակ բյուրեղների դեպքում տեղի շունի, և ինտեգրալ ինտենսիվության սովորական բանաձևից օգտվել չի կարելի:

§ 8. ԻՆՏԵՐՎԵՆՑԱՆ ԾԱՌԱԳԱՅԹՆԵՐԻ ԻՆՏԵԳՐԱԼ ԻՆՏԵՆՍԻՎՈՒԹՅԱՆ ԿԱԽՈՒՄԸ ԱՆԿՄԱՆ ՀԱՐԹՈՒԹՅԱՆ ՈՒՂՂՈՒԹՅՈՒՆԻՑ ԵՎ ԲՅՈՒՐԵԼԻ ԶԵՎՀԻՑ

Ինտեգրալ ինտենսիվությունը, ըստ սովորական կինեմատիկ տեսության, կախված չէ անկման հարթության ուղղությունից և բյուրեղի ձևից: Իրոք, ինտեգրալ ինտենսիվության (9.13) արտահայտության մեջ մտնում է միավոր ծավալի անդրադարձման Ը ինտենսիվությունը և ճառագայթվող V ծավալը: Սակայն կարելի է ցուց տալ, որ ուալ (վերջավոր) բյուրեղների դեպքում ինտեգրալ ինտենսիվությունը կախված է ինչպես անկման հարթության ուղղությունից, այնպես էլ բյուրեղի ձևից: Այժմ քննարկենք այդ հարցերը:

1. ԻՆՏԵԳՐԱԼ ԻՆՏԵՆՍԻՎՈՒԹՅԱՆ ԿԱԽՈՒՄԸ ԱՆԿՄԱՆ ՀԱՐԹՈՒԹՅԱՆ ՈՒՂՂՈՒԹՅՈՒՆԻՑ

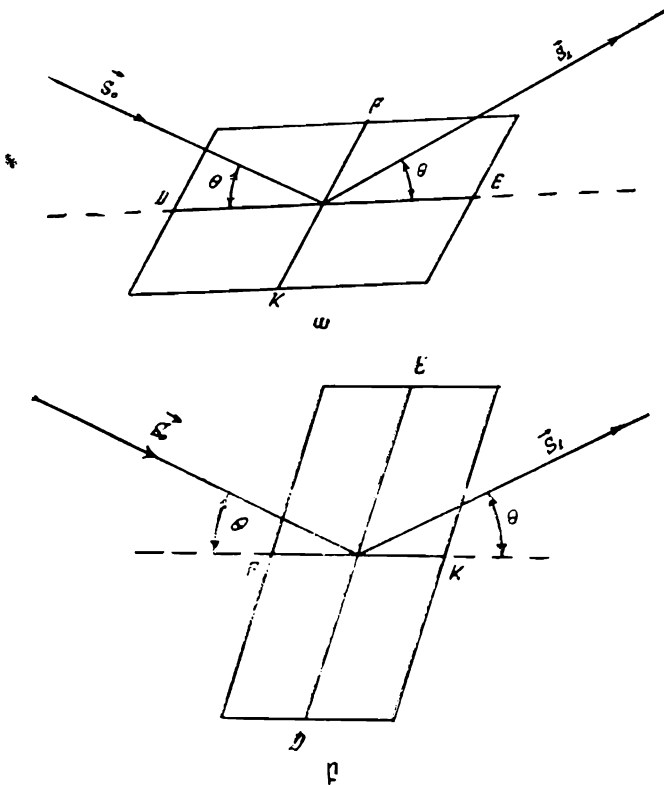
Ենթադրենք հարթ մոնոքրոմատիկ ալիքն ընկնում է A₁, B₁ և C₁ չափերով բյուրեղի վրա S₀ միավոր-վեկտորի ուղղությամբ, իսկ ինտեգրալ ինտենսիվությունը դիտում ենք S₁ միավոր-վեկտորի ուղղությամբ (նկ. 120ա և 120բ): Դիտարկենք երկու դեպք: առաջին դեպքում անկման հարթությունը (S₁ և S₀ վեկտորների հարթությունը) անցնում է DE հատվածով (նկ. 120ա), իսկ երկրորդ դեպքում՝ FК հատվածով (նկ. 120բ): A₁-ը և B₁-ը անդրադարձնող հարթությունների մեծություններն են երկու փոխուղղահայաց ուղղություններով, իսկ C₁-ը բյուրեղի շափն է անդրադարձնող հարթություններին ուղղահայաց ուղղությամբ:

Համաձայն նախորդ պարագրաֆի (9.19) բանաձևի՝ այդ երկու դեպքերի համար ինտեգրալ ինտենսիվությունը կընդունի հետևյալ տեսքը.

$$I_1 = A^2 \frac{\lambda N}{2 \sin \theta} \int_{-\frac{A_1 \sin \theta}{2}}^{+\frac{A_1 \sin \theta}{2}} \int_{-\frac{B_1}{2}}^{+\frac{B_1}{2}} (\bar{G}_n'^2 + \bar{G}_n''^2) dx' dy', \quad (9.20)$$

$$I_2 = A \frac{\lambda N}{2d \sin \theta} \int_{-\frac{B_1 \sin \theta}{2}}^{\frac{B_1 \sin \theta}{2}} \int_{-\frac{A_1}{2}}^{\frac{A_1}{2}} (\bar{F}'^{(2)}_n + \bar{F}''^{(2)}_n) dx' dy', \quad (9.21)$$

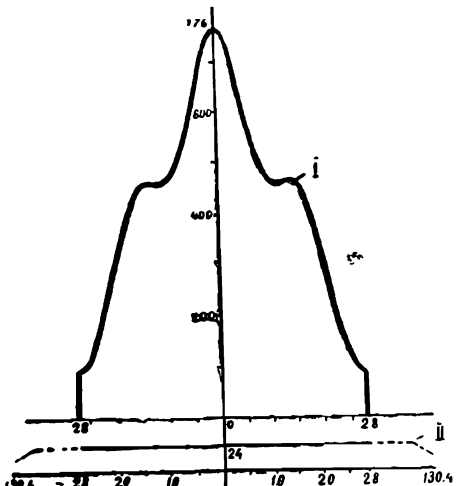
որտեղ \bar{G}_n և \bar{G}''_n -ը հարթությունների համակարգից անդրադարձած ալիքի ամպլիտուդի իրական և կեղծ մասերի միջին արժեքներն են առաջին դեպքում, իսկ \bar{F}'_n և \bar{F}''_n -երը՝ նույն բաներն են երկրորդ դեպքում:



Նկ. 120. a և b

Օգտվելով նախորդ պարագրաֆում նկարագրված հաշվման եղանակից, I_1 -ի և I_2 -ի համար կստանանք 121-րդ նկարում ցուց տրված գրաֆիկները, որոնք կազմված են այն չափերի համար, երբ առաջին դեպքում անդրադարձող հարթությունների վրա տեղավորվում է միայն առաջին գոտին (Նկ. 121 ա և բ). Ստացված

գրաֆիկները ցույց են տալիս ինտեգրալ ինտենսիվությունների բաշխումը անդրադարձած փնջի լայնական կտրվածքի վրա առաջին դեպքում (կոր I) և երկրորդ դեպքում (կոր II): Այդ կորերով և առանցքով սահմանափակված մակերեսների հարաբերությունը տալիս է ինտեգրալ ինտենսիվությունների հարաբերությունը: Հետազոտված դեպքում (առաջին դեպքում) հարթության վրա տեղավորվում է միայն առաջին գոտին, նկ. 121 ա և բ) ինտեգրալ ինտենսիվությունների հարաբերությունը հավասար է 15-ի:



Նկ. 121. Ինտեգրալ ինտենսիվությունները առաջին և երկրորդ դեպքերում

Այսպիսով, այս մասնավոր դեպքը ցույց է տալիս, որ ինտեգրալ ինտենսիվությունը կախված է անկման հարթության ուղղությունից:

2. ԻՆՏԵԳՐԱԼ ԻՆՏԵՆՍԻՎՈՒԹՅԱՆ ԿԱԽՈՒՄԸ ԱՆԴՐԱԴԱՌՉՆՈՂ ԲՅՈՒՐԵԼԻ ԶԵՎԻՑ

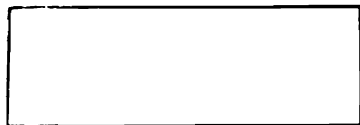
Ինտեգրալ ինտենսիվությունը ոչ միայն կախված է անկման հարթության ուղղությունից, այլև՝ բյուրեղի ձևից, այսինքն՝ միենույն ծավալ, բայց տարբեր ձևեր ունեցող բյուրեղներից անդրադարձած ճառագայթների ինտեգրալ ինտենսիվությունները տարբեր են լինում:

Ենթադրենք ունենք երկու բյուրեղ, որոնց անդրադարձնող հարթությունների մակերեսները և նրանց թվերն իրար հավասար են (այսինքն՝ ծավալները հավասար են), բայց ունեն տարբեր ձևեր (տվյալ ուղղությամբ ունեն տարբեր չափեր):

Թող անկման հարթության ուղղությամբ այդ բյուրեղների

անդրադարձնող հարթություններն ունենան համապատասխանաբար A_1 , A_2 և A_3 շափերը (նկ. 122), իսկ անկման հարթությանն ուղղահայաց ուղղությամբ՝ B_1 , B_2 և B_3 շափերը, ընդ որում, $A_1 \neq A_2 \neq A_3$. $B_1 \neq B_2 \neq B_3$, բայց հարթությունների մակերեսներն իրար հավասար են՝ $A_1B_1 = A_2B_2 = A_3B_3$. Այդ երեք բյուրեղներում էլ անդրադարձնող հարթությունների թիվը նույնն է: Այս գեպքում ինտեգրալ ինտենսիվությունները կարտահայտվեն դարձյալ (9.20) և (9.21) տիպի բանաձևերով, որոնց ինտեգրման սահմանները կլինեն հետևյալները.

A_1

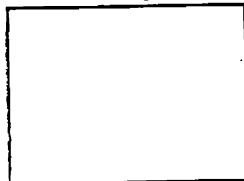


առաջին դեպքում

$$B_1 = -\frac{A_1}{2} \sin \theta - hg \cdot M_{\text{ինչ}} \cdot \frac{A_1}{2} \sin \theta +$$

$$-\frac{B_1}{2} \cdot hg \cdot M_{\text{ինչ}} \cdot \frac{B_1}{2},$$

A_2



երկրորդ դեպքում

B_2

$$-\frac{A_2}{2} \sin \theta - hg \cdot M_{\text{ինչ}} \cdot \frac{A_2}{2} \sin \theta +$$

$$-\frac{B_2}{2} \cdot hg \cdot M_{\text{ինչ}} \cdot \frac{B_2}{2},$$

A_3



երրորդ դեպքում

B_3

$$-\frac{A_3}{2} \sin \theta - hg \cdot M_{\text{ինչ}} \cdot \frac{A_3}{2} \sin \theta +$$

$$-\frac{B_3}{2} \cdot hg \cdot M_{\text{ինչ}} \cdot \frac{B_3}{2},$$

Նկ. 122. Տարեք ձևերի անդրադարձնող հարթություններ

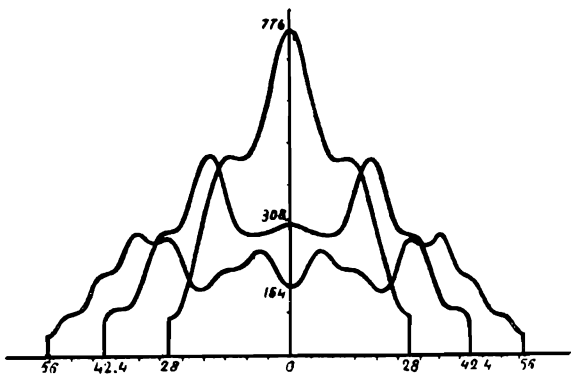
Զիսախտելով խնդրի ընդհանությունը, կարող ենք հետագա հաշիվները կատարել մասնավոր դեպքի համար, եթե $A_1 = 2a$,

$$A_2 = \frac{4}{3}a, \quad A_3 = a \quad \text{և} \quad B_1 = 2b, \quad B_2 =$$

$$= 3b, \quad B_3 = 4b:$$

Լուս այդ տվյալների բոլոր երեք բյուրեղներում էլ անդրադարձնող հարթությունների մակերեսները նույնն են՝ $A_1B_1 = A_2B_2 = A_3B_3 = 4ab$, որտեղ a -ն և b -ն Ֆրենելի առաջին գոտու կիսառանցքներն են: Այդ երեք բյուրեղներից անդրադարձած փնջերում ինտեգրալ ինտենսիվությունների բաշխումը նրանց լայնական կտրվածքի վրա ցույց է տրված նկ. 123-ում:

Ինչպես ցույց են տալիս այդ կորերով կ աբսցիսների առանցքներով պարփակված մակերեսների հարաբերությունները $\sigma_1:\sigma_2:\sigma_3=1_1:1_2:1_3=1:0,8:0,6$, ինտեգրալ ինտենսիվությունը փոքրանում է:



Նկ. 123. Տարբեր ձևի անդրադարձնող հարթություններ ունեցող բյուրեղների ինտեգրալ ինտենսիվությունները

անկման հարթության ուղղությամբ անդրադարձնող հարթությունների շափերի փոքրացմամբ, այսինքն՝ բյուրեղների միանույն ձավալի դեպքում ինտեգրալ ինտենսիվությունը կախված է բյուրեղի ձևից:

Մենք այս պարագրաֆում անալիտիկորեն ուսումնասիրեցինք ինտեգրալ ինտենսիվության կախումը անկման հարթության ուղղությունից և բյուրեղի (հարթությունների) ձևից: Սակայն այդ բուրը, առանց հաշվումների, կարելի է ավելի դիտելի կերպով ցույց տալ Ֆրենելի գոտիների օգնությամբ:

Իրոք, անդրադարձման ինտենսիվությունն ամենամեծը կլինի այն դեպքում, եթե անդրադարձնող հարթության վրա տեղավորվում է միայն և միայն առաջին գոտին լրիվ: Դրանից հետո, եթե հարթության շափերը փոքրացնենք, անդրադարձման ինտենսիվությունը կսկսի փոքրանալ, որովհետև առաջին գոտին գործող մասը (հարթության վրա տեղավորված մասը) կսկսի փոքրանալ: Խսկ երբ հակառակ ուղղությամբ ենք գնում՝ հարթության շափերը մեծացնում ենք, անդրադարձման ինտենսիվության մեծությունն սկսում է տատանվել: Երբ երկրորդ գոտին է բացվում, թուզանում է, երբ երրորդ գոտին է բացվում, ուժեղանում է և այլն, այսինքն՝ գույգ գոտիների բացման ժամանակ տեղի է ունենում թուլացում, խսկ կենտերի ժամանակ՝ ուժեղացում: Այստեղից էլ մի կարևոր եղանակ ցություն: Եթե անդրադարձնող հարթությունների շափերի, ձևի և անկման հարթության ուղղության փոփոխության պատճառով գոր-

ծող գոտիների թիվը կամ նրանց գործող մասերը փոփոխություն են կրում, առաջանում է նաև ինտեգրալ ինտենսիվության փոփոխություն:

Գոտիների գաղափարը մեզ հնարավորություն է տալիս նաև նախագուշակել, թե ինչպիսի շափերով բյուրեղների դեպքում ինտեգրալ ինտենսիվությունը կարող է կախված լինել անկման հարթության ուղղությունից և բյուրեղի (հարթությունների) ձևից:

Իրոք, վերևում արված դատողությունների հիման վրա կարելի է պնդել, որ բյուրեղի ձևից և անկման հարթության ուղղությունից ինտեգրալ ինտենսիվությունը կախված չէ հետևյալ երկու դեպքերում.

1. Եթե Ֆրենելի առաջին գոտու շափերը անսահման մեծ են: Այս դեպքում անկման հարթության ուղղությունից և հարթության ձևից նա միշտ ամբողջությամբ կգործի որպես առաջին գոտի կամ նրա մաս այնպես, որ անդրադարձնող հարթության նորմալի շուրջը՝ վեկտորը պտտելուց (առանց Վուլֆ-Բրեգի անկյան փոփոխության) ինտեգրալ ինտենսիվության (ինչպես և ինտենսիվության) փոփոխությունը չի առաջանաւ:

2. Եթե անդրադարձնող հարթությունների շափերը անսահման մեծ են, իսկ իրականում այնքան մեծ են, որ նրանց վրա տեղավորվում են մեծ թվով գոտիներ, և անկման հարթության պտույտի կամ բյուրեղի տարրեր ուղղությամբ ունեցած շափերի տարրերությունը Ֆրենելի գոտիների թվի էական տարրերություն չի առաջացնի:

Վերջապես, ինտեգրալ ինտենսիվությունը կախված չէ անկման հարթության ուղղությունից նաև այն դեպքում, եթե բոլոր ուղղություններով անդրադարձնող հարթությունների շափերը նույնն են, և անկման հարթության պտույտը Ֆրենելի գործող գոտիների թվի կամ նրանց մասերի փոփոխություն չի առաջացնում:

Հարադրված տեսական հետազոտություններից բխող հետեւթյունները ստուգված են նաև փորձով: [26]—[28] աշխատանքներում փորձով ցույց է տրված, որ տարրեր ուղղություններով տարրեր շափեր ունեցող բյուրեղների դեպքում, բյուրեղը պտտելով անդրադարձնող հարթությունների նորմալի շուրջը, որը համարժեք է անկման հարթության պտույտին՝ առանց Վուլֆ-Բրեգի անկյունը փոփոխելու, ստացվում է ինտեգրալ ինտենսիվության ուժեղ փոփոխություն: Այդաշխատանքներում ցույց է տրված նաև, որ տարրեր ուղղություններով մոտավորապես միենույն շափեր ունեցող բյուրեղների դեպքում անկման հարթության պտույտը ինտեգրալ ինտենսիվության փոփոխություն չի առաջացնում:

§ 4. ՌԵՆՏԳԵՆՅԱՆ ԴԻՖՐԱԿՑԻՈՆ ՊԱՏԿԵՐԻ ՕԳՆՈՒԹՅԱՄԲ ԲՅՈՒՐԵՂԻ ԶԱՓԵՐԻ ՈՐՈՇՈՒՄԸ

Մենք արդեն քննարկել ենք (գլուխ VIII, § 2) ռենտգենյան դիֆրակցիոն պատկերի միջոցով բյուրեղի շափերը որոշելու հարցը և ստացել ենք հետևյալ բանաձևը.

$$L_{hk\ell} = \frac{0,25\lambda}{\Delta\theta_1 \cos\theta_0}, \quad (8.25)$$

$\Delta\theta_1$ -ը՝ շեղումն է Վուլֆ-Բրեգի անկյունից, իսկ $L_{hk\ell}$ -ը բյուրեղի շափն է հարթությունների ($hk\ell$) ընտանիքի նորմալի ուղղությամբ:

Այսպիսով, թվում է, թե դիֆրակցիոն պատկերի օդնությամբ կարելի է որոշել բյուրեղի շափը միայն օգտագործվող հարթությունների ընտանիքի նորմալի ուղղությամբ:

Դժվար չէ համոզվել, որ այդ եզրակացությունը սխալ է, քանի որ (8.25) բանաձևն արտածելիս լուելյան ընդունվել է, որ անդրադարձող հարթությունների շափերը անսահման մեծ են, մինչդեռ ոեալ բյուրեղները սահմանափակված են բոլոր կողմերից, և սահմանափակ են բոլոր հարթությունները: Այնպես որ բանաձևը ընդհանուր դեպքում ոեալ բյուրեղների համար կիրառելի չէ:

1. ՌԵՖԼԵՔՏԻ ԴԻՖՐԱԿՑԻՈՆ ԼԱՅՆՈՒԹՅԱՆ ԱՆԴՐԱԴԱՐՁՆՈՂ ԲՅՈՒՐԵՂԻ ԶԱՓԵՐԻՑ ՈՒՆԵՑԱԾ ԿԱԽՄԱՆ ԱՎԵԼԻ ՄԱՆՐԱԿՐԿԻՑ ԵՎ ՃԵԳԻՑ ՈՒՍՈՒՄՆԱՍԻՐՈՒԹՅՈՒՆԸ

Ինչպես արդեն ցույց ենք տվել հինգերորդ գլխում, կինեմատիկ տեսության մեջ ոենտգենյան ճառագայթների մաքսիմալ ցրման (անդրադարձման) ուղղությունը որոշվում է կառելի հետեւյալ պայմաններով.

$$a_1(\cos\alpha_1 - \cos\alpha_0) = m_1\lambda, \quad (9.22)$$

$$a_2(\cos\beta_1 - \cos\beta_0) = m_2\lambda, \quad (9.23)$$

$$a_3(\cos\gamma_1 - \cos\gamma_0) = m_3\lambda, \quad (9.24)$$

Համապատասխանաբար ոեֆլեքտի անկյունային լայնությունը, համաձայն (5.3)-ի, կարտահայտվի հետեւյալ պայմաններով.

$$\lambda \left(m_1 - \frac{1}{N_1} \right) \leqslant a_1(\cos\alpha_1 - \cos\alpha_0) \leqslant \lambda \left(m_1 + \frac{1}{N_1} \right), \quad (9.25)$$

$$\lambda \left(m_2 - \frac{1}{N_2} \right) \leqslant a_2(\cos\beta_1 - \cos\beta_0) \leqslant \lambda \left(m_2 + \frac{1}{N_2} \right). \quad (9.26)$$

$$\lambda \left(m_3 - \frac{1}{N_3} \right) \leq a_3 (\cos \gamma_1 - \cos \gamma'_0) \leq \lambda \left(m_3 + \frac{1}{N_3} \right), \quad (9.27)$$

Սովորաբար, ապացուցում են [7,9], որ լառեի (9.22)—(9.24) երեք պայմանները համարժեք են Վոլֆ-Բրեգի մեկ պայմանին (իդեալ, այդ բանը ցույց ենք տվել և մենք հինգերորդ գլխում)։

$$2d\sin\theta = m\lambda; \quad (9.28)$$

Միաժամանակ ենթադրվում է, որ ոեֆլեքսի անկյունային տիրությն արտահայտող (9.25)—(9.27) երեք պայմանները կարելի է փոխարինել մեկ պայմանով՝

$$\left(m - \frac{1}{N} \right) \lambda \leq 2d\sin\theta \leq \left(m + \frac{1}{N} \right) \lambda, \quad (9.29)$$

որտեղ N -ը ատոմների թիվն է անդրադարձնող հարթությունների նորմալի ուղղությամբ։

Սովորաբար, (9.22)—(9.29) բանաձեռի կիրառություններում ենթադրվում է, որ՝

1. ինչպես (9.22)—(9.29) պայմանները, այնպես էլ (9.25)—(9.27) պայմաններն իրարից անկախ են (ինչպես ուղիղ տարածությունում, այնպես էլ հակադարձ տարածությունում)։

2. (9.28) պայմանը համարժեք է (9.22)—(9.24) պայմաններին։

3. (9.29) պայմանը համարժեք է (9.25)—(9.27) պայմաններին։

Սակայն կարելի է համոզվել, որ՝

1. ինչպես (9.22)—(9.24) պայմանները, այնպես էլ (9.25)—(9.27) պայմաններն իրարից անկախ չեն, և դրանք իրարից անկախ դիտելը կարող է կոպիտ սխալների հանգեցնել։

2. (9.28)—(9.29) պայմանները համարժեք են (9.22)—(9.24) և (9.95)—(9.27) պայմաններին միայն առավելագույն անդրադարձման ուղղությունը գտնելու իմաստով, իսկ այնպիսի հարցերում, ինչպիսիք են ոեֆլեքսի անկյունային լայնության և ինտենսիվության բաշխման կախումը բյուրեղի շափերից, այդ պայմանները համարժեք չեն, և (9.2)—(9.24) ու (9.25)—(9.27) բանաձեւերը շատ ավելի մեծ ինֆորմացիա են պարունակում, քան (9.28)—(9.29) պայմանները։

Որ (9.22)—(9.24) պայմաններն իրարից անկախ չեն և (9.25)—(9.27) պայմաններն էլ իրարից անկախ չեն, կարելի է ապացուցել այսպես։ Վերլուծական երկրաշափությունից հայտնի է, որ կոորդի-

հատական առանցքների և \vec{S}_0 ու \vec{S}_1 վեկտորների կազմած a_0 , β_0 , γ_0 , a_1 , β_1 և γ_1 անկյունների միջև գոյություն ունեն հետևյալ առընթեցունները՝

$$\cos^2\alpha_0 + \cos^2\beta_0 + \cos^2\gamma_0 = 1, \quad (9.30)$$

$$\cos^2\alpha_1 + \cos^2\beta_1 + \cos^2\gamma_1 = 1, \quad (9.31)$$

Հետևաբար, ընդհանուր դեպքում, հետևյալ երեք մեծություններից երկուսի փոփոխության դեպքում երրորդն անփոփոխ մնալ չեղարող՝

$$A'_1 = (\cos\alpha_1 - \cos\alpha_0); \quad A'_2 = (\cos\beta_1 - \cos\beta_0); \quad A'_3 = (\cos\gamma_1 - \cos\gamma_0),$$

այսինքն, ընդհանուր դեպքում, A_1 , A_2 և A_3 մեծություններն իրարից անկախ շեն [29]:

Այժմ մի մասնավոր օրինակով ցույց տանք, թե այդ համարժեքության բացակայության հաշվի շառնելը ինչ էական սխալների կարող է հասցնել:

Թող անկման հարթությունը (\vec{S}_0 և \vec{S}_1 վեկտորների հարթությունը) համընկնի \vec{a}_1 և \vec{a}_3 վեկտորների հարթությանը և \vec{S}_0 վեկտորը \vec{a}_1 վեկտորի հետ կազմի $a_0 = \theta_0$ անկյուն: Այդ դեպքում անդրադարձան ինտենսիվությունը կընդունի առավելագույն արժեք, եթե $a_0 \equiv \theta_1 \equiv \theta_0$, $\cos\gamma_0 = \cos\gamma_1 = \sin\theta_0$, և անդրադարձան ինտենսիվությունը զրո արժեք կընդունի, եթե $\theta = \theta_1$ կամ երբ $\theta = \theta_3$, որտեղ $\theta_1 = \theta_0$ և $\theta_3 = \theta_0$ որոշվում են հետևյալ պայմաններից՝

$$a_1(\cos\theta_1 - \cos\theta_0) = \frac{\lambda}{N_1}, \quad (9.32)$$

$$a_3(\sin\theta_3 + \sin\theta_0) = N_3 - \frac{\lambda}{N_3}, \quad (9.33)$$

Կատարելով նշանակումներ՝ $\theta_1 = \theta_0 + \Delta\theta_1$, $\theta_3 = \theta_0 + \Delta\theta_3$, և հետևյալ մոտավորությունները՝ $\sin(\Delta\theta_1) \approx \Delta\theta_1$, $\sin(\Delta\theta_3) \approx \Delta\theta_3$, $\cos\Delta\theta_1 \approx 1$, $\cos\Delta\theta_3 \approx 1$, նախորդ (9.32) և (9.33) առնչություններից կստանանք՝

$$\Delta\theta_1 = \frac{\lambda}{a_1 N_1 \sin\theta_0} = \frac{\lambda}{L_1 \sin\theta_0}, \quad (9.34)$$

$$\Delta\theta_3 = \frac{\lambda}{a_3 N_3 \cos\theta_0} = \frac{\lambda}{L_3 \cos\theta_0}, \quad (9.35)$$

որտեղ L_1 -ը և L_3 -ը բյուրեղի շափերն են \vec{a}_1 -ի և \vec{a}_3 -ի ուղղություններով:

Ինչպես երկում է (9.32)-ից և (9.33)-ից, սպեկտրային գծի անկյունային լայնությունը կախված է ինչպես անդրադարձնող հարթությունների շափերից անկման հարթության ուղղությամբ, այսինքն՝ ինչպես L_1 -ից, այնպես էլ անդրադարձման հարթություններին ուղղահայաց ուղղությամբ բյուրեղի շափերից, այսինքն՝ L_3 -ից:

Այսքանից կարելի է հանգել հետևյալ եզրակացություններին.

1. Սպեկտրային գծի դիֆրակցիոն լայնությունը կախված է միայն անկման հարթության մեջ բյուրեղի ունեցած շափերից (ճեղքն ուղղահայաց է անկման հարթությանը):

2. Սպեկտրային գծի դիֆրակցիոն լայնությունը որոշվում է անդրադարձնող հարթություններին ուղղահայաց ուղղությամբ բյուրեղի շափով այնքան ժամանակ, քանի դեռ

$$\frac{\Delta\theta_3}{\Delta\theta_1} = \frac{L_1}{L_3} \operatorname{tg}\theta_0 > 1, \quad (9.36)$$

այսինքն, եթե $\Delta\theta_3 > \Delta\theta_1$: Հակառակ դեպքում, այսինքն՝ եթե

$$\frac{\Delta\theta_3}{\Delta\theta_1} = \frac{L_1}{L_3} \operatorname{tg}\theta_1 < 1 \quad (9.37)$$

և $\Delta\theta_3 < \Delta\theta_1$, սպեկտրային գծի դիֆրակցիոն լայնությունը որոշվում է անկման հարթության մեջ անդրադարձնող հարթությունների շափերով:

3. Շատ մեծ անկյունների դեպքում ($0 \sim 90^\circ$) սպեկտրային գծերի դիֆրակցիոն լայնությունները որոշվում են անդրադարձման հարթությունների նորմալի ուղղությամբ բյուրեղի շափերից, իսկ շատ փոքր անկյունների դեպքում ($0 \ll 90^\circ$)՝ անդրադարձնող հարթությունների՝ անկման հարթության մեջ ունեցած շափերից:

Սպեկտրային գծերի դիֆրակցիոն լայնություններն ըստ (9.24)-ի, այսինքն, ըստ Վուֆֆ-Բրեգի եղանակի, ուսումնասիրելիս, ոչ բացահայտ կերպով ենթադրվում է, որ անդրադարձնող հարթություններն անսահմանափակ են, այսինքն $N_1 \rightarrow \infty$, հետևապես, $\Delta\theta_1 = 0$, և սպեկտրային գծի դիֆրակցիոն լայնությունը կախված է միայն անդրադարձնող հարթությունների նորմալի ուղղությամբ բյուրեղի շափերից (անդրադարձնող հարթությունների թվից):

Իրոք, նշված եղանակում (Վուֆֆ-Բրեգի) դիֆրակցիոն լայ-

Նույթյունը դիտվում է որպես ֆունկցիա բյուրեղի միայն այն շափերից, որոնք ուղղահայաց են անդրադարձնող հարթություններին, և ստացվում է հետևյալ բանաձևը [30, 31].

$$\Delta\theta = \frac{k\lambda}{L_{hk\ell} \cos\theta_0}, \quad (9.38)$$

որտեղ k -ն մեկի կարգի հաստատուն մեծություն է, իսկ $L_{hk\ell}$ -ը՝ բյուրեղի չափը ($hk\ell$) հարթությունների նորմալի ուղղությամբ:

Այսպիսով, քննարկված մասնավոր օրինակը ցույց է տալիս, որ սպեկտրային գծի դիֆրակցիոն անկյունային լայնությունը կախված է բյուրեղի չափերից երկու ուղղությամբ, իսկ սովորական եղանակը դիֆրակցիոն լայնությունը վերագրում է միայն բյուրեղի անդրադարձման հարթություններին ուղղահայաց ուղղությամբ չափերին:

2. ԼԱՌԻԵԽ ԵՎ ՎՈՒԼՖ-ԲՐԵԳԻ ՀԱՎԱՍԱՐՈՒՄՆԵՐԻ ՊԱՐՈՒՆԱԿԱԾ ԻՆՖՈՐՄԱՑԻԱՆԵՐԻ ԱՎԵԼԻ ՄԱՆՐԱԿՐԿԻՏ ՈՒՍՈՒՄՆԱՍԻՐՈՒԹՅՈՒՆԸ

(9.25)–(9.27) կամ (9.29) հավասարումներն այդ տեսքով հնարավորություն չեն տալիս միաժամանակ ուսումնասիրելու սպեկտրային գծի դիֆրակցիոն լայնության կախումը բյուրեղի՝ երեք ուղղությամբ ունեցած չափերից:

(9.25)–(9.27) երեք հավասարումներից յուրաքանչյուրը տալիս է սպեկտրային գծի լայնության կախումը բյուրեղի միայն մեկ ուղղությամբ ունեցած չափից, այն գեպքում, երբ մյուս երկու ուղղություններով բյուրեղի չափերը (անսահման (բավականաշափ) մեծ են, իսկ (9.29)-ը տալիս է միայն սպեկտրային գծի դիֆրակցիոն լայնության կախումը բյուրեղի անդրադարձման հարթություններին ուղղահայաց ուղղությամբ չափերից, եթե միայն մյուս երկու ուղղություններով բյուրեղի չափերը (անդրադարձնող հարթությունների չափերը) անսահման մեծ են:

Այդ իմաստով (9.29) պայմանը համարժեք է (9.27) պայմանին: Վերոհիշյալ սխալների պատճառը (9.25)–(9.27) սայմանների քննարկման ժամանակ (9.30) և (9.31) պայմանների հաշվի շառնելն է:

Այստեղ ավելի մանրակրկիտ և ընդհանուր դեպքում քըննարկենք լառուելի ու վոլֆ-Բրեգի հավասարումները:

Հետագա հետազոտությունների համար (9.22)–(9.24) հավասարումներն արտագրենք հետևյալ տեսքով՝

$$(\vec{S}\vec{a}_1) = 2a_1 \sin\theta_0 \cos\sigma_1 = a_1 (\cos\alpha_1 - \cos\alpha_0), \quad (9.39)$$

$$(\vec{S}\vec{a}_2) = 2a_2 \sin\theta_0 \cos\sigma_2 = a_2 (\cos\beta_1 - \cos\beta_0), \quad (9.40)$$

$$(\vec{S}\vec{a}_3) = 2a_3 \sin\theta_0 \cos\sigma_3 = a_3 (\cos\gamma_1 - \cos\gamma_0), \quad (9.41)$$

որտեղ $\vec{S} = \vec{S}_1 - \vec{S}_0$, $\sigma_1-\rho$, $\sigma_2-\rho$ և $\sigma_3-\rho$ անկյուններն են \vec{S} վեկտորի և a_1 , a_2 , a_3 տրանսլյացիոն վեկտորների միջև:
Նկատի ունենալով հետևյալ առնչությունները՝

$$d_{hkl} = \frac{a_1}{h} \cos\sigma_1 = \frac{a_2}{k} \cos\sigma_2 = \frac{a_3}{l} \cos\sigma_3,$$

կարող ենք (9.39)–(9.41)-ը բերել հետևյալ տեսքի՝

$$2d_{hkl} \cdot h \sin\theta_0 = a_1 (\cos\alpha_1 - \cos\alpha_0) = m_1 \lambda, \quad (9.42)$$

$$2d_{hkl} \cdot k \sin\theta_0 = a_2 (\cos\beta_1 - \cos\beta_0) = m_2 \lambda, \quad (9.43)$$

$$2d_{hkl} \cdot l \sin\theta_0 = a_3 (\cos\gamma_1 - \cos\gamma_0) = m_3 \lambda, \quad (9.44)$$

որտեղ $d_{hkl}-\rho$ հարթությունների (hkl) ընտանիքի միջհարթությունային հեռավորությունն է:

Քանի որ առաջին կարգի անդրադարձման դեպքում h , k , l ինդեքսները համընկնում են m_1 , m_2 և m_3 ամբողջ թվերին, իսկ ուրդ կարգի անդրադարձման ժամանակ նրանց միջև գոյություն ունեն հետևյալ առնչությունները՝ $h = \frac{m_1}{n}$, $k = \frac{m_2}{n}$, $l = \frac{m_3}{n}$,

հետևապես (9.42)–(9.44)-ից երևում է, որ կառւելի բոլոր երեք հավասարումներն էլ համընկնում են Վուլֆ-Բրեգի հավասարմանը, այսինքն՝ Վուլֆ-Բրեգի մեկ հավասարումը համարժեք է կառւելի երեք հավասարումներին: Սակայն դա այդպես է միայն առավելագույն անդրադարձման ուղղությունները որոշելիս: Անդրադարձման տիրույթի անկյունային շափերի կախումը բյուրեղի շափերից որոշելիս Վուլֆ-Բրեգի հավասարումը համարժեք է կառւելի հավասարումներից միայն մեկին:

Իրոք, թող անդրադարձնող հարթությունները համընկնեն \vec{a}_1 և \vec{a}_2 վեկտորների հարթությանը, իսկ անկման հարթությունը կազմի դու անկյուն \vec{a}_1 ուղղության հետ: Այդ դեպքում, եթե հաշվի առնվի ուժինաբար լայնացումը ինչպես անկման հարթության մեջ, այնպես

Էլ նրա նորմալի ուղղությամբ և նկատի ունենանք հետևյալ առնչությունները (նկ. 124):

$$\cos \alpha_0 = \cos \eta_0 \cdot \cos \theta_0,$$

$$\cos \alpha_1 = \cos \eta \cos \theta,$$

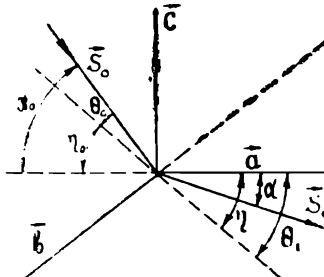
$$\cos \beta_0 = \sin \eta_0 \cdot \cos \theta_0,$$

$$\cos \beta_1 = \sin \eta \cdot \cos \theta,$$

$$\cos \gamma_0 = -\sin \theta_0,$$

$$\cos \gamma_1 = \sin \theta.$$

(9.42) — (9.44)-ից կստանանք,



124. Անդրադարձող և անկախ հարթությունները

$$\cos \eta \cos \theta = \cos \eta_0 \cdot \cos \theta_0 = \frac{\Delta m_1 \lambda}{a_1}, \quad (9.45)$$

$$\sin \eta \cos \theta = \sin \eta_0 \cos \theta_0 = \frac{\Delta m_2 \lambda}{a_2}, \quad (9.46)$$

$$\sin \theta = \sin \theta_0 = \frac{m_3 + \Delta m_3}{a_3}, \quad (9.47)$$

որտեղ $\Delta m_1 = \frac{1}{N_1}$, $\Delta m_2 = \frac{1}{N_2}$ և $\Delta m_3 = \frac{1}{N_3}$: (9.45) — (9.47)-ից

երևում է, որ ոեֆլեբսի լայնացումը տվյալ ուղղությամբ, ընդհանուր դեպքում, կախված է բյուրեղի շափերից երեք ուղղություններով (\vec{a}_1 , \vec{a}_2 և \vec{a}_3):

Ենթադրենք անկման հարթությունը համընկնում է \vec{a}_1 և \vec{a}_3 վեկտորների հարթությանը: Այդ դեպքում (9.45) — (9.47)-ից կըստանանք՝

$$\cos \eta \cdot \cos \theta = \cos \theta_0 = \frac{\Delta m_1 \lambda}{a_1}, \quad (9.48)$$

$$\sin \eta \cdot \cos \theta = \frac{\Delta m_2 \lambda}{a_2}, \quad (9.49)$$

$$\sin \theta + \sin \theta_0 = \frac{m_3 + \Delta m_3}{a_3} \lambda, \quad (9.50)$$

Սկզբում քննարկենք ոեֆլեբսի լայնացումը անկման հարթության մեջ: Այս դեպքում $\eta = 0$ և (9.48) — (9.50)-ից կստանանք՝

$$\cos\theta - \cos\theta_0 = \pm \frac{\Delta m_1 \lambda}{a_1}, \quad (9.51)$$

$$\sin\theta - \sin\theta_0 = \frac{m_3 \pm \Delta m_3}{a_3} \lambda, \quad (9.52)$$

Ինչպես երկում է (9.51)-ից և (9.52)-ից, ուժիւքսի լայնացումը անկման հարթության մեջ պայմանավորված է այդ հարթության մեջ բյուրեղի ունեցած շափերով: Նկատի ունենալով, որ $\theta - \theta_0 = \Delta\theta$ տարբերությունը փոքր է, (9.51)-ից և (9.52)-ից բավարար ճշտությամբ՝ կստանանք՝

$$-\Delta\theta_1 = \frac{\Delta m_1 \lambda}{a_1 \sin\theta_0} = \frac{\lambda}{L_1 \sin\theta_0}. \quad (9.53)$$

$$\Delta\theta_2 = \frac{\Delta m_3 \lambda}{a_3 \cos\theta_0} = \frac{\lambda}{L_3 \cos\theta_0}, \quad (9.54)$$

որտեղ՝ $\Delta\theta_1$ -ը այն լայնացումն է, որը պայմանավորված է անկման հարթության մեջ անդրադարձնող հարթությունների շափերով, $\Delta\theta_2$ -ը այն լայնացումն է, որը պայմանավորված է բյուրեղի շափերով անդրադարձնող հարթությունների նորմալի ուղղությամբ:

Ինչպես երկում է (9.53)-ից և (9.54)-ից, անկման տվյալ ուղղության դեպքում ($\theta_0 = \text{const}$), եթե $\Delta\theta_1 < \Delta\theta_2$, ապա լայնացումը պայմանավորված կլինի անդրադարձնող հարթության շափից անկման հարթության մեջ, հակառակ դեպքում այն պայմանավորված է անդրադարձնող հարթությունների նորմալի ուղղությամբ բյուրեղի շափերից:

Սակայն բյուրեղի ճռման ժամանակ վիճակը մի փոքր այլ է եթե ա վեկտորի (կամ անդրադարձնող հարթության) և \vec{S}_0 ու \vec{S}_1 վեկտորների միջև կազմված անկյունները նշանակնք θ_1 -ով և θ_2 -ով, ապա $\theta_1 = \theta_2 = \theta_0 + \Delta\theta$ կամ $\theta_1 = \theta_2 = \theta_0 - \Delta\theta$ դեպքերում, անկախ բյուրեղի L շափից և θ անկյան մեծությունից, կառենի առաջին հավասարումը կբավարարվի: Այդ դեպքում լայնացումը կսահմանափակվի անդրադարձնող հարթությունների նորմալի ուղղությամբ բյուրեղի շափով (9.52):

Սակայն, եթե $\theta_1 = \theta_0 \pm \Delta\theta$, $\theta_2 = \theta_0 - \Delta\theta_2$ դեպքերի համար տեղի ունի $\sin\theta_1 + \sin\theta_2 = 2 \sin\theta_0$, ապա այդպիսի լայնացումը սահմանափակվում է միայն անդրադարձման հարթության մեջ ունեցած շափերով (նկ. 125):

Այսպիսով, բյուրեղի ճռման ժամանակ սպեկտրային գծի դիֆրակցիոն լայնացումը պայմանավորված է անդրադարձնող հարթությունների նորմալի ուղղությամբ բյուրեղի շափով, եթե $\Delta\theta_1 > \Delta\theta_2$, հակառակ դեպքում լայնացումը պայմանավորված կլինի անկման հարթության մեջ անդրադարձման հարթության ունեցած չափով:

Այս դեպքում $\theta = \theta_0$, $\eta = -\Delta\eta$, $\sin\eta = \Delta\eta$, $\cos\eta = 1$, և $(9.49) \cdot \hbar g$ կստանանք՝

$$\Delta\eta = \frac{\Delta m_2 \lambda}{a_2 \cos\theta_0} = \frac{\lambda}{L_2 \cos\theta_0},$$

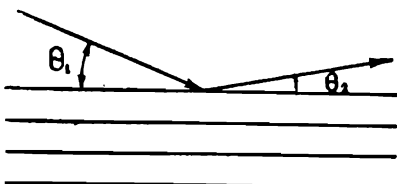
Սովորաբար ճեղքը լինում է ուղղահայաց անկման հարթությանը, լայնացումը տեղի է ունենում սպեկտրային գծի երկայնքով և այդ պատճառով դրա վրա ուշադրություն չեն դարձնում:

Այսպիսով, դիտարկվող դեպքում Վոլֆ-Բրեգի հավասարությամբ համարժեք է լառեկի հավասարումներից միայն մեկին՝ երրորդ հավասարմանը և կարող է նկարագրել սպեկտրային գծի միայն այն լայնացումը, որը պայմանավորված է անդրադարձման հարթությունների նորմալի ուղղությամբ բյուրեղի շափով:

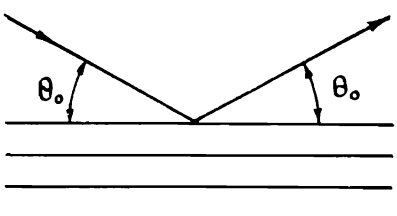
Լառեկի մնացած երկու հավասարումները պարունակում են այնպիսի ինֆորմացիաներ, որոնք չունի Վոլֆ-Բրեգի հավասարումը:

§ 5. ՈԵՆՏԳԵՆՅԱՆ ՇԱՌԱԳԱՅԹՆԵՐԻ ԻՆՏԵՐՖԵՐԵՆՅԱՅԻ ԿԻՆԵՄԱՏԻԿ ՏԵՍՈՒԹՅՈՒՆԸ ԿՈՀԵՐԵՆՏ ՇԱՌԱԳԱՅԹՄԱՆ ՏԵՎՈՂՈՒԹՅԱՆ ՀԱՇՎԱՌՄԱՄԲ

Սովորաբար, տարբեր ինտերֆերենցիոն խնդիրներ լուծելիս ունտղենյան ճառագայթների բնագավառում ենթադրվում է, որ բյուրեղի ամբողջ ճառագայթվող ծավալը ցրում է կոհերենտ, այսինքն՝ բյուրեղի տարբեր մասերում ցրված և տվյալ պահին դիտման կետը հասած ալիքները, անկախ բյուրեղի շափերից, իրար նկատմամբ կոհերենտ են:



$$2d \sin\theta_1 + d \sin\theta_2 = n\lambda$$



$$2d \sin\theta_0 = n\lambda$$

նկ. 125

Սակայն օպտիկայից լավ հայտնի է [32, 33, 34], որ կոչերենտ են միայն այն ալիքները, որոնք պատկանում են միևնույն ատոմի ճառագայթման միևնույն ակտին։ Հետևաբար ինտերֆերենցիոն պատկեր չի կարող դիտվել նույնիսկ այն դեպքում, եթե վերադրվող ալիքները պատկանում են միևնույն ատոմի ճառագայթման տարրեր ակտինին։

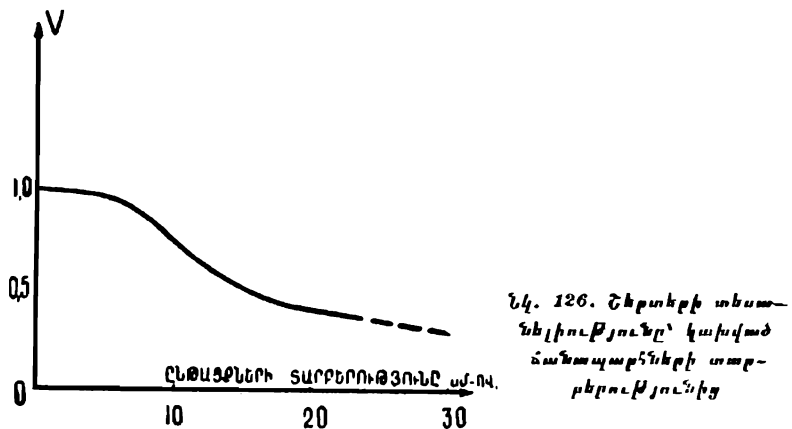
Իրոք, դեռ Մայքելսոնը [34, 35, 36] դիտել է ինտերֆերենցիոն օղակների տեսանելիության փորձացում ինտերֆերենցիոն մաքսիմումների կարգի բարձրացման հետևանքով։

Տեսանելիության աստիճանը որոշելու համար Մայքելսոնը մտցրել է հետևյալ ֆունկցիան՝

$$V = \frac{E_{\max} - E_{\min}}{E_{\max} + E_{\min}}, \quad (9.55)$$

որտեղ E_{\max} -ը լուսավոր օղակի ինտենսիվությունն է, E_{\min} -ը հարևան մթին օղակի ինտենսիվությունն է։

126-րդ նկարում ցույց է տրված շերտերի տեսանելիությունը՝ կախված ճանապարհների տարբերությունից, կադմիումի կարմիր զծի համար ($\lambda=6438\text{\AA}$)։



(9.55) սահմանման համաձայն խիստ մոնոքրոմատիկ ալիքի համար, ճանապարհների ցանկացած տարբերության դեպքում, տեսանելիությունը հավասար է մեկի ($E_{\min}=0$, $V=1$): Եթե ալիքը փոքր-ինչ ոչ մոնոքրոմատիկ է, տեսանելիությունը փոքրանում է ճանապարհների տարբերության (ինտերֆերենցիայի կառգի) մեծացմանը զուգընթաց և այնքան արագ, որքան փոքր է մոնոքրոմատիկության աստիճանը։ Այսպիսով, տեսանելիության մեծու-

թյամբ որոշվում է ճառագայթման մոնոքրոմատիկության աստիճանը:

Իրականում խիստ մոնոքրոմատիկ, այսինքն՝ ճիշտ սինուսոիդական ալիք գոյություն չունի [33], այդ պատճառով էլ փորձերի ժամանակ տեսանելիությունը փոքրանում է ինտերֆերենցիայի կարգի մեծացմամբ, և վերջիվերջո ճանապարհների բավականաշափ մեծ տարբերությունների դեպքում ինտերֆերենցիոն պատկերն անհնատանում է:

Ալիքների միջև փուլերի տարբերության մեծացմամբ տեսանելիության փոքրացումը բացատրելու համար հետազոտենք սպիտակ լույսի (անընդհատ սպեկտրով ռենտգենյան ճառագայթման) և ռեալ մոնոքրոմատիկ ճառագայթման բնույթները:

Սկզբում հիշատակենք ցուգի և ալիքների խմբի սահմանումը: Ալիքների ցուգ կոչվում է այնպիսի տեսքի տատանումները, որոնք որոշակի տեղամասում նկարագրվում են պարզ սինուսոիդական կորով (հաստատուն կամ դանդաղ փոփոխվող ամպլիտուդով), իսկ այդ տեղամասից դորս ամենուրեք նրանց ամպլիտուդը հավասար է զրոյի:

Ալիքների խոսմբ է կոչվում այնպիսի հարմոնիկ տատանումների հանրությը, որոնց հաճախությունները մոտ են մի հիմնական հաճախության, այնպես որ, եթե խմբին պատկանող որևէ հարմոնիկ տատանուման հաճախությունն անգամ շնչին շափով տարբերվում է այդ հիմնական հաճախությունից, ապա նրա ամպլիտուդը զգալիորեն փոքր է այն տատանումների ամպլիտուդից, որոնց հաճախությունները մոտ են հիմնական հաճախությանը: Այսինքն՝ համարյա խմբի ամբողջ էներգիան կուտակվում է հիմնականին մոտ հաճախությունների վրա:

Այսպիսով, ալիքների ցուգը սահմանվում է՝ ելնելով ալիքի ձևից, իսկ ալիքների խումբը սահմանվում է էներգիայի՝ ըստ հաճախությունների բաշխման:

Երկար ցուգին համապատասխանում է հաճախությունների նեղ տիրույթ և հակառակը՝ նեղ տիրույթում գտնվող հաճախություններից կազմված խմբին համապատասխանում է երկար ցուգ:

Սպիտակ լույսը (անընդհատ սպեկտրով ռենտգենյան ճառագայթները) կարելի է ներկայացնել ինչպես իմպուլսների (ալիքային խմբերի) տեսքով, այնպես էլ սինուսոիդական ալիքների ցուգերի հանրությի տեսքով: Այդ պատկերացումները համարժեք են, քանի որ Ֆուրյեի թեորեմի օգնությամբ կարելի է իմպուլսը (խումբը) մաթեմատիկորեն վերածել հարմոնիկ տատանումների շարքի:

Փորձարարական սարքերը, որոնց օգնությամբ ստանում են մոնոքրոմատիկ ճառագայթներ, երբեք չեն կարող ստեղծել մի հաճախությունից (ալիքի մի երկարությունից) բաղկացած (անսահման երկար ցուգ) խիստ մոնոքրոմատիկ փունց։ Այդ պատճառով ունել մոնոքրոմատիկ փնջերն իրենցից ներկայացնում են հաճախությունների վերջավոր տիրույթ։

Անսահման երկար ցուգի (խիստ մոնոքրոմատիկ ճառագայթման) ստեղծման հնարավորությունը կհանգեցներ Կարվալոյի պարագորսին [33]։ Իրոք, եթե սպիտակ լույսը բաղկացած է անսահման երկար ցուգերի հավաքածություն, և եթե սպեկտրոսկոպի միջոցով հնարավոր լիներ նրանք իրարից բաժանել, ապա մենք կկարողանայինք սպեկտրը տեսնել և մինչև աղբյուրի վառվելը (մինչև աղբյուրի ճառագայթելը), և հանգելուց հետո։

Ենելով վերն ասվածից, կարող ենք փուլերի տարբերության մեծացման հետևանքով ինտերֆերենցիոն պատկերների տեսանելիության փոքրացման երկու պատճառ նշել.

1. ալիքի երկարությամբ չնշին չափով իրարից տարբերվող շատ մեծ թվով սինուսոիդական ալիքների հանրույթի դեպքում, երբ նրանց միջև փուլերի տարբերությունը հավասար է 0-ի, բոլոր ալիքների մաքսիմումները համընկնում են իրար, և ստացվում է կտրուկ ինտերֆերենցիոն պատկեր։ Փուլերի տարբերության մեծացմամբ տարբեր ալիքների մաքսիմումներն իրար չեն համընկնում, և ինտերֆերենցիոն պատկերի տեսանելիությունը փոքրանում է, իսկ ճանապարհների մեծ տարբերության դեպքում ինտերֆերենցիոն մաքսիմումների տեսանելիությունն անհետանում է։

2. Վերջավոր երկարությամբ ցուգերի հանրույթի դեպքում ինտերֆերենցիան տեղի է ունենում նույն ցուգի այն երկու տարբեր մասերի միջև, որոնք առաջանում են ինտերֆերոմետրի երկու կանալներում։ Ճանապարհների փոքր տարբերության դեպքում այդ մասերը դիտման կետն են հասնում համարյա միաժամանակ և ինտերֆերենցվում են, իսկ ճանապարհների մեծ տարբերության դեպքում մասերից մեզը կհասնի դիտման կետ այն ժամանակ, երբ մյուս մասն անցել է այդ կետով, այսինքն՝ դիտման կետում վերադրվում են արձակման տարբեր ակտերի պատկանող ցուգերի մասերը, որոնք կոհերենտ չեն, և ինտերֆերենցիոն պատկերի տեսանելիությունն անհետանում է։

Այսպես, ուրեմն, անկախ նրանից, թե մենք լույսը ներկայացնում ենք որպես վերջավոր երկարությամբ ալիքային ցուգերի հավաքածու, թե ալիքի երկարությամբ չնշին չափով իրարից տարբերվող սինուսոիդական ալիքների հանրույթ, ինտերֆերինցիոն

պատկերների տեսանելիությունը ճանապարհների մեջ աւարբերության դեպքում անհետանում է:

Ռենտգենյան ճառագայթների դեպքում (բազմաճառագայթային ինտերֆերենցիա). Կարելի է պատկերացնել, որ իմպուլսի առանձին սինուսոփական բաղադրիչները միաժամանակ գրգռում են բյուրեղի բոլոր ատոմական հարթությունները: Սակայն մի սինուսոփական ալիքի առաջացրած գրգռումը մարվում է մյուսների կողմից (գումար գրգռումը հավասարվում է զրոյի) բյուրեղի բոլոր մասերում, բացի այն մասերից, որոնք գրգռվում են խմբի մաքսիմումի կողմից (ցուցի կողմից):

Ուրեմն, արձակման մի ակտով փաստորեն գրգռվում է միայն հարթությունների մի մասը, որի շափերը որոշվում են ցուցի երկարությամբ կամ խմբի մաքսիմումի տարածական լայնությամբ, այսինքն՝ կոհերենտ ճառագայթման տևողությամբ^{*}:

Այսպիսով հանգում ենք մի շատ կարեոր եղրակացության. բյուրեղի տարբեր մասերը, որոնք գտնվում են իրարից բավականաշափ մեծ հեռավորությունների վրա (ճանապարհների մեծ տարբերություն), գրգռվում են ատոմի ճառագայթման տարբեր ակտերին պատկանող ալիքներով, և, հետևապես, այդպիսի մասերը ցըրվում են ոչ կոհերենտ, մի բան, որ, սովորաբար, կինեմատիկ տեսության մեջ հաշվի չի առնվում, և որը այդ տեսության խոշոր թերություններից մեկն է:

Այժմ անցնենք ցուցի երկարության և կոհերենտ ճառագայթման տևողության գնահատմանը:

Վերը շարադրվածից պարզ է, որ իրար նկատմամբ կոհերենտ են միայն միենույն ցուցի մասեր հանդիսացող ալիքները, հետեւ վապես, կոհերենտ ճառագայթման տևողությունը կլինի ատոմի ճառագայթման առանձին ակտի տևողությունը (ցուցի արձակման տևողությունը):

Ցուցի վերջավոր լինելը, հետևաբար՝ կոհերենտ ճառագայթման տևողության վերջավոր լինելը, ինչպես և սպեկտրային գծի բնական լայնությունը, ըստ դասական տեսության, պայմանավորված են ճառագայթող օսցիլյատորի ամպլիտուդի աստիճանական փոքրացմամբ (մարում ճառագայթման հետևանքով) կամ, ըստ քվանտային տեսության, ատոմի սկզբնական մակարդակում գտնը վերլու հավանականությամբ [2,3, 33, 37—41]:

Դասական պատկերացումների համաձայն, ատոմի մի մակար-

* Եթե ցուցի երկարությունը մեծ է բյուրեղի շափերից, այդ դեպքում մի ակտով գրգռվող ծավալի շափերը կորոշվեն բյուրեղի շափերով:

դակից մյուսին տեղի ունեցող յուրաքանչյուր անցմանը վերագրուվում է մի դասական օսցիլյատոր, որն, ըստ դասական էլեկտրադինամիկայի, ճառագայթման ժամանակ կատարում է մարող տատանումներ:

Օսցիլյատորի մարումը ճառագայթման հետևանքով տեղի է ունենում ըստ $W_t = W_0 \exp\{-\gamma t\}$ օրենքի, որտեղ W_0 -ն և W_t -ն օսցիլյատորի (տատանվող էլեկտրոնի) էներգիաներն են $t=0$ և t պահերին, իսկ γ -ն, որը կոչվում է մարման գործակից, որոշվում է

$$[37, 38] \quad \text{հետևյալ արտահայտությամբ՝} \quad \gamma = \frac{8\pi^2 e^2}{3mc} \frac{1}{\lambda^2}, \quad \text{այսինքն՝}$$

ճառագայթման ինտենսիվության մեծությամբ:

Վերջինից օսցիլյատորի կյանքի էֆեկտիվ տևողության համար կստանանք՝

$$\tau = \frac{1}{\gamma} = \frac{3mc}{8\pi^2 e^2} \lambda^2, \quad (9.56)$$

ինչպես երևում է, օսցիլյատորի (էլեկտրոնի) էներգիան, հետևապես և ճառագայթման ինտենսիվությունը նվազում են էքսպոնենցիալ օրենքով, այսինքն, τ ժամանակամիջոցը կարող ենք բնդունել որպես ճառագայթման առանձին ակտի տևողություն կամ որպես կոհերենտ ճառագայթման տևողություն:

Քվանտային մեխանիկայի տեսանկյունից մեկնաբանելու համար կարելի է օգտվել էներգիայի և ժամանակի անորոշությունների առնչությունից [33].

$$\Delta W \cdot \Delta t = \hbar, \quad (9.57)$$

Քննարկվող դեպքում ΔW -ն կլինի մակարդակի լայնությունը, իսկ Δt -ն՝ մակարդակի կյանքի տևողությունը կամ ճառագայթման ակտի տևողությունը (կոհերենտ ճառագայթման տևողությունը):

(9.56)-ից կոհերենտ ճառագայթման տևողության համար կըստանանք

$$\tau = \frac{\hbar}{\Delta W}, \quad (9.58)$$

որը մեկ վայրկյանում անցման հավանականության հետ կապված է հետևյալ առնչությամբ՝ $\tau = \frac{1}{\gamma}$,

Եթե գրգռված մակարդակից մի քանի տեսակի անցումներ են Հնարավոր դեպի ցածր մակարդակները, այդ դեպքում անցման լրիվ հավանականությունն արտահայտվում է այսպես՝

$$\gamma_i = \sum_k \gamma_{ik}, \quad (9.59)$$

որտեղ կ-ն ներքեռում գտնվող այն մակարդակի ինդեֆուն է, որի վրա կատարվում է անցումը:

(9.59)-ից ի-րդ մակարդակի կյանքի տեսողության համար կըս-տանանք՝ $\tau_i = \frac{1}{\gamma_i} = \frac{1}{\sum_k \gamma_{ik}},$

Հետևապես, ի մակարդակի կյանքի էֆեկտիվ ժամանակը ըսկըզնական և հնարավոր վերջնական և մակարդակների լայնությունների միջոցով կարելի է արտահայտել հետևյալ կերպ՝

$$\tau_i = \frac{1}{\gamma_i} = \frac{\hbar}{\Delta W_i} = \frac{\hbar}{\sum_k \Delta W_{ik}}, \quad (9.60)$$

որտեղ ΔW_{ik} -ն և մակարդակի լայնությունն է:

Ինչպես երկում է (9.55)-ից, համաձայն դասական էլեկտրադիմակիկայի, օսցիլյատորի կյանքի էֆեկտիվ տեսողությունը կախված է միայն ալիքի երկարությունից, մինչդեռ ըստ քվանտային մեխանիկայի, ինչպես այդ ցուց է տալիս (9.60)-ը, մակարդակի կյանքի տեսողությունը կախված է անցումների հավանականություններից (մակարդակների լայնություններից):

Սակայն դժվար չէ համոզվել, որ կոհերենտ ճառագայթման տեսողության համար ստացված մեծությունները, ըստ դասական մեխանիկայի (9.55) և ըստ քվանտային մեխանիկայի (9.60), ունեն միևնույն կարգը:

Կոնկրետ օրինակով այդ ցուց տանք: Մի կողմից (9.55)-ի մեջ տեղադրելով Շ-ի, Պ-ի և Ը-ի արժեքները՝ կստանանք.

$$\tau = 4.53 \lambda^2 \psi \hbar, \quad (9.61)$$

Մյուս կողմից՝ ուկու $k_2 (k \rightarrow L_{111})$ գծի համար հայտնի է [2], որ լայնությունը հավասար է $58 \text{ } \text{Էլեկտրոն-վոլտի}$ (կ մակարդակներ 54 էլեկտրոն-վոլտ է, իսկ L_{111} -ինը՝ 4 էլեկտրոն-վոլտ), ալիքի ձրկարությունը՝ $\lambda = 0,17982 \text{ Å}$:

Նկատի ռւնենալով այդ մեծությունները, (9.61)-ից և (9.57)-ից կստանանք՝ $\tau_{\text{պա}} \approx 0,14 \cdot 10^{-16} \text{ ф}\text{р}\text{կ}; \tau_{\text{ըգ}} \approx 0,114 \cdot 10^{-16} \text{ ф}\text{ր}\text{կ};$ ինչպես երկում է վերջիններից, օսցիլյատորի կյանքի տեսողության համար ստացված արտահայտությունները դասական տեսությունից և քվանտային մեխանիկայից բավականաշափ լավ համընկնում են:

$$8\pi\eta \frac{L}{c} = L_{C_\alpha k_\alpha} + L_{M_0 k_\alpha} \quad (9.62)$$

որտեղ C_α -ն էլեկտրամագնիսական ալիքների տարածման արագությունն է: Հասկանալի է, որ հենց ցուգի երկարությամբ են որոշվում բյուրեղի ճառագայթվող ծավալի կոհերենտ ցրող տիրույթների չափերը: Եթե ճառագայթվող ծավալի չափերը ավելի մեծ են, քան ցուգի երկարությունը, ապա ոչ ամբողջ ծավալը կցրի կոհերենտ կերպով, և ցրված ալիքների ինտենսիվության ու ռեֆլեքսների լայնության հաշվման սովորական եղանակները սխալ կլինեն: (9.62)-ից երևում է, որ ռենտգենյան ցուգի երկարությունը 10^{-5} — 10^{-6} սմ կարգի է: Իրոք, օրինակ՝ $C_{\text{uka}_1} = M_{0k_1}$ ճառագայթումների համար τ -ն ունի 10^{-15} վրկ և $2,26 \cdot 10^{-16}$ վրկ արժեքները, որտեղից կոհերենտ ցրող ծավալների չափերի համար կստանանք՝

$$L_{C_\alpha k_\alpha} = 3 \cdot 10^{-5} \text{ սմ} \quad \text{և} \quad L_{M_0 k_\alpha} = 6,78 \cdot 10^{-6} \text{ սմ},$$

Քանի որ ճառագայթվող ծավալի չափերը գազերի, հեղուկների և ամորֆ պինդ նյութերի դեպքում որոշվում են ընկնող ալիքի լայնական կտրվածքի չափերով, որոնք գործնականորեն չեն կարող լինել ավելի փոքր, քան 10^{-2} սմ, ապա պարզ է, որ այդ դեպքերում ճառագայթվող ծավալի չափերը շատ ավելի մեծ են, քան ցուգի չափերը: Ուստի, այդպիսի նմուշների համար չի կարելի հաշվել ցրված ճառագայթների ինտենսիվությունը և դիֆրակցիոն մաքսիմումների լայնությունները, առանց հաշվի առնելու կոհերենտ ցըրման տևողությունը:

Բյուրեղական նմուշների դեպքում կոհերենտ ճառագայթման տևողությունը կարելի է հաշվի շառնել, եթե բյուրեղիկների չափերը փոքր են ցուգի չափերից, այսինքն, եթե բյուրեղիկների չափերը փոքր են 10^{-5} սանտիմետրից: Քանի որ խիստ մոնոքրոմատիկ ալիք գոյություն չունի և չի էլ կարող գոյություն ունենալ, ապա վերն ասվածից հանգում ենք հետևյալ կարևոր եղբակացության. անկախ նրանից, լույսը (ռենտգենյան ճառագայթումը) կներկայացնենք ալիքային ցուգերի հավաքածուով, թե տարբեր երկարություններով սինուսոիդական ալիքների հավաքածուով (ալիքային խումբ), բավականաշափ մեծ չափեր ունեցող ծավալների դեպքում նրա տարբեր մասերում ցրված ոչ բոլոր ալիքներն են լինում կոհերենտ իրար նկատմամբ: Ուստի կոհերենտ ճառագայթման տևողության վերջավոր լինելու տեսակետից գոյություն ունեցող

տեսությունը վերանայելու անհրաժեշտություն է ծագում։ Այստեղ այդ տեսությունը կվերանայենք միայն բյուրեղների դեպքի համար, կինեմատիկ տեսության շրջանակներում։

1. ՌԵՆՏԳԵՆՅԱՆ ՃԱՌԱԳԱՅԹՆԵՐԻ ՑՐՈՒՄԸ ՄԻԱԲՅՈՒՐԵՂՆԵՐԻ ՄԵՋ՝ ԿՈՀԵՐԵՆԾ ՃԱՌԱԳԱՅԹՄԱՆ ՏԵՎՈՂՈՒԹՅԱՆ ՀԱՇՎԱՌՄԱՍՔ

Նկատի ունենալով գրքի ծավալին ներկայացվող պահանջները, այստեղ կբավարարվենք միայն մի պարզ դեպքի քննարկմամբ։

Ենթադրենք «մոնոքրոմատիկ» ռենտգենյան ճառագայթումը վուլֆ-Բրեգի անկյան տակ ընկնում է միաբյուրեղի վրա, և ճառագայթվող ծավալի տարբեր կետերից դեպքի դիտման կետը ցրված ալիքները համարում ենք զուգահեռ։

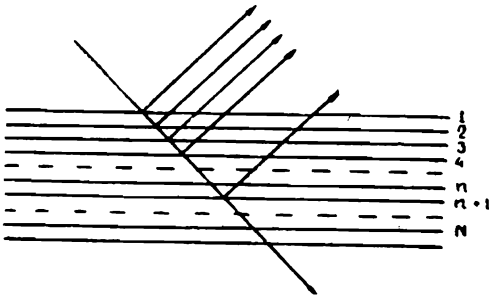
Թող ճառագայթման առանձին ակտի տևողությունը լինի τ։ Քանի որ ինտերֆերենցիոն պատկեր կարող է ստացվել միայն այն դեպքում, եթե վերադրվում են միևնույն ցուգին պատկանող ալիքները, ուստի քննարկենք հարթությունների համակարգից անդրադարձած, բայց միևնույն ցուգին պատկանող ալիքների գումարը։

Ինչպես արդեն գիտենք, հարկան հարթություններից անդրադարձած ալիքների միջև ճանապարհների տարբերությունը հավասար է $\frac{1}{2}ds\sin\theta$ -ի, իսկ $\tau_0 = \frac{1}{c}2ds\sin\theta$ -ն ուշացման ժամանակամիջոցն է այդ ալիքների միջև, որտեղ c -ն էլեկտրամագնիսական ալիքների տարածման արագությունն է։ Ուրեմն, եթե կոհերենտ ճառագայթման τ տևողությունը և հարկան հարթություններից անդրադարձած ալիքների միջև τ_0 ուշացման հարաբերությունը նշանակենք $n-p\varphi$ ՝ $n=\frac{\tau}{\tau_0}$, ապա $n-p$ կլինի այն հարթությունների թիվը, որոնցից անդրադարձած ալիքները, պատկանելով միևնույն ցուգին, կարող են վերադրվել և առաջացնել ինտերֆերենցիոն պատկեր։

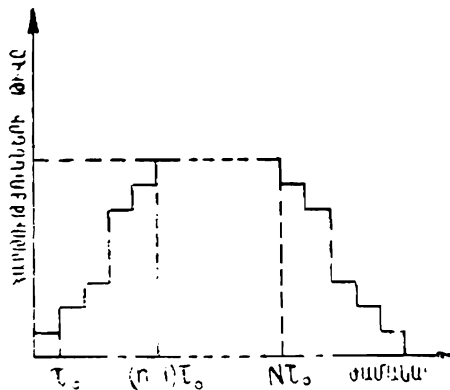
Եթե բյուրեղի հարթությունների N թիվը մեծ է $n-p$ ($N > n$), ապա առաջին հարթությունից անդրադարձած ալիքը դիտման կետում չի հանդիպի նույն ցուգին պատկանող, բայց $n+1$, $n+2$, N (նկ. 127) հարթություններից անդրադարձած ալիքներին։ Այսինքն, դիտման կետում ինտերֆերենցիային միաժամանակ մասնակցող ալիքների թիվը (հարթությունների թիվը) ավելի փոքր է, քան ճառագայթվող հարթությունների (բյուրեղի հարթությունների) թիվը՝ ցուգը միաժամանակ չի կարող գրգռել տվյալ (հել)։

ընտանիքին պատկանող և բյուրեղի մեջ գտնվող բոլոր հարթություններին:

Վոլֆ-Բրեգի անկյան տակ ատոմային հարթություններից անդրադարձած և միաժամանակ ինտերֆերենցիային մասնակցող ալիքների (հարթությունների) թիվը, կախված ժամանակից, ցույց է տրված 128-րդ նկարի գրաֆիկով:



Նկ. 127. Անդրադարձնող
հարթությունները



Նկ. 128. Անդրադարձնող
հարթությունների թիվը՝
կախված ժամանակից

Գրաֆիկը կազմելիս նկատի ենք ունեցել, որ 0 -ից մինչև τ_0 ժամանակամիջոցում դիտման կետում եղել է միայն առաջին հարթությունից անդրադարձած ալիքը, τ_0 -ից մինչև $2\tau_0$ ժամանակամիջոցում դիտման կետում եղել են առաջին և երկրորդ հարթություններից անդրադարձած ալիքները և այլն, իսկ $(n-1)\tau_0$ -ից մինչև $n\tau_0 = \tau$ ժամանակամիջոցում դիտման կետում եղել են առաջին ու հարթություններից անդրադարձած բոլոր ալիքները:

$(n-1)\tau_0$ -ից մինչև $n\tau_0 = (N-n)\tau_0 = N\tau_0 - n\tau_0$ ընկած ժամանակամիջոցում դիտման կետում ալիքների թիվը կլինի առավելագույն և հավասար n -ի: $(N-1)\tau_0$ -ից մինչև $(N+n)\tau_0$ ժամանակամիջոցում տվյալ ցուցին պատկանող ճառագայթումն անդրադարձնող հարթությունների թիվը ընկնում է $(n-1)$ -ից մինչև 1:

Ինչպես երկում է գրաֆիկից, դիտման կետում ինտերֆերենցիային միաժամանակ մասնակցող ալիքների մաքսիմալ ու թիվը կախված չէ բյուրեղի անդրադարձող հարթությունների N թիվը, իհարկե, եթե բյուրեղի հարթությունների թիվը մեծ է n-ից:

Այս գեպքում, եթե N < n, ինտերֆերենցիային միաժամանակ մասնակցող հարթությունների թիվը 0-ից մինչև n ու ժամանակամիջոցում աճում է 0-ից մինչև N, իսկ (N-1)τ₀-ից մինչև Nτ₀+(n-N)τ₀=nτ₀ ժամանակամիջոցում կլինի հաստատում և հավասար N-ի, (n-1)τ₀-ից մինչև nτ₀+(n-N)τ₀ ժամանակամիջոցում այդ թիվը կնվազի (N-1)-ից մինչև զրո: Նկատի ունենալով վերոհիշյալը, ցրված ալիքների ինտենսիվության համար կստանանք՝

1. N > n դեպքում՝

$$J = \frac{1}{\tau_0} J_0 (J_1 + J_2 + J_3); \quad (9.63)$$

$$\text{որտեղ, } J_0 = A^2 \frac{\sin^2 \left(\frac{1}{2} N_1 \pi \eta_1 \right)}{\sin^2 \left(\frac{1}{2} \pi \eta_1 \right)} \cdot \frac{\sin^2 \left(\frac{1}{2} N_2 \pi \eta_2 \right)}{\sin^2 \left(\frac{1}{2} \pi \eta_2 \right)}, \quad (9.64)$$

$$J_1 = J_3 = \sum_{M=1}^{n-1} \frac{\sin^2 \left(\frac{1}{2} M \pi \eta_3 \right)}{\sin^2 \left(\frac{1}{2} \pi \eta_3 \right)}, \quad (9.65)$$

$$J_2 = (N-n+1) \frac{\sin^2 \left(\frac{1}{2} n \pi \eta_3 \right)}{\sin^2 \left(\frac{1}{2} \pi \eta_3 \right)}, \quad (9.66)$$

2. N < n դեպքում՝

$$J' = \frac{1}{\tau_0} J_0 (J'_1 + J'_2 + J'_3), \quad (9.67)$$

$$J'_1 = J'_3 = \sum_{M=1}^{N-1} \frac{\sin^2 \left(\frac{1}{2} M \pi \eta_3 \right)}{\sin^2 \left(\frac{1}{2} \pi \eta_3 \right)}, \quad (9.68)$$

$$l_2' = (n-N+1) \frac{\sin^2\left(\frac{1}{2} N\pi\eta_3\right)}{\sin^2\left(\frac{1}{2} \pi\eta_3\right)}, \quad (9.69)$$

Եթե $N=n$, (9.66) և (9.69) արտահայտություններում, առանց մեծ սխալ կատարելու, կարելի է անտեսել $I_{2-\sigma}$, $I_{1-\sigma}$ և $I_{3-\sigma}$ նկատմամբ, իսկ $I_{2-\sigma}'$, $I_{1-\sigma}'$ և $I_{3-\sigma}'$ նկատմամբ, այդ դեպքում կստանանք՝

$$I = I' = \frac{2}{\tau_0} I_0 I_1 \approx \frac{2}{\tau_0} I_0 \sum_{M=1}^{N-1} \frac{\sin^2\left(\frac{1}{2} M\pi\eta_3\right)}{\sin^2\left(\frac{1}{2} \pi\eta_3\right)},$$

Եթե անդրադարձնող հարթությունների թիվը շատ մեծ է ցուցի միաժամանակ գրգռված հարթությունների թվից ($N \gg n$), ապա (9.63)-ից բավականաշատ ճշտությամբ կստանանք՝

$$I \approx \frac{1}{\tau_0} I_1 I_2 \approx \frac{1}{\tau_0} I_0 N \frac{\sin^2\left(\frac{1}{2} n\pi\eta_3\right)}{\sin^2\left(\frac{1}{2} \pi\eta_3\right)}, \quad (9.70)$$

Իսկ եթե $N \ll n$, նույնպիսի ճշտությամբ (9.67)-ից կստանանք՝

$$I' \approx \frac{1}{\tau_0} I_0 I_2' \approx \frac{1}{\tau_0} I_0 n \frac{\sin^2\left(\frac{1}{2} N\pi\eta_3\right)}{\sin^2\left(\frac{1}{2} \pi\eta_3\right)}, \quad (9.71)$$

(9.63)–(9.71) արտահայտություններում կատարել ենք հետևյալ նշանակումները՝ $\eta = \frac{1}{\pi} \vec{k}(\vec{a}_1, \vec{S}_1 - \vec{S}_0)$, $\eta_2 = \frac{1}{\pi} \vec{k}(\vec{a}_2, \vec{S}_1 - \vec{S}_0)$, $\eta_3 = \frac{1}{\pi} \vec{k}(\vec{a}_3, \vec{S}_1 - \vec{S}_0)$.

$N_1-\sigma$, $N_2-\sigma$ և $N_3-\sigma$ ատոմների թվերն են \vec{a}_1 , \vec{a}_2 և \vec{a}_3 ուղղություններով:

Ինտենսիվության արտահայտությունն արտածելիս ենթադրված է, որ անդրադարձնող հարթությունները զուգահեռ են \vec{a}_1 և \vec{a}_2 տրանսլյացիայի վեկտորների հարթությանը:

Բերված հաշիվների արդյունքներից կարելի է անել հետևյալ եզրակացությունները.

1. $N \gg n$ դեպքում կոհերենտ ճառագայթման տեսողության հաշվառմամբ անդրադարձման ինտենսիվության և անկյունային լայնության համար ստացված արտահայտությունները կտրուկ տարբերվում են առանց կոհերենտ ճառագայթման տեսողությունը հաշվի առնելու ստացված համանման արտահայտություններից: Իրոք, առանց կոհերենտ ճառագայթման տեսողությունը հաշվի առնելու մենք անդրադարձման ինտենսիվության համար կստանայինք՝

$$I = I_0 \frac{\sin^2\left(\frac{1}{2} N\pi\gamma_3\right)}{\sin^2\left(\frac{1}{2} \pi\gamma_3\right)}, \quad (9.72)$$

որը զգալիորեն տարբերվում է (9.70)-ից ինչպես մաքսիմումի (գագաթի) մեծությամբ, այնպես էլ անդրադարձման անկյունային տիրույթով: Անդրադարձման անկյունային տիրույթը (9.76)-ում շատ ավելի մեծ է, քան (9.72)-ում, որովհետև $N \gg n$.

Այսպիսով, եթե $N \gg n$, սպեկտրային գծի լայնությունը որոշվում է ոչ թե բյուզեղի հարթությունների N թվով, այլ միաժամանակ ինտերֆերենցիային մասնակցող հարթությունների n թվով:

2. $N \ll n$ դեպքում կոհերենտ ճառագայթման տեսողությունը հաշվի առնելիս անդրադարձման ինտենսիվության և անկյունային տիրույթի համար բավարար ճշտությամբ ստացվում է այն, ինչ ստացվում է առանց կոհերենտ ճառագայթման տեսողությունը հաշվի առնելու:

Իրոք, կարելի է ցուց տալ, որ (9.71) և (9.72) արտահայտությունները համընկնում են իրար, նկատի ունենալով որ $\tau_0 = \tau_{11}$, (9.71) արտահայտության մեջ τ/τ բազմապատկիշի փոխարեն կըստանանք τ : Եվ եթե նկատի ունենանք այն հանգամանքը, որ (9.64)-ը իրենից ներկայացնում է էներգիայի հոսքը τ ժամանակամիջոցում, իսկ (9.72)-ը էներգիայի հոսքն է միավոր ժամանակի (վայրկյանի) ընթացքում, ապա պարզ կլինի, որ այդ արտահայտությունները ժամանակի նույն հատվածի համար կհամընկնեն:

Հետևաբար, $N \ll n$ դեպքում կոհերենտ ճառագայթման տեսողությունը կարելի է հաշվի շառնել:

3. Համաձայն լառեկի ինտերֆերենցիոն ֆունկցիայի, դիֆրակ-

ցիոն մաքսիմումի բարձրությունը և լայնությունը կախված չեն անդրադարձման կարգից:

Սակայն, քանի որ քննարկվող դեպքում անդրադարձման կարգի մեծացմամբ, մեծանում է նաև τ_0 -ն. և, հետևաբար, փոքրանում է P -ը, ուրեմն անդրադարձման կարգի մեծացմամբ դիֆրակցիոն մաքսիմումի բարձրությունը փոքրանում է, իսկ լայնությունը՝ մեծանում:

2. ՌԵՆՏԳԵՆՅԱՆ ՃԱՌԱԳԱՅԹՆԵՐԻ ԻՆՏԵԳՐԱԼ ԻՆՏԵՆՍԻՎՈՒԹՅԱՆ ԿԱԽՈՒՄԸ ԿՈՀԵՌԵՆՏ ՃԱՌԱԳԱՅԹՄԱՆ ՏԵՎՈՂՈՒԹՅՈՒՆԻՑ

Այժմ անցնենք ինտեգրալ ինտենսիվության հետազոտմանը՝ կախված կոհերենտ ճառագայթման տևողությունից: Ինտեգրալ ինտենսիվության արտահայտությունը, որը քննարկված է հինգերորդ գլխում, կառենի եղանակով արտածելիս, մինչև ինտեգրումներ կատարելը կարելի է ներկայացնել հետեւյալ տեսքով՝

$$\rho = A^2 \int \int \int \left[\prod_{\sigma=1}^3 \frac{\sin^2\left(\frac{1}{2} N_\sigma A_\sigma\right)}{\sin^2\left(\frac{1}{2} A_\sigma\right)} \right] dA_1 dA_2 dA_3, \quad (9.73)$$

$$\text{որտեղ՝ } A^2 = \frac{e^4}{m^2 c^4} \frac{1 + \cos^2 2\theta}{2} \frac{\lambda^3}{(2\pi)^3} \frac{|F|^2}{v \sin 2\theta},$$

Եթե հաշվի առնենք կոհերենտ ճառագայթման տևողությունը, ապա պարզվում է, որ շատ փոքր անկյուններից դուրս ($\theta > 1^\circ$) դիտման կետում ինտերֆերենցիային միաժամանակ մասնակցող հարթությունների թիվը կախված է կոհերենտ ճառագայթման տեղողությունից, ինչպես այդ մասին արդեն ասվել է նախորդ կետքում:

Նկատի ունենալով կոհերենտ ճառագայթման մասին վերը ասվածը և ընդունելով, որ անդրադարձնող հարթությունները համընկնում են \vec{a}_1 և \vec{a}_2 տրանսլյացիայի վեկտորներին, անդրադարձման ինտեգրալ գործակցի համար (9.73)-ի փոխարեն կստանանք՝

1. $\pi > N$ դեպքում՝

$$\rho_1 = A^2 \int \int \frac{\sin^2\left(\frac{1}{2} N_1 A_1\right)}{\sin^2\left(\frac{1}{2} A_1\right)} \frac{\sin^2\left(\frac{1}{2} N_2 A_2\right)}{\sin^2\left(\frac{1}{2} A^2\right)} dA_1 dA_2 \times$$

$$\begin{aligned} & \times \frac{\tau}{\pi} \left[2 \sum_{M=1}^{n-1} \int \frac{\sin^2\left(\frac{1}{2} Mc\right)}{\sin^2\left(\frac{1}{2} c\right)} dc + \right. \\ & \left. + (N-n+1) \int \frac{\sin^2\left(\frac{1}{2} Nc\right)}{\sin^2\left(\frac{1}{2} c\right)} dc \right], \quad (9.74) \end{aligned}$$

2. $n > N$ դեպքում՝

$$\rho_2 = A^2 \iint \frac{\sin^2\left(\frac{1}{2} N_1 A_1\right)}{\sin^2\left(\frac{1}{2} A_1\right)} \frac{\sin^2\left(\frac{1}{2} N_2 A_2\right)}{\sin^2\left(\frac{1}{2} A_2\right)} dA_1 dA_2 \times$$

$$\times \frac{\tau}{n} \left[2 \sum_{M=1}^{N-1} \int \frac{\sin^2\left(\frac{1}{2} NA_3\right)}{\sin^2\left(\frac{1}{2} A_3\right)} dA_3 + \right.$$

$$\left. + (n-N+1) \int \frac{\sin^2\left(\frac{1}{2} NA_3\right)}{\sin^2\left(\frac{1}{2} A_3\right)} dA_3 \right], \quad (9.75)$$

Կատարելով ինտեգրումներ, (9.74)-ից և (9.75)-ից կստանանք՝

$$\begin{aligned} \rho_1 &= \frac{e^4}{m^2 c^4} \frac{(1+\cos^2 2\theta)}{2} \frac{\lambda^3 |F|^2}{2\pi v \sin 2\theta} \frac{\tau N_1 N_2}{n} \times \\ &\times \left[(N-n+1) 2\pi n + 2 \sum_{M=1}^{n-1} \int \frac{\sin^2\left(\frac{1}{2} Mc\right)}{\sin^2\left(\frac{1}{2} c\right)} dc \right] \quad (9.76) \end{aligned}$$

$$\begin{aligned} \rho_2 &= \frac{e^2}{m^2 c^4} \frac{(1+\cos^2 2\theta)}{2} \frac{\lambda^3 |F|^2}{2\pi v \sin 2\theta} \frac{\tau N_1 N_2}{n} \times \\ &\times \left[(n-N+1) 2\pi n + 2 \sum_{M=1}^{N-1} \int \frac{\sin^2\left(\frac{1}{2} MA_3\right)}{\sin^2\left(\frac{1}{2} A_3\right)} dA_3 \right]: \quad (9.77) \end{aligned}$$

Եթե բյուրեղի հարթությունների թիվը շատ մեծ է ինտերֆերենցիալին միաժամանակ մասնակցող հարթությունների թվից՝ $N \gg n$, ապա (9.76)-ից բավարար ճշտությամբ կստանանք՝

$$\rho_1 = B\tau N_1 N_2 N_3,$$

$$B = \frac{e^4}{m^2 c^4} \frac{(1 + \cos^2 2\theta)}{2} \frac{\lambda^2 |F|^2}{v \ln \theta} \quad (9.78)$$

այն ժամանակ, երբ (9.73)-ից կստանանք՝

$$\rho = B N_1 N_2 N_3, \quad (9.79)$$

$$\text{այսինքն՝ } \rho = \frac{1}{\tau} \rho_1, \quad (9.80)$$

իսկ երբ $N \ll n$, (9.77)-ից նույն ճշտությամբ կստանանք՝

$$\rho_2 = B\tau N_1 N_2 N_3, \quad (9.81)$$

Այսպիսով, (9.78)–(9.81) արտահայտություններից կստանանք՝

$$\frac{1}{\tau} \rho_1 = \frac{1}{\tau} \rho_2 = \rho, \quad (9.82)$$

Եթե նկատի ունենանք, որ $\frac{1}{\tau} \rho_1 = \frac{1}{\tau} \rho_2$ մեծությունները ինտեգրալ ինտենսիվություններն են էներգիայի հոսքի միավոր ժամանակի համար, ապա պարզ կլինի (9.82)-ից, որ քննարկված դեպքում ($N \gg n$) և ($N \ll n$) ինտեգրալ ինտենսիվությունների համար ստացվում է նույն բանը, ինչ առանց կոհերենտ ճառագայթման տևողության հաշվառման: Երբ ինտերֆերենցիալին միաժամանակ մասնակցող հարթությունների թիվը բյուրեղի հարթությունների թվի կարգի է ($N \sim n$), ինտեգրալ ինտենսիվությունների համար կոհերենտ ճառագայթման հաշվառմամբ և առանց հաշվի առնելու ստացված արտահայտություններն իրարից տարբերվում են, բայց ոչ մեծ չափով:

Այսպիսով, կարող ենք նշել, որ քննարկվող ճշգրտությամբ (հարթ բյուրեղ, առաջին մոտեցում) կոհերենտ ճառագայթման տևողության հաշվառումը $N \gg n$ դեպքում կտրուկ ազդում է ուժինության անկյունային լայնության վրա, բայց ինտեգրալ ինտենսիվությունը համարյա թե մնում է անփոփոխ. փոքրանում է ինտեգրալ ինտենսիվության կորի գագաթի բարձրությունը, մեծանում է սպեկտրալին գծի լայնությունը, անփոփոխ է մնում ինտեգրալ ինտենսիվությունը:

Իսկ $N \ll n$ դեպքում կարելի է կոչերենտ ճառագայթման տեղուությունը հաշվի շառնել, որովհետև այդ դեպքում կոհերենտ ճառագայթման հաշվառման պատճառով զծի լայնությունը և ինտեգրալ ինտենսիվությունը համարյա թե փոփոխություն չեն կրում:

Ուենտգենյան ճառագայթների դիֆրակցիան գազերում, հեղուկներում և ամորֆ պինդ մարմիններում կոհերենտ ճառագայթման հաշվառմամբ կրնարկվեն հաջորդ գրքում, իսկ հետաքրքրքրովողները կարող են դիմել [44, 43] աշխատանքներին:

Ուենտգենյան ճառագայթների դիֆրակցիան սկզբնական սֆերիկ ալիքների դեպքում քննարկված է [45, 46] աշխատանքներում:

§ 6. ՅՐՎԱԾ ՇԱՌԱԳՍՅԹՆԵՐԻ ԻՆՏԵՆՍԻՎՈՒԹՅԱՆ ՊԱՀՊԱՆՄԱՆ ՕՐԵՆՔԸ

Գոյություն ունի մի օրենք, ըստ որի ցրված ալիքների միջև տեղի ունեցող ինտերֆերենցիան չի փոխում ցրման գումար-ինտենսիվությունը, այլ միայն վերաբաշխում է այն: Այդ օրենքը կոչվում է ցրման ինտենսիվության պահպանման օրենք:

Դասագրքերում [42, 30] այդ օրենքը նույնիսկ ապացուցվում է [30], և այդ օրենքի հիման վրա նաև ապացուցվում է, որ ցրված գումար-ինտենսիվության միջին արժեքը էլեկտրոնային միավորներով հավասար է ցրող ծավալի էլեկտրոնների ընդհանուր թվին^{*}:

Սակայն կարելի է ցույց տալ, որ ցրման ինտենսիվության պահպանման օրենքը շատ սահմանափակ կիրառություններ ունի, և ընդհանուր դեպքում բոլոր ուղղություններով ցրված ալիքների գումար-ինտենսիվությունը էլեկտրոնային միավորներով հավասար չէ ցրող էլեկտրոնների թվին:

Մենք այստեղ սկզբում կշարադրենք ցրման ինտենսիվության ընդունված արտածումը, իսկ հետո, նշելով այդ արտածման թերությունները, պարզ օրինակով ցույց կտանք, որ ցրման գումար-ինտենսիվության միջին արժեքը կարող է ցրող էլեկտրոնների ընդհանուր թվին հավասար լինել:

1. ՅՐՄԱՆ ԻՆՏԵՆՍԻՎՈՒԹՅԱՆ ՊԱՀՊԱՆՄԱՆ ՕՐԵՆՔԻ ԱՐՏԱՌՈՒՄՆ ԸՍՏ ԳԻՆՅԵՒԻ

Հինգերորդ գլխում որպես ցրող կենտրոններ ընդունել էինք ատոմները և ցրված ալիքի ամպլիտուդի համար ստացել էինք (5.1)

* Եթե ինտենսիվությունն արտահայտվում է մեկ էլեկտրոնի ցրած էներգիայի միավորներով, ասում են՝ ինտենսիվությունն արտահայտված է էլեկտրոնային միավորներով:

արտահայտությունը: Այստեղ մենք ցրող կենտրոնները կհամարենք էլեկտրոնները և ամեն մի էլեկտրոնի տեղը կնկարագրենք իր շառավիղ-վեկտորով:

Ենթադրենք, ունենք N ցրող էլեկտրոններ, որոնք նկարագրուվում են հետևյալ շառավիղ-վեկտորներով՝ $\vec{r}_1, \vec{r}_2, \vec{r}_3, \dots, \vec{r}_n$:

Այս դեպքում ցրված գումար-ալիքի ամպլիտուդը և ինտենսիվությունը էլեկտրոնային միավորներով կարող ենք արտահայտել այսպես (գլուխ V , § 9).

$$A_N = \sum_{m=1}^N \exp \{-ik(\vec{r}_m \cdot \vec{S})\}, \quad (9.83)$$

$$I_N(\vec{S}) = |A|^2 = AA^* = \sum_{m=1}^N \sum_{n=1}^N \exp \{-ik(\vec{r}_m - \vec{r}_n) \cdot \vec{S}\}, \quad (9.84)$$

մ-րդ և ո-րդ էլեկտրոնների միջև վեկտորային հեռավորությունը՝ $\vec{r}_m - \vec{r}_n = \vec{r}_{mn}$, տեղազարկով (9.84)-ի մեջ և նկատի ունենալով, որ $m=n$ դեպքերում այդ վեկտորը հավասար է 0 -ի, ինտենսիվությունը կարող ենք ներկայացնել հետևյալ տեսքով.

$$I_N(\vec{S}) = N + \sum_{m \neq n} \sum \exp \{-ik(\vec{r}_{mn} \cdot \vec{S})\}, \quad (9.85)$$

(9.85)-ը ներկայացնում է ինտենսիվությունը միայն \vec{S} ուղղությամբ, գումար-ինտենսիվությունը (ինտենսիվությունը բոլոր ուղղություններով) գտնելու համար մենք պետք է (9.85)-ը ինտեղինք հակադարձ տարածության մեջ.

$$\int I_N(\vec{S}) dv^* = \int N dv^* + \sum_{m \neq n} \sum \exp \{-ik(\vec{r}_{mn} \cdot \vec{S})\} dv^*, \quad (9.86)$$

Կատարենք հետևյալ ձևափոխությունը՝

$$k(\vec{r}_{mn} \cdot \vec{S}) = 2\pi \left(\vec{r}_{mn} \frac{\vec{S}}{\lambda} \right) = 2\pi (\vec{r}_{mn} \vec{R}^*),$$

որտեղ $\vec{R} = \frac{\vec{S}}{\lambda}$ հակադարձ ցանցի վեկտորն է: Մյուս կողմից՝ հակադարձ dv^* ժագալի էլեմենտը կարող ենք ներկայացնել այսպես. $dv^* = dR_1^* dR_2^* dR_3^*$, որտեղ dR_i^* -ը, dR_2^* -ը և dR_3^* -ը հակադարձ $\vec{R}^* = \hat{i} \vec{R}_1^* + \hat{j} \vec{R}_2^* + \hat{k} \vec{R}_3^*$ վեկտորի բաղադրիչների աճերն են:

Այժմ կարող ենք գումարի տակ գտնվող ինտենգրալներից յուրաքանչյուրին տալ հետևյալ տեսքը.

$$\int \exp \{-ik(\vec{r}_{mn}\vec{S})\} dv^* = \int_{-L_1}^{L_1} \exp \{-i2\pi R_1^* x_{mn}\} dR_1^* \times \\ \times \int_{-L_2}^{L_2} \exp \{-i2\pi R_2^* l_{mn}\} dR_2^* \int_{-L_3}^{L_3} \exp \{-i2\pi R_3^* z_{mn}\} dR_3^*, \quad (9.87)$$

(9.87)-ի մեջ x_{mn} -ը, y_{mn} -ը և z_{mn} -ը իրենցից ներկայացնում են $\vec{r}_{mn} = \vec{r}_m - \vec{r}_n$ վեկտորի պրոյեկցիաները x , y և z առանցքների վրա: Ինտեգրումը կատարվում է հակադարձ տարածությունում՝ մի ժավալում, որն ուղղանկյուն զուգահեռանիստ է և ունի հետևյալ չափերը՝ $L_o \ll R_i^* \leq L_o$, $i = 1, 2, 3$:

(9.87)-ի աջ մասի արտադրիչ ինտեգրալներից յուրաքանչյուրը կարելի է ինտեգրալ հետևյալ կերպ՝

$$\int_{-L_o}^{L_o} \exp \{-i2\pi R_o x_o\} dR_o^* = 2L_o \frac{2L_o(2\pi L_o x_o)}{2\pi L_o x_o}, \quad (9.88)$$

որտեղ՝ $x_1 = x_{mn}$, $x_2 = y_{mn}$, $x_3 = z_{mn}$

Նկատի ունենալով (9.88)-ը, կարող ենք (9.86)-ը գորել այսպիս:

$$\frac{\int I_N(\vec{S}) dv^*}{v} = \overline{I_N(S)} = N + \frac{\sin(2\pi L_1 x_{mn})}{2\pi L_1 x_{mn}} \frac{\sin(2\pi L_2 y_{mn})}{2\pi L_2 y_{mn}} \times \\ \times \frac{\sin(2\pi L_3 z_{mn})}{2\pi L_3 z_{mn}}, \quad (9.89)$$

(9.89) արտահայտությունն ստանալիս, մենք նկատի ենք ունեցել, որ $\int N dv^* = 8L_1 L_2 L_3$ և կատարել ենք նշանակում $V = 8 L_1 L_2 L_3$, որը ինտեգրման ժավալն է, իսկ $\overline{I_N(\vec{S})}$ -ը ցըման միջին ինտենսիվությունն է:

Այժմ ըստ Գինյեի կարելի է ինտեգրման սահմանները, այսինքն՝ L_1 -ը, L_2 -ը և L_3 -ը ձգտեցնել անսահմանության, այդ դեպքում (9.89)-ի աջ մասի երկրորդ գումարելին կձգտի զրոյի և կըստանանք՝

$$\overline{I_N(S)} \rightarrow N, \quad (9.90)$$

այսինքն՝ N հատ էլեկտրոնների ցրման ինտենսիվության միջին արժեքը հավասար է նրանց թվին:

Առաջին հայացքից թվում է, թե (9.90) բանաձևի արտածումը կասկած չի առաջացնում, և ցրման ինտենսիվության պահպանման օրենքը միշտ ուժի մեջ է:

Սակայն օպտիկայում լավ հայտնի է [32], որ եթե լույսի աղբյուրների իրարից ունեցած հեռավորությունը ավելի փոքր է, քան նրանց առաքած ալիքի երկարության կեսը, ապա ցրման ինտենսիվության պահպանման օրենքը ինտերֆերենցիայի հետևանքով խախտվում է, նրանք իրար վրա ազդում են և իրենց սնող աղբյուրի էներգիայի հաշվին ավելի ուժեղ են առաքում։ Նրանց միաժամանակ առաքման դեպքում առաքման գումար-էներգիան ավելի մե՞ծ է ինում, քան եթե նրանք առանձին-առանձին առաքեին և վերցվեր դրանց գումարը։

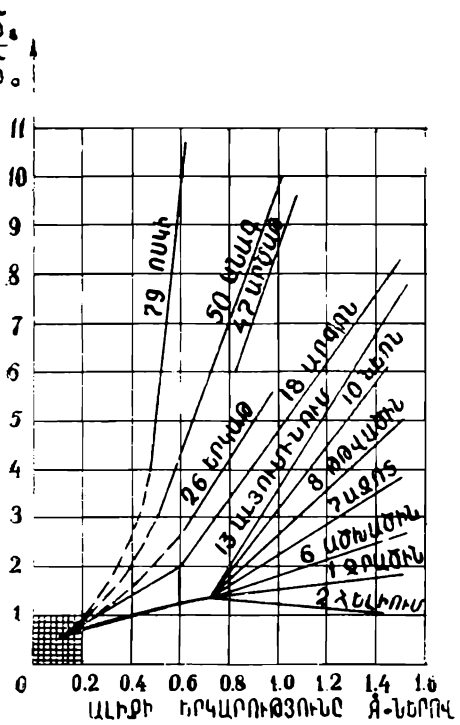
Մյուս կողմից՝ ռենտ-

գենյան տիրույթում կատարված փորձերից հայտնի է [3], որ ցրման օգործակիցը կախված է ալիքի երկարությունից և, մասնավորապես, ցածր կարգաթիվ ունեցող էլեմենտների համար այն ավելի մեծ է, քան իրարից մեկուսացված էլեկտրոնների համար։

Կախված ատոմի շուրջը էլեկտրոնների կուտակման աստիճանից, այսինքն՝ կախված ցրող ատոմի շ կարգաթիվից, ցրման գործակիցը կարող է փոփոխվել շանգամ։

Նկ. 129-ում ցույց է տրված տարրեր ատոմների համար ցրման գործակցի կախումն ալիքի երկարությունից։ Այստեղ σ_0 -ն ցրման գործակիցն է ըստ Թոմսոնի տեսության, օ. շափումներից ստացված ցրման գործակիցն է։

Ինչպես երևում է այդ նկարից, ալիքի երկարությունների 0,1—



Նկ. 129. Ցրման գործակցի կախումը ալիքի երկարությունից

—1,0 Å տիրույթում թեթև էլեմենտների՝ համար դիտվում է տեսության և փորձի տվյալների մոտավոր համապատասխանություն, բայց ծանր էլեմենտների համար ալիքի երկարության մեծացմամբ ցրման գործակիցը արագ աճում է: Հետևապես, միևնույն ատոմին պատկանող էլեկտրոնների համար ցրման ինտենսիվության պահպանման օրենքը ընդհանուր դեպքում ճիշտ չէ. այսինքն՝ (9.90) արտահայտությունը ճշգրիտ չէ:

Ալիքի երկարության մեծացմամբ ցրման գործակցի մեծացումը բացատրվում է նրանով, որ երբ էլեկտրոնների միջև եղած հեռավորությունը փոքր է ցրվող ալիքի երկարության նկատմամբ, ապա տվյալ ատոմի էլեկտրոնները կարծեք թե գործում են համատեղ՝ ազդում են իրար վրա: Իրոք, ինչպես արդեն նշվեց, օպտիկայում հայտնի է ինտերֆերենցիայի երևույթի թվացող պարագությունը. երբ երկու կոհերենտ աղբյուրների միջև հեռավորությունը փոքր է, քան ալիքի երկարության կեսը, այդ երկու աղբյուրների առաքման ինտենսիվությունը, իրար վրա ազդելու պատճառով, կտրուկ մեծանում է: Պարզ է, որ այդպիսի դեպքերում խոսք անգամ լինել չի կարող ցրման ինտենսիվության պահպանման օրենքի մասին: Այդպիսի պայմաններ իրականանում են հենց ատոմներում, էլեկտրոնների միջև և որոշ դեպքերում էլ հարևան ատոմների միջև հեղուկների, ամորֆ պինդ նյութերի և բյուրեղների մեջ: Իհարկե, ցրման ինտենսիվության պահպանման օրենքը չի հակասում էներգիայի պահպանման օրենքին:

Այժմ տեսնենք (9.90) բանաձևի արտածման ժամանակ ի՞նչ սիսակ պայմաններ իրականանում են հենց ատոմներում, էլեկտրոնների միջև և որոշ դեպքերում էլ հարևան ատոմների միջև հեղուկների, ամորֆ պինդ նյութերի և բյուրեղների մեջ: Իհարկե, ցրման ինտենսիվության պահպանման օրենքը չի հակասում էներգիայի պահպանման օրենքին:

Ինչպես երևում է (9.87)-ից, ինտեգրումը կատարվում է հակադարձությամբ՝ $\vec{S}_1 - \frac{\vec{S}_0}{\lambda} = \frac{\vec{S}}{\lambda} = \vec{R}^*$ արտածությունում ըստ հակադարձ \vec{R}^* վեկտորի R_1^* , R_2^* և R_3^* բաղադրիչների: Ինչպես արդեն նշել ենք հինգերորդ գլուխ ֆ 4-ում, երբ բյուրեղը գտնվում է անդրադարձման վիճակում, դիֆրակցիոն վեկտորը համընկնում է հակադարձ ցանցի վեկտորին՝

$$\vec{S}_1 - \frac{\vec{S}_0}{\lambda} = \frac{\vec{S}}{\lambda} = \vec{R}^*$$

և, ընդհանուր դեպքում, երբ նույնիսկ բյուրեղը անդրադարձման վիճակում չի գտնվում, այդ վեկտորի բաղադրիչները նկարագրվում են հետևյալ արտահայտություններով.

$$\frac{S}{\lambda} = \gamma_1 \vec{a}_1^* + \gamma_2 \vec{a}_2^* + \gamma_3 \vec{a}_3^*, \quad (9.91)$$

$$\text{որտեղ՝ } \eta_1 = \frac{a_1}{\lambda} (\cos\alpha_1 - \cos\alpha_0), \quad (9.92)$$

$$\eta_2 = \frac{a_2}{\lambda} (\cos\beta_1 - \cos\beta_0), \quad (9.93)$$

$$\eta_3 = \frac{a_3}{\lambda} (\cos\gamma_1 - \cos\gamma_0), \quad (9.94)$$

Վերևում, (9.89)-ից (9.90) ստանալու համար, ինտեգրալ-ների սահմանները՝ L_1 -ը, L_2 -ը և L_3 -ը ձգտեցված են անսահմանության, այսինքն՝ R_1^* -ի, R_2^* -ի և R_3^* -ի (ըստ η_1 -ի, η_2 -ի և η_3 -ի) ինտեգրում է կատարված $-\infty$ -ից ∞ :

Սակայն, ինչպես երևում է (9.91)—(9.94) արտահայտություններից, η_1 -ը, η_2 -ը և η_3 -ը անսահման մեջ արժեքներ կարող են ստանալ միայն այն դեպքում, եթե ալիքի λ երկարությունը ձգտի զրոյի:

Այս այստեղ էլ թաքնված է սխալ եղրակացության գաղտնիքը: Իշարեն, եթե ալիքի երկարությունը ձգտում է զրոյի, իրականանում են ցրված էներգիայի պահպանման համար անհրաժեշտ պայմանները, ավելի ճիշտ՝ վերանում է այդ օրենքի խախտման պայմանը, ցրողների միջև եղած հեռավորությունը ալիքի երկարության կեսից այլևս փոքր լինել չի կարող:

2. ՑՐՄԱՆ ԻՆՏԵՆՍԻՎՈՒԹՅԱՆ ՊԱՀՊԱՆՄԱՆ ՕՐԵՆՔԸ ԱՏՈՄՆԵՐԻ ՀԱՆՐՈՒՅԹԻ ՀԱՄԱՐ

Ցրման ինտենսիվության պահպանման օրենքի արտածումն ընդունված ձևով տալուց և նրա թերությունները ցույց տալուց հետո քննարկենք մի պարզ դեպք այդ օրենքի կիրառելիության սահմանները ցուցադրելու նպատակով:

Այսպես ուրեմն, մենք տեսանք, որ միևնույն ատոմին պատկանող էլեկտրոնների համար ցրման ինտենսիվության պահպանման օրենքը ընդհանուր դեպքում տեղի չունի:

Այժմ անցնենք ատոմների հանրույթի, մասնավորապես բյուրեղների ատոմների համար ցրման ինտենսիվության պահպանման օրենքի իրականացման անհրաժեշտ պայմանների քննարկմանը:

Այս դեպքում ցրման ինտենսիվության պահպանման օրենքը կարելի է ձևակերպել այսպես. N ատոմի կողմից բոլոր կողմերի

վրա ցրված էներգիան N անգամ ավելի մեծէ, քան մեկ մեկուսացված ատոմի՝ բոլոր կողմերի վրա ցրած գումարը-էներգիան:

Այդ ենթադրության իրավացիությունը ստուգելու համար ըսկըզբում հաշվենք երկու ատոմների ցրած էներգիայի հոսքը այնպիսի մի փակ մակերևույթով, որի մեջ գտնվում են այդ ատոմները:

Ենթադրենք երկու ատոմ տեղավորված ξR շառավղով սֆերայի ներսում և դասավորված ξ կենտրոնի նկատմամբ սիմետրիկ (նկ. 130): Թող հեռավորությունը նրանց միջև լինի d : Ենթադրենք հարթ մոնոքրոմատիկ ալիքը d -ին ուղղահայաց ուղղությամբ ընկնում է այդ ատոմների վրա, և մենք դիտարկում ենք ցրված ալիքների ինտենսիվությունը սֆերայի մակերևույթի P կետում, որը սֆերայի կենտրոնից θ անկյան տակ: Այդ գեպքում հիշյալ երկու ատոմների կողմից ցըրված գումար-ալիքի ամպլիտուդի համար կստանանք՝

$$A = A_0 f \frac{e^2}{mc^2} \left[\frac{1}{r_1} \exp \{-ikr_1\} + \frac{1}{r_2} \exp \{-ikr_2\} \right],$$

որտեղ r_1 -ը և r_2 -ը այդ ատոմների հեռավորություններն են դիտման P կետից, իսկ A_0 -ն ընկնող ալիքի ամպլիտուդն է:

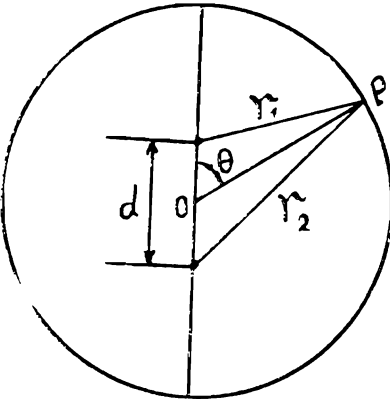
Ամպլիտուդի այդ արտահայտությունից ինտենսիվության համար կստանանք՝

$$|A|^2 = B \left[\frac{1}{r_1^2} + \frac{1}{r_2^2} + \frac{2}{r_1 \cdot r_2} \cos \psi \right],$$

$$\psi = k(r_2 - r_1), \quad B = f^2 \left(\frac{e^2}{mc^2} \right)^2 A_0^2, \quad (9.95)$$

r_1 և r_2 մեծությունները սֆերայի R շառավղի միջոցով կարելի է արտահայտել հիշյալ կերպ.

$$r_1 = R \left\{ 1 + \frac{\left(\frac{d}{2}\right)^2 + Rd\cos\theta}{2R^2} - \frac{1}{8} \left[\frac{\left(\frac{d}{2}\right)^2 + Rd\cos\theta}{R^2} \right]^2 + \dots \right\},$$



Նկ. 130. Ինտենսիվության հաշվումը գակ սֆերայում

$$r_2 = R \left\{ 1 + \frac{\left(\frac{d}{2}\right)^2 - R \cos \theta}{R^2} - \frac{1}{8} \left[\frac{\left(\frac{d}{2}\right)^2 - R \cos \theta}{R^2} \right]^2 + \dots \right\}$$

Նկատի ունենալով, որ $d \sim 10^{-8}$ սմ, վերջին արտահայտությունից բավականաշափ մեծ ճշտությամբ կստանանք $\psi = k(r_2 - r_1) = k d \cos \theta$: Այդ նույն ճշտությամբ (9.95)-ը կընդունի հետևյալ տեսքը.

$$|A|^2 = \frac{2B}{R^2} [1 + \cos(k d \cos \theta)], \quad (9.96)$$

Բոլոր կողմերով ցրված գումար-ալիքի ինտեգրալ ինտենսիվությունը գտնելու համար պետք է գտնենք $\int B [1 + \cos(k d \cos \theta)] \cdot \sin \theta d\theta$.

$$I = \int |A|^2 ds = \int_0^{2\pi} \int_0^\pi |A|^2 R^2 \sin \theta d\theta d\phi = 4\pi \int_0^\pi B [1 + \cos(k d \cos \theta)] \cdot \sin \theta d\theta,$$

Այստեղ նկատի ունեցանք, որ սֆերայի մակերեսութիւնը $ds = \sqrt{1 + k^2 \sin^2 \theta} d\theta d\phi$ բանաձևով:

Եթե անտեսենք $B = B(\theta)$, որը ճիշտ է միայն կետային ցրող կենտրոնների (E_k կամ r) համար, ապա վերջնականապես ինտեգրալ ինտենսիվության համար կստանանք՝

$$I = 8\pi B \left(1 + \frac{\sin kd}{kd} \right), \quad (9.97)$$

Իսկ օպտիկապես անկախ ցրման կենտրոնների դեպքում կստանանք՝

$$I = 8\pi B, \quad (9.98)$$

Այսպիսով, երկու ատոմների համար ցրման ինտենսիվության պահպանման օրենքը ճիշտ է միայն այն դեպքում, եթե (9.97) արտահայտության մեջ $\sin kd/kd$ անդամը կարելի է արհամարհել մեկի նկատմամբ:

Ինչպես երևում է (9.97)-ից և (9.98)-ից, շատ փոքր d -երի դեպքում (h իրար շատ մոտ ատոմների դեպքում) և մեծ ալիքի երկարությունների (h իրար քիչ) դեպքում $|I| \rightarrow 2$, այսինքն՝ ցրման ինտենսիվության պահպանման օրենքը տեղը չունի:

Ուրեմն, համարձակորեն կարելի է պնդել, որ միևնույն ատոմի E_k կամ r համար կեղուկների համար և հեղուկների, ամորֆ պինդ նյութերի ու

բյուրեղների մեջ իրար կողքի տեղավորված ատոմների համար բավականաշափ մեծ ալիքի երկարությունների դեպքում sincd/kd (9.95)), որը ցրման անկյան մեծացմամբ արագ նվազում է, և հտեսապես, ցրման ինտենսիվության պահպանման օրենքը կառող է տեղի չունենալ:

Այժմ հետազոտենք ցրման ինտենսիվության պահպանման օրենքը միաշափ ատոմական ցանցի համար:

Ենթադրենք հարթ մոնոքրոմատիկ ալիքը ուղղահայաց ընկնում է գծային ցանցի վրա, և մենք ուսումնասիրում ենք ինտենսիվությունը դիտման R կետում, որը ցանցի կենտրոնական կետից երկում է ցանցի նըկատմամբ θ անկյան տակ (նկ. ալիքը ինտենսիվության հաշվումը 131):

Քննարկվող դեպքում ցանցի կողմից ցրված գումար-ալիքի ամպլիտուդի համար կարող ենք գրել՝

$$A = \frac{e^2}{mc^2} \sum_{n=-N}^N \frac{1}{\tau_n} \exp \{-ikr_n\},$$

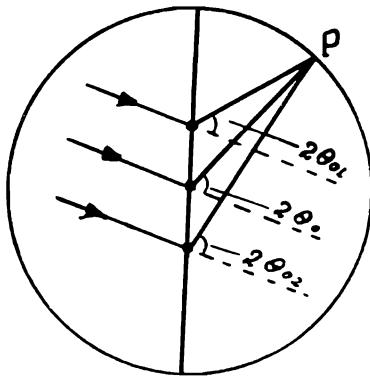
որտեղից ինտենսիվության համար կստանանք՝

$$|A|^2 = B \left\{ \sum_{n=-N}^N \frac{1}{\tau_n^2} + \sum_{n \neq n'} \frac{1}{\tau_n \tau_{n'}} \cos [k(r_n - r_{n'})] \right\},$$

Ցանցի կողմից ցրված գումար-ալիքի (բոլոր կողմերի վրա ցրված) ինտենսիվությունը գտնելու համար պետք է վերջին արտահայտությունն ինտեգրել R շառավղով սֆերայի մակերևույթով:

Եթե ցանցի երկարությունը 10^{-5} սմ-ից մեծ չէ, ապա բավականաշափ ճշգրտությամբ ($r_n - r_{n'}$) տարբերությունը կարող ենք ներկայացնել հետևյալ տեսքով՝ $r_n - r_{n'} = a(n - n') \cos \theta$, որտեղ անց ցանցի տրանսլացիան է:

Ինչպես երկու ցրողների դեպքում, այս դեպքում էլ արհամարհելով B-ի կախումը θ -ից, ինտենսիվության համար 10^{-3} -ի ճշտությամբ կստանանք՝



Նկ. 131. Գծային ցանցի ցրած կատմամբ ինտենսիվության հաշվումը

$$I = 8\pi B \left\{ N + \sum_{n \neq n'} \frac{\sinak(n-n')}{ak(n-n')} \right\}, \quad (9.99)$$

որտեղ N -ը ատոմների թիվն է գծալին ցանցում:

Այն դեպքում, երբ սկզբնական փունջը ցանցի վրա ընկնում է ոչ ուղղահայաց, ինտենսիվության արտահայտությունը կընդունի հետևյալ տեսքը (երկու մասնիկների դեպքում):

$$I = 8\pi B \left\{ 1 + \cos\varphi_1 \frac{\sin kd}{kd} \right\}, \quad \text{որտեղ՝ } \varphi_1 = k(\vec{r}_2 - \vec{r}_1) \vec{s}_0,$$

Նույն ձևով թեք անկման դեպքում N մասնիկների համար կստանանք՝ $I = 8\pi B \left[N + \sum_{n \neq n'} \cos\varphi_n \frac{\sinak(n-n')}{ak(n-n')} \right]$,

որտեղ՝ $\varphi_n = k(\vec{r}_n - \vec{r}_{n'}) \vec{s}_0$,

Այստեղ մենք բոլոր հետազոտություններում (հաջումներում) անտեսեցինք B -ի կախումը θ -ից, այն դեպքում, երբ B -ի առտահայտության մեջ մտնում է ատոմի ցրման ֆունկցիան (տե՛ս (9.95)), որը ցրման անկյան մեծացմամբ արագ նվազում է և, հետևապես, այդ կախումը արհամարեն չի կարելի: Սակայն հեշտ է համոզվել, որ այդ կախման հաշվառումը չի փոխի ցրված գումարալիքների ինտենսիվության՝ ցրողների միջև եղած հեռավորություններից ունեցած կախման բնույթը: Երոք, ենթադրելով, որ էլեկտրոնների լիցքերի խտությունն ատոմի մեջ ունի սֆերիկ սիմետրիա, ցրման ֆունկցիայի համար կստանանք՝

$$f = \int_0^{\infty} 4\pi r^2 \rho(r) \frac{\sin \mu r}{\mu r} dr, \quad \text{որտեղ՝ } \mu = \frac{4\pi \sin \theta_0}{\lambda},$$

Այսպիսով, երկու մասնիկների համար ինտենսիվության առտահայտությունը, ատոմի ֆակտորի՝ θ -ից ունեցած կախման հաշվառմամբ, կընդունի հետևյալ տեսքը՝

$$I = I_1 + I_2 + I_{\mu \perp} = F^2 f^2 \left[\frac{R^2}{r_1^2} + \frac{R^2}{r_2^2} + 2 \frac{R^2}{r_1 r_2} \cos(r_2 - r_1) k \right],$$

$$\text{որտեղ՝ } F^2 = \frac{B}{f^2}, \quad I_{\mu \perp} = 2F^2 f^2 \frac{R^2}{r_1 r_2} \cos[k(r_2 - r_1)],$$

Բավականաշատ հշտոթյամբ կարելի է ընդունել, որ $I_1 = I_2$, հետևապես, $I = I_{\mu \perp} + 2I_1$:

Նկատի ունենալով, որ $\cos 2\theta_0 = \sin \theta \sin \varphi$, $\sin \theta_0 =$
 $= \sqrt{\frac{1 - \sin \theta \sin \varphi}{2}}$, և այս, որ մինչև 10^{-6} ռադիանի կարգի
 $\delta_{\text{շտությամբ}} 2\theta_{01} = 2\theta_{02} = 2\theta_0$ (նկ. 131), կստանանք՝

$$I_1 = F^2 \int_0^{2\pi} \int_0^\pi \sin \theta d\varphi \left[\int_0^\infty 4\pi r^2 \rho(r) \frac{\sin \mu r}{\mu r} dr \right]^2,$$

Տույժի մեջ արտահայտությունը վերածելով շարքի ըստ պահանջմաների և ենթադրելով, որ $\rho(r) = \rho_0$, որ $r \ll r_0$, $\rho(r) = 0$, b_{rr} $r > r_0$, ըստ r -ի, φ -ի և θ -ի, ինտեգրելոց հետո կստանանք՝

$$1 = 2 \left(\frac{4\pi r_0^2 \rho^{3/2} F^{3/2}}{3^{2/3}} \right)^3 \left(\frac{1}{2} + \frac{\sin kd}{kd} \right) \left[1 - \frac{1}{10} \left(\frac{4\pi}{\lambda} \right)^2 r_0^2 + \dots \right],$$

Նույն ձևով ցանցի համար կստանանք՝

$$1 = 2 \left(\frac{4\pi r_0^2 \rho^{3/2} F^{3/2}}{3^{2/3}} \right) \left[N + \sum_{-N}^N \sum_{-N}^N \cos \varphi_n \frac{\sin [ak(n-n')]}{ak(n-n')} \times \right. \\ \left. \times \left[1 - \frac{1}{10} \left(\frac{4\pi}{\lambda} \right)^2 r_0^2 + \dots \right] \right]. \quad (9.100)$$

Որը թեք անկման դեպքում կունենա հետևյալ տեսքը՝

$$1 = 2 \left[\frac{4\pi r_0^2 \rho^{3/2} F^{3/2}}{3^{2/3}} \right]^3 \left[N + \sum_{-N}^N \sum_{-N}^N \cos \varphi_n \frac{\sin ak(n-n')}{ak(n-n')} \times \right. \\ \left. \times \left[1 - \frac{1}{10} \left(\frac{4\pi}{\lambda} \right)^2 r_0^2 + \dots \right] \right]:$$

Այս վերջին արտահայտություններում Σ' գումայի նշանը ցույց է տալիս, որ այդ գումարում բացակայում են $n=n'$ անդամները:

Ինչպես երևում է (9.97)-ից, (9.99)-ից և (9.100)-ից, ինտեգրալ ինտենսիվության արտահայտություններում հանդես է գալիս ինտերֆերենցիոն անդամ, որն ունի

$$\sum_{n \neq n'} \sum \frac{\sin ak(n-n')}{ak(n-n')} \quad (9.101)$$

տեսքը:

Ինչպես արդեն ասվեց վերևում, ցրման ինտենսիվության պահպանման օրենքը տեղի ունի միայն այն դեպքում, եթե (9.101) տիպի ինտերֆերենցիոն անդամներն անհետանում են: Պարզ է, որ բոլոր անդամները, որոնց համար n -ը և n' -ը իրարից շատ են

տարբերվում, անհետանում են: Իսկ այն անդամները, որոնց համար ուր և ո՛ղ իրարից տարբերվում են միայն մեկով, չի կարելի անտեսել: Այդ պատճառով էլ, առանց մեծ սխալ գործելու, մենք կարող ենք (9.101) գումարը փոխարինել հետևյալ արտահայտությամբ՝

$$2(2N-1) \frac{\sinak}{ak}, \quad (9.102)$$

Հետևապես, ցրման ինտենսիվության պահպանման օրենքի տեղի ունենալը պայմանավորված է (9.102)-ի անհետացմամբ:

\sinak/ak ֆունկցիան առավելագույն արժեքներ է ընդունում, երբ $ak=0, 1, 43\pi, 2, 46\pi, \dots$ իսկ զրոյական արժեքներ է ընդունում, երբ $ak=\pi, \pi/2, \dots$ եթե արհամարհենք \sinak/ak ֆունկցիայի երկրորդական մաքսիմումները, որոնք արագ մարում են համարի բարձրացմամբ, ապա որպեսզի ստացվեն (9.102)-ի նկատելի արժեքները, անհրաժեշտ է հետևյալ պայմանի բավարարումը՝

$$ka < \pi \text{ կամ' } 2a < \lambda, \quad (9.103)$$

այսինքն՝ հարևան ցրողների միջև կրկնակի հեռավորությունը պետք է փոքր լինի ընկնող ալիքի երկարությունից:

(9.103) պայմանը շատ հեշտ իրականանում է այն էլեկտրոնների համար, որոնք պատկանում են միենույն ատոմին, հատկապես ծանր ատոմների և երկար ալիքների դեպքում:

Բյուրեղի, ամորֆ պինդ նյութի և հեղուկի համար (9.103)-ը կարող է իրականանալ երկար ալիքների հատուկ դեպքերում: Իրոք,

եթե $a=2\text{ \AA}$, $\lambda=8\text{ \AA}$, ապա՝ $ak=\frac{\pi}{2}$ և $\frac{\sinak}{ak}=\frac{2}{\pi}$:

Այս դեպքում ցրման ինտենսիվությունը կլինի բգալիորեն ավելի մեծ, քան այն պետք է լիներ համաձայն ցրման ինտենսիվության պահպանման օրենքի:

Քննարկման ժամանակ մենք հաշվի շառանք ընկնող ալիքի բևեռացման ուղղությունը: Սակայն [47] աշխատանքը ցույց է տալիս, որ բևեռացման հաշվառքը էֆեկտի բնույթը չի փոխում:

§ 7. ՌԵՆՏԳԵՆՅԱՆ ԻՆՏԵՐՖԵՐԵՆՑԻՈՆ ՊԱՏԿԵՐԻ ԿԱԽՈՒՄԸ ՑԲՈՂ ՆՅՈՒԹԻ ԲԱՇԽՄԱՆ ԲՆՈՒՅԹԻՑ

Լավ հայտնի է, որ ցրված ալիքների ինտենսիվության տարածական բաշխումը էապես կախված է ճառագայթվող ծավալում ցրող նյութի բաշխման բնույթից: Հենց այդ հանգամանքն է օգտագործելու համար առաջարկությունը:

գործվում հակառակ խնդրի լուծման ժամանակ՝ էլեկտր ռենտգեն-յան ճառագայթների ցրման ինտենսիվության տարածական բաշ-խումբ գտնել ցրող նյութի բաշխումը:

Սակայն հաճախ զանազան դիֆրակցիոն խնդիրներ լուծելիս ցրող նյութի ընդհատ բաշխումը փոխարինում են անընդհատ կամ սինուսոիդական բաշխմամբ, որը երբեմն կարող է հասցնել սիմել եզրակացությունների:

Այստեղ մանրակրկիտ ուսումնասիրենք ռենտգենյան ճառա-գայթների ինտերֆերենցիոն պատկերի կախումը ցրող նյութի բաշխման բնույթից և գտնենք այն պայմանները, որոնց առկայու-թյամբ ցրող նյութի մի բաշխումը կարելի է փոխարինել մի այլ բաշխմամբ:

1. ՑՐՈՂ ՆՅՈՒԹԻ ԸՆԴՀԱՏ ԲԱՇԽՄԱՆ ԴԵՊՔԸ

Ենթադրենք ունենք ցրող նյութի միաշափ ընդհատ բաշխում, այսինքն՝ միաշափ ցանց, որի հանգույցներում տեղավորված են ցրող ատոմները:

Այդ դեպքում, եթե ցանցի վրա ընկնող ալիքը հարթ մոնոքրո-մատիկ է, ապա, ըստ կառեի տեսության, ցրված ալիքի ամպլի-տուդի արտահայտության մեջ հանդես է գալիս հետեւյալ ինտերֆե-րենցիոն ֆունկցիան՝

$$\frac{\sin \left[N \frac{ak(\vec{S}_1 - \vec{S}_0)}{2} \right]}{\sin \left[\frac{ak(\vec{S}_1 - \vec{S}_0)}{2} \right]}, \quad (9.104)$$

որտեղ \vec{a} -ն ցանցի տրանսլյացիայի վեկտորն է, իսկ N -ը՝ ցանցի ատոմների թիվը:

(9.104) ինտերֆերենցիոն ֆունկցիան ընդունում է մաքսիմալ արժեք, եթե

$$\frac{1}{2} ka(\vec{S}_1 - \vec{S}_0) = n\pi, \quad n=0, \pm 1, \pm 2, \quad (9.105)$$

և այդ մաքսիմալ արժեքը հավասար է N -ի:

(9.105)-ից երևում է, որ դիսկրետ բաշխման ժամանակ փաս-տորեն ստացվում են բոլոր կարգի մաքսիմումները՝ ինչպես զրո, այնպես էլ բարձր, և ինտերֆերենցիոն ֆունկցիայի մաքսիմալ ար-ժեքները կախված չեն նրանց կարգից:

2. ՑՐՈՂ ՆՅՈՒԹԻ ՀԱՄԱՍԵՌ ԲԱՇԽՄԱՆ ԴԵՊՔԸ

Եթե ցրո զնյութի բաշխումն անընդհատ է և ունի N/L գծային խտություն, որտեղ L-ը ցանցի երկարությունն է, ապա ցրված ճառագայթների ինտենսիվությունը գտնելու համար պետք է կատարենք հետևյալ տիպի ինտեգրում՝

$$\int_{-L/2}^{L/2} \rho \exp \{-ik(\vec{r} \cdot \vec{S})\} dr, \quad (9.106)$$

որտեղ r-ը միաշափ ցանցի վեկտորն է, իսկ ρdr-ը լիցքերի քանակն է ձև երկարության վրա:

(9.106)-ի ինտեգրումը կատարելիս ցրված ալիքների ամպլիտուդում հանդես կգա հետևյալ ինտերֆերենցիոն ֆունկցիան՝

$$N \frac{\sin \frac{kL(\vec{S}_1 - \vec{S}_0)}{2}}{\frac{kL(\vec{S}_1 - \vec{S}_0)}{2}}, \quad (9.107)$$

(9.107) արտահայտության մաքսիմումները ստացվում են $x = \frac{kL(\vec{S}_1 - \vec{S}_0)}{2}$ մեծության այն արժեքների դեպքում, որոնք բավարարում են $\text{tg}x = x$ տրանսցենդենտ հավասարմանը. Մեծագույն մաքսիմում ստացվում է այն դեպքում, եթե $x = 0$:

$\lim_{x \rightarrow 0} \frac{\sin x}{x} = 1$, իսկ մնացած մաքսիմումներն ստացվում են x-ի հետևյալ արժեքների դեպքում՝ $x = 1,43\pi; 2,46\pi; 3,47\pi; 4,47\pi$ և այլն:

Այդ մաքսիմումների մեծությունները x-ի մեծացմամբ արագորեն փոքրանում են: Այդ մաքսիմումները (գլխավորինը և մյուսներինը) իրար հարաբերում են ինչպես $1:0,045; 0,016$ և այլն, այսինքն՝ երկրորդական մաքսիմումների արժեքները շատ փոքր են գլխավոր մաքսիմումի նկատմամբ (գլխավոր մաքսիմումի արժեքը հավասար է մեկի):

Հետևաբար, կարելի է ասել, որ ցրող նյութի անընդհատ բաշխման ժամանակ փաստորեն ստացվում է միայն մեկ դիֆրակցիոն մաքսիմում՝ զրո կարգի մաքսիմումը, որի ուղղությունը համընկնում է սկզբնական ալիքի ուղղությանը: Իրոք, մենք կարող ենք x-ի արտահալտությունը գրել այսպես՝

$$x = \frac{1}{2} kL(\cos\alpha_1 - \cos\alpha_0), \quad (9.108)$$

որտեղ α_0 -ն և α_1 -ը ցանցի հետ (\vec{L} վեկտորի հետ) անկման ուղղության (\vec{S}_0) և ցրման ուղղության (\vec{S}_1) կազմած անկյուններն են: (9.108)-ից երկում է, որ x -ը կարող է զրո լինել միայն այն դեպքում, եթե $\alpha_1 = \alpha_0$, այսինքն՝ անկման և ցրման ուղղությունների համընկման դեպքում միայն կարող է ստացվել գլխավոր մաքսիմում:

3. ՑՐՈՂ ՆՅՈՒԹԻ ՍԻՆՈՒՍՈՒԴԱԿԱՆ ԲԱՇԽՄԱՆ ԴԵՊՔԸ

Ենթադրենք ցրող նյութին ունի սինուսոիդական բաշխում, որն արտահայտվում է հետևյալ բանաձևով՝ $\rho = \rho_0 \left(1 + \cos \frac{2\pi x}{a} \right)$, որտեղ a -ն ցրող նյութի սինուսոիդական բաշխման ալիքի երկարությունն է: Բաշխման ուղղությունը համընկնում է x առանցքի ուղղությանը*:

Այս դեպքում ցրված ալիքի ամպլիտուդը գտնելու համար պետք է կատարենք հետևյալ տիպի ինտեգրում՝

$$I = \rho_0 \int_{-L/2}^{L/2} \left(1 + \cos \frac{2\pi x}{a} \right) \exp \{ ik \vec{x} (\vec{S}_1 - \vec{S}_0) \} dx,$$

Ինտեգրումը կտա ինտերֆերենցիոն ֆունկցիաների հետևյալ գումարը՝

$$\begin{aligned} I = & \rho_0 \frac{\sin \left[\frac{kL(\cos\alpha_1 - \cos\alpha_0)}{2} \right]}{k(\cos\alpha_1 - \cos\alpha_0)} + \rho_0 \frac{\sin \left[\frac{k(\cos\alpha_1 - \cos\alpha_0)}{2} + \frac{\pi}{a} \right]}{\frac{k(\cos\alpha_1 - \cos\alpha_0)}{2} + \frac{\pi}{a}} + \\ & + \rho_0 \frac{\sin \left[\frac{k(\cos\alpha_1 - \cos\alpha_0)}{2} - \frac{\pi}{a} \right] L}{\frac{k(\cos\alpha_1 - \cos\alpha_0)}{2} - \frac{\pi}{a}}, \end{aligned} \quad (9.109)$$

* Առողմերի խտության սինուսոիդական բաշխում կարելի է ստանալ նաև ալիքուղղական տատանումների միջոցով:

Այս դեպքում a_0 -ն և a_1 -ը չ առանցքի և \vec{S}_0 ու \vec{S}_1 վեկտորների միջև կազմված անկյուններն են:

(9.109) արտահայտությունից երևում է, որ ցրող նյութի սինուսոիդական բաշխման դեպքում դիֆրակցիոն մաքսիմումները ստացվում են միայն զրո կարգի և առաջին կարգի: Իրոք, հետևյալ ֆունկցիան՝

$$\Psi_1 = \rho_0 \frac{\sin \left[\frac{k(\cos \alpha_1 - \cos \alpha_0)}{2} \right] L}{\frac{k(\cos \alpha_1 - \cos \alpha_0)}{2}} = \rho_0 L \frac{\sin \left\{ L \frac{k(\cos \alpha_1 - \cos \alpha_0)}{2} \right\}}{L \frac{k(\cos \alpha_1 - \cos \alpha_0)}{2}}$$

համանման է (9.107) ֆունկցիային և ընդունում է գլխավոր մաքսիմալ արժեքը, եթե $\frac{k}{2} (\cos \alpha_1 - \cos \alpha_0) = 0$, այսինքն՝ իրենից ներկայացնում է զրո կարգի գլխավոր մաքսիմումը:

$\rho = \frac{\sin \left[\frac{k(\cos \alpha_1 - \cos \alpha_0)}{2} + \frac{\pi}{a} \right] L}{\frac{k(\cos \alpha_1 - \cos \alpha_0)}{2} + \frac{\pi}{a}}$ ֆունկցիաները ընդունում են մաքսիմալ արժեքներ, եթե $\frac{k}{2} (\cos \alpha_1 - \cos \alpha_0) + \frac{\pi}{a} = 0$, որտեղից կստանանք $a(\cos \alpha_1 - \cos \alpha_0) = -\lambda$, որն իրենից ներկայացնում է առաջին կարգի մաքսիմումներ առաջանալու պայմանները:

Այսպիսով, վերևում կատարված հետազոտություններից կարող ենք անել հետևյալ եզրակացությունները.

1. ցրող նյութի ընդհատ-պարերական բաշխման ժամանակ (սովորական բյուրեղային ցանց) դիֆրակցիոն մաքսիմումները ստացվում են ինչպես զրո կարգի, այնպես էլ բարձր կարգի:

2. Ցրող նյութի անընդհատ (համասեռ) բաշխման դեպքում ստացվում է միայն զրո կարգի մաքսիմում:

3. Ցրող նյութի սինուսոիդական բաշխման ժամանակ ստացվում են միայն զրո և առաջին կարգի դիֆրակցիոն մաքսիմումներ:

Այժմ տեսնենք, թե ցրված ալիքների ինտենսիվությունները հաշվելիս ե՞րբ կարող ենք տարրական ալիքների գումարումը (ցրող նյութի դիսկրետ բաշխումը) փոխարինել ինտեգրումով (ցրող նյութի համասեռ կամ սինուսոիդական բաշխումով):

Ինչպես երևում է (9.104), (9.107) և (9.109) բանաձևերից, ցրող նյութի ընդհատ բաշխման ժամանակ ցրված ալիքի ամպլիտուդն արտահայտվում է

$$\frac{\sin N\lambda}{\sin \lambda} \quad (9.110)$$

Միայի ինտերֆերենցիոն ֆունկցիայով, որտեղ՝

$$A = \frac{ka}{2} (\cos \alpha_1 - \cos \alpha_0),$$

իսկ անընդհատ (համասեռ կամ սինուսոիդական) բաշխման ժամանակ ցրված ալիքի ամպլիտուդն արտահայտվում է

$$\rho_0 = \frac{\sin LB}{B} \quad (9.111)$$

Միայի ինտերֆերենցիոն ֆունկցիայով, որտեղ՝

$$B = \frac{k}{2} (\cos \alpha_1 - \cos \alpha_0) \text{ կամ } B = \frac{k}{2} (\cos \alpha_1 - \cos \alpha_0) \pm \frac{\pi}{a},$$

Դժվար չէ համոզվել, որ (9.110) և (9.111) արտահայտություններն իրար կհամընկնեն այն դեպքում, եթե $\sin A$ -ն կարող ենք փոխարինել A -ով: Իբրև, այդ դեպքում (9.110)-ը կընդունի հետևյալ տեսքը՝

$$\frac{\sin A}{A}, \quad (9.112)$$

իսկ (9.111)-ը կարելի է բերել (9.112)-ի տեսքի, հիշելով որ,

$$\rho = N/L:$$

Ինչ այստեղ ասվեց գծային բաշխումների մասին, հեշտությամբ կարելի է տարածել ցրող նյութի նաև երկշափ և եռաշափ բաշխումների վրա:

ԳՐԱԿԱՆՈՒԹՅՈՒՆ

1. А. И. Алиханов, Оптика рентгеновских лучей, Гостехиздат, М.—Л., 1953.
2. Блохин М. А., Физика рентгеновских лучей, ГИТТЛ, М., 1957 г.
3. А. Комpton, С. Аллison, Рентгеновские лучи. Теория и эксперимент, Л.—М., 1941 г.
4. W. Linik, Z. Phys. 65, 107 (1930).
5. A. Larsson, M. Siegbahn, I. Waller Naturwiss 12. 1—, 1212 (1924).
6. А. И. Китайгородский, Рентгеноструктурный анализ, Изд. технико-теоретической лит., М.—Л., 1950 г.
7. Жданов Г. С., Основы рентгеновского структурного анализа, М.—Л., 1940 г.
8. Шефер К., Теоретическая физика, II ч., II ч., ГОНТИ СССР, 1938 г.
9. Р. Джеймс, Оптические принципы дифракции рентгеновских лучей, Изд. ИЛ, М., 1950 г.
10. W. Steinström. Diss. Lund (1919)
11. U. Bonse and M. Hart Appl. Phys Letters 6.8 (1965).
12. U. Bonse and M. Hart Appl. Phys Letters 7.4(1965).
13. U. Bonse and M. Hart Z. für Physik 188. 154 (1965).
14. U. Bonse and M. Hart Z. für Physik 190, 455 (1966).
15. Пинскер З. Г., Динамическое рассеяние рентгеновских лучей в идеальных кристаллах, изд. «Наука», М., 1974 г.
16. Иверонова В. И., Теория рассеяния рентгеновских лучей, изд. МГУ, М., 1972 г.
17. Soller W., Phys. Rev 24, 158—167, 1924 г.
18. Hamos L., Naturwiss 20, № 38, 705, 1932 г.
19. Kunzl Vic. R Acad Sci 201, № 16, 656—658. 1935 г.
20. M. Zaue—Enzykl. d. math. Wiss 393, 1915 г.
21. Градштейн И. С., Рыжик И. М., Таблицы интегралов, сумм рядов и произведений, М., 1971 г.
22. Гогоберидзе Д. В., Некоторые объемные дефекты в кристаллах, Л., 1958 г.
23. Darwin Phyl. Mag 27/15, 333, 1914 г.
24. L. Bragg—Proc. Camb. Phil Soc 17, 43, 1913 г.
25. M. Laue—Ergab Exact Naturwiss 10, 133, 1931 г.

26. Безиргаян П. А., Акритов А. Г., Известия АН Арм. ССР, т. XV, № 3, 1962 г.
27. Безиргаян П. А., Акритов А. Г., Известия АН Арм. ССР, т. XIII, № 2, 1960 г.
28. Безиргаян П. А., Акритов А. Г., Известия АН Арм. ССР, т. XIII, № 2, 1960 г.
29. Безиргаян П. А., Известия АН Арм. ССР, т. XVII, № 5, 1964 г
30. А. Гинье, Рентгенография кристаллов, Физматгиз, М., 1961 г.
31. Уманский Я. С., Рентгенография металлов, Научтехиздат, М., 1960 г.
32. Ландсберг Г. С., Оптика, Изд. техн. лит., М., 1957 г.
33. Дитчберн Р., Физическая оптика, Физматгиз, М., 1965 г.
34. М. Франсон, С. Сланский, Когерентность в оптике, М., 1966 г.
35. Майкельсон, Световые волны и их применение, ГТТИ, М.—Л., 1934 г.
36. Майкельсон, Исследования по оптике, Физматгиз, М.—Л., б/ч.
37. Гайтлер В., Квантовая теория излучения, Изд. ИЛ, М., 1956 г.
38. Собельман И. И., Введение в теорию атомных спектров, Физматгиз, М., 1963 г.
39. М. Борн. Оптика :1-е. научно-технич. лит., Киев, 1937 г.
40. Фриш С. Э., Оптические спектры атомов, Физматгиз, М., 1963 г.
- Dirac P. A., M. Proc Roy Soc A 114, 243, 710 (1927)
42. Вайнштейн Б. К., Дифракция рентгеновских лучей на цепных молекулах, Изд. АН СССР, М., 1963 г.
43. Безиргаян П. А., ЖТФ, т. XXXIV, в. 10, 1964 г.
44. Безиргаян П. А., ЖТФ, т. XXXV, в. 9, 1965 г.
45. Безиргаян П. А., ЖТФ, т. XXXV, в. 2, 1965 г.
46. Безиргаян П. А., ЖТФ, т. XXXV, в. 2, 1965 г.
47. Безиргаян П. А., Гаспарян Л. Г., Известия АН Арм. ССР, Физика, 5, 1970 г.

ԲՈՎԱՆԴԱԿՈՒԹՅՈՒՆ

Ներածություն

Գլուխ I. բյուրեղագիտության տարրերը	
§ 1. Բյուրեղային և ամորֆ նյութեր	10'
§ 2. Բյուրեղի տարածական ցանցը	11
§ 3. Բյուրեղագիտական համակարգեր կամ սինգոնիաներ	17
§ 4. Բյուրեղագիտական կետեր, ուղիղներ, հարթություններ և գոտիներ	19
§ 5. Բյուրեղագիտական մի քանի բանաձևեր	22
§ 6. Բյուրեղագիտական պրոյեկցիաներ	27
§ 7. Հասկացություն բյուրեղի համաշափության (սիմետրիայի) մասին	33
§ 8. Բարդ ցանցեր	36
§ 9. Կաղափար հակադարձ ցանցի մասին	39
Գլուխ II. ունետքենյան նառագայթեների ստացումը, նրանց հիմնական ֆիզիկական հատկությունները և սպեկտրային օրինաշափությունները	
§ 1. Անընդհատ սպեկտրով ունետքենյան ճառագայթներ	43
1. Անընդհատ սպեկտրով ունետքենյան ճառագայթների առաջացումը և էներգիայի բաշխումն ըստ ուղղությունների	43
2. Անընդհատ սպեկտրով ունետքենյան ճառագայթների էներգիայի բաշխումն ըստ ալիքի երկարության	48
3. Անընդհատ սպեկտրով ունետքենյան ճառագայթների էներգիայի՝ ըստ ալիքի երկարության բաշխման կախումը անողի նյութի տեսակետից	51
4. Անընդհատ սպեկտրով ունետքենյան ճառագայթների բնեուացումը	52
5. Անընդհատ սպեկտրով ունետքենյան ճառագայթների կիրառությունները	54
§ 2. Գծային սպեկտրով ունետքենյան ճառագայթներ (բնորոշ ճառագայթներ)	55
1. Գծային սպեկտրով ունետքենյան ճառագայթների առաջացումը	55
2. Ունետքենյան մակարդակների էներգիաները	56
3. Գծային սպեկտրով ունետքենյան ճառագայթների սպեկտրային սերիաները	61
4. Էներգետիկ մակարդակների և սպեկտրային գծերի դուրեկտականությունը (կրկնակիությունը)	64
5. Մոզլիի օրենքը	65
6. Գծային սպեկտրով ունետքենյան ճառագայթների ստացումը ունետքենյան ճառագայթների միջոցով (ֆլուորեսցենցիային ճառագայթում)	68
Գլուխ III. ունետքենյան ճառագայթեների օպտիկան	
§ 1. Ֆրենելի բանաձևերի կիրառելիությունը ալիքների ունետքենյան տիրություն	70
1. Ունետքենյան ճառագայթների կիրառելիությունը ալիքների ունետքենյան տիրություն	71
2. Ունետքենյան ճառագայթների հայելային անդրադարձումը	73
3. Ունետքենյան ճառագայթների լրիվ ներքին (արտաքին) անդրադարձումը	75

§ 4. Φοιλέρի թոփչը հայելային և լրիւ ներքին անդրադառների ժամանակ	76
§ 5. Ռենտգենյան ճառագայթների լրիվ ներքին անդրադառներ կլանող միջավայրերից	79
§ 6. Փովերի թոփչը անդրադառների ժամանակ կլանող միջավայրերում	81
§ 7. Ռենտգենյան ճառագայթների անդրադառներ բարակ թաղանթներից Բարակ թաղանթների հաստության որոշումը	82
§ 8. Ռենտգենյան ճառագայթների բեկման ցուցչի որոշման օպտիկական եղանակները	83
Գլուխ V. ունտղենյան ճառագայթների և նյուրի փոխազդեցաւթյանը	93
§ 1. Ռենտգենյան ճառագայթների կլանումը	95
§ 2. Ռենտգենյան ճառագայթների ցրումը և ցրման փունկցիաներու	99
1. էլեկտրոնի շարժումը սենտգենյան ալիքի դաշտում	99
2. Ռենտգենյան ճառագայթների ցրումը ազատ էլեկտրոններով	102
3. Ռենտգենյան ճառագայթների ցրումը կապված էլեկտրոններով	108
4. էլեկտրոնի ցրման փունկցիան	109
5. Ռենտգենյան ճառագայթների ցրումը ատոմներով	109
6. Ռենտգենյան ալիքների փուլերի թոփչը ցրման հետևանքով	113
Գլուխ V. ունտղենյան ճառագայթների ցրումը իդեալական բյուրեներամ	116
§ 1. Բյուրեղի կողմից ցրած ալիքի ամպլիտուդի և ինտենսիվության հաշվումը կառեն եղանակով	118
§ 2. Բյուրեղի ցրած գումար-ալիքի ինտերֆերենցիոն մաքսիմումների ուղղությունների գտնելը Բրեգի եղանակով	127
§ 3. Կապը կառեն հավասարումների և Վուֆ-Բրեգի պայմանի միջն Բադ.լ.-Բ5սս, 52..ի3եծ:76. ուրագվմրդուն ու :	129
§ 4. Վուֆ-Բրեգ իպայմանի մեկնաբանումը հակադարձ ցանցում	130
§ 5. Ստրուկտուրային ֆակտոր	135
§ 6. Ֆրիդելի օրենքը	140
§ 7. Ռենտգենյան ճառագայթների ինտերֆերենցիոն մաքսիմումների ինտեղրալ ինտենսիվությունը	143
1. Ինտեղրալ ինտենսիվության հաշվումը կառեն եղանակով	144
2. Ինտեղրալ ինտենսիվության հաշվումը Բրեգի եղանակով	150
1. Հարթություններից անդրադառներ ալիքի ամպլիտուդի հաշվումը ինտեղրալ միջոցով	151
11. Հարթություններից անդրադառներ ալիքի ամպլիտուդի հաշվումը Ֆրենելի գոտիների եղանակով	154
111. Հարթություններից ամամակարգից անդրադառներ ալիքի ամպլիտուդը	156
3. Ռենտգենյան ճառագայթների անդրադառներ անդրադառների կառեն ինտեղրալ միջոցով	158
§ 8. Ռենտգենյան ճառագայթների կլանման հաշվառումը ինտեղրալ ինտենսիվության մեջ	161
1. Կլանման հաշվառումը Բրեգի գեպքում	161
2. Կլանման հաշվառումը կառեն գեպքում	163
§ 9. Բյուրեղի ատոմների շերմային տատանումների ազդեցությունը ռենտգենյան ճառագայթների ցրման ինտենսիվության վրա	165
Գլուխ VI. ունտղենյան ճառագայթների դիսպերսիայի տեսությանը	172
§ 1. Բեկման ցուցչի հաշվումը	315

Բեկման ցուցչի հաշվումը դիելեկտիվ հաստատունի միջոցով	17
2. Բեկման ցուցչի որոշումը սկզբանական և նրա ուղղությամբ ցրված ա-լիքների փոխազդեցության միջոցով	176
§ 2. Վուլֆ-Բրեգի բանաձևի ճշգրտումը բեկման հաշվառմամբ	179
2. Վուլֆ-Բրեգի բանաձևի ճշգրտումը սկզբանական և նրա ուղղությամբ ցրված ալիքների փոխազդեցության հետևանքով առաջացած էռու-լերի տարրերության հաշվառմամբ	181
§ 3. Բեկման ցուցչի կախումն անկման անկման ուղղությունից կլանող միջավայ-րերուն	182
§ 4. Ռենտգենյան ճառագայթների բեկման ցուցչի որոշման դիֆրակցիոն եղանակները	188
1. Բեկման ցուցչի որոշումը Վուլֆ-Բրեգի պայմանից դիտվող շեղում-ների օգնությամբ	189
2. Բեկման ցուցչի որոշումը ասիմետրիկ անդրադարձումների օգնությամբ	190
3. Բեկման ցուցչի որոշման ինտերֆերոմետրիկ եղանակները	192
Գլուխ VII. ունտգենյան ճառագայթները սպեկտրի վերածելու եղանակները	198
§ 1. Սպեկտրի վերածման հարթ բյուրեղի եղանակները	200
1. Հարթ բյուրեղներով Բրեգի մեթոդով ունտգենյան ճառագայթները սպեկտրի վերածելու եղանակները	200
2. Ունտգենյան ճառագայթները սպեկտրի վերածումը հարթ բյուրեղով լառեի եղանակով	205
§ 2. Սպեկտրի վերածման ճկված բյուրեղի եղանակները	207
1. Ունտգենյան ճառագայթների ֆոկուսացումը ճկված բյուրեղի ատո-մային հարթություններից բերեցյան անդրադարձումների միջոցով	208
1. Խոհանի եղանակը	208
2. Խոհան-Պրոտոպովովի եղանակը	213
3. Խոհանսոնի եղանակը	214
II. Ունտգենյան ճառագայթների ֆոկուսացումը բյուրեղի ատոմական հարթություններից տեղի ունեցող լառե անդրադարձումների միջոցով	216
1. Կողուայի եղանակը	217
2. Կողուա-Պրոտոպովովի եղանակը	220
3. Կողուա-Խոհանսոնի եղանակը	222
Գլուխ VIII. Բյուրեղների շափերի որոշումը ունտգենյան դիֆրակցիոն պատկերների միջոցով	224
§ 1. Անդրադարձման ինտենսիվության անելունային բաշխման պատկերը հակադարձ ցանցում	226
§ 2. Բյուրեղների շափերի որոշումը	234
Գլուխ IX. Կինեմատիկ տեսության բերությունները և նրա կիրառելիության սահմանները	242
§ 1. Ունտգենյան ճառագայթների նիտերֆերենցիայի տեսությունը՝ ցրված ալիքների միջև փուլերի տարրերության ճշգրիտ հաշվառմամբ	243
§ 2. Ունտգենյան ճառագայթների ինտեգրալ ինտենսիվության կախումը բյուրեղի ճառագայթվող ծավալի շափերից	253
1. Սահմանափակ շափերով հարթությունից անդրադարձած ալիքի ին-տենսիվությունը	255

2.	Սահմանափակ շափերով Հարթությունների համակարգից անդրադարձած ալիքի ինտենսիվությունը	253
§ 3.	Ունտգենյան ճառագայթների ինտեգրալ ինտենսիվության կախումը անկման Հարթության ուղղությունից և բյուրեղի ձևից	265
1.	Ինտեգրալ ինտենսիվության կախումը անկման Հարթության ուղղությունից	265
2.	Ինտեգրալ ինտենսիվության կախումը անդրադարձնող բյուրեղի ձևից	267
§ 4.	Ունտգենյան դիֆրակցիոն պատկերի օգնությամբ բյուրեղի շափերի որոշումը	271
1.	Ունտգեսի դիֆրակցիոն լայնության՝ անդրադարձնող բյուրեղի շափերի ունեցած կախման ավելի մանրակրկիտ և ճշգրիտ ուսումնափությունը	271
2.	Լառեկի և Վուլֆ-Բրեգի Հավասարումների պարունակող ինֆորմացիաների ավելի մանրակրկիտ ուսումնափությունը	275
§ 5.	Ունտգենյան ճառագայթների ինտերֆերենցիայի կինեմատիկ տեսությունը կուներենտ ճառագայթման տևողության հաշվառմամբ	279
1.	Ունտգենյան ճառագայթների ցրումը միաբրյուրեղների մեջ՝ կոներենտ ճառագայթման տևողության հաշվառմամբ	287
2.	Ունտգենյան ճառագայթների ինտեգրալ ինտենսիվության կախումը կուներենտ առաքման տևողությունից	292
§ 6.	Ցրված ճառագայթների ինտենսիվության պահպանման օրենքը	295
1.	Ցրման ինտենսիվության պահպանման օրենքի արտածումն ըստ Գինյեի	295
2.	Ցրման ինտենսիվության թաճպանման օրենքը ատոմների հանրութի համար	300
§ 7.	Ունտգենյան ինտերֆերենցիոն պատկերի կախումը ցրող նյութի բաշխման բնույթից	306
1.	Ցրող նյութի ընդհատ բաշխման դեպքը	307
2.	Ցրող նյութի համասեռ բաշխման դեպքը	308
3.	Ցրող նյութի սինուառիդական բաշխման դեպքը	309
	Գրականություն	312

**ԲԵԶԻՐԳԱՆՅԱՆ
ՊԵՏՐՈՍ ՀԱԿՈԲԻ**

Ռենտգենյան հետազոտությունների ֆիզիկական հիմունքները

**Հրատարակության է ներկայացրել ճամալսարանի պինդ մարմնի ֆիզիկայի
ամբիոնը**

**Խմբագիր՝ Է. Մ. Ղազարյան
Հրատ. խմբագիր՝ Լ. Լ. Աղայան
Գեղ. խմբագիր՝ Ն. Ա. Թռվմասյան
Տեխն. խմբագիր՝ Ֆ. Կ. Տօնոյան
Վերստ. սրբագրիչ՝ Հ. Ս. Հարույնյան**

ԱՅ 06038

Գատվեր 1390:

Տպաքանակ 5000:

Հանձնված է արտադրություն 27/XI 1976 թ.:

Ստորագրված է տպագրության 20/VII 1977 թ.:

Թուղթ՝ $60 \times 90^{1/16}$. Հրատ. 15,7 մամուլ. Տպագր. մամուլ $20,0+1$ ներդիր:
Գինը՝ 70 կոպ.:

Երևանի համալսարանի հրատարակություն, Երևան, Մոավյան փող. № 1:

Երևանի համալսարանի տպարան, Երևան, Աբովյան փող. № 52:

ՎՓ 06038

Заказ 1390

Тираж 5000.

Сдано в производство 27/XI 1976.

Подписано к печати 20/VII 1977 г.

Бумага $60 \times 90^{1/16}$.

Издат. 15,7 листа. Печатных 20,0 листа +1 вкладок.

Цена 70 коп.

Издательство Ереванского университета, Ереван, ул. Мравяна № 1

Типография Ереванского университета, Ереван, ул. Абовяна № 52.